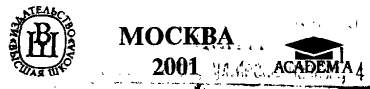


Н.С.АХМЕТОВ

**ОБЩАЯ
И НЕОРГАНИЧЕСКАЯ
ХИМИЯ**

Издание четвертое, исправленное

Рекомендовано
Министерством образования
Российской Федерации
в качестве учебника для студентов
химико-технологических специальностей вузов



УДК 54
ББК 24.1
А 95

Истина, конечно, одна и вечна, но ... познается и доступна только по частям, мало-помалу, а не разом в общем своем целом и ... пути для отыскания частей истины многообразны.

Д.И. Менделеев

Рецензент: проф. Я.А. Угай (Воронежский государственный университет)

ПРЕДИСЛОВИЕ

В основу учебника положены квантово-механические, структурные, термодинамические и кинетические закономерности на уровне понимания студентов первого курса.

Книга состоит из двух частей. В первой части "Общая химия" рассмотрены основополагающие теоретические разделы курса химии. Во второй части "Неорганическая химия" обсуждены свойства химических элементов в соответствии с их положением в периодической системе. В заключении рассмотрены вопросы химической экологии.

Получение полноценных знаний по химии основано на конкретном представлении об изучаемых веществах и их превращениях, что в значительной мере связано с серьезным и самостоятельным выполнением лабораторных работ и решением задач и упражнений. Для этого предназначено пособие: Н.С. Ахметов, М.К. Азизова, Л.И. Бадыгина. Лабораторные и семинарские занятия по общей и неорганической химии: -М., Высшая школа, 1998. Это пособие совместно с данным учебником составляет единый комплект.

Автор сердечно благодарен лауреату Государственной премии академику Международной академии наук высшей школы, доктору химических наук, профессору Я.А. Угай за ценные замечания и советы при обсуждении рукописи.

Замечания и пожелания просьба направлять по адресу: 420015, г. Казань, ул. К. Маркса, 68, Казанский государственный технологический университет.

Автор

Ахметов Н.С.
А 95 Общая и неорганическая химия. Учеб. для вузов. — 4-е изд., испр. —
М.: Выш. шк., Изд. центр «Академия», 2001. — 743 с., ил.

ISBN 5-06-003363-5 (Высшая школа)
ISBN 5-7695-0704-7 (Изд. центр «Академия»)

На современном уровне рассмотрены основные понятия и законы химии: строение вещества, химическая связь (метод молекуллярных орбиталей, метод валентных связей, зонная теория кристаллов), важнейшие положения химической термодинамики и химической кинетики, методы исследования структуры веществ (3-е — 1998 г.) Химия элементов изложена на основе периодического закона Д.И. Менделеева с привлечением структурных и термодинамических представлений.
Для химико-технологических специальностей вузов, университетов и педагогических вузов.

УДК 54
ББК 24.1

ISBN 5-06-003363-5 ©ГУП «Издательство «Высшая школа», 2001
ISBN 5-7695-0704-7

Оригинал-макет данного издания является собственностью издательства «Высшая школа», и его репродуцирование (воспроизведение) любым способом без согласия издательства запрещается.

Истинный химик должен уметь доказывать познанное ..., т.е. давать ему объяснение ...

М.В. Ломоносов

Границ научному познанию и предсказанию предвидеть невозможно.

Д.И. Менделеев

ВВЕДЕНИЕ

Химию можно определить как науку, изучающую вещества и процессы их превращения, сопровождающиеся изменением состава и строения. В химическом процессе происходит перегруппировка атомов, разрыв химических связей в исходных веществах и образование химических связей в продуктах реакции. В результате химических реакций происходит превращение химической энергии в теплоту, свет и пр.

Язык химии — формулы вещества и уравнения химических реакций. В формуле вещества закодирована информация о составе, структуре, реакционной способности этого вещества. Из уравнения реакции можно получить информацию о химическом процессе и его параметрах. Научиться расшифровывать эту информацию — важная задача изучения курса общей и неорганической химии.

Современная химия представляет собой систему отдельных научных дисциплин: общей, неорганической, аналитической, органической, физической, коллоидной химии, биохимии, геохимии, космохимии, электрохимии и т.д. Основой химической науки являются атомно-молекулярное учение, закон сохранения материи, периодический закон и теория строения вещества, учение о химическом процессе.

ЧАСТЬ ПЕРВАЯ

ОБЩАЯ ХИМИЯ

Раздел I

Периодическая система химических элементов Д.И. Менделеева

Натура тем паче всего удивительна, что в простоте своей многохитростна и от малого числа причин производит неисчислимые образы свойств, перемен и явлений.

М.В. Ломоносов

Свойства простых и сложных тел находятся в периодической зависимости от атомного веса элементов только потому, что свойства простых и сложных тел сами составляют результат свойств элементов, их образующих.

Д.И. Менделеев

Открытие периодического закона и периодической системы химических элементов Д.И. Менделеевым (1869) завершило развитие атомистических представлений в XIX в. Оно показало, что существует связь между всеми химическими элементами. Периодический закон, по мнению Д.И. Менделеева, следует рассматривать как "одно из ... обобщений, как инструмент мысли, еще не подвергавшийся до сих пор никаким видоизменениям", который "ждет ... новых приложений и усовершенствований, подробной разработки и свежих сил". В XIX в. периодический закон и система элементов представляли лишь гениальное эмпирическое обобщение фактов; их физический смысл долгое время оставался нераскрытым. Открытие периодического закона подготовило наступление нового этапа развития науки — изучения структуры атомов. Это, в свою очередь, дало возможность глубже выяснить природу химических элементов и объяснить ряд закономерностей периодической системы.

В создании современной теории строения атома особую роль сыграли Э. Резерфорд, создавший планетарную модель атома (1911), и Н. Бор, предложивший первую квантовую теорию строения атома (1913).

ГЛАВА 1. ХИМИЧЕСКИЕ ЭЛЕМЕНТЫ. ПЕРИОДИЧЕСКИЙ ЗАКОН

§ 1. ПОНЯТИЕ ХИМИЧЕСКОГО ЭЛЕМЕНТА

Близкое к современному определение химического элемента было дано Д.И. Менделеевым: "Под именем элементов должно подразумевать те материальные составные части простых и сложных тел, которые придают им известную совокупность физических и химических свойств. Если простому телу соответствует понятие о частице, то элементу отвечает понятие об атоме".

Химический элемент — это совокупность атомов с одинаковым зарядом ядра. Носителем положительного заряда ядра являются протоны. Их число определяет величину заряда ядра, и следовательно, атомный (порядковый) номер химического элемента. Основные характеристики частиц, образующих атом — протона, нейтрона и электрона, приведены в табл. 1. Масса электрона почти в 1840 раз меньше массы протона и нейтрона. Поэтому масса атома практически равна массе протона и нейтрона. Поэтому масса атома практически равна массе ядра — сумме масс нуклонов (протонов и нейтронов).

Таблица 1. Сведения о некоторых элементарных частицах

Частица	Символ	Масса покоя, кг	Относительная масса, а.е.м.*	Заряд, Кл
Протон	p	$1,673 \cdot 10^{-27}$	1,007276	$1,602 \cdot 10^{-19}$
Нейтрон	n	$1,675 \cdot 10^{-27}$	1,008665	0
Электрон	e	$9,109 \cdot 10^{-31}$	0,000549	$1,602 \cdot 10^{-19}$

* Атомная единица массы (а.е.м.) равна $1,6606 \cdot 10^{-27}$ кг.

Важной характеристикой ядра является *массовое число A*, которое равно общему числу нуклонов — протонов Z и нейтронов N входящих в ядро:

$$A = Z + N.$$

Вид атомов с данными числами протонов и нейтронов называют *нуклидом*. Разновидности одного и того же химического элемента, отличающиеся массой атомов, называют *изотопами*. Ядра атомов изотопов различаются числом нейтронов. Так, изотопами кальция

являются нуклиды*: $^{40}_{20}\text{Ca}$ (20p, 20n), $^{42}_{20}\text{Ca}$ (20p, 22n), $^{43}_{20}\text{Ca}$ (20p, 23n). Принята также запись изотопов с указанием только массового числа, например: кальций-40, кальций-42, кальций-43.

Масса ядра всегда меньше арифметической суммы масс протонов и нейтронов, входящих в его состав. Разность между этими величинами называют *дефектом массы*. Так, масса ядра изотопа гелия ^4_2He (2p, 2n) равна 4,001506 а.е.м., тогда как сумма масс двух протонов и двух нейтронов составляет 4,031882 а.е.м. ($2 \cdot 1,007276 + 2 \cdot 1,008665$), т.е. дефект массы равен 0,030376 а.е.м.

Дефект массы соответствует энергии, которая выделяется при образовании ядра из свободных протонов и нейтронов и может быть выражена соотношением:

$$\Delta E = \Delta m_{\text{я}} c^2,$$

где ΔE — изменение энергии; $\Delta m_{\text{я}}$ — дефект массы; c — скорость света в вакууме ($c = 3 \cdot 10^8 \text{ м} \cdot \text{с}^{-1}$).

Согласно этому соотношению уменьшение массы на 0,0304 а.е.м. при образовании ядра гелия из двух протонов и двух нейтронов соответствует выделению $4,52 \cdot 10^{-12}$ Дж. Следовательно, образование одного моля ядер ($6,02 \cdot 10^{23}$ ядер) гелия-4 из протонов и нейтронов должен сопровождаться выделением огромного количества энергии:

$$\Delta E = 4,53 \cdot 10^{-12} \cdot 6,02 \cdot 10^{23} = 2,72 \cdot 10^{12} \text{ Дж.}$$

Следовательно, энергия связи нуклонов в ядре в миллионы раз превышает энергию химической связи. Поэтому при химических превращениях веществ атомные ядра не изменяются.

В настоящее время известно около 300 устойчивых и свыше 1400 радиоактивных ядер. Замечено, что ядра, содержащие 2, 8, 20, 28, 50, 82, 126 протона или нейтрона, заметно отличаются по свойствам от ядер остальных элементов. Предполагается, что эти *магические числа* нуклонов соответствуют завершенным ядерным слоям, подобно тому как это наблюдается для электронов в электронной оболочке атома.

Ядра могут содержать магическое число протонов или нейтронов, а также тех и других (двойные магические ядра). К двойкам магическим

* Массовое число и атомный номер элемента (число протонов) обозначают числовыми индексами слева от символа химического элемента; верхний индекс означает массовое число, нижний — заряд ядра.

относятся ядра ^4He (2p, 2n), ^{16}O (8p, 8n), ^{28}Si (14p, 14n), ^{40}Ca (20p, 20n), ^{208}Pb (82p, 126n). По числу протонов магическими являются ^{28}Ni , ^{50}Sn , а по числу нейтронов магическими являются ^{88}Sr (50n), ^{138}Ba (82n), ^{139}La (82n), ^{140}Ce (82n) и др.

§ 2. КОСМИЧЕСКАЯ РАСПРОСТРАНЕННОСТЬ ХИМИЧЕСКИХ ЭЛЕМЕНТОВ

Анализ кривых, отражающих зависимость космической распространенности химических элементов (для ближайшего окружения Солнечной системы) от их атомного номера (рис. 1), позволяет сделать следующие выводы: 1) распространение элементов неравномерно уменьшается с возрастанием атомного номера элемента; 2) наиболее распространены водород и гелий; космическое вещество состоит примерно на три четверти из водорода и гелия (по массе); 3) относительная распространность атомных ядер с четным числом протонов (с четным Z) выше, чем с нечетным. На Земле, например, элементы с четными атомными номерами составляют 86%, с нечетными — 14% массы зем-

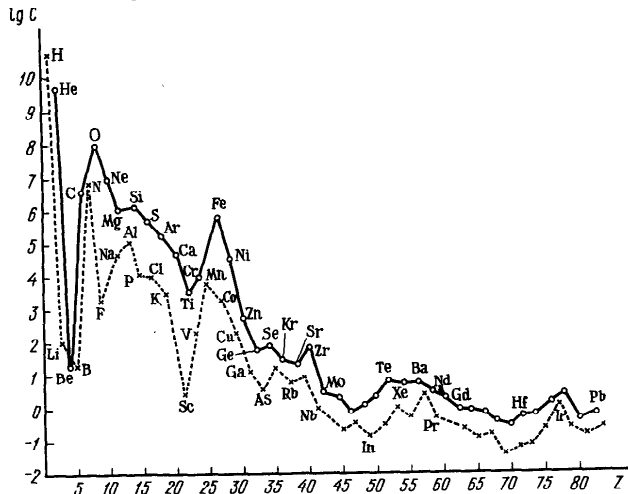


Рис. 1. Космическая распространенность химических элементов: данные о количестве атомов $\lg C$ отнесены к $C = 1 \cdot 10^6$ атомов кремния. Сплошная кривая — четные Z , пунктирные — нечетные Z

ной коры; 4) периодически повторяющиеся пики на кривых соответствуют в основном ядрам с магическими числами протонов или нейтронов: ^4He (2p, 2n), ^{16}O (8p, 8n), ^{28}Si (14p, 14n), ^{40}Ca (20p, 20n), ^{40}Zr (40p, 50n), ^{118}Sn (50p, 69n), ^{138}Ba (56p, 82n), ^{208}Pb (82p, 126n).

Для данного элемента более распространены изотопы с четным числом нейтронов и менее — с нечетным числом протонов и нейтронов.

Распространенность элементов зависит от многих факторов, но в конечном счете определяется вероятностью ядерных реакций их образования и относительной устойчивостью отдельных изотопов.

Изучение распространенности химических элементов проливает свет на происхождение Солнечной системы, Земли, а также позволяет понять физические и химические процессы в космосе, разработать теорию образования химических элементов.

§ 3. РАДИОАКТИВНОЕ ПРЕВРАЩЕНИЕ ХИМИЧЕСКИХ ЭЛЕМЕНТОВ

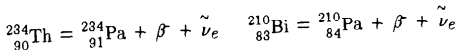
Превращение химических элементов осуществляется в результате ядерных реакций. Первым шагом в научном решении проблемы превращения элементов было открытие А. Беккерелем в 1896 г. радиоактивности урана. Объяснение радиоактивности как следствия расщепления ядер (Э. Резерфорд, Ф. Содди, 1903) показывает, что химические элементы не являются вечными и неизменными, а могут превращаться друг в друга. С этого момента получила твердые научные основы и задача искусственного превращения элементов. Закономерности превращения ядер химических элементов изучает *ядерная химия*.

Наиболее часто встречается вид распада ядер, называемый *бета-распадом*. При этом ядро испускает электрон e^- за счет превращения одного нейтрона ядра в протон:

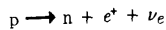
$$n \rightarrow p + e^- + \bar{\nu}_e$$

Часть энергии, выделяющейся при β -распаде, уносится вместе с антинейтрино $\bar{\nu}_e$. Нейтрино ν_e и антинейтрино $\bar{\nu}_e$ — элементарные частицы, лишенные заряда и отличающиеся друг от друга спином.

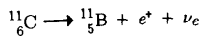
При β^- -распаде заряд ядра увеличивается на единицу, массовое же число не изменяется, т.е. образуется ядро другого элемента, атомный номер которого на единицу больше, чем у исходного. Так, при β^- -распаде изотопа тория-234 образуется изотоп протактиния-234, а при β^- -распаде висмут-210 превращается в полоний-210:



Для ядер с числом нейтронов, меньшим числа протонов, характерен другой вид β -распада — *позитронный распад*, т.е. распад с выделением позитрона. Позитрон — элементарная частица с элементарным положительным зарядом и массой электрона (e^+ -частица). β^+ -Распад является следствием превращения одного протона в нейtron:



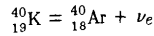
При позитронном распаде заряд ядра уменьшается на единицу, а массовое число (как и при β^- -распаде) не изменяется. Примером β^+ -распада является превращение изотопа углерода-11 в изотоп бора-11:



К такому же изменению ядра, как и при β^+ -распаде, приводит *электронный захват*. Это явление состоит в том, что электрон, находящийся на одном из ближайших к ядру слоев, захватывается ядром. При этом один из пртонов ядра превращается в нейtron:



например:



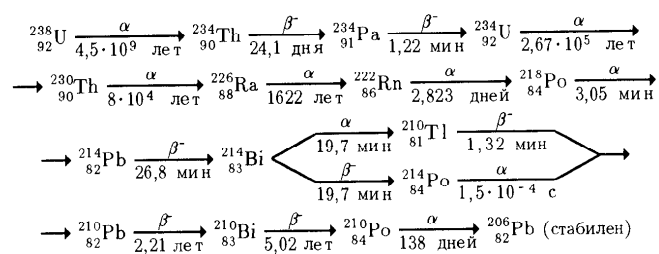
Наибольшие изменения исходного ядра наблюдаются при *альфа-распаде*. Выделение ядром α -частицы (ядра гелия-4) приводит к образованию изотопа альфа-излучением, связанным в основном с переходом образовавшегося ядра из возбужденного в основное (нормальное) состояние.

Для тяжелых элементов наряду с α - и β -распадом возможно самопроизвольное (спонтанное) деление ядра на две части. Оно характерно для трансуранных элементов, например для изотопа урана-234.

Продолжительность жизни атомов определяется строением их ядер и характеризуется *периодом полураспада* $T_{1/2}$, т.е. временем, в течение которого распадается половина всего наличного числа ядер данного элемента. Период полураспада изменяется в очень широком диапазоне — от нескольких тысячных долей секунды до многих тысяч миллионов лет. Большинство изотопов имеет период полураспада от 30 до 10 дней. Очевидно, что на Земле имеются те элементы, которые не поддаются радиоактивному распаду за 4,5—5 млрд. лет — время существования нашей планеты — или запасы которых постоянно пополняются за счет соответствующих ядерных превращений.

Все элементы периодической системы, расположенные после висмута ^{83}Bi , радиоактивны. Из них только ядра тория-232 ($T_{1/2} = 1,4 \cdot 10^{10}$ лет), урана-235 ($T_{1/2} = 7 \cdot 10^8$ лет) и урана-238 ($T_{1/2} = 4,5 \cdot 10^9$ лет) имеют достаточно большой период полураспада и могли сохраниться на Земле в течение 4,5—5 млрд. лет ее существования. Другие элементы, расположенные в периодической системе за висмутом, постоянно образуются за счет естественного радиоактивного распада ядер ^{232}Th , ^{235}U и ^{238}U .

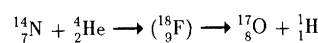
Ниже приведен последовательный ряд радиоактивных превращений в ряду урана-238:



§ 4. ЯДЕРНЫЕ РЕАКЦИИ

Под ядерными реакциями понимается взаимодействие соответствующих частиц (нейтронов, пртонов, α -частиц и других атомных ядер) с ядрами химических элементов. Наиболее простые ядерные реакции характеризуются следующим механизмом. Одна из бомбардирующих частиц захватывается ядром-мишенью и образуется промежуточное составное ядро с очень короткой продолжительностью жизни ($\sim 10^{-7}$ с). Последнее испускает элементарную частицу или легкое ядро и превращается в новое ядро.

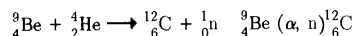
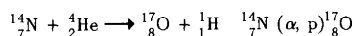
Впервые искусственное ядерное превращение было осуществлено в 1919 г. Резерфордом. Ему удалось при облучении α -частицами превратить азот в кислород. Промежуточное составное ядро в этой реакции — изотоп фтора ^{18}F :



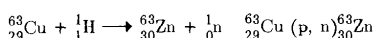
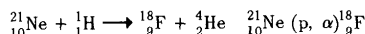
Понятно, что для преодоления кулоновских сил отталкивания ядра бомбардирующие частицы должны обладать большой энергией. Экспериментальная физика с помощью различного рода ускорителей решила задачу получения частиц с энергией порядка нескольких миллиардов электрон-вольт*. Такие частицы раньше наблюдались только в космических лучах и то в ничтожных количествах.

Ниже приведены примеры ядерных реакций **:

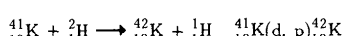
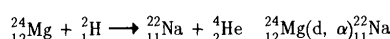
1. Реакции под действием α -частиц (ионов ${}^4_2\text{He}^{2+}$)



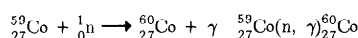
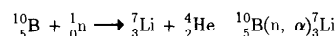
2. Реакции под действием протонов (ионов ${}^1_1\text{H}^+$)



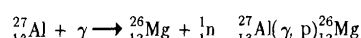
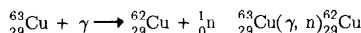
3. Реакции под действием дейтронов (ионов ${}^2_1\text{H}^+$)



4. Реакции под действием нейтронов



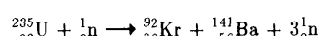
5. Реакции под действием фотонов (γ -излучение)



* 1 эВ = $1,60201 \cdot 10^{-19}$ Дж; 1 эВ/моль = 96486 Дж/моль.

** Принята следующая сокращенная запись ядерных реакций: в скобках сначала указывают бомбардирующую частицу, затем частицу, получаемую в результате реакции; слева от скобок ставят символ исходного ядра с соответствующими индексами, справа — символ получаемого ядра и его индексы.

Решающую роль в развитии ядерной химии сыграло открытие в 1939 г. процесса деления ядер урана при облучении нейtronами:

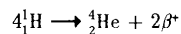


В реакциях деления ядро расщепляется на два новых сильно радиоактивных ядра с неодинаковыми массами. Реакция деления ядра сопровождается выделением огромного количества энергии. При протекании, например, рассматриваемой реакции выделяется энергия $2 \cdot 10^{10}$ кДж/моль или $8,4 \cdot 10^{10}$ кДж/кг ${}^{235}\text{U}$. Это соответствует теплоте сгорания 2 млн. кг высококалорийного каменного угля.

В реакции деления на один заграченный нейtron образуется 2–3 новых нейтрона, которые, в свою очередь, могут вызывать реакцию деления ядер. Таким образом может произойти лавинообразное увеличение числа расщепляемых ядер, т.е. *цепная реакция*. Если не регулировать развитие цепей, то процесс протекает практически мгновенно и сопровождается взрывом. На этом основано действие атомной бомбы.

Управляемые реакции деления ядер (урана, плутония) используются в ядерных реакторах. При этом производится энергия и получаются радиоактивные изотопы других элементов.

Важным видом ядерных реакций являются *термоядерные реакции*. Это реакции слияния (синтеза) атомных ядер в более сложные. В качестве примера термоядерной реакции можно привести синтез ядер гелия из ядер водорода (протонов) по суммарному уравнению:



Термоядерные реакции сопровождаются выделением колоссального количества энергии. Так, в результате синтеза гелия из водорода должна выделиться огромная энергия, равная 644 млн. Дж на 1 г водорода. Она в 3 млн. раз больше, чем энергия, выделяемая при сжигании водорода, и в 15 млн. раз больше энергии, получаемой при сжигании высококалорийного каменного угля.

Решение проблемы управляемых термоядерных реакций позволит человечеству использовать неисчерпаемые запасы внутриядерной энергии.

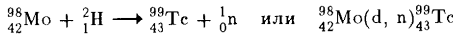
Изучение закономерностей ядерных превращений важно для установления природы ядерных сил и создания теории строения ядра. Изучение ядерных реакций имеет и большую практическую ценность. Это прежде всего использование ядерной энергии, искусственное получение новых химических элементов, разнообразных радиоактивных изотопов. Развитие техники ускорения частиц позволило воссоздавать

в лаборатории процессы, приближающиеся к происходящим в земной коре и космическом пространстве. Это дает возможность представить генезис химических элементов в природе.

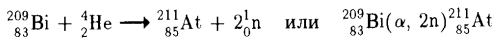
§ 5. СИНТЕЗ ЭЛЕМЕНТОВ

В 1869 г., когда Д.И. Менделеевым был открыт периодический закон, было известно всего 63 элемента. На основании периодического закона Д.И. Менделеев предсказал существование 12 новых элементов и для трех из них (Ga, Ge, Sc) описал свойства. В течение полу века (1875–1925) были обнаружены в природе почти все элементы, расположенные в таблице Менделеева до урана. Путеводной нитью для поиска и установления химической природы элементов явился периодический закон и метод предсказания, использованный Д.И. Менделеевым.

С 1925 г. оставались не открытыми только элементы с атомными номерами 43, 61, 85 и 87, которые, как оказалось, не образуют устойчивых изотопов. Первым был получен синтетическим путем технеций Tc – 43-й элемент, который заполнил пустовавшую до 1937 г. клетку в периодической системе между молибденом и рутением. Технеций впервые был получен при облучении молибдена дейтронами:



В 1940 г. облучением висмута α -частицами получен 85-й элемент астат At:



Элементы 61-й (прометий Pm) и 87-й (франций Fr) были обнаружены в продуктах ядерного распада урана.

Для синтеза трансурановых элементов используются реакции, в которых участвуют нейтроны, дейтроны, α -частицы с энергией порядка $3 \cdot 10^{12}$ кДж/моль и многозарядные ионы ($^{10}\text{B}^{3+}$, $^{12}\text{C}^{4+}$, $^{14}\text{N}^{5+}$, $^{16}\text{O}^{6+}$, $^{22}\text{Ne}^{10+}$) с энергией до $1.2 \cdot 10^{13}$ кДж/моль (130 МэВ).

Успехи в синтезе и изучении трансурановых элементов в основном связаны с работой американских ученых Калифорнийского университета (г. Беркли) под руководством Г. Сиборга и ученых Института ядерных исследований (г. Дубна) под руководством Г.Н. Флерова.

В 1987 г. в Дубне при бомбардировке ядер тория ионами кальция, а урана ионами аргона был синтезирован элемент 110.

Период полураспада трансурановых элементов быстро уменьшается с ростом заряда ядра. Однако имеются основания считать, что среди сверхтяжелых элементов повышенной устойчивостью должны обладать

ядра с замкнутыми нуклонными слоями с магическими числами протонов $Z = 114$ и 126 и нейtronов $N = 184$.

Развитие физики и химии трансурановых элементов непосредственно основывается на периодическом законе Д.И. Менделеева. В свою очередь исследования в области трансурановых элементов не только углубляют сведения о строении и свойствах атомных ядер, но также расширяют наши представления о структуре периодической системы.

Несмотря на огромные достижения науки за прошедшее столетие, система Д.И. Менделеева в принципах построения не претерпела сколько-нибудь заметных изменений, развитие представлений о периодической системе по сути дела коснулось лишь расширения ее нижней границы.

Уместно здесь вспомнить высказывание Д.И. Менделеева: "Периодическому закону будущее не грозит разрушением, а только надстройки и развитие обещает".

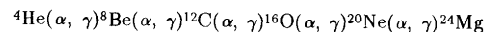
§ 6. ЯДЕРНЫЕ РЕАКЦИИ В ПРИРОДЕ

На изучении закономерностей ядерных реакций и радиоактивного распада строятся теории происхождения химических элементов и их распространности в природе. Как показывают данные ядерной физики и астрофизики, синтез и превращение элементов происходят на всех стадиях эволюции звезд как закономерный процесс их развития.

Образование ядер с усложнением их состава может происходить в природе либо путем слияния заряженных частиц (элементарных частиц или атомных ядер) друг с другом, либо в результате реакций поглощения нейтронов. Условия, необходимые для этих процессов, возникают либо в недрах звезд различных типов, где заряженные частицы ускоряются при высоких температурах (порядка сотен миллионов градусов), либо в звездных атмосферах, где частицы ускоряются мощными электромагнитными полями.

При 10–20 млн. градусов в звездах протекают реакции превращения водорода в гелий. Эта реакция – основной источник огромной энергии, поддерживающей Солнце и большинство звезд в раскаленном состоянии.

В звездах другого типа и возраста при температурах выше 150 млн. градусов протекают термоядерные реакции гелия с образованием устойчивых изотопов углерода, кислорода, неона, магния, серы, аргона, кальция и др.:



Протекают также реакции с участием протонов и нейтронов и образуются элементы вплоть до висмута.

Образование самых тяжелых элементов — урана, тория, трансурановых элементов — происходит при взрыве сверхновых звезд. При таком взрыве высвобождается колоссальная энергия, и температура достигает порядка 4 млрд. градусов, что позволяет осуществляться реакциям образования самых тяжелых элементов.

В недрах планет не могут возникать столь высокие температуры, а следовательно, и протекать столь разнообразные ядерные реакции, как в горячих звездах. На Земле превращение элементов в основном обуславливается радиоактивным распадом. Это приводит к некоторому изменению изотопного состава существующих элементов, из которых 25% радиоактивны.

В недрах Земли обнаружены также ничтожные количества некоторых из синтезированных в лаборатории элементов (прометия, франция, нептуния, плутония, технеция и др.). По-видимому, они возникали когда-то в значительных количествах, однако вследствие неустойчивости исчезли. В настоящее время эти элементы образуются в результате ядерных реакций, вызываемых космическими лучами, или как продукты радиоактивного распада других элементов.

ГЛАВА 2. ЭЛЕКТРОННАЯ ОБОЛОЧКА АТОМА ХИМИЧЕСКОГО ЭЛЕМЕНТА

§ 1. ИСХОДНЫЕ ПРЕДСТАВЛЕНИЯ КВАНТОВОЙ МЕХАНИКИ

Теория строения атома основана на законах, описывающих движение микрочастиц (электронов, атомов, молекул) и их систем (например, кристаллов). Массы и размеры микрочастиц чрезвычайно малы по сравнению с массами и размерами макроскопических тел. Поэтому свойства и закономерности движения отдельной микрочастицы качественно отличаются от свойств и закономерностей движения макроскопического тела, изучаемых классической физикой. Движение и взаимодействия микрочастиц описывает *квантовая* (или *волновая*) механика. Она основывается на представлении о квантовании энергии, волновом характере движения микрочастиц и вероятностном (статистическом) методе описания микрообъектов.

Квантовый характер излучения и поглощения энергии. Примерно в начале XX в. исследования ряда явлений (излучений раскаленных тел, фотоэффекта, атомные спектры) привели к выводу, что энергия распространяется и передается, поглощается и испускается не непре-

рывно, а дискретно, отдельными порциями — квантами. Энергия системы микрочастиц также может принимать только определенные значения, которые являются кратными числами квантов.

Предположение о квантовой энергии впервые было высказано М. Планком (1900) и позже обосновано А. Эйнштейном (1905). Энергия кванта ϵ зависит от частоты излучения ν :

$$\epsilon = h\nu, \quad (1)$$

где h — постоянная Планка ($h = 6,63 \cdot 10^{-34}$ Дж·с).

Частота колебаний ν и длина волны λ связаны соотношением:

$$\lambda\nu = c,$$

где c — скорость света.

Согласно соотношению (1), чем меньше длина волны (т.е. чем больше частота колебаний), тем больше энергия кванта. И, наоборот, чем больше длина волны (т.е. чем меньше частота колебаний), тем меньше энергия кванта. Таким образом, ультрафиолетовые и рентгеновские лучи обладают большей энергией, чем, скажем, радиоволны или инфракрасные лучи.

Волновой характер движения микрочастиц. Для описания электромагнитного излучения привлекают как волновые, так и корпускулярные представления: с одной стороны, монохроматическое излучение распространяется как волна и характеризуется длиной волны λ (или частотой колебания ν); с другой стороны, оно состоит из микрочастиц — фотонов, переносящих кванты энергии. Явления дифракции электромагнитного излучения (света, радиоволн, γ -лучей, рентгеновских лучей и пр.) доказывают его волновую природу. В то же время электромагнитное излучение обладает энергией, массой, производит давление. Так, вычислено, что за год масса Солнца уменьшается за счет излучения на $1,5 \cdot 10^{17}$ кг.

Луи де Броиль предложил (1924) распространить корпускулярно-волновые представления на все микрочастицы, т.е. движение любой микрочастицы рассматривать как волновой процесс. Математически это выражается *соотношением де Брооля*, согласно которому частице массой m , движущейся со скоростью v , соответствует волна длиной λ :

$$\lambda = h/(mv). \quad (2)$$

Гипотеза де Брооля была экспериментально подтверждена обнаружением дифракционного и интерференционного эффектов потока электронов. В настоящее время дифракция потоков электронов, нейтронов, протонов широко используется для изучения структуры веществ (см. раздел IV).

Согласно соотношению (2), движению электрона (масса $9,1 \cdot 10^{-31}$ кг, скорость порядка 10^6 м/с) отвечает волна длиной порядка 10^{-10} м, т.е. ее длина соизмерима с размерами атомов. Поэтому при рассеянии электронов кристаллами наблюдается дифракция, причем кристаллы выполняют роль дифракционной решетки.

С движением же макрочастиц, наоборот, ассоциируется волна столь малой длины (10^{-29} м и меньше), что экспериментально волновой процесс обнаружить не удается.

Принцип неопределенности. В. Гейзенбергом установлен (1927) принцип неопределенности: невозможно одновременно точно определить положение микрочастицы (ее координаты) и ее количество движения (импульс $p = mv$).

Математическое выражение принципа неопределенности имеет вид:

$$\Delta x \Delta p \geq \frac{h}{2\pi} \text{ или } \Delta x \Delta v \geq \frac{h}{2\pi m}, \quad (3)$$

где Δx , Δp , Δv — соответственно неопределенности в положении, импульсе и скорости частицы.

Из соотношений (3) следует, что чем точнее определена координата частицы (чем меньше неопределенность Δx), тем менее определенной становится скорость (больше Δv). И наоборот, чем точнее известен импульс (скорость), тем более неопределено местоположение частицы. Так, если положение электрона определено с точностью до 10^{-12} м, то неопределенность в скорости составит $58 000$ км/с.

Для макрочастиц величина отношения h/m очень мала (т.е. ничтожно малы Δx и Δv), поэтому для них справедливы законы классической механики, в рамках которых скорость и положение частицы могут быть точно определены одновременно.

Квантование энергии, волновой характер движения микрочастиц, принцип неопределенности — все это показывает, что классическая механика непригодна для описания поведения микрочастиц. Так, состояние электрона в атоме нельзя представить как движение материальной частицы по какой-то орбите. Квантовая механика отказывается от уточнения положения электрона в пространстве; она заменяет классическое понятие точного нахождения частицы понятием статистической вероятности нахождения электрона в данной точке пространства или в элементе объема dV вокруг ядра.

§ 2. ЭЛЕКТРОННОЕ ОБЛАКО

Волновая функция. Поскольку движение электрона имеет волновой характер, квантовая механика описывает его движение в атоме при помощи *волновой функции* ψ . В разных точках атомного пространства

эта функция принимает разные значения. Математически это записывается равенством $\psi = \psi(x, y, z)$, где x, y, z — координаты точки. Физический смысл волновой функции: ее квадрат ψ^2 характеризует вероятность нахождения электрона в данной точке атомного пространства. Величина $\psi^2 dV$ представляет собой вероятность обнаружения рассматриваемой частицы в элементе объема dV .

В качестве модели состояния электрона в атоме принято представление об *электронном облаке*, плотность соответствующих участков которого пропорциональна вероятности нахождения там электрона. Одна из возможных форм электронного облака в атоме показана на рис. 2.

Этот рисунок можно интерпретировать следующим образом. Допустим, что в какой-то момент времени нам удалось сфотографировать положение электрона в трехмерном пространстве вокруг ядра. На фотографии это отразится в виде точки. Повторим такое определение тысячи раз. Новые фотографии, сделанные через малые промежутки времени, обнаружат электрон все в новых положениях. Множество таких фотографий при наложении образуют картину, напоминающую облако. Очевидно, облако окажется наиболее плотным там, где наибольшее число точек, т.е. в областях наиболее вероятного нахождения электрона. Очевидно, чем прочнее связь электрона с ядром, тем электронное облако меньше по размерам и плотнее по распределению заряда.

Электронное облако часто изображают в виде *граничной поверхности* (окхватывающей примерно 90% электронного облака). При этом обозначение плотности с помощью точек опускают (рис. 3). Область пространства вокруг ядра, в которой наиболее вероятно пребывание электрона, называют *орбиталью*. Форму и размеры граничной поверхности

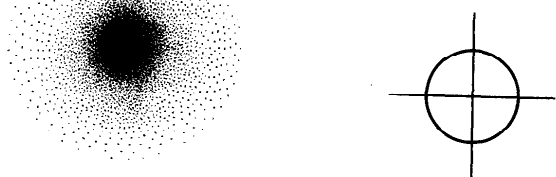


Рис. 2. Электронное облако

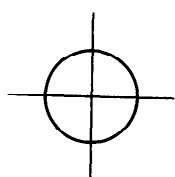


Рис. 3. Сечение граничной поверхности

ности принято считать формой и размером орбитали (электронного облака).

Вычисление вероятности нахождения электрона в данном месте атома (молекулы) и его энергии — сложная математическая проблема. Она решается с помощью уравнения, получившего название *волнового уравнения Шредингера*.

Уравнение Шредингера связывают волновую функцию ψ с потенциальной энергией атома U и его полной энергией E :

$$\frac{\hbar^2}{8\pi^2 m} \nabla^2 \psi + (E - U)\psi = 0,$$

где первый член соответствует кинетической энергии электрона; $\nabla^2 \psi = \frac{\partial^2 \psi}{\partial x^2} + \frac{\partial^2 \psi}{\partial y^2} + \frac{\partial^2 \psi}{\partial z^2}$ — сумма вторых производных волновой функции ψ по координатам x, y и z ; m — масса электрона; \hbar — постоянная Планка.

Не выясняя математический смысл волнового уравнения, отметим, что его приемлемые решения возможны только при вполне определенных дискретных значениях энергии электрона. Различным функциям $\psi_1, \psi_2, \psi_3, \dots, \psi_n$, которые являются решением волнового уравнения, соответствует свое значение энергии: $E_1, E_2, E_3, \dots, E_n$.

Волновая функция, являющаяся решением уравнения Шредингера, называется *орбиталью*.

На рис. 4 и 5 показаны графики изменения ψ и ψ^2 для электрона атома водорода в зависимости от расстояния от ядра r , отвечающие двум разным значениям его энергии. Изображенные на рис. 4 кривые не зависят от направления, в котором откладывается измеряемое расстояние r . Это означает, что электронное облако обладает сферической симметрией (см. рис. 2 и 3). Кривая

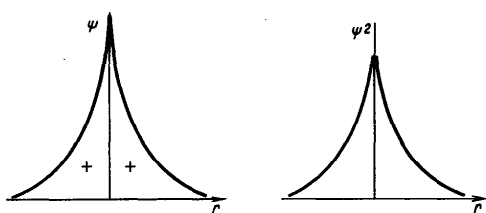


Рис. 4. Графики Ψ и Ψ^2 для электрона атома водорода с наименьшей энергией



Рис. 5. Графики Ψ и Ψ^2 для электрона атома водорода в возбужденном состоянии

ψ расположена по одну сторону от оси расстояний (оси абсцисс), т.е. волновая функция имеет постоянный знак; будем считать его положительным.

При другом значении электрона кривые ψ и ψ^2 имеют вид, показанный на рис. 5. В этом случае по одну сторону от ядра волновая функция положительна, по другую — отрицательна; в начале координат значение ψ обращается в нуль. Кривая же ψ^2 , естественно, соответствует только положительным значениям ψ . Рассматриваемая волновая функция и ее квадрат не обладают сферической симметрией. Электронное облако сосредоточено вдоль оси x , а в плоскости yz , перпендикулярной этой оси, вероятность пребывания электрона равна нулю. Поэтому электронное облако имеет форму гантели.

§ 3. АТОМНЫЕ ОРБИТАЛИ

Квантовые числа. Орбиталь можно описать с помощью набора квантовых чисел: n — главное квантовое число, l — орбитальное квантовое число, m_l — магнитное квантовое число.

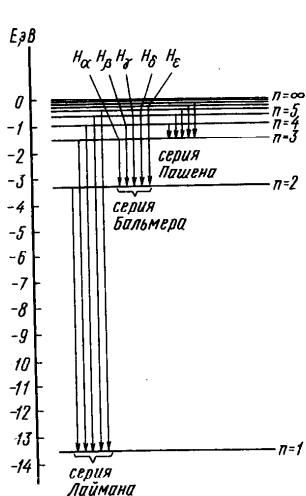
Главное квантовое число. Энергетические уровни. Согласно условиям квантования электрон в атоме может находиться лишь в определенных квантовых состояниях, соответствующих определенным значениям его энергии связи с ядром.

Так, волновые функции, получаемые решением волнового уравнения для атома водорода, соответствуют только таким энергиям, которые задаются выражением

$$E = -21,76 \cdot 10^{-19} \frac{1}{n^2} \text{Дж} \quad \text{или} \quad E = -13,6 \frac{1}{n^2} \text{эВ},$$

где n — главное квантовое число; $n = 1, 2, 3, \dots, \infty$.

Переход электрона из одного квантового состояния в другое связан со скачкообразным изменением его энергии. Графически энергию квантовых состояний и квантовые переходы электронов можно изобразить с помощью схемы энергетических уровней (рис. 6). На схеме горизонтальные линии проведены на высотах, пропорциональных



значениям энергии электрона в атоме водорода. Вертикальные стрелки указывают на возможные квантовые переходы.

Квантовое состояние атома с наименьшей энергией E_1 называют **основным**. Остальные квантовые состояния с более высокими уровнями энергии E_2, E_3, E_4, \dots , называют **возбужденными**. Электрон в основном состоянии связан с ядром наименееочно. Когда же атом находится в возбужденном состоянии, связь электрона с ядром ослабевает вплоть до отрыва электрона от атома при E_∞ и превращения его в положительно заряженный ион.

В основном состоянии атом может находиться неограниченное время, в возбужденном же состоянии — ничтожные доли секунды (10^{-8} — 10^{-10} с).

Возбуждение атома происходит при нагревании, электроразряде, поглощении света и т.д. При этом в любом случае атом поглощает лишь определенные кванты энергии, соответствующие разности энергетических уровней электронов. Обратный переход электрона сопровождается выделением точно таких же квантов энергии.

Квантовые переходы электрона соответствуют скачкообразному изменению среднего размера электронного облака: уменьшение энергии связи электрона с ядром соответствует увеличению объема облака; увеличение энергии связи — скатию облака.

Атомные спектры. Экспериментально квантование энергии атомов обнаруживается в их спектрах поглощения и испускания. Атомные спектры имеют линейчатый характер (рис. 7). Возникновение линий в спектре обусловлено тем, что при возбуждении атомов (нагревании газа, электроразряде и пр.) электроны, принимая соответствующие порции энергии, переходят в состояние с более высокими энергетическими уровнями. В таком возбужденном состоянии атомы находятся лишь ничтожные доли секунды. Переход электронов в состоянии с более низкими энергетическими уровнями сопровождается выделением кванта энергии. Это отвечает появлению в спектре отдельных линий,



Рис. 7. Линии видимого спектра атомного водорода (серия Бальмера)

соответствующих излучению определенной частоты колебаний (длины волн).

Поскольку газообразный атомный водород содержит множество атомов в разных степенях возбуждения, спектр состоит из большого числа линий.

Квантовые переходы возбужденных электронов с различных уровней на первый (см. рис. 6) отвечают группе линий, находящихся в ультрафиолетовой области (серия Лаймана); переходы возбужденных электронов на второй уровень в основном соответствуют видимой области спектра (серия Бальмера); другие серии переходов выражены длинноволновой областью спектра. Видимый спектр водорода (см. рис. 7) возникает при переходе возбужденных электронов в состояние с главным квантовым числом $n = 2$ (серия Бальмера).

Орбитальное квантовое число. Формы орбитали. Для характеристики формы орбитали, а следовательно, и формы электронного облака введено орбитальное квантовое число l . Допустимые значения числа l определяются значением главного квантового числа n . Квантовое число l имеет значения: 0, 1, 2, 3, ..., $(n - 1)$.

Орбитальное квантовое число l принято обозначать буквами:

Орбитальное квантовое число l	0 1 2 3 4 5
Обозначения	s p d f g h

Для каждого значения главного квантового числа орбитальное число принимает значения, заключенные между 0 и $(n - 1)$:

Главное квантовое число n	Орбитальное квантовое число l	Обозначение орбитали (электронного облака)
1	0	1s
2	0, 1	2s, 2p
3	0, 1, 2	3s, 3p, 3d
4	0, 1, 2, 3	4s, 4p, 4d, 4f

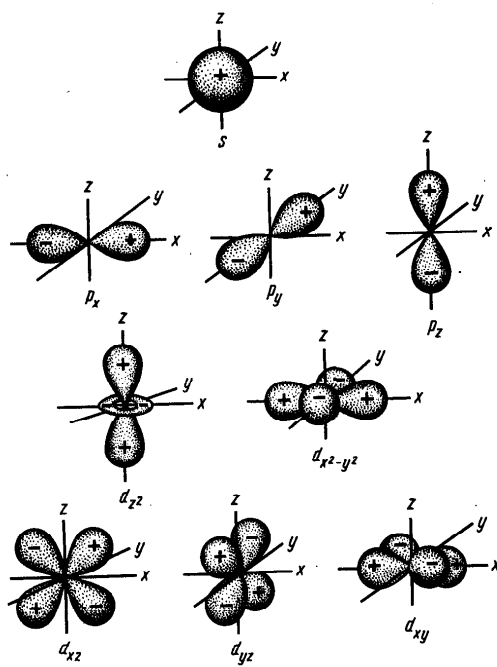


Рис. 8. Форма s -, p - и d -орбиталей. Показаны также знаки волновой функции

Таким образом, для электрона первого энергетического уровня ($n = 1$) возможна только одна форма орбитали, для второго энергетического уровня ($n = 2$) возможны две формы орбиталей, для третьего уровня ($n = 3$) — три и т.д.

Согласно квантово-механическим расчетам s -орбитали имеют форму шара, p -орбитали — форму гантели, d - и f -орбитали — более сложные формы. Формы граничной поверхности s -, p - и d -орбиталей показаны на рис. 8.

При обозначении состояния электрона главное квантовое число пишут перед символом орбитального квантового числа. Например, $4s$ означает электрон, у которого $n = 4$ и $l = 0$ (облако имеет форму

24

шара); $2p$ означает электрон, у которого $n = 2$ и $l = 1$ (облако имеет форму гантели) и т.д.

Магнитное квантовое число. Пространственная ориентация орбиталей. Для характеристики пространственного расположения орбиталей применяется магнитное (ориентированное) квантовое число m_l .

Число значений магнитного квантового числа зависит от орбитального квантового числа и равно $(2l + 1)$:

Орбитальное квантовое число l	Магнитное квантовое число m_l	Число орбиталей с данным значением l
0	0	1
1	1, 0, -1	3
2	2, 1, 0, -1, -2	5
3	3, 2, 1, 0, -1, -2, -3	7

s -состоянию отвечает одна орбиталь, p -состоянию — три, d -состоянию — пять, f -состоянию — семь и т.д. Орбитали с одинаковой энергией называются *вырожденными*. Таким образом, p -состояние вырождено трехкратно, d -состояние — пятикратно, а f -состояние — семикратно. Общее же число орбиталей данного энергетического уровня равно n^2 .

По характеру ориентации в пространстве p -орбитали обозначают p_x , p_y и p_z (см. рис. 8). d -Орбитали, ориентированные своими лопастями по осям координат, обозначают $d_{x^2-y^2}$ и d_{z^2} , а d -орбитали, ориентированные лопастями между осями координат, обозначают d_{xy} , d_{yz} и d_{zx} (см. рис. 8).

Различие в ориентации электронных облаков относительно друг друга позволяет объяснить спектры атомов в магнитном поле. При действии на атомы внешнего магнитного поля происходит расщепление линий их спектров — возникновение новых близлежащих линий. Это обусловлено изменением характера расположения электронных облаков относительно друг друга в соответствии с "дозволенными" углами поворота каждого из них в магнитном поле.

Радиальное распределение электронной плотности. Распределение электронной плотности относительно ядра изображают с помощью кривой радиального распределения вероятности (рис. 9). Эта кривая показывает вероятность того, что электрон находится в тонком концентрическом шаровом слое радиуса r толщины dr вокруг ядра. Объем этого слоя $dV = 4\pi r^2 dr$. Общая вероятность нахождения электрона в этом слое $(4\pi r^2 dr)\psi^2$.

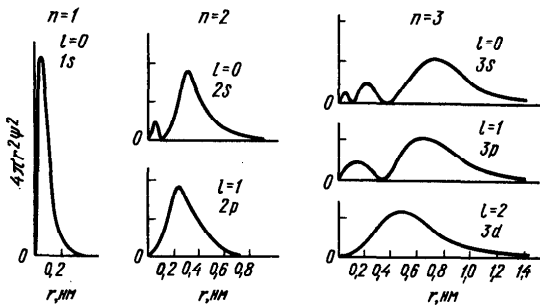


Рис. 9. Радиальное распределение вероятности нахождения электрона (электронной плотности) в атоме водорода на расстоянии r от ядра

Рис. 9 отражает зависимость $4\pi r^2 dr$ от r . Как видно, электрон любой орбитали определенное время находится в области, близкой к ядру. При этом вероятность нахождения вблизи ядра при данном значении главного квантового числа для s -электрона наибольшая, меньше — для p -электрона, еще меньше — для d -электрона и т.д. Электронная плотность по орбиталам распределяется неравномерно. Нулевые положения на кривой называются *узлами*. Они отвечают изменению знака волновой функции (см. рис. 5).

Число максимумов на кривой распределения электронной плотности определяется главным квантовым числом. Для s -электронов число максимумов на кривой вероятности нахождения электрона численно равно значению главного квантового числа, для p -электронов — на единицу меньше, а для d -электронов — на две единицы меньше значения главного квантового числа.

Спиновое квантовое число. Изучение тонкой структуры атомных спектров показало, что кроме различия в размере облаков, их формы и характера расположения относительно друг друга электроны различаются *спином**. Спин можно представить как веретенообразное вращение электрона вокруг своей оси. Для характеристики спина электрона вводится четвертое квантовое число m_s , называемое *спиновым*. Оно имеет значения $+1/2$ и $-1/2$ в зависимости от одной из двух возможных ориентаций спина в магнитном поле.

* Спин по-английски "веретено", "вертеть".

Принцип Паули. В 1925 г. В. Паули был высказан принцип: в атоме не может быть двух электронов, имеющих одинаковый набор всех четырех квантовых чисел. Иными словами, данными значениями квантовых чисел n , l , m_l , m_s может характеризоваться только один электрон. Для любого другого электрона в атоме должно быть иным значение хотя бы одного из квантовых чисел.

Из принципа Паули непосредственно вытекает, что на одной орбитали может находиться лишь два электрона — с $m_s = +1/2$ и $-1/2$.

Следовательно, в s -состоянии (одна орбиталь) может быть лишь два электрона, в p -состоянии (три орбитали) — шесть, в d -состоянии (пять орбиталей) — десять, в f -состоянии (семь орбиталей) — четырнадцать электронов и т.д.

Поскольку число орбиталей данного энергетического уровня равно n^2 , емкость энергетического уровня составляет $2n^2$ электронов.

ГЛАВА 3. ПЕРИОДИЧЕСКАЯ СИСТЕМА Д.И. МЕНДЕЛЕЕВА КАК ЕСТЕСТВЕННАЯ КЛАССИФИКАЦИЯ ЭЛЕМЕНТОВ ПО ЭЛЕКТРОННЫМ СТРУКТУРАМ АТОМОВ

§ 1. ЭЛЕКТРОННАЯ СТРУКТУРА АТОМОВ

Конфигурация электроподобной оболочки невозбужденного атома определяется зарядом его ядра. Электроны с одинаковым значением главного квантового числа n образуют *квантовый слой* близких по размерам облаков. Слой с $n = 1, 2, 3, 4, \dots$ обозначают соответственно буквами K, L, M, N, \dots . По мере удаления от ядра емкость слоев увеличивается и в соответствии со значением $2n^2$ составляет: 2 ($n = 1$, слой K), 8 ($n = 2$, слой L), 18 ($n = 3$, слой M), 32 ($n = 4$, слой N), ... электронов (табл. 2).

Квантовые слои в свою очередь построены из *подслоев*, объединяющих электроны с одинаковым значением орбитального квантового числа l . Подслой состоит из *орбиталей*.

Наиболее устойчиво состояние атома, в котором электроны имеют самую низкую энергию, т.е. находятся в ближайших к ядру слоях. Последовательность энергетических состояний в порядке возрастания энергии орбиталей многоэлектронного атома можно представить в виде следующего ряда: $1s < 2s < 2p < 3s < 3p < 4s \approx 3d < 4p < 5s \approx 4d < 5p < 6s \approx 5d \approx 4f$ и т.д. (рис. 10).

Порядок заполнения орбиталей данного подслоя подчиняется

Т а б л и ца 2. Квантовые состояния электрона, емкость трех слоев и подслоев электронных оболочек

Главное квантовое число n	1	2	3	4	5	6
Орбитальное квантовое число l	0	0	1	0	0	1
Магнитное квантовое число m_l	0	0	+1	0	-1	0
Спиновое квантовое число m_s	$+\frac{1}{2}$ $-\frac{1}{2}$	$+\frac{1}{2}$ $-\frac{1}{2}$	$+\frac{1}{2}$ $-\frac{1}{2}$	$+\frac{1}{2}$ $-\frac{1}{2}$	$+\frac{1}{2}$ $-\frac{1}{2}$	$+\frac{1}{2}$ $-\frac{1}{2}$
Симметрии орбиталей	1s	2s	2p _x	2p _y	3s	3p _x
Максимальное число электронов с данным значением l (емкость квантового подслоя)	2	2	6	6	2	6
Максимальное число электронов с данным значением n (емкость квантового слоя $2n^2$)	2	8				18
Квантовый слой	K	L	M	N	O	P

правило Хунда: суммарное спиновое число электронов данного подслоя должно быть максимальным.

Это правило означает, что энергетически выгодно, когда в орбитали находится один электрон. Иными словами, орбитали данного подслоя заполняются сначала по одному, затем по второму электрону. Электроны с противоположными спинами на одной и той же орбитали образуют двухэлектронное облако и их суммарный спин равен нулю.

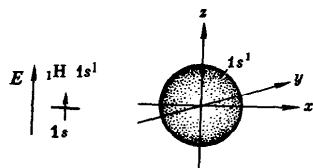
Электронные конфигурации атомов элементов в основном состоянии приведены в табл. 3.

Порядок формирования электронных оболочек атомов можно проследить также по помещенным на форзацах книги вариантам периодической таблицы элементов Д.И. Менделеева.

При составлении схем распределения электронов в атоме пользуются следующими обозначениями: горизонтальная черта — орбиталь, стрелка — электрон, направление стрелки — ориентация его спина.

Р и с. 10. Примерная схема энергетических уровней многоэлектронного атома

Элементы малых периодов. Первый период состоит из двух элементов. В невозбужденном атоме водорода электрон находится на первом энергетическом уровне, т.е. электронная формула невозбужденного атома водорода $1s^1$. Поскольку s -электронное облако имеет форму шара, модель атома водорода можно представить схемой



В соответствии с принципом Паули в одной орбитали могут находиться два электрона с противоположными спинами. Следовательно, электронная формула следующего после водорода элемента — гелия двух s -электрона образуют двухэлектронное облако:

Продолжение табл. 3

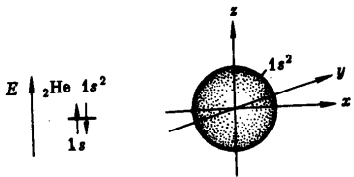
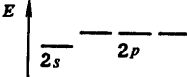


Таблица 3. Электронные конфигурации атомов элементов

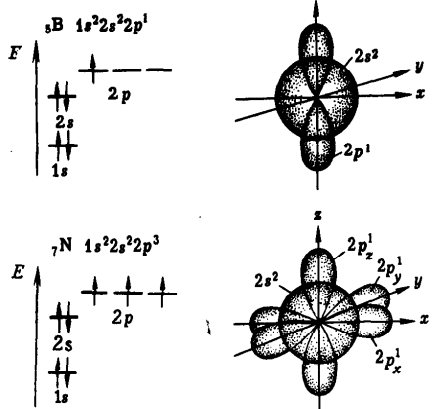
Период	Z	Элемент	Электронная конфигурация	Период	Z	Элемент	Электронная конфигурация
1	1	H	1s ¹		27	Co	3d ⁷ 4s ²
	2	He	1s ²		28	Ni	3d ⁸ 4s ²
	3	Li	[He]2s ¹		29	Cu	3d ¹⁰ 4s ¹
	4	Be	2s ²	4	30	Zn	3d ¹⁰ 4s ²
2	5	B	2s ² 2p ¹		31	Ga	3d ¹⁰ 4s ² 4p ¹
	6	C	2s ² 2p ²		32	Ge	3d ¹⁰ 4s ² 4p ²
	7	N	2s ² 2p ³		33	As	3d ¹⁰ 4s ² 4p ³
	8	O	2s ² 2p ⁴		34	Se	3d ¹⁰ 4s ² 4p ⁴
	9	F	2s ² 2p ⁵		35	Br	3d ¹⁰ 4s ² 4p ⁵
	10	Ne	2s ² 2p ⁶		36	Kr	3d ¹⁰ 4s ² 4p ⁶
	11	Na	[Ne]3s ¹		37	Rb	[Kr]5s ¹
	12	Mg	3s ²		38	Sr	5s ²
3	13	Al	3s ² 3p ¹		39	Y	4d ¹ 5s ²
	14	Si	3s ² 3p ²		40	Zr	4d ² 5s ²
	15	P	3s ² 3p ³		41	Nb	4d ³ 5s ¹
	16	S	3s ² 3p ⁴		42	Mo	4d ⁴ 5s ¹
	17	Cl	3s ² 3p ⁵		43	Tc	4d ⁵ 5s ²
	18	Ar	3s ² 3p ⁶		44	Ru	4d ⁶ 5s ¹
	19	K	[Ar]4s ¹		45	Rh	4d ⁷ 5s ¹
	20	Ca	4s ²		46	Pd	4d ⁸ 5s ⁰
4	21	Sc	3d ¹ 4s ²		47	Ag	4d ⁹ 5s ¹
	22	Ti	3d ² 4s ²		48	Cd	4d ¹⁰ 5s ²
	23	V	3d ³ 4s ²		49	In	4d ¹⁰ 5s ² 5p ¹
	24	Cr	3d ⁴ 4s ¹		50	Sn	4d ¹⁰ 5s ² 5p ²
	25	Mn	3d ⁵ 4s ²		51	Sb	4d ¹⁰ 5s ² 5p ³
	26	Fe	3d ⁶ 4s ²		52	Te	4d ¹⁰ 5s ² 5p ⁴
					53	I	4d ¹⁰ 5s ² 5p ⁵
					54	Xe	4d ¹⁰ 5s ² 5p ⁶

Период	Z	Элемент	Электронная конфигурация	Период	Z	Элемент	Электронная конфигурация
	55	Cs	[Xe]6s ¹		83	Bi	5d ¹⁰ 6s ² 6p ³
	56	Ba	6s ²	6	84	Po	5d ¹⁰ 6s ² 6p ⁴
	57	La	5d ¹ 6s ²		85	At	5d ¹⁰ 6s ² 6p ⁵
	58	Ce	4f ¹ 6s ²		86	Rn	5d ¹⁰ 6s ² 6p ⁶
	59	Pr	4f ² 6s ²				
	60	Nd	4f ³ 6s ²		87	Fr	[Rn]7s ¹
	61	Pm	4f ⁶ s ²		88	Ra	7s ²
	62	Sm	4f ⁷ s ²		89	Ac	6d ¹ 7s ²
	63	Eu	4f ⁷ 6s ²	6	90	Th	6d ² 7s ²
	64	Gd	4f ⁹ 5d ¹ 6s ²		91	Pa	5f ² 7d ¹ 7s ²
	65	Tb	4f ¹⁰ 6s ²		92	U	5f ⁶ d ¹ 7s ²
	66	Dy	4f ¹⁰ 6s ²		93	Np	5f ⁶ 6d ¹ 7s ²
	67	Ho	4f ¹¹ 6s ²		94	Pu	5f ⁶ 7s ²
	68	Er	4f ¹² 6s ²		95	Am	5f ⁷ 7s ²
	69	Tm	4f ¹³ 6s ²		96	Cm	5f ⁶ d ¹ 7s ²
	70	Yb	4f ¹⁴ 6s ²		97	Bk	5f ⁶ d ¹ 7s ²
	71	Lu	4f ¹⁴ 5d ¹ 6s ²	7	98	Cf	5f ⁷ 7s ²
	72	Hf	5d ² 6s ²		99	Es	5f ¹¹ 7s ²
	73	Ta	5d ³ 6s ²		100	Fm	5f ¹² 7s ²
	74	W	5d ⁴ 6s ²		101	Md	5f ¹³ 7s ²
	75	Re	5d ⁵ 6s ²		102	(No)	5f ¹⁴ 7s ²
	76	Os	5d ⁶ 6s ²		103	(Lr)	6d ¹ 7s ²
	77	Ir	5d ⁷ 6s ²		104	Ku	6d ² 7s ²
	78	Pt	5d ⁸ 6s ¹		105	Ns	6d ³ 7s ²
	79	Au	5d ¹⁰ 6s ¹		106	—	6d ⁴ 7s ²
	80	Hg	5d ¹⁰ 6s ²		107	—	6d ⁵ 7s ²
	81	Tl	5d ¹⁰ 6s ² 6p ¹		108	—	6d ⁶ 7s ²
	82	Pb	5d ¹⁰ 6s ² 6p ²		109	—	6d ⁷ 7s ²
					110	—	6d ⁸ 7s ²

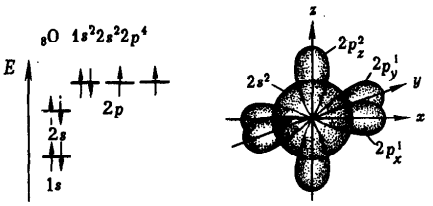
Второй и третий периоды содержат по 8 элементов (см. табл. 3). У элементов 2-го периода заполняется слой L ($n = 2$): сначала 2s-орбиталь, затем последовательно три 2p-орбитали:



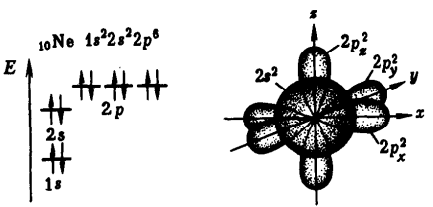
Ниже приведены электронные формулы, а также модели некоторых атомов элементов 2-го периода:



Начиная с кислорода, $2p$ -орбитали заполняются по второму электрону:

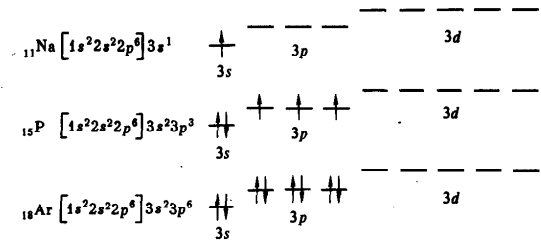


У неона восемь внешних электронов образуют высокосимметричную структуру из четырех двухэлектронных облаков:



В атоме неона достигается максимально возможное число электронов во втором квантовом слое. Таким образом, общее число элементов во 2-м периоде соответствует максимально возможному числу электронов во втором слое атома.

У элементов 3-го периода заполняется слой M ($n = 3$), состоящий из $3s$ -, $3p$ - и $3d$ -орбиталей. Как и во 2-м периоде, у двух первых элементов (Na и Mg) заполняются s -орбитали, у шести последних (Al – Ar) – p -орбитали, например:



У атомов Na, P и Ar в двух первых слоях (K и L) повторяется структура атома неона, поэтому на приведенных схемах показан характер заполнения только внешнего слоя M .

У последнего элемента 3-го периода – аргона Ar (как и у Ne) завершается заполнение s - и p -орбиталей, т.е. внешний слой представляется собой совокупность четырех двухэлектронных облаков (одного в форме шара, трех других – в форме гантеля). Распределение радиальной электронной плотности в атоме аргона показано на рис. 11. На этом рисунке по максимумам распределения электронной плотности можно различить K -, L - и M -слои атома аргона.

Элементы, в атомах которых заполняются s -орбитали, называются s -элементами, а элементы, в атомах которых заполняются p -орбитали, – p -элементами.

Элементы больших периодов. Периоды 4-й и 5-й содержат по 18 элементов (см. табл. 3). У атомов элементов 4-го периода начинает заполняться $4s$ -орбиталь слоя N ($n = 4$). Появление электрона в $4s$ -состоянии при наличии свободных $3d$ -орбиталей обусловливается экра-

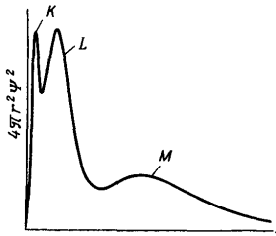
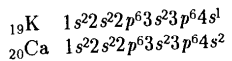


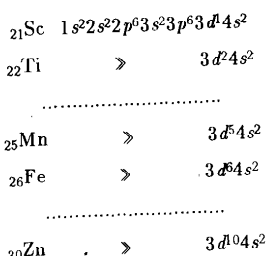
Рис. 11. Распределение электронной плотности в атоме аргона

нированием (заслонением) ядра плотным и симметричным электронным слоем $3s^23p^6$. В связи с отталкиванием от этого слоя для 19-го электрона атома калия и 20-го электрона атома кальция оказывается энергетически выгодным $4s$ -состояние:



При дальнейшем возрастании заряда ядра у следующего после кальция элемента — скандия состояние $3d$ становится энергетически более выгодным, чем $4p$.

Поскольку в d -состоянии может находиться десять электронов, $3d$ -орбитали заполняются и в атомах следующих элементов 4-го периода:

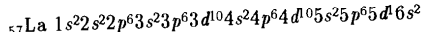


Элементы, в атомах которых заполняются d -орбитали, называются d -элементами. У d -элементов 4-го периода, следовательно, достраиваются слой M до 18 электронов.

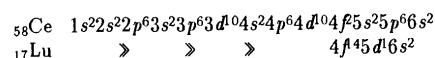
После заполнения $3d$ -орбиталей у следующих шести элементов 5-й (Ga — Kr) заполняются p -орбитали внешнего слоя. Таким образом, 4-й период начинается двумя s -элементами и заканчивается шестью p -элементами, но в отличие от 2-го и 3-го периодов между s - и p -элементами располагаются десять d -элементов.

В 5-м периоде заполнение электронных слоев и подслоев происходит, как и в 4-м периоде, а именно: у двух первых (s -элементов Rb и Sr) и шести последних (p -элементов In — Xe) заполняется внешний слой. Между s - и p -элементами располагаются десять d -элементов (Y — Cd), у которых заполняются d -орбитали предвнешнего слоя ($4d$ — подслой).

Шестой период содержит 32 элемента (см. табл. 3) и тоже начинается двумя s -элементами (Cs и Ba). Далее, у лантана начинает заполняться d -орбиталь предвнешнего слоя ($5d$ -подслой):



У следующих за лантаном 14 элементов (Ce — Lu) энергетически более выгодно $4f$ -состояние по сравнению с $5d$ -состоянием (см. рис. 10). Поэтому у этих элементов происходит заполнение $4f$ -орбиталей (третий снаружи слой):



У последующих элементов ${}_{72}\text{Hf} — {}_{80}\text{Hg}$ продолжают заполняться $5d$ -орбитали. Как и пятый, шестой период завершается шестью p -элементами (${}_{81}\text{Tl} — {}_{86}\text{Rn}$). Таким образом, в 6-м периоде, кроме двух s -элементов, десяти d -элементов и шести p -элементов, располагаются еще четырнадцать f -элементов.

В седьмом периоде имеются два s -элемента (Fr, Ra), за ними следуют d -элемент Ac и четырнадцать f -элементов (Th — Lr), далее снова d -элементы (Ku, Ns, элементы 106—110). В противоположность предыдущим 7-й период не завершен.

Изложенное показывает, что по мере роста заряда ядра происходит закономерная периодическая повторяемость сходных электронных структур элементов, а следовательно, и повторяемость их свойств, зависящих от строения электронной оболочки атомов.

Это отражает следующая формулировка *п е р и о д и ч е с к о г о з а к о н а: свойства простых веществ, а также свойства и формы соединений элементов находятся в периодической зависимости от заряда ядра атомов элементов.*

§ 2. СТРУКТУРА ПЕРИОДИЧЕСКОЙ ТАБЛИЦЫ ХИМИЧЕСКИХ ЭЛЕМЕНТОВ

Существует много вариантов изображения периодической системы элементов Д.И. Менделеева (более 400). Наиболее распространены клеточные варианты, а из них — восьми-, восемнадцати- и тридцатидвухклеточные, соответствующие емкости слоев из 8, 18 и 32 электронов.

Один из вариантов восьмиклеточной таблицы (так называемый короткий вариант) помещен на первом форзаце книги, а тридцатидвухклеточная таблица (длинный вариант) — на втором форзаце книги. Восемнадцатиклеточный вариант приведен в табл. 4.

Химические элементы по структуре невозбужденных атомов подразделяются на естественные совокупности, что отражено в периодической системе в виде горизонтальных и вертикальных рядов — периодов и групп.

Таблица 4. Периодическая таблица элементов Д.И. Менделеева (полудлинный вариант)

Период	I A	II A	III B	IV B	V B	VI B	VII B	VIII B			I B	II B	III A	IV A	V A	VI A	VII A	VIII A
1																	1 H	2 He
2	3 Li	4 Be											5 B	6 C	7 N	8 O	9 F	10 Ne
3	11 Na	12 Mg											13 Al	14 Si	15 P	16 S	17 Cl	18 Ar
4	19 K	20 Ca	21 Sc	22 Tl	23 V	24 Cr	25 Mn	26 Fe	27 Co	28 Ni	29 Cu	30 Zn	31 Ga	32 Ge	33 As	34 Se	35 Br	36 Kr
5	37 Rb	38 Sr	39 Y	40 Zr	41 Nb	42 Mo	43 Tc	44 Ru	45 Rh	46 Pd	47 Ag	48 Cd	49 In	50 Sn	51 Sb	52 Te	53 I	54 Xe
6	55 Cs	56 Ba	57 La	58 Hf	59 Ta	60 W	61 Re	62 Os	63 Ir	64 Pt	65 Au	66 Hg	67 Tl	68 Pb	69 Bi	70 Po	71 At	72 Rn
7	87 Fr	88 Ra	89 Ac	104 Ku	105 Ns	106 Pu	107 Am	108 Cm	109 Bk	110 Dy	111 Ho							
	s								d				p					
	58 Ce	59 Pr	60 Nd	61 Pm	62 Sm	63 Eu	64 Gd	65 Tb	66 Dy	67 Ho	68 Er	69 Tm	70 Yb	71 Lu				
	90 Th	91 Pa	92 U	93 Np	94 Pu	95 Am	96 Cm	97 Bk	98 Cf	99 Es	100 Fm	101 Md	102 (No)	103 (Lr)				
													f					

Периоды и семейства элементов. Как мы видели, период представляет собой последовательный ряд элементов, в атомах которых происходит заполнение одинакового числа электронных слоев. При этом номер периода совпадает со значением главного квантового числа внешнего энергетического уровня. Различие в последовательности заполнения электронных слоев (внешних и более близких к ядру) объясняет причину различной длины периодов.

У атомов s - и p -элементов заполняется внешний слой, у d -элементов — предвнешний, у f -элементов — третий снаружи. Поэтому отличия в свойствах наиболее отчетливо проявляются у соседних s (p)-элементов. У d - и в особенности у f -элементов одного и того же периода отличия в свойствах проявляются менее отчетливо.

36

d- и *f*-элементы данного периода объединяются в семейства. В 4-6-м периодах в семейства по 10 элементов объединяются *d*-элементы. Это семейства 3*d*-(Sc-Zn), 4*d*-(Y-Cd) и 5*d*-(La, Hf-Hg) элементов. В 6-м и 7-м периодах в семейства по 14 элементов объединяются *f*-элементы. Это семейства 4*f*-элементов (Ce-Lu), называемых лантаноидами, и 5*f*-элементов (Th-Lr), называемых актиноидами.

В восьмиклеточных и восемнадцатиклеточных вариантах периодической системы семейства лантаноидов и актиноидов обычно выносят за пределы таблицы (см., например, табл. 4).

Группы и подгруппы. Элементы периодической системы подразделяются на восемь групп. Положение в группах *s*- и *p*-элементов определяется общим числом электронов внешнего слоя. Например, фосфор ($3s^23p^3$), имеющий на внешнем слое пять электронов, относится к V группе, аргон ($3s^23p^6$) — к VIII, кальций ($4s^2$) — ко II группе и т.д.

Положение в группах d -элементов обусловливается общим числом s -электронов внешнего и d -электронов предыдущего слоев. По этому признаку первые шесть элементов каждого семейства d -элементов располагаются в одной из соответствующих групп: скандий ($3d^14s^2$) в III, марганец ($4d^54s^2$) в VII, железо ($3d^64s^2$) в VIII и т.д. Цинк, ($3d^{10}4s^2$), у которого предыдущий слой завершен и внешними являются $4s^2$ -электроны, относится к II группе.

По наличию на внешнем слое лишь одного электрона медь ($3d^14s^1$), а также серебро ($4d^05s^1$) и золото ($5d^16s^1$) относят к I группе. Кобальт ($3d^74s^2$) и никель ($3d^84s^2$), родий ($4d^85s^1$) и палладий ($4d^{10}$), иридий ($5d^44s^2$) и платину ($5d^96s^1$) вместе с Fe, Ru и Os обычно помещают в VIII группу.

В соответствии с особенностями электронных структур семейства $4f$ -элементов (лантаноиды) и $5f$ -элементов (актиноиды) элементов помещают в III группу.

Элементы групп подразделяются на подгруппы. *s*- и *p*-Элементы составляют так называемую *главную* подгруппу, или подгруппу А; *d*-элементы — *побочную*, или подгруппу В. Кроме того, часто в особую подгруппу так называемых типических элементов выделяют элементы малых периодов. В последнем случае, согласно Б.В. Некрасову, элементы группы подразделяются на три подгруппы: типические элементы и две подгруппы, составленные из элементов больших периодов. Например, IV группа периодической системы состоит из следующих подгрупп:

Типические элементы:

$$\begin{array}{ll} \text{C} & 1s^2 2s^2 2p^2 \\ \text{Si} & 1s^2 2s^2 2p^2 3s^2 3p^2 \end{array}$$

Элементы подгруппы германия

Ge ... $3s^23p^63d^104s^24p^2$
 Sn ... $4s^24p^64d^105s^25p^2$
 Pb ... $5s^25p^65d^106s^26p^2$

Элементы подгруппы титана

Ti ... $3s^23p^63d^24s^2$
 Zr ... $4s^24p^64d^25s^2$
 Hf ... $5s^25p^65d^26s^2$

Лантаноиды и актиноиды иногда объединяют во вторые побочные подгруппы. В каждой из них по два элемента — один лантаноид и один актиноид.

ГЛАВА 4. ПЕРИОДИЧНОСТЬ СВОЙСТВ ХИМИЧЕСКИХ ЭЛЕМЕНТОВ

§ 1. ЭНЕРГИЯ ИОНИЗАЦИИ АТОМОВ

Все свойства элементов, определяемые электронной оболочкой атома, закономерно изменяются по периодам и группам периодической системы. Напомним, что в ряду элементов-аналогов электронные структуры сходны, но не тождественны. Поэтому при переходе от одного элемента к другому в группах и подгруппах наблюдается не простое повторение свойств, а их более или менее отчетливо выраженное закономерное изменение.

Химическая природа элемента обуславливается способностью его атома терять и приобретать электроны. Эта способность может быть количественно оценена *энергией ионизации* атома и его *средством к электрону*.

Энергии ионизации атома E_i называется количество энергии, необходимое для отрыва электрона от нейтрального атома.

Энергия ионизации атома выражается в килоджоулях на моль (кДж/моль); допускается внесистемная единица электрон-вольт на моль (эВ/моль).

Для многоэлектронных атомов энергии ионизации $E_1, E_2, E_3, \dots, E_n$ соответствуют отрыву первого, второго и т.д. электронов. При этом всегда $E_1 < E_2 < E_3$, так как увеличение числа оторванных электронов приводит к возрастанию положительного заряда образующегося иона.

Энергии ионизации атомов некоторых элементов приведены в табл. 5.

Из таблицы следует, что энергия ионизации атома зависит от его электронной конфигурации. В частности, завершенные электронные слои обнаруживают повышенную устойчивость. Наи меньшими значениями энергии ионизации E_1 обладают *s*-элементы первой группы (Li, Na, K). Значение же энергий ионизации E_2 у них резко возрастает, что отвечает удалению электрона из завершенного слоя (ns^2np^6 и $2s^2$ у Li).

Таблица 5. Энергия ионизации E_i (МДж/моль) атомов и одноатомных катионов некоторых элементов

Z	Элемент	E_1	E_2	E_3	E_4	E_5	E_6
1	H	1,31					
2	He	2,37	5,25				
3	Li	0,52	7,298	11,81			
4	Be	0,899	1,76	14,85	21,01		
5	B	0,80	2,43	3,66	25,03	32,83	
6	C	1,09	2,35	4,62	6,22	37,83	47,28
7	N	1,40	2,86	4,58	7,47	9,44	53,27
8	O	1,31	3,39	5,30	7,47	10,99	13,33
9	F	1,68	3,37	6,05	8,41	11,02	15,16
10	Ne	2,09	3,95	6,12	9,37	12,18	15,24
11	Na	0,49	4,56	6,91	9,54	13,35	16,61
12	Mg	0,74	1,45	7,73	10,54	13,63	17,99
13	Al	0,58	1,81	2,74	11,58	14,83	18,38
14	Si	0,79	1,58	3,23	4,36	16,09	19,78
15	P	1,01	1,90	2,91	4,96	6,27	21,27
16	S	0,9996	2,51	3,36	4,56	7,01	8,49
17	Cl	1,25	2,297	3,82	5,16	6,54	9,36
18	Ar	1,52	2,67	3,93	5,77	7,24	8,78
19	K	0,42	3,05	4,41	5,88	7,98	9,65
20	Ca	0,59	1,14	4,91	6,47	8,14	10,5
21	Sc	0,63	1,23	2,39	7,09	8,84	10,72
22	Ti	0,66	1,31	2,65	4,17	9,57	11,52
23	V	0,65	1,41	2,83	4,51	6,299	12,36
24	Cr	0,65	1,496	2,987	4,74	6,69	8,74
25	Mn	0,72	1,51	2,25	4,94	6,99	9,2
26	Fe	0,759	1,56	2,96	5,29	7,24	9,6
27	Co	0,768	1,65	3,23	4,95	7,67	9,84
28	Ni	0,74	1,75	3,39	5,30	7,28	10,4
29	Cu	0,75	1,96	3,55	5,33	7,71	9,94
30	Zn	0,91	1,73	3,83	5,73	7,91	10,4
31	Ga	0,58	1,98	2,96	6,2	8,64	—

Аналогично для *s*-элементов II группы (Be, Mg, Ca) удалению электрона из завершенного слоя (ns^2np^6 и $2s^2$ у Be) отвечает резкое повышение энергии ионизации E_3 .

Кривая зависимости энергии отрыва первого электрона от атомного номера элемента (рис. 12) имеет явно выраженный периодический

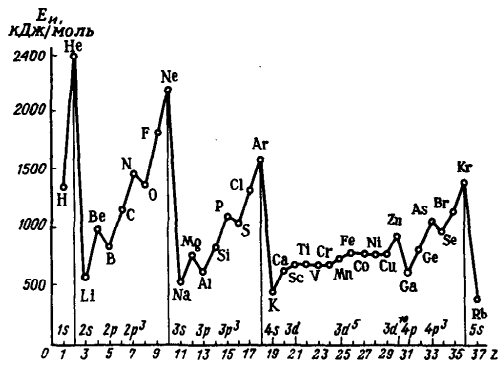


Рис. 12. Зависимость энергии ионизации атомов от атомного номера элемента

характер. Наименьшей энергией ионизации обладают s -элементы I группы, наибольшей — s - и p -элементы VIII группы. Возрастание энергии ионизации при переходе от s -элементов I группы к p -элементам VIII группы обусловливается возрастанием заряда ядра.

Как видно на рис. 12, при переходе от s -элементов I группы к p -элементам VIII группы энергия ионизации изменяется немонотонно, с проявлением *внутренней периодичности*. Сравнительно большим значением энергии ионизации обладают элементы II группы (Be, Mg, Ca) и V группы (N, P, As). В то же время сравнительно меньшее значение энергии ионизации имеют элементы III (B, Al, Ga) и VI (O, S, Se) групп. Причина проявления внутренней периодичности будет обсуждена при рассмотрении конкретных свойств химических элементов (см. ч. 2).

§ 2. СРОДСТВО АТОМА К ЭЛЕКТРОНУ. ЭЛЕКТРООТРИЦАТЕЛЬНОСТЬ АТОМА

Сродство. Сродством атома к электрону E_e называется энергетический эффект присоединения электрона к нейтральному атому Э с превращением его в отрицательный ион \bar{E}^- .

Сродство атома к электрону выражают в кДж/моль; допускается внесистемная единица эВ/моль. Сродство к электрону численно равно, но противоположно по знаку энергии ионизации отрицательно заряженного иона \bar{E}^- .

Понятно, что сродство к электрону зависит от электронной конфигурации атома.

Наибольшим сродством к электрону обладают p -элементы VII группы (табл. 6). Сродства к электрону не проявляют атомы с конфигурацией s^2 (Be, Mg, Ca) и s^2p^6 (Ne, Ar, Kr) или наполовину заполненные p -подслоем (N, P, As):

Li	Be	B	C	N	O	F	Ne
s^1	s^2	s^2p^1	s^2p^2	s^2p^3	s^2p^4	s^2p^5	s^2p^6
59,8	0	-27	-122,3	7	-141,0	-327,9	0

Это является дополнительным доказательством повышенной устойчивости указанных электронных конфигураций.

Таблица 6. Сродство атомов и одноатомных анионов * к электрону E_e

Z	Атом, анион	E_e , кДж/моль	Z	Атом, анион	E_e , кДж/моль
1	H	-72,8	16	S	-200,4
2	He	0	17	S^-	+590
3	Li	-59,8	18	Cl	-348,8
4	Be	0	19	Ar	0
5	B	-27	20	K	-48,4
6	C	-122,3	21	Ca	0
7	N	+7	22	Sc	0
	N^-	+800	23	Ti	-20
	N^{2-}	+1290	24	V	-50
8	O	-141,0	25	Cr	-64
9	O^-	+780	26	Mn	0
9	F	-327,9	27	Fe	-24
10	Ne	0	28	Co	-70
11	Na	-52,7	29	Ni	-111
12	Mg	0	30	Cu	-118,3
13	Al	-44	31	Zn	0
14	Si	-133,6		Ga	-29
15	P	-71,7			

* Отрицательное значение E_e означает экзотермический процесс — выделение энергии при присоединении электрона; положительное значение E_e означает эндотермический процесс (поглощение энергии).

Выделением энергии сопровождается присоединение одного электрона к атомам кислорода, серы, углерода и некоторым другим. Следовательно, для этих элементов силы притяжения к ядру дополнительного электрона оказываются большими, чем силы отталкивания между дополнительным электроном и электронной оболочкой атома.

Присоединение последующих электронов, т.е. двух, трех электронов и более к атому, согласно квантово-механическим расчетам, процесс эндотермический. Поэтому одноатомные (простые) многозарядные анионы (O^{2-} , S^{2-} , N^{3-}) в свободном состоянии не существуют.

Электроотрицательность. Понятие электроотрицательности (ЭО) является условным. Оно позволяет оценить способность атома данного элемента оттягивать на себя электронную плотность по сравнению с атомами других элементов в соединении. Очевидно, что эта способность зависит от энергии ионизации атома и его сродства к электрону. Согласно одному из определений (Малликен) электроотрицательность атома χ может быть выражена как полусумма его энергии ионизации и сродства к электрону: $\chi = \frac{1}{2}(E_i + E_c)$. Имеется около 20 шкал электроотрицательности, в основу расчета значений которых положены разные свойства веществ. Значения электроотрицательностей разных шкал отличаются, но относительное расположение элементов в ряду электроотрицательностей примерно одинаково.

В шкале электроотрицательностей по Полингу (рис. 13), электроотрицательность фтора принята равной 4,0. Как видно на рис. 13, в периодах наблюдается общая тенденция роста электроотрицательности

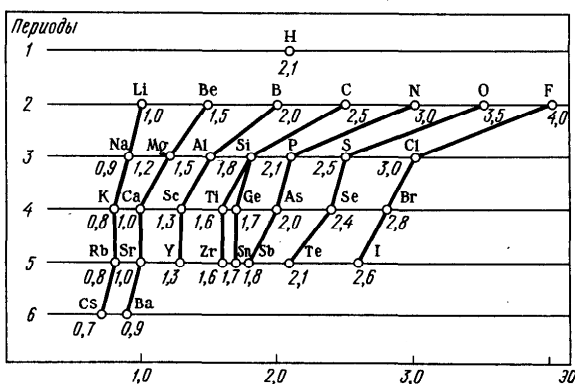


Рис. 13. Шкала электроотрицательностей по Полингу

элементов, а в подгруппах — ее падения. Наименьшими значениями электроотрицательности характеризуются *s*-элементы I группы, а наибольшими — *p*-элементы VII группы.

Строго говоря, элементу нельзя приписать постоянную электроотрицательность. Она зависит от многих факторов, в частности от валентного состояния элемента, типа соединения, в которое он входит, и пр. Тем не менее это понятие полезно для качественного объяснения свойств химической связи и соединений.

§ 3. АТОМНЫЕ И ИОННЫЕ РАДИУСЫ

Вследствие волнового характера движения электрона атом не имеет строго определенных границ. Поэтому измерить абсолютные размеры атомов невозможно. За радиус свободного атома можно принять теоретически рассчитанное положение главного максимума плотности внешних электронных облаков (рис. 14). Это так называемый *орбитальный радиус*. Как видно на рис. 14, в ряду элементов данного периода (Li — Ne) орбитальные радиусы атомов с ростом заряда ядра в целом уменьшаются. Поэтому изменение атомных и ионных радиусов в периодической системе носит периодический характер (рис. 15). В периодах атомные и ионные радиусы по мере увеличения заряда ядра в общем уменьшаются. Наибольшее уменьшение радиусов наблюдается у элементов малых периодов, так как у них происходит заполнение внешнего электронного слоя. В больших периодах в пределах семейств *d*- и *f*-элементов наблюдается более плавное уменьшение радиусов. Это уменьшение называют соответственно *d*- и *f*-скжатием. В подгруппах элементов радиусы атомов и однотипных ионов в общем увеличиваются.

Практически приходится иметь дело с радиусами атомов, связанных друг с другом тем или иным типом химической связи. Такие радиусы следует рассматривать как некоторые

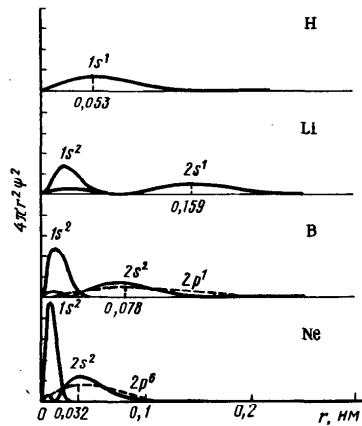


Рис. 14. Схемы распределения радиальной электронной плотности в атомах H, Li, Be и Ne

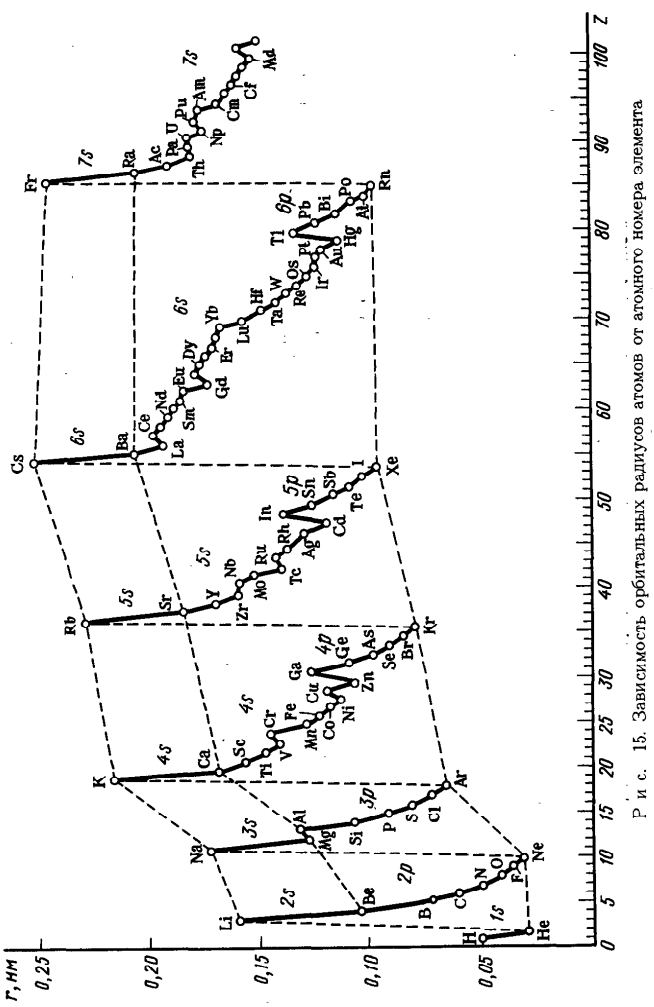


Рис. 15. Зависимость орбитальных радиусов атомов от атомного номера элемента

эффективные (т.е. проявляющие себя в действии) величины. Эффективные радиусы определяют при изучении строения молекул и кристаллов.

§ 4. ВТОРИЧНАЯ ПЕРИОДИЧНОСТЬ

Изменение свойств — энергии ионизации и сродства к электрону, атомных радиусов и т.п. — в подгруппах элементов обычно имеет немонотонный характер (см. рис. 12, 13, 15). На кривых изменения суммы первых четырех энергий ионизации и орбитальных атомных радиусов в ряду C — Si — Ge — Sn — Pb имеются внутренние максимумы и минимумы (рис. 16). Как следствие этого, немонотонный характер проявляется и в изменении других свойств соединений. Немонотонность изменения свойств элементов в подгруппе получила название *вторичной периодичности*.

Немонотонный характер проявляется, например, в значениях энергии диссоциации молекул галогенов в зависимости от атомного номера галогена:

	${}_{\text{9}}\text{F}$	${}_{\text{17}}\text{Cl}$	${}_{\text{35}}\text{Br}$	${}_{\text{53}}\text{I}$
$E_{\text{дис.}}, \text{кДж/моль}$	159	243	190	149

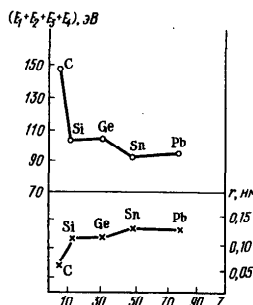


Рис. 16. Зависимость суммы первых четырех энергий ионизации и орбитальных радиусов атомов *p*-элементов IV группы от атомного номера

Раздел II

Химическая связь

Химическая натура сложной частицы определяется натурой элементарных составных частей, количеством их и химическим строением.

A.M. Бутлеров

Валентный штрих — символическое, абстрагированное изображение квантово-механических взаимодействий электрона и атомных ядер.

B.M. Волькинштейн

Учение о химической связи — центральная проблема химии. Не зная природу взаимодействия атомов в веществе, нельзя понять причины многообразия химических соединений, представить механизм их образования, состав, строение и реакционную способность. Создание надежной модели, отражающей строение атомов, молекул и природу сил между ними, позволит определить свойства веществ, не прибегая к эксперименту.

Совокупность химически связанных атомов (например, молекула, кристалл) представляет собой сложную систему атомных ядер и электронов. Химическая связь осуществляется за счет электростатического взаимодействия электронов и ядер атомов.

Современные методы исследования позволяют экспериментально определить пространственное расположение в веществе атомных ядер. Данному пространственному размещению атомных ядер отвечает определенное распределение электронной плотности. Выяснить, как распределяется электронная плотность, по сути дела, и означает описать химическую связь в веществе. Для этого необходимо точное решение уравнения Шредингера, что осуществле-

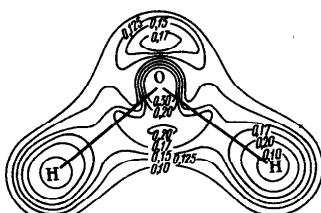


Рис. 17. Распределение электронной плотности в молекуле воды

но только для иона H_2^+ , состоящего из двух протонов и одного электрона. Для систем с двумя и большим числом электронов приходится применять приближенные методы.

Результат приближенного расчета распределения электронной плотности в молекуле воды показан на рис. 17. Контуры линии соединяют места одинаковой электронной плотности.

В зависимости от характера распределения электронной плотности в веществе различают три основных типа химической связи: *ковалентную*, *ионную* и *металлическую*. В "чистом" виде перечисленные типы связи проявляются редко. В большинстве соединений имеет место наложение разных типов связи.

ГЛАВА 1. ОСНОВОПОЛАГАЮЩИЕ ПРЕДСТАВЛЕНИЯ ХИМИЧЕСКОЙ СВЯЗИ

§ 1. НЕКОТОРЫЕ ПАРАМЕТРЫ МОЛЕКУЛЫ

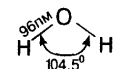
Молекулой называют микрочастицу, образованную из атомов и способную к самостоятельному существованию. Молекула имеет постоянный состав, входящих в нее атомных ядер и фиксированное число электронов.

Информацию о строении вещества можно получить, исследуя его физические и химические свойства. В частности, с помощью физических методов исследования определяют основные параметры молекул — межядерные расстояния, валентные углы и геометрию молекул.

Экспериментально установлено, что в молекуле воды H_2O расстояние между ядрами водорода и кислорода составляет 0,096 нм. Межядерное расстояние между химически связанными атомами называют *длиной связи*.

Угол между воображаемыми линиями, проходящими через ядра химически связанных атомов, называют *валентным*. В молекуле воды он составляет 104,5°.

Таким образом, молекула воды имеет угловую форму (см. рис. 17). Для наглядности можно принять, что в ней две химические связи $O-H$ (длиной $d_{OH} = 0,096 \text{ нм} = 96 \text{ пм}$), расположенные под углом $\angle HOH = 104,5^\circ$. Строение молекулы воды можно выразить структурной формулой:

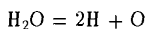


Важнейшей характеристикой химической связи является энергия, определяющая ее прочность. Мерой прочности связи может служить количество энергии, затрачиваемое на ее разрыв. Для двухатомных молекул энергия связи равна энергии диссоциации молекул на атомы. Так, энергия диссоциации $E_{\text{дис}}$, а следовательно, и энергия связи $E_{\text{св}}$ в молекуле H_2 составляют 435 кДж/моль. В молекуле фтора F_2 она равна 159 кДж/моль, а в молекуле азота N_2 — 940 кДж/моль.

Для многоатомных молекул типа AB_n средняя энергия связи $E_{\text{св}}$ $= 1/n$ части энергии диссоциации соединения на атомы:

$$\text{AB}_n = \text{A} + n\text{B}, E_{\text{св}} = E_{\text{дис}}/n.$$

Например, энергия, поглощаемая в процессе



равна 924 кДж/моль H_2O . Но в молекуле воды обе связи $\text{O}-\text{H}$ равнозначны, поэтому средняя энергия связи $E_{\text{св}} = E_{\text{дис}}/2 = 924/2 = 462$ кДж/моль.

Длины и энергии связи, валентные углы, а также экспериментально определяемые магнитные, оптические, электрические и другие свойства веществ непосредственно зависят от характера распределения электронной плотности. Окончательное заключение о строении вещества делаются после сопоставления информации, полученной разными методами. Совокупность экспериментально полученных данных о строении вещества обобщает квантово-механическая теория химической связи.

Химическая связь в основном осуществляется так называемыми валентными электронами. У s - и p -элементов валентными являются электроны орбиталей внешнего слоя, а у d -элементов — электроны — s -орбитали внешнего слоя и d -орбитали предвнешнего слоя.

§ 2. ПРИРОДА ХИМИЧЕСКОЙ СВЯЗИ

Химическая связь образуется только в том случае, если при сближении атомов (двух или большего числа) полная энергия системы (сумма кинетической и потенциальной энергий) понижается.

Рассмотрим простейшую из возможных молекулярных систем — молекулярный ион водорода H_2^+ . (Эта частица получается при облучении молекул водорода H_2 электронами.) В нем один электрон движется в поле двух ядер — протонов. Расстояние между ядрами в H_2^+ равно 0,106 нм, а энергия связи (диссоциации на атом H и ион H^+) составляет 255,7 кДж/моль. Таким образом, эта частица весьма прочная.

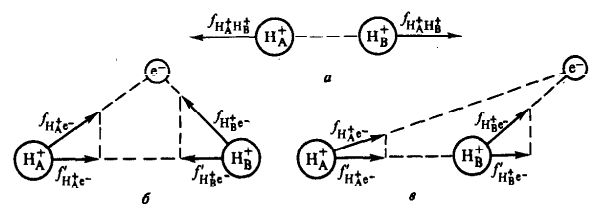


Рис. 18. Силы взаимодействия между протонами и электроном в молекулярном ионе H_2^+

В молекулярном ионе H_2^+ действуют электростатические силы двух типов — силы притяжения электрона к обоим ядрам и силы отталкивания между ядрами (рис. 18).

Сила отталкивания проявляется между положительно заряженными ядрами H_A^+ и H_B^+ (рис. 18, a). Силы притяжения действуют между отрицательно заряженным электроном e^- и положительно заряженными ядрами — протонами H_A^+ и H_B^+ (рис. 18, б, в).

Сила межъядерного взаимодействия $f_{\text{H}_A^+\text{H}_B^+}$ направлена вдоль оси расположения ядер и стремится развести их друг от друга (см. рис. 18, a). Очевидно, молекула образуется в том случае, если равнодействующая сил притяжения и отталкивания равна нулю. Иными словами, взаимное отталкивание ядер (протонов H_A^+ и H_B^+) должно быть скомпенсировано притяжением электрона к ядрам. Эффективность последнего зависит от местоположения электрона e^- относительно ядер.

Конечно, точно определить положение электрона в молекуле невозможно. Но можно рассмотреть вероятность его нахождения в пространстве относительно ядер. Так, в любой момент времени электрон может оказаться в положении, изображенном на рис. 18, б. В другой момент электрон будет находиться уже в новом положении, например изображенном на рис. 18, в.

Сравним результирующее действие сил притяжения и отталкивания при этих конфигурациях. Обозначим силы притяжения электрона к протонам $f_{\text{H}_A^+e^-}$ и $f_{\text{H}_B^+e^-}$, а их проекции $f'_{\text{H}_A^+e^-}$ и $f'_{\text{H}_B^+e^-}$. Когда электрон находится в положении б (см. рис. 18, б), то его притяжение к протонам (силы $f_{\text{H}_A^+e^-}$ и $f_{\text{H}_B^+e^-}$) способствует их сближению (силы $f'_{\text{H}_A^+e^-}$ и

$f'_{H^+e^-}$). Когда же имеет место конфигурация σ (см. рис. 18, а), то возникает другая ситуация. В этом случае силы притяжения ($f'_{H^+e^-}$ и $f'_{H^+_Be^-}$) направлены в одну сторону и отталкивание протонов не компенсируют. Следовательно, согласно возможным положениям электрона относительно двух протонов в молекуле имеется область *связывания* и область *антисвязывания* или *разрыхления* (рис. 19). Если электрон попадает в область связывания, то химическая связь образуется. Если же электрон попадает в область разрыхления, то химическая связь не образуется.

Иными словами, химическая связь возникает в том случае, если электрон оказывается в пространстве между ядрами (в связывающей области). Химическая связь осуществляется за счет электростатического взаимодействия положительно заряженных ядер и отрицательно заряженных электронов. Это приводит к понижению полной энергии системы при образовании молекулы из атомов. Чем больше выделяется при этом энергии, тем прочнее химическая связь.

§ 3. КРИВАЯ ПОЛНОЙ ЭНЕРГИИ ДЛЯ МОЛЕКУЛЫ

Как уже указывалось, для молекулярного иона водорода H_2^+ можно по уравнению Шредингера точно вычислить энергию электрона и распределение электронной плотности. Результат такого расчета отражает рис. 20. Кривая 1 отвечает состоянию, когда электрон находится в связывающей области. Энергетический уровень такого положения электрона назовем *связывающим* и обозначим его σ . Характер этой кривой можно объяснить тем, что по мере сближения протонов в связывающей области (см. рис. 18, б) вначале преобладают силы притяжения, а затем силы отталкивания. Поэтому вначале наблюдается монотонное понижение полной энергии системы, по достижении же минимума — резкое ее увеличение. Минимум на кривой полной энергии отвечает наиболее устойчивому состоянию системы из двух протонов и одного электрона, т.е. устойчивому состоянию иона H_2^+ . Минимум энергии на кривой отвечает равновесному расстоянию между протонами ($d_{\text{HH}} = 0,106 \text{ нм}$), глубина минимума — энергия диссоциации иона H_2^+ на атом H и протон H^+ ($E_{H_2^+} = 255,7 \text{ кДж/моль}$).

Следующий энергетический уровень молекулярного иона водорода

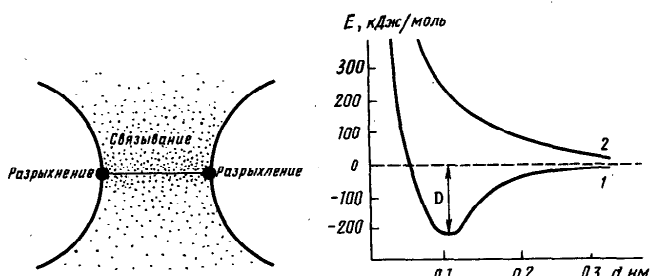


Рис. 19. Области связывания и разрыхления в молекулярном ионе H_2^+

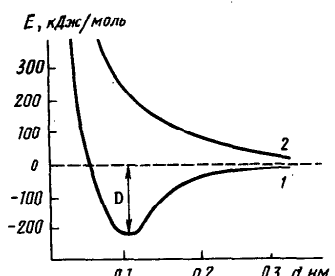


Рис. 20. Зависимость потенциальной энергии молекулярного иона H_2^+ при нахождении электрона в связывающей (кривая 1) и разрыхляющей (кривая 2) областях

(рис. 20, кривая 2) минимума не имеет — молекула в этом состоянии образоваться не может. Подобная ситуация возникает, когда электрон находится за ядрами (см. рис. 18, в), т.е. в разрыхляющей области. В этом случае сила отталкивания протонов не компенсируется силой притяжения к электрону. Энергетический уровень такого положения электрона назовем *разрыхляющим* и обозначим σ^* .

Таким образом, образование химической связи в H_2^+ обусловлено тем, что электрон движется около двух ядер. Между ядрами появляется область с высокой плотностью отрицательного заряда, которая "стягивает" положительно заряженные ядра. Притяжение уменьшает полную энергию системы — возникает химическая связь.

ГЛАВА 2. ТЕОРИЯ МОЛЕКУЛЯРНЫХ ОРБИТАЛЕЙ

§ 1. МОЛЕКУЛЯРНЫЕ ОРБИТАЛИ

Для описания химической связи широко используются два подхода: теория молекулярных орбиталей (МО) и теория валентных связей (ВС). В развитии теории ВС особая заслуга принадлежит Гейтлеру и Лондону, Слетецу и Полингу; в развитии теории МО — Малликену и Хунду.

Согласно теории молекулярных орбиталей молекула рассматривается как совокупность положительно заряженных ядер и отрицательно

заряженных электронов, где каждый электрон движется в поле остальных электронов и всех ядер.

Описать молекулу согласно теории МО — это значит определить тип ее орбиталей, их энергию и выяснить характер распределения электронов по орбиталям, т.е. решить те же задачи, что и при рассмотрении электронных структур атомов.

Как было показано, электрон может находиться в связывающей или разрыхляющей областях молекулы (см. рис. 19). В соответствии с этим различают связывающие и разрыхляющие молекулярные орбитали. В связывающей молекулярной орбитали электронная плотность концентрируется между ядрами, в разрыхляющей молекулярной орбитали — за ядрами, а между ними она равна нулю.

Молекулярные орбитали можно представить как результат комбинации орбиталей атомов, образующих молекулу. Рассмотрим образование орбиталей двухатомной молекулы. Приближение двух атомов их орбитали перекрываются. Из каждого двух перекрывающихся атомных орбиталей образуются две молекулярные орбитали — одна связывающая, другая — разрыхляющая (рис. 21).

Если орбитали атомов А и В, образующих молекулу АВ, обозначить Ψ_A и Ψ_B , то возможные комбинации можно записать:

$$\Psi_+ = c_1 \Psi_A + c_2 \Psi_B; \Psi_- = c_3 \Psi_A - c_4 \Psi_B.$$

Эти комбинации приводят к образованию связывающей молекулярной орбитали Ψ_+ и разрыхляющей молекулярной орбитали Ψ_- .

Коэффициенты c указывают долю участия соответствующих атомных орбиталей в формировании молекулярных.

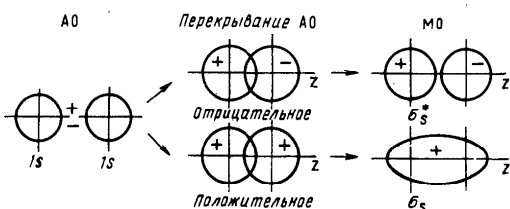
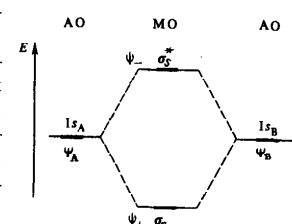


Рис. 21. Схема образования связывающей σ_s и разрыхляющей σ_s^* молекулярных орбиталей при перекрывании атомных s-орбиталей

Для случая двухатомных молекул с одинаковыми ядрами (гомоядерных молекул) вклад атомных орбиталей в молекулярные будет одинаковым, т.е. $c_1 = c_2$ и $c_3 = c_4$.

Молекулярные орбитали обозначают греческими буквами (со звездочкой для разрыхляющей орбитали). Молекулярные орбитали, образованные перекрыванием атомных орбиталей по оси расположения атомных ядер, называются σ -орбитальми.

Примем, что ядра атомов расположены по оси z и перекрывание атомных орбиталей осуществляется по оси. При сложении s-атомных орбиталей образуется связывающая двухцентровая молекулярная орбиталь σ_s . При вычитании атомных орбиталей образуется разрыхляющая двухцентровая молекулярная орбиталь σ_s^* .



Образование молекулярных орбиталей из атомных изображают в виде *энергетической диаграммы*, где по вертикали откладывают значения энергии E орбиталей (рис. 22). Слева и справа на диаграмме приводят энергетические уровни атомных орбиталей, в середине — уровни молекулярных орбиталей.

Связывающая молекулярная орбиталь характеризуется повышенной электронной плотностью в пространстве между ядрами, поэтому такая орбиталь энергетически более выгодна, чем атомные орбитали. Наоборот, на разрыхляющей орбитали электронная плотность кон-

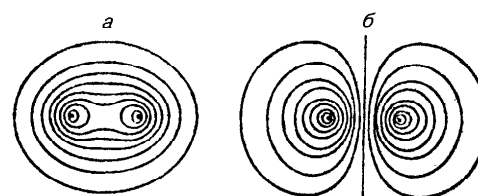


Рис. 23. Распределение электронной плотности в связывающей (*a*) и разрыхляющей (*b*) молекулярных орбиталах молекулярного H_2^+

центрируется за ядрами, поэтому подобная орбиталь энергетически менее выгодна, чем исходные атомные орбитали. Уровень энергии связывающей орбитали на схеме располагают ниже уровня исходных атомных орбиталей. В случае разрыхляющих орбиталей их энергетическое положение на схеме выше исходных атомных орбиталей.

Распределение электронной плотности в связывающей и разрыхляющей молекулярных орбиталях молекулярного иона H_2^+ показано на рис. 23, а, б.

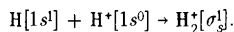
§ 2. ДВУХАТОМНЫЕ ГОМОЯДЕРНЫЕ МОЛЕКУЛЫ

Двухатомные гомоядерные молекулы элементов 1-го периода. У элементов 1-го периода валентной является 1s-орбиталь. Поэтому приведенная на рис. 22 энергетическая диаграмма справедлива для двухядерных молекулярных образований типа H_2^+ , H_2 , He_2^+ , He_2 .

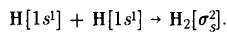
Ион H_2^+ состоит из двух протонов и одного электрона. Естественно, что единственный электрон этого иона должен занимать энергетически наиболее выгодную орбиталь σ_s (см. рис. 22). Таким образом, электронная формула иона H_2^+ в основном состоянии



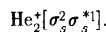
Образование этого иона из атома водорода и протона можно представить уравнением



В молекуле H_2 два электрона. Согласно принципу наименьшей энергии и принципу Паули эти два электрона с противоположными спинами также заселяют σ_s -орбиталь. Реакцию образования молекулы водорода из атомов в системе обозначений теории молекулярных орбиталей можно записать



В молекулярном дигелий-ионе He_2^+ три электрона, два из которых заселяют связывающую, третий — разрыхляющую орбиталь:



В системе из двух атомов гелия He_2 четыре электрона — два на связывающей и два на разрыхляющей орбиталах.

По характеру распределения электронов по молекулярным орбитам можно оценить энергию, длину и порядок связи. Как известно, нахождение электрона на связывающей орбитали означает концентрацию электронной плотности между ядрами, а это обуславливает сокращение межядерного расстояния и упрочнение молекулы. Наоборот, нахождение электрона на разрыхляющей орбитали означает, что электронная плотность концентрируется за ядрами. В этом случае, следовательно, энергия связывания снижается, а межядерное расстояние увеличивается:

	H_2^+	H_2	He_2^+	He_2
Молекулярные орбитали				
σ_s^*	—	—	+	++
σ_s	+	++	++	++
Энергия диссоциации, $E_{\text{дис}}$, кДж/моль	255,7	435	230	—
Межядерное расстояние (длина связи)				
$d, \text{ нм}$	0,106	0,074	0,108	—
Порядок связи	0,5	1	0,5	—

В ряду $\text{H}_2^+ — \text{H}_2 — \text{He}_2^+$ по мере заполнения электронами связывающей орбитали энергия диссоциации молекул возрастает, с появлением же электрона на разрыхляющей орбитали, наоборот, уменьшается. Межядерное расстояние вначале уменьшается, а затем увеличивается. Молекула гелия в невозбужденном состоянии не существует, так как у нее одинаково число связывающих и разрыхляющих электронов.

Характер распределения электронов по орбитальным позволяет оценить порядок связи как полуразность числа связывающих и разрыхляющих электронов:

$$\text{Порядок связи} = \frac{\frac{\text{Число связывающих}}{\text{электронов}} - \frac{\text{Число разрыхляющих}}{\text{электронов}}}{2}$$

Нетрудно подсчитать, что в молекулярном ионе водорода H_2^+ и дигелий-ионе He_2^+ порядок связи равен 0,5, в молекуле водорода — 1, а в системе из двух невозбужденных атомов гелия — нулю.

Двухатомные гомоядерные молекулы элементов 2-го периода. У элементов 2-го периода кроме 1s-орбиталей в образовании молекулярных орбиталей принимают участие 2s-, 2p_x-, 2p_y- и 2p_z-орбитали. Примем, что атомы расположены по оси z. Чтобы атомные орбитали могли комбинироваться с образованием устойчивых молекулярных орбиталей, они должны иметь близкие энергии и перекрываться в заметной степени. С образованием связывающей и разрыхляющей молекулярной орбитали комбинируются те орбитали, взаимное пространственное расположение которых отвечает их положительному и отрицательному перекрыванию.

Если для 2s- и 2p-орбиталей значительно различие по энергии, то перекрывание по типу $s_A - p_B$ ($s_B - p_A$) практически не осуществляется. Можно пренебречь также комбинацией $1s_A - 1s_B$ -орбиталей вследствие ничтожной степени перекрывания очень малых по размеру внутренних 1s-орбиталей. Тогда остальным требованиям отвечают следующие сочетания валентных орбиталей элементов 2-го периода.

Комбинация из 2s-орбиталей (как и 1s-орбиталей) соответствует образованию двух молекулярных σ -орбиталей типа: σ_s и σ_s^* . Характер

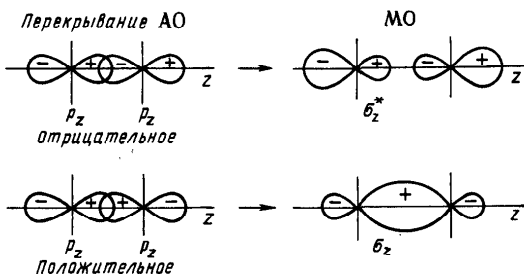


Рис. 24. Схема образования из p_z -атомных орбиталей связывающей σ_z и разрыхляющей σ_z^* молекулярных орбиталей двухатомной гомоядерной молекулы

перекрывания 2p_z-орбиталей существенно отличается от перекрывания 2p_x- и 2p_y-орбиталей. Комбинация атомных 2p_z-орбиталей (вытянуты вдоль оси z) дает молекулярные орбитали σ_z и σ_z^* (рис. 24). Комбинация же двух 2p_x-орбиталей дает молекулярные π -орбитали: π_x и π_x^* (рис. 25). Если вместо атомных 2p_x-орбиталей скомбинировать две 2p_y-орбитали, то получаются аналогичные молекулярные орбитали π_y -типа, но повернутые на 90° вокруг межядерной оси молекулы. Поскольку энергия 2p_x- и 2p_y-орбиталей одинакова и они перекрываются одинаковым способом, возникающие молекулярные орбитали π_x и π_y имеют одинаковую энергию и форму; то же самое относится к π_x^* - и π_y^* -орбиталям.

Можно представить и другие сочетания атомных орбиталей, например, как это показано на рис. 26. Но подобное сочетание к образованию молекулярной орбитали не приводит, так как в этом случае положительное перекрывание полностью компенсируется отрицательным перекрыванием. Это — нулевое перекрывание (накопление электронной плотности в одной области компенсирует ее уменьшение в другой).

Согласно спектроскопическим данным молекулярные орбитали двухатомных молекул элементов, расположенных в конце периода пе-

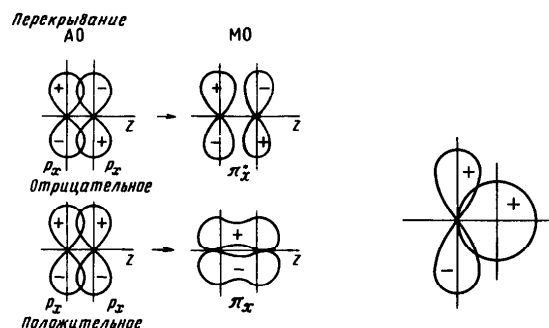


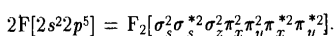
Рис. 25. Схема образования из p_x -атомных орбиталей связывающей π_x и разрыхляющей π_x^* молекулярных орбиталей двухатомной гомоядерной молекулы

Рис. 26. Нулевое перекрывание атомных орбиталей

риодической таблицы, следуют в таком порядке по возрастанию энергии:

$$\sigma_s < \sigma_s^* < \sigma_z < \pi_x = \pi_y < \pi_x^* = \pi_y^* < \sigma_z^*.$$

Энергетические диаграммы атомных и молекулярных орбиталей двухатомных молекул элементов 2-го периода показаны на рис. 27, а. Воспользуемся энергетической диаграммой на рис. 27, а для выяснения распределения электронов по орбитальным в молекуле F_2 . При этом примем во внимание энергетический порядок орбиталей, принцип Паули и правило Гунда. Тогда реакцию образования молекулы F_2 из атомов можно записать так:



При энергетической близости 2s- и 2p-орбиталей электроны на σ_s - и σ_z -орбиталях взаимно отталкиваются и потому π_x - и π_y -орбитали энергетически более выгодны, чем σ_z -орбиталь. В этом случае порядок заполнения молекулярных орбиталей несколько изменяется (рис. 27, б) и соответствует последовательности:

$$\sigma_s < \sigma_s^* < \pi_x = \pi_y < \sigma_z < \pi_x^* = \pi_y^* < \sigma_z^*.$$

Подобная последовательность заполнения характерна для двухатомных молекул элементов начала периода, вплоть до N_2 . Так, элект-

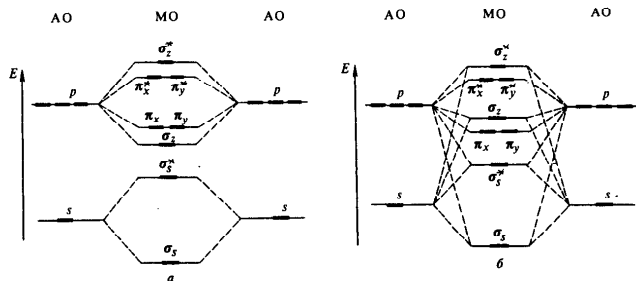
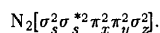


Рис. 27. Энергетическая диаграмма s- и p-атомных и σ - и π -молекулярных орбиталей двухатомной гомоядерной молекулы:

a — при значительном и б — при незначительном энергетическом различии s- и p-орбиталей

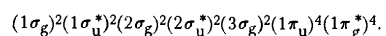
ронную конфигурацию молекулы азота в основном состоянии можно представить следующим образом:



Молекулярные орбитали часто обозначают соответствующими символами, исходя из их поведения при операциях симметрии. Так, если орбитали σ -типа (см. рис. 21, 24) мысленно повернуть вокруг межъядерной оси молекулы на 180° , то полученная форма орбиталей будет неотличима от первоначальной. При повороте знак волновой функции этих орбиталей не изменяется: орбиталь *симметрична* относительно этой операции. Аналогично ведет себя атомная s -орбиталь. Молекулярные орбитали, симметричные относительно вращения вокруг межъядерной оси, обозначают греческой буквой σ (аналог латинского s).

Нетрудно видеть, что молекулярные орбитали π -типа (см. рис. 25) при повороте на 180° вокруг межъядерной оси молекулы оказываются *антисимметричными* относительно этой операции: знак волновой функции изменяется на противоположный. Аналогично поведение атомной p -орбитали. Молекулярные орбитали такого типа обозначают греческой буквой π (π — аналог латинского p).

Для описания орбиталей используется операция симметрии, называемая *инверсией*. Эта операция состоит в следующем. Из какой-либо точки орбитали через ее центр проводят прямую и получают симметрично расположенную вторую точку. Если в новой точке знак волновой функции не изменяется, то орбиталь называется симметричной относительно инверсии. Для обозначения соответственно симметричного и антисимметричного поведения относительно инверсии часто употребляют немецкие слова *gerade* и *ungerade*, что соответствует терминам "четный" и "нечетный". Молекулярные орбитали σ_s и σ_z — четные, их можно обозначить σ_g . К четным относятся также орбитали π_x^* и π_y^* , их можно обозначить π_g^* . Орбитали σ_s^* (σ_z^*) и $\pi_{x,y}$, наоборот, нечетные, и их обозначают σ_u^* и π_u соответственно. Если воспользоваться рассмотренными символами, электронную конфигурацию молекулы фтора с участием 1s-, 2s- и 2p-электронов можно записать следующим образом:



Арабские цифры перед символами орбиталей обозначают номер энергетического уровня, включающего орбитали данной симметрии.

В табл. 7 приведены контурные диаграммы полной и орбитальной электронной плотности в молекулах H_2 , Li_2 , B_2 , построенные с помощью ЭВМ.

Таблица 7. Контуры диаграммы суммарного и орбитального распределения электронной плотности в молекулах H_2 , Li_2 , B_2

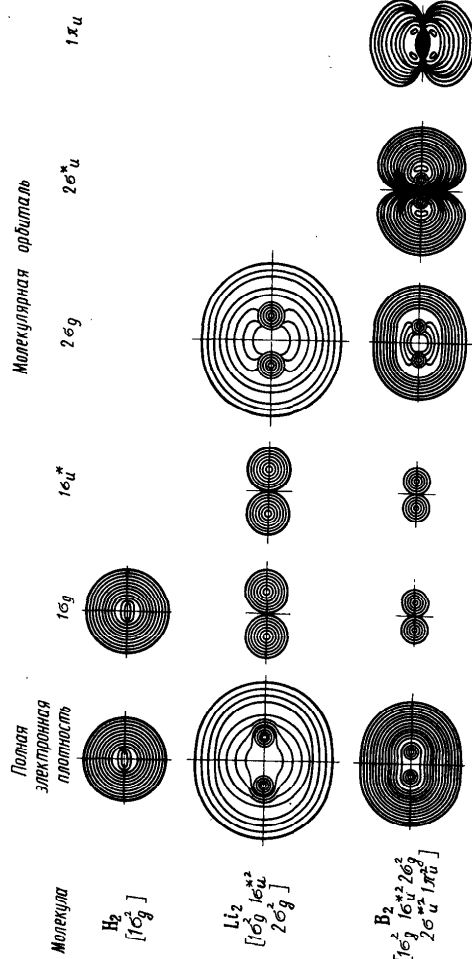


Таблица 8. Энергия, длина и порядок связи двухатомных гомоядерных молекул и ионов элементов 2-го периода

Молекулярные орбитали	B_2	C_2	N_2	N_2^+
σ_z^*	—	—	—	—
π_x^* π_y^*	—	—	—	—
σ_z	—	—	++	++
π_x π_y	++	++	++	++
σ_s^*	++	++	++	++
σ_s	++	++	++	++
Порядок связи	1	2	3	2,5
Межъядерное расстояние, нм	0,159	0,131	0,110	0,112
Энергия диссоциации, кДж/моль	280,4	620	941	843
Молекулярные орбитали	O_2^+	O_2	F_2	(Ne_2)
σ_z^*	—	—	—	++
π_x^* π_y^*	++	++	++	++
π_x π_y	++	++	++	++
σ_z	++	++	++	++
σ_s^*	++	++	++	++
σ_s	++	++	++	++
Порядок связи	2,5	2	1	0
Межъядерное расстояние, нм	0,112	0,121	0,141	—
Энергия диссоциации, кДж/моль	642	494	159	—

Сведения об энергии, длине и порядке связи гомоядерных молекул элементов 2-го периода приведены в табл. 8. Как видно из этих данных, в ряду B_2 — C_2 — N_2 по мере заполнения связывающих молекулярных орбиталей уменьшается межъядерное расстояние и увеличивается энергия диссоциации молекул. В ряду N_2 — O_2 — F_2 по мере заполнения разрывающихся орбиталей, наоборот, межъядерное расстояние возрастает, а энергии диссоциации молекул уменьшаются. Молекула He_2 вообще нестабильна вследствие одинакового числа

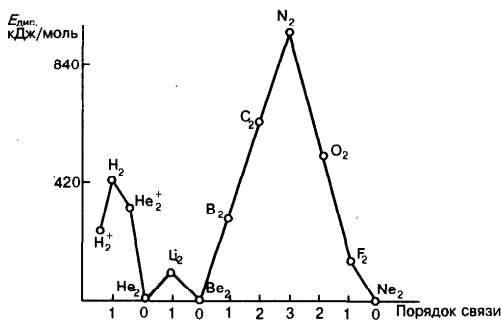


Рис. 28. Зависимость энергии диссоциации молекул от порядка связи

связывающих и разрыхляющих электронов. Аналогично объясняется тот факт, что и остальные благородные газы одноатомны. Зависимость энергии диссоциации молекул от числа из валентных электронов иллюстрирует рис. 28.

Как видно из табл. 8, удаление электрона с разрыхляющей орбитали приводит к возрастанию энергии диссоциации и уменьшению межъядерного расстояния. Об этом свидетельствует, например, сравнение данных для O₂ и O₂⁺. Наоборот, удаление электрона со связывающей орбитали приводит к уменьшению энергии диссоциации и возрастанию межъядерного расстояния, о чем свидетельствует, например, сравнение данных для N₂ и N₂⁺.

Структурные формулы молекул. В простейших случаях характер распределения электронов по молекулярным орбиталам позволяет построить структурную формулу молекулы. Так, в молекуле N₂ (см. табл. 8)

$$\sigma_s^2 \sigma_s^{*2} \pi_x^2 \pi_y^2 \sigma_z^2$$

порядок связи 3 за счет $\pi_x^2 \pi_y^2 \sigma_z^2$ -электронов. Остальные электроны — σ_s^2 и σ_s^{*2} — вклад в химическую связь практически не вносят. Их можно рассматривать принадлежащим отдельным атомам в виде несвязывающих электронных пар:



В молекуле N₂ одна σ -связь и две π -связи.

В молекуле F₂ порядок связи 1:

$$\sigma_s^2 \sigma_s^{*2} \sigma_z^2 \pi_x^2 \pi_y^2 \pi_x^{*2} \pi_y^{*2}$$

Ее осуществляют σ_z^2 -электроны. Электроны других молекулярных орбиталей можно рассматривать как несвязывающие, т.е. принадлежащие отдельным атомам



Сложнее представить таким приемом структурную формулу молекулы кислорода O₂ (см. табл. 8):

$$\sigma_s^2 \sigma_s^{*2} \sigma_z^2 \pi_x^2 \pi_y^2 \pi_x^{*1} \pi_y^{*1}$$

Согласно правилу Хунда, два электрона распределяются по двум π^* -орбиталям: $\pi_x^{*1} \pi_y^{*1}$.

Порядок связи в молекуле O₂ равен 2. За счет σ_z^2 -электронов осуществляется σ -связь.

За счет π -и π^* -электронов осуществляется π -связь. Тогда строение молекулы O₂ можно представить структурными формулами:



Тремя точками обозначены связи, обусловленные двумя π - и одним π^* -электронами, это отвечает порядку связи 0,5.

Во второй формуле непарные точки означают π_x^* - и π_y^* -электроны. Тройная связь обусловлена $\sigma_z^2 \pi_x^2 \pi_y^2$ -электронами. Но за счет двух π^* -электронов порядок связи в молекуле O₂ равен 2.

Распределение электронной плотности в орбиталях молекулы O₂ показан на рис. 29.

Энергия ионизации молекул. В прямой зависимости от характера распределения электронов по связывающим и разрыхляющим молекулярным орбитам находится энергия ионизации молекул. Как мы видели, в двухатомной молекуле связывающие электроны связаны с ядрами прочнее, чем в атоме, а разрыхляющие — наоборот. Таким образом, энергия ионизации молекулы, верхняя занятая орбиталь которой является связывающей, выше, чем таковая свободного атома. Например, энергия ионизации молекулы N₂ (1503 кДж/моль) больше

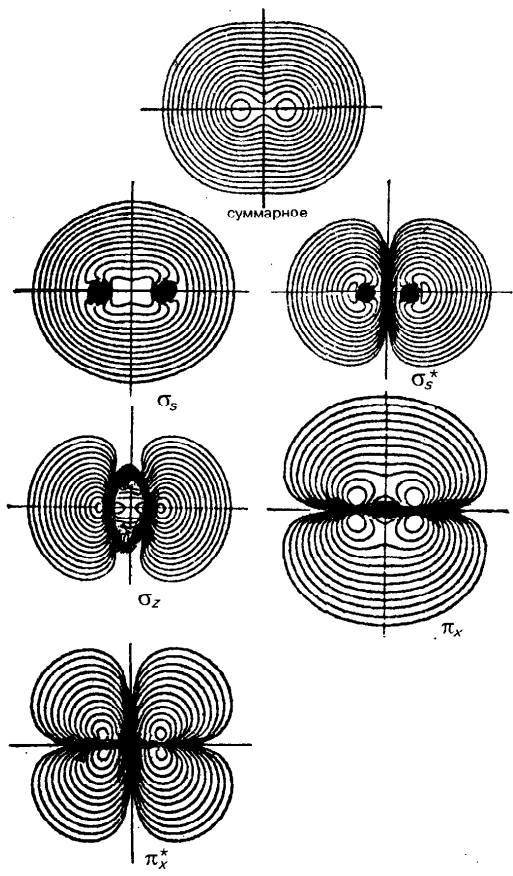


Рис. 29. Распределение электронной плотности в молекуле O_2 по орбиталям σ_s - и σ_s^* , σ_z -, π_x и π_x^*

энергии ионизации атома азота (1402 кДж/моль). Если же верхняя занятая орбиталь молекулы является разрыхляющей, то энергия ионизации молекулы O_2 (1164 кДж/моль) меньше энергии ионизации атома кислорода (1314 кДж/моль).

Магнитные свойства молекул. Характер распределения электронов по молекулярным орбиталам позволяет объяснить магнитные свойства молекул. По магнитным свойствам различают *парамагнитные* и *диамагнитные* вещества. Парамагнитными являются вещества, у которых имеются непарные электроны, у диамагнитных веществ все электроны парные.

Как видно из табл. 8, в молекуле кислорода имеется два непарных электрона, поэтому она парамагнитна; молекула фтора непарных электронов не имеет, следовательно, она диамагнитна. Парамагнитны также молекула B_2 и молекулярные ионы H_2^+ и He_2^+ , а молекулы C_2 , N_2 , H_2 — диамагнитны.

Окраска веществ. Теория молекулярных орбиталей позволяет объяснить окраску соединений. Окраска является результатом избирательного поглощения соединением излучения видимой части электромагнитного спектра. Так, если соединение поглощает излучение желто-зеленой части спектра (длина волны 500–560 нм), то наблюдается фиолетовая окраска вещества. Именно такую окраску имеет, например, молекулярный иод.

Тип энергетической диаграммы орбиталей молекулы иода аналогичен диаграмме молекулы фтора (см. табл. 8). Можно считать, что окраска иода в основном обузвана переходу электрона при возбуждении с π^* -орбитали на свободную σ_z^* -орбиталь. Согласно уравнению $\epsilon = h\nu$, этот переход происходит при поглощении электромагнитного излучения с длиной волны порядка 520 нм, т.е. квантов, отвечающих желто-зеленой части спектра.

§ 3. ДВУХАТОМНЫЕ ГЕТЕРОЯДЕРНЫЕ МОЛЕКУЛЫ

Гетероядерные (разноэлементные) двухатомные молекулы описываются так же, как гомоядерные двухатомные молекулы. Однако, поскольку речь идет о разных атомах, энергия атомных орбиталей и их относительный вклад в молекулярные орбитали тоже различны:

$$\Psi_+ = c_1 \psi_A + c_2 \psi_B; \quad \Psi_- = c_3 \psi_A - c_4 \psi_B.$$

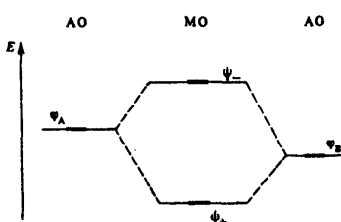


Рис. 30. Энергетическая диаграмма орбиталей гетероядерной двухатомной молекулы

В связывающую орбиталь больший вклад вносит орбиталь более электроотрицательного атома, а в разрыхляющую — орбиталь менее электроотрицательного атома. Допустим, электроотрицательность атома В больше электроотрицательности атома А. Тогда $c_2 > c_1$, $c_3 > c_4$.

Связывающие орбитали по энергии ближе к орбиталям более электроотрицательного атома, разрыхляющие — ближе к орбиталям менее электроотрицательного атома (рис. 30). Образно говоря, электроны на связывающей орбитали большую часть времени проводят вокруг ядра более электроотрицательного атома, а на разрыхляющей орбитали — вокруг ядра менее электроотрицательного атома.

О характере распределения электронной плотности в гетероядерной молекуле можно судить по контурной диаграмме, приведенной на рис. 31 для молекулы CO и изоэлектронной ей гомоядерной молекулы N₂.

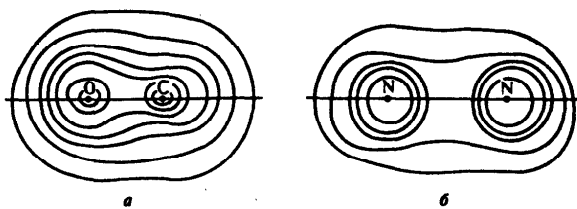


Рис. 31. Контурная диаграмма распределения электронной плотности молекул CO (a) и N₂ (b)

§ 4. ТРЕХАТОМНЫЕ ЛИНЕЙНЫЕ МОЛЕКУЛЫ

Молекула BeH₂. Для многоатомных молекул молекулярная орбиталь составляется из орбитали центрального атома ($\psi_{ц.a}$) и так называемой групповой орбитали ($\psi_{гр}$):

$$\Psi_+ = c_1 \psi_{ц.a} + c_2 \psi_{гр}; \quad \Psi_- = c_3 \psi_{ц.a} - c_4 \psi_{гр}.$$

Групповая орбиталь представляет собой результат комбинации орбиталей периферийных атомов (лигандов).

Рассмотрим трехатомную молекулу BeH₂. Она имеет линейную форму (рис. 32). Роль центрального атома играет атом бериллия, а атомы водорода — роль лигандов. У берилля — элемента 2-го периода — валентными являются 2s-, 2p_x-, 2p_y-, 2p_z-орбитали (рис. 33, а). У атомов водорода — 1s (рис. 33, б). Орбитали 1s двух атомов водорода сочетаются в две групповые орбитали (рис. 33, б). Одна из них ψ_1 состоит из 1s-орбиталей с одинаковым знаком волновой функции, другая ψ_2 — с разными знаками волновой функции. Других сочетаний орбиталей водорода в трехатомной молекуле быть не может.

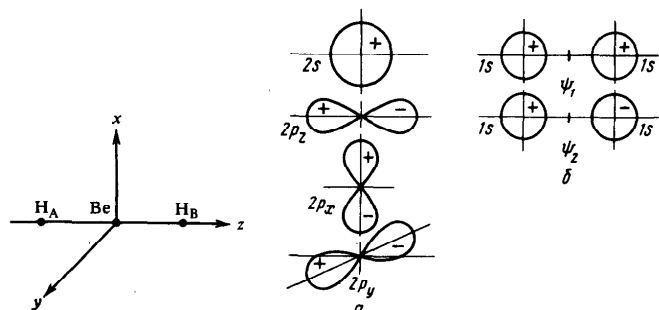


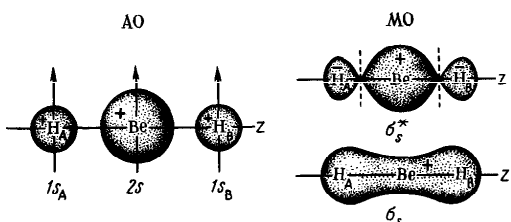
Рис. 32. Взаимное расположение атомов в молекуле BeH₂

Рис. 33. Орбиталь центрального атома (a) и групповые орбитали лигандов (б) для трехатомной линейной молекулы

Как видно из рис. 33, по условиям симметрии возможны следующие сочетания орбиталей центрального атома и групповых орбиталей:

$$\Psi_+(\sigma_s) \approx \psi_{2s} + \psi_1; \quad \Psi_+(\sigma_z) \approx \psi_{2p_z} + \psi_2;$$

$$\Psi_-(\sigma_s^*) \approx \psi_{2s} - \psi_1; \quad \Psi_-(\sigma_z^*) \approx \psi_{2p_z} - \psi_2.$$



Р и с. 34. Схема образования σ_s -связывающей и σ_s^* -разрывающей орбиталей молекулы BeH_2

Первое сочетание приводит к образованию трехцентровой связывающей σ_s -и трехцентровой разрывающей σ_s^* -орбиталей (рис. 34). Сочетание $2p_x$ - и ψ_2 -орбиталей приводит к образованию трехцентровой связывающей σ_{z^*} -и трехцентровой разрывающей σ_z^* -орбиталей (рис. 35).

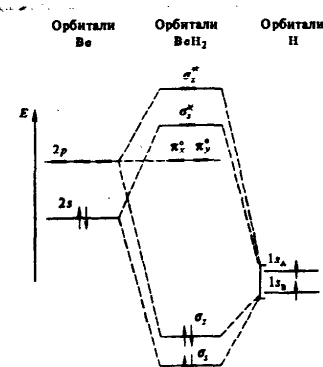
Согласно рис. 33, по условиям симметрии для $2p_x$ - и $2p_y$ -орбиталей атома берилля подходящими групповыми орбиталей нет. (Сочетание $2p_x$, $2p_y$ -орбиталей и ψ_1 -, ψ_2 -орбиталей приводит к нулевому перекрыванию.) Таким образом, $2p_x$ - и $2p_y$ -орбитали в образовании молекулярных орбиталей участия не принимают. Они переходят в молекулу BeH_2 в неизменном состоянии в качестве несвязывающих одноцентровых молекулярных орбиталей, принадлежащих лишь атому берилля (рис. 36). Энергия электронов на несвязывающих орбиталах такая же (вернее, почти такая же), как и на атомных орбиталах. Несвязывающие молекулярные орбитали обозначают π^* -МО (π_x^* и π_y^*).

Диаграмма энергетических уровней молекулы BeH_2 приведена на рис. 37. В соответствии с большей электроотрицательностью водорода его орбитали в схеме расположены ниже орбиталей берилля. Четыре валентных электрона невозбужденной молекулы BeH_2 (два электрона от атома берилля и два от двух атомов водорода) располагаются на σ_s - и σ_{z^*} -орбиталах, что описывается электронной конфигурацией

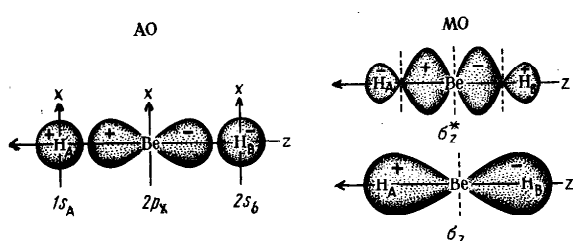
$$\sigma_s^2 \sigma_{z^*}^2$$

Таким образом, химическая связь в молекуле BeH_2 осуществляется за счет двух электронных пар в связывающих трехцентровых σ_s - и σ_{z^*} -орбиталах. Каждая из двух электронных пар в равной степени принадлежит обоим атомам водорода. Поэтому можно считать порядок связи $\text{Be}-\text{H}$ равным 1, а строение этой молекулы выразить структурной формулой $\text{H}-\text{Be}-\text{H}$. Она показывает, что связи $\text{Be}-\text{H}$ равноценны — имеют одинаковую энергию и длину.

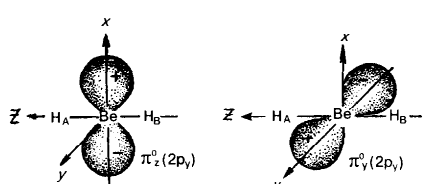
Молекула CO_2 . Молекула оксида углерода (IV) линейная, поэтому построение σ -МО для молекулы CO_2 осуществляется так же, как и для линейной трехатомной молекулы BeH_2 . Однако у атома кислорода в отличие от атома водорода имеются орбитали



Р и с. 37. Энергетическая диаграмма орбиталей линейной трехатомной молекулы без π -связывания на примере BeH_2



Р и с. 35. Схема образования σ_z -связывающей и σ_z^* -разрывающей орбиталей молекулы BeH_2



Р и с. 36. Несвязывающие π^* -орбитали молекулы BeH_2

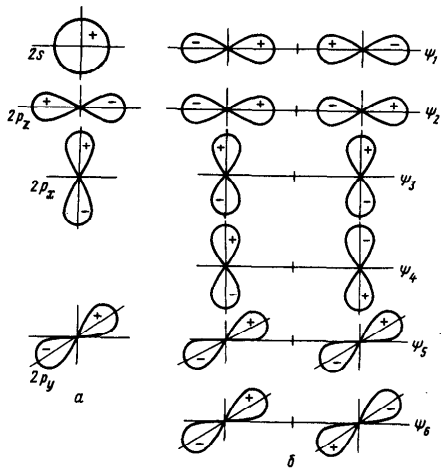


Рис. 38. Орбитали центрального атома (а) и групповые орбитали (б) для трехцентровой линейной молекулы CO_2

p -типа. Следовательно, орбиталей в молекуле CO_2 больше, чем в молекуле BeH_2 .

На рис. 38 показаны валентные орбитали центрального атома углерода и групповые орбитали (атомов кислорода), составленные из их $2p$ -орбиталей. Вследствие большого энергетического различия $2s$ - и $2p$ -орбиталей кислорода участием $2s$ -орбиталей можно пренебречь. Сочетание орбиталей $2s - \psi_1$, $2p_z - \psi_2$ приводит к образованию молекулярных орбиталей σ -типа: σ_s и σ_s^* , σ_z и σ_z^* (рис. 39).

Комбинация орбиталей $2p_z - \psi_3$ и $2p_y - \psi_5$ приводит к образованию трехцентровых орбиталей π -типа: π_x и π_x^* , π_y и π_y^* (рис. 40). Для групповых орбиталей ψ_4 и ψ_6 подходящих по симметрии орбиталей центрального атома нет, поэтому в молекуле CO_2 они играют роль несвязывающих и обозначаются π_x^o и π_y^o . Несвязывающие орбитали локализованы у атомов кислорода (рис. 40).

Энергетическая диаграмма молекулы CO_2 приведена на рис. 41. Распределение двадцати валентных электронов (четыре — атома углерода и восемь —

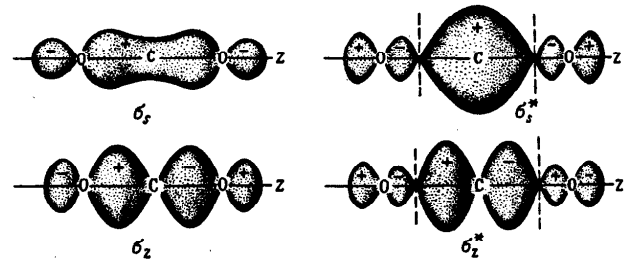


Рис. 39. Связывающие и разрыхляющие σ -орбитали молекулы CO_2

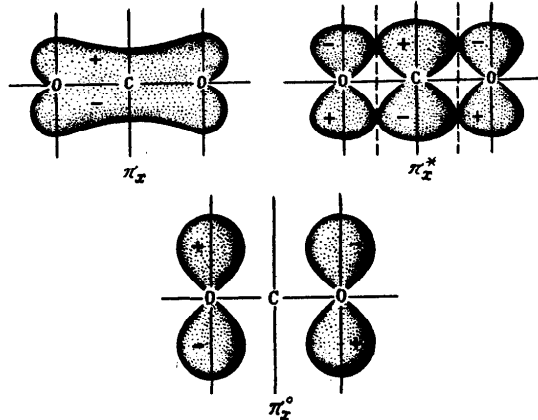


Рис. 40. Связывающие, разрыхляющие и несвязывающие π -орбитали молекулы CO_2

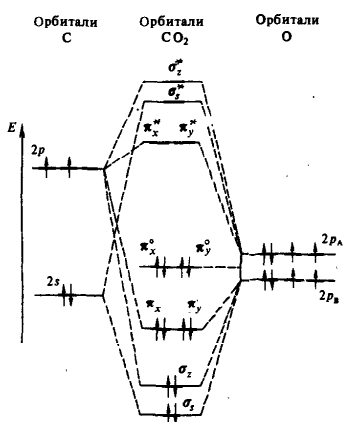


Рис. 41. Энергетическая диаграмма линейной трехатомной молекулы с σ - и π -связями на примере CO₂

дных атомов кислорода) по орбиталам молекулы CO₂ соответствует электронной конфигурации

$$\sigma_s^2 \sigma_z^2 \pi_x^2 \pi_y^2 \pi_z^2$$

При учете 2s-электронов двух атомов кислорода — А и В электронную конфигурацию молекулы CO₂ можно записать:

$$2s^2 2s^2 \sigma_s^2 \sigma_z^2 \pi_x^2 \pi_y^2 \pi_z^2$$

Четыре пары электронов — σ_s^2 , σ_z^2 , π_x^2 , π_y^2 приходятся на четыре трехцентровые связывающие орбитали, т.е. на каждый из атомов кислорода приходит по две пары связывающих электронов. Таким образом, можно считать, что порядок связи между атомами кислорода и углерода в молекуле CO₂ равен 2. Это можно отразить структурной формулой O=C=O.

§ 5. ПЯТИАТОМНЫЕ ТЕТРАЭДРИЧЕСКИЕ МОЛЕКУЛЫ

Относительное расположение атомов водорода и углерода для тетраэдрической молекулы метана CH₄ приведено на рис. 42. Как видно из рисунка, правильный тетраэдр можно получить, поместив

центральный атом в центре куба, а периферийные атомы — в его противоположных вершинах.

В образовании орбиталей молекулы CH₄ принимают участие 2s-, 2p_x, 2p_y и 2p_z-орбитали атома углерода и 1s-орбитали четырех атомов водорода. Возможные способы перекрывания валентных орбиталей атома углерода и четырех атомов водорода показаны на рис. 43.

Комбинация 2s-орбитали углерода и 1s-орбиталей четырех атомов водорода (рис. 43, а) приводит к образованию пятицентровых молекулярных σ_s - и σ_s^* -орбиталей.

Комбинация 2p_x-, 2p_y-, 2p_z-орбиталей углерода и 1s-орбиталей атомов водорода (рис. 43, б) соответствует образованию трех связывающих σ_p (σ_x , σ_y , σ_z) и трех разрыхляющих σ_p^* (σ_x^* , σ_y^* , σ_z^*) пятицентровых молекулярных орбиталей.

Характер перекрывания 2p_x-, 2p_y и 2p_z-орбиталей атома С с 1s-орбиталью атомов Н одинаков. Следовательно, возникающие при этом три молекулярные σ_p -орбитали (или соответственно три σ_p^* -орбитали) имеют одинаковую энергию, т.е. они составляют трижды вырожденный уровень.

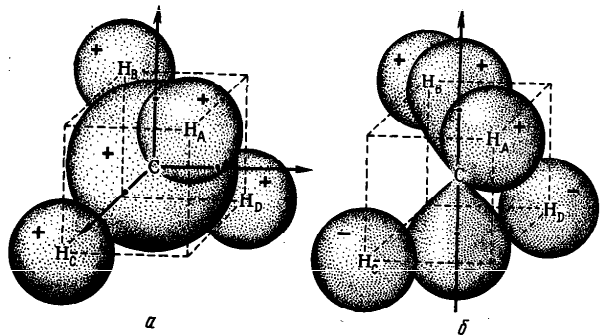
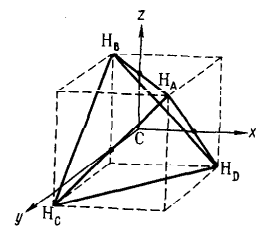
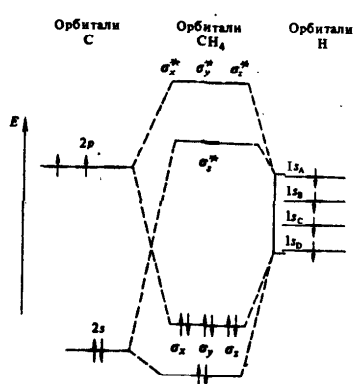


Рис. 43. Перекрывание 2s- (а) и 2p-орбиталей (б) атома углерода с 1s-орбиталью четырех атомов водорода в молекуле CH₄

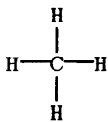


Энергетическая диаграмма орбиталей молекулы метана приведена на рис. 44. Невозбужденная молекула CH_4 имеет два связывающих и два разрыхляющих энергетических уровня. Распределение восьми валентных электронов молекулы метана (четыре от атома С и четыре от атомов Н) соответствует электронной конфигурации

$$\sigma_s^2 \sigma_x^2 \sigma_y^2 \sigma_z^2$$

Каждая из молекулярных орбиталей охватывает все атомы молекулы и поэтому по характеру распределения электронной плотности все четыре

атома водорода равноценны. Это позволяет считать, что в молекуле имеются четыре равноценные связи С—Н:



Валентные электроны располагаются на орбиталах двух энергетических уровней (рис. 44). Поэтому молекула CH_4 имеет два первых потенциала ионизации. Удаление электрона с σ_s -орбитали требует большей энергии (2132 кДж/моль), чем с одной из σ_p -орбитали (1274 кДж/моль).

Как показывают расчеты, 2s-орбиталь атома углерода по своей энергии резко отличается от 1s-орбитали атома водорода. Поэтому по энергетическим условиям комбинация 2s-орбитали атома углерода с четырьмя 1s-орбиталими четырех атомов водорода к заметному перекрыванию не приводит, а следовательно, 2s-орбиталь атома углерода в молекуле метана играет роль несвязывающей. Таким образом, в молекуле CH_4 в действительности химическая связь осуществляется за счет двух 2p-электронов углерода и четырех 1s-элек-

тров четырех атомов водорода. Очевидно, что и при таком объяснении сохраняется вывод о равнозначности всех четырех атомов водорода молекулы метана и равнозначности связей С—Н.

§ 6. СОПОСТАВЛЕНИЕ ЭНЕРГЕТИЧЕСКИХ ДИАГРАММ ОРБИТАЛЕЙ МОЛЕКУЛ РАЗНОГО СТРОЕНИЯ

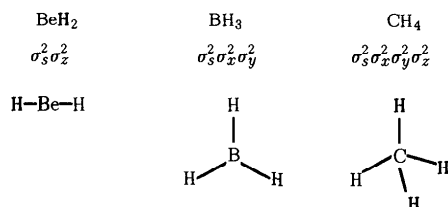
Сопоставим энергетические диаграммы орбиталей линейной, треугольной, тетраэдрической, тригонально-пирамидальной и угловой молекул без π -связей:

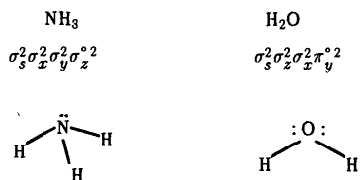
σ_s^*	σ_x^*	σ_y^*	$\sigma_x^* \sigma_y^* \sigma_z^*$	σ_s^*	σ_x^*
σ_s^*	σ_s^*	σ_s^*	σ_s^*	σ_s^*	σ_s^*
π_x^*	π_y^*	π_z^*		π_y^*	π_y^*
σ_z	σ_x	σ_y	σ_y	σ_z	σ_z
σ_s	σ_s	σ_s	σ_s	σ_s	σ_s

BeH₂ BH₃ CH₄ H₃N H₂O
 Линейная Треугольная Тетраэдрическая Пирамидальная Угловая

По мере перехода в этом ряду от линейной к тетраэдрической молекуле число молекулярных σ -орбиталей увеличивается, а число π -орбиталей уменьшается. В тригонально-пирамидальной молекуле число σ -орбиталей то же, что и в треугольной, но вместо несвязывающей π -орбитали имеется несвязывающая σ_z^* -орбиталь.

Распределение электронов по молекулярным орбиталам можно отразить в структурных формулах молекул. Примем во внимание, что нахождение электрона в σ -орбитали соответствует σ -связи между атомами. Электроны σ^* - и π^* -орбиталей играют роль несвязывающих и принадлежат центральному атому:





Как видно из сравнения рис. 37 и рис. 41, для молекул с π -связями энергетическая диаграмма орбиталей сложнее, чем для молекул без π -связей. В частности, вместо несвязывающей π^0 -орбитали в молекулах с π -связыванием имеются π - и π^* -орбитали.

Рассмотрим диаграмму молекулярных орбиталей молекулы BF_3 (рис. 45). Эта молекула, как и молекула BH_3 , имеет форму плоского треугольника. Но так как атомы фтора имеют орбитали, способные к образованию молекулярных орбиталей π -типа, в молекуле BF_3 имеются и молекулярные π - и π^* -орбитали. Если не учитывать 2s-электронов атомов фтора ($2s_a$, $2s_b$, $2s_c$), эта молекула содержит 18 валентных электронов (3 электрона атома B, 15 электронов трех атомов F). Из

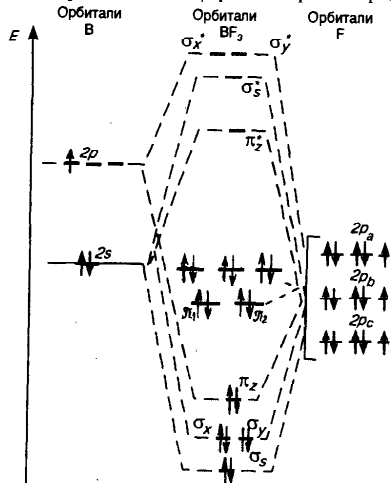


Рис. 45. Энергетическая диаграмма орбиталей треугольной молекулы с σ - и π -связями на примере BF_3

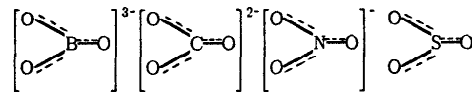
них 8 электронов находятся на четырехцентровых σ_s -, σ_x -, σ_y - и π_z -орбиталях, остальные — на несвязывающих орбиталях, локализованных на атомах фтора. Связывающую электронную конфигурацию молекулы BF_3 можно изобразить формулой

$$\sigma_s^2 \sigma_x^2 \sigma_y^2 \pi_z^2$$

Поскольку в молекуле BF_3 связь осуществляется тремя σ -электронными парами и одной π -электронной парой, порядок связи $\text{B}-\text{F}$ составляет $1 \frac{1}{3}$. Таким образом, можно представить, что между атомом бора и каждым из атомов фтора имеется одна σ -связь, а π -связь делокализована по всем трем связям $\text{B}-\text{F}$. Сказанное можно изобразить следующим образом:



Такое же строение имеют ионы BO_3^{3-} , CO_3^{2-} , NO_3^- и молекула SO_3 , изоэлектронные молекуле BF_3 :



Теория молекулярных орбиталей нашла широкое применение, так как дает самый общий подход ко всем типам химических соединений. Эта теория доминирует в теории химической связи и теоретической химии вообще. Ее математический аппарат наиболее удобен для проведения количественных расчетов с помощью ЭВМ.

ГЛАВА 3. ТЕОРИЯ ВАЛЕНТНЫХ СВЯЗЕЙ

§ 1. НАСЫЩАЕМОСТЬ КОВАЛЕНТНОЙ СВЯЗИ

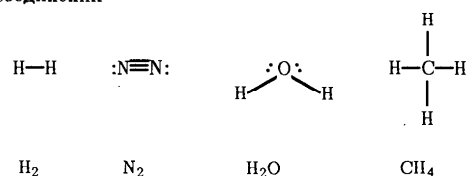
Рассмотрим в рамках теории валентных связей характерные особенности ковалентной связи — насыщаемость, направленность и поляризованность.

Одно из важнейших свойств химической связи — ее насыщаемость. Вследствие насыщаемости связи молекулы имеют определенный состав и существуют в виде дискретных частиц с определенной структурой.

Теория валентных связей (локализованных электронных пар) исходит из положения, что каждая пара атомов в молекуле удерживается

вместе при помощи одной или нескольких общих электронных пар. Таким образом, в представлении теории валентных связей химическая связь локализована между двумя атомами, т.е. она двухцентровая и двухэлектронная.

Обозначение с помощью черточки химической связи в структурных формулах соединений



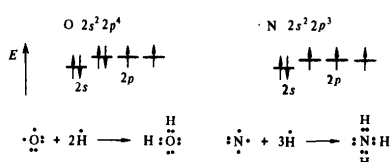
нашло обоснование благодаря теории ВС.

Валентность. Под валентностью подразумевается свойство атома данного элемента присоединять или замещать определенное число атомов другого элемента. Мерой валентности поэтому может быть число химических связей, образуемых данным атомом с другими атомами. Таким образом, в настоящее время под валентностью химического элемента обычно понимается его способность (в более узком смысле — мера его способности) к образованию химических связей. В представлении метода валентных связей числовое значение валентности соответствует числу ковалентных связей, которые образует атом.

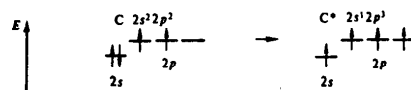
Образование молекулы водорода из атомов можно представить следующим образом (точка означает электрон, черта — пару электронов):



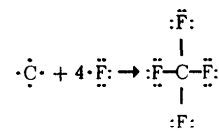
Поскольку пребывание двух электронов в поле действия двух ядер энергетически выгоднее, чем нахождение каждого электрона в поле своего ядра, в образовании ковалентных связей могут принимать участие все одноэлектронные облака. Например, атомы кислорода и азота могут соединяться с двумя и тремя (соответственно) одновалентными атомами водорода:



В ряде случаев число непарных электронов увеличивается в результате возбуждения атома, вызывающего распад двухэлектронных облаков на одноэлектронные. Например, атом углерода в основном состоянии имеет два непарных электрона ($2s^2 2p^2$), а при возбуждении одного из $2s$ -электронов в $2p$ -состояние возникают четыре непарных электрона:

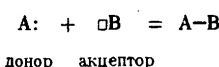


Вследствие этого атом углерода может соединяться, например, с четырьмя атомами фтора ($2s^2 2p^5$), имеющими по одному непарному электрону:



Возбуждение атомов до нового валентного состояния требует затраты определенной энергии, которая компенсируется энергией, выделяющейся при образовании связей С—F.

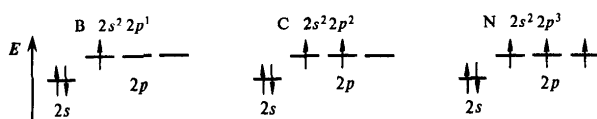
Донорно-акцепторный механизм образования ковалентной связи. Возможен и другой механизм образования двухцентровой двухэлектронной связи, а именно при взаимодействии частиц, одна из которых имеет пару электронов A:, другая — свободную орбиталь $\square\text{B}$:



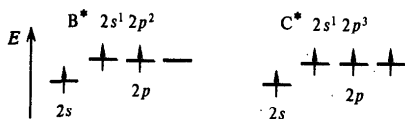
Частица, предоставляющая для связи двухэлектронное облако, называется *донором*; частица со свободной орбиталью, принимающая эту электронную пару, называется *акцептором*.

Механизм образования ковалентной связи за счет двухэлектронного облака одного атома и свободной орбитали другого называется *донорно-акцепторным*.

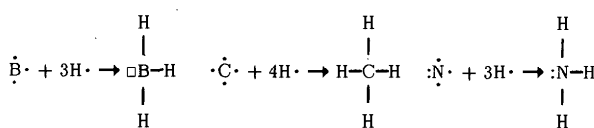
Валентные возможности элементов. Имея в виду оба описанные выше механизма образования ковалентной связи, рассмотрим валентные возможности атомов бора, углерода и азота. Это элементы 2-го периода, и следовательно, их валентные электроны распределяются по четырем орбиталам внешнего слоя: одной 2s- и трем 2p-:



Поскольку у бора и углерода имеются энергетически близкие свободные 2p-орбитали, при возбуждении эти элементы могут приобрести новые электронные конфигурации:

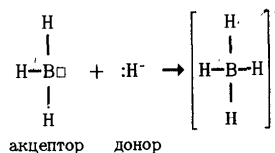


В соответствии с числом непарных электронов атомы B, C и N могут образовать соответственно три, четыре и три ковалентные связи, например с атомами водорода:

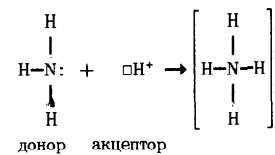


Атом бора имеет свободную орбиталь, поэтому в молекуле BH_3 дефицит электронов. В молекуле же NH_3 при атоме азота имеется неподеленная (песвязывающая) электронная пара. Таким образом, молекула BH_3 может выступать как акцептор, а молекула NH_3 , наоборот, — как донор электронной пары. Иными словами, центральные атомы той и другой молекулы способны к образованию четвертой ковалентной связи по донорно-акцепторному механизму.

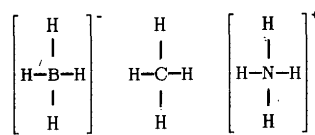
Простейший донор электронной пары — гидрид-ион H^- . Присоединение отрицательного гидрид-иона к молекуле BH_3 приводит к образованию сложного (комплексного) иона BH_4^- с отрицательным зарядом:



Простейший акцептор электронной пары — протон H^+ ; его присоединение к молекуле NH_3 тоже приводит к образованию комплексного иона NH_4^+ , но уже с положительным зарядом:



Из сопоставления структурных формул молекулы CH_4 и комплексных ионов BH_4^- и NH_4^+



видно, что атомы бора, углерода и азота в этих соединениях четырехвалентны. Следует отметить, что в ионах BH_4^- и NH_4^+ все четыре связи равнозначны и переназначимы, следовательно, в ионах заряд делокализован (распределен) по всему комплексу.

Рассмотренные примеры показывают, что способность атома образовывать ковалентные связи обуславливается не только одноэлектронными, но и двухэлектронными облаками или соответственно наличием свободных орбиталей.

§ 2. НАПРАВЛЕННОСТЬ КОВАЛЕНТНОЙ СВЯЗИ

Поскольку электронные облака имеют различную форму, их взаимное перекрывание может осуществляться разными способами. В зависимости от способа перекрывания и симметрии образующегося облака различают σ -, π - и δ -связи (рис. 46).

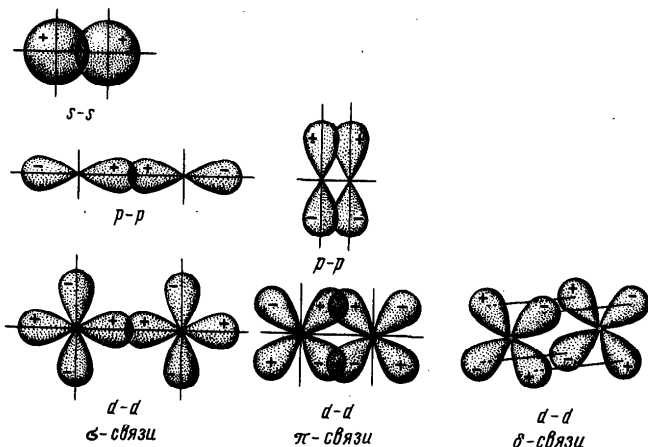


Рис. 46. Схемы перекрывания орбиталей при образовании σ -, π -, δ -связей

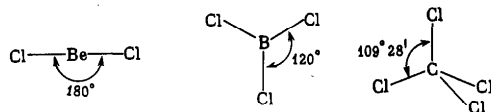
Сигма-связь осуществляется при перекрывании облаков вдоль линии соединения атомов. **Пи-связь** возникает при перекрывании электронных облаков по обе стороны от линии соединения атомов. **Дельта-связь** обязана перекрыванию всех четырех лопастей d-электронных облаков, расположенных в параллельных плоскостях. Исходя из условий симметрии, можно сказать, что электроны s-орбиталей могут участвовать лишь в σ -связывании, p-электроны — уже в σ - и π -связывании, а d-электроны — как в σ - и π -, так и в δ -связывании. Для f-орбиталей способы перекрывания еще разнообразнее.

Максимальное перекрывание облаков, образующих σ -связи, совпадает с линией, соединяющей центры атомов. Поскольку электронные облака (кроме s-области) направлены в пространстве, то и химические связи, образуемые с их участием, пространственно направлены. Так, гантелеобразные p-орбитали расположены в атоме взаимно перпендикулярно. Следовательно, угол между связями, образуемыми p-электронами атома, должен быть 90° . Таким образом, пространственное расположение σ -связей определяет пространственную конфигурацию молекул.

Пространственные формулы молекул весьма разнообразны. Так, молекула CO_2 имеет линейную структуру, молекула CH_4 — тетраэдрическую, молекула NH_3 — пирамидальную, воды — угловую, SO_3 — треугольную.

Для объяснения пространственной конфигурации молекул существует ряд теорий (моделей). Рассмотрим модель гибридизации орбиталей.

Модель гибридизации атомных орбиталей. Обычно химические связи образуются за счет электронов разных энергетических состояний атома. Так, у атомов бериллия ($2s^22p^1$), бора ($2s^12p^2$) и углерода ($2s^22p^3$) в образовании связей одновременно принимают участие как s-, так и p-электроны. Несмотря на различие форм исходных электронных облаков связи, образованные с их участием, оказываются равнозначными и расположены симметрично. В молекулах BeCl_2 , BCl_3 и CCl_4 , например, валентный угол $\text{Cl}-\text{Be}-\text{Cl}$ равен 180° , 120° и $109^\circ 28'$ соответственно:



Как же неравнозначные по исходному состоянию электроны образуют равнозначные химические связи? Ответ на этот вопрос дает представление о *гибридизации валентных орбиталей*. Согласно этому представлению химические связи формируются электронами не "чистых", а "смешанных", так называемых *гибридных орбиталей*. Последние являются результатом смешения атомных орбиталей. Иначе говоря, при гибридизации первоначальная форма и энергия орбиталей (электронных облаков) взаимно изменяются и образуются орбитали (области) новой, но уже одинаковой формы и одинаковой энергии.

Следует отметить, что, как физический процесс, гибридизация орбиталей не существует. Теория гибридизации представляет собой удобную модель наглядного описания молекул.

На рис. 47 показана гибридная орбита, возникшая за счет комбинации s- и p-орбиталей. Она больше вытянута по одну сторону от ядра, чем по другую, т.е. электронная плотность в ней сконцентрирована по одну сторону в большей степени, чем по другую. Поэтому химическая

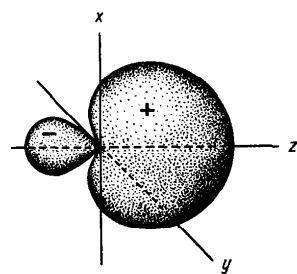


Рис. 47. Форма sp-гибридной орбитали

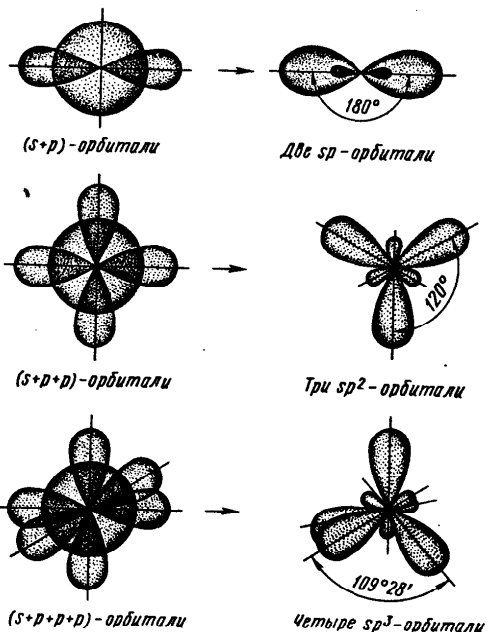
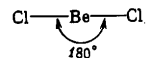


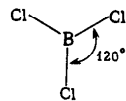
Рис. 48. Гибридизация валентных орбиталей

связь, образованная с участием электрона гибридной орбитали, должна быть более прочной, чем образованная электронами отдельных *s*- и *p*-орбиталей.

Характер гибридизации валентных орбиталей центрального атома и их пространственное расположение определяют пространственную конфигурацию молекул. Так, при комбинации одной *s*- и одной *p*-орбитали возникают две *sp*-гибридные орбитали, расположенные симметрично под углом 180° (рис. 48). Отсюда и связи, образуемые с участием электронов этих орбиталей, также располагаются под углом 180°. Например, у атома бериллия *sp*-гибридизация орбиталей проявляется в молекуле BeCl₂, которая вследствие этого имеет *линейную форму* (рис. 49, *a*).



Комбинация трех орбиталей — одной *s*- и двух *p*-типа — приводит к образованию трех *sp*²-гибридных орбиталей, расположенных под углом 120° (см. рис. 48). Под таким же углом располагаются и связи, образованные с участием электронов этих орбиталей. Например, вследствие *sp*²-гибридизации орбиталей атома бора молекула BCl₃ имеет *треугольную форму* (рис. 49, *b*). Распределение химических связей можно представить следующей схемой:



Комбинация четырех орбиталей — одной *s*- и трех *p*-типа — приводит к *sp*³—*sp*³-гибридизации, при которой четыре гибридные орбитали симметрично ориентированы в пространстве под углом 109°28' (см. рис. 48) к четырем вершинам *тетраэдра* (рис. 49, *c*). Тетраэдричес-

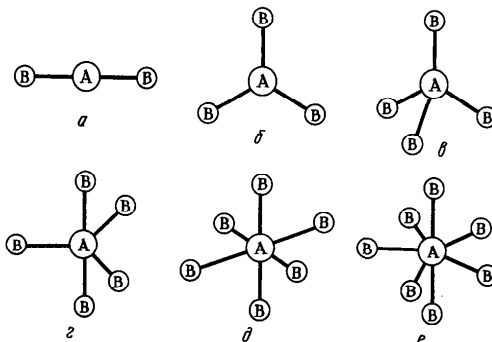
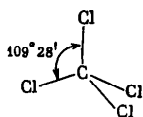


Рис. 49. Пространственное расположение связей и конфигурация молекул:

a — линейная; *b* — треугольная; *c* — тетраэдрическая; *d* — тригонально-бипирамидальная; *e* — октаэдрическая; *e* — пентагонально-бипирамидальная

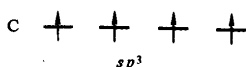
кое расположение связей и форма тетраэдра характерны для многих соединений углерода, например, CCl_4 :



Вследствие sp^3 -гибридизации орбиталей атомов азота и бора аналогичную структуру имеют ионы NH_4^+ и BH_4^- .

Комбинация орбиталей типа одной s -, трех p - и одной d -приводит к sp^3d -гибридизации. Это соответствует пространственной ориентации пяти sp^2d -гибридных орбиталей к вершинам *тригональной бипирамиды* (рис. 49, *и*). В случае sp^3d^2 -гибридизации шесть sp^3d^2 -гибридных орбиталей ориентируются к вершинам *октаэдра* (рис. 49, *д*). Ориентация семи орбиталей к вершинам *пентаэнальной бипирамиды* (рис. 49, *е*) соответствует sp^3d^3 (или sp^3d^2f)-гибридизации валентных орбиталей центрального атома молекулы (комплекса).

Влияние несвязывающей электронной пары на строение молекул. Выше были рассмотрены правильные геометрические формы молекул и комплексов с валентными углами 180, 120 и 109,5, 90°. Однако, согласно экспериментальным данным, значительно чаще встречаются молекулы и комплексы с несколько иными значениями валентных углов. Валентные углы в молекулах NH_3 и H_2O , например, составляют $\angle \text{NHN} = 107,3^\circ$ и $\angle \text{HON} = 104,5^\circ$. Согласно теории гибридизации центральные атомы этих молекул образуют химические связи за счет электронов sp^3 -гибридных орбиталей. У атома углерода на четыре sp^3 -гибридные орбитали приходится четыре электрона:



Это определяет образование четырех связей $\text{C}-\text{H}$ и расположение атомов водорода молекулы метана CH_4 в вершинах тетраэдра (рис. 50).

У атома азота на четыре sp^3 -гибридные орбитали приходится пять электронов:

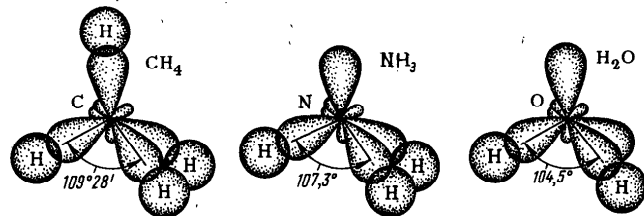
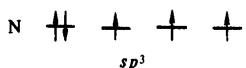
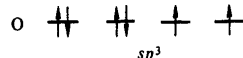


Рис. 50. Перекрывание валентных орбиталей в молекулах CH_4 , NH_3 , H_2O

Следовательно, одна пара электронов оказывается несвязывающей и занимает одну из sp^3 -гибридных орбиталей, направленных к вершине тетраэдра (рис. 50). Молекула NH_3 имеет форму *тригональной пирамиды*.

У атома кислорода на четыре sp^3 -гибридные орбитали приходится шесть электронов:



Теперь уже несвязывающие электронные пары занимают две гибридные sp^3 -орбитали. Молекула H_2O имеет *угловую форму*.

В представлениях теории гибридизации уменьшение валентного угла НЭН в ряду CH_4 ($109^\circ 28'$) — NH_3 ($107,3^\circ$) — H_2O ($104,5^\circ$) объясняется следующим образом. В ряду $\text{C}-\text{N}-\text{O}$ энергетическое различие между $2s$ - и $2p$ -орбиталью увеличивается, поэтому вклад $2s$ -орбиталей при гибридизации с $2p$ -орбиталью уменьшается. Это приводит к уменьшению валентного угла и постепенному приближению его к 90° .

Модель локализованных электронных пар. Согласно этой теории, строение молекулы определяется взаимным отталкиванием связывающих и несвязывающих электронных пар центрального атома. Влияние числа связывающих и несвязывающих электронных пар центрального атома на пространственную конфигурацию молекул типа AB показаны на рис. 51.

Согласно этой теории, молекулы CH_4 , NH_3 и H_2O относятся к молекулам типа AB_4 , AB_3E^* и AB_2E_2 соответственно. Молекула CH_4 имеет форму правильного тетраэдра с атомом углерода в центре (рис. 51, *а*), а в молекуле NH_3 (рис. 51, *б*) одна из вершин тетраэдра занята несвязывающей парой.

*E — несвязывающая электронная пара.

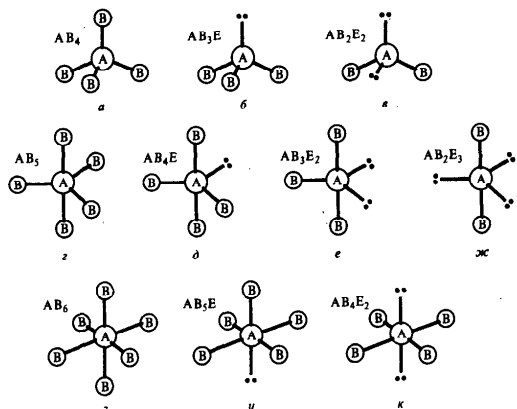


Рис. 51. Влияние связывающих и несвязывающих электронных пар (E) центрального атома на пространственную конфигурацию молекул:

а – тетраэдр; б – тригональная пирамида; в – тригональная бипирамида; г – угловая форма; д – искаженный тетраэдр; е – Т-форма; ж – линейная форма; з – октаэдр; и – тетрагональная пирамида; к – квадрат

зызывающей электронной парой и молекула поэтому имеет форму тригональной пирамиды. В молекуле H_2O (рис. 51, б) две вершины тетраэдра заняты электронными парами, а сама молекула имеет угловую (V-образную) форму.

Связывающая электронная пара (локализованная между двумя атомами) занимает меньше места, чем несвязывающая. Поэтому отталкивание проявляется в наибольшей степени между несвязывающими парами, несколько меньше – между несвязывающей и связывающей парой и наименее – между связывающими электронными парами. Увеличением числа несвязывающих электронных пар центрального атома объясняется уменьшение валентного угла НЭН в ряду CH_4 ($109,5^\circ$; молекула типа AB_4) – NH_3 ($107,3^\circ$; молекула типа AB_3E) – H_2O ($104,5^\circ$; молекула типа AB_2E_2).

Взаимным отталкиванием связывающих и несвязывающих электронных пар центрального атома можно объяснить влияние на размеры валентных углов природы периферических атомов (или их группировок). Например, в ряду NH_3

($107,3^\circ$) и NF_3 (102°), H_2O ($104,5^\circ$) и OF_2 (103°) валентные углы уменьшаются. Связывающее электронное облако занимает тем меньший объем (локализовано в большей степени), чем выше электроотрицательность периферического атома. Поскольку фтор электроотрицательнее водорода, электронная пара связи Э – F локализована в меньшем объеме, чем электронная пара связи О – H. Иными словами, взаимное отталкивание электронных пар связей Э – F меньше, чем электронных пар связей Э – H. Поэтому отталкивающее влияние несвязывающих электронных пар в случае молекул NF_3 и OF_2 приводит к уменьшению валентного угла в большей степени, чем в случае молекул NH_3 и H_2O .

С помощью теории локализованных электронных пар можно показать, что при пяти σ -электронных парах центрального атома А возможны молекулы состава AB_5 тригонально-бипирамидальной формы (рис. 51, г), AB_4E – искаженно-тетраэдрической (рис. 51, д), AB_3E_2 – Т-образной (рис. 51, е) и состава AB_2E_3 – линейной (рис. 51, ж) форм.

Шесть σ -электронным парам атома А отвечают молекулы AB_6 , AB_5E , AB_4E_2 соответственно октаэдрической (рис. 51, з), тетрагонально-пирамидальной (рис. 51, и), квадратной (рис. 51, к) форм.

Влияние числа локализованных электронных пар центрального атома на пространственную конфигурацию молекул показано в табл. 9.

Таблица 9. Число локализованных электронных пар центрального атома и пространственная конфигурация молекул AB_n

число	расположение	σ -Электронные пары атома А		Геометрическая форма и состав молекулы	Примеры
		связывающие	неподеленные		
2	Линейное	2	0	Линейная AB_2	BeH_2 , BeCl_2
3	Треугольное	3	0	Плоский треугольник AB_3	BF_3
		2	1	Угловая AB_2E	SnCl_2
4	Тетраэдрическое	4	0	Тетраэдр AB_4	CCl_4 , CH_4
		3	1	Тригональная пирамида AB_3F	H_3N , NF_3
5	Тригонально-бипирамидальное	2	2	Угловая AB_2E_2	H_2O , OF_2
		5	0	Тригональная бипирамида AB_5	PCl_5
		4	1	Неправильный тетраэдр AB_4E	SF_4

Продолжение табл. 9

σ -Электронные пары атома A				Геометрическая форма и состав молекулы	Примеры
число	расположение	свя- зыва- ющие	непо- делен- ные		
6	Октаэдрическое	3	2	T-образная AB_3E_2 Линейная AB_2E_3	ClF_3 XeF_2, IF_2
		2	3	Октаэдр AB_6	SF_6, SiF_6^{2-}
		6	0	Тетрагональная пирамида AB_5E	IF_5, SbF_5^{2-}
		5	1	Плоский квадрат AB_4E_2	XeF_4, ICl_4^-
		4	2	Пентагональная бипирамида AB_7	IF_7
7	Пентагонально-бипирамидальное	7	0	Неправильный октаэдр AB_6E	XeF_6
		6	1		

§ 3. КРАТКОСТЬ (ПОРЯДОК) СВЯЗИ

До сих пор были рассмотрены молекулы с одинарными связями, т.е. молекулы лишь с σ -связями. Однако значительно более разнообразны молекулы и комплексные ионы, средняя краткость (порядок) связи в которых больше единицы. Повышение кратности связи обязательно наложению на σ -связь π - и δ -связей. Например, в молекуле N_2 , имеющей тройную связь



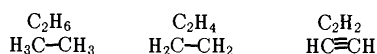
Одна из связей σ -типа, две другие — π -типа, отвечающие $p_x - p_z$, $p_x - p_y$ и $p_y - p_z$ перекрыванию соответственно (см. рис. 46).

В линейной молекуле CO_2 каждый атом кислорода объединяется с атомом углерода одной σ - и одной π -связью:



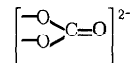
Повышение кратности связи приводит к упрочнению межатомной связи и уменьшению межъядерного расстояния (длины связи). Так, энергии диссоциации на атомы молекул фтора F_2 ($\ddot{F}-\ddot{F}$) и азота N_2 ($:N \equiv N:$) соответственно равны 159 и 940 кДж/моль.

Влияние π -связывания на межъядерное расстояние хорошо иллюстрирует ряд $C_2H_6-C_2H_4-C_2H_2$:

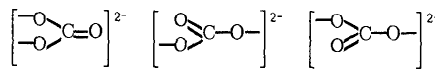


в котором расстояние между атомами углерода по мере повышения кратности связи уменьшается и составляет соответственно 0,154; 0,135 и 0,120 нм.

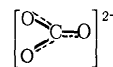
Делокализованная π -связь. Рассмотрим химические связи в карбонат-ионе CO_3^{2-} . Этот ион имеет треугольное строение. Согласно теории валентных связей атом углерода за счет электронов sp^2 -гибридных орбиталей образует три σ -связи, лежащие в плоскости под углом 120°. Четвертый электрон углерода образует π -связь. Валентное насыщение одного атома кислорода достигается за счет образования π -связи, двух других — за счет присоединения электрона. Строение такого иона изображают формулой



Недостатком такого изображения является локализация π -связи и обусловленная этим кажущаяся неравноценность связей $\text{C}-\text{O}$, что противоречит данным эксперимента. Поэтому в теории валентных связей строение аниона CO_3^{2-} изображается не одной схемой, а набором из трех равноценных:



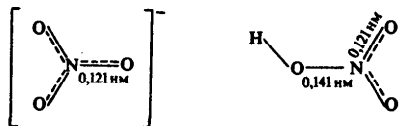
Равноценность всех связей свидетельствует о делокализации π -связи (π -электронного облака) и отрицательного заряда на все атомы кислорода. Тогда можно обойтись одной схемой с изображением делокализованного π -электронного облака в виде пунктира:



Вследствие делокализации π -электронного облака порядок связи $\text{C}=\text{O}$ составляет примерно $1 \frac{1}{3}$. Длина связи в ионе CO_3^{2-} $d_{CO} =$

$d_{\text{C}-\text{O}} = 0,129$ нм и является промежуточной между длиной одинарной $d_{\text{C}-\text{O}} = 0,143$ нм и двойной $d_{\text{C}=\text{O}} = 0,122$ нм связей.

Рассуждая аналогичным образом, можно показать, что в ионе NO_3^- вследствие делокализации зарядов и π -связи все три атома кислорода равнозначны, $d_{\text{NO}} = 0,121$ нм. В молекуле же HNO_3 одна из связей NO одинарная, $d_{\text{NO}} = 0,141$ нм, две другие — близки к двойным, $d_{\text{NO}} = 0,121$ нм:



В качестве еще одного примера системы с делокализованными π -связями рассмотрим молекулу бензола C_6H_6 . Она имеет форму плоского шестиугольника. Каждый из шести атомов углерода в кольце может рассматриваться как находящийся в состоянии sp^2 -гибридизации и образующий три σ -связи с валентными углами 120° (рис. 52). На образование этих трех σ -связей (двух C—C и одной C—H) каждый углеродный атом затрачивает три из четырех валентных электронов, остальные шесть электронов всех шести углеродных атомов располагаются на p -орбиталах — по одному у каждого атома углерода. Четвертое электронное облако каждого атома углерода ориентируется перпендикулярно к плоскости бензольного кольца (рис. 53). Два таких соседних p -электронных облака могут перекрываться, образуя π -связь между двумя атомами углерода. При этом каждое из p_z -электронных облаков может соче-

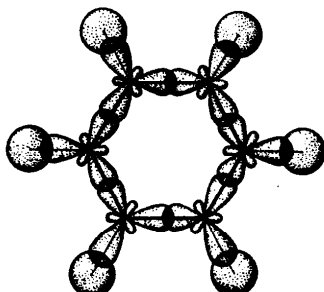


Рис. 52. σ -Связи в молекуле бензола

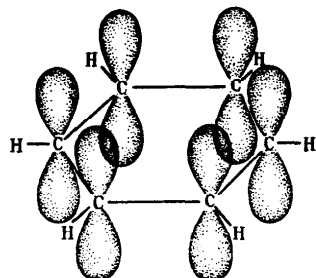
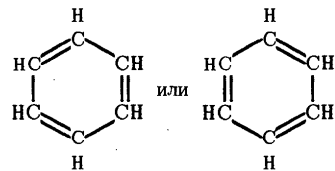


Рис. 53. Расположение p -электронных облаков в молекуле бензола

таться с равной вероятностью как с p_z -облаком, находящимся справа, так и с p_z -облаком, находящимся слева от него:



Следовательно, можно считать, что возникает попеременно π -связь то с одним, то с другим атомом углерода. В целом, это приводит к образованию трёх электронными парами единой связи, распространяющейся на все атомы углерода бензольного кольца. Образуются две области концентрации электронной плотности, расположенные по обе стороны плоскости σ -связей (рис. 54). При этом все атомы углерода оказываются равнозначными и, следовательно, подобная система более устойчива, чем система с тремя локализованными двойными связями между определенными атомами углерода. Таким образом, в молекуле бензола π -связи, лежащие в плоскости бензольного кольца, локализованы, а π -связи, расположенные перпендикулярно плоскости кольца, не локализованы:

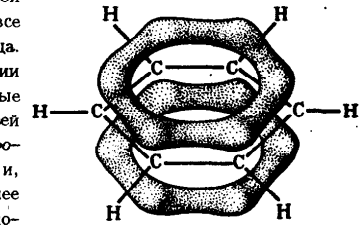


Рис. 54. π -Связи в молекуле бензола

Делокализованная связь в молекуле бензола обуславливает повышение порядка связи между атомами и сокращение межъядерного расстояния, т.е. d_{CC} в C_6H_6 составляет 0,139 нм, тогда как $d_{\text{C}-\text{C}} = 0,154$ нм, а $d_{\text{C}=\text{C}} = 0,135$ нм.

Рассмотренный материал показывает, что химическая связь может осуществляться при помощи одного (H_2^+) или двух электронов (H_2), охватывать два (H_2^+, H_2) или большее число атомов ($\text{CO}_3^{2-}, \text{C}_6\text{H}_6$). Это

говорит о том, что классическое представление о валентности как числе двухцентровых связей не может быть всеохватывающим. Если атом окружен n атомами, это не означает, что он образует n двухцентровых связей.

§ 4. ПОЛЯРНОСТЬ И ПОЛЯРИЗУЕМОСТЬ СВЯЗИ

Связь между атомами разных элементов всегда более или менее полярна, что обусловлено различием электроотрицательностей атомов. Например, в молекуле хлорида водорода HCl связующее электронное облако смещено в сторону более электроотрицательного атома хлора. Вследствие этого заряд ядра водорода не компенсируется, а в атоме хлора электронная плотность становится избыточной по сравнению с зарядом ядра. Иными словами, атом водорода в HCl поляризован положительно, а атом хлора отрицательно. На атоме водорода возникает положительный заряд, на атоме хлора — отрицательный. Этот заряд δ , называемый *эффективным*, можно установить экспериментально. Согласно имеющимся данным эффективный заряд на атоме водорода в молекулы HCl составляет $\delta_{\text{H}} = 0,18+$, а на атоме хлора $\delta_{\text{Cl}} = 0,18-$ абсолютного заряда электрона. Можно сказать, что связь в молекуле HCl имеет на 18% ионный характер, т.е. полярна. Ниже приведены значения эффективных зарядов* на атомах кислорода в оксидах элементов 3-го периода:

	Na ₂ O	MgO	Al ₂ O ₃	SiO ₂	P ₂ O ₅	SO ₃	Cl ₂ O ₇
Эффективный							
заряд	0.81-	0.42-	0.31-	0.23-	0.13-	0.06-	0.02-

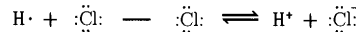
Эффективный заряд на атоме кислорода в Cl_2O_7 ничтожно мал и связь $\text{Cl}-\text{O}$ близка к неполярной, тогда как в Na_2O он составляет 0,81—, т.е. в этом соединении химическая связь сильно полярна. Понижение полярности связи в этом ряду соответствует уменьшению различия в электроотрицательностях элементов, образующих соединения.

Таким образом, по степени смещения (поляризации) связующего электронного облака связь может быть неполярной, полярной и ионной. Неполярная и ионная связи представляют собой крайние случаи

полярной связи. Соединения с ионной и ковалентной связями встречаются значительно реже, чем соединения с полярной ковалентной связью.

Поляризуемость связи. Для характеристики реакционной способности молекул важно знать не только исходное распределение электронной плотности, но и ее поляризуемость. Последняя характеризует способность становиться полярной (или более полярной) в результате действия на молекулу внешнего электрического поля. Так как с каждым атомом или молекулой в свою очередь связано электрическое поле, то соединение должно поляризоваться также и при действии на молекулу других молекул, скажем, партнера по реакции.

В результате поляризации может произойти полный разрыв связи с переходом связывающей электронной пары к одному из атомов и образованием отрицательного и положительного ионов. Асимметричный разрыв связи с образованием разноименных ионов называется *ионолитическим*:



Гетеролитический разрыв отличается от разрушения связи при распаде молекулы на атом и радикал. В последнем случае разрушается связывающая электронная пара и процесс называется *гомолитическим*. В соответствии со сказанным, следует различать процесс *диссоциации* и процесс *ионизации*; в случае HCl первый наблюдается при термическом распаде на атомы, второй — при распаде на ионы в растворе.

Степень (состояние) окисления элементов. Пользуясь представлением об электроотрицательности элементов, можно дать количественную оценку состояния атома в соединении в виде так называемой *степени или состояния окисления*.

Степень окисления — это положительное или отрицательное число, которое присваивают элементу в соединении. Принимается, что обыч-
ная степень окисления водорода равна +1, а кислорода —2. Физичес-
кого смысла степень окисления не имеет. Лишь в случае идеального
ионного соединения степень окисления элементов соответствует заряду

*Значения δ , определяемые разными методами, существенно различаются. Приводимые здесь значения δ интересуют нас с точки зрения иллюстрации общей тенденции их изменения в ряду однотипных соединений.

Знак степени окисления зависит от электроотрицательности обращающихся соединение элементов. Так, в соответствии с различием в электроотрицательностях азота (3,0), водорода (2,1) и фтора (4,0) в азоте в NH_3 приписывается отрицательная степень окисления -3 , а в NF_3 — положительная степень окисления $+3$.

При пользовании степенями окисления полезно придерживаться следующих правил:

- 1) сумма степеней окисления атомов в любой частице равна ее электрическому заряду. Следовательно, степень окисления элемента в его простом веществе равна нулю;
- 2) в соединении с другими элементами фтор всегда проявляет степень окисления -1 ;
- 3) степень окисления кислорода в соединениях обычно равна -2 (кроме OF_2 , H_2O_2 и др.);
- 4) степень окисления водорода чаще $+1$ и реже -1 (KH , CaH_2);
- 5) максимальная положительная степень окисления элемента обычно численно совпадает с номером его группы в периодической системе. Максимальная отрицательная степень окисления элемента равна максимальной положительной степени окисления минус восемь.

Исключение составляют фтор, кислород, гелий, неон, аргон, а также элементы подгруппы кобальта и никеля: их высшая степень окисления выражается числом, значение которого ниже, чем номер группы, к которой они относятся. У элементов подгруппы меди, наоборот, высшая степень окисления одна. Единицы, хотя они и относятся к I группе.

Для отражения в названиях двухэлементных (бинарных) соединений отрицательной степени окисления элементов к их латинским названиям добавляется суффикс *-ид*, например: NaCl — хлорид натрия, HF — фторид водорода, H_3N — нитрид водорода, NF_3 — фторид азота. Положительная степень окисления элемента указывается в скобках римской цифрой: FeCl_3 — хлорид железа (III), FeCl_2 — хлорид железа (II).

§ 5. ТИПЫ КОВАЛЕНТНЫХ МОЛЕКУЛ

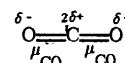
Неполярные и полярные молекулы. В зависимости от характера распределения электронной плотности молекулы могут быть неполярными и полярными. В неполярных молекулах центры тяжести положительных и отрицательных зарядов совпадают. Полярные молекулы являются *диполями*, т.е. системами, состоящими из двух равных по

величине и противоположных по знаку зарядов ($q+$ и $q-$), находящихся на некотором расстоянии l друг от друга. Расстояние между центрами тяжести положительного и отрицательного зарядов называется *длиной диполя*. Полярность молекулы, как и полярность связи, оценивают значением ее электрического момента диполя μ , представляющего собой произведение длины диполя l на значение электрического заряда:

$$\mu = lq.$$

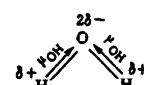
Длина диполя имеет значение порядка диаметра атома, т.е. 10^{-10} м, а заряд электрона $1,6 \cdot 10^{-19}$ Кл, поэтому электрический момент диполя имеет значения порядка 10^{-29} Кл·м (кулон-метр)*.

Электрический момент диполя молекулы представляет собой векторную сумму моментов всех связей и несвязывающих электронных пар в молекуле. Результат сложения зависит от структуры молекулы. Например, молекула CO_2 имеет симметричное линейное строение:



Поэтому, хотя связи $\text{C}=\text{O}$ и имеют сильно полярный характер, вследствие взаимной компенсации их электрических моментов диполя молекула CO_2 в целом неполярна ($\mu = 0$). По этой же причине неполярны якоосимметричные тетраэдрические молекулы CH_4 , CF_4 , октэдрическая молекула SF_6 и т.д.

Напротив, в угловой молекуле H_2O полярные связи $\text{O}-\text{H}$ располагаются под углом $104,5^\circ$. Поэтому их моменты взаимно не компенсируются и молекула оказывается полярной ($\mu = 0,61 \cdot 10^{-29}$ Кл·м):



Электрическим моментом диполя обладают также угловая молекула SO_2 , пирамидальные молекулы NH_3 , NF_3 и т.д. Отсутствие такого момента свидетельствует о высоко симметричной структуре молекулы, наличие электрического момента диполя — о несимметричности структуры молекулы (табл. 10).

*Электрический момент диполя иногда выражают в дебаях (D); $1\text{D} = 0,333 \cdot 10^{-29}$ Кл·м.

Таблица 10. Строение и ожидаемая полярность молекул

Тип	Пространственная конфигурация	Ожидаемая полярность	Примеры
A ₂	Гантелевидная	Неполярная	H ₂ , Cl ₂ , N ₂
AB	"	Полярная	HCl, ClF
AB ₂	Линейная	Неполярная	CO ₂ , CS ₂ , BeCl ₂ (г)
AB ₂	Угловая	Полярная	H ₂ O, SO ₂ , NO ₂
ABC	Линейная	"	COS, HCN
AB ₃	Плоскотреугольная	Неполярная	BCl ₃ , SO ₃
AB ₃	Тригонально-пирамидальная	Полярная	NH ₃ , PCl ₃ , NF ₃
AB ₃	Т-образная	"	ClF ₃ , BrF ₃
AB ₄	Тетраэдрическая	Неполярная	CH ₄ , CCl ₄ , SiF ₄
AB ₄	Плоскоквадратная	"	XeF ₄
AB ₄	Искаженотетраэдрическая	Полярная	SF ₄ , TeCl ₄
AB ₅	Тригонально-бипирамидальная	Неполярная	PF ₅ , PCl ₅ (г)
AB ₅	Квадратно-пирамидальная	Полярная	IF ₅
AB ₆	Октаэдрическая	Неполярная	SF ₆ , WF ₆
AB ₇	Пентагонально-бипирамидальная	"	IF ₇

На значение электрического момента диполя молекулы сильно влияют несвязывающие электронные пары. Например, молекулы NH₃ и NF₃ имеют одинаковую тригонально-пирамидальную форму, полярность связей N—H и N—F также примерно одинакова. Однако электрический момент диполя NH₃ равен 0,49·10⁻²⁹ Кл·м, а NF₃ — всего

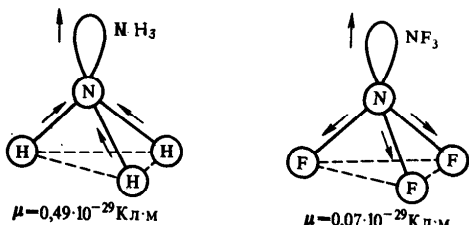


Рис. 55. Сложение электрических моментов диполя связывающих и несвязывающих электронных пар молекул NH₃ и NF₃

0,07·10⁻²⁹ Кл·м. Это объясняется тем, что в NH₃ направление электрического момента диполя связывающей N—H и несвязывающей электронной пары совпадает и при векторном сложении обуславливает большой электрический момент диполя. Наоборот, в NF₃ моменты связей N—F и электронной пары направлены в противоположные стороны, поэтому при сложении они частично компенсируются (рис. 55).

Зная экспериментальные значения момента диполя, можно рассчитать полярность связей и эффективные заряды атомов. В простейшем случае двухатомных молекул можно приближенно считать, что центры тяжести зарядов совпадают с ядрами, т.е. *l* равно межъядерному расстоянию или длине связи. Так, в молекуле HCl межъядерное расстояние составляет *d*_{HCl} = 0,127 нм. Если бы хлорид водорода был чисто ионным соединением (*q* равно заряду электрона 1,6·10⁻¹⁹ Кл), то его момент диполя был бы равен

$$\mu = 1,6 \cdot 10^{-19} \text{ Кл} \cdot 1,27 \cdot 10^{-10} \text{ м} = 2,032 \cdot 10^{-29} \text{ Кл} \cdot \text{м}.$$

В действительности же момент диполя газообразного хлорида водорода равен 0,347·10⁻²⁹ Кл·м. Это составляет примерно 18% от значения, рассчитанного в предположении ионного характера связи. Таким образом, эффективные заряды на атомах H и Cl в молекуле HCl равны 0,18± абсолютного заряда электрона.

Значения электрических моментов диполя некоторых молекул приведены в табл. 11.

Таблица 11. Электрический момент диполя μ некоторых молекул

Молекула	$\mu \cdot 10^{29}$, Кл·м	Молекула	$\mu \cdot 10^{29}$, Кл·м	Молекула	$\mu \cdot 10^{29}$, Кл·м
H ₂	0	HBr	0,263	SO ₂	0,53
N ₂	0	HI	0,127	NH ₃	0,494
CO	0,033	CO ₂	0	PH ₃	0,183
NO	0,023	H ₂ O	0,610	SO ₃	0
HF	0,640	H ₂ S	0,340	BF ₃	0
HCl	0,347	NO ₂	0,097	CH ₄	0

Мгновенные и индуцированные диполи. Молекула представляет собой динамическую систему, в которой происходит постоянное движение электронов и колебание ядер. Поэтому распределение зарядов в ней не может быть строго постоянным. Например, молекулу Cl₂ относят к неполярным: значение ее электрического момента диполя равно

нулю. Однако в каждый данный момент происходит временное смещение зарядов к одному из атомов хлора: $\text{Cl} \rightarrow \overset{\delta^+}{\text{Cl}} \rightarrow \overset{\delta^-}{\text{Cl}}$ или $\overset{\delta^+}{\text{Cl}} \rightarrow \text{Cl} \rightarrow \overset{\delta^-}{\text{Cl}}$ с образованием *мгновенных микродиполей*. Поскольку подобное смещение зарядов к любому из атомов равновероятно, среднее распределение зарядов как раз и соответствует среднему нулевому значению момента диполя.

Для полярных молекул значение момента диполя в каждый данный момент времени несколько больше или несколько меньше его среднего значения. Направление и величина мгновенного диполя подвержены непрерывным колебаниям и по направлению он может не совпадать с направлением постоянного момента диполя. Таким образом, любую неполярную и полярную молекулу можно рассматривать как совокупность периодических очень быстро меняющихся по величине и направлению мгновенных микродиполей.

Под действием внешнего электрического поля молекула поляризуется, т.е. в ней происходит перераспределение зарядов, и молекула приобретает новое значение электрического момента диполя. При этом неполярные молекулы могут превратиться в полярные, а полярные становятся еще более полярными. Иначе говоря, под действием внешнего электрического поля в молекулах индуцируется диполь, называемый *наведенным* или *индуцированным*. В отличие от постоянных и мгновенных наведенных (индуцированных) диполи существуют лишь при действии внешнего электрического поля. После прекращения действия поля наведенные диполи исчезают. Полярностью и поляризуемостью молекул обусловлено межмолекулярное взаимодействие.

ГЛАВА 4. ИОННАЯ СВЯЗЬ. НЕВАЛЕНТНЫЕ ТИПЫ СВЯЗИ

§ 1. ИОННАЯ СВЯЗЬ

Природу ионной связи, структуру и свойства ионных соединений можно объяснить электростатическим взаимодействием ионов. Способность элементов образовывать простые ионы обусловлена электронной структурой их атомов. Эту способность можно оценить энергией ионизации и сродством атомов к электрону. Понятно, что легче всего образуют катионы элементы с малой энергией ионизации — щелочные и щелочно-земельные металлы. Образование же в условиях обычных химических превращений простых катионов других элементов менее вероятно, так как это связано с затратой большой энергии на ионизацию атомов.

Простые анионы легче всего образуют *p*-элементы VII группы вследствие их высокого сродства к электрону. Присоединение одного электрона к атомам кислорода, серы, углерода, некоторым другим элементам сопровождается выделением энергии. Присоединение же последующих электронов с образованием свободных многозарядных простых анионов места не имеет (см. табл. 6), поэтому соединения, состоящие из простых ионов, немногочисленны. Они легче всего образуются при взаимодействии щелочных и щелочно-земельных металлов с галогенами. Однако и в этом случае электронная плотность между ионами не равна нулю, поэтому можно говорить лишь о преимущественном проявлении ионной связи. Радиусы же одноатомных многозарядных ионов представляют собой чисто условные величины. Представление о ионных кристаллах — это идеализированная модель.

Ненаправленность и ненасыщаемость ионной связи. Электрические заряды ионов обуславливают их притяжение и отталкивание и в целом определяют стехиометрический состав соединения. Ионы можно представить как заряженные шары, силовые поля которых равномерно распределяются во всех направлениях в пространстве. Поэтому каждый ион может притягивать к себе ионы противоположного знака в любом направлении. Иначе говоря, ионная связь в отличие от ковалентной характеризуется *ненаправленностью*.

Понятно, что взаимодействие друг с другом двух ионов противоположного знака не может привести к полной взаимной компенсации их силовых полей (рис. 5б). В силу этого у них сохраняется способность притягивать ионы противоположного знака и по другим направлениям. Следовательно, в отличие от ковалентной ионная связь характеризуется также *ненасыщаемостью*.

Структура ионных соединений. Вследствие ненаправленности и ненасыщаемости ионной связи энергетически наиболее выгодно, когда каждый ион окружен максимальным числом ионов противоположного знака. Однако из-за отталкивания одноименных ионов друг от друга устойчивость системы достигается лишь при определенной взаимной координации ионов.

В отличие от ковалентных соединений координационное число (к.ч.) в "чисто" ионных соединениях не зависит от специфики электронной структуры элементов, а определяется соотношением размеров

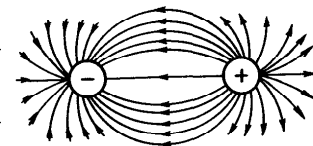


Рис. 5б. Распределение электрических силовых полей двух различных ионов

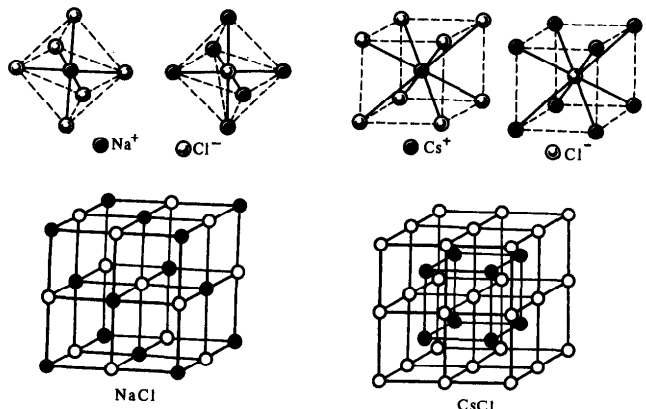


Рис. 57. Структурный тип хлорида натрия NaCl

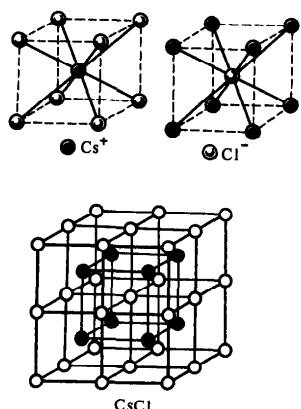


Рис. 58. Структурный тип хлорида цезия CsCl

ионов. Так, при соотношении ионных радиусов в пределах 0,41–0,73 имеет место октаэдрическая координация ионов, при соотношении 0,73–1,37 — кубическая координация и т.д. Например, при взаимодействии ионов Na^+ ($r_{\text{Na}^+} = 0,098 \text{ нм}$) и Cl^- ($r_{\text{Cl}^-} = 0,181 \text{ нм}$), соотношение значений радиусов которых равно 0,54, возникает октаэдрическая координация (рис. 57). Подобная взаимная координация ионов достигается при образовании простой кубической кристаллической решетки хлорида натрия (рис. 57). Соотношение ионных радиусов Cs^+ ($r_{\text{Cs}^+} = 0,165 \text{ нм}$) и Cl^- ($r_{\text{Cl}^-} = 0,181 \text{ нм}$) равно 0,91, что соответствует кубической координации (рис. 58).

Таким образом, в обычных условиях ионные соединения представляют собой кристаллические вещества. Поэтому для ионных соединений понятие простых двухионных молекул типа NaCl и CsCl теряет смысл. Каждый кристалл состоит из огромного числа ионов: Na_nCl_n и Cs_nCl_n .

§ 2. МЕТАЛЛИЧЕСКАЯ СВЯЗЬ

Существенные сведения о природе химической связи в металлах можно получить на основании их двух характерных особенностей по сравнению с ковалентными и ионными соединениями. Металлы, во-

первых, отличаются от других веществ высокой электрической проводимостью и теплопроводностью, во-вторых, в обычных условиях являются кристаллическими веществами (за исключением ртути) с высокими координационными числами атомов (рис. 59).

Из первого характерного свойства металла следует, что по крайней мере часть электронов может передвигаться по всему объему куска металла. Из второго свойства металлов следует, что их атомы не связаны друг с другом локализованными двухэлектронными связями. Число валентных электронов атома металла недостаточно для образования подобных связей со всеми его соседями.

Например, литий кристаллизуется в кубической объемно-центрированной решетке, и каждый его атом имеет в кристалле по восемь ближайших соседних атомов (см. рис. 59). Для образования двухэлектронных связей в подобной структуре атом лития должен был бы предоставить восемь электронов, что, конечно, невозможно, так как он имеет лишь один валентный электрон ($1s^22s^1$).

Природу химической связи и характерные особенности металлов можно объяснить на примере лития следующим образом. В кристалле лития орбитали соседних атомов перекрываются. Каждый атом предоставляет на связь четыре валентные орбитали и всего лишь один валентный электрон. Значит, в кристалле металла число электронов значительно меньше числа орбиталей. Поэтому электроны могут переходить из одной орбитали в другую. Тем самым электроны принимают участие в образовании связи между всеми атомами кристалла металла. К тому же атомы металлов характеризуются невысокой энергией ионизации — валентные электроны слабо удерживаются в атоме, т.е. легко перемещаются по всему кристаллу. Возможность перемещения электронов по кристаллу определяет электрическую проводимость металла.

Таким образом, в отличие от ковалентных и ионных соединений в металлах небольшое число электронов одновременно связывает большое число атомных ядер, а сами электроны могут перемещаться в металле. Иначе говоря, в металлах имеет место сильно делокализованная химическая связь. Согласно одной из теорий металл можно рассматривать как плотно упакованную структуру из положительно заряженных ионов, связанных друг с другом коллективизированными электронами (электронным газом).

Вследствие нелокализованности металлической связи для ее описания лучше всего подходит теория кристаллических орбиталей.

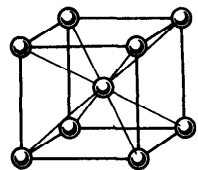


Рис. 59. Взаимная координация атомов в кристалле лития

§ 3. МЕЖМОЛЕКУЛЯРНОЕ ВЗАИМОДЕЙСТВИЕ

Между молекулами может осуществляться как электростатическое, так и донорно-акцепторное взаимодействие.

Электростатическое взаимодействие молекул. Это взаимодействие молекул подразделяют на ориентационное, индукционное и дисперсионное. Наиболее универсально (т.е. проявляется в любых случаях) *дисперсионное*, так как оно обусловлено взаимодействием молекул друг с другом за счет их мгновенных микродиполей. При сближении молекул ориентация микродиполей перестает быть независимой и их появление и исчезновение в разных молекулах происходит в такт друг другу. Синхронное появление и исчезновение микродиполей разных молекул сопровождается их притяжением. При отсутствии синхронности в появлении и исчезновении микродиполей происходит отталкивание.

Ориентационное (диполь-дипольное) взаимодействие проявляется между полярными молекулами. В результате беспорядочного теплового движения молекул при их сближении друг с другом одновременно заряженные концы диполей взаимно отталкиваются, а противоположно заряженные притягиваются. Чем более полярны молекулы, тем сильнее они притягиваются и тем самым больше ориентационное взаимодействие.

Индукционное взаимодействие молекул осуществляется за счет их индуцированных диполей. Допустим, что встречаются полярная и неполярная молекулы. Под действием полярной молекулы неполярная молекула деформируется и в ней возникает (индуктируется) диполь. Индуцированный диполь притягивается к постоянному диполю полярной молекулы и в свою очередь усиливает электрический момент диполя полярной молекулы.

Индукционное взаимодействие тем больше, чем больше момент диполя и поляризуемость молекулы.

Относительный вклад каждого из рассмотренных видов межмолекулярных сил зависит в основном от двух свойств взаимодействующих молекул: полярности и поляризуемости (деформируемости). Чем выше полярность, тем значительнее роль ориентационных сил; чем большее деформируемость, тем значительнее роль дисперсионных сил. Индукционные силы зависят от обоих факторов, но сами обычно играют второстепенную роль.

Силы межмолекулярного взаимодействия, возникающие без передачи атомами электронов, носят название *вандерваальсовых сил*.

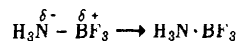
Изучение электростатического межмолекулярного взаимодействия имеет большое значение для исследования свойств и структуры газов, жидкостей и твердых веществ. Вандерваальсовые силы обусловливают

притяжение молекул и агрегацию вещества, превращение газообразного вещества в жидкое и далее в твердое состояние. Так, при охлаждении газообразного хлора, например, образуются кристаллы, состоящие из молекул Cl_2 , между которыми действуют дисперсионные силы.

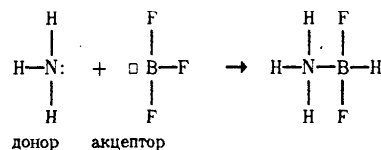
По сравнению с ковалентной связью вандерваальсово взаимодействие очень слабо. Так, если энергия диссоциации молекулы Cl_2 на атомы составляет 243 кДж/моль, то энергия сублимации (возгонки) кристаллов Cl_2 составляет 25 кДж/моль.

Донорно-акцепторное взаимодействие молекул. Оно возникает за счет электронной пары одной молекулы и свободной орбитали другой. Это взаимодействие проявляется в первичных актах многих химических реакций, лежит в основе каталитических процессов, обуславливает сольватацию молекул и ионов в растворах, может приводить к образованию новых соединений.

За счет донорно-акцепторного взаимодействия, например, молекул BF_3 и NH_3 образуется соединение (межмолекулярный комплекс) состоящая $\text{BF}_3 \cdot \text{NH}_3$:

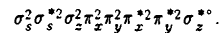


При этом положительно поляризованный атом бора в BF_3 , имеющий свободную орбиталь, выступает в качестве акцептора. Отрицательно поляризованный атом азота в NH_3 , имеющий несвязывающую пару электронов, выступает в качестве донора:



Энергия межмолекулярного донорно-акцепторного взаимодействия колеблется в широком интервале от 6 до 12 кДж/моль, что близко к энергии вандерваальсова взаимодействия, до 200–250 кДж/моль – значения, сопоставимого с энергией ковалентных связей.

В качестве примера межмолекулярных комплексов приведем соединения иода со спиртом $\text{I}_2 \cdot \text{CH}_3\text{OH}$, амиаком $\text{I}_2 \cdot \text{NH}_3$, бензолом $\text{I}_2 \cdot \text{C}_6\text{H}_6$, эфиром $\text{I}_2 \cdot \text{O}(\text{CH}_3)_2$. При образовании этих соединений молекула иода выступает в качестве акцептора электронной пары за счет свободной молекулярной π^* -орбитали:



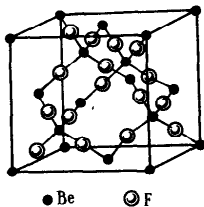


Рис. 60. Структура кристалла фторида берилля BeF_2

Энергия диссоциации указанных комплексов на молекулы составляет всего 8—20 кДж/моль. Значительно прочнее донорно-акцепторное взаимодействие в комплексе $\text{AlCl}_3 \cdot \text{NH}_3$: энергия диссоциации этого соединения на молекулы составляет 230 кДж/моль.

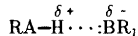
Донорно-акцепторное взаимодействие между молекулами часто обуславливает переход вещества из газового в жидкое и твердое агрегатное состояния. Например, в газовом состоянии дифторид берилля находится в виде линейных молекул BeF_2 :



За счет свободных орбиталей атомов берилля и несвязывающих (неопределеных) электронных пар атомов фтора между молекулами BeF_2 возможно донорно-акцепторное взаимодействие. Эта возможность реализуется при понижении температуры: молекулы BeF_2 ассоциируются с образованием полимерной молекулы Be_nF_{2n} — кристалла BeF_2 (рис. 60). В нем атом Be имеет 4 ковалентные связи.

§ 4. ВОДОРОДНАЯ СВЯЗЬ

Многочисленные экспериментальные данные свидетельствуют о том, что атом водорода способен соединяться одновременно с двумя другими атомами (входящими в состав разных молекул или одной и той же молекулы):



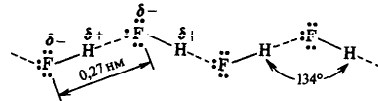
С одним из атомов (A) водород обычно связан значительно сильнее (за счет ковалентной связи), чем с другим (B). Последняя связь получила название *водородной*. Ее обычно изображают точками или пунктами.

Водородная связь по прочности превосходит вандерваальсовое взаимодействие, и ее энергия составляет 8—40 кДж/моль. Однако она обычно на порядок слабее ковалентной связи. Водородная связь характерна для соединений водорода с наиболее электроотрицательными элементами: фтора (25—40 кДж/моль), кислорода (13—29 кДж/моль), азота (8—21 кДж/моль) — и в меньшей степени хлора и серы.

Образование водородной связи обязано ничтожно малому размеру положительно поляризованного атома водорода и его способности

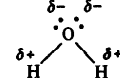
глубоко внедряться в электронную оболочку соседнего (ковалентно с ним не связанного) отрицательно поляризованного атома. Вследствие этого при возникновении водородной связи наряду с электростатическим взаимодействием проявляется и донорно-акцепторное взаимодействие.

Водородная связь весьма распространена и играет важную роль при ассоциации молекул, в процессах кристаллизации, растворения, образования кристаллогидратов, электролитической диссоциации и других важных физико-химических процессах. Например, в твердом, жидком и даже в газовом состоянии молекулы фторида водорода HF ассоциированы в зигзагообразные цепочки вида



что обусловлено водородной связью.

Молекула воды может образовывать четыре водородные связи, так как имеет два атома водорода и две несвязывающие электронные пары:



Эта способность молекулы воды обуславливает строение воды и льда.

Водородная связь играет большую роль в химии органических соединений, полимеров, белков. Вследствие непрочности водородные связи легко возникают и легко разрушаются при обычной температуре, что весьма существенно для биологических процессов.

ГЛАВА 5. КОМПЛЕКСООБРАЗОВАНИЕ. КОМПЛЕКСНЫЕ СОЕДИНЕНИЯ

§ 1. КОМПЛЕКСООБРАЗОВАНИЕ

Как известно, силы притяжения действуют не только между атомами, но и между молекулами. Это подтверждается тем, что взаимодействие молекул часто приводит к образованию других, более сложных молекул. Кроме того, газообразные вещества при соответст-

вующих условиях переходят в жидкое и твердое агрегатное состояние. Любое вещество в какой-то мере растворимо в другом веществе, что опять-таки свидетельствует о взаимодействии. Во всех этих случаях обычно наблюдается взаимная координация взаимодействующих частиц, которую можно определить как **комплексообразование**. Оно имеет место, например, при взаимодействии молекул с ионами, противоположно заряженных ионов и молекул друг с другом и т.п. Так, образующиеся при растворении солей в воде ионы гидратированы, т.е. вокруг них координированы молекулы растворителя. Взаимная координация молекул наблюдается при переходе вещества из газового в жидкое и твердое состояния и пр.

Причиной комплексообразования может быть как электростатическое, так и донорно-акцепторное взаимодействие, осуществляющее между ионами и молекулами, между молекулами.

§ 2. КООРДИНАЦИОННЫЕ (КОМПЛЕКСНЫЕ) СОЕДИНЕНИЯ

Основополагающие представления о комплексных соединениях ввел в науку швейцарский ученый Альфред Вернер (1892). В развитии химии комплексных соединений большую роль сыграли труды Л.А. Чугаева и его многочисленных учеников — И.И. Черняева, А.А. Гринберга, В.В. Лебединского и др. По Вернеру, в большинстве комплексных соединений различают *внутреннюю* и *внешнюю* сферы. Например, в комплексных соединениях $K_2[BeF_4]$, $[Zn(NH_3)_4]Cl_2$ внутреннюю сферу составляют группировки атомов (комpleксы) $[BeF_4]^{2-}$ и $[Zn(NH_3)_4]^{2+}$, а внешнюю сферу — соответственно ионы K^+ и Cl^- . Центральный атом (ион) внутренней сферы является **комплексообразователем**, а координированные вокруг него молекулы (ионы) — **лигандами**. В формулах комплексных соединений внутреннюю сферу (комплекс) часто заключают в квадратные скобки.

Общепризнанного определения понятия "комплексное соединение" нет. Это обусловлено разнообразием комплексных соединений и их характерных свойств. В лабораторной практике химики чаще всего используют соединения в твердом и растворенном состоянии. Для этих условий можно дать следующее определение комплексных соединений: *комплексными называют соединения, в узлах кристаллов которых находятся комплексы, способные к самостоятельному существованию в растворе*. Следует отметить, что такое определение, конечно, далеко не исчерпывает существа проблемы и применимо лишь в известных пределах.

Классификация комплексов. По характеру электрического заряда различают катионные, анионные и нейтральные комплексы. В приближении ионной модели заряд комплекса представляет собой алгебраическую сумму зарядов образующих его частиц.

Катионный комплекс можно рассматривать как образованный в результате координации вокруг положительного иона нейтральных молекул (H_2O , NH_3 и др.). Молекулы H_2O и NH_3 в номенклатуре комплексных соединений называют *-аква-* и *-амми* соответственно:

- $[[Al(OH_2)_6]Cl_3$ — трихлорид гексаакваалюминия, или
хлорид гексаакваалюминия (III)
 $[Zn(NH_3)_4]Cl_2$ — дихлорид тетраамминцинка, или
хлорид тетраамминцинка (II)

Соединения, содержащие аминокомплексы, называются *амиакатами*, содержащие аквакомплексы — *гидратами*.

В роли комплексообразователя в *анионном* комплексе выступает атом с положительной степенью окисления (положительный ион), а лигандами являются атомы с отрицательной степенью окисления (анионы). Отрицательный заряд комплекса отражают добавлением к латинскому названию комплексообразователя суффикса *-ат*, например:

- $K_2[BeF_4]$ — тетрафторобериллат (II) калия
 $K[Al(OH)_4]$ — тетрагидроксоалюминат (III) калия
 $Na_2[SO_4]$ — тетраоксосульфат (VI) натрия
 $K_2[Be(SO_4)_2]$ — дисульфатобериллат (II) калия

Нейтральные комплексы образуются при координации вокруг атома молекул, а также при одновременной координации вокруг положительного иона-комплексообразователя отрицательных ионов и молекул. Например:

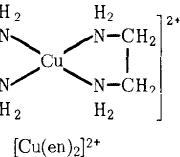
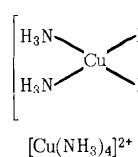
- $[Pt(NH_3)_2Cl_2]$ — дихлородиамминплатина (II)
 $[Ni(CO)_4]$ — тетракарбонил никеля
 $[Cr(C_6H_6)_2]$ — дифенилхром

Электронейтральные комплексы, следовательно, являются комплексными соединениями без внешней сферы.

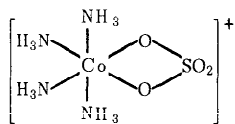
Роль комплексообразователя может играть любой элемент периодической системы. В соответствии со своей химической природой неметаллические элементы обычно дают анионные комплексы, в которых

роль лигандов играют атомы наиболее электроотрицательных элементов, например $K[PF_6]$, $K_3[PO_4]$, $K_3[PS_4]$. Что же касается типичных металлических элементов (щелочных и щелочно-земельных металлов), то способность к образованию комплексных соединений с неорганическими лигандами у них выражена слабо. Имеющиеся немногочисленные комплексные ионы являются катионными, например $[Sr(OH_2)_6]Cl_2$, $[Ca(NH_3)_6]Cl_2$. Амфотерные элементы, которые занимают промежуточное положение между типичными металлическими и неметаллическими элементами, образуют как катионные, так и анионные комплексы, например $[Al(OH_2)_6]Cl_3$ и $K[Al(OH)_4]$.

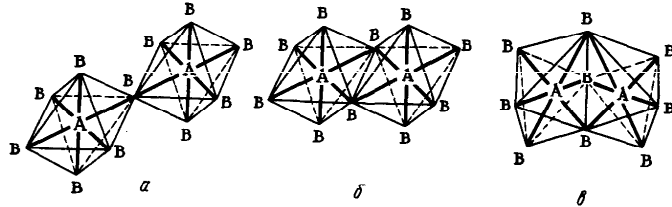
Классификация лигандов. Лиганды могут занимать в координационной сфере одно или несколько мест, т.е. соединяться с центральным атомом посредством одного или нескольких атомов. По этому признаку различают монодентатные, дидентатные, тридентатные, ..., полидентатные лиганды (от лат. *dentatus* — имеющие зубы). Примерами монодентатных лигандов являются ионы Cl^- , F^- , OH^- , молекулы NH_3 , H_2O , CO и др. К бидентантным относится, например, молекула этилендиамина $H_2N-CH_2-CH_2-NH_2$ (сокращенное обозначение *en*). Комpleксы с полидентантными лигандами называются хелатными (или клешневидными, от греч. *chelate* — клешня). Ниже приведены нехелатный и хелатный комплексы меди (II):



В качестве бидентантных лигандов часто выступают также ионы CO_3^{2-} , SO_4^{2-} и им подобные:

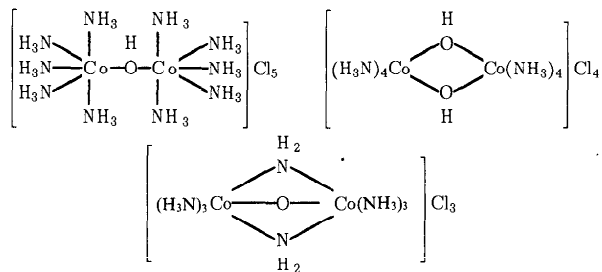


Многие лиганды могут выступать также в качестве мостиковых атомов (групп атомов) в многоядерных (полимерных) комплексах. Например, центральные атомы октаэдрических комплексов (рис. 61) могут быть соединены посредством одного, двух или трех мостиковых атомов (групп атомов). Подобная картина наблюдается, например, в



Г и с. 61. Двухъядерные комплексы:

октаэдры объединены посредством одного (α), двух (β), трех (γ) мостиковых атомов соединениях кобальта (III). Структурные формулы некоторых из них приведены ниже:

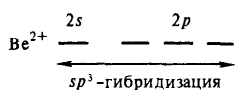


Комплексные соединения широкого распространены в природе, играют важную роль в биологических процессах. Достаточно упомянуть хелатные комплексы — гемоглобин крови (комплексообразователь Fe^{2+}) и хлорофилл зеленых растений (комплексообразователь Mg^{2+}). Комплексные соединения находят самое разнообразное практическое применение. Так, образование хелатных комплексов используется при умягчении жесткой воды и растворении камней в почках; важнейшую роль играют комплексные соединения в аналитической практике, производстве металлов и т.д.

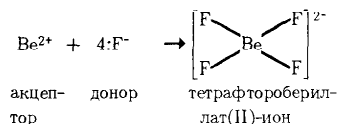
§ 3. ОПИСАНИЕ КОМПЛЕКСНЫХ СОЕДИНЕНИЙ С ПОЗИЦИЙ ТЕОРИИ ВАЛЕНТНЫХ СВЯЗЕЙ

Теория строения комплексных соединений возникла из попыток ответить на вопрос, почему многие устойчивые молекулы способны присоединяться к комплексообразователю.

Для объяснения образования и свойств комплексных соединений в настоящее время применяют ряд теорий, в том числе теорию валентных связей. Образование комплексов теория валентных связей относит за счет донорно-акцепторного взаимодействия комплексообразователя и лигандов. Так, образование тетраэдрического иона $[BeF_4]^{2-}$ можно объяснить следующим образом.

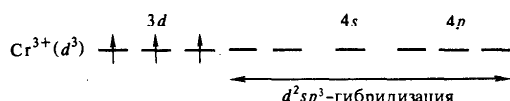


Ион Be^{2+} , имеющий свободные $2s$ - и $2p$ -орбитали, является акцептором четырех электронных пар, предоставляемых фторид-ионами:

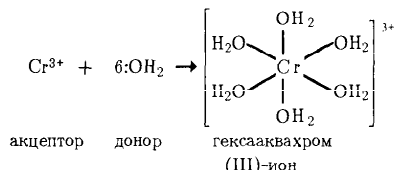


Тетраэдрическое строение комплексного иона $[BeF_4]^{2-}$ обусловлено sp^3 -гибридизацией валентных орбиталей берилля.

Таким же образом можно показать, что при взаимодействии иона Cr^{3+}



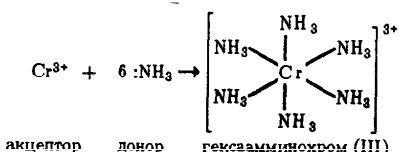
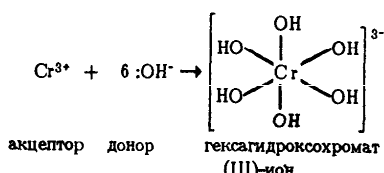
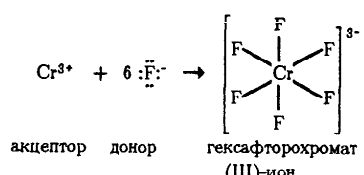
с молекулами воды образуется октаэдрический комплексный ион $[\text{Cr}(\text{OH}_2)_6]^{3+}$:



Октаэдрическое строение этого иона (см. рис. 51, з) определяется d^2sp^3 -гибридизацией орбиталей хрома.

112

Октаэдрические комплексы образуются также при взаимодействии иона Cr^{3+} с фторид-, гидроксил- и другими лигандами:



Более подробно химия комплексных соединений рассматривается в ч. 2, разделе III.

Раздел III

Агрегатное состояние. Растворы

Природа говорит языком математики. Буквы этого языка — круги, треугольники и иные математические фигуры.

Галилео Галилей

В обычных условиях атомы, ионы и молекулы не существуют индивидуально. Они всегда составляют только части более высокой организации вещества, практически участвующего в химических превращениях, — так называемого *агрегатного состояния*.

В зависимости от внешних условий вещества могут находиться в разных агрегатных состояниях — в газовом, жидком, твердом. Природа сил притяжения частиц, образующих вещество, во всех состояниях электрическая, т.е. прямо или косвенно связана с участием электронов. Переход из одного агрегатного состояния в другое не сопровождается изменением стехиометрического состава вещества, но обязательно связан с большим или меньшим изменением его структуры. В этом смысле переход из одного состояния в другое относится к явлениям химическим. Конечно, здесь, как и всегда, нужно помнить об относительности и условности разграничения, в том числе и разграничения понятий физическое и химическое явление.

Раствором называют однофазную систему переменного состава, состоящую из двух или более компонентов. Растворы представляют собой гомогенные (однородные) системы, т.е. каждый из компонентов распределен в массе другого в виде молекул, атомов или ионов. Компонент, агрегатное состояние которого не изменяется при образовании раствора, принято считать *растворителем*. В случае же растворов, образующихся при смешении газа с газом, жидкости с жидкостью, твердого вещества с твердым, растворителем считается компонент, количество которого в растворе преобладает. Растворы бывают газовыми, жидкими и твердыми.

114

Образование того или иного типа раствора обусловливается теми же силами, которые определяют возникновение того или иного агрегатного состояния, т.е. интенсивностью межмолекулярного, межатомного, межионного или другого вида взаимодействия. Разница заключается в том, что образование раствора обусловливается характером и интенсивностью взаимодействия частиц разных веществ.

Понятно, что по сравнению с индивидуальными веществами растворы сложнее по структуре.

ГЛАВА 1. ТВЕРДОЕ СОСТОЯНИЕ. ТВЕРДЫЕ РАСТВОРЫ

§ 1. КРИСТАЛЛЫ

По степени распространности среди твердых тел основным является *кристаллическое* состояние, характеризующееся определенной ориентацией частиц (атомов, ионов, молекул) относительно друг друга. Это определяет и внешнюю форму вещества в виде кристалла. В идеальных случаях кристалл ограничен плоскими гранями, сходящимися в точечных вершинах и прямолинейных ребрах (рис. 62). Одиночные кристаллы — монокристаллы — существуют в природе, их также получают искусственно. Однако чаще всего встречающиеся кристаллические тела представляют собой поликристаллические образования — скопления большого числа по-разному ориентированных мелких кристаллов неправильной внешней формы.

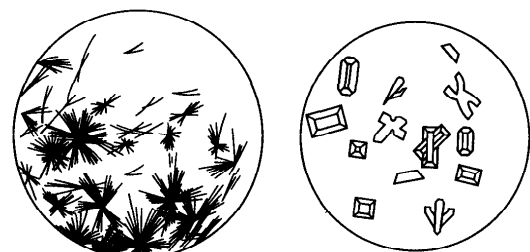


Рис. 62. Кристаллы $\text{CaSO}_4 \cdot 2\text{H}_2\text{O}$ и $\text{Mg}(\text{NH}_4)\text{PO}_4 \cdot 6\text{H}_2\text{O}$, полученные при кристаллизации из растворов (под микроскопом)

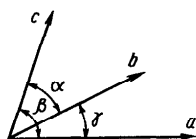


Рис. 63. Система кристаллографических координат

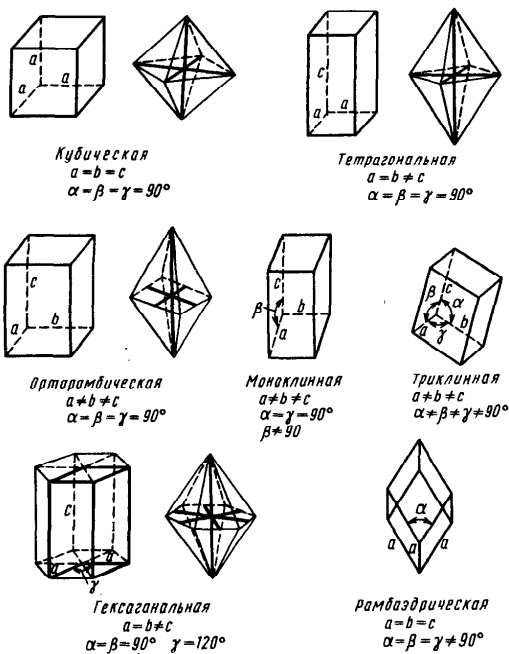


Рис. 64. Основные системы кристаллов

Форму кристаллов изучает **кристаллоография**. Для описания формы кристаллов пользуются системой трех кристаллографических осей (рис. 63). В отличие от обычных координатных осей эти оси представляют собой конечные отрезки a , b и c , а углы между ними могут быть прямыми и косыми. В соответствии с геометрической формой кристаллов возможны следующие их системы (рис. 64): **кубическая**, **тетрагональная**, **ортогональная**, **моноклинная**, **триclinная**, **гексагональная** и **ромбодиагональная**. Как видно из рис. 64, системы кристаллов различаются характером взаимного расположения кристаллографических осей (α , β , γ) и их длиной (a , b , c).

Симметрия внешней формы отражает симметрию внутренней структуры кристалла, т.е. правильную периодическую повторяемость расположения частиц в узлах пространственной решетки того или иного вида. Характерной особенностью кристаллических тел, вытекающей из их строения, является **анизотропия**. Она проявляется в том, что механические, электрические и другие свойства кристаллов зависят от направления внешнего воздействия сил на кристалл.

Частицы в кристаллах совершают тепловые колебания около положения равновесия (узла кристаллической решетки).

§ 2. ТИПЫ ХИМИЧЕСКОЙ СВЯЗИ В КРИСТАЛЛАХ

В соответствии с природой составляющих структурных частиц кристаллические решетки могут быть ионными, атомными (ковалентными или металлическими) и молекулярными (табл. 12).

Ионная решетка состоит из ионов противоположного знака, чередующихся в узлах (см. рис. 57 и 58).

В **атомных** решетках атомы связаны ковалентной или металлической связью. Примером вещества с атомно-ковалентной решеткой является алмаз (рис. 65). Металлы и их сплавы образуют атомно-металлические кристаллы.

Узлы **молекулярной** кристаллической решетки образованы молекулами (рис. 66). В кристаллах молекулы связаны за счет межмолекулярного взаимодействия.

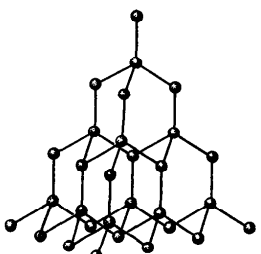


Рис. 65. Структура алмаза

Для соединений, молекулы которых содержат атомные группировки F—H, O—H, N—H, структуру кристаллов в основном определяет водородная связь. Так, молекула воды, имеющая две полярные связи O—H и две направленные

Таблица 12. Тип кристаллической решетки и свойства веществ

Тип кристаллической решетки	Структурная часть	Характер связи между структурными частями	Прочность связи	Температура плавления	Электрическая проводимость	Примеры
Молекулярная	Молекула	Вандерваальсовы взаимодействия (дисперсионное, диполь-дипольное), водородная связь	Слабая	Низкая	Диэлектрики	O_2 , CO_2 , B_2 , H_2O , C_6H_6
Атомно-коvalентная	Атом	Ковалентная	Сильная	Высокая	Диэлектрики или полупроводники	C (алмаз), SiO_2 , ZnS
Атомно-металлическая	Атом	Сильно-делокализованная	>	Большой диапазон значений	Проводники	Na , Zn , Fe , латунь
Ионная	Ион	Ионная	>	Высокая	Диэлектрики	$NaCl$, KOH , Na_2CO_3

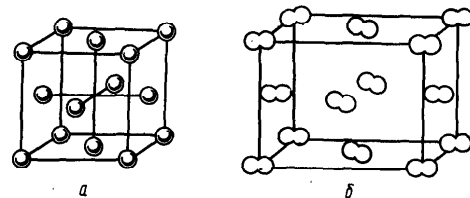
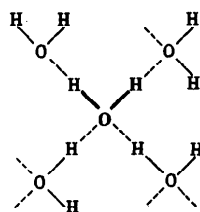


Рис. 66. Кристаллические решетки:

а – аргона; б – иода

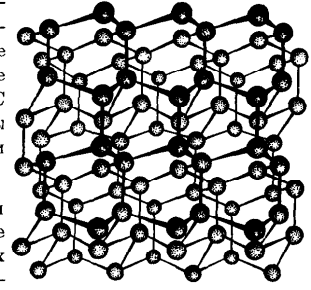
несвязывающие электронные пары, может образовывать четыре водородные связи. Поэтому в кристалле льда (рис. 67) каждая молекула воды тетраэдрически соединена водородными связями с четырьмя ближайшими к ней молекулами, что в плоскостном изображении можно представить схемой



Поскольку водородная связь длиннее ковалентной, структура льда довольно рыхлая и имеет много свободных полостей. Этим объясняется необычно малая плотность льда и способность образовывать так называемые *клатратные* соединения. Если для льда координационное число атома кислорода равно 4, то в воде при 15 °C оно составляет 4,4, а при 83 °C – 4,9, так как некоторые молекулы воды заполняют пустоты между тетраэдрически связанными молекулами.

Различия в типе химической связи кристаллов определяют существенное отличие физических и химических свойств вещества с ионной, атомно-ковалентной, атомно-металлической и

Рис. 67. Структура льда. Каждая молекула тетраэдрически связана с соседними



решеткой характеризуются высокой твердостью, а с атомно-металлической решеткой — пластичностью.

Вещества с ионной и в особенности с атомно-коvalентной решеткой обладают высокой температурой плавления; они не летучи. Поскольку межмолекулярные силы слабы, вещества с молекулярной решеткой (с одно- и трехатомными молекулами — He, H₂, O₂, O₃ и CO₂ и др.) напротив, легкоплавки, летучи; твердость их невелика.

§ 3. ОСНОВНЫЕ СТРУКТУРНЫЕ ТИПЫ НЕОРГАНИЧЕСКИХ ВЕЩЕСТВ

По характеру межатомных (межионных) расстояний в кристаллах различают *островные*, *цепные*, *слоистые* и *координационные* структуры.

Островные, цепные и слоистые структуры. В островных, цепных и слоистых решетках можно выделить группы атомов, которые образуют соответственно изолированные островки, бесконечные цепи и слои (сетки). Роль островков, цепей и слоев могут играть молекулы или комплексные ионы.

К островным относятся молекулярные (см. рис. 66 и 67), а также ионные решетки, составленные из сложных ионов (рис. 68). Последние играют роль самостоятельных структурных единиц и занимают соответствующие узлы кристаллической решетки.

Так, в кристаллах K₂[SiF₆] и [Ni(NH₃)₆]Cl₂ роль островков играют октаэдрические комплексные ионы SiF₆²⁻ и Ni(NH₃)₆²⁺ (рис. 68).

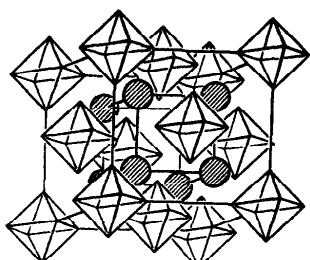
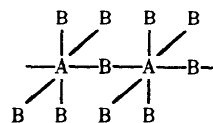


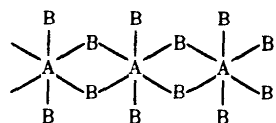
Рис. 68. Кристаллическая решетка соединений типа: $M_2^{+1}[\text{ENa}]_6$ или $[M^2(\text{NH}_3)_6]\text{X}_2$:
октаэдры — ионы SiF_6^{2-} , TiCl_6^{2-} , $\text{Ni}(\text{NH}_3)_6^{2+}$; кружки — ионы NH_4^+ , K^+ , Cl^- , Br^- и др.

Рассмотрим некоторые типы цепей и сеток (слоев), из которых образованы химические соединения. Допустим, для атома А характерно координационное число 6 и при его сочетании с атомами В образуется октаэдрическая группировка AB₆. Если подобные октаэдрические структурные единицы друг с другом не связаны, то возникает островная структура. Если же октаэдрические структурные единицы объединяются друг с другом, то в зависимости от способа их объединения возможны следующие случаи.

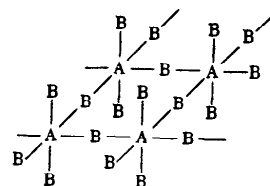
1. Октаэдрическая структурная единица AB₆ объединяется с соседней через одну вершину, образуя бесконечную цепь стехиометрического состава AB₅:



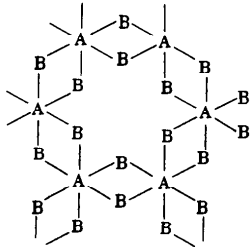
2. Соседние октаэдры AB₆ объединяются двумя вершинами (ребром), образуя бесконечную цепь стехиометрического состава AB₄:



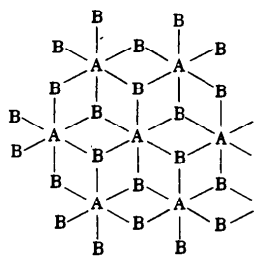
3. Октаэдрические структурные единицы AB₆ объединяются с четырьмя соседними через вершины в плоскую двухмерную сетку (слой) стехиометрического состава AB₄:



4. Октаэдрические структурные единицы AB_6 объединяются с тремя соседними ребрами, образуя слой стехиометрического состава AB_3 :

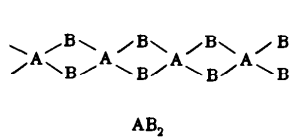
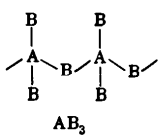


5. Октаэдры AB_6 объединяются ребрами с шестью соседними, образуя слой стехиометрического состава AB_2 :

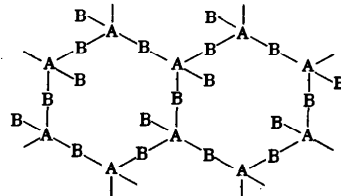


6. Октаэдрические структурные единицы AB_6 объединяются с шестью соседними за счет всех своих вершин (т.е. в трех измерениях); образуется координационная решетка состава AB_3 (рис. 69, А).

Аналогично можно показать образование цепей, слоев и координационных структур при объединении друг с другом тетраэдрических структурных единиц AB_4 . Так, при объединении тетраэдров AB_4 с двумя соседними вершинами или ребром (двумя вершинами) образуются цепи соответственно состава AB_3 и AB_2 :



Объединение тетраэдрических структурных единиц AB_4 за счет использования трех вершин приводит к слоистой структуре стехиометрического состава A_2B_5 :



Если же тетраэдрические структурные единицы AB_4 на связь с соседними дают четыре вершины, то это приводит к координационной решетке стехиометрического состава AB_2 (рис. 69, Б).

Координационные структуры. Координационными называются решетки, в которых каждый атом (ион) окружен определенным числом соседей, находящихся на равных расстояниях и удерживаемых одинаковым типом химической связи (ионной, ковалентной, металлической). К координационным относятся ранее рассмотренные решетки хлорида натрия и хлорида цезия (см. рис. 57, 58), алмаза (см. рис. 65) и металлов.

Некоторые наиболее простые и часто встречающиеся структурные типы координационных кристаллов соединений приведены на рис. 69.

В кристаллах веществ стехиометрического состава AB координационные числа атомов (ионов) A и B равны. При этом наиболее часто встречаются следующие типы координации атомов (ионов): октаэдро-октаэдрическая координация — структурный тип NaCl (рис. 69, А), кубо-кубическая координация — структурный тип CsCl (рис. 69, А), тетраэдро-тетраэдрическая координация — структурный тип ZnS (рис. 69, А).

Для веществ стехиометрического состава AB_2 координационные числа атомов (ионов) относятся как 2:1. Для этого случая наблюдаются кубо-тетраэдрическая координация — структурный тип CaF_2 (рис. 69, Б), октаэдро-треугольная координация — структурный тип TiO_2 (рис. 69, Б), тетраэдро-линейная (угловая) координация — структурный тип SiO_2 (рис. 69, Б).

Координационная решетка соединений состава AB_3 отвечает соотношению координационных чисел A и B как 3:1. Структура этих соединений чаще всего отвечает структурному типу ReO_3 (рис. 69, Б).

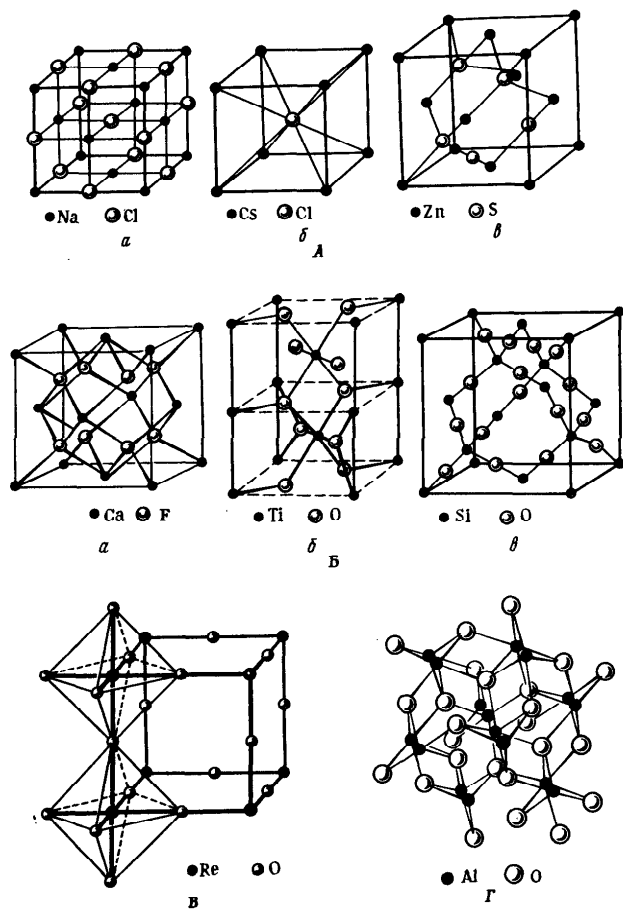
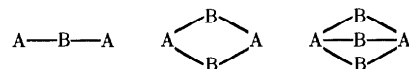


Рис. 69. Важнейшие типы координационных решеток кристаллов:
 А – состав AB, структурный тип: а – NaCl; б – CsCl; в – ZnS (сфалерит); Б – состава
 AB₂, структурный тип: а – CaF₂ (флюорит); б – TiO₂ (рутин); в – SiO₂ (кристобалит);
 В – состава A₂B₃, структурный тип ReO₃; Г – состава A₂B₃, структурный тип α -Al₂O₃
 (корунд)

В координационных кристаллах соединений состава A₂B₃ координационные числа атомов (ионов) относятся как 6:4, что отвечает октаэдро-тетраэдрической координации. Строение подобных соединений относится к структурному типу α -Al₂O₃ (рис. 69, Г).

Роль мостиков (общих вершин), объединяющих структурные единицы в димеры, цепи, слои, трехмерные каркасы, чаще всего играют атомы галогенов, кислорода, серы, азота, а также группировки типа OH, NH₂, OO и др. При этом мостики могут быть одинарными, двойными и реже тройными:



Это обусловлено различием в размерах мостиковых атомов B. Когда B = F, O, обычно образуются одиночные мостики, а когда B = Cl, S – двойные или тройные.

Вследствие различия в природе мостиковых атомов однотипные соединения данного элемента существенно отличаются по структуре. Так, для Be (II) и Si (IV) характерны координационное число 4 и тетраэдрическая структурная единица. Однако в случае BeF₂ и SiO₂ тетраэдрические структурные единицы объединяются в координационный кристалл (рис. 69, Б), а в случае BeCl₂ и SiS₂ – в цепь.

Отсюда понятно часто наблюдаемое существенное различие в свойствах фторидов и оксидов, с одной стороны, и однотипных им хлоридов и сульфидов – с другой. Например, BeF₂ и SiO₂ тугоплавки, в воде не растворяются, химически неактивны, тогда как температуры плавления у BeCl₂ и SiS₂ значительно ниже, растворимость в воде и химическая активность выше.

Приведем примеры соединений, имеющих основные, цепные, слоистые и координационные кристаллические решетки.

Структурная единица – октаэдр AB₆

Островная решетка

состав молекулы * (иона) AB₆: SF₆, K₂[SiF₆], M₃[FeF₆], Ba₂[XeO₆]⁺¹

* Квадратными скобками выделены сложные ионы, играющие роль островков, цепей, слоев.

Цепная решетка

состав цепи AB_3 : SbF_5 , $Na_2[AlF_5]$, $M_2[FeF_5]$
⁺¹
 AB_4 : $CuCl_2 \cdot 2H_2O^*$, $CdCl_2 \cdot 2NH_3^*$

Слоистая решетка

состав слоя AB_4 : SnF_4 , $Na[AlF_4]$, $M[FeF_4]$
 AB_3 : $FeCl_3$, $AlCl_3$, $Al(OH)_3$
 AB_2 : CdI_2 , $MnCl_2$, $Cd(OH)_2$

Координационная решетка

состав соединения AB_3 : ReO_3 , AlF_3 , WO_3 , FeF_3
 AB_2 : TiO_2 (рутин), MnO_2 , MnF_2 , GeO_2
 AB : $NaCl$, FeO , MnO
 A_2B_3 : Al_2O_3 , Cr_2O_3 , Fe_2O_3

Структурная единица — тетраэдр AB_4

Островная решетка

состав молекулы (иона) AB_4 : CF_4 , $K_2[SO_4]$, $K_2[BeF_4]$

Цепная решетка

состав цепи AB_3 : $K[BeF_3]$, SO_3 , $Na[PO_3]$
 AB_2 : SiS_2 , $BeCl_2$

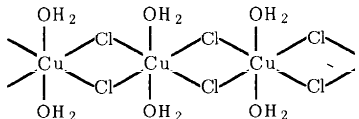
Слоистая решетка

состав слоя A_2B_5 : P_2O_5 , $Na_2[Si_2O_5]$

Координационная решетка

состав соединения AB_2 : SiO_2 , BeF_2
 AB : ZnS , BeO , $AlAs$

* Роль мостиков играют атомы Cl, например:



Структурная единица — квадрат AB₄

Островная решетка

состав молекулы (иона) AB_4 : $K_2[PdCl_4]$

Цепная решетка

состав цепи AB_2 : $PdCl_2$

Слоистая решетка

состав слоя AB_2 : $Pd(CN)_2$

Координационная решетка

состав соединения AB^* : PtO , PtS

Координационные решетки трехэлементных соединений. Структуру координационных соединений, образованных тремя-четырьмя элементами, можно представить по аналогии со структурой бинарных соединений. Так, производной структуры корунда (рис. 69, Г) является структура минерала ильменита $FeTiO_3$. Кристалл последнего можно рассматривать как кристалл $\alpha-Al_2O_3$, в котором вместо атомов Al поочередно расположены атомы Fe и Ti.

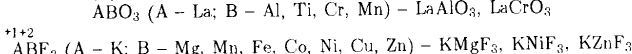
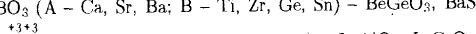
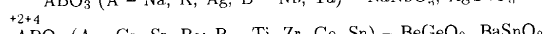
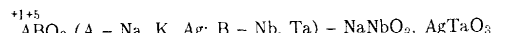
Атомы Fe в ильмените могут замещаться атомами Mg, Mn, Ni, Co, Cd, а атомы Ti — атомами V, Nb, Rh, Mn и др. Представителями структурного типа ильменита, таким образом, являются: $MgTiO_3$, $MnTiO_3$, $CoTiO_3$, $CdTiO_3$, $FeVO_3$, $LiNbO_3$, $FeRhO_3$, $CoMnO_3$ и др.

Рис. 70. Структура перовскита $CaTiO_3$

Структуру, родственную структурному типу ReO_3 (см. рис. 69, В), имеет минерал перовскит $CaTiO_3$. В нем атомы Ti занимают положения атомов Re, а атомы Ca располагаются в центрах кубических элементарных ячеек (рис. 70). Каждый атом Ti в $CaTiO_3$ окружен по вершинам октаэдра шестью атомами кислорода, а атом Ca — двенадцатью.

* Квадратно-тетраэдрическая координация атомов.

В структурном типе перовскита кристаллизуются соединения типа ABX_3 :



а также $\overset{+1+2}{\text{ABC}_3}$ ($\text{A} = \text{Cs; B} = \text{Cd, Hg, Ca}$), $\overset{+2+4}{\text{ABS}_3}$ ($\text{A} = \text{Sr, Ba; B} = \text{Ti}$) и др.

В качестве производной структурного типа ZnS можно рассматривать структуру минерала *халькопирита* CuFeS_2 , в котором вместо атомов Zn поочередно располагаются атомы Cu и Fe .

Полиморфизм. В зависимости от внешних условий одно и то же твердое вещество может иметь разные по симметрии и структуре кристаллы. Способность данного твердого вещества существовать в виде двух или нескольких кристаллических структур называют *полиморфизмом*. Разные кристаллические структурные формы вещества называют *полиморфными модификациями*.

Явление полиморфизма очень распространено. Почти все вещества при известных условиях могут быть получены в разных модификациях. Общеизвестным примером полиморфизма являются три формы углерода: алмаз, графит и карбон. Графит имеет слоистую, карбонцептную, а алмаз — координационную решетку. Одна из модификаций хлорида аммония, существующая при обычной температуре, кристаллизуется в структурном типе CsCl (к. ч. ионов 8), высокотемпературная модификация — в структурном типе NaCl (к. ч. ионов 6). Несколько модификаций имеют SiO_2 и Al_2O_3 .

Полиморфные превращения могут сопровождаться и существенными изменениями типа химической связи. Так, в алмазе связи ковалентные, в графите внутри слоя — ковалентно-металлические, а между слоями — межмолекулярные.

В соответствии с различием в кристаллической структуре (в особенностях в типах химической связи) полиморфные модификации различаются (иногда очень резко) по своим физическим свойствам — плотности, твердости и пластичности, электрической проводимости и пр. Так, графит черного цвета, непрозрачен, проводит электрический ток. Алмаз — прозрачен, электрический ток практически не проводит. Графит — мягкое вещество, а алмаз — самое твердое из всех известных природных веществ; плотность графита 2,22 г/см³, алмаза 3,51 г/см³.

Полиморфные модификации отличаются, иногда очень заметно, и по химической активности.

Полиморфные модификации обычно обозначают греческими буквами. Буквой α обозначают модификацию, устойчивую при комнатной или при более низких температурах, β — модификацию, устойчивую при более высоких температурах, γ и δ — соответственно еще более высокотемпературные модификации. Так, модификация $\alpha\text{-Sn}$, имеющая кубическую алмазоподобную структуру, устойчива ниже 13,2°C, а $\beta\text{-Sn}$, имеющая тетрагональную структуру, устойчива в обычных условиях вплоть до температуры плавления.

Переход вещества из низкотемпературной формы в высокотемпературную сопровождается поглощением теплоты, а при обратном процессе — выделением теплоты. Подобные тепловые эффекты называют *теплотой полиморфного превращения*.

§ 4. ХАРАКТЕРНОЕ КООРДИНАЦИОННОЕ ЧИСЛО ЭЛЕМЕНТА И СТРУКТУРА ЕГО СОЕДИНЕНИЙ

Ранее было показано, что для неметаллических элементов третьего периода в высших степенях окисления характерны оксокомплексы тетраэдрического строения (табл. 13).

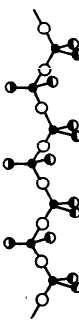
Можно полагать, что из тетраэдрических структурных единиц O_4 построены также их высшие оксиды и полимерные оксокомплексы. Справедливость такого предположения подтверждается экспериментальными данными по строению оксидов Cl_2O_7 , SO_3 , P_2O_5 и SiO_2 , а также соответствующих полимерных оксокомплексов. Как видно из табл. 13, молекула оксида хлора (VII) Cl_2O_7 составлена из двух октагидратных тетраэдров ClO_4 , объединенных одной общей вершиной (атомом кислорода).

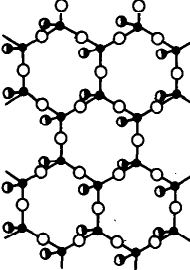
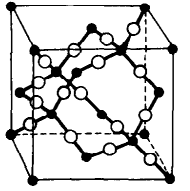
В оксиде серы (VI) тетраэдры SO_4 на образование мостиковых связей предстаивают по две вершины, что приводит к цепной структуре $(\text{SO}_3)_\infty$. При использовании на образование мостиковых связей трех вершин оксофосфатных тетраэдров PO_4 образуется слоистая структура $(\text{P}_2\text{O}_5)_{2\infty}$. И наконец, SiO_2 имеет координационную решетку $(\text{SiO}_2)_{3\infty}$ за счет использования на образование мостиковых связей всех четырех атомов кислорода кремнекислородного тетраэдра SiO_4 .

Усложнение структур в ряду одного и того же класса соединений

5 Общая и неорганическая химия

Таблица 13. Способы объединения тетраэдрических структурных единиц ЭО₄, состав и строение оксосоединений Cl(VII), Si(VI), P(V), Si(IV)

Способы объединения тетраэдров ЭО ₄	Число мостиковых атомов кислорода одного тетраэдра	Соединения			
		Si(IV)	P(V)	Si(VI)	Cl(VII)
	0	SiO ₄ ⁴⁻	PO ₄ ³⁻	SO ₄ ²⁻	ClO ₄ ⁰
мономер					
	1	Si ₂ O ₇ ⁵⁻	P ₂ O ₇ ⁴⁻	S ₂ O ₇ ²⁻	Cl ₂ O ₇ ⁰
димер					
	2	(SiO ₃ ²⁻) _∞	(PO ₃) _∞	(SO ₃) _∞	-
цепной полимер					

Способы объединения тетраэдров ЭО ₄	Число мостиковых атомов кислорода одного тетраэдра	Соединения			
		Si(IV)	P(V)	Si(VI)	Cl(VII)
	3	(Si ₂ O ₅ ²⁻) _∞	(P ₂ O ₅ ⁰) _{2∞}	-	-
слоистый полимер					
	4	(SiO ₂) _{3∞}	-	-	-
трехмерный полимер – координационный кристалл					

обуславливает повышение температуры плавления и уменьшение химической активности соединений. Так, в рассматриваемом ряду оксидов

Cl_2O_7	$(\text{SO}_3)_{\infty}$	$(\text{P}_2\text{O}_5)_{2\infty}$	$(\text{SiO}_2)_{3\infty}$
T. пл., °C	-93,4	62,2	580

резко повышается температура плавления и падает химическая активность. В частности, существенно различно отношение этих оксидов к воде. Взаимодействие Cl_2O_7 с водой непосредственно приводит к образованию HClO_4 . Достаточно легко разрываются (вследствие пространственной доступности) мостиевые связи и в цепной модификации $(\text{SO}_3)_{\infty}$ с образованием H_2SO_4 . Что же касается слоистой модификации $(\text{P}_2\text{O}_5)_{2\infty}$, то ее взаимодействие с водой протекает достаточно сложно. Лишь длительное кипячение $(\text{P}_2\text{O}_5)_{2\infty}$ в присутствии сильных кислот приводит к разрыву связей в слоистом полимере и образованию H_3PO_4 . Разрыв же связей между оксосиликатными тетраэдрами трехмерного полимера $(\text{SiO}_2)_{3\infty}$ в воде практически не происходит, поэтому в обычных условиях диоксид кремния в воде не растворяется.

Рассмотрим еще один пример — строение фторидов *p*-элементов 5-го периода TeF_6 , SbF_5 , SnF_4 и InF_3 . Для этих элементов характерно координационное число шесть, что отвечает октаэдрической структурной единице.

Для атома теллура, имеющего шесть валентных электронов, координационное число шесть реализуется в октаэдрической молекуле TeF_6 . Реализация этого же координационного числа у атома сурьмы (пять электронов) возможна лишь при объединении октаэдров в цепной полимер состава SbF_5 . Для олова (четыре электрона) это возможно лишь при образовании слоистого полимера состава SnF_4 . И наконец, для индия (три электрона) — при образовании трехмерного полимера состава InF_3 (см. рис. 69, *B*).

В соответствии с усложнением структур в этом ряду свойства существенно изменяются. Так, в обычных условиях TeF_6 — газ, SbF_5 — вязкая жидкость, а SnF_4 и InF_3 — кристаллические вещества с температурой возгонки 700°C и плавления 1170° соответственно. Усложнение структуры сказывается также на уменьшении растворимости в воде и понижении химической активности этих соединений.

Как уже указывалось, в подгруппах характерные координационные числа элементов с ростом порядкового номера увеличиваются. Поэтому при одном и том же стехиометрическом составе соединения имеют разное строение, а следовательно, и разные свойства.

Рассмотрим ряд диоксидов *p*-элементов IV группы: CO_2 , SiO_2 , GeO_2 , SnO_2 . Для С (IV) характерно координационное число два, для Si (IV) — четыре, для Ge (IV) — четыре и шесть, а для Sn (IV) — шесть. Таким образом, только состав диоксида углерода CO_2 отвечает устойчивому координационному числу центрального атома и потому CO_2 мономолекулярен. Что же касается остальных диоксидов, то они должны быть полимерными соединениями. Координационные кристаллы одной из модификаций GeO_2 относятся к структурному типу SiO_2 (см. рис. 69, *B*), другой модификации — к структурному типу рутила TiO_2 (см. рис. 69, *B*). Структуру типа рутила имеют и кристаллы SnO_2 .

§ 5. ЗОННАЯ ТЕОРИЯ КРИСТАЛЛОВ

Энергетические зоны. Общий подход к рассмотрению ионных, ковалентных и металлических кристаллов дает зонная теория кристаллов, которая рассматривает твердое тело как единый коллектив взаимодействующих частиц. Эта теория представляет собой теорию молекулярных орбиталей для системы с очень большим числом ($\sim 10^{23}$) атомов.

Как известно, в представлениях теории молекулярных орбиталей при взаимодействии двух атомов происходит перекрывание атомных орбиталей с образованием связывающих и разрывающих молекулярных орбиталей и каждое такое атомное энергетическое состояние расщепляется на два, в системе из четырех атомов — на четыре, в системе из восьми атомов — на восемь и т.д. молекулярных состояний. Чем больше атомов в системе, тем больше молекулярных состояний. Пусть из N атомов образуется кристалл, тогда каждое атомное состояние сместится энергетически и расщепится на N состояний (рис. 71). Так как число N очень велико (в 1 cm^3 металлического кристалла содержится 10^{22} — 10^{23} атомов), то N состояний сближаются, образуя **энергетическую зону**. Энергетическое различие состояний электронов в присоединении атомов пределах зоны составляет всего лишь 10^{-22} эВ, поэтому изменение энергии электрона в зоне можно представить как непрерывную полосу энергии. Орбитали энергетической зоны, кристаллические орбитали, можно считать аналогами молекулярных орбиталей, простирающихся по всему кристаллу.

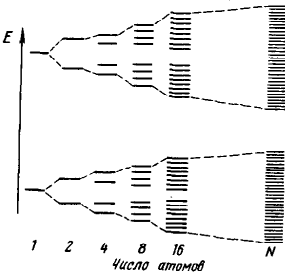


Рис. 71. Построение энергетических зон при последовательном различии состояний электронов в присоединении атомов

На рис. 72 показано возникновение энергетических зон кристалла из энергетических уровней атомов по мере сближения последних. Предположим, что атомы расположены в узлах некой кристаллической

решетки с межатомными расстояниями, во много раз большими, чем в решетке реального кристалла. Энергетические состояния такого гипотетического кристалла представляют собой квантовые состояния изолированных атомов. Сближение же атомов отвечает их взаимодействию и превращению атомных энергетических уровней в энергетические зоны. Ширина и положение энергетических зон определяются равновесным расстоянием r_0 между атомами.

Орбитали энергетической зоны заполняются двумя электронами, как и орбитали атома и молекулы, в порядке их расположения по энергиям и в соответствии с принципом Паули. Следовательно, максимально возможное число электронов в зонах, возникающих за счет перекрывания атомных s , p , d , f , ... орбиталей, соответственно равно $2N$ (s -зоны), $6N$ (p -зоны), $10N$ (d -зоны), $14N$ (f -зоны). ... Зона, которую занимают электроны, осуществляющие связь, называется **валентной** (на рис. 72 степень заполнения валентной зоны показана штриховкой). Свободная зона, расположенная энергетически выше валентной, называется **зоной проводимости**.

В зависимости от структуры атомов и симметрии кристаллической решетки валентная зона и зона проводимости могут перекрывать (рис. 72, б) или не перекрывать друг друга (рис. 72, а). В последнем случае между зонами имеется энергетический разрыв, именуемый **запрещенной зоной**. В соответствии с характером расположения и заполнения зон вещества являются диэлектриками (изоляторами), полупроводниками и проводниками (металлами). Ширина запрещенной зоны ΔE диэлектриков составляет более 3 эВ, полупроводников — от 0,1 до 3 эВ. В металлических кристаллах вследствие перекрывания зон запрещенная зона отсутствует.

Рассмотрим характер заполнения энергетических зон металлических, ковалентных и ионных кристаллов.

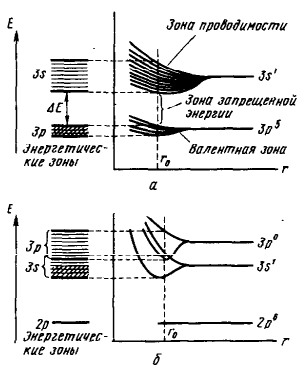


Рис. 72. Возникновение энергетических зон кристаллов NaCl (а) и Na (б) из энергетических уровней атомов по мере их сближения: а — зоны не перекрываются; б — зоны перекрываются

соответственно равно $2N$ (s -зоны), $6N$ (p -зоны), $10N$ (d -зоны), $14N$ (f -зоны). ... Зона, которую занимают электроны, осуществляющие связь, называется **валентной** (на рис. 72 степень заполнения валентной зоны показана штриховкой). Свободная зона, расположенная энергетически выше валентной, называется **зоной проводимости**.

В зависимости от структуры атомов и симметрии кристаллической решетки валентная зона и зона проводимости могут перекрывать (рис. 72, б) или не перекрывать друг друга (рис. 72, а). В последнем случае между зонами имеется энергетический разрыв, именуемый **запрещенной зоной**. В соответствии с характером расположения и заполнения зон вещества являются диэлектриками (изоляторами), полупроводниками и проводниками (металлами). Ширина запрещенной зоны ΔE диэлектриков составляет более 3 эВ, полупроводников — от 0,1 до 3 эВ. В металлических кристаллах вследствие перекрывания зон запрещенная зона отсутствует.

Рассмотрим характер заполнения энергетических зон металлических, ковалентных и ионных кристаллов.

Металлические кристаллы. У элементов с одним s -электроном в кристаллах валентная зона построена из s -орбиталей и заполнена лишь наполовину (рис. 72, б). Следовательно, при незначительном возбуждении энергетическое состояние каждого из электронов может меняться в пределах всей энергетической зоны. Это имеет место, например, приложении к металлу электрического поля. Тогда электроны начинают двигаться в направлении поля, что определяет электрическую проводимость металлов.

В случае элементов с двумя валентными электронами s -зона заполнена. Однако, если s - и p -уровни в изолированных атомах близки, то в кристаллах соответствующие зоны перекрываются. Следовательно, и в этом случае число валентных электронов недостаточно для заполнения энергетических зон перекрывающихся зон.

Таким образом, металлические кристаллы образуются элементами, в атомах которых число валентных электронов мало по сравнению с числом энергетически близких валентных орбиталей. Вследствие этого химическая связь в металлических кристаллах сильно делокализована.

Ковалентные кристаллы. Заполнение энергетических зон ковалентного кристалла рассмотрим на примере алмаза, у которого ширина запрещенной зоны $\Delta E = 5,7$ эВ. Электроны атомов углерода полностью заполняют валентную зону. Поскольку переход электронов из валентной зоны в зону проводимости требует большой энергии возбуждения, которая в обычных условиях не реализуется, алмаз является диэлектриком.

Кристаллический кремний имеет такую же структуру, как и алмаз. Следовательно, в кристалле кремния валентная зона укомплектована полностью. Однако ширина запрещенной зоны в этом случае составляет всего $\Delta E = 1,12$ эВ. Следовательно, при небольшом возбуждении валентные электроны могут переходить в зону проводимости, т.е. кремний — полупроводник.

Ионные кристаллы. В кристалле хлорида натрия (см. рис. 72, а) валентные электроны атомов Na ($3s^1$) и Cl ($3s^23p^5$) заполняют валентную энергетическую зону $3p$. В представлении теории ионной связи это отвечает переходу электронов от атомов Na к атомам Cl и образованию ионов Na^+ и Cl^- . Поскольку энергетическое различие между валентной $3p$ -зоной и свободной $3s$ -зоной велико ($\Delta E \sim 6$ эВ), в обычных условиях NaCl электронной проводимостью не обладает.

Молекулярные кристаллы. В молекулярных кристаллах молекулы связаны друг с другом за счет межмолекулярных электростатических

сил; энергетические уровни локализованы в пределах молекулы. Переход электронов между молекулами в обычных условиях не происходит.

§ 6. ПОЛУПРОВОДНИКИ

Как уже известно, в полупроводниках для перехода электронов из валентной зоны в зону проводимости требуется сравнительно небольшая энергия. При этом в результате поглощения кванта энергии (нагревание или освещение) связь, обусловливаемая парой электронов, разрывается: один из электронов переходит в зону проводимости и в данном энергетическом состоянии валентной зоны вместо двух электронов остается один, т.е. образуется вакансия — так называемая положительно заряженная дырка:



При наложении электрического поля электроны, перешедшие в зону проводимости, перемещаются к аноду. В валентной же зоне электрон, находящийся рядом с дыркой, перемещается на это свободное место, и освобождается новая дырка, на которую перемещается

Рис. 73. Зонная схема собственной проводимости полупроводников

и число дырок увеличивается с повышением температуры или освещенности. В этом существенное отличие полупроводников от металлов:

их электрическая проводимость существенно возрастает с повышением температуры, тогда как у металлов, наоборот, проводимость с повышением температуры падает.

При температуре абсолютного нуля в отсутствие других внешних воздействий электроны в полупроводниках не обладают энергией, достаточной для преодоления запрещенной зоны. Поэтому полупроводник в этих условиях является диэлектриком. Следовательно, деление веществ на полупроводники и диэлектрики условно. Чем больше ширина запрещенной зоны, тем выше должна быть температура, при которой возникает электронно-дырочная проводимость.

При наличии в полупроводниковых материалах примесей соотношение числа электронов и дырок может изменяться, т.е. может усиливаться или дырочная, или Электронная проводимость. Предположим, что в кристалле кремния в качестве примеси имеются атомы мышьяка ($4s^24p^3$). При образовании связей с окружающими атомами кремния ($3s^23p^2$) атомы мышьяка используют четыре своих электрона. Пятый же электрон сравнительно легко возбуждается и переходит в зону проводимости. Таким образом, примесь мышьяка усиливает у кремния электронную проводимость. Наоборот, введение в кристалл кремния атомов бора ($2s^22p^1$) приводит к валентной недонасыщенности атомов Si, т.е. усиливает у полупроводника дырочную проводимость.

Дефекты структур кристаллов также влияют на электрическую проводимость полупроводников, обычно вызывая дырочную проводимость. В зависимости от преобладания того или иного вида проводимости различают полупроводники типа n -типа и полупроводники p -типа.

Полупроводниковыми свойствами могут обладать все кристаллы с неметаллическими связями, хотя они наиболее отчетливо проявляются у веществ с ковалентными связями малой энергии. Из простых веществ полупроводниковые свойства в обычных условиях проявляют кремний, германий, селен, теллур, бор. Из сложных веществ особый интерес представляют соединения, имеющие алмазоподобную кристаллическую решетку.

§ 7. ТВЕРДЫЕ РАСТВОРЫ

Как и в индивидуальных кристаллических веществах, в твердых растворах атомы, ионы или молекулы удерживаются в кристаллической решетке силами межатомного, межионного или межмолекулярного взаимодействия. Но кристаллическую решетку твердого раствора образуют частицы двух или более веществ, размещенные относительно друг друга неупорядоченно. Иными словами, твердый раствор пред-

* От лат. negative (отрицательный) и positive (положительный).

ставляет собой смешанный кристалл. В зависимости от способа размещения частиц различают твердые растворы замещения и твердые растворы внедрения (рис. 74).

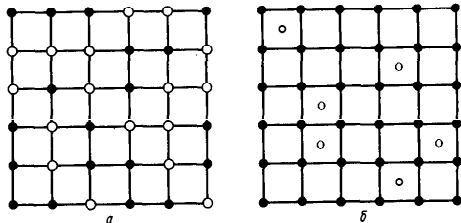


Рис. 74. Твердые растворы замещения (а) и внедрения (б)

Твердые растворы замещения образуются в том случае, если кристаллические решетки компонентов однотипны и размеры частиц компонентов близки (рис. 74, а). Необходимым условием образования твердых растворов является также и известная близость химических свойств веществ (одинаковый тип химической связи). Так, в кристалле KCl хлорид-ионы могут быть постепенно замещены бромид-ионами, т.е. можно осуществить практически непрерывный переход вещества от состава KCl к составу KBr без заметного изменения устойчивости кристаллической решетки. Свойства образующихся твердых растворов непрерывно меняются от KCl к KBr. Ниже приведены примеры ионных, атомных, молекулярных и металлических твердых растворов замещения.

Кристаллическая решетка

Атомно-ковалентная
Ионная
Атомно-металлическая
Молекулярная

Непрерывные ряды твердых растворов замещения

Si – Ge, Se – Te
KCl – KBr, K₂SO₄ – K₂BeF₄
Ag – Au, Au – Pt
Br₂ – I₂

Если размер частиц одного из компонентов не превышает 2/3 размера частиц другого, то возможно образование твердых растворов внедрения путем проникновения меньших по размеру частиц в междоузлия кристаллической решетки, образованной более крупными частицами (рис. 74, б). Твердые растворы внедрения, например, образуются при совместной кристаллизации железа и углерода, при адсорбции некоторыми металлами водорода и т.д.

Образование твердых растворов из компонентов сопровождается (как и в случае жидких растворов) энергетическим эффектом, изменением общего объема, а также изменением ряда свойств исходных компонентов.

Твердые растворы чаще всего получают при кристаллизации жидких растворов. Так, твердый раствор Ag–Au образуется при кристаллизации жидкого расплава этих металлов; при совместной кристаллизации из водного раствора или из расплава получаются смешанные кристаллы KCl–KBr и т.д.

ГЛАВА 2. ЖИДКОЕ СОСТОЯНИЕ. ЖИДКИЕ РАСТВОРЫ

§ 1. ЖИДКОЕ СОСТОЯНИЕ

Взаимодействия между частицами вещества в жидком состоянии достаточно сильны, чтобы препятствовать беспорядочному перемещению частиц, но все же недостаточны для прекращения их перемещения относительно друг друга.

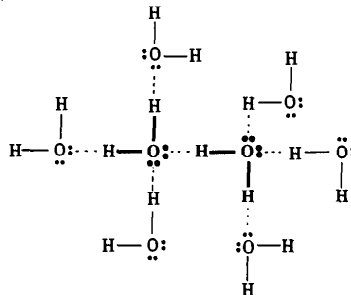
Подобно твердому телу жидкость обладает определенной структурой. Например, структура жидкой воды напоминает структуру льда: молекулы H₂O соединены друг с другом посредством водородных связей, и для большинства молекул сохраняется тетраэдрическое окружение. Однако в отличие от льда в жидкой воде проявляется лишь ближний порядок — за счет изгиба и растяжения водородных связей относительное расположение тетраэдрических структурных единиц оказывается неупорядоченным. Кроме того, вследствие перемещения молекул часть водородных связей разрывается и состав структурных единиц постоянно меняется. Непрерывное перемещение частиц определяет сильно выраженную самодиффузию жидкости и ее текучесть.

По структуре жидкое состояние является промежуточным между твердым состоянием со строго определенной периодической структурой во всем кристалле (наличие дальнего порядка) и газом, в котором отсутствует какая-либо структура и движение частиц беспорядочно. Отсюда для жидкости характерно, с одной стороны, наличие определенного объема, а с другой — отсутствие определенной формы. Первое обстоятельство сближает ее с твердыми телами, второе — с газами. У жидкости вблизи температуры затвердевания упорядоченность внутренней структуры становится более четко выраженной. Напротив, по мере приближения жидкости к температуре кипения усиливается беспорядок во взаимном расположении частиц.

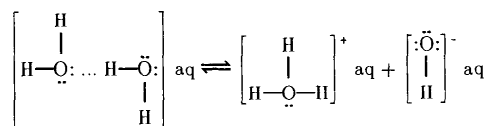
Структура и физические свойства жидкости зависят от химической индивидуальности образующих ее частицы, а также от характера и интенсивности сил, действующих между ними. Для воды, как мы видели, большую роль в ассоциации молекул играют водородные связи. У неполярных молекул взаимодействие и взаимное расположение обусловливаются дисперсионными силами. Иначе говоря, общие закономерности образования структурных единиц для жидких тел такие же, как и для твердых тел. Отличие заключается в отсутствии жесткости в структуре и дальнего порядка в расположении частиц.

§ 2. ИОНИЗАЦИЯ МОЛЕКУЛ ЖИДКОСТИ

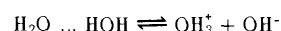
Многие неорганические соединения (вода, аммиак, соли, щелочи и др.) в жидком состоянии распадаются на ионы. Рассмотрим самоионизацию воды. Молекулы воды связаны друг с другом водородной связью и взаимно влияют друг на друга. На схеме жирным шрифтом выделены две молекулы воды, непосредственно взаимодействующие друг с другом:



Кроме того, эти молекулы находятся в поле действия соседних молекул и связаны с ними водородной связью. Тепловое движение частиц относительно друг друга может ослабить в одной из молекул связь О—Н и разорвать ее. Разрыв сопровождается переходом протона к соседней молекуле за счет превращения водородной связи в ковалентную по донорно-акцепторному механизму:

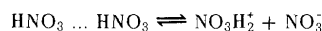
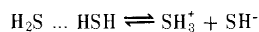
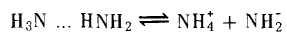


или



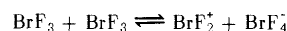
В результате ионизации молекул H_2O возникают гидратированные ионы OH^- и OH_3^+ . При столкновении их снова образуются молекулы воды, т.е. процесс ионизации обратим. Процессы ионизации и моллизации протекают непрерывно. Вследствие прочности связи О—Н степень ионизации воды в общем незначительна.

Аналогичная картина самоионизации имеет место и в других жидкостях, молекулы которых связаны друг с другом водородными связями, например:



В приведенных примерах также осуществляется переход протона от одной молекулы к другой. В результате возникают отрицательный и положительный ионы, окруженные оболочкой неионизированных молекул. В общем случае такие ионы называются *сольватированными*. Реакции, сопровождающиеся передачей протона, называются *протолитическими*.

В других случаях самоионизация жидкости осуществляется за счет передачи каких-либо других ионов, например:



Подобные реакции называются *апротолитическими*.

§ 3. АМОРФНОЕ СОСТОЯНИЕ

Рентгеноструктурные исследования показывают, что аморфное состояние подобно жидкому, т.е. характеризуется неполной упорядоченностью взаимного расположения частиц. На рис. 75 приведена структура стеклообразного диоксида кремния. Как видно, упорядоченное взаимное расположение структурных единиц, характерное для кристаллического SiO_2 (см. рис. 69, Б), в стеклообразном SiO_2 строго

* Вероятность существования в водном растворе негидратированного иона H^+ крайне мала ($1:10^{190}$).

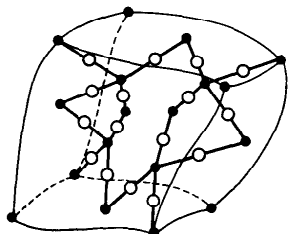


Рис. 75. Строение аморфного оксида кремния (IV) SiO_2

не выдерживается. Вследствие этого связи между структурными единицами неравноценны. Поэтому у аморфных тел нет определенной температуры плавления — в процессе нагревания они постепенно размягчаются и плавятся. Температурный интервал этих процессов для силикатных стекол, например, составляет 200° .

У кристаллических тел при температуре плавления совершается такой переход, при котором дальний порядок исчезает и остается лишь ближний порядок. В аморфных телах характер расположения атомов при нагревании практически не меняется. Изменяется лишь подвижность атомов — увеличиваются их колебания. Сначала очень немногие, а потом большое число атомов приобретают возможность менять соседей. Наконец, число этих перемен в единицу времени становится таким же большим, как и в жидкости.

Сравнительно недавно научились получать в стеклообразном состоянии металлы. Для этого металлы расплавляют и затем за очень короткое время охлаждают. Вследствие быстрого охлаждения в металле не возникает правильной кристаллической структуры; он становится стеклообразным. Металлостекла отличаются высокой твердостью, износостойчивостью и коррозионной стойкостью.

§ 4. ЖИДКИЕ РАСТВОРЫ

Химическая теория растворов Д.И. Менделеева. Жидкие растворы, как и жидкие вещества, обладают внутренней структурой ближнего порядка. При этом структура разбавленных растворов ближе к структуре растворителя, а концентрированных — к структуре растворенного вещества.

В жидких растворах частицы растворенного вещества связаны с окружающими их частицами растворителя. Эти комплексы называются *сольватацией*, а для водных растворов — *гидратацией*. Подобное представление о растворах возникло еще в 60-х годах XIX в. в результате работ Д.И. Менделеева. На основании экспериментальных фактов он выдвинул предположение о существовании в растворах определенных химических соединений растворенного вещества с водой. Эта идея составила основу химической теории растворов. Химическая теория растворов принципиально отличается от физической теории, которая рассматривает

растворитель как инертную среду и приравнивала растворы к простым механическим смесям.

Растворимость. Растворимость вещества зависит как от его природы, так и от природы растворителя.

Так, структура жидкого бензола определяется в основном дисперсионным взаимодействием неполярных молекул, и при введении в бензол другого вещества с неполярными молекулами, например гексана, характер взаимодействия между молекулами не меняется. Структуру возникающего раствора, как и взятых жидкостей, обуславливают те же ненаправленные и ненасыщаемые дисперсионные силы. Следствие этого — хорошая растворимость гексана в бензоле и бензола в гексане. Если же внести бензол в воду, то разрыв водородных связей (и нарушение структуры воды) не будет компенсирован образованием более прочных новых связей. Отсюда ясна причина плохой растворимости бензола в воде.

В то же время, спирт (молекулы которого за счет ОН-групп связанны водородной связью) хорошо растворяется в воде, так как разрыв водородных связей воды (как и спирта) компенсируется образованием более прочных водородных связей между молекулами воды и спирта.

В зависимости от природы веществ возможны следующие случаи: *пограничная* растворимость (вода — спирт, жидкое $\text{K}-\text{Rb}$ и $\text{KCl}-\text{KBr}$), *ограниченная* (частичная) растворимость (вода — эфир, жидкое $\text{Pb}-\text{Zn}$, $\text{LiCl}-\text{KCl}$), *практическая* отсутствие растворимости (вода — керосин, жидкое $\text{Fe}-\text{Ag}$ и $\text{LiF}-\text{CsCl}$). В последних двух случаях может иметь место расслаивание смешиваемых жидкостей.

Ионизация и диссоциация веществ в растворе. В растворах, как и в индивидуальных жидкостях, взаимодействие молекул может сопровождаться их ионизацией. Распад вещества на сольватированные ионы под действием молекул растворителя называется *ионизацией вещества в растворе* или *электролитической диссоциацией*.

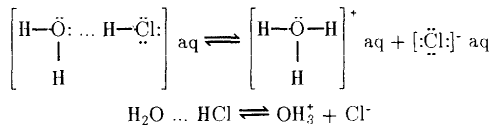
Идея о распаде вещества в растворе на ионы была высказана С. Аррениусом (1887). Основоположниками современной теории электролитической диссоциации как процесса, вызываемого сольватацией молекул, являются И.А. Каблуков и В.А. Кистяковский. В отличие от гипотезы ионизации С. Аррениуса, не учитывающей взаимодействие растворенного вещества с растворителем, в их теории к объяснению электролитической диссоциации привлекается химическая теория растворов Д.И. Менделеева.

Возможность и степень распада на ионы определяется природой растворенного вещества и природой растворителя. Распад на ионы связан либо с явлением *диссоциации* (разъединения), либо с явлением

ионизации (образования ионов). Так, при растворении ионных соединений (поскольку они уже состоят из ионов) имеет место диссоциация. Роль растворителя в этом случае заключается в создании условий для разъединения ионов противоположного знака и в препятствовании процессу *полимеризации*. Диссоциация ионных соединений протекает тем легче, чем полярнее молекулы растворителя. При распаде ковалентных соединений на ионы происходит гетеролитический разрыв связи, т.е. ионизация.

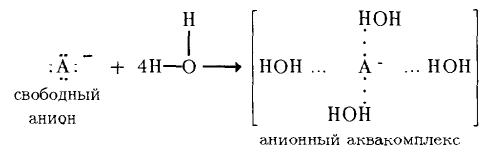
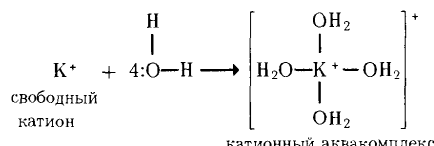
Каждое вещество в данном растворителе и при данных условиях характеризуется определенной *степенью ионизации*. Степенью ионизации вещества в растворе называется отношение числа молей ионизированного вещества к общему числу молей растворенного.

Для многих соединений наиболее сильно ионизирующими растворителями являются вода, жидкие аммиак и фторид водорода. Эти соединения состоят из дипольных молекул и склонны к донорно-акцепторному взаимодействию и образованию водородной связи. Например, HCl хорошо ионизируется в воде, что связано с превращением водородной связи $\text{H}_2\text{O} \cdots \text{HCl}$ в донорно-акцепторную $[\text{H}_2\text{O}-\text{H}]^+$:



По этой же причине HCl хорошо ионизируется в спирте, аммиаке. Напротив, в нитробензоле и других растворителях, не склонных к донорно-акцепторному взаимодействию, HCl на ионы практически не распадается.

Ионо-сольваты (ионо-гидраты). Сказанное выше показывает, что при растворении происходит комплексообразование, в результате чего образуются сольватированные комплексы — в водных растворах гидратированные аквакомплексы. В простейших случаях образование катионных аквакомплексов можно объяснить донорно-акцепторным взаимодействием катиона с молекулами воды, а анионных аквакомплексов — за счет водородной связи:

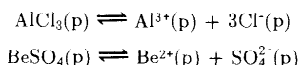


Понятно, что аквакомплексы, в свою очередь, гидратированы, т.е. вокруг них координированы молекулы воды за счет водородных связей.

Координационное число центральных ионов в аквакомплексах в разбавленных растворах (т.е. при достаточном количестве молекул воды) в общем случае соответствует значению характерного координационного числа катиона (акцептора) и аниона (донара). Так, для ионов Al^{3+} , Cr^{3+} , Co^{2+} координационное число обычно равно шести, а для Be^{2+} — четырем. В разбавленных водных растворах, следовательно, эти ионы находятся в виде гидратированных комплексных ионов типа октаэдрического $[\text{Al}(\text{OH}_2)_6]^{3+}$, тетраэдрического $[\text{Be}(\text{OH}_2)_4]^{2+}$.

Часто аквакомплексы оказываются столь прочными, что выделяются из растворов в составе кристаллогидратов, например $\text{AlCl}_3 \cdot 6\text{H}_2\text{O}$, $\text{BeCl}_2 \cdot 4\text{H}_2\text{O}$ и т.д.

При обычной записи уравнений электрической диссоциации координационная сфера ионов не указывается и на практике пользуются упрощенными уравнениями, например:



Энергетический эффект растворения. При растворении разрушается связь между молекулами (атомами, ионами) в растворяющем веществе и растворителе, что связано с затратой энергии. Одновременно протекает процесс комплексообразования (сольватации), т.е. возникают связи между частицами растворенного вещества и растворителя; он сопровождается выделением энергии. Общий же энергетический эффект растворения в зависимости от соотношения количеств выделяемой и поглощаемой энергии может быть как положительным, так и отрицательным. При растворении газов и жидкостей теплота обычно выделяется. В частности, с выделением теплоты протекает смешение воды и спирта. При растворении в воде твердых веществ теплота может и выделяться — растворение KOH, $\text{Ca}(\text{OH})_2$ — и поглощаться — растворение NH_4NO_3 . Поэтому нагревание по-разному оказывается на

их растворимости. Если растворение вещества сопровождается выделением теплоты, то при нагревании его растворимость падает (KOH). Если же вещества растворяются с поглощением теплоты, то нагревание вызывает увеличение растворимости (NH_4NO_3). Зависимость растворимости в воде некоторых солей от температуры показана на рис. 76.

Двойственная природа жидкых растворов. Кроме энергетического эффекта растворение сопровождается также изменением объема. Например, при растворении спирта в воде объем раствора уменьшается примерно на 3,5% по сравнению с общим объемом взятых веществ за счет образования сольватов.

При растворении иногда наблюдается и изменение окраски. Например, бесцветный сульфат меди CuSO_4 образует водный раствор синего цвета за счет возникновения гидратированных акувакомплексов $[\text{Cu}(\text{OH}_2)_6]^{2+}$.

Все эти факты (энергетический эффект растворения, изменение объема и окраски при растворении) говорят о том, что жидкые растворы следует рассматривать как химические соединения. Однако отсутствие у растворов постоянного состава, т.е. определенных соотношений количества растворенного вещества и количества растворителя, сближает их с механическими смесями. Таким образом, жидкие растворы занимают промежуточное положение между химическими соединениями постоянного состава и механическими смесями.

Образование растворов может рассматриваться с двух сторон: физической и химической, и в растворах виднее, чем где-либо, насколько эти стороны естествознания сближены между собой.

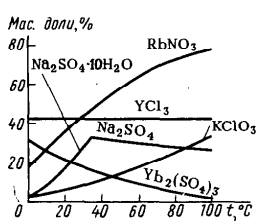


Рис. 76. Зависимость растворимости в воде некоторых солей от температуры

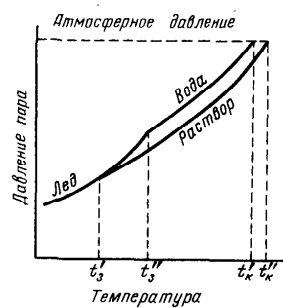


Рис. 77. Зависимость давления пара воды и раствора от температуры

Температура замерзания и кипения растворов. При растворении в растворителе нелетучего вещества давление пара растворителя над раствором уменьшается, что вызывает повышение температуры кипения раствора и понижение температуры его замерзания (по сравнению с чистым растворителем).

Рассмотрим изменения давления пара с температурой для чистой воды и для водного раствора нелетучего вещества (рис. 77). Как видно на рис. 77, кривая давления пара раствора лежит ниже кривой давления пара воды. Чистая вода под нормальным атмосферным давлением кипит при 100°C (373, 15 К), так как при этой температуре давление водяного пара равно внешнему давлению. Для того чтобы закипел раствор, давление пара растворителя также должно быть равно атмосферному. Однако это имеет место при более высокой температуре $t''_{\text{кип}}$, чем для чистого растворителя $t'_{\text{кип}}$.

Жидкость затвердевает, когда давление ее пара становится равным давлению пара соответствующей твердой фазы. На рис. 77 видно, что давление пара льда достигается у раствора при более низкой температуре t'_3 . Понижение температуры замерзания растворов было впервые установлено М.В. Ломоносовым (1748).

Исследование свойств разбавленных растворов неэлектролитов показало, что понижение давления пара, повышение температуры кипения и понижение температуры замерзания обусловлены только числом растворенных частиц в определенном объеме данного растворителя и не зависят от природы растворенного вещества. В этом заключается сущность законов Рауля.

В общем виде зависимость понижения температуры замерзания Δt_3 и повышения температуры кипения Δt_k разбавленных растворов от концентрации неэлектролита можно записать так: $\Delta t_3 = k_3 c$ и $\Delta t_k = k_k c$, где k_3 и k_k — коэффициенты пропорциональности, зависящие от природы растворителя; c — молярная концентрация растворенного вещества.

Коэффициенты пропорциональности k_3 и k_k называют соответственно криоскопической и эбулиоскопической константами. Их значения для некоторых растворителей приведены ниже:

	k_3	k_k
Вода	1,86	0,52
Бензол	5,10	2,64
Уксусная кислота	3,90	3,10

В уравнении для Δt концентрацию можно заменить отношением

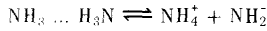
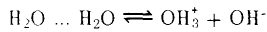
массы m растворенного вещества в 1000 г растворителя к молярной массе M этого вещества. Тогда

$$\Delta t = k (m/M).$$

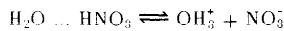
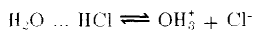
С помощью этой формулы нетрудно подсчитать молярную массу вещества.

Для растворов электролитов понижение температуры замерзания и повышение температуры кипения оказываются всегда больше теоретически вычисляемых. Например, для раствора, содержащего в 1000 г воды 1 моль NaCl , понижение температуры замерзания ($\Delta t_3 = 3,36^\circ\text{C}$) почти в два раза больше, чем для аналогичных растворов неэлектролитов. Этот факт объясняют увеличением числа частиц за счет ионизации электролита. В свое время попытки объяснить указанное явление способствовали выдвижению Аррениусом гипотезы ионизации, превратившейся далее в одну из важнейших теорий современной химии.

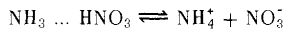
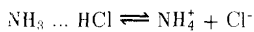
Кислоты и основания. Как мы видели, самоионизация соединений водорода (I) в жидком состоянии происходит с образованием сольватированных положительных и отрицательных ионов:



Растворение одних и тех же соединений в соответствующих средах усиливает либо их основную, либо кислотную функцию. Например, при растворении в воде HCl и HNO_3 образуются гидратированные ионы оксония и соответствующие анионы:



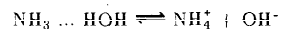
Растворение тех же веществ в жидким аммиаке сопровождается образование сольватированных ионов аммония и соответствующих анионов:



Как видно из этих примеров, молекулы HCl и HNO_3 отдают протоны, т.е. являются кислотными соединениями. Молекулы же растворителя (воды и аммиака) присоединяют протоны, т.е. ведут себя как основные соединения. В результате этого взаимодействия увеличивает-

ся концентрация положительных ионов (OH_3^+ — в воде, NH_4^+ — в жидком аммиаке) по сравнению с чистым растворителем. Сказанное позволяет сформулировать следующее частное определение кислот: *кислота — это соединение, при растворении которого увеличивается концентрация положительных ионов растворителя*.

Увеличение числа OH^- -ионов (отрицательных ионов растворителя) в водных растворах происходит, например, при растворении аммиака:



На базе вышесказанного можно дать следующее определение оснований: *основание — это соединение, при растворении которого увеличивается концентрация отрицательных ионов растворителя*.

При взаимодействии кислот и оснований друг с другом образуются молекулы растворителя, т.е. протекает реакция нейтрализации. Например:



ГЛАВА 3. ГАЗОВОЕ И ДРУГИЕ СОСТОЯНИЯ. ГАЗОВЫЕ РАСТВОРЫ

§ 1. ГАЗОВОЕ СОСТОЯНИЕ

Характерная особенность газового состояния заключается в том, что молекулы (атомы) газа не удерживаются вместе, а свободно движутся в объеме, значительно превышающем объем самих частиц. Силы межмолекулярного взаимодействия проявляются, когда молекулы подходят друг к другу на достаточно близкое расстояние. Слабое межмолекулярное взаимодействие обусловливает малую плотность газов и их основные характерные свойства — стремление к безграничному расширению и способность оказывать давление на стены сосуда, препятствующие этому стремлению.

Состояние газа характеризуется его температурой, давлением и объемом. Газ считается находящимся при нормальных условиях, если его температура 0°C (273,15 K), давление $1,01325 \cdot 10^5$ Па.

Вследствие слабого межмолекулярного взаимодействия при малых давлениях и высоких температурах все типичные газы ведут себя приблизительно одинаково. Но уже при обычных температурах и давлениях начинают проявляться индивидуальности газов. Существен-

ные различия, связанные с природой составляющих газ частиц, особенно сильно проявляются при больших давлениях и низких температурах, т.е. в тех условиях, в которых газы практически используются в технике. Повышение внешнего давления и понижение температуры сближает частицы газа, поэтому межмолекулярное взаимодействие начинает проявляться в большей степени.

§ 2. ГАЗОВЫЕ РАСТВОРЫ

Как в индивидуальных веществах в газовом состоянии, так и в газовом растворе имеет место слабое взаимодействие между молекулами смешиваемых веществ. В обоих случаях для систем характерно хаотическое движение молекул и отсутствие определенной структуры. Поэтому газовый раствор при обычных давлениях следует рассматривать как физическую смесь, в которой каждый компонент проявляет присущие ему индивидуальные физические и химические свойства.

Примером газовой смеси является воздух, который состоит из растворенных друг в друге (об. доли, %) азота (78), кислорода (21), благородных газов (около 1), диоксида углерода, паров воды и некоторых примесей.

Общее давление, оказываемое газовой смесью, есть сумма давлений (называемых *парциальными*), оказываемых его составными частями. Например, из общего давления воздуха $1,01325 \cdot 10^5$ Па на долю азота (78 об. долей, %) приходится $101\ 325 \cdot 78/100 = 0,79034 \cdot 10^5$ Па, на долю кислорода — $101\ 325 \cdot 21/100 = 0,21278 \cdot 10^5$ Па.

§ 3. ПЛАЗМА

Существенные изменения претерпевает вещество при нагревании до температур порядка тысяч и миллионов градусов. В этих условиях оно переходит в ионизированный газ — плазму. В общем случае плазма — это смесь беспрерывно перемещающихся атомов, электронов, положительных ионов и даже атомных ядер. Плазма с температурой порядка 10—100 тыс. градусов называется "холодной", с температурой порядка миллиона градусов — "горячей". В последнем случае нейтральные атомы в плазме существовать не могут, и она состоит из смеси электронов, ионов и атомных ядер. Плазма в целом электронейтральна, но обладает электронной и ионной проводимостью.

В земных условиях плазменное состояние реализуется в молниях и северном сиянии, электрической дуге, светящемся веществе неоновых и аргоновых ламп, пламени горелки и др. В состоянии плазмы находятся основная масса космического вещества — звезды, туманности.

межзвездное вещество и др. Колossalным сгустком плазмы является Солнце. В масштабах Вселенной твердые холодные тела, подобные нашей Земле, — это лишь редкое исключение.

Физика и химия плазмы — важнейшие и наиболее интенсивно развивающиеся области науки не только потому, что плазма является наиболее распространенным во Вселенной состоянием вещества, но также и благодаря многообещающим перспективам практического использования результатов в этой области. Бессспорно, самая замечательная из этих перспектив — овладение громадной энергией термоядерных реакций, а также проведение химических синтезов.

§ 4. ДРУГИЕ СОСТОЯНИЯ ВЕЩЕСТВА

Существенные изменения вещества претерпевает при высоких внешних давлениях. Так, при давлениях порядка 10^9 — 10^{10} Па уменьшаются расстояния между атомами в кристаллической решетке, разрушаются химические связи. При этом создаются условия для возникновения новых связей, соответствующих более плотной кристаллической структуре вещества. Широко известными примерами подобного рода полиморфных превращений при сверхвысоком давлении является переход графита в алмаз, нитрида бора в боразон, кварца в другую модификацию (стишовит) с плотностью, на 60% большей, чем у природного кварца, и др. В настоящее время возможность таких полиморфных превращений начинает широко использоваться в технике для получения синтетических твердых и сверхтвердых веществ.

При высоких и сверхвысоких давлениях изменяются физические свойства веществ. Так, в ряде случаев вещества, которые при обычных давлениях являются изоляторами (например, сера), при сверхвысоком давлении становятся полупроводниками. Полупроводники же при $(2-5)10^{10}$ Па могут переходить в металлическое состояние. Подобные переходы изучены у теллура, иода, фосфора, ряда соединений. Расчеты показывают, что дальнейшее повышение давления металлизует все вещества. Интересные превращения претерпевает иттербий Yb. При давлении до $2 \cdot 10^9$ Па иттербий — металл, при $(2-4)10^9$ Па — полупроводник, выше $4 \cdot 10^9$ Па — снова металл.

Исследование поведения веществ при высоких и сверхвысоких давлениях имеет и большое теоретическое значение для развития физики твердого тела, геофизики, космофизики и других наук. Исследование земного вещества под высоким давлением и при высокой температуре дает возможность как бы моделировать процессы, протекающие на большой глубине внутри Земли и в космосе, и исследовать состояние веществ в этих условиях.

Перечисленными примерами, конечно, не исчерпываются состояния, в которых может находиться вещество. Формы организации вещества неисчерпаемы.

ГЛАВА 4. ФИЗИКО-ХИМИЧЕСКИЙ АНАЛИЗ

§ 1. ТЕРМИЧЕСКИЙ АНАЛИЗ

Физико-химический анализ исследует зависимость физических свойств системы от ее состава или внешних условий. Это позволяет обнаружить и изучить происходящие в системе химические изменения. Физико-химический анализ как метод исследования был предложен М.В. Ломоносовым. Этот метод широко использовал Д.И. Менделеев при изучении плотности растворов. Основополагающие теоретические и экспериментальные работы в области физико-химического анализа, превратившие его в самостоятельную научную дисциплину, принадлежат Н.С. Курнакову.

О химических превращениях в системе можно судить по характеру изменения разнообразных физических свойств — температур плавления и кристаллизации, давления пара, вязкости, плотности, твердости, магнитных свойств, электрической проводимости системы в зависимости от ее состава. Результаты исследования обычно изображают в виде диаграммы состав — свойство (по оси абсцисс — состав, по оси ординат — свойство).

Из различных видов физико-химического анализа более часто применяют термический анализ. В ходе анализа строят и изучают

диаграмму плавкости, которая выражает зависимость температуры плавления системы от ее состава.

Чтобы построить диаграмму плавкости, берут два чистых вещества и готовят из них смеси различного состава. Каждую смесь расплавляют и затем медленно охлаждают, отмечая через определенные промежутки времени температуру остывающего сплава. Таким образом получают кривую охлаждения. На рис. 78 приведены кривые охлаждения чистого вещества 1 и сплава 2. Переход чистого вещества из жидкого в твердое состояние сопро-

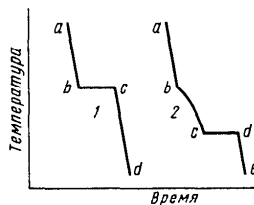


Рис. 78. Кривые охлаждения:

1 — чистого вещества; 2 — смеси двух веществ

вождается выделением теплоты кристаллизации, поэтому, пока вся жидкость не закристаллизуется, температура остается постоянной. Далее охлаждение твердого вещества идет равномерно.

При охлаждении расплава (раствора) кривая охлаждения имеет более сложный вид (рис. 78, кривая 2). В простейшем случае охлаждения расплава двух веществ вначале происходит равномерное понижение температуры, пока из раствора не начинают выделяться кристаллы одного из веществ. Так как температура кристаллизации раствора ниже, чем чистого растворителя, то кристаллизация одного из веществ из раствора начинается выше температуры кристаллизации раствора. При выделении кристаллов одного из веществ состав жидкого расплава изменяется и температура его затвердевания непрерывно понижается по мере кристаллизации. Выделяющаяся при кристаллизации теплота несколько замедляет ход охлаждения и поэтому, начиная с точки b, крутизна линии кривой охлаждения уменьшается. Наконец, когда расплав делается насыщенным относительно обоих веществ (точка c), начинается кристаллизация обоих веществ одновременно. Это отвечает появлению на кривой охлаждения горизонтального участка cd. Когда кристаллизация заканчивается, наблюдается дальнейшее падение температуры.

На основании кривых охлаждения смесей разного состава строят диаграмму плавкости.

§ 2. ТИПЫ ДИАГРАММ ПЛАВКОСТИ

Наиболее типичные виды диаграмм плавкости приведены на рис. 79—83.

Системы с эвтектической смесью. Вещества, плохо растворимые друг в друге в твердом состоянии, при кристаллизации их расплавов часто (при определенных соотношениях концентраций) образуют смесь мелких кристаллов компонентов, называемую *эвтектикой*. Эвтектика (по-гречески "легкоплавкий") характеризуется температурой плавления более низкой, чем температуры плавления ее компонентов. Например, температуры плавления Sn и Zn соответственно 232 и 419°C, тогда как их сплав, содержащий 92% Sn и 8% Zn, плавится при 200°C.

На рис. 79 приведена диаграмма плавкости для системы Sn-Zn, т.е. для веществ, которые неограниченно растворимы друг в друге в жидком состоянии и нерастворимы в твердом состоянии. Кривая охлаждения для подобной системы представлена на рис. 78 (кривая 2). При

медленном охлаждении расплава цинка и олова вначале кристаллизуется либо цинк, либо олово. Например, при охлаждении расплава (раствора) состава 60% Zn и 40% Sn в твердую фазу начинает выделяться цинк. Это происходит по достижении температуры кристаллизации цинка из расплава, отвечающей взятому составу (точка *a*). Поскольку растворы кристаллизуются при более низкой температуре, чем чистые жидкости (см. рис. 77), температура начала выделения цинка из раствора лежит ниже его точки кристаллизации (419°C). По мере выделения цинка и обогащения раствора оловом температура кристаллизации раствора все более понижается, и при эвтектическом составе (92% Sn и 8% Zn) раствор кристаллизуется как единое целое. Если охлаждению подвергнуть расплав состава 92% Sn и 8% Zn, то состав твердой фазы представляет собой чистую эвтектику. При других соотношениях компонентов расплава образуется смесь эвтектики и ранее выпавших более крупных кристаллов цинка или олова.

Аналогичную диаграмму плавкости имеют также системы солей, например LiCl-KCl. Эвтектическая смесь LiCl-KCl плавится при 352°C, а температуры плавления LiCl и KCl соответственно равны 612 и 772°C.

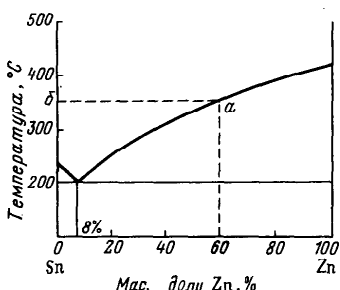


Рис. 79. Диаграмма плавкости системы с эвтектикой

На рис. 80 показана диаграмма кристаллизации соли из водного раствора. Эвтектика в системе вода — соль называется *криогидратом*. Эвтектическая смесь в системе H₂O—NaCl соответствует содержанию 23,4% NaCl; температура ее кристаллизации — 21,2°C. Так как лед плавится при 0°C, то любые криогидратные смеси плавятся ниже 0°C. Они используются для получения низких температур.

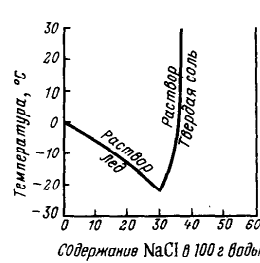


Рис. 80. Диаграмма плавкости системы H₂O — NaCl

Система веществ, образующих химические соединения. Если при сплавлении вещества образуют химическое соединение, то на диаграмме плавкости это отражается появлением максимума, отвечающего составу этого соединения. Так, в системе Mg-Sb (рис. 81, *a*) максимум отвечает температуре плавления соединения Mg₃Sb₂. Рассматриваемая диаграмма представляет собой как бы сочетание диаграмм плавкости систем Mg—Mg₃Sb₂ и Mg₃Sb₂—Sb.

Если на диаграмме плавкости имеется несколько максимумов, то это означает, что в системе существует несколько соединений. Так, на основании максимумов на диаграмме затвердевания в системе H₂O—H₂SO₄ следует сделать вывод, что в этой системе существуют соединения состава H₂SO₄, H₂SO₄·H₂O, H₂SO₄·2H₂O, H₂SO₄·4H₂O (рис. 81, *b*).

Если в системе образуется неустойчивое соединение, которое полностью разлагается еще до достижения температуры плавления, криевая плавкости претерпевает излом (рис. 82). Точка излома отвечает температуре распада соединения, а состав его может быть найден, если продолжить нижнюю ветвь кривой до ее максимума. Например, ход кривых в системе NaCl—BeCl₂ свидетельствует об образовании неустойчивого соединения, отвечающего составу Na₂BeCl₄.

Система веществ, образующих твердые растворы. Характерная особенность подобных систем заключается в том, что температура плавления твердого раствора данного состава не совпадает с темпе-

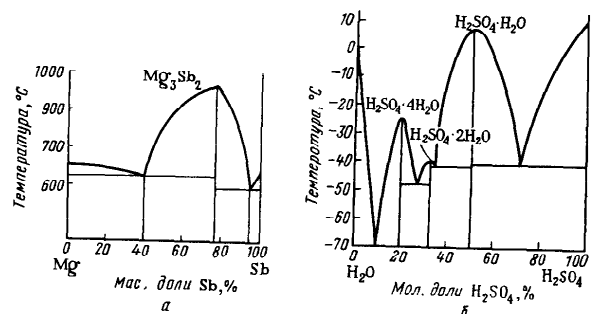


Рис. 81. Диаграммы плавкости систем с новым химическим соединением:

a — система Mg — Sb; *b* — система H₂O — H₂SO₄

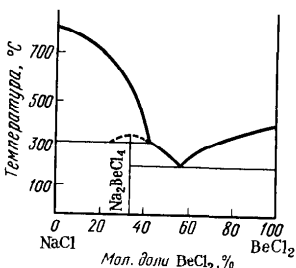


Рис. 82. Диаграмма плавкости системы с неустойчивым химическим соединением

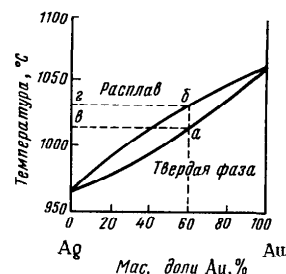


Рис. 83. Диаграмма плавкости твердого раствора

турой затвердевания жидкого раствора (расплава) того же состава. Поэтому на диаграмме плавкости наблюдаются две кривые (рис. 83): верхняя — отражает температуры затвердевания расплава, нижняя — температуры плавления твердого раствора. Начало плавления твердого раствора с содержанием 60% Au соответствует температуре точки b , а начало затвердевания расплава того же состава — точке a .

Приведенные диаграммы плавкости отвечают простейшим случаям. Чаще, однако, встречаются диаграммы более сложной формы, сочетающие признаки отдельных простейших диаграмм.

Раздел IV

Методы исследования строения веществ

Наука начинается с тех пор, как начинают изменяться. Точная наука немыслима без меры.

Д.И. Менделеев

Информацию о строении вещества получают на основании изучения его физических и химических свойств. Особую роль при изучении структуры играют исследования спектров поглощения и испускания, дифракции различных излучений, магнитных и электрических взаимодействий, механических, термических, электрических и других характеристик веществ.

Окончательное заключение о строении вещества делают после сопоставления и взаимной проверки информации, полученной различными методами.

ГЛАВА 1. СПЕКТРОСКОПИЧЕСКИЕ МЕТОДЫ ИССЛЕДОВАНИЯ

§ 1. ЭЛЕКТРОМАГНИТНЫЙ СПЕКТР И АТОМНЫЕ ИЛИ МОЛЕКУЛЯРНЫЕ ПРОЦЕССЫ

Спектры электромагнитного излучения, испускаемого, поглощаемого и рассеиваемого веществом, изучает раздел физики — *спектроскопия*. Квант поглощаемой или испускаемой веществом энергии соответствует изменению энергии при каком-либо единичном акте атомного или молекулярного процесса (табл. 14). Наиболее коротковолновое излучение (γ -излучение) соответствует ядерным процессам. Квантовые переходы внутренних электронов атомов и молекул сопровождаются

рентгеновским излучением. Электромагнитное излучение ультрафиолетовой и видимой области спектра отвечает квантовым переходам внешних (валентных) электронов. Колебанию атомов в молекулах отвечает инфракрасное излучение, вращению молекул — дальнее инфракрасное излучение, спиновому переходу электронов и ядер — радиоизлучение.

Таблица 14. Атомные или молекулярные процессы и электромагнитный спектр *

Процесс	Спектральная область излучения	Длина волны λ , см	Волновое число $\tilde{\nu} = 1/\lambda$, см^{-1}	Энергия квантов излучения $E = \hbar\nu$, эВ
Ядерные реакции	γ -Излучение	10^{-10}	10^{10}	$1,24 \cdot 10^6$
Переходы электронов:				
внутренних	Рентгеновское	$10^{-9}-10^{-7}$	10^9-10^7	$1,24 \cdot 10^5$
				$1,24 \cdot 10^3$
внешних	Ультрафиолетово-вос и видимое	$10^{-6}-10^{-4}$	10^6-10^4	$124-1,24$
Колебания атомов в молекулах	Ближнее инфракрасное	10^{-3}	10^3	0,124
Вращение молекул	Дальнее инфракрасное	10^{-2}	10^2	0,0124
Спиновые переходы:				
электронов	Радиоизлучение	$10^{-1}-10^2$	$10-10^{-2}$	$1,24 \cdot 10^{-3}$
ядер	»	10^3-10^5	$10^{-3}-10^{-5}$	$1,24 \cdot 10^{-9}$

* Электромагнитное излучение может быть охарактеризовано либо волновыми, либо энергетическими параметрами. К первым относятся длина волны λ , частота колебания ν и волновое число $\tilde{\nu}$. Волновое число показывает, сколько волн данной длины укладывается в 1 см; измеряется $\tilde{\nu}$ в см^{-1} .

По диапазонам изучаемых волн электромагнитного излучения различают: *тактическую спектроскопию*, *рентгеновскую*, *оптическую* и *радиоспектроскопию*. Оптическая спектроскопия в свою очередь подразделяется на спектроскопию видимого излучения, инфракрасную и ультрафиолетовую.

§ 2. РЕНТГЕНОВСКАЯ СПЕКТРОСКОПИЯ

Рентгеновское излучение возникает за счет квантовых переходов внутренних электронов атомов. Последнее становится возможным в результате облучения вещества потоком электронов высокой энергии или жестким рентгеновским излучением; при этом происходит вырывание электронов из внутренних электронных слоев. На освободившиеся орбитали переходят электроны из более далеких от ядра слоев (рис. 84), что и сопровождается выделением квантов рентгеновского излучения.

Поскольку квантовые переходы электронов в атомах разных элементов отличаются от энергии, рентгеновское излучение зависит от строения атома. Этую зависимость выражает закон Мозли (рис. 85): длины волн рентгеновского излучения атомов пропорциональны атомному номеру элемента:

$$\sqrt{1/\lambda} = a(Z - b),$$

где λ — длина волны; Z — атомный номер элемента; a и b — константы, одинаковые для аналогичных линий данной серии рентгеновского излучения (например, K_α , L_α , M_α).

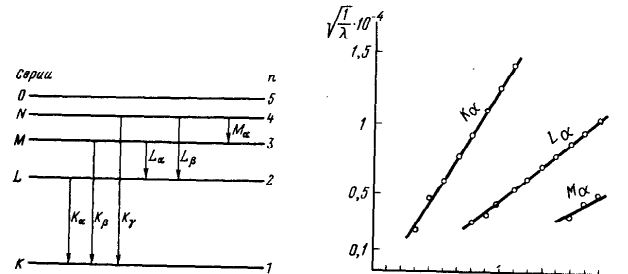


Рис. 84. Схема возникновения рентгеновского спектра (n — главное квантовое число)

Рис. 85. Зависимость длин волн рентгеновского излучения от атомного номера элементов

Открытие этой зависимости Мозли (1913) сыграло важную роль при выяснении строения атома (в частности, подтвердило его слоистое строение), позволило определить экспериментально атомный номер элемента и подтвердило правильность расположения элементов в периодической системе Д.И. Менделеева. Установленная Мозли зависимость позволила рассчитать рентгеновские спектры в то время еще

неизвестных и открытых лишь впоследствии элементов — гафния, рения и др.

Для получения рентгеновского спектра (рис. 86) поток электронов 2 из катода 1 направляют на анод 4 рентгеновской трубки.

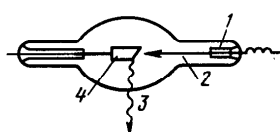


Рис. 86. Схема рентгеновской трубки

После проявления на ней выступают линии спектра. В настоящее время рентгеновские спектры чаще всего получают возбуждая вещество жесткими рентгеновскими лучами.

Анализ рентгеновского спектра (рентгеноспектральный анализ) используется для качественного и количественного (по интенсивности линий в спектре) определения элементов в материалах сложного состава.

Таблица 15. Эффективные заряды δ атомов некоторых соединений

Вещество	Атом и его степень окисления	δ	Вещество	Атом и его степень окисления	δ
HCl	H(I)	0,18+	CrCl ₂	Cr(II)	1,9+
NaF	Na(I)	0,98+	CrCl ₃	Cr(III)	1,2+
NaCl	Na(I)	0,92+	[Cr(NH ₃) ₆]Cl ₃	Cr(III)	1,2+
NaBr	Na(I)	0,83+	K ₂ CrO ₄	Cr(IV)	0,2+
NaI	Na(I)	0,75+	K ₂ Cr ₂ O ₇	Cr(VI)	0,1+
MgCl ₂	Mg(II)	1,50+	KMnO ₄	Mn(VII)	0,3+
MgBr ₂	Mg(II)	1,38+	CaSO ₄	S(VI)	0,4+
MgO	Mg(II)	1,01+	KClO ₃	Cl(V)	0,7+
MgS	Mg(II)	1,05+	K ₃ [Fe(CN) ₆]	Fe(III)	1,0+
SiO ₂	Si(IV)	1,97+	OsO ₂	Os(IV)	0,8+
SiS ₂	Si(IV)	1,69+	K ₂ [OsO ₄]	Os(VI)	0,8+
Co(NO ₃) ₂	Co(II)	1,20+	K[OsO ₃ N]	Os(VIII)	1,0+

Рентгеноспектральный метод позволяет определить эффективные заряды атомов, а следовательно, и тип химической связи в соединениях. Для этого сравнивают расположение линий рентгеновского спектра

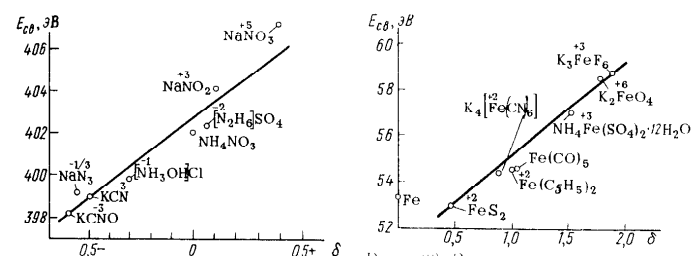


Рис. 87. Зависимость энергии связи 1s-электронов атомов азота от эффективного заряда на атоме железа в соединении

свободных атомов и их соединений. Если атом в соединении имеет соответствующий эффективный заряд δ , то линии спектра оказываются смещеными по сравнению со спектрами свободного атома. Но величине смещения спектральных линий соответствуют методами расчета определяют δ . В табл. 15 приведены полученные таким путем значения эффективных зарядов атомов для некоторых соединений.

Как видно из табл. 15, степень окисления элемента в соединении не совпадает с зарядом на атоме.

Об этом же говорит исследование энергии связи 1s-электрона азота в зависимости от эффективного заряда на атоме (рис. 87). Так, при степени окисления азота +5 в NaNO_3 атом азота имеет эффективный заряд всего 0,4+. При степени окисления железа 0 и +2 в соединениях $\text{Fe}(\text{CO})_5$ и $\text{Fe}(\text{C}_5\text{H}_5)_2$ эффективный заряд на атоме железа близок к 1+ (рис. 88).

Значения эффективных зарядов, полученные различными методами, расходятся, однако имеющиеся значения δ свидетельствуют о том, что атомы в соединениях высоких зарядов не имеют и чисто ионных соединений не существует.

§ 3. ОПТИЧЕСКАЯ СПЕКТРОСКОПИЯ

Оптические спектры молекул значительно сложнее, чем спектры атомов, и состоят не из отдельных линий (см. рис. 7), а из полос (рис. 89). Сложность молекулярных спектров обусловлена тем, что в молекуле наряду с движением электронов относительно ядер происходит колебательное движение самих ядер и вращательное движение молекулы как целого.



Рис. 89. Спектр испускания молекул азота

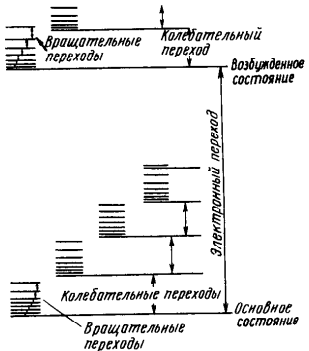


Рис. 90. Схема электронных, колебательных и вращательных энергетических уровней двухатомной молекулы

го. Этим трем видам движения — квантовым переходам — соответствуют электронный, колебательный и вращательный спектры (см. табл. 14).

Наибольшее значение имеют энергии электронных переходов (1–100 эВ); изменение энергии электронов находит свое выражение в видимой и ультрафиолетовой областях спектра. Энергии колебательных переходов (10^{-1} – 10^{-2} эВ) соответствует излучение (поглощение) в ближней инфракрасной области. Наименьшее значение имеют энергии вращательных переходов молекул (10^{-3} – 10^{-5} эВ); им соответствует излучение или поглощение в дальней инфракрасной области или даже в области радиочастот (см. табл. 14).

При возбуждении молекулы в ней происходят сложные энергетические изменения (рис. 90): электроны переходят с одного уровня энергии на другой, одновременно изменяется и система возможных колебательных и вращательных уровней. Это усложняет спектр и образует ту характерную структуру полосатых спектров, которая резко отличает молекулярные спектры от линейных спектров атомов.

При исследовании молекулярных спектров поглощения (рис. 91) луч света от источника 1 направляется в монохроматор 2 (призма или дифракционная решетка) для разложения в спектр. Пучки монохроматического излучения соответствующей длины волн далее пропускаются параллельно через пустую (или заполненную растворителем) кювету 4 и через кювету 3, наполненную исследуемым веществом (или его раствором в том же растворителе). Оба пучка попадают в приемник 5, где сравниваются их интенсивности. Такой процесс повторяют для различных новых длин волн. С помощью радиотехнических схем спектр автоматически регистрируется в виде кривой на рис. 92.

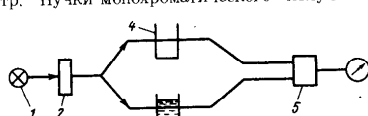


Рис. 91. Схема электронного прибора

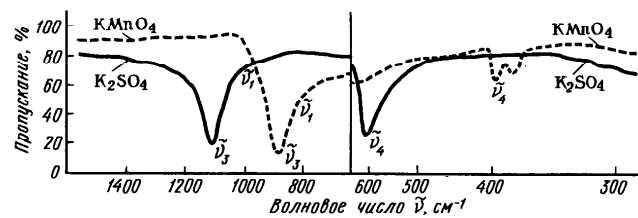


Рис. 92. Инфракрасные спектры K_2SO_4 и $KMnO_4$

По оси ординат откладывается количество поглощенного (пропущенного) света данной энергии, по оси абсцисс — энергия квантов, выражаемая длиной волны, частотой колебаний или волновым числом.

Спектроскопия видимого и ультрафиолетового излучения. Изучение электронных переходов производится с помощью видимого и ультрафиолетового излучения. Это дает возможность определить энергию перехода электронов в молекуле, ее энергию ионизации и энергию химической связи. Последнюю определяют при действии излучения, вызывающего диссоциацию молекул. Значения энергии некоторых химических связей приведены в табл. 16.

Таблица 16. Энергия некоторых межатомных связей

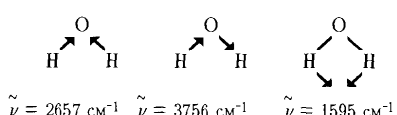
Связь	Энергия связи, кДж/моль	Связь	Энергия связи, кДж/моль	Связь	Энергия связи, кДж/моль
Li—Li	99,0	Br—Br	199,0	H—Br	363,5
Na—Na	71,1	I—I	150,7	H—OI	498,7
K—K	53,6	N≡N	940,3	O—H	427,8
H—H	435,1	H—F	565,7	C—H	415
F—F	159	H—Cl	431,6	Hg—Hg	7,5
Cl—Cl	242,6				

По известным спектрам молекул и их фрагментов можно судить о их присутствии в исследуемом соединении и тем самым предположить его состав и строение.

Инфракрасная спектроскопия (ИКС). С помощью инфракрасных лучей исследуют колебательный спектр молекул. Частота колебаний определяется главным образом массой колеблющихся атомов и

группировок и жесткостью химической связи (ее способностью к растяжению).

Атомы могут колебаться либо вдоль линии химической связи (валентные колебания), либо за счет изменения валентных углов (деформационные колебания), как это показано на примере молекулы воды:



Для каждой из атомных группировок (молекул и их фрагментов) характерны определенные виды колебаний и соответствующие этому значения волновых чисел. Волновые числа, характерные для валентных колебаний атомных группировок соединений фосфора, приведены на рис. 93.

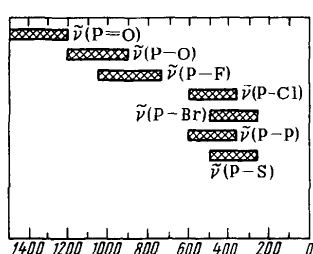


Рис. 93. Волновые числа, характеризующие валентные колебания атомных группировок соединений фосфора

разные виды валентных и деформационных колебаний (одинаковый набор волновых чисел поглощения). Вместе с тем жесткости связей Mn—O и S—O различны, а потому максимумы поглощения в спектре не совпадают — значения волновых чисел различны.

§ 4. РАДИОСПЕКТРОСКОПИЯ

Среди радиоспектроскопических методов большое значение имеют методы магнитной радиоспектроскопии — *ядерный магнитный резонанс* (ЯМР) и *электронный парамагнитный резонанс* (ЭПР). Эти методы основаны на том, что в веществе, помещенном в сильное магнитное

поле, индуцируются энергетические уровни ядер (ЯМР) и электронов (ЭПР), отвечающие изменению спина ядра или спина электрона. Спиновые энергетические переходы соответствуют поглощению квантов радиоволн.

В экспериментах по ядерному магнитному резонансу (рис. 94) исследуемое вещество 1 помещают в резонатор, который расположен между полюсами электромагнита. Через резонатор пропускают радиосигналы, интенсивность которых отмечается регистрирующим прибором 3. При проведении исследования частоту радиоволн поддерживают постоянной, а напряженность магнитного поля постепенно повышают.

При определенной напряженности магнитного поля создаются условия для спинового перехода ядер. Этому моменту соответствует поглощение веществом энергии радиоволны, что и отмечается регистрирующим прибором.

Результат исследования регистрируется в виде кривой поглощения (рис. 95), которая выражает зависимость поглощения излучения от напряженности магнитного поля. Спиновые переходы ядра зависят от состояния электронной оболочки атома. Поэтому разные молекулы и разные атомные группировки в них поглощают энергию при разной напряженности магнитного поля. Анализ формы и положения пиков на кривой поглощения позволяет делать заключение о структуре соединений. Так, анализ кривой поглощения этилового спирта показывает, что пики (см. рис. 95) отвечают спиновым переходам протонов соответственно атомным группировкам CH_3 , CH_2 и OH . Таким путем подтверждается строение молекулы $\text{C}_2\text{H}_5\text{OH}$.

В методе электронного парамагнитного резонанса (ЭПР) использу-

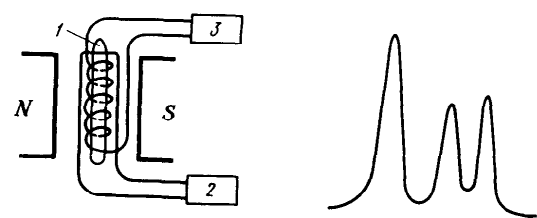


Рис. 94. Схема радиоспектрометра для исследования ЯМР:

1 — ампула образца; 2 — радиогенератор; 3 — детектор

Рис. 95. Спектр ЯМР (протонов) этанола $\text{C}_2\text{H}_5\text{OH}$

ется резонансное поглощение излучения электронами. Метод ЭПР применяется для исследования парамагнитных веществ, т.е. имеющих непарные электроны. Этот метод широко используется для обнаружения и определения концентрации свободных радикалов и ионов в растворах, для установления характера химической связи в комплексных соединениях и т.д.

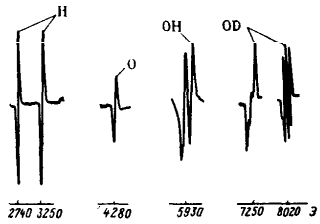


Рис. 96. Спектры ЭПР атомов H и O, свободных радикалов OH и OD

При замене H₂ на D₂ в спектре появляются сигналы, характерные для атомов дейтерия и радикалов OD.

Явление парамагнитного резонанса было открыто в Казани Е.К. Завойским (1944). Явление ядерного магнитного резонанса обнаружили американские физики Перселл и Блох (1946).

§ 5. ГАММА-СПЕКТРОСКОПИЯ

Гамма-спектроскопия основана на эффекте резонансного поглощения атомными ядрами γ -квантов (эффект Мессбауэра). При радиоактивном распаде ядер образуются изотопы в возбужденном состоянии. Их переход в основное состояние сопровождается γ -излучением. Невозбужденные атомные ядра в свою очередь могут поглощать γ -кванты и переходить в возбужденное состояние. Однако это явление возможно лишь в строго определенных условиях. Например, γ -излучение возбужденных ядер ⁵⁷Fe одной металлической пластинки может поглощать невозбужденные ядра ⁵⁷Fe другой пластинки. Если же источник и приемник γ -лучей находятся в разных соединениях (например, источник ⁵⁷Fe в металле, а поглотитель — в кристалле FeCl₂), то поглощение γ -лучей наблюдаться не будет.

Это объясняется тем, что энергия ядерных переходов зависит от распределения электронной плотности вокруг ядра, т.е. в зависимости от вида соединения для возбуждения ядерных переходов требуются

Метод ЭПР применяется для изучения механизма химических реакций. Так, при исследовании реакции взаимодействия водорода с кислородом обнаруживаются спектры, приведенные на рис. 96. Это подтверждает, что реакция между H₂ и O₂ протекает по цепному механизму через образование и участие в реакции свободных радикалов.

различные энергии. Однако, поскольку влияние природы химического окружения атома на смещение ядерных энергетических уровней сравнительно мало, можно добиться резонансного поглощения γ -квантов, несколько изменив их энергию. Для этого достаточно перемещать источник (или поглотитель) γ -излучения относительно приемника (источника) излучения. В этом случае энергия γ -квантов увеличивается или уменьшается на величину кинетической энергии. При некоторой скорости движения начинается резонансное поглощение, т.е. наблюдается эффект Мессбауэра. Понятно, что эффект Мессбауэра можно наблюдать лишь для изотопов, для которых возможны обусловленные γ -излучением ядерные переходы.

Установка для изучения γ -поглощения (рис. 97) состоит из контейнера с источником излучения 1 (например, ядер ⁵⁷Fe, ¹¹⁹Sn, ¹²⁹I, ¹²⁹Xe, ⁴⁰K и др.), контейнера с исследуемым образцом 2 — поглотителем излучения — и регистратора прошедшего через поглотитель γ -излучения 3.

На рис. 98 показаны γ -резонансные спектры поглощения некоторых соединений олова. По оси абсцисс отложена скорость движения источника γ -излучения, по оси ординат — относительная интенсивность

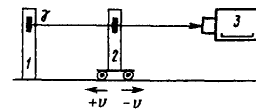


Рис. 97. Схема установки при изучении поглощения γ -квантов

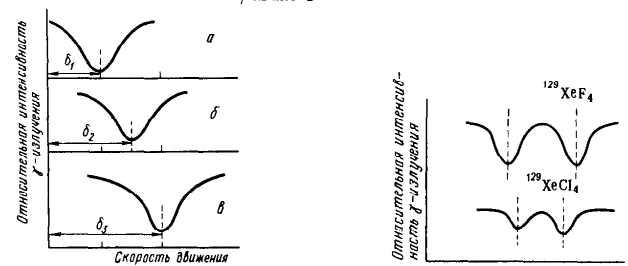


Рис. 98. γ -Резонансный спектр поглощения SnI₄ (a), SnBr₄ (b) и SnCl₄ (c). Источник излучения ¹¹⁹Sn в SnO₂

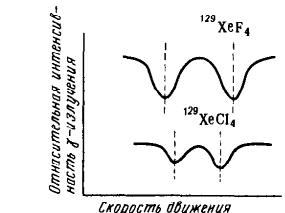
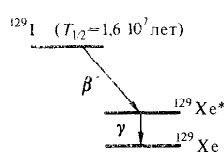
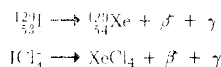


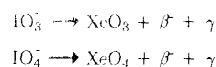
Рис. 99. γ -Резонансные спектры молекул XeCl₄ и XeF₄

прошедшего через поглотитель излучения. Сравнение вида спектрограмм и значений скорости движения позволяет сделать вывод об увеличении степени возбуждения ядер олова в ряду SnI_4 — SnBr_4 — SnCl_4 . По характеру смещения резонансного поглощения можно сказать, что в указанном ряду возрастает степень ионности связи — на атоме олова возрастает положительный заряд.

Рассмотрим еще один пример использования γ -резонансной спектроскопии. На рис. 99 показаны γ -спектры молекул XeCl_4 и XeF_4 . Тетрахлорид ксенона XeCl_4 образуется при радиоактивном распаде ядра иода ^{129}I иона ICl_4^+ (например, в соединении KICl_4):



Образующиеся при этом возбужденные ядра ${}^{129}\text{Xe}$ за счет γ -излучения переходят в основное состояние. Это позволяет снять γ -резонансный спектр (см. рис. 99). Известно, что ион ICl_4^+ имеет квадратное строение. Такое же строение установлено для молекулы XeF_4 . Сравнение γ -спектров XeCl_4 и XeF_4 (см. рис. 99) позволяет сделать вывод о том, что квадратное строение сохраняется и после превращения иона ICl_4^+ в молекулу XeCl_4 . Аналогичное исследование позволило обнаружить оксиды XeO_3 и XeO_4 , образующиеся при γ -распаде изотопа ${}^{129}\text{I}$ соединения KIO_3 и KIO_4 соответственно:



Гамма-спектроскопия позволяет оценить характер распределения электронной плотности в соединении, выяснить его строение. Важна роль этого метода исследования для установления концентрации и состояния элементов в рудах и минералах, для установления промежуточных стадий прохождения реакций и т.д.

ГЛАВА 2. ДИФРАКЦИОННЫЕ МЕТОДЫ ИССЛЕДОВАНИЯ МАГНИТНЫЕ ИЗМЕРЕНИЯ

§ 1. РЕНТГЕНОСТРУКТУРНЫЙ АНАЛИЗ

В дифракционных методах исследования структуры используются рентгеновские лучи, поток электронов или нейтронов с длиной волны того же порядка, что и расстояния между атомами в молекулах или между атомами, ионами и молекулами в кристаллах. Поэтому, проходя через вещество, эти лучи дифрагируют. Возникающая при этом дифракционная картина строго соответствует структуре исследуемого вещества. Рентгеновские лучи (рентгенография) чаще всего применяют для исследования структуры кристаллов, электроны (электронография) — для исследования газов и кристаллов; нейтроны (нейtronография) — для исследования жидкостей и твердых тел.

Установка для рентгенографического исследования структуры кристаллов показана на рис. 100, а. Рентгеновские лучи из рентгеновской трубки 1 направляются через диафрагму на кристалл 2. Проходя через кристалл, рентгеновские лучи отражаются от узлов решетки (электронных оболочек атомов, ионов или молекул), отклоняются и интерферируют. Дифракционная картина воспроизводится на фотопленке 3 в виде совокупности пятен — максимумов интерференции рентгеновских лучей (рис. 100, б).

Изображение на фотопленке — рентгенограмма — по сути дела представляет собой своеобразную проекцию элементов кристаллической решетки на фотопленку. По положению пятен на рентгенограмме устанавливают пространственное расположение частиц в кристалле. Расшифровка рентгенограмм позволяет определить параметры кристаллической решетки, межъядерные расстояния и эффективные радиусы образующих кристалл частиц.

В зависимости от метода рентгеноструктурного исследования рент-

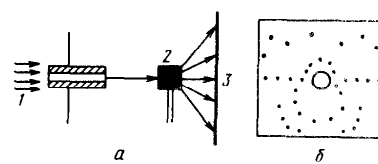


Рис. 100. Схема рентгеновского исследования кристаллов (а) и рентгенограмма (б)

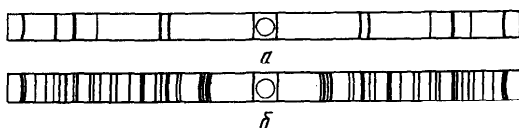


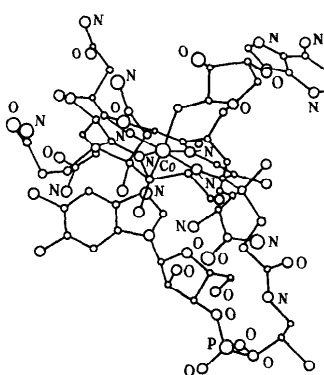
Рис. 101. Рентгенограммы:
а – алмаз; б – графит

генограммы выглядят по-разному. Например, они могут иметь вид совокупности концентрических линий и полос (рис. 101). Как видно на рентгенограммах алмаза и графита (рис. 101), число и характер расположения линий и полос резко отличаются, что объясняется хорошо известным резким различием в структуре этих аллотропных модификаций углерода.

В настоящее время созданы рентгеновские установки, автоматически расшифровывающие рентгенограммы и даже воспроизводящие стереоскопический чертеж структуры исследуемого вещества. Для этого с помощью фотоэлемента регистрируются рентгеновские лучи, претерпевшие дифракцию на кристаллической решетке исследуемого вещества. Импульсы фотоэлемента автоматически кодируются и вводятся в электронно-вычислительную машину. На основании этой ин-

формации машина создает модель одной из возможных структур и затем делает обратный расчет, т.е. по структуре рассчитывает рентгенограмму. В случае несовпадения рассчитанной и экспериментальной рентгенограмм в модель автоматически вносятся определенные изменения и обратный расчет повторяется. И так до тех пор, пока не достигается максимально возможное соответствие между рентгенограммой и моделью. Последнюю затем можно видеть на экране электронно-лучевой трубы или же ЭВМ вычерчивает стереоскопический чертеж

Рис. 102. Стереоскопический чертеж молекулы витамина B_{12} , вычерченный ЭВМ



(рис. 102).

Анализ рентгенограмм позволяет выяснить характер распределения электронной плотности в кристалле. Таким путем узнают, являются ли исследуемые кристаллы ионными, ковалентными или молекулярными. На рис. 103 показано распределение электронной плотности в кристалле LiF . Характер расположения кривых равной электронной плотности (заряд электрона на единицу объема) свидетельствует о преимущественном проявлении ионной связи. Минимум электронной плотности можно считать границей между ионами Li^+ и F^- .

Атомные и ионные радиусы. Условно принимая, что атомы и ионы имеют форму шара, можно считать, что межъядерное расстояние d равно сумме радиусов двух соседних частиц. Очевидно, если обе частицы одинаковы, радиус каждой равен $\frac{1}{2}d$. Так, межъядерное расстояние в металлическом кристалле натрия $d = 0,320$ нм. Отсюда металлический атомный радиус натрия равен 0,160 нм. Межъядерное расстояние в молекуле Na_2 составляет 0,308 нм, т.е. ковалентный радиус атома натрия равен 0,154 нм. Таким образом, атомные радиусы одного и того же элемента зависят от типа химической связи. Размеры ковалентных радиусов зависят также от порядка химической связи. Например, при одинарной, двойной и тройной связи ковалентные радиусы атома углерода равны 0,077, 0,067 и 0,060 нм соответственно.

Эффективные радиусы атомов и ионов в соединениях определяют по разности межъядерного расстояния d и известного эффективного радиуса одной из частиц. Так, разными методами установлено, что радиус иона F^- составляет 0,133 нм. Расшифровка же рентгенограмм кристалла NaF дает значение $d = 0,231$ нм. Следовательно, радиус иона Na^+ равен 0,098 нм.

Размер эффективного радиуса атомов и ионов зависит также от характерной для данной структуры координационного числа (к. ч.). Так, если при к. ч. 8 металлический радиус атома Na равен 0,160 нм, то при к. ч. 12 он должен составить 0,189 нм. Значения металлических радиусов обычно приводят для к. ч. 12, а ионных – для к. ч. 6 (структурный тип $NaCl$). В определении значений атомных и ионных радиусов принадлежит особая заслуга В. Гольдшмидту, Л. Полингу, Н.В. Белову.

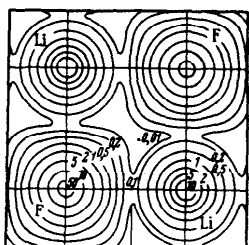


Рис. 103. Распределение электронной плотности в кристалле LiF

§ 2. ЭЛЕКТРОНОГРАФИЧЕСКИЙ И НЕЙТРОНОГРАФИЧЕСКИЙ МЕТОДЫ

На рис. 104 показана принципиальная схема электронографа для изучения молекул газов. Поток электронов, образующихся при сильном нагревании металлической нити 4 и ускоренных разностью потенциалов β , проходит через камеру. В камере подается некоторое количество молекул исследуемого вещества 1. Встречаясь с молекулами, поток электронов дифрагирует. Результат дифракции регистрируется на фотографической пластиинке 2 в виде *электронограммы*.

Электронограмма газов и кристаллов приведены на рис. 105, а, б. Электронограмма состоит из центрального пятна и окружающих его колец различной интенсивности. Центральное пятно обусловлено нерассеянным пучком электронов, а кольца возникают за счет электронов, рассеянных под соответствующими углами к первоначальному направлению пучка. Характер колец и их интенсивность зависят от строения исследуемых молекул. Соответствующие методы расшифровки дают возможность установить форму молекулы, взаимное расположение в ней атомов, валентные углы и межъядерные расстояния. Результаты электронографического определения структуры некоторых молекул приведены в табл. 17.

Таблица 17. Структура некоторых молекул

Молекула	Длина связи, нм	Валентный угол	Форма молекулы
Cl ₂	ClCl	0,200	-
SO ₃	SO	0,143	OSO
BF ₃	BF	0,130	FBF
COCl ₂	CCl	0,174	CICCl
CO	CO	0,117	
PBr ₃	PBr	0,218	BrPBr
P ₄	PP	0,221	PPP
CCl ₄	CCl	0,175	CICCl
CS ₂	CS	0,155	SCS

Электронное излучение применяется также для изучения строения кристаллов. Изучаемое вещество наносят очень тонким слоем на пленку, которую просвечивают электронным излучением. Приведенные на рис. 105, б электронограммы фольги меди и железа показывают отличие в структурах меди (решетка гранецентрированного куба) и железа (решетка объемно центрированного куба).

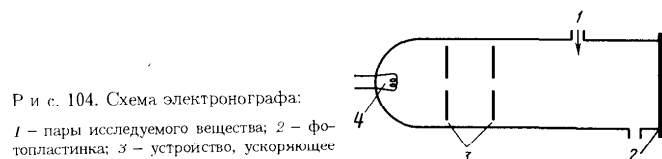


Рис. 104. Схема электронографа:

1 – пары исследуемого вещества; 2 – фотопластинка; 3 – устройство, ускоряющее электроны; 4 – источник электронов

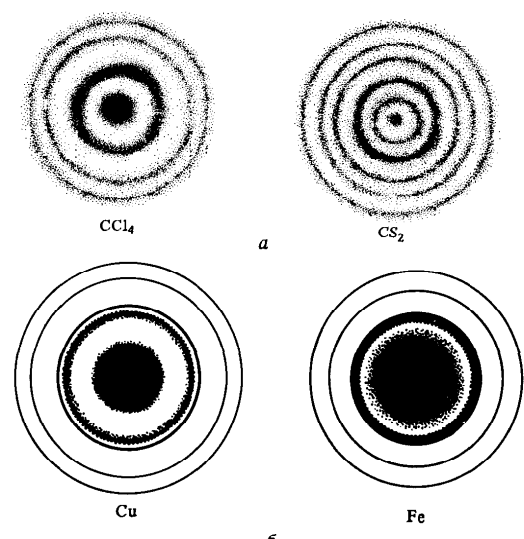


Рис. 105. Электронограммы:
а – газов; б – кристаллов

Для исследования структуры кристаллов и жидкостей применяется также нейтронография. Преимущество нейтронографии по сравнению с другими дифракционными методами исследования заключается в возможности установить пространственное положение атомов водорода, что особенно ценно при изучении биологических объектов и помогает решению фундаментальных проблем молекулярной биологии.

§ 3. ИССЛЕДОВАНИЕ ВЕЩЕСТВ В МАГНИТНОМ ПОЛЕ

По отношению к внешнему магнитному полю различают *диамагнитные* и *парамагнитные* вещества. Диамагнитные вещества оказывают прохождению магнитных силовых линий большее сопротивление, чем вакуум, и поэтому внешнее магнитное поле их выталкивает. Парамагнитные вещества, напротив, проводят магнитные силовые линии лучше, чем вакуум, и поэтому магнитное поле втягивает такие вещества. Помещенные между полюсами сильного магнита, первые ориентируются перпендикулярно силовым линиям (рис. 106, а), вторые — вдоль силовых линий (рис. 106, б).

Столь различное поведение диа- и парамагнитных веществ обусловлено различным характером их внутренних магнитных полей. Как известно, вращение электронов вокруг оси создает магнитное поле, характеризуемое спиновым магнитным моментом. Если в веществе магнитные поля электронов взаимно замкнуты (скомпенсированы) и их суммарный момент равен нулю, то вещество является диамагнитным. Если же магнитные поля электронов не скомпенсированы и вещество имеет собственный магнитный момент, то оно является парамагнитным. Так, атом водорода, имеющий один электрон, парамагнитен. Молекула же H_2 диамагнитна, так как при образовании химической связи происходит взаимная компенсация спинов электронов.

Отношение веществ к внешнему магнитному полю можно исследовать с помощью установки, изображенной на рис. 107. Находящееся в стеклянной ампуле вещество тарируют на весах. Включают электромагнит и определяют возникающее при этом втягивание или выталкивание ампулы, уравновешивая весы. Очевидно, что втягивание парамагнитного вещества в магнитном поле будет тем больше, чем больше у него непарных электронов. Таким образом, изучение магнитных свойств позволяет установить число непарных электронов в веществе и распределение электронов по орбитальным.

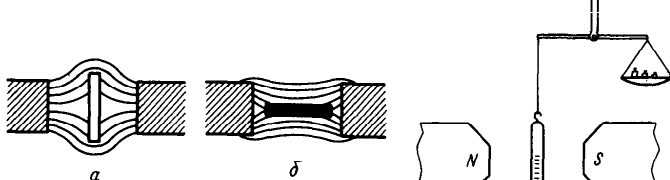


Рис. 106. Поведение в магнитном поле диамагнитных (а) и парамагнитных (б) веществ

Рис. 107. Определение магнитной восприимчивости

Раздел V

Введение в теорию химических процессов

Химическое превращение, химическая реакция есть главный предмет химии. Изучение различных свойств элементов и их соединений, в частности, строения атомов и молекул дает в сущности для химии вспомогательный материал, облегчающий главную задачу — задачу рационального управления химическим превращением... Чем глубже и подробнее мы знаем свойства вещества и его строение, тем увереннее может действовать химик в своих синтезах.

Н.Н. Семенов

Химическое превращение — это качественный скачок, при котором исчезают одни вещества и образуются другие. Происходящая при этом перестройка электронных структур атомов, ионов и молекул сопровождается выделением или поглощением теплоты, света, электричества и т.п. — превращением химической энергии в другой вид энергии.

Энергетические эффекты реакций изучает *термодинамика*. Данные об энергетических эффектах реакций используются для расчета энергии межатомных и межмолекулярных связей, для выяснения строения и реакционной способности веществ, для установления направления химических процессов, для расчета энергетических балансов технологических процессов и т.д.

Состояние системы (вещества или совокупности веществ) описывают с помощью ряда параметров — температуры T , давления p , объема V , массы m . Для характеристики состояния системы и происходящих в ней изменений важно знать также изменение таких свойств системы, как ее внутренняя энергия U , энталпия H , энтропия S , энергия Гиббса G . По изменению этих свойств системы можно судить, в частности, об энергетике процессов.

ГЛАВА 1. ЭНЕРГЕТИКА ХИМИЧЕСКИХ ПРЕВРАЩЕНИЙ

§ 1. ТЕПЛОВОЙ ЭФФЕКТ РЕАКЦИИ

Химические реакции обычно протекают при постоянном давлении (например, в открытой колбе) или при постоянном объеме (например, в автоклаве), т.е. являются соответственно изобарными или изохорными процессами.

Энергетический эффект химического процесса возникает за счет изменения в системе внутренней энергии U или энталпии H . Внутренняя энергия — это общий запас энергии системы, который складывается из энергии движения и взаимодействия молекул, энергии движения и взаимодействия ядер и электронов в атомах, молекулах и кристаллах, внутриядерной энергии и т.д. (т.е. все виды энергии кроме кинетической энергии системы как целого и ее потенциальной энергии положения).

Предположим, что некоторая система за счет поглощения теплоты Q переходит из состояния 1 в состояние 2. В общем случае эта теплота расходуется на изменение внутренней энергии системы ΔU и на совершение работы против внешних сил W : $Q = \Delta U + W$.

Приведенное уравнение выражает закон сохранения энергии*.

Предположим, что система за счет поглощения теплоты Q переходит из начального состояния 1 в конечное состояние 2, тогда:

$$\Delta U = U_2 - U_1.$$

Для химических реакций под работой против внешних сил подразумевается работа против внешнего давления. Обычно она совершается за счет расширения системы, например, при выделении газа в ходе реакции (рис. 108). Работа против внешнего давления равна произведению давления p на изменение объема системы ΔV при переходе ее из состояния 1 в состояние 2:

$$W = p\Delta V; \Delta V = V_2 - V_1; W = p(V_2 - V_1).$$

При изохорном процессе ($V = \text{const}$), поскольку изменения объема системы не происходит, $W = 0$. Тогда переходу системы из состояния 1 в состояние 2 отвечает равенство: $Q_V = U_2 - U_1 = \Delta U$. Таким образом, если химическая реакция протекает при постоянном объеме, то

*Закон сохранения энергии называют также *первым законом термодинамики*.

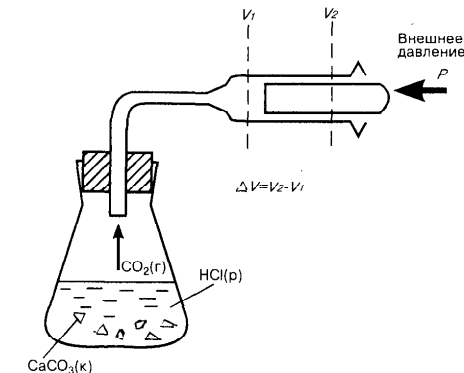


Рис. 108. Работа, выполняемая химической системой против внешнего давления p (поршень невесомый)

выделение или поглощение теплоты Q_V связано с изменением внутренней энергии системы.

При изобарном процессе ($p = \text{const}$) тепловой эффект Q_p равен

$$Q_p = \Delta U + p\Delta V, Q_p = (U_2 - U_1) + p(V_2 - V_1)$$

или

$$Q_p = (U_2 + pV_2) - (U_1 + pV_1).$$

Введем обозначение $U + pV \equiv H$. Тогда $Q_p = H_2 - H_1 = \Delta H$.

Величину H называют *энталпийей*. Энталпию можно рассматривать как энергию расширенной системы. Таким образом, если при изохорном процессе энергетический эффект реакции равен изменению внутренней энергии системы $Q_V = \Delta U$, то в случае изобарного процесса он равен изменению энталпиии системы $Q_p = \Delta H$.

Энергетический эффект реакции, протекающей при постоянном давлении, отличается от энергетического эффекта реакции, протекающей при постоянном объеме. Подавляющее большинство химических реакций происходит при постоянном давлении. Поэтому в дальнейшем мы будем основное внимание уделять изобарным процессам и оценивать энергетический эффект реакции изменением энталпиии системы.

§ 2. ТЕРМОХИМИЧЕСКИЕ РАСЧЕТЫ

Тепловые эффекты реакций определяют как экспериментально, так и с помощью термохимических расчетов. Следует отметить, что неизвестно определить абсолютные значения внутренней энергии и энталпии. Однако для термохимических расчетов это несущественно, поскольку интересует энергетический эффект процесса, т.е. изменение и в состояния системы — изменение значений U и H .

При *экзотермических* реакциях теплота выделяется, т.е. уменьшается энталпия, или внутренняя энергия, системы, и значения ΔH и ΔU для них отрицательны. При *эндотермических* реакциях теплота поглощается, т.е. H и U системы возрастают, а ΔH и ΔU имеют положительные значения.

Для того чтобы можно было сравнить энергетические эффекты различных процессов, термохимические расчеты обычно относят к 1 моль вещества и условиям, принятым за *стандартные*. За стандартные принимают давление 101 325 Па и температуру чаще всего 25°C (298,15 К). Стандартные тепловые эффекты принято обозначать ΔH_{298}° (ΔU_{298}°).

Тепловые эффекты мало чувствительны к изменению температуры и давления. Так, для реакции



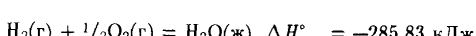
увеличение температуры от 500 до 1500 К приводит к уменьшению теплового эффекта с 173 до 165 кДж, т.е. на 5%.

При увеличении давления от 10^3 до $5 \cdot 10^5$ гПа тепловой эффект реакции



уменьшается всего на 5%.

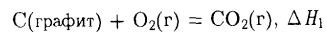
Уравнения химических реакций с указанием теплового эффекта называют *термохимическими уравнениями*. Термохимическое уравнение реакции синтеза 1 моль воды имеет вид



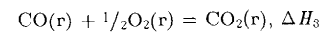
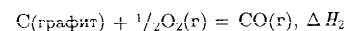
В термохимических уравнениях указывается также фазовое состояние и полиморфная модификация реагирующих и образующихся веществ: г — газовое, ж — жидкое, к — кристаллическое, т — твердое, р — растворенное и др.

Закон Гесса. В основе термохимических расчетов лежит закон, сформулированный Г.И. Гессом (1841): *тепловой эффект зависит только от вида (природы) и состояния исходных веществ и конечных продуктов, но не зависит от пути процесса, т.е. от числа и характера промежуточных стадий.*

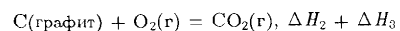
Так, образование оксида углерода (IV) из графита и кислорода можно рассматривать или как непосредственный результат взаимодействия простых веществ



или как результат процесса, протекающего через промежуточную стадию образования и горения оксида углерода (II):



или суммарно



Согласно закону Гесса, тепловые эффекты образования CO_2 как непосредственно из простых веществ, так и через промежуточную стадию образования и горения CO равны $\Delta H_1 = \Delta H_2 + \Delta H_3$.

Приведенные рассуждения можно представить в виде так называемой *энталпийной диаграммы* (рис. 109). Различие в уровнях энталпии исходных веществ, промежуточных и конечных продуктов на диаграмме отвечает тепловым эффектам соответствующих реакций.

На энталпийной диаграмме (рис. 109) или приведенному выше равенству нетрудно вычислить одну из величин ΔH , зная две другие. Как известно, тепловые эффекты образования CO_2 (ΔH_1) и горения CO (ΔH_3) определяются экспериментально. Тепловой же эффект образования CO (ΔH_2) измерить невозможно, так как при горении углерода в условиях недостатка кислорода образуется смесь CO и CO_2 . Но теплоту образования CO можно рассчитать по известным значениям ΔH_1 (-393,5 кДж/моль) и ΔH_3 (-283,0 кДж/моль): $\Delta H_2 = \Delta H_1 - \Delta H_3$, $\Delta H_2 = -110,5$ кДж/моль.

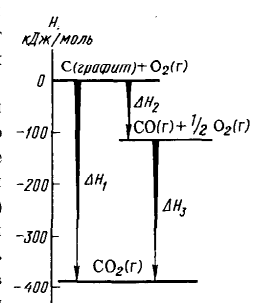


Рис. 109. Энталпийная диаграмма окисления графита

Энталпия (теплота) образования. В термохимических расчетах широко используют энталпии (теплоты) образования веществ. Под энталпийю образования понимают тепловой эффект реакции образования 1 моль вещества из простых веществ. Обычно используют стандартные энталпии образования; их обозначают $\Delta H_{\text{обр},298}^\circ$ или $\Delta H_{f,298}^\circ$ (часто один из индексов опускают). Стандартные энталпии образования простых веществ, устойчивых в стандартных условиях (газообраз-

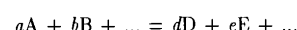
Таблица 18. Стандартная энталпия образования ($\Delta H_{f,298}^\circ$)

некоторых веществ

Вещество	$\Delta H_{f,298}^\circ$ кДж/моль	Вещество	$\Delta H_{f,298}^\circ$ кДж/моль
Al(г)	326,3	H ₂ O(ж)	-285,83
Al ³⁺ (р)	-530,0	H ₂ SO ₄ (ж)	-814,2
Al ₂ O ₃ (к)	-1676	K ⁺ (р)	-251,2
Al ₂ (SO ₄) ₃ (к)	-3442,2	KCl(к)	-435,9
C(алмаз)	1,828	KClO ₃ (к)	-391,2
CH ₄ (г)	-74,86	KNO ₃ (к)	-493,2
CO(г)	-110,5	KOH(к)	-425,8
CO ₂ (г)	-393,5	MgSO ₄ (к)	-1301,4
CaCO ₃ (к)	-1206,9	MgSO ₄ ·7H ₂ O(к)	-3384
CaCl ₂ (к)	-795,0	N(г)	472,8
CaF ₂ (к)	-1220,5	NO(г)	90,25
CaO(к)	-635,5	NO ₂ (г)	33
Ca(OH) ₂ (к)	-986,8	NO ₃ ⁻ (р)	-207,5
Cl(г)	121,3	Na(г)	108,3
Cl ⁻ (г)	-233,6	Na ⁺ (г)	606,1
Cl ⁻ (р)	-167,2	NaCl(к)	-411,1
H(г)	217,98	NaOH(к)	-425,6
H ⁺ (г)	1536,2	Na ₂ SO ₄ (к)	-1384,6
H ⁺ (р)	0	O(г)	246,8
HBr(г)	-34,1	O ₃ (г)	142,3
HCl(г)	-92,8	OH ⁻ (р)	-230,2
HF(г)	-270,9	Si(моноклин.)	0,38
HI(г)	26,6	SO ₂ (г)	-296,9
H ₃ N(г)	-46,19	SO ₃ (г)	-396,1
HNO ₃ (ж)	-174,3	SO ₃ (ж)	-439,0
H ₂ O(г)	-241,82	ZnO(к)	350,6

ный кислород, жидкий бром, кристаллический иод, ромбическая сера, графит и т.д.), принимают равным нулю. Стандартные энталпии образования некоторых веществ приведены в табл. 18.

Согласно закону Гесса тепловой эффект реакции равен сумме энталпий образования продуктов реакции за вычетом суммы энталпий образования исходных веществ. Для реакции вида



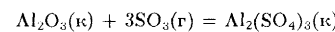
тепловой эффект ΔH определяется равенством

$$\Delta H^\circ = (d\Delta H_{f,D}^\circ + e\Delta H_{f,E}^\circ + \dots) - (a\Delta H_{f,A}^\circ + b\Delta H_{f,B}^\circ + \dots)$$

или

$$\Delta H = \sum \Delta H_{f,\text{прод}}^\circ - \sum \Delta H_{f,\text{исх}}^\circ.$$

Так, для реакции взаимодействия кристаллического оксида алюминия и газообразного оксида серы (IV)



тепловой эффект в стандартных условиях ΔH_{298}° определяется уравнением

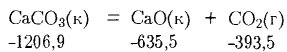
$$\Delta H_{298}^\circ = \Delta H_{f, \text{Al}_2(\text{SO}_4)_3}^\circ - (\Delta H_{f, \text{Al}_2\text{O}_3}^\circ + 3\Delta H_{f, \text{SO}_3}^\circ).$$

Согласно данным табл. 18 тепловой эффект этой реакции составляет

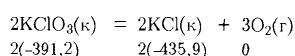
$$\begin{aligned} \Delta H_{298}^\circ &= 1 \text{ моль} (-3442,2 \text{ кДж/моль}) - [1 \text{ моль} - (1676,0 \text{ кДж/моль}) + \\ &+ 3 \text{ моль} (-396,1 \text{ кДж/моль})] = -577,9 \text{ кДж}. \end{aligned}$$

Вот еще два примера расчета теплоты реакции* (значения $\Delta H_{f,298}^\circ$ приведены под формулами веществ):

*Не для всех веществ установлены точные значения $\Delta H_{f,298}^\circ$. Приводимые в разных литературных источниках, они часто весьма противоречивы. Поэтому результаты вычислений ΔH° с использованием $\Delta H_{f,298}^\circ$ могут существенно различаться. Это относится и к рассматриваемым далее расчетам ΔS и ΔG .



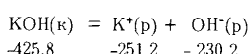
$$\Delta H_{298}^{\circ} = [(-635,5) + (-393,5)] - (-1206,9) = 177,9 \text{ кДж.}$$



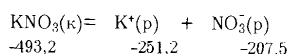
$$\Delta H_{298}^{\circ} = [2(-435,9) + 0] - 2(-391,2) = -89,4 \text{ кДж.}$$

Энталпии образования известны примерно для 4 тыс. веществ в различных состояниях. Это позволяет чисто расчетным путем установить энергетические эффекты самых разнообразных процессов.

Приведем некоторые примеры расчета энергетических эффектов процессов. Тепловой эффект растворения вещества $\Delta H_{\text{раств}}^{\circ}$

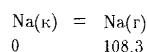


$$\Delta H_{\text{раств}}^{\circ} = [(-251,2) + (-230,2)] - (-425,8) = -55,6 \text{ кДж.}$$

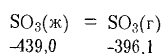


$$\Delta H_{\text{раств}}^{\circ} = [(-251,2) + (-207,5)] - (-493,2) = 34,5 \text{ кДж.}$$

Теплота (энталпия) фазового перехода

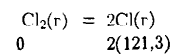


$$\Delta H_{\text{возр}}^{\circ} = 108,3 - 0 = 108,3 \text{ кДж.}$$

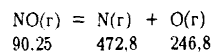


$$\Delta H_{\text{исп}}^{\circ} = (-396,1) - (-439,0) = 42,9 \text{ кДж.}$$

Энергия диссоциации двухатомных молекул на атомы (энергия химической связи — $\Delta H_{\text{дис}}^{\circ} = E_{\text{св}}$)

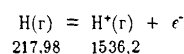


$$\Delta H_{\text{дис}}^{\circ} = 2(121,3) - 0 = 242,6 \text{ кДж.}$$

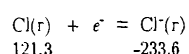


$$\Delta H_{\text{дис}}^{\circ} = (472,8 + 246,8) - 90,25 = 629,35 \text{ кДж.}$$

Энергия превращения атома в ион (энергия ионизации $\Delta H_{\text{иониз}}$; средство к электрону $\Delta H_{\text{эл.ср}}$).



$$\Delta H_{\text{иониз}}^{\circ} = 1536,2 - 217,98 = 1318,22 \text{ кДж}$$



$$\Delta H_{\text{эл.ср}}^{\circ} = (-233,6) - 121,3 = 354,9 \text{ кДж.}$$

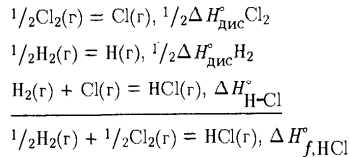
С помощью термохимических расчетов можно определить энергию химических связей, энергию кристаллической решетки, энергию межмолекулярного взаимодействия, энталпию растворения и сольватации (гидратации), энергетические эффекты фазовых превращений и т.д.

Энергия химической связи. Значениями энергии связи часто пользуются для вычисления тепловых эффектов реакций, если неизвестны энталпии образования веществ, участвующих в реакциях. Со значениями же теплот образования, возгонки, диссоциации и других энергетических эффектов пользуются для определения прочности межатомных, межионных и межмолекулярных взаимодействий.

Вычислим энергию химической связи $\text{H}-\text{Cl}$ ($E_{\text{HCl}} = -\Delta H_{\text{H-Cl}}$) в молекуле хлорида водорода по известной энталпии образования $\Delta H_{f,\text{HCl}} = -92,8 \text{ кДж/моль}$ и энергии диссоциации молекул $\text{H}_2(\Delta H_{\text{дис}}^{\circ} = 435,0 \text{ кДж/моль})$ и $\text{Cl}_2(\Delta H_{\text{дис}}^{\circ} = 242,6 \text{ кДж/моль})$ на атомы.

Образование молекул HCl из простых веществ можно мысленно

разбить на стадии: диссоциация молекул Cl_2 и H_2 на атомы и образование молекул HCl из атомов (рис. 110):



В соответствии с законом Гесса алгебраическая сумма тепловых эффектов промежуточных стадий образования HCl из простых веществ равна энталпии образования HCl :

$$\frac{1}{2}\Delta H_{\text{дис}}^{\circ} \text{Cl}_2 + \frac{1}{2}\Delta H_{\text{дис}}^{\circ} \text{H}_2 + \Delta H_{\text{H-Cl}}^{\circ} = \Delta H_{f,\text{HCl}}^{\circ}$$

$$\Delta H_{\text{H-Cl}}^{\circ} = \Delta H_{f,\text{HCl}}^{\circ} - \frac{1}{2}\Delta H_{\text{дис}}^{\circ} \text{Cl}_2 - \frac{1}{2}\Delta H_{\text{дис}}^{\circ} \text{H}_2$$

$$\Delta H_{\text{H-Cl}}^{\circ} = (-92,8) - (217,5 + 121,3) = -431,6 \text{ кДж/моль},$$

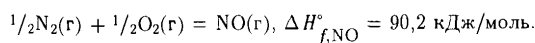
т.е. энергия связи $E_{\text{H-Cl}}^{\circ} = 431,6 \text{ кДж/моль}$.

Образование хлорида водорода из простых веществ — процесс экзотермический. Согласно

$$\Delta H_{f,\text{HCl}}^{\circ} = \Delta H_{\text{H-Cl}}^{\circ} - (\frac{1}{2}\Delta H_{\text{дис}}^{\circ} \text{H}_2 + \frac{1}{2}\Delta H_{\text{дис}}^{\circ} \text{Cl}_2)$$

энергия, выделяющаяся при образовании связей H-Cl в 1 моль HCl (431,6 кДж/моль), перекрывает расход энергии на разрыв связей H-H и Cl-Cl в $1/2$ моль H_2 (217,5 кДж/моль) и $1/2$ моль Cl_2 (121,3 кДж/моль).

Таким образом, экзотермическими являются те реакции, при которых продукты обладают более прочными химическими связями, чем исходные вещества. Условия возникновения эндотермичного эффекта реакции, естественно, прямо противоположные. Так, образование NO из N_2 и O_2 — процесс эндотермический:



В этом случае на разрыв химических связей в исходных веществах в $1/2$ моль N_2 и в $1/2$ моль O_2 — требуется больше энергии, чем ее выделяется при образовании продукта, т.е. 1 моль NO из атомов (рис. 111).

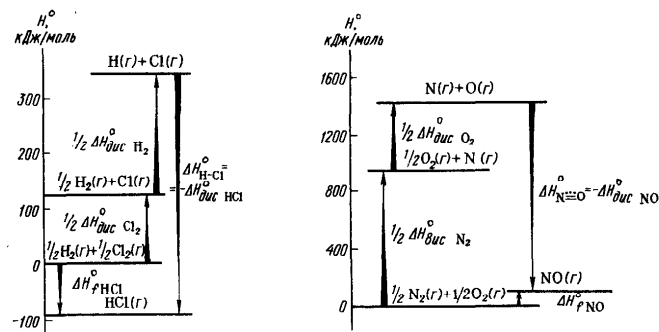


Рис. 110. Энталпийная диаграмма образования HCl из простых веществ

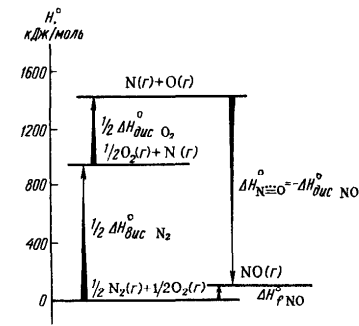


Рис. 111. Энталпийная диаграмма образования NO из простых веществ

Энергия кристаллической решетки. Энергия кристаллической решетки оценивается количеством энергии, которое необходимо затратить для разрушения кристаллической решетки на составные части и удаления их друг от друга на бесконечно большое расстояние. По значениям энергии кристаллической решетки можно судить о типе химической связи в веществе и ее энергии. Понятно, что наибольшую энергию кристаллической решетки имеют ионные и ионно-ковалентные кристаллы, наименьшую — кристаллы с молекулярной решеткой (табл. 19). Металлы по значениям энергии кристаллической решетки занимают промежуточное положение.

Таблица 19. Энергия (U_{298}) некоторых кристаллических решеток

Кристаллическая решетка	Пример	U_{298}° , кДж/моль	Кристаллическая решетка	Пример	U_{298}° , кДж/моль
Ионная	NaCl	785,1	Атомно-металлическая	K	89,2
	LiF	1024		Cr	397,5
	KOH	790,5		CH ₄	10,0
	KNO ₃	684,5		H ₂	1,004
	C(алмаз)	715			
	SiC	1250			
Атомно-ковалентная			Молекулярная с дисперсионным взаимодействием		
			Молекулярная с водородной связью		
			H ₂ O	50,2	
			HF	29,3	

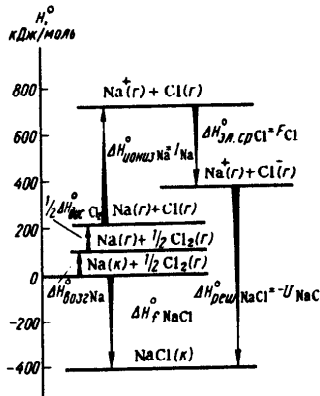
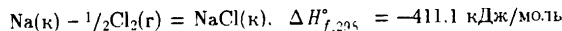


Рис. 112. Энталпийная диаграмма для расчета энергии кристаллической решетки NaCl (цикл Борна—Габера)

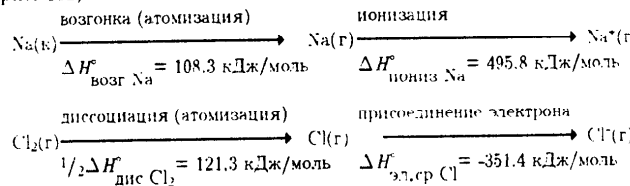
тальных данных по энергетике других веществ можно также представить в виде энталпийной диаграммы (рис. 112).

Кристаллический хлорид натрия (ионная решетка) образуется в результате реакции кристаллического натрия и газообразного хлора:

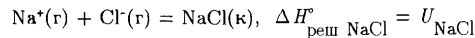


Тепловой эффект этого процесса соответствует энталпии образования кристаллического NaCl ($\Delta H_{f,298}^\circ$).

Образование NaCl из простых веществ можно также представить в виде последовательных стадий получения из кристаллического натрия и газообразного молекулярного хлора газообразных ионов Na^+ и Cl^- (рис. 112).



и последующего их взаимодействия с образованием ионного хлорида натрия NaCl:



Согласно закону Гесса

$$\begin{aligned} \Delta U_{\text{NaCl}}^\circ &= -\Delta H_{\text{реш. NaCl}}^\circ = -\Delta H_{f,\text{NaCl}}^\circ + \Delta H_{\text{возр. Na}}^\circ + \\ &+ \frac{1}{2}\Delta H_{\text{дис. Cl}_2}^\circ + \Delta H_{\text{иониз. Na}}^\circ + \Delta H_{\text{эл.ср Cl}}^\circ \end{aligned}$$

Подставляя цифровые значения, получим

$$U_{\text{NaCl}}^\circ = 785.1 \text{ кДж/моль.}$$

Об этом же непосредственно свидетельствует энталпийная диаграмма (рис. 112).

Энергию ионной кристаллической решетки можно вычислить также по известным энталпиям образования ионного соединения и энталпиям образования составляющих его ионов:



$$\Delta H_{\text{реш.}}^\circ = \Delta H_{f,\text{Na}^+}^\circ + \Delta H_{f,\text{Cl}^-}^\circ - \Delta H_{f,\text{NaCl}}^\circ$$

Для рассмотренного примера согласно значениям ΔH_f° , $U_{\text{NaCl}}^\circ = 785.1 \text{ кДж/моль}$ (табл. 19).

Энталпия (теплота) гидратации ионов. Интенсивность взаимодействия ионов растворенного вещества с молекулами воды можно охарактеризовать величиной энталпии (теплоты) гидратации $\Delta H_{\text{гидр}}$ — количеством теплоты, которое выделяется при переходе 1 моль ионов из вакуума в водный раствор.

Значение $\Delta H_{\text{гидр}}$ можно рассчитать, используя известные значения энталпий других процессов. Так, растворение ионного соединения можно представить в виде двух стадий: разрушение кристаллической решетки на свободные ионы и гидратация ионов. Тогда, согласно закону Гесса, тепловой эффект (энталпию) растворения $\Delta H_{\text{раств}}$ можно представить в виде алгебраической суммы энергии (энталпии)

разрушения кристаллической решетки $\Delta H_{\text{реш}}$ и энталпии гидратации ионов $\Delta H_{\text{гидр}}$:

$$\Delta H_{\text{раств}} = \Delta H_{\text{реш}} + \Delta H_{\text{гидр}}$$

или

$$\Delta H_{\text{гидр}} = \Delta H_{\text{раств}} - \Delta H_{\text{реш}}.$$

Энергия кристаллической решетки известна для многих ионных соединений; теплоту растворения веществ можно определить экспериментально. При расчете по указанному уравнению находят суммарное значение энталпии гидратации катиона и аниона. Энталпию гидратации данного иона определяют по известной энталпии гидратации иона противоположного знака.

Нетрудно догадаться, что энталпия гидратации зависит от заряда и размера гидратируемого иона. В ряду ионов с однотипной электронной конфигурацией энталпия гидратации возрастает с уменьшением размера иона, например:

	Li^+	Na^+	K^+	Rb^+	Cs^+
$r, \text{ нм}$	0,068	0,098	0,133	0,149	0,165
$\Delta H_{298, \text{гидр}}, \text{ кДж/моль}$	-531,4	-422,6	-338,9	-313,8	-280,3

и с увеличением заряда иона, например:

	Na^+	Mg^{2+}	Al^{3+}
$r, \text{ нм}$	0,098	0,074	0,057
$\Delta H_{\text{гидр}}, \text{ кДж/моль}$	-422,6	-1953,9	-4694,5

Разрушение кристаллической решетки на свободные ионы — процесс эндотермический ($\Delta H_{\text{реш}} > 0$); гидратация ионов — процесс экзотермический ($\Delta H_{\text{гидр}} < 0$). Таким образом, в зависимости от соотношения значений $\Delta H_{\text{реш}}$ и $\Delta H_{\text{гидр}}$ тепловой эффект растворения может иметь как положительное, так и отрицательное значение. Так, растворение кристаллического гидроксида калия сопровождается выделением теплоты, т.е. на разрушение кристаллической решетки KOH требуется меньше энергии ($\Delta H_{\text{реш}}^\circ = 790,5 \text{ кДж/моль}$), чем ее выделяется при гидратации ионов K^+ ($\Delta H_{\text{гидр}}^\circ \text{ K}^+ = -338,9 \text{ кДж/моль}$) и ионов OH^- ($\Delta H_{\text{гидр}}^\circ \text{ OH}^- = -510,5 \text{ кДж/моль}$). Напротив, растворение кристаллического нитрата калия — процесс эндотермический, так как

188

на разрушение кристаллической решетки KNO_3 ($\Delta H_{\text{реш}}^\circ = 684,5 \text{ кДж/моль}$) затрачивается больше энергии, чем ее выделяется при гидратации ионов K^+ и NO_3^- ($\Delta H_{\text{гидр}}^\circ \text{ NO}_3^- = -309,6 \text{ кДж/моль}$).

ГЛАВА 2. НАПРАВЛЕННОСТЬ ХИМИЧЕСКОЙ РЕАКЦИИ

§ 1. ЭНТРОПИЯ

Большинство процессов представляют собой два одновременно происходящих явления: передачу энергии и изменение в упорядоченности расположения частиц относительно друг друга. Частицам (молекулам, атомам, ионам) присуще стремление к беспорядочному движению, поэтому система стремится перейти из более упорядоченного состояния в менее упорядоченное. Так, если, например, баллон с газом соединить с сосудом, то газ из баллона будет распределяться по всему объему сосуда. При этом система из более упорядоченного состояния (с меньшим беспорядком) переходит в состояние менее упорядоченное (с большим беспорядком). Количественной мерой беспорядка является **энтропия** S . При переходе системы из более упорядоченного в менее упорядоченное состояние энтропия возрастает ($\Delta S > 0$).

Переход же системы из менее упорядоченного состояния в более упорядоченное связан с уменьшением энтропии, и самопроизвольное протекание подобного процесса менее вероятно. Так, ясно, что в рассматриваемом примере невероятно, чтобы газ сам собой собрался в баллоне. В случае перехода системы из менее упорядоченного состояния в более упорядоченное энтропия системы уменьшается ($\Delta S < 0$).

Нетрудно показать, что энтропия возрастает при переходе жидкости в пар, при растворении кристаллического вещества и т.д. Во всех этих случаях наблюдается уменьшение порядка в относительном расположении частиц. Наоборот, в процессах конденсации и кристаллизации веществ энтропия уменьшается.

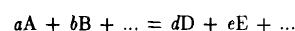
Вероятность различных состояний вещества (газ, кристаллическое, жидкое) можно описать как некоторое его свойство и количественно выразить значением энтропии S [в Дж/(К·моль)]. Энтропии веществ, как и их энталпии образования, принято относить к определенным условиям: обычно к температуре 25°C (298,15 K) и давлению 101 325 Па. Энтропию при этих условиях обозначают S_{298}° и называют стандартной энтропией. Значения *стандартной энтропии* для некоторых веществ приведены в табл. 20.

Таблица 20. Стандартная энтропия (S°_{298}) некоторых веществ

Вещество	S°_{298} , Дж/(К· хмоль)	Вещество	S°_{298} , Дж/(К· хмоль)	Вещество	S°_{298} , Дж/(К· хмоль)
Ag(к)	42,55	Fe(к)	27,15	NaCl(к)	72,12
AgBr(к)	107,1	FeS(к)	60,29	Na ₂ CO ₃ (к)	136,4
AgCl(к)	96,11	Ge(к)	31,1	O(г)	160,95
AgI(к)	115,5	H ⁺ (р)	0,00	O ₂ (г)	205,04
Al(к)	28,35	H ₂ (г)	130,52	O ₃ (г)	238,8
AlSb(к)	69,03	HNO ₃ (ж)	156,6	OH ⁻ (р)	-10,86
BaCO ₃ (к)	112	H ₃ N(г)	192,6	P(белый)	41,1
BaCl ₂ (к)	126	H ₂ O(г)	188,72	P(красный)	22,8
Ba(NO ₃) ₂ (к)	214	H ₂ O(ж)	70,08	Pb(к)	64,8
BaSO ₄ (к)	132	H ₂ O(к)	39,33	S(г)	167,7
C(алмаз)	2,368	H ₂ SO ₄ (ж)	156,9	S ₂ (г)	228,18
C(графит)	5,740	KCl(к)	82,56	S ₆ (г)	377
CO(г)	197,54	KClO ₃ (к)	142,97	S ₈ (г)	444,2
CO ₂ (г)	213,68	KOH(к)	79,32	SO ₂ (г)	248,1
CH ₄ (г)	186,19	MgCO ₃ (к)	65,7	SO ₃ (ж)	122,05
CaCl ₂ (к)	113,6	MgO(к)	26,9	Sb(к)	45,69
CaCO ₃ (к)	92,9	N ₂ (г)	199,9	Si(к)	18,82
CaO(к)	39,7	NH ₄ NO ₃ (к)	151	SiO ₂ (к)	42,7
Cl ⁻ (р)	56,54	NO(г)	210,6	SiO ₂ (ст)	46,9
Cl ₂ (г)	222,9	NO ₂ (г)	240,2	Sn(к)	51,65
CrO ₃ (к)	71,96	N ₂ O ₅ (г)	178,4	ZnO(к)	43,64

Соответственно степени беспорядка энтропия вещества в газовом состоянии значительно больше, чем в жидком, а тем более — чем в кристаллическом. Например, стандартная энтропия воды $S^\circ_{298} = 70,08$ Дж/(К·моль), а водяного пара $S^\circ_{298} = 188,72$ Дж/(К·моль). У вещества в аморфном состоянии энтропия больше, чем в кристаллическом (более упорядоченном) состоянии, например для стекловидного и кристаллического SiO₂ стандартные энтропии равны 46,9 и 42,7 Дж/(К·моль) соответственно. Стандартная энтропия графита [5,740 Дж/(К·моль)] больше, чем алмаза [2,368 Дж/(К·моль)], отличающегося особо жесткой структурой. При данном агрегатном состоянии энтропия тем значительнее, чем больше атомов содержится в молекуле. Так, энтропия O₃(г) [238,8 Дж/(К·моль)] больше, чем газообразных O₂ [205,04 Дж/(К·моль)] и O [160,9 Дж/(К·моль)].

Значениями энтропии веществ пользуются для установления изменения энтропии системы в результате соответствующих процессов. Так, для химической реакции



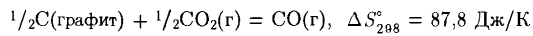
изменение энтропии системы будет

$$\Delta S^\circ = (dS^\circ_D + eS^\circ_E + \dots) - (aS^\circ_A + bS^\circ_B + \dots)$$

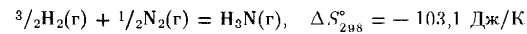
или

$$\Delta S^\circ = \Sigma S^\circ_{\text{прод}} - \Sigma S^\circ_{\text{исх}}.$$

Об изменении энтропии в химической реакции можно судить по изменению объема системы в ходе реакции. Например, в реакции

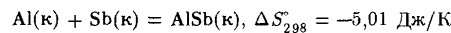


наблюдается увеличение объема ($\Delta V > 0$); следовательно, энтропия возрастает ($\Delta S > 0$). В случае же реакции образования аммиака из водорода и азота

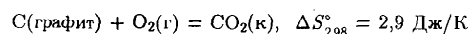


наоборот, объем системы уменьшается ($\Delta V < 0$); следовательно, энтропия уменьшается ($\Delta S < 0$).

Если же реакция протекает между твердыми веществами, например



то изменения объема системы и ее энтропии практически не происходит. То же относится и к процессам, в которых количество (моль) газообразных веществ не изменяется, например:



Возрастание энтропии в системе назовем *энтропийным фактором*. Этот фактор проявляется тем сильнее, чем выше температура. Количественно энтропийный фактор можно оценить произведением $T\Delta S$ и выразить в единицах энергии (Дж).

Изменение энергии системы назовем *энергетическим* или *энталпийным фактором*. Количественно эта тенденция системы выражается через тепловой эффект процесса, т.е. значением ΔH .

§ 2. ЭНЕРГИЯ ГИББСА

Самопроизвольно, т.е. без затраты работы извне, система может переходить только из менее устойчивого состояния в более устойчивое. Из рассмотренного следует, что в химических процессах одновременно действуют две тенденции: стремление частиц объединяться за счет прочных связей в более сложные, что уменьшает энталпию системы, и стремление частиц разъединяться, что увеличивает энтропию. Иными словами, проявляется действие двух прямо противоположных факторов — энталпийного (ΔH) и энтропийного ($T\Delta S$). Суммарный эффект этих двух противоположных тенденций в процессах, протекающих при постоянных T и p , отражает изменение *энергии Гиббса* G^* :

$$\Delta G = \Delta H - T\Delta S.$$

Характер изменения энергии Гиббса позволяет судить о принципиальной возможности или невозможности осуществления процесса. Условием принципиальной возможности процесса является неравенство

$$\Delta G < 0.$$

Иными словами, самопроизвольно протекают реакции, если энергия Гиббса в исходном состоянии системы больше, чем в конечном. Увеличение энергии Гиббса

$$\Delta G > 0$$

свидетельствует о невозможности самопроизвольного осуществления процесса в данных условиях. Если же

*Эта величина названа так в честь американского ученого Дж. Уилларда Гиббса (1839–1903) — одного из основоположников химической термодинамики. Согласно $\Delta H = \Delta G + T\Delta S$ часть теплоты $T\Delta S$ идет на создание беспорядка (бесполезно рассеивается в окружающую среду) и поэтому не может быть использована для совершения работы; ее называют часто *связанной энергией*. Часть теплоты ΔG может быть использована для совершения работы, и поэтому энергию Гиббса часто называют также *свободной энергией*.

$$\Delta G = 0,$$

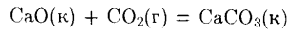
система находится в состоянии химического равновесия.

Энталпийный и энтропийный факторы и направление процесса. В соответствии с уравнением

$$\Delta G = \Delta H - T\Delta S$$

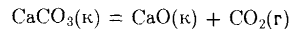
самопроизвольному протеканию процесса способствуют уменьшение энталпии и увеличение энтропии системы, т.е. когда $\Delta H < 0$ и $\Delta S > 0$.

При других сочетаниях характера изменений H и S возможность процесса определяет либо энталпийный, либо энтропийный фактор. Рассмотрим две следующие реакции:



$$\Delta H_{298}^\circ = -178,0 \text{ кДж}, \quad \Delta S_{298}^\circ = -160,48 \text{ Дж/К}.$$

$$\Delta G_{298}^\circ = -130,2 \text{ кДж}$$



$$\Delta H_{298}^\circ = 178,0 \text{ кДж}, \quad \Delta S_{298}^\circ = 160,48 \text{ Дж/К},$$

$$\Delta G_{1500}^\circ = -62,7 \text{ кДж}.$$

Первая реакция экзотермическая, протекает с уменьшением объема. Возможность этой реакции ($\Delta G < 0$) определяется действием энталпийного фактора, которое перекрывает противодействие энтропийного фактора (по абсолютному значению $|\Delta H| > |T\Delta S|$).

Вторая реакция эндотермическая, протекает с увеличением объема. Возможность этой реакции ($\Delta G > 0$), наоборот, определяется энтропийным фактором. При высокой температуре энтропийный фактор перекрывает энталпийный фактор (т.е. $|\Delta H| < |T\Delta S|$) и реакция протекает самопроизвольно.

Влияние температуры на направление реакции. Согласно уравнению

$$\Delta G = \Delta H - T\Delta S$$

влияние температуры на ΔG определяется знаком и величиной ΔS . На

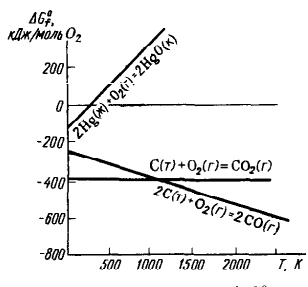
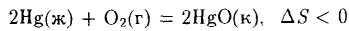
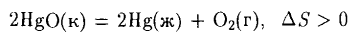


Рис. 113. Зависимость ΔG_f° ряда оксидов от температуры

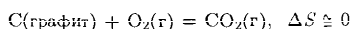


протекающей с уменьшением энтропии, с повышением температуры отрицательное значение ΔG уменьшается. Следовательно, в этом случае высокотемпературный режим препятствует протеканию процесса. При соответствующей температуре ΔG приобретает положительное значение, и тогда реакция должна протекать в обратном направлении. Как видно на рис. 113, изменение знака ΔG для этой реакции достигается при 500 К. Выше этой температуры реакция протекает в обратном направлении:



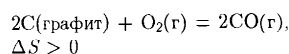
Таким образом, при низкотемпературном режиме (до 500 К) ртуть окисляется кислородом, в то время как при высокотемпературном режиме (выше 500 К) оксид ртути распадается с выделением кислорода. Эти процессы можно использовать для получения кислорода в лаборатории.

Если же при протекании процесса энтропия системы не изменяется, то значение ΔG от температуры практически не зависит. Так, для реакции



*Если пренебречь влиянием T на значения ΔH и ΔS , то приведенная зависимость $\Delta G = f(T)$ является уравнением прямой, наклон которой определяется знаком ΔS . На рис. 113 при $\Delta S > 0$ прямая идет вниз, при $\Delta S < 0$ — вверх.

рис. 113 показана зависимость ΔG ряда реакций от температуры*. Для реакции

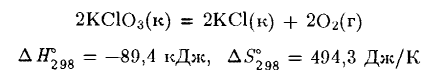


протекающей с увеличением энтропии, повышение температуры приводит к увеличению отрицательного значения ΔG . Высокотемпературный режим благоприятствует протеканию процесса. Для реакции

зависимость $\Delta G = f(T)$ на рис. 113 выражается прямой, практически параллельной оси абсцисс.

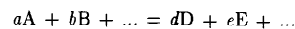
Процессы, протекающие с уменьшением энталпии ($\Delta H < 0$) и увеличением энтропии ($\Delta S > 0$), практически не обратимы. В этом случае ΔG всегда будет иметь отрицательное значение, какую бы температуру ни применяли.

К необратимым процессам относится, например, разложение хлората (V) калия:



Стандартная энергия Гиббса образования. Под стандартной энергией Гиббса образования ΔG_f° понимают изменение энергии Гиббса при реакции образования 1 моль вещества, находящегося в стандартном состоянии. Это определение подразумевает, что стандартная энергия Гиббса образования простого вещества, устойчивого в стандартных условиях, равна нулю.

Изменение энергии Гиббса, как и изменение энталпии и энтропии системы, не зависит от пути процесса. Поэтому для реакции вида



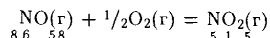
изменение стандартной энергии Гиббса ΔG° равно разности между суммой стандартных энергий Гиббса образования продуктов реакции и суммой стандартных энергий Гиббса образования исходных веществ:

$$\Delta G^\circ = (d\Delta G_{f,\text{D}}^\circ + e\Delta G_{f,\text{E}}^\circ + \dots) - (a\Delta G_{f,\text{A}}^\circ + b\Delta G_{f,\text{B}}^\circ + \dots)$$

или

$$\Delta G^\circ = \sum \Delta G_{f,\text{прод}}^\circ - \sum \Delta G_{f,\text{исх}}^\circ$$

Пользуясь значениями $\Delta G_{f,298}^\circ$, приведенными в табл. 21, вычислим ΔG_{298}° реакции



$$\Delta G_{298}^\circ = \Delta G_{f,\text{NO}_2}^\circ - (\Delta G_{f,\text{NO}}^\circ + \frac{1}{2}\Delta G_{f,\text{O}_2}^\circ).$$

Т а б л и ц а 21. Стандартная энергия Гиббса образования (ΔG_f° , 298)

некоторых веществ

Вещество	$\Delta G_f^{\circ}, 298$ кДж/моль	Вещество	$\Delta G_f^{\circ}, 298$ кДж/моль
Al(г)	288,7	H ₂ O(ж)	-237,24
Al ³⁺ (р)	-490,5	H ₂ SO ₄ (ж)	-814,2
Al ₂ O ₃ (к)	-1582	K ⁺ (р)	-281,3
Al ₂ (SO ₄) ₃ (к)	-3101,0	KCl(к)	-408,0
Ba ²⁺ (р)	-561,1	KClO ₃ (к)	-289,9
BaSO ₄ (к)	-1353,0	KNO ₃ (к)	-393,1
C(алмаз)	2,833	KOH(к)	-380,2
CH ₄ (г)	-50,79	MgSO ₄ (к)	-1158,7
CO(г)	-137,14	MgSO ₄ ·7H ₂ O(к)	-2868
CO ₂ (г)	-394,38	N(г)	455,5
CaCl ₂ (к)	-750,2	NO(г)	86,58
CaCO ₃ (к)	-1128,8	NO ₂ (г)	51,5
CaF ₂ (к)	-1161,9	NO ₃ ⁻ (р)	-111,7
CaO(к)	-604,2	Na(г)	77,3
Ca(OH) ₂ (к)	-896,8	Na ⁺ (р)	575,6
Cl(г)	105,3	NaCl(к)	-384,0
Cl ⁻ (р)	-239,9	NaOH(к)	-380,7
Cl ⁻ (п)	-131,4	Na ₂ SO ₄ (к)	-1266,8
H(г)	203,3	O(г)	231,8
H ⁺ (р)	1516,99	O ₃ (г)	162,7
H ⁺ (п)	0	OH ⁻ (р)	157,4
HBr(г)	-53,2	S(монокл.)	0,188
HCl(г)	-94,79	SO ₂ (г)	-300,4
HF(г)	-272,8	SO ₃ (г)	371,0
HI(г)	1,78	SO ₃ (к)	-368,98
H ₃ N(р)	-16,7	SO ₄ ²⁻ (р)	-744,93
HNO ₃ (ж)	-80,3	ZnO(к)	-320,88
H ₂ O(г)	-288,61	ZrO ₂ (к)	-1042,8

Подставляя значения ΔG_f° , указанные под символами веществ в уравнении реакции, получим

$$\Delta G_{298}^{\circ} = 51,5 - (86,58 - 0) = -35,08 \text{ кДж.}$$

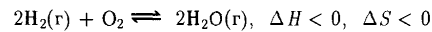
Найденное значение ΔG_{298}° означает, что образование 1 моль NO₂ при стандартных условиях, т.е. при $\rho_{\text{NO}} = \rho_{\text{O}_2} = \rho_{\text{NO}_2} = 101,3 \text{ кПа}$ и общем давлении 303,9 кПа, сопровождалось бы при 298 К уменьшением энергии Гиббса системы на 35,08 кДж/моль NO₂.

При пользовании значениями стандартной энергии Гиббса критерием принципиальной возможности процесса в нестандартных условиях следует принять условие $\Delta G^{\circ} \ll 0$, а критерием принципиальной невозможности осуществления процесса — неравенство $\Delta G^{\circ} \gg 0$. Разумеется, если $\Delta G^{\circ} = 0$, то это вовсе не означает, что в реальных условиях система будет находиться в равновесии. Таким образом, во многих случаях значениями ΔG° можно пользоваться лишь для приближенной оценки направления реакций.

ГЛАВА 3. ХИМИЧЕСКОЕ РАВНОВЕСИЕ

§ 1. КОНСТАНТА ХИМИЧЕСКОГО РАВНОВЕСИЯ

Большинство химических реакций обратимо, т.е. протекает одновременно в противоположных направлениях. Рассмотрим обратимую реакцию



Протекание реакции в прямом направлении сопровождается выделением теплоты ($\Delta H < 0$). Энтропия системы при этом уменьшается ($\Delta S < 0$), так как в результате реакции из 3 моль газов образуются 2 моль газов. Таким образом, движущей силой этого процесса является энегетический (энталпийный) фактор.

Протекание рассматриваемой реакции в обратном направлении сопровождается поглощением теплоты ($\Delta H > 0$); энтропия системы возрастает ($\Delta S > 0$). Таким образом, движущей силой этого процесса является энтропийный фактор.

Представим себе, что при 2000°C и 101,3 кПа в закрытый сосуд введена смесь водорода и кислорода. Происходит процесс образования паров воды. Его протекание обеспечивает энталпийный фактор. Но с появлением паров воды начинает действовать энтропийный фактор — часть образованной воды разлагается на водород и кислород. Вначале действие энталпийного фактора преобладает над действием

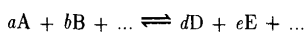
энтропийного фактора. Но в конце концов действие этих двух противоположно действующих факторов уравновешивается: $\Delta H = T\Delta S$, т.е. $\Delta G = 0$. Наступает химическое равновесие. При химическом равновесии число образующихся в единицу времени молекул (или других частиц) при прямой реакции равно числу молекул (других частиц), вступивших во взаимодействие при обратной реакции, т.е. химическое равновесие является *динамическим*. В состоянии химического равновесия *скорость прямой реакции равна скорости обратной реакции*.

Таким образом, вследствие обратимости процесса полного превращения водорода и кислорода в воду не происходит в результате взаимодействия в сосуде присутствует смесь всех трех газов — водорода, кислорода и воды. Это наблюдение можно обобщить: самопроизвольное протекание химических реакций происходит до известного предела — до установления в системе химического равновесия ($\Delta G = 0$). К равновесию можно подойти с противоположных сторон — как за счет взаимодействия исходных веществ, так и за счет взаимодействия конечных продуктов.

После наступления равновесия концентрации веществ (исходных и продуктов) при данных условиях остаются неизменными. Эти концентрации называют *равновесными*.

Закон действующих масс. О степени глубины протекания процесса можно судить на основании закона действующих масс, которому подчиняется система в состоянии равновесия: *частное от деления произведения равновесных концентраций продуктов реакции на произведение равновесных концентраций исходных веществ является величиной постоянной* (Гульдберг и Вааге, 1864—1867). Этую величину называют *константой равновесия*; ее обозначают K .

Для реакции



в состоянии равновесия выполняется соотношение

$$K_c = \frac{[D]^d [E]^e \dots}{[A]^a [B]^b \dots}$$

где $[A]$, $[B]$, ..., $[D]$, $[E]$, ... — равновесные концентрации веществ A, B, ..., D, E, ...; a , b , ..., d , e , ... — показатели степени, в которую возводится концентрация данного вещества — численно равны коэффициентам перед формулой веществ в уравнении реакции.

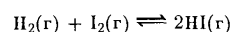
Для выражения состояния равновесия при взаимодействии между

газообразными веществами часто вместо концентраций используют равновесные парциальные давления реагентов *:

$$K_p = \frac{p_D^d p_E^e \dots}{p_A^a p_B^b \dots}$$

Значения K_c находят путем расчета или на основании экспериментальных данных.

Рассмотрим равновесную систему



Согласно экспериментальным данным при 698 К ($425^\circ C$).

$$K_{698} = \frac{[HI]^2}{[H_2][I_2]} = 54,441 \text{ или } K_p = \frac{p_{HI}^2}{p_{H_2} p_{I_2}}$$

Константа равновесия — важная характеристика реакции. По ее значению можно судить о направлении процесса при исходном соотношении концентраций реагирующих веществ, о максимально возможном выходе продукта реакции при тех или иных условиях.

Влияние на константу равновесия температуры. Константа химического равновесия зависит от природы реагентов и от температуры. Она связана с изменением стандартной энергии Гиббса химической реакции ΔG° уравнением

$$\Delta G^\circ = -RT \ln K, \quad \Delta G^\circ_{298}(кДж) = -5,71 \lg K_{298}$$

Приведенное уравнение позволяет по величине ΔG° вычислить K , а затем и равновесные концентрации (парциальные давления) реагентов. Большим отрицательным значениям ΔG ($\Delta G^\circ < 0$) отвечают большие значения K ($K \gg 1$), т.е. в равновесной смеси преобладают продукты взаимодействия. При больших положительных значениях ΔG° ($\Delta G^\circ > 0$) в равновесной смеси преобладают исходные реагенты ($K \ll 1$). Если учесть, что $\Delta G^\circ = \Delta H^\circ - T\Delta S^\circ = -RT \ln K$, то после некоторого преобразования получим

*Константа равновесия K_c , выражаемая через равновесные концентрации реагентов, и K_p , выражаемая через их парциальные давления, связаны уравнением $K_p = K_c(RT)^{\Delta n}$, где Δn — изменение количества вещества газов во время реакции. В реакции, где количество вещества газов не изменяется, $\Delta n = 0$ и $K_p = K_c$.

$$K = e^{-\frac{\Delta H^\circ}{RT}} e^{\frac{\Delta S^\circ}{R}}$$

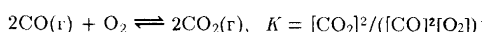
Из этого уравнения видно, что константа равновесия очень чувствительна к изменению температуры. Для эндотермических процессов повышение температуры отвечает увеличению константы равновесия, для экзотермических — ее уменьшению. От давления (если оно не очень велико) константа равновесия не зависит.

Зависимость константы равновесия от энталпийного и энтропийного факторов свидетельствует о влиянии на нее природы реагентов.

§ 2. ПРИНЦИП ЛЕ ШАТЕЛЬЕ

Состояние химического равновесия сохраняется при данных условиях любое время. При изменении же условий равновесие нарушается. Влияние, оказываемое на равновесную систему каким-либо внешним воздействием, например изменением концентрации реагентов, давления или температуры, можно предсказать, пользуясь принципом Ле Шателье (принципом подвижного равновесия): *если находящаяся в равновесии система подвергается внешнему воздействию, равновесие смещается в таком направлении, которое способствует ослаблению этого воздействия.*

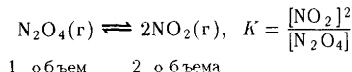
Так, согласно принципу Ле Шателье, введение в равновесную систему дополнительных количеств какого-либо реагента вызывает сдвиг равновесия в том направлении, при котором концентрация этого вещества уменьшается и соответственно увеличивается концентрация продуктов его взаимодействия. Допустим, к равновесной системе



добавлен кислород. Это вызовет усиление процесса образования оксида углерода (IV). Процесс будет идти до тех пор, пока система не придет к состоянию равновесия. В этом новом состоянии химического равновесия концентрации (парциальные давления) всех веществ отличны от начальных, но соотношение между ними, выражаемое константой равновесия, остается тем же. Таким образом, в системе, находящейся в равновесии, нельзя изменить концентрацию какого-нибудь из реагентов, не вызывая изменения концентрации всех остальных.

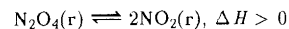
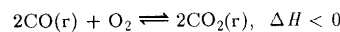
Изменение давления влияет на состояние равновесия в тех случаях, когда реакция сопровождается изменением объема системы. В соответствии с принципом Ле Шателье повышение давления сдвигает

химическое равновесие в сторону реакций, идущей с уменьшением объема. При понижении давления проявляется обратная зависимость. Так, для равновесной системы (при 298 К)



при давлении 50,6 кПа степень диссоциации N_2O_4 составляет 25,7%. Повышение давления вдвое (до 101,3 кПа) приводит к уменьшению степени диссоциации N_2O_4 до 18,5%. Иными словами, при повышении давления равновесие смещается в сторону превращения NO_2 в N_2O_4 , т.е. в сторону реакции, идущей с уменьшением объема.

Согласно принципу Ле Шателье повышение температуры вызывает смещение равновесия в направлении того из процессов, течение которого сопровождается поглощением теплоты, а понижение температуры действует в противоположном направлении. Так, в рассмотренных выше равновесиях системах

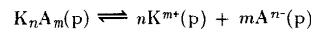


повышение температуры приводит к разложению CO_2 и N_2O_4 соответственно, а понижение температуры способствует, наоборот, синтезу CO_2 и N_2O_4 .

Изучение химического равновесия имеет большое значение как для теоретических исследований, так и для решения практических задач. Определяя положение равновесия для различных температур и давлений, можно выбрать наиболее благоприятные условия проведения химического процесса. При окончательном выборе условий проведения процесса учитывают также их влияние на скорость процесса. Необходимы такие условия, чтобы достигался максимально возможный выход продукта (смещение химического равновесия) при наибольшей скорости процесса его образования.

§ 3. КОНСТАНТА ИОНИЗАЦИИ

Электролитическая диссоциация веществ в растворе — процесс обратимый. Применив закон действующих масс к процессу распада соединения K_nA_m в растворе на ионы K^{m+} и A^{n-}



получим

$$K_c = \frac{[K^{m+}]^n [A^{n-}]^m}{[K_n A_m]}.$$

В этом случае константа равновесия характеризует ионизацию вещества в растворе, поэтому ее называют *константой ионизации*. Очевидно, чем больше константа ионизации, тем более ионизировано соединение. Поскольку константа равновесия от концентрации не зависит, константа ионизации дает более общую характеристику силы электролита, чем степень ионизации.

Однако это верно лишь для слабых электролитов, растворы которых содержат сравнительно немного ионов. У сильных же электролитов вследствие большого числа ионов заметно оказывается электростатическое взаимодействие ионов друг с другом. Это лишает ион возможности вести себя независимо от других. Свойства электролита оказываются такими, как будто бы концентрация его ионов иная, чем на самом деле. Результатом этого являются отклонение от закона действующих масс и изменение величины K при изменении концентрации растворенного вещества (в частности, при разбавлении раствора).

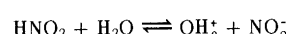
Для распространения закона действующих масс на сильные электролиты вместо концентрации вещества в выражение константы равновесия подставляют его эффективную концентрацию (т.е. проявляющую себя в действии) — так называемую *активность* a . Например, для сильного электролита $K_n A_m$

$$K_a = \frac{a_{K^{m+}}^n a_{A^{n-}}^m}{a_{K_n A_m}}.$$

Как и концентрацию, активность выражают в моль/л. Соотношение между активностью и концентрацией сдается выражением $a = f c$, где f — *коэффициент активности*. Он характеризует отличие свойств растворов сильных электролитов от свойств разбавленных растворов слабых электролитов. В предельно разбавленных растворах (ближких к "идеальным") электростатическое взаимодействие ионов практически отсутствует из-за их удаленности друг от друга. В этом случае коэффициент активности близок к единице, т.е. $a \approx c$. Активность и коэффициент активности определяют на основании экспериментальных данных.

При обсуждении последующего материала примем, что концентрации разбавленных растворов электролитов существенно не отличаются от их активностей.

Константы кислотности и основности. Применим закон действующих масс к ионизации кислоты в водном растворе. Например, для ионизации азотистой кислоты



константа равновесия

$$K = \frac{[\text{OH}_3^+] [\text{NO}_2^-]}{[\text{HNO}_2] [\text{H}_2\text{O}]}.$$

В разбавленных растворах концентрация воды — величина практически постоянная. Поэтому эту величину целесообразно включать в константу равновесия $k[\text{H}_2\text{O}] = K_k$. Константу равновесия K_k называют *константой кислотности*.

$$K_k = \frac{[\text{OH}_3^+] [\text{NO}_2^-]}{[\text{HNO}_2]}$$

или при упрощенной записи



$$K_k = \frac{[\text{H}^+] [\text{NO}_2^-]}{[\text{HNC}_2]} = 5,7 \cdot 10^{-4}, \text{p}K_k = 3,29.$$

Константу кислотности можно определить экспериментально по измерению электрической проводимости раствора.

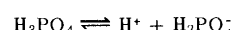
Очевидно, что чем сильнее кислота, тем ее константа кислотности больше (табл. 22).

Для характеристики силы кислоты часто вместо K_k применяют отрицательный десятичный логарифм его числового значения*

$$\text{p}K_k = -\lg K_k.$$

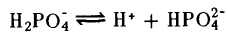
Для слабых кислот значения $\text{p}K_k$ положительны, и чем слабее кислота, тем больше $\text{p}K_k$. Для сильных кислот $\text{p}K_k$ отрицательны (см. табл. 22).

Многоосновные кислоты ионизируются ступенчато, и каждая ступень кислотности характеризуется своим значением константы кислотности K_k и $\text{p}K_k$, например:

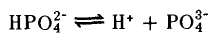


* p — начальная буква датского слова potenz — математическая степень.

$$K_{\text{K1}} = \frac{[\text{H}^+] [\text{H}_2\text{PO}_4^-]}{[\text{H}_3\text{PO}_4]} = 7,25 \cdot 10^{-3}; \quad \text{p}K_{\text{K1}} = 2,12.$$



$$K_{\text{K2}} = \frac{[\text{H}^+] [\text{HPO}_4^{2-}]}{[\text{H}_2\text{PO}_4^-]} = 6,31 \cdot 10^{-8}; \quad \text{p}K_{\text{K2}} = 7,20.$$



$$K_{\text{K3}} = \frac{[\text{H}^+] [\text{PO}_4^{3-}]}{[\text{HPO}_4^{2-}]} = 4,2 \cdot 10^{-13}; \quad \text{p}K_{\text{K3}} = 12,92.$$

Таблица 22. Классификация кислородсодержащих кислот по их силе в водных растворах*

Тип кислоты	Кислота	K_{K}	$\text{p}K_{\text{K}}$	Сила кислот
$\text{EO}(\text{OH})_n$	HBrO	$2,06 \cdot 10^{-9}$	8,7	Очень слабые
	HClO	$3,2 \cdot 10^{-8}$	7,5	
	HIO	$2,3 \cdot 10^{-11}$	10,64	
	H_3AsO_3	$6 \cdot 10^{-10}$	9,2	
	H_2BO_3	$5,8 \cdot 10^{-10}$	9,24	
	H_4SiO_4	$2 \cdot 10^{-10}$	9,7	
	H_5TeO_6	$2,0 \cdot 10^{-8}$	7,7	
$\text{EO}(\text{OH})_n$	HClO_2	$1,1 \cdot 10^{-2}$	1,97	Слабые
	HNO_2	$5,7 \cdot 10^{-4}$	3,29	
	H_2CO_3	$1,32 \cdot 10^{-4}$	3,88	
	H_2SO_3	$1,3 \cdot 10^{-2}$	1,87	
	H_3AsO_4	$6,46 \cdot 10^{-3}$	2,19	
	H_3PO_4	$7,25 \cdot 10^{-3}$	2,12	
	H_5IO_6	$3,1 \cdot 10^{-2}$	1,57	
$\text{EO}_2(\text{OH})_n$	HBrO_3	$2 \cdot 10^{-1}$	0,7	Сильные
	HClO_3	~ -1		
	HIO_3	$1,7 \cdot 10^{-1}$	0,77	
	HNO_3	$4,36 \cdot 10^{-1}$	-1,64	
	H_2MnO_4	$\sim 10^{-1}$	~ 1	
	H_2SO_4	$1 \cdot 10^{-3}$	-3	
	HClO_4	~ -10		Очень сильные
$\text{EO}_3(\text{OH})_n$	HMnO_4	$2 \cdot 10^2$	-2,3	

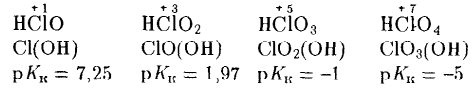
* В таблице приведены значения K_{K} первой ступени ионизации кислот.

Для неорганических кислородсодержащих кислот первая, вторая и третья константы кислотности находятся в соотношении, примерно равном $1 : 10^{-5} : 10^{-10}$. В справедливости указанного соотношения для H_3PO_4 нетрудно убедиться, если сопоставить приведенные выше значения K_{K1} , K_{K2} , K_{K3} . Первый ион водорода отрывается от молекулы кислоты легче, а последующие все труднее, так как возрастает отрицательный заряд кислотного остатка. (В частности, поэтому в растворе фосфорной кислоты ионов PO_4^{3-} почти нет.)

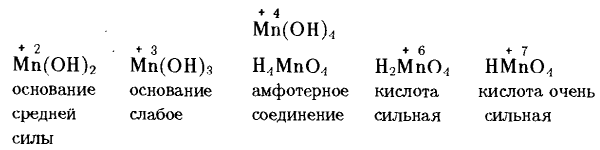
Сила кислородсодержащих кислот зависит от строения молекулы. Формулу кислородсодержащих кислот в общем виде можно записать $\text{EO}_m(\text{OH})_n$, имея в виду, что в их молекулах имеются связи $\text{H}-\text{O}-\text{Э}$ и $\text{Э}\equiv\text{O}$. Как показывают исследования, сила кислот практически не зависит от n (числа OH-групп), но заметно возрастает с увеличением m (числа несвязанных в OH-группы атомов кислорода, т.е. со связями $\text{Э}\equiv\text{O}$). По первой ступени ионизации кислоты типа $\text{EO}(\text{OH})_n$ относятся к очень слабым ($K_{\text{K1}} = 10^{-8}-10^{-11}$, $\text{p}K_{\text{K1}} = 7-10$), типа $\text{EO}_2(\text{OH})_n$ — к слабым ($K_{\text{K1}} = 10^{-2}-10^{-4}$, $\text{p}K_{\text{K1}} = 1,5-4$), типа $\text{EO}_3(\text{OH})_n$ — к сильным и типа $\text{EO}_3(\text{OH})_n$ — к очень сильным (табл. 22).

Резкое возрастание силы в ряду кислот с увеличением m можно объяснить оттягиванием электронной плотности от связи $\text{H}-\text{O}$ на связь $\text{Э}\equiv\text{O}$.

С увеличением степени окисления центрального атома Э изменение состава образуемых им кислородсодержащих кислот отвечает увеличению m , например: H_2SO_3 и H_2SO_4 ; HNO_2 и HNO_3 . Поэтому с увеличением степени окисления центрального атома сила кислот обычно возрастает, например:



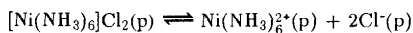
В этом проявляется общая закономерность: с увеличением степени окисления элемента в ряду его гидроксидов основные свойства ослабевают, кислотные — усиливаются, например:



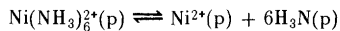
О силе оснований можно судить по значению *константы основности*, которую обозначают K_o . Из сравнения K_o гидроксидов LiOH ($K_o = 6,75 \cdot 10^{-1}$, $\text{p}K_o = 0,17$) и NaOH ($K_o = 5,9$, $\text{p}K_o = -0,77$) видно, что второе основание сильнее, чем первое.

§ 4. КОНСТАНТА ОБРАЗОВАНИЯ КОМПЛЕКСА

Комплексные соединения в растворах обычно ионизируются на внешнюю и внутреннюю сферы:

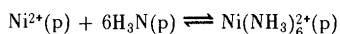


Комплексные ионы в растворах в свою очередь подвергаются в большей или меньшей степени распаду на составные части:



Об устойчивости комплекса можно судить по его общей константе образования β_n (n — координационное число комплексообразователя).

Для реакции образования иона $\text{Ni}(\text{NH}_3)_6^{2+}$ в растворе



общая константа образования будет

$$\beta_6 = \frac{[\text{Ni}(\text{NH}_3)_6^{2+}]}{[\text{Ni}^{2+}] [\text{H}_3\text{N}]^6} = 1,02 \cdot 10^8, \quad \lg \beta_6 = 8,01.$$

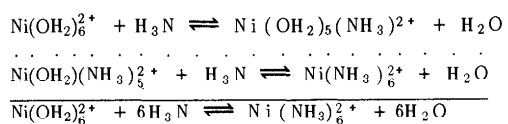
Константа образования является мерой комплексообразования — большему значению константы соответствует большая концентрация комплекса при равновесии.

Сравнение константы образования комплексных ионов

$\text{Ag}(\text{NO}_2)_2$	$\text{Ag}(\text{NH}_3)_2^+$	$\text{Ag}(\text{S}_2\text{O}_3)_2^{3-}$	$\text{Ag}(\text{CN})_2^-$
$6,76 \cdot 10^2$	$1,47 \cdot 10^7$	$2,88 \cdot 10^{13}$	$7,08 \cdot 10^{19}$

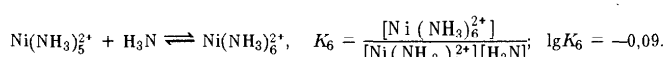
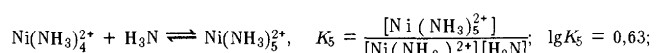
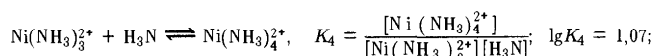
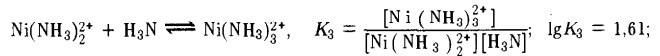
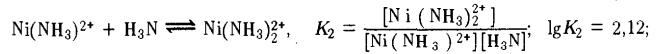
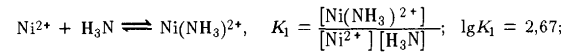
показывает, что наиболее устойчив из этих комплексов последний, а наименее устойчив — первый.

Образование комплексов в растворе заключается в последовательном внедрении лигандов во внутреннюю сферу комплексообразователя с отщеплением первоначально координированных молекул растворителя, например:



Наоборот, при распаде комплекса на составные части в растворе происходит замена лигандов на молекулы растворителя. Таким образом, реакции комплексообразования и распада комплексов в растворе по сути дела являются реакциями замещения лигандов. При этом концентрация воды практически не изменяется, поэтому в выражении константы образования ее не включают.

Поскольку образование и распад комплексов в растворе происходят ступенчато, каждой ступени отвечает определенная ступенчатая константа образования комплекса. Для иона $\text{Ni}(\text{NH}_3)_6^{2+}$ можно записать:



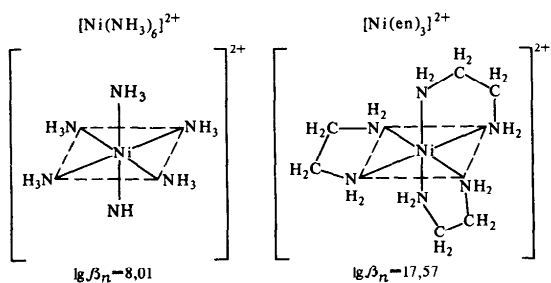
Общая константа образования комплекса равна произведению ступенчатых констант образования

$$\beta_6 = K_1 K_2 K_3 K_4 K_5 K_6 = \frac{[\text{Ni}(\text{NH}_3)_6^{2+}]}{[\text{Ni}^{2+}] [\text{H}_3\text{N}]^6} = 1,02 \cdot 10^8, \quad \lg \beta_6 = 8,01.$$

Рассмотренный материал показывает, что при растворении комплексных соединений или при образовании комплексов в растворе происходят сложные процессы замещения лигандов.

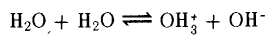
Хелатные комплексы более устойчивы, чем аналогичные комплексы с

похожими по свойствам монодентатными лигандами. Например, этилендиаминовый комплекс никеля (II) устойчивее, чем аналогичный аммиакатный, более чем в 10^9 раз:

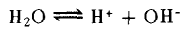


§ 5. КОНСТАНТА АВТОПРОТОЛИЗА ВОДЫ

Применим закон действующих масс к самоионизации воды



или



Константа ионизации воды

$$K = \frac{[\text{H}^+][\text{OH}^-]}{[\text{H}_2\text{O}]} = 1,8 \cdot 10^{-16}$$

может быть вычислена, например, по электрической проводимости. Как видно из выражения константы ионизации, вода в обычных условиях ионизирована крайне мало. Поэтому можно считать, что концентрация воды $[\text{H}_2\text{O}]$ — величина постоянная; она равна 55,56 моль/л $\left[\frac{1000 \text{ г/л}}{18 \text{ г/моль}} = 55,56 \text{ моль/л} \right]$. Уравнение для константы ионизации воды можно записать следующим образом:

$$K[\text{H}_2\text{O}] = [\text{H}^+][\text{OH}^-]$$

Следовательно, и произведение $K[\text{H}_2\text{O}]$ для данной температуры постоянно: $K[\text{H}_2\text{O}] = 1,8 \cdot 10^{-16} \cdot 55,56 = 10^{-14}$. Обозначим произведение $K[\text{H}_2\text{O}] = K_b$. Следовательно, $K_b = [\text{H}^+][\text{OH}^-] = 10^{-14}$.

Величина K_b называется *ионным произведением воды* и является постоянной не только для чистой воды, но и для разбавленных водных растворов любых веществ. С повышением температуры K_b увеличивается, с понижением — уменьшается. Однако для расчетов, относящихся к комнатной температуре, можно во всех случаях принимать $K_b = 10^{-14}$.

Ионное произведение воды — весьма важная величина, так как позволяет для любого водного раствора найти концентрацию H^+ (OH_3^+) при известной концентрации OH^- , и наоборот. Для чистой воды концентрация ионов H^+ (OH_3^+) равна концентрации ионов OH^- , т.е. среда нейтральная: $[\text{H}^+] = [\text{OH}^-] = \sqrt{K_b} = 10^{-7}$ моль/л.

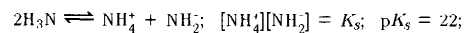
Если концентрация ионов H^+ выше 10^{-7} моль/л, а концентрация OH^- -ионов ниже, то раствор будет *кислым*. Наоборот, *щелочного* раствор соответствует концентрации ионов OH^- выше 10^{-7} моль/л при концентрации ионов H^+ ниже этого значения.

Количественное обозначение реакции среды можно упростить, если принять за основу так называемый *водородный показатель* pH, определяемый как десятичный логарифм концентрации водородных ионов, взятый с обратным знаком: $\text{pH} = -\lg[\text{H}^+]$. Тогда

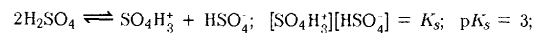
Нейтральная среда	$\text{pH} = 7$
Кислая среда	$\text{pH} < 7$
Щелочная среда	$\text{pH} > 7$

Практически реакцию среды удобно определять с помощью *индикаторов* — веществ, меняющих свой цвет в зависимости от относительной концентрации ионов H^+ и OH^- .

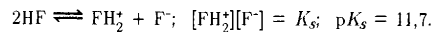
Аналогично можно вывести ионные произведения и для других жидкостей, например аммиака (при $-33,4^\circ\text{C}$)



сульфата водорода



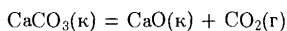
фторида водорода



Величину K_s называют *константой автопротолиза*.

§ 6. РАВНОВЕСИЕ В ГЕТЕРОГЕННЫХ СИСТЕМАХ

Константа равновесия. Рассмотрим процессы, в которых наряду с реагентами в газовом состоянии участвуют реагенты в твердом или жидком состоянии, не образующие друг с другом твердых растворов. Концентрации насыщенных паров жидких и твердых веществ (газовая фаза) при данной температуре величины постоянные. Вследствие этого их концентрации можно включить в константу равновесия, а выражение закона действующих масс упростить. Так, для реакции термической диссоциации карбоната кальция

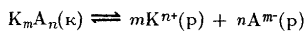


выражение для константы равновесия можно записать: $K = [\text{CO}_2]$ или $K_p = p_{\text{CO}_2}$. Отсюда видно, что при равновесии концентрация оксида углерода (IV) при каждой данной температуре — величина постоянная, не зависящая от содержания CaCO_3 и CaO . Следовательно, в замкнутой системе при данной температуре карбонат кальция будет разлагаться до тех пор, пока p_{CO_2} не достигнет определенного значения, например:

Температура, °C	762	808	870	904
p_{CO_2} , кПа	13,3	26,6	66,7	106,2

Аналогичное выражение для константы получается для всех реакций, в которых только один из компонентов находится в газовом состоянии, например, для процессов термической диссоциации кристаллических оксидов, сульфидов, гидроксидов, кристаллогидратов и других соединений.

Произведение растворимости. Применим закон действующих масс к гетерогенной системе — насыщенному раствору малорастворимого соединения, находящегося в равновесии с твердой фазой. Если малорастворимое соединение K_mA_n распадается на катионы K^{n+} и анионы A^{m-} , то между твердой фазой и раствором установится равновесие:



При равновесии в насыщенный раствор переходит в единицу времени столько ионов, сколько их вновь возвращается в осадок. Это равновесие характеризуется константой равновесия, которую называют *произведением растворимости* и обозначают ПР:

$$\text{ПР}(\text{K}_m\text{A}_n) = [\text{K}^{n+}]^m[\text{A}^{m-}]^n.$$

Таким образом, в насыщенном растворе малорастворимого соединения произведение концентрации его ионов в степени стехиометрических коэффициентов при данной температуре есть величина постоянная*.

Произведения растворимости некоторых малорастворимых соединений приведены в табл. 23.

Таблица 23. Произведение растворимости некоторых малорастворимых в воде соединений при 25°C

Соединение	ПР	$\text{pPR} = -\lg \text{PR}$	Соединение	ПР	$\text{pPR} = -\lg \text{PR}$
AgCl	$1,78 \cdot 10^{-10}$	9,75	CaCO ₃	$4,8 \cdot 10^{-9}$	8,32
AgBr	$5,3 \cdot 10^{-13}$	12,28	CaF ₂	$4,0 \cdot 10^{-11}$	10,40
AgI	$8,3 \cdot 10^{-17}$	16,08	Ca ₃ (PO ₄) ₂	$2,0 \cdot 10^{-29}$	28,70
AgCN	$1,4 \cdot 10^{-16}$	15,84	CaSO ₄	$9,1 \cdot 10^{-6}$	5,04
AlPO ₄	$5,75 \cdot 10^{-19}$	18,24	CuS	$6,3 \cdot 10^{-36}$	35,20
BaCO ₃	$5,1 \cdot 10^{-9}$	8,29	Mg(OH) ₂	$6,0 \cdot 10^{-12}$	12,6
BaSO ₄	$1,1 \cdot 10^{-10}$	9,97	PbS	$2,5 \cdot 10^{-27}$	26,60

Произведение растворимости характеризует растворимость вещества: чем больше ПР, тем больше растворимость. Так, согласно данным табл. 23, в ряду AgCl—AgBr—AgI растворимость при 25°C уменьшается.

Из понятия ПР вытекает условие образования и растворения осадков. Когда $[\text{K}^{n+}]^m[\text{A}^{m-}]^n = \text{ПР}$, система находится в равновесии. Если же $[\text{K}^{n+}]^m[\text{A}^{m-}]^n > \text{ПР}$ или $[\text{K}^{n+}]^m[\text{A}^{m-}]^n < \text{ПР}$, то система стремится к новому состоянию равновесия, приводящему в первом случае к выпадению осадка, во втором — к его растворению. Иными словами, труднорастворимый электролит выпадает в осадок, когда произведение концентраций его ионов в растворе становится более значения ПР, например в случае AgCl, когда $[\text{Ag}^+][\text{Cl}^-] > \text{ПР}$. Этого можно достичь прибавлением избытка электролита, содержащего ионы Ag^+ или Cl^- . Такой прием используется для наиболее полного осаждения веществ.

*Поскольку раствор малорастворимого соединения получается очень разбавленным, то активности ионов в растворе можно приравнять их концентрациям.

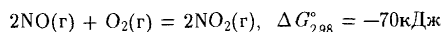
Растворение осадка происходит тогда, когда произведение концентраций его ионов в растворе станет меньше значения ПР, т.е. в нашем примере, когда $[Ag^+][Cl^-] < PR$. Этого можно достигнуть, связывая один из ионов, посыпаемых осадком в раствор, в какое-либо другое соединение.

Часто вместо значений ПР применяют показатель растворимости rPR — отрицательный логарифм произведения растворимости $rPR = -\lg PR$.

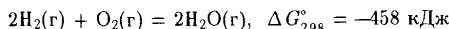
ГЛАВА 4. ХИМИЧЕСКАЯ КИНЕТИКА

§ 1. СКОРОСТЬ ХИМИЧЕСКОЙ РЕАКЦИИ

Одна из основных задач химии — изучить влияние различных факторов на скорость и механизм химических реакций. О принципиальной осуществимости процесса судят по значению изменения энергии Гиббса системы. Однако оно ничего не говорит о реальной возможности реакции в данных условиях, не дает представления о скорости и механизме процесса. Например, реакция взаимодействия оксида азота (N_2O) с кислородом



проходит очень быстро при комнатной температуре. В то время как реакция



характеризующаяся значительно большим уменьшением энергии Гиббса, в обычных условиях практически не протекает. Смесь водорода с кислородом сохраняется при комнатной температуре без заметного взаимодействия очень длительное время, но в присутствии катализатора или при 700°C процесс протекает практически мгновенно (со взрывом).

Таким образом, для описания химической реакции необходимо знать закономерности ее протекания во времени, т.е. ее скорость и механизм. Скорость и механизм химических превращений изучает раздел химии — *химическая кинетика*.

Изучение скоростей реакций позволяет выяснить механизм сложных химических превращений. Это, в свою очередь, создает перспективы для нахождения путей управления химическим процессом. Выяс-

нение кинетики реакций позволяет осуществить математическое их моделирование и с помощью компьютеров решить задачи оптимизации и автоматизации химико-технологических процессов.

Реакции могут быть *гомогенными* и *гетерогенными*. Гомогенные реакции протекают в однородной среде (например, в газовой фазе или жидким растворе). Гетерогенные реакции протекают в неоднородной среде — между веществами, которые находятся в разных фазах (твердой и жидкой, газовой и жидкой и т.д.). Таким образом, гомогенные реакции происходят равномерно во всем объеме, заполненном реагентами, гетерогенные — только на некоторых пограничных поверхностях — на границе раздела фаз. Примером гетерогенной реакции может служить реакция между веществом в газовой фазе и поверхностью жидкого или твердого тела.

Скоростью реакции называется число элементарных актов реакции, происходящих в единице времени в единице объема (для гомогенных реакций) или на единице поверхности раздела фаз (для гетерогенной реакции). Скорость реакции обычно характеризуют изменением концентрации какого-либо из исходных или конечных продуктов реакции в единицу времени и чаще всего выражают в моль/(см³·мин).

О скорости реакции можно судить также по скорости изменения какого-либо свойства системы, например, окраски, электрической проводимости, давления, спектра и т.д.

Если в момент времени τ_1 и τ_2 концентрация одного из исходных веществ равны c_1 и c_2 , то среднюю скорость \bar{v} в интервале времени τ_1 и τ_2 можно выразить так:

$$\bar{v} = \frac{c_1 - c_2}{\tau_2 - \tau_1} = -\frac{\Delta c}{\Delta \tau}.$$

Поскольку речь идет об убыли концентрации исходного вещества, изменение концентрации в этом случае берется со знаком минус.

В ходе химических процессов концентрации веществ меняются непрерывно. Поэтому важно знать скорость реакции в данный момент времени, т.е. *мгновенную скорость реакции*. Последняя выражается первой производной концентрации по времени:

$$v = \pm \frac{dc}{d\tau}.$$

Если скорость реакции оценивается увеличением концентрации одного из продуктов реакции, то производная берется со знаком плюс.

На рис. 114 приведен график зависимости концентрации исходного вещества от времени. В каждый момент времени (например, τ_1) мгно-

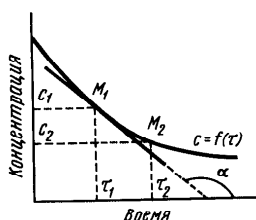
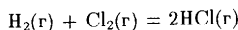


Рис. 114. Изменение концентрации исходных веществ в процессе реакции

Очень часто стехиометрическое уравнение реакции не определяет ее механизма. Большинство реакций состоит из ряда более простых элементарных стадий.

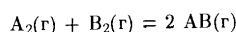
Даже реакции с относительно простым стехиометрическим уравнением часто оказываются более сложными, чем это можно было бы заключить по уравнению реакции. Например, реакция



в действительности протекает по цепному механизму.

§ 2. ЭНЕРГИЯ ГИББСА АКТИВАЦИИ

Химическое превращение происходит тогда, когда возникают условия для перераспределения электронной плотности столкнувшихся частиц. Этот процесс протекает во времени и требует затраты энергии. Рассмотрим взаимодействие газообразных веществ A_2 и B_2 :



Ход этого взаимодействия можно охарактеризовать тремя последовательными состояниями системы:



В переходном состоянии происходит перегруппировка атомов, сопровождающаяся перераспределением электронной плотности. Энер-

гию, необходимую для перехода веществ в состояние активированного комплекса, называют *энергией Гиббса активации*.

Напомним, что энергия Гиббса связана с энталпией и энтропией соотношением

$$G \equiv H - TS.$$

Аналогично, энергия Гиббса активации ΔG^\ddagger связана с энталпией активации ΔH^\ddagger и энтропией активации ΔS^\ddagger однотипным выражением:

$$\Delta G^\ddagger = \Delta H^\ddagger - T\Delta S^\ddagger.$$

Образование активированного комплекса требует затраты энергии. Вероятность того, что при столкновении частиц образуется активированный комплекс и произойдет реакция, зависит от энергии сталкивающихся частиц. Реагируют только те из молекул, энергия которых для этого достаточна. Такие молекулы называют *активными*. Энергию, необходимую для перехода веществ в состояние активированного комплекса, называют *энталпией активации* ΔH^\ddagger .

Кроме энталпии активации важным условием осуществления химической реакции является *энтропия активации* ΔS^\ddagger . Она зависит от числа и ориентации молекул в момент столкновения. Так, допустим, что перераспределению электронной плотности в активированном комплексе $A_2 \cdots B_2$ благоприятствуют ориентации молекул при столкновении, как это показано на рис. 115, а. При ориентации же молекул, как это показано на рис. 115, б, вероятность химического взаимодействия гораздо меньше. Она становится еще меньше при ориентации молекул, показанной на рис. 115, в.

Энергетические изменения в реагирующей системе можно предста-

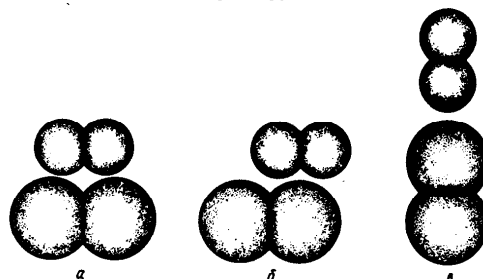


Рис. 115. Благоприятные (а) и неблагоприятные (б, в) ориентации молекул A_2 и B_2 при столкновении

вить схемой, которая изображена на рис. 116. Здесь горизонтальная ось характеризует ход реакции:

[исходное состояние] → [переходное состояние] → [конечное состояние]

По оси ординат отложена энергия Гиббса системы. Исходное состояние имеет энергию $G_{\text{нач}}$, конечное $G_{\text{кон}}$. Разность энергий Гиббса начального и конечного состояний равна энергии Гиббса химической реакции ΔG .

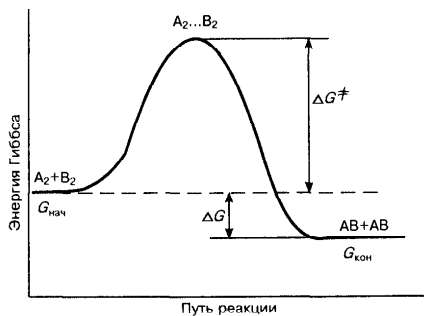


Рис. 116. Энергетическая схема хода реакции
 $A_2 + B_2 = 2AB$

Согласно этой схеме в химическое взаимодействие вступают лишь частицы, обладающие необходимой энергией Гиббса активации ΔG^\ddagger .

Высшая точка максимума кривой отвечает состоянию, когда реагирующие молекулы настолько сближены и искажены их структуры, что становится возможным образование продуктов реакции.

Энергия Гиббса активированного комплекса выше энергии начального и конечного состояния системы. Таким образом, энергия Гиббса активации — это своеобразный энергетический барьер, который отделяет исходные вещества от продуктов реакции.

Затраченная на активацию молекул энергия ΔH при образовании продуктов реакции затем полностью или частично выделяется. Если при распаде активированного комплекса выделяется больше энергии, чем это необходимо для активации молекул, то реакция экзотермическая ($\Delta H < 0$). В противном случае — эндотермическая ($\Delta H > 0$).

Скорость реакции непосредственно зависит от числа молекул, обладающих энергией, достаточной для образования активированного комплекса, т.е. способных к химическому превращению. Чем больше активных молекул, тем скорость реакции больше. Один из путей увеличения числа активных молекул — нагревание.

Для осуществления реакции молекулы при столкновении должны быть определенным образом ориентированы и обладать достаточной энергией.

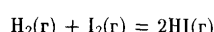
Константа скорости реакции. Зависимость скорости реакции от температуры, энталпии активации и энтропии активации определяется следующим выражением для константы скорости реакции:

$$k = Z e^{-\Delta H^\ddagger/(RT)} e^{\Delta S^\ddagger/R},$$

где Z — в первом приближении множитель, отражающий общее число столкновений между взаимодействующими частицами в единицу времени; T — абсолютная температура; R — молярная газовая постоянная; e — основание натуральных логарифмов.

Вероятность того, что столкнувшиеся молекулы будут иметь достаточную энергию взаимодействия, пропорциональна $e^{-\Delta H^\ddagger/(RT)}$. Вероятность же их нужной ориентации в момент соударения пропорциональна $e^{\Delta S^\ddagger/R}$.

Из уравнения для k видно, что, поскольку T входит в показатель степени, скорость химической реакции очень чувствительна к изменению температуры. Например, при повышении температуры на 100° скорость реакции



возрастает примерно в 1000 раз:

$T, K \dots$	556	575	629	666	700	781
$k \dots$	$4,45 \cdot 10^{-5}$	$1,37 \cdot 10^{-4}$	$2,52 \cdot 10^{-3}$	$1,41 \cdot 10^{-2}$	$6,43 \cdot 10^{-2}$	1,34

Из этого уравнения для k также следует, что чем больше энталпия активации, тем значительнее влияние температуры на скорость реакции.

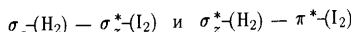
§ 3. МЕХАНИЗМ ХИМИЧЕСКИХ РЕАКЦИЙ

В зависимости от природы реагирующих веществ и условий их взаимодействия в элементарных актах реакций могут принимать участие атомы, молекулы, радикалы или ионы. Свободными радикалами являются электронейтральные частицы, которые можно представить как осколки молекул, например $\cdot\text{OH}$ (осколок от H_2O), $\cdot\text{NH}_2$ (осколок от H_3N), $\cdot\text{SH}$ (осколок от H_2S) и т.д. К свободным радикалам относятся и свободные атомы.

Свободные радикалы чрезвычайно реакционноспособны, а энергия Гиббса активаций радикальных реакций очень мала (0–40 кДж/моль).

Образование свободных радикалов может происходить в процессе распада вещества при нагревании, освещении, под действием ядерных излучений, от сильных механических воздействий, при электроизрыве и т.д. Свободные радикалы рождаются также в процессе самых разнообразных химических превращений. Энталпия активации реакций ΔH^\ddagger с участием ионов также незначительна (0–80 кДж/моль). Для осуществления же реакций непосредственно между молекулами обычно требуется высокая энталпия активации, поэтому такие реакции весьма редки.

Для протекания элементарного акта реакции необходимо, чтобы орбитали взаимодействующих частиц перекрывались и создавались условия для перехода электронов с занятых орбиталей на свободную, т.е. для перераспределения зарядовой плотности — разрыва старых связей и образования новых. Расмотрим механизм реакции между $\text{H}_2[\sigma_s^2\sigma_s^{*0}]$ и $\text{I}_2[\dots\pi_{x,y}^{*4}\sigma_z^{*0}]$. Допустим, что молекулы H_2 и I_2 сталкиваются, как показано на рис. 115, а, а сочетание орбиталей происходит на оси x . Это отвечает следующим комбинациям орбиталей (рис. 117):



Сочетание занятой σ_s -орбитали H_2 и свободной σ_z^* -орбитали I_2 приводит к нулевому перекрыванию. Следовательно, такая комбинация орбиталей к акту $\text{H}_2 + \text{I}_2 \rightarrow \text{I}\cdots\text{H}\cdots\text{H}\cdots\text{I} \rightarrow \text{HI} + \text{HI}$ не приводит. Сочетание свободной σ_s^* -орбитали химического взаимодействия не приводит. Сочетание свободной σ_z^* -орбитали H_2 и занятой π^* -орбитали I_2 энергетически невыгодно (иод электроотрицательнее водорода). Таким образом, в молекулах H_2 и I_2 нет орбиталей, которые могли бы привести к реакции непосредственно между молекулами.

Детальное изучение кинетики взаимодействия водорода с иодом показало (рис. 118), что вначале молекулы иода распадаются на атомы:

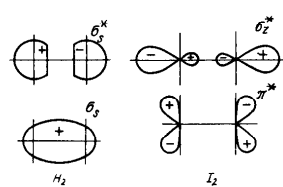
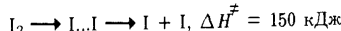


Рис. 117. σ_s , σ_s^* -Орбитали H_2 и π^* , σ_z^* -орбитали I_2

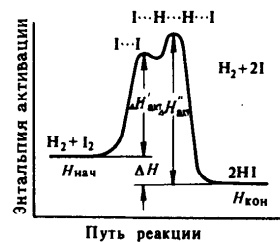
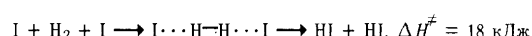


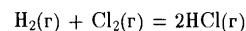
Рис. 118. Энергетическая схема хода реакции $\text{H}_2(\text{г}) + \text{I}_2(\text{г}) \rightarrow 2\text{HI}$

Затем происходит трехмолекулярная реакция:



протекание которой обеспечивает перекрывание занятой электронами σ_s -орбитали H_2 и двух полусвободных p -орбиталей двух атомов I ($5p_z^1$). Поскольку иод электроотрицательнее водорода, в активированном комплексе $\text{I}\cdots\text{H}_2\cdots\text{I}$ происходит смещение электронной плотности от молекулы H_2 к атомам I и разрыв связь H–H.

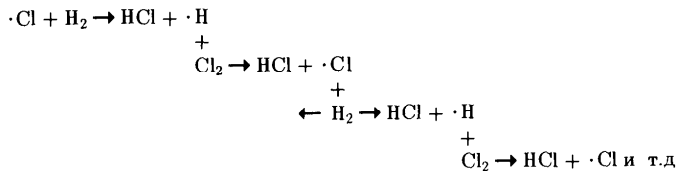
Цепные реакции. Многие реакции протекают по цепному механизму. Особенность цепных реакций состоит в том, что один первичный акт активации приводит к превращению огромного числа молекул исходных веществ. В качестве примера радиально-цепной реакции рассмотрим взаимодействие хлора с водородом:



При обычной температуре и рассеянном освещении реакция протекает крайне медленно. При нагревании смеси газов или действии света, богатого ультрафиолетовыми лучами (прямой солнечный, свет горящего магния и др.), смесь взрывается. Как показали многочисленные исследования, эта реакция происходит через отдельные элементарные процессы. Прежде всего за счет поглощения кванта энергии ультрафиолетовых лучей (или за счет нагревания) молекула хлора диссоциируется на свободные радикалы — атомы хлора:

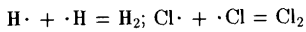


Атом-радикал $\cdot\text{Cl}$ затем реагирует с молекулой водорода, образуя молекулу HCl и атом-радикал $\cdot\text{H}$. Последний, взаимодействуя с молекулой Cl_2 , дает HCl и атом-радикал $\cdot\text{Cl}$ и т.д. Таким образом, превращение исходных веществ в конечный продукт протекает через последовательную цепь элементарных актов, что можно представить схемой

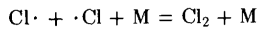


Длина цепи элементарных химических актов достигает сотен тысяч звеньев. Так, при освещении смеси H_2 и Cl_2 на каждый поглощенный квант энергии образуется до ста тысяч молекул HCl .

Естественно, возможны столкновения свободных радикалов и друг с другом, что приводит к обрыву цепей:



Однако это происходит лишь в случае, если выделяемая энергия отнимается третьим телом, что, например, имеет место при тройном соударении двух радикалов и молекулы (M):



или при передаче энергии стенке сосуда. Поэтому скорость цепных реакций очень чувствительна к посторонним примесям и к форме сосуда.

По цепному механизму происходит также образование воды из простых веществ.

Теория цепных реакций разработана трудами лауреатов Нобелевской премии Н.Н. Семёнова, С. Хиншельвуда (Англия) и др.

§ 4. ФИЗИЧЕСКИЕ МЕТОДЫ СТИМУЛИРОВАНИЯ ХИМИЧЕСКИХ ПРЕВРАЩЕНИЙ

Кроме нагревания на реакционную способность веществ существенное влияние оказывают свет, ионизирующие излучения, давление, механическое воздействие и др.

Воздействие света (видимого, ультрафиолетового) на реакции изучает раздел химии — *фотохимия*. Фотохимические процессы весьма

разнообразны. При фотохимическом действии молекулы реагирующих веществ, поглощая кванты света, возбуждаются, т.е. становятся реакционноспособными или распадаются на ионы и свободные радикалы (см. синтез HCl).

На фотохимических процессах основана фотография — воздействие света на светочувствительные материалы. Широко применяются в промышленности цепные реакции фотохлорирования и фотосульфохлорирования, фотохимическое модификаирование полимерных пленок и волокон. Photoхимия непосредственно связана с одной из важнейших научно-технических проблем — использованием солнечной энергии. Создание искусственных систем, осуществляющих процессы, аналогичные фотосинтезу в растениях, имело бы значение, которое трудно переоценить.

Воз действует на вещество лазерное излучение. Его действие может быть как фотохимическим, так и чисто термическим.

Для фотохимического инициирования химических реакций наиболее важное его свойство — излучение мощных потоков световой энергии в узких спектральных интервалах. Используя излучение определенной длины волн, поглощаемое реагентом, но не воздействующее на примеси, можно осуществить избирательную реакцию. Например, при лазерном облучении смеси метилового и дейтерометилового спирта и брома происходит бромирование только CH_3OH , но не CD_3OD , так как в результате облучения происходит селективное возбуждение молекул CH_3OH , которые легко вступают в реакцию с бромом, тогда как молекулы CD_3OD не возбуждаются и не претерпевают превращений.

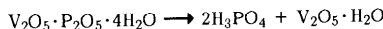
При освещении непрозрачных твердых тел импульсами лазерного света происходит мгновенный нагрев, испарение вещества, а при больших мощностях — образование плазмы. Лазерное излучение инициирует высокотемпературные и плазмохимические процессы, испарение и разложение не летучих веществ и пр. Так, при лазерном нагреве кремния и германия в атмосфере водорода, а углерода в атмосфере хлора образуются SiH_4 , GeH_4 , CCl_4 . С помощью монцового лазерного излучения осуществляется синтез разнообразных углеводородов из графита и водорода. При использовании "обычных" методов инициирования реакций подобные синтезы невозможны. С помощью лазерного излучения осуществлен также синтез алмаза из графита. Для перехода графита в алмаз, как известно, необходимы высокие температуры и сверхвысокие давления. Такие условия могут быть достигнуты при нагреве, например, внутри массивного стеклянного блока частиц графита, помещенных в фокус линзы, собирающей свет лазерного импульса. Важно применение лазерного излучения для качественного и количественного анализа веществ, для исследования механизмов химических реакций.

Рентгеновские лучи, гамма-лучи, поток нейтронов и другие излучения

большой энергии также вызывают в веществе глубокие физико-химические изменения и инициируют разнообразные реакции. Так, при действии ионизирующих излучений кислород образует озон; оксиды марганца выделяют кислотные излучения из воздуха образуются оксиды азота; в воде, в результате которого образуются молекулярные водород, кислород и пероксид водорода. Возникающие при радиолизе свободные радикалы ($\cdot\text{H}$, $\cdot\text{OH}$, $\cdot\text{HO}_2$) и молекулярные ионы ($\cdot\text{H}_2\text{O}^+$, $\cdot\text{H}_2\text{O}^-$) способны вызывать различные химические превращения растворенных в воде веществ.

Химические процессы, происходящие под действием ионизирующих излучений, изучает *радиационная химия*. Радиационно-химические реакции используются для синтеза высокомолекулярных органических веществ и для изменения их структуры. По мере освоения атомной энергетики радиационная химия все шире проникает в химическую промышленность.

Химические превращения, происходящие под действием механических сил, изучает *механохимия*. Элементарным механохимическим актом является разрыв химических связей в веществе под действием механических сил (вальцевание, дробление, перстриение и др.). Возникающие при этом осколки молекул образуют новые продукты. Например, при растирании порошка соединения состава $\text{V}_2\text{O}_5 \cdot \text{P}_2\text{O}_5 \cdot 4\text{H}_2\text{O}$ образуются H_3PO_4 и $\text{V}_2\text{O}_5 \cdot \text{H}_2\text{O}$, т.е. протекает своеобразный *механолиз*:



Механохимические превращения используются для синтеза и изменения свойств органических полимеров.

Еще более сильные изменения претерпевают вещества под действием сверхвысоких давлений. Пример тому — образование более плотных и более твердых модификаций вещества, например превращение графита в алмаз, нитрила бора в боразон и т.д.

В последние годы развитие получила *химия ударного сжатия*. При сжатии твердых тел и жидкостей ударными волнами, образуемыми, например, детонацией взрывчатых веществ при взрывах, в миллионы доли секунды развиваются в веществе очень высокие давления. При этом образуются активные частицы как радикального, так и ионного типов. Последствия прохождения через вещество ударной волны могут быть самыми различными — раздробление вещества, распад сложного вещества на относительно более простые, но и образование полимерных цепей. К примеру, сырой каучук при прохождении ударной волны за доли секунды превращается в резину; под воздействием ударных волн аминокислоты превращаются в простейшие белки и т.д.

Сильное нагревание при прохождении ударных волн позволяет осуществлять сплавление металлов, резко отличающихся по температурам плавления и

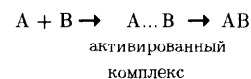
кипения, например вольфрама и марганца, хотя температура плавления вольфрама 3380°C , а марганец кипит уже при 2080°C . Другими способами такой сплав получить не удаётся.

В связи с поисками новых путей проведения процессов в химической технологии разрабатываются методы направленного регулирования реакционной способности веществ, поэтому весьма интенсивно изучаются процессы, протекающие при различных физических воздействиях на вещество.

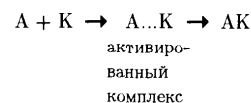
§ 5. КАТАЛИЗ

Одним из наиболее распространенных в химической практике методов ускорения химических реакций является катализ. В присутствии катализаторов изменяется дуть, по которому проходит суммарная реакция, а потому изменяется ее скорость. Катализаторы — это вещества, изменяющие скорость реакции за счет участия в промежуточном химическом взаимодействии с компонентами реакции, но восстанавливающие после каждого цикла промежуточного взаимодействия свой химический состав. Увеличение скорости катализируемой реакции связано с меньшей энергией Гиббса активации нового пути реакции.

Изменение скорости катализируемой реакции за счет снижения энергии активации ее отдельных стадий можно рассмотреть на следующем примере. Допустим, между веществами А и В возможно взаимодействие с образованием соединения АВ ($\Delta G < 0$):



Но в силу высокой энергии Гиббса активации эта реакция протекает с очень малой, практически равной нулю скоростью. Пусть, найдено такое третье вещество К (катализатор), которое легко вступает во взаимодействие с А (в силу другой природы реагирующих веществ, а следовательно, другой, меньшей, энергии Гиббса активации), образуя соединение АК:



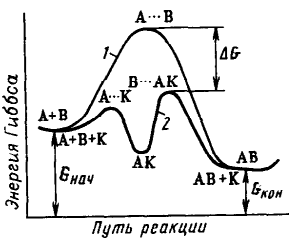


Рис. 119. Энергетическая схема хода реакции в отсутствие и в присутствии катализатора

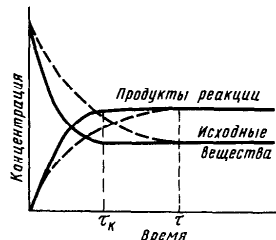
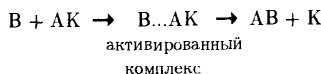


Рис. 120. Химическое равновесие в системе в присутствии катализатора и в отсутствие катализатора

Соединение АК легко взаимодействует с веществом В (опять-таки в силу иной природы веществ и малой энергии активации), образуя вещества АВ и К:



Суммируя два последних уравнения, получим

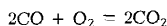


т.е. в результате реакции катализатор остался без изменения.

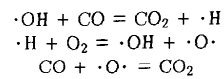
На рис. 119 показана энергетическая диаграмма хода реакции в отсутствие (кривая 1) и в присутствии (кривая 2) катализатора. Очевидно, в присутствии катализатора энергия Гиббса активации реакции снижается.

Поскольку в выражении для константы скорости реакции (см. § 2) энергия Гиббса активации входит в отрицательный показатель степени, то даже небольшое уменьшение энергии Гиббса активации вызывает очень большое увеличение скорости реакции.

В ряде реакций катализатор поставляет свободные радикалы, благодаря чему реакция протекает по цепному механизму. Так, реакция окисления CO кислородом



в значительной степени ускоряется в присутствии паров воды, что вызвано развитием цепей с участием свободных радикалов $\cdot\text{OH}$ и $\cdot\text{H}$:



Действие катализатора на состояние химического равновесия не оказывается, так как катализатор в равной мере ускоряет и прямой, и обратный процесс. Катализатор ускоряет лишь достижение химического равновесия. Как показано на рис. 120, в присутствии катализатора равновесные концентрации компонентов системы (τ_k) достигаются быстрее, чем в его отсутствие (τ).

Каталитические реакции очень разнообразны. Во многих реакциях каталитическое влияние проявляется в скрытой форме. Сюда прежде всего относятся реакции в растворах. Как мы видели, поляризация, диссоциация и ионизация веществ в растворах — виды активации веществ — происходят под действием растворителя, который, очевидно, играет в этом случае роль катализатора. Большое влияние на скорость и направление процессов оказывают ионы OH_3^+ и OH^- .

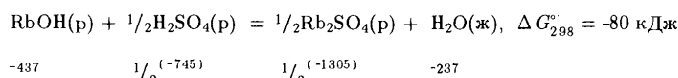
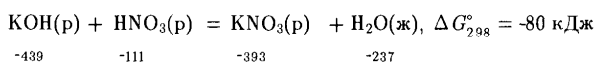
В зависимости от агрегатного состояния катализатора и реагирующих веществ различают катализ *гомогенный* и *гетерогенный*. Примером гомогенного катализа является реакция окисления CO (в газовой фазе в присутствии паров воды) кислородом, а также действие разнообразных ферментов в биологических процессах. Гетерогенно-катализитическими являются процессы синтеза аммиака (катализатор железо), окисления SO_2 до SO_3 (катализатор платина или оксид ванадия) и т.д.

ГЛАВА 5. РЕАКЦИИ БЕЗ ИЗМЕНЕНИЯ СТЕПЕНЕЙ ОКИСЛЕНИЯ ЭЛЕМЕНТОВ

§ 1. УСЛОВИЯ ОДНОСТОРОННЕГО ПРОТЕКАНИЯ РЕАКЦИЙ

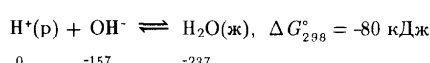
Различают реакции с изменением и без изменения степеней окисления элементов. Понятно, что такое подразделение условно и основано на формальном признаке — возможности количественного определения условной величины — степени (состояния) окисления элемента. Незаменимость степени окисления элементов при химических превращениях совсем не означает, что не происходит перестройки электронных структур взаимодействующих атомов, ионов и молекул. Конечно, и в этом случае протекание реакции обязательно связано с большим или меньшим изменением характера межатомных, межионных и межмолекулярных связей, а следовательно, и эффективных зарядов атомов.

Реакции без изменения состояния окисления элементов чаще всего протекают в газовых и жидких растворах с участием ионов. Как известно, ионные реакции обратимы, и теоретически каждой системе ионов при данных условиях отвечает определенное состояние равновесия. Смещение химического равновесия (иногда практически нацело) происходит при уменьшении концентрации каких-либо ионов за счет образования относительно мало ионизирующихся молекул или комплексных ионов, малорастворимых или летучих соединений (*правило Бертолле*). Так, при нейтрализации ионная реакция идет в сторону образования мало ионизирующихся молекул растворителя, например в водном растворе:

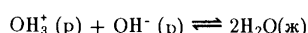


(под формулами соединений указаны их стандартные энергии Гиббса образования ΔG_{298}° в кДж/моль).

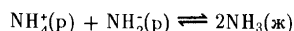
Реакции нейтрализации между сильными кислотами и щелочами протекают аналогично, независимо от их природы: изменение энергии Гиббса реакции соответствует протеканию одного и того же процесса:



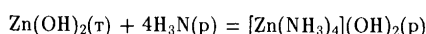
или



В жидком аммиаке реакция нейтрализации отвечает взаимодействию



Химическая реакция происходит также вследствие образования слабоионизирующихся комплексных ионов. Например, нерастворимый в воде $\text{Zn}(\text{OH})_2$ легко растворяется в присутствии аммиака за счет образования устойчивого катионного комплекса ($\lg \beta_4 = 8,7$):

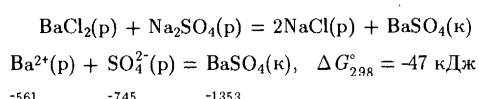


226

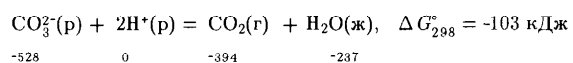
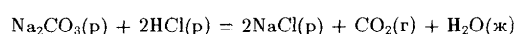
Гидроксид цинка $\text{Zn}(\text{OH})_2$ растворяется также в избытке щелочи с образованием анионного комплекса $\text{Zn}(\text{OH})_4^{2-}$ ($\lg \beta_n = 17,7$):



При смешении растворов BaCl_2 и Na_2SO_4 образуется малорастворимое соединение BaSO_4 ($p\text{IP} = 9,97$):



Реакция происходит также при образовании летучих соединений, удаляющихся из сферы реакции, например:



В противоположность рассмотренным реакциям смешения растворов NaCl и KNO_3 к химическому взаимодействию практически не приводит:



Ионы Na^+ и K^+ , Cl^- и NO_3^- в растворе остаются неизменными.

§ 2. ГИДРОЛИЗ

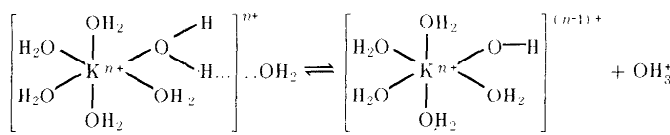
Без изменения степени (состояния) окисления элементов обычно протекает *гидролиз*. В общем случае под гидролизом понимают реакции обменного разложения между водой и соответствующим соединением. Гидролиз является частным случаем *сольволиза* — обменного разложения растворенного вещества и растворителя. Механизм гидролиза для разных типов соединений весьма различен. Так, гидролиз соединений, распадающихся в растворе на ионы, можно рассматривать как результат поляризационного взаимодействия ионов с их гидратной оболочкой. Характер и степень распада молекул гидратной оболочки зависят

8*

227

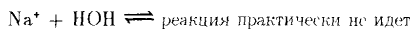
от природы катионов и анионов — чем сильнее поляризующее действие ионов, тем в большей степени протекает гидролиз.

Напомним, что катионы в водном растворе существуют в виде катионных аквакомплексов, образованных за счет донорно-акцепторного взаимодействия $\text{K}^+ - \text{OH}_2$. Аквакомплексы в свою очередь гидратированы посредством водородных связей. Можно считать, что чем выше заряд и меньше размеры катиона, тем сильнее его акцепторная способность (прочнее связь $\text{K}^+ - \text{OH}_2$), тем сильнее поляризуется связь $\text{O}-\text{H}$ координированной молекулы воды и тем сильнее водородная связь между координированной молекулой H_2O в комплексе и молекулами воды гидратной оболочки комплекса. Все это может привести к разрыву связи $\text{O}-\text{H}$ в координированной молекуле H_2O , к превращению водородной связи $\text{H} \cdots \text{OH}_2$ в ковалентную с образованием иона OH_3^+ и гидроксоаквакомплекса по схеме



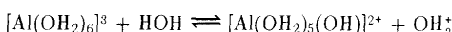
В соответствии с последовательным усилением акцепторной способности катионов (увеличением их заряда и уменьшением размеров) возможны два случая:

1) отсутствие заметного разложения молекул воды



Подобным образом ведут себя слабые акцепторы электронных пар — катионы щелочных и щелочно-земельных металлов. Иными словами, катионы, образующие сильные основания — щелочи;

2) обратимое разложение молекул воды с образованием гидроксоаквакомплексов



или



Избыток ионов H^+ обуславливает кислую среду раствора. Этот наиболее часто встречающийся случай характерен для двух- и трехзарядных катионов (Cu^{2+} , Fe^{2+} , Fe^{3+} , Cr^{3+}), т.о. катионов, образующих слабые основания. Очевидно, чем основание слабее, тем гидролиз протекает интенсивнее.

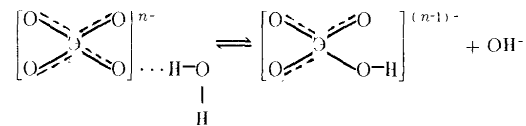
О влиянии природы катиона (его размера и заряда) на степень ионизации координированных молекул воды можно судить по значению константы кислотной ионизации аквакомплекса:

$$K_1 = \frac{[\text{M}(\text{OH}_2)_6(\text{OH})]^{(n-0)} [\text{H}^+]}{[\text{M}(\text{OH}_2)_6^n]}$$

Ниже приведены ее значения:

$[\text{M}(\text{OH}_2)_6]^{2+}$	$[\text{Al}(\text{OH}_2)_6]^{3+}$	$[\text{Cr}(\text{OH}_2)_6]^{3+}$	$[\text{Fe}(\text{OH}_2)_6]^{3+}$	$[\text{Ti}(\text{OH}_2)_6]^{3+}$	
$pK_1 \dots$	11.4	4.95	3.90	2.2	1.1

Поскольку гидратация анионов осуществляется за счет водородной связи, в результате поляризационного взаимодействия между комплексообразователем (анионом) и молекулами воды водородная связь может перейти в ковалентную. При этом может происходить отрыв протона от молекулы воды и присоединение его к аниону:



Понятно, что чем более отрицательный заряд и меньше размер аниона, тем он более сильный донор электронных пар и тем легче отрывает протон от молекулы воды. Так, по возрастанию прочности водородной связи оксоанионы p -элементов третьего периода располагаются в следующий ряд: $\text{ClO}_4^- < \text{SO}_4^{2-} < \text{PO}_4^{3-} < \text{SiO}_4^{4-}$.

В зависимости от электронодонорной активности анионов возможны следующие случаи:

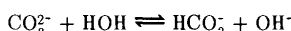
1) отсутствие заметного разложения молекул воды:



Подобным образом ведут себя слабые доноры электронных пар — однозарядные анионы (Cl^- , Br^- , I^- , NO_3^- , ClO_4^-); к этой же группе анионов

нов относятся ионы SO_4^{2-} , SiF_6^{2-} и другие кислотные остатки сильных кислот;

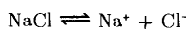
2) обратимое разложение молекул воды:



Появляется избыток ионов OH^- , т.е. среда становится щелочной. Этот случай наиболее характерен для доноров средней силы — для двух- и многозарядных анионов (CO_3^{2-} , PO_4^{3-} , SO_4^{2-} , S^{2-} , а также CN^-), т.е. кислотных остатков слабых и средней силы кислот. Очевидно, чем слабее кислота, тем гидролиз протекает интенсивнее.

Суммарный эффект гидролиза определяется природой находящихся в растворе катионов и анионов.

1. Если соединение при ионизации в растворе образует катионы и анионы, которые слабо поляризуют гидратную оболочку, гидролиз практически не происходит и pH среды не изменяется:

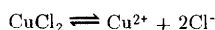


$\text{Na}^+ + \text{HOH} \rightleftharpoons$ реакция практически не идет

$\text{Cl}^- + \text{HOH} \rightleftharpoons$ реакция практически не идет

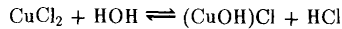
В этом случае можно сказать, что соли сильного основания и сильной кислоты гидролизу не подвергаются.

2. Если соединение при ионизации образует катионы, которые поляризуют молекулы гидратной оболочки, и анионы, слабо поляризующие их, то происходит гидролиз по катиону. При этом образуется кислая среда:



$\text{Cl}^- + \text{HOH} \rightleftharpoons$ реакция практически не идет

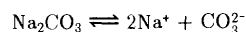
или



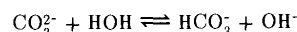
Обобщая этот пример, можно сделать вывод, что гидролизу по катиону подвержены соли слабого основания и сильной кислоты.

3. Если соединение при растворении ионизируется на слабополяризующие катионы и среднеполяризующие анионы, то происходит гидролиз по аниону и в результате гидролиза создается щелочная среда:

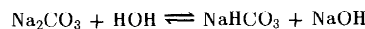
230



$\text{Na}^+ + \text{HOH} \rightleftharpoons$ реакция практически не идет

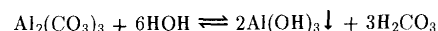


или



В этом случае обобщенно можно сказать, что гидролиз по аниону происходит у солей сильных оснований и слабых кислот.

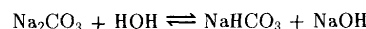
4. Если соединение при ионизации образует среднеполяризующие катионы и анионы, то происходит гидролиз и по катиону, и по аниону. При этом обычно наблюдается гидролиз с образованием малорасторимых слабых оснований и слабых кислот:



Характер среды в этом случае определяется относительной силой образовавшихся кислоты и основания. Этот случай гидролиза имеет место для солей слабых оснований и слабых кислот.

Для случаев 2 и 3 степень гидролиза (отношение количества гидролизованного вещества к общему количеству растворенного вещества) обычно невелика. Так, в растворе Na_2CO_3 с концентрацией 0,1 моль/л она составляет при 25°C около 2,7%, а в растворе NaCN с концентрацией 0,1 моль/л — около 1,5%. В случае 4 гидролиз протекает практически нацело.

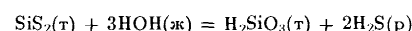
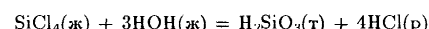
Согласно принципу Ле Шателье степень гидролиза возрастает с разбавлением раствора (увеличением концентрации воды). Например, при 25°C для реакции



при концентрации соли 0,1 моль/л степень гидролиза составляет 2,7%, а при концентрации 0,001 моль/л — уже 34%.

Степень гидролиза возрастает также с повышением температуры.

Существенно отличен характер гидролиза ковалентных соединений. Большинство соединений неметаллов с неметаллами в воде претерпевает необратимое гидролитическое разложение:

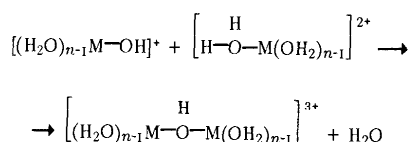


Гидролиз играет большую роль в жизнедеятельности живых организмов. Он существенно влияет на геохимические процессы. Гидролиз широко используется в химической промышленности.

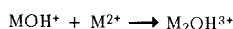
Образование многоядерных комплексов при гидролизе. Гидролиз сопровождается сложными процессами образования двух- и многоядерных комплексов, связующими мостиками которых могут быть O, OH, NH₂, NO₂, SO₄²⁻ и другие атомы и их группировки. Рассмотрим гидролиз по катиону, приводящий к полимеризации комплексов за счет мостиковых OH-групп.

Как первую стадию катионной полимеризации в растворах можно рассматривать возникновение двухъядерных комплексов, образованных за счет объединения октаэдрических (тетраэдрических) комплексов по вершине, ребру или грани (см. рис. 61). Ниже приведены схемы образования двухъядерных комплексов, роль мостиков в которых играют OH-группы.

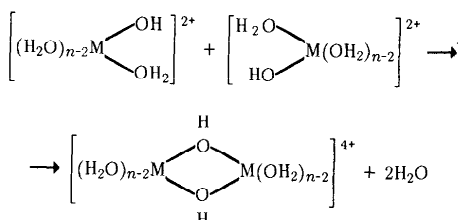
Для комплексов катионов M²⁺



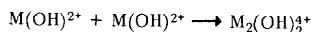
или



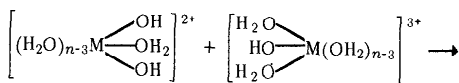
Для комплексов катионов M³⁺



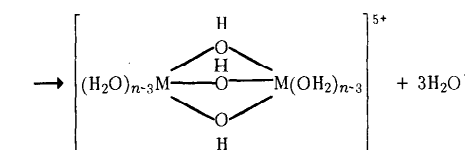
или



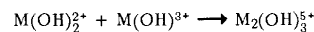
Для комплексов катионов M⁴⁺



232



или



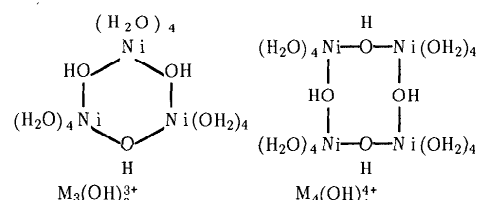
В приведенных примерах димеризация происходит за счет взаимодействия OH-группы одного комплекса с молекулой H₂O другого с отщеплением молекулы H₂O и образованием OH-мостика.

Число OH-мостиков в димере зависит от прочности связи O—H в координированной молекуле воды. Очевидно, чем выше заряд иона металла, тем прочнее связь M—O и тем больше ослабляется связь O—H в координированной молекуле воды. Это приводит к увеличению числа OH-мостиков и увеличению степени гидролиза. Наиболее типичные формы двухъядерных комплексов в зависимости от заряда комплексообразователя приведены в табл. 24.

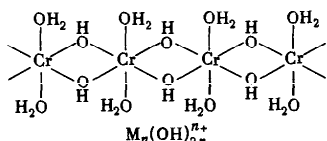
Таблица 24. Формы двухъядерных гидроксоаквакомплексов

Ион металла	Комплекс	Примеры
M ²⁺	M ₂ (OH) ³⁺	Cu ₂ OH ³⁺ , Be ₂ OH ³⁺ , Zn ₂ OH ³⁺ , Cd ₂ OH ³⁺ , HgOH ³⁺ , Ni ₂ OII ³⁺ , PbOII ³⁺
M ³⁺	M ₂ (OH) ₂ ⁴⁺	Al ₂ (OH) ₂ ⁴⁺ , In ₂ (OH) ₂ ⁴⁺ , Sc ₂ (OH) ₂ ⁴⁺ , V ₂ (OH) ₂ ⁴⁺ , Cr ₂ (OH) ₂ ⁴⁺ , Fe ₂ (OH) ₂ ⁴⁺ , Co ₂ (OH) ₂ ⁴⁺
M ⁴⁺	M ₂ (OH) ₃ ⁵⁺	Th(OH) ₃ ⁵⁺ , Ce ₂ (OH) ₃ ⁵⁺

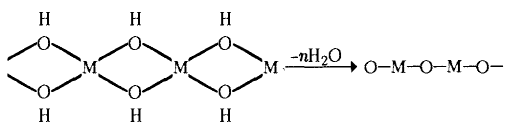
Аналогично можно рассматривать образование многоядерных гидроксоаквакомплексов, например, типа M₃(OH)₃⁴⁺, M₄(OH)₄⁴⁺, M_n(OH)_{2n}ⁿ⁺.



233



При определенных условиях (высокая температура или повышенный pH раствора) поликонденсация может приводить к переходу гидроксопроизводных (мостики — OH-группы) в оксопроизводные (мостики — атомы O):



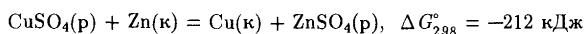
вплоть до образования свободных оксидов.

То что называют "основной солью" представляет собой по структуре промежуточное между "нормальной солью" и гидрооксидом или оксидом.

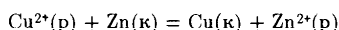
ГЛАВА 6. РЕАКЦИИ С ИЗМЕНЕНИЕМ СТЕПЕНЕЙ ОКИСЛЕНИЯ ЭЛЕМЕНТОВ

§ 1. ОКИСЛИТЕЛЬНО-ВОССТАНОВИТЕЛЬНЫЕ РЕАКЦИИ

Степени окисления элементов изменяются при окислительно-восстановительных реакциях. Изменение степеней окисления элементов происходит за счет перехода электронов или атомов от одних частиц к другим. Например, при вытеснении цинком меди из раствора ее соли

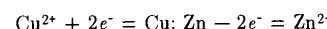


электроны от атомов цинка переходят к ионам меди:



Процесс потери частицей электронов называется *окислением*, а процесс присоединения электронов — *восстановлением*. В реакциях эти два процессы протекают одновременно — одни частицы окисляются, другие восстанавливаются. Следовательно, окислительно-восстановительные процессы представляют собой единство двух противоположных процессов. Вещества, присоединяющие электроны, называются *окислителями*.

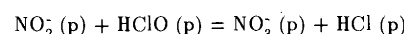
и, а вещества, теряющие электроны, — *восстановителями*. В приведенном примере Cu²⁺ — окислитель, Zn — восстановитель:



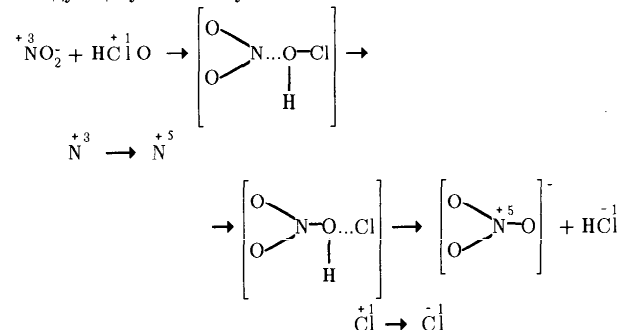
В этой реакции медь понижает степень окисления, цинк — повышает.



В качестве примера окислительно-восстановительной реакции с переходом атомов можно рассмотреть следующий процесс:



Методом меченых атомов установлено, что эта реакция осуществляется по следующему механизму:

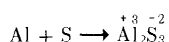


Как видно из приведенной схемы, атом кислорода молекулы HClO переходит в состав NO₃⁻-иона. В результате реакции степень окисления азота повышается, а хлора понижается. В этой реакции HClO играет роль окислителя, а NO₂⁻ — восстановителя.

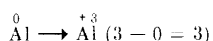
Таким образом, можно дать следующее обобщенное определение окислителя и восстановителя: вещество, в состав которого входит элемент, повышающий степень окисления, называют *восстановителем*, а вещество, в состав которого входит элемент, понижающий степень окисления, называют *окислителем*. Понижение и повышение степени окисления элементов происходят одновременно и обусловливают друг друга.

§ 2. СОСТАВЛЕНИЕ УРАВНЕНИЙ ОКИСЛИТЕЛЬНО-ВОССТАНОВИТЕЛЬНЫХ РЕАКЦИЙ

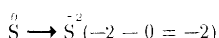
Применяют два метода составления уравнений для реакций окисления — восстановления. Один из методов основан на использовании степеней окисления. Повышение степени окисления у одного элемента и ее понижение у другого элемента происходит одновременно. Так, при взаимодействии алюминия и серы



степень окисления алюминия повышается на 3 единицы



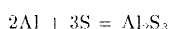
а степень окисления серы понижается на 2 единицы



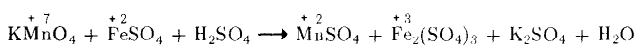
Чтобы поставить коэффициенты в уравнении реакции, надо найти кратное для чисел, показывающих повышение и понижение степеней окисления:

$$\begin{array}{r} \overset{0}{Al} \rightarrow \overset{+3}{Al} | 2 \\ \overset{0}{S} \rightarrow \overset{-2}{S} | 3 \\ \hline 2Al + 3S = 2Al + 3S \end{array}$$

Найденные коэффициенты переписем в уравнение реакции



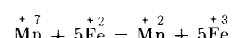
Рассмотрим более сложную окислительно-восстановительную реакцию:



В приведенных соединениях изменяют степень окисления только марганец и железо:

$$\begin{array}{r} \overset{+7}{Mn} \rightarrow \overset{+2}{Mn} | 1 \\ \overset{+2}{Fe} \rightarrow \overset{+3}{Fe} | 5 \end{array}$$

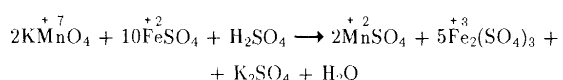
$KMnO_4$ — окислитель, $FeSO_4$ — восстановитель. На 1 моль атомов $Mn(VII)$ требуется 5 моль атомов $Fe(II)$:



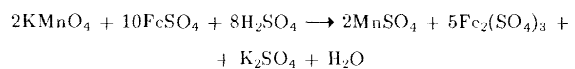
Таким образом, основные коэффициенты уравнения — коэффициенты при окислителе и восстановителе — это 1 и 5. Нужно однако, учесть, что в результате реакции образуется $Fe_2(SO_4)_3$, содержащий 2 моль атомов $Fe(III)$, поэтому основные коэффициенты следует удвоить:

$$\begin{array}{r} \overset{+7}{Mn} \rightarrow \overset{+2}{Mn} | 1 | 2 \\ \overset{+2}{Fe} \rightarrow \overset{+3}{Fe} | 5 | 10 \\ \hline 2Mn + 10Fe = 2Mn + 10Fe \end{array}$$

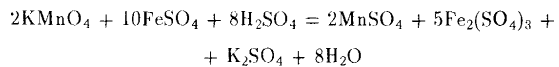
Найденные коэффициенты подставляем в уравнение реакции



Остальные коэффициенты находят при подсчете баланса других элементов (пока без H и O), в данном случае атомов K и S :

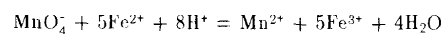


Далее по балансу атомов водорода определяют число молей воды:

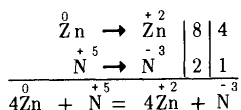
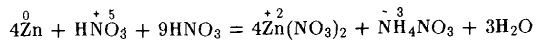


Для проверки правильности подобранных коэффициентов подсчитывают баланс молей атомов кислорода.

Поскольку рассматриваемая реакция протекает в водном растворе, ее можно представить в виде ионного уравнения:

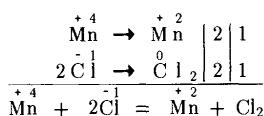
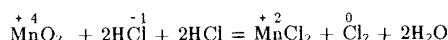


Довольно часто соединение, участвующее в реакции, выполняет не только окислительную или восстановительную функцию, но и связывает продукты реакции (степени окисления элементов не изменяются). Например, при восстановлении очень разбавленной азотной кислоты порошком цинка



1 моль молекул кислоты из десяти, взятых для реакции, расходуется на окисление цинка, а остальные девять — на связывание образующихся в результате реакции ионов цинка и аммония.

Примером реакции, в которой восстановитель играет также роль среды, является взаимодействие оксида марганца (IV) с концентрированной соляной кислотой:

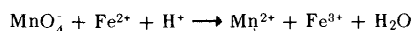


Ионно-электронный метод. Ионно-электронный метод, составления уравнений окислительно-восстановительных реакций применяется для ионных окислительно-восстановительных процессов и основан на составлении частных уравнений реакций восстановления ионов (молекул) окислителя и окисления ионов (молекул) — восстановителя с последующим суммированием их в общее уравнение. Для этого необходимо составить ионную схему реакции. Не изменяющиеся в результате реакции ионы в ионную схему не включаются.

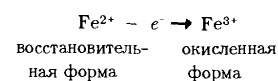
Вернемся к ранее рассмотренному примеру:



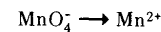
Ионная схема реакции:



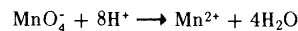
Как видим, ионы Fe^{2+} окисляются в ионы Fe^{3+} , а ионы MnO_4^- восстанавливаются до ионов Mn^{2+} . Частное уравнение окисления иона восстановителя



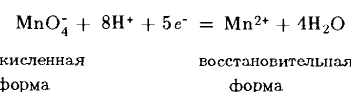
В частном уравнении реакции восстановления окислителя MnO_4^- в восстановленную форму Mn^{2+}



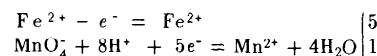
Для баланса атомов необходимо добавить ионы водорода, чтобы связать атомы кислорода в воду



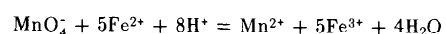
для баланса зарядов, кроме того, в левой части уравнения нужно добавить 5 моль электронов. Тогда частное уравнение восстановления окислителя будет



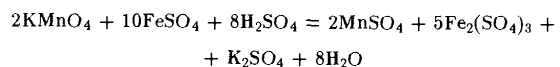
При выводе общего уравнения реакции частные уравнения надо помножить на такие коэффициенты, чтобы число молей потерянных электронов стало равно числу приобретенных:



Проверка правильности составленного уравнения производится по балансу атомов и зарядов в общем уравнении:



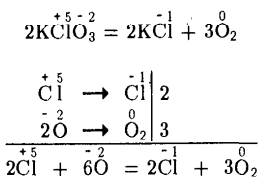
Если в качестве среды взята серная кислота, то уравнение реакции можно записать:



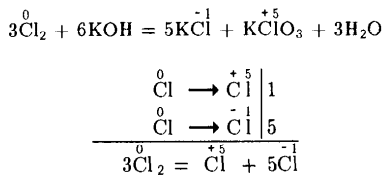
Типы окислительно-восстановительных реакций. Различают три типа реакций окисления — восстановления.

1. Окислительно-восстановительные реакции, при которых изменяют степень окисления атомы элементов, входящих в состав разных веществ. Легко заметить, что вышеприведенные реакции относятся к этому типу реакций.

2. Реакции окислительно-восстановительного распада веществ, при которых степени окисления изменяют атомы разных элементов одного и того же вещества. По такому механизму протекают реакции термического разложения соединений, например:



3. Реакции самоокисления — самовосстановления, при которых степень окисления одного и того же элемента и повышается, и понижается. Подобные реакции называют еще реакциями диспропорционирования. Примером процесса подобного рода может служить реакция взаимодействия хлора со щелочью:



В этой реакции хлор выступает и как окислитель, и как восстановитель.

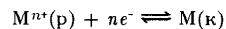
§ 3. НАПРАВЛЕНИЕ ОКИСЛИТЕЛЬНО-ВОССТАНОВИТЕЛЬНЫХ РЕАКЦИЙ

О направлении окислительно-восстановительных реакций можно судить по изменению энергии Гиббса системы. Кроме того, для количественной характеристики окислительно-восстановительной активности веществ, находящихся в растворах или соприкасающихся с ними, используются так называемые электродные или окислительно-восстановительные потенциалы φ .

240.

Окислительно-восстановительные потенциалы. Связь между ΔG и φ выражается уравнением* $-\Delta G = nF\varphi$, где n — количество вещества (моль), передаваемого в процессе электронов; F — постоянная Фардаea.

Сущность возникновения электродного потенциала заключается в следующем. Если пластинку металла M погрузить в раствор, содержащий его ионы



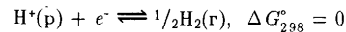
то между металлом и раствором возникнет разность потенциалов, называемая **электродным потенциалом**. Эта разность зависит от природы металла и концентрации (точнее активности) ионов в растворе, а также от температуры.

Стандартный электродный потенциал. Для реакции, протекающей в стандартных условиях, связь энергии Гиббса и электродного потенциала выражается уравнением

$$-\Delta G^\circ = nF\varphi^\circ.$$

Величину φ° называют **стандартным электродным (окислительно-восстановительным) потенциалом**. Значения стандартного электродного потенциала (как и ΔG°) растворенных веществ относят к растворам с концентрацией 1 моль/л, а для газообразных веществ — к 101325 Па. В качестве стандартной принимают температуру 25°C.

Значения электродных (окислительно-восстановительных) потенциалов обычно берутся относительно системы



Так как $\Delta G_{f,298,\text{H}^+(\text{p})}^\circ = 0$ и $\Delta G_{f,298,\text{H}_2(\text{g})}^\circ = 0$, стандартный потенциал этой системы $\varphi_{298}^\circ = 0$ (как и ΔG°). Эта система называется **водородным электродом**.

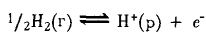
Водородный электрод представляет собой платиновую пластинку, покрытую тонким слоем рыхлой пористой платины (для увеличения поверхности электрода) и опущенную в водный раствор серной кислоты (с активностью ионов H^+ , равной единице) (рис. 121). Через раствор серной кислоты пропускают водород под атмосферным давлением. Часть поглощенного платиной водорода переходит в атомное состояние, поэтому в поверхностном слое пластины

* $-\Delta G$ (Дж) = 96485 nE (В).

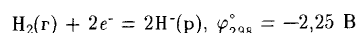
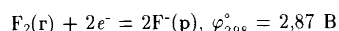
Таблица 25. Стандартные электродные потенциалы φ_{298}° некоторых окислительно-восстановительных систем в водных растворах

Окисленная форма	Число электронов	Восстановленная форма	φ_{298}° , В
Li^+	$1e^-$	Li	-3,05
Ca^{2+}	$2e^-$	Ca	-2,87
Na^+	$1e^-$	Na	-2,71
H_2	$2e^-$	2H^-	-2,25
Al^{3+}	$3e^-$	Al	-1,66
Mn^{2+}	$2e^-$	Mn	-1,18
Zn^{2+}	$2e^-$	Zn	-0,76
Fe^{2+}	$2e^-$	Fe	-0,44
Cd^{2+}	$2e^-$	Cd	-0,40
Zn^{2+}	$2e^-$	Zn	-0,14
Pb^{2+}	$2e^-$	Pb	-0,13
2H^+	$2e^-$	H_2	0,00
$\text{SO}_4^{2-} + 2\text{H}^+$	$2e^-$	$\text{SO}_3^{2-} + \text{H}_2\text{O}$	0,22
Cu^{2+}	$2e^-$	Cu	0,34
I_2	$2e^-$	2I^-	0,54
Fe^{3+}	$1e^-$	Fe^{2+}	0,77
Ag^+	$1e^-$	Ag	0,80
Hg^{2+}	$2e^-$	Hg	0,85
$\text{NO}_3^- + 4\text{H}^+$	$3e^-$	$\text{NO} + 2\text{H}_2\text{O}$	0,96
Br_2	$2e^-$	2Br^-	1,07
$\text{MnO}_2 + 4\text{H}^+$	$2e^-$	$\text{Mn}^{2+} + 2\text{H}_2\text{O}$	1,23
$\text{Cr}_2\text{O}_7^{2-} + 14\text{H}^+$	$6e^-$	$2\text{Cr}^{3+} + 7\text{H}_2\text{O}$	1,33
Cl_2	$2e^-$	2Cl^-	1,36
$\text{ClO}_3^- + 6\text{H}^+$	$6e^-$	$\text{Cl}^- + 3\text{H}_2\text{O}$	1,45
$\text{MnO}_4^- + 8\text{H}^+$	$5e^-$	$\text{Mn}^{2+} + 4\text{H}_2\text{O}$	1,51
$\text{MnO}_4^- + 4\text{H}^+$	$3e^-$	$\text{MnO}_2 + 2\text{H}_2\text{O}$	1,68
F_2	$2e^-$	2F^-	2,87

устанавливается равновесие $\frac{1}{2}\text{H}_2 \rightleftharpoons \text{H}$, а на границе платины и раствора серной кислоты — равновесие $\text{H}(\text{r}) \rightleftharpoons \text{H}^+(\text{p}) + e^-$, т.е. суммарно

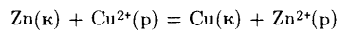


Стандартные потенциалы некоторых окислительно-восстановительных систем приведены в табл. 25. В ряду приведенных систем убывающее значение отрицательного потенциала и возрастающее значение положительного потенциала отвечают падению восстановительной и росту окислительной способности. Например, сравнение стандартных потенциалов системы

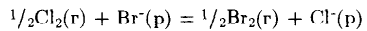


показывает, что у молекул F_2 сильно выражена окислительная тенденция, а у ионов H^- — восстановительная.

В соответствии со значениями φ° цинк ($\varphi_{298}^{\circ} = -0,76 \text{ В}$) — более сильный восстановитель, чем медь ($\varphi_{298}^{\circ} = +0,34 \text{ В}$), и, следовательно, будет вытеснять ее из растворов, содержащих ионы Cu^{2+} :



Хлор ($\varphi_{298}^{\circ} = +1,36 \text{ В}$) — более сильный окислитель, чем бром ($\varphi_{298}^{\circ} = +1,07 \text{ В}$), и, следовательно, будет вытеснять бром из растворов, содержащих ионы Br^- :



По значениям окислительно-восстановительных потенциалов можно судить о направлении и более сложных окислительно-восстановительных процессов. Например, для реакции



потенциалы частных реакций имеют следующие значения:

Окисленная форма	Восстановленная форма	Стандартный потенциал
$\text{MnO}_4^- + 8\text{H}^+ + 5e^-$	$= \text{Mn}^{2+} + 4\text{H}_2\text{O}$	1,51 В
$\text{Fe}^{3+} + e^-$	$= \text{Fe}^{2+}$	0,77 В

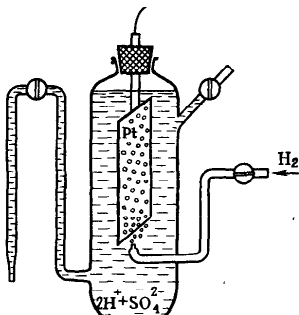


Рис. 121. Схема водородного электрода

Как видим, стандартный электродный потенциал для первой системы выше, чем для второй. Следовательно при контакте первая система выступит в качестве окислителя, вторая — в качестве восстановителя. Иными словами, первая реакция протекает слева направо, вторая — справа налево, т.е. ионы Fe^{2+} окисляются до ионов Fe^{3+} , а ионы MnO_4^- восстанавливаются до ионов Mn^{2+} .

Электродные потенциалы не являются неизменными. Они зависят от соотношения концентраций (точнее активностей) окисленной и восстановленной форм вещества, а также от температуры, природы растворителя, pH среды и др.

Зависимость электродного потенциала от концентрации окисленной и восстановленной форм и температуры выражается *уравнением Нернста*:

$$\varphi = \varphi^\circ + \frac{RT}{nF} \ln \frac{c_{\text{окисл}}^x}{c_{\text{восст}}^y}$$

или

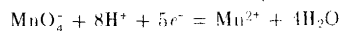
$$\varphi = \varphi^\circ + \frac{2,3RT}{nF} \lg \frac{c_{\text{окисл}}^x}{c_{\text{восст}}^y}$$

где φ° — стандартный электродный потенциал процесса; R — молярная газовая постоянная; T — абсолютная температура, n — число молей передаваемых в элементарном пропуске электронов; F — постоянная Фардаea; $c_{\text{окисл}}$ и $c_{\text{восст}}$ — концентрации окисленной и восстановленной форм реагентов (x и y — коэффициенты уравнений реакции).

Для 298 К (25°C) после подстановки значений постоянных величин [$R = 8,31 \text{ Дж}/(\text{К}\cdot\text{моль})$, $F = 96\,485 \text{ Кл}$] уравнение принимает вид

$$\varphi = \varphi^\circ + \frac{0,059}{n} \lg \frac{c_{\text{окисл}}^x}{c_{\text{восст}}^y}$$

Для полуреакции



можно записать

$$\varphi = 1,51 + \frac{0,059}{5} \lg \frac{[\text{MnO}_4^-][\text{H}^+]^8}{[\text{Mn}^{2+}]}$$

имея в виду, что концентрация воды — величина постоянная. Для стандартных условий, т.е. когда $[\text{MnO}_4^-] = [\text{Mn}^{2+}] = [\text{H}^+] = 1 \text{ моль/л}$,

$$\varphi - \varphi^\circ = 1,51 \text{ В.}$$

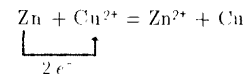
§ 4. ХИМИЧЕСКИЕ ИСТОЧНИКИ ТОКА

Если пространственно разделить процесс окисления восстановителя и процесс восстановления окислителя, можно получить электрический ток. В этом случае окислительно-восстановительные реакции осуществляются на электродах, а химическая энергия непосредственно превращается в электрическую. Теоретически для получения электрической энергии можно применить любую окислительно-восстановительную реакцию.

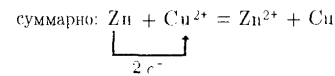
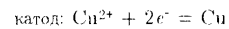
Рассмотрим получение тока за счет следующей пары окислительно-восстановительных систем:

Окисленная форма	Восстановленная форма	Стандартный потенциал
$\text{Zn}^{2+} + 2e^- \rightleftharpoons \text{Zn}$		-0,76 В
$\text{Cu}^{2+} + 2e^- \rightleftharpoons \text{Cu}$		+ 0,34 В

Согласно значениям стандартных потенциалов система $\text{Cu}^{2+} + 2e^- \rightleftharpoons \text{Cu}$ по отношению к системе $\text{Zn}^{2+} + 2e^- \rightleftharpoons \text{Zn}$ окислителем, т.е. при их контакте электроны будут переходить от Zn к ионам Cu^{2+} :



Окисление Zn и восстановление Cu^{2+} можно осуществить на электродах *гальванического элемента* (рис. 122), который в данном случае состоит из цинкового и медного электродов, погруженных в растворы соответственно ZnSO_4 и CuSO_4 . Сосуды с растворами соединены U-образной трубкой, заполненной каким-либо электролитом. Когда соединяют электроды металлическим проводником, начинается окислительно-восстановительная реакция. На цинковом электроде (аноде) происходит потеря электронов — окисление цинка; на медном электроде (катоде) происходит присоединение электронов — восстановление ионов меди



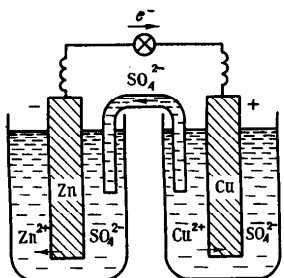


Рис. 122. Схема гальванического элемента

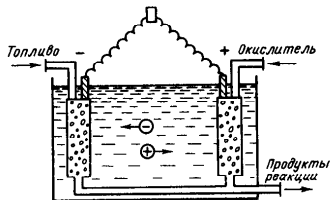


Рис. 123. Схема топливного элемента

За счет окислительно-восстановительной реакции по внешней цепи (металлический проводник) течет электрический ток от цинкового электрода к медному, а по внутренней цепи (трубка с электродом) движутся ионы SO_4^{2-} . Цинковый электрод постепенно растворяется, а

на медном выделяется металлическая медь.

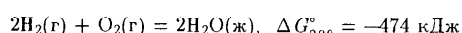
Разность окислительно-восстановительных потенциалов частных реакций определяет электродвижущую силу φ_r° гальванического элемента и в рассматриваемом случае:

$$\varphi_r^\circ = \varphi_{\text{Cu}}^\circ - \varphi_{\text{Zn}}^\circ = 0,34 - (-0,76) = 1,1 \text{ В.}$$

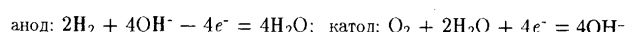
Проблема преобразования химической энергии непосредственно в электрическую — одна из актуальных задач науки и техники. В настоящее время ведутся широкие исследования по использованию окислительно-восстановительных реакций горения топлива в так называемых *топливных элементах*. В качестве окисляющихся веществ можно применять обычное топливо — уголь, кокс, природные и искусственные горючие газы, в качестве окислителя — кислород или воздух.

В топливных элементах, как и в обычных гальванических, электроды, к которым подаются восстановитель (топливо) и окислитель, разделены ионопроводящим электролитом (кислотами и щелочами, расплавленными солями и др.). Электроды в случае применения газообразных продуктов делают обычно из полых пористых трубок и пластин. Токообразующий процесс совершается на границе соприкосновения электрода с электролитом.

Принцип работы топливного элемента рассмотрим на примере щелочного водородно-кислородного элемента (рис. 123). В этом случае используется окислительно-восстановительная реакция



осуществляемая через следующие промежуточные стадии: на катоде происходит присоединение электронов — восстановление кислорода; на аноде происходит потеря электронов — окисление водорода:



Возникающие на аноде электроны по внешней цепи элемента переходят к катоду, а ионы OH^- перемещаются в электролите от катода к аноду. Таким образом, в итоге осуществляется окислительно-восстановительная реакция $2\text{H}_2 + \text{O}_2 = 2\text{H}_2\text{O}$, энергия которой в данном случае выделяется не в виде теплоты, а непосредственно превращается в электрическую.

Для эффективной работы топливных элементов используют катализаторы, которые наносят на электроды. Для водородного электрода катализаторами являются платиновые металлы, а для кислородного электрода — смешанные катализаторы из Co и Al или Fe, Mn и Ag.

Высокий коэффициент использования топлива, непрерывность действия и другие преимущества открывают перед топливными элементами перспективы широкого использования. Топливные элементы используются в спутниках и космических кораблях. Очень заманчиво применение топливных элементов вместо двигателей внутреннего сгорания на транспорте и т.д.

ЧАСТЬ ВТОРАЯ НЕОРГАНИЧЕСКАЯ ХИМИЯ

Раздел I Введение в химию элементов

Только при посредстве теории знание, слагаясь в связное целое, становится научным знанием; стройное соединение фактического знания с теорией составляет науку.

А.М. Бутлеров

ГЛАВА 1. РАСПРОСТРАНЕННОСТЬ ХИМИЧЕСКИХ ЭЛЕМЕНТОВ

§ 1. ГЕОХИМИЯ И КОСМОХИМИЯ

Среднее относительное содержание данного химического элемента в какой-либо природной системе (звезды, Солнечная система, планеты) называется его распространностью или *кларком**. Содержание элементов обычно выражают в массовых или атомных долях, в процентах.

Химический состав, закономерности распространения и распределения элементов на Земле изучает *геохимия*. Задачи этой науки определил В.И. Вернадский, который рассматривал ее как науку об истории атомов Земли, как часть космической химии. Дальнейшее развитие геохимии тесно связано с работами А.Е. Ферсмана, В.М. Гольдшмидта, А.П. Виноградова и др.

Распространенность и генезис химических элементов в космосе изучает *космохимия*. Результаты геохимических исследований используются для объяснения получаемых сведений о космических телах. В свою очередь данные космохимии применяются для решения геохимических проблем.

*Название предложено А.Е. Ферсманом в честь американского геохимика Ф.У. Кларка, вычислившего в 1889 г. распространенность многих химических элементов в земной коре.

Изучение химического состава звезд, планет, туманностей в основном осуществляется с помощью спектрального анализа. Спектральным анализом, например, был обнаружен элемент гелий на Солнце (1868) и лишь спустя 27 лет он был найден на Земле. С помощью спектрального анализа определен состав далеких космических тел.

Исключительно ценную научную информацию о физико-химическом характере и составе атмосферы других планет дают автоматические космические станции. Исследования лунных пород, в частности, являются основополагающими для развития *селенологии*.

§ 2. ХИМИЧЕСКИЕ ЭЛЕМЕНТЫ В ЗЕМНОЙ КОРЕ

Характер распространения элементов в земной коре сведен с характером их космической распространенности (см. рис. 1). В состав земной коры входят 88 химических элементов (табл. 26).

Практически отсутствуют короткоживущие технеций, прометий, астат, франций и трансурановые элементы. Основными в земной коре являются восемь элементов: кислород, кремний, алюминий, натрий, железо, кальций, магний, калий (рис. 124). Их общее содержание в земной коре составляет около 94,5% (мол. доли) или 98,5% (мас. доли). За ними следуют титан, фосфор, водород, марганец. Состав остальных (о.э.) элементов меньше 0,6% (мас. доли).

В земной коре преобладают кислородные соединения, из которых наиболее распространены силикаты, слагающие все главнейшие горные породы. Заметно менее распространены карбонаты, еще меньше — сульфидные и сульфатные минералы. Ряд элементов встречается в природе в виде простых веществ в самородном состоянии. В табл. 27 показаны наиболее часто встречающиеся формы существования элементов на Земле.

В зависимости от химической природы элемент может либо иметь собственные минералы, либо сопутствовать другим элементам. Геохимики выделяют обширную группу элементов, для которых характерна равномерность распространения в земной коре. Такие элементы называют *рассеянными*. Распространенность в земной коре и число разновидностей образуемых элементом минералов в прямой связи не находят

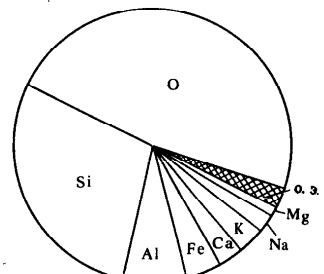


Рис. 124. Распространение химических элементов в земной коре

Т а б л и ца 26. Распространенность элементов в земной коре

Li 6,5·10 ⁻³ 1,9·10 ⁻²	Be 6·10 ⁻⁴ 1,2·10 ⁻³							
Na 2,64 2,4	Mg 2,1 2,0							
K 2,6 1,4	Ca 3,6 2,0	Sc 6·10 ⁻⁴ 3·10 ⁻³	Ti 0,65 0,25	V 1,5·10 ⁻² 6·10 ⁻³	Cr 2·10 ⁻² 8·10 ⁻³	Mn 9·10 ⁻² 3,2·10 ⁻²	Fe 5,1 2,0	Co 3·10 ⁻³ 1,5·10 ⁻³
Rb 3,1·10 ⁻² 7·10 ⁻³	Sr 4·10 ⁻² 1·10 ⁻²	Y 2,8·10 ⁻³ 2,6·10 ⁻⁴	Zr 2·10 ⁻² 4·10 ⁻³	Nb 1·10 ⁻³ 2·10 ⁻⁴	Mo 3·10 ⁻⁴ 6·10 ⁻⁵	Tc	Ru 5·10 ⁻⁷ 1·10 ⁻⁷	Rh 1·10 ⁻⁷ 1,7·10 ⁻⁸
Cs 7·10 ⁻⁴ 9,5·10 ⁻⁹	Ba 5·10 ⁻² 5,7·10 ⁻³	La 1,8·10 ⁻³ 2,5·10 ⁻⁴	Hf 3,2·10 ⁻⁴ 5·10 ⁻⁵	Ta 1·10 ⁻⁴ 1·10 ⁻⁵	W 1·10 ⁻⁷ 8,5·10 ⁻⁹	Re 1·10 ⁻⁷ 5·10 ⁻⁹	Os 5·10 ⁻⁶ 5·10 ⁻⁷	Ir 1·10 ⁻⁷ 8,5·10 ⁻⁹
Fr	Ra 1·10 ⁻¹⁰	Ac 6·10 ⁻¹⁰ 5·10 ⁻¹⁵	Ku	Ns				
Лантаноиды								
Актиноиды								
Ce 4,5·10 ⁻³ 6·10 ⁻⁴	Pr 7,4·10 ⁻³ 9·10 ⁻⁵	Nd 2,5·10 ⁻³ 3,5·10 ⁻⁴	Pm	Sm 7·10 ⁻⁴ 9·10 ⁻⁵	Eu 1,2·10 ⁻⁴ 1,8·10 ⁻⁵			
Th 8·10 ⁻⁴ 7·10 ⁻⁵	Pa 1·10 ⁻¹⁰ 8·10 ⁻¹²	U 3·10 ⁻⁴ 2·10 ⁻⁵	Np	Pu 1·10 ⁻¹⁵ 7·10 ⁻¹⁷	Am			

*Верхние цифры – массовые доли, нижние – молярные доли элементов.

(по А.П. Виноградову)*

				H 0,15 3,0	He 4,6·10 ⁻⁴
B 3·10 ⁻⁴ 6·10 ⁻⁴	C 0,1 0,15	N 1·10 ⁻² 2,5·10 ⁻²	O 47,2 58,0	F 2,7·10 ⁻² 2,8·10 ⁻²	Ne 1,6·10 ⁻³
Al 8,80 6,6	Si 27,6 20,0	P 8·10 ⁻² 5·10 ⁻²	S 5·10 ⁻² 3·10 ⁻²	Cl 4,5·10 ⁻² 2,6·10 ⁻²	Ar 0,98 4·10 ⁻⁶
Ni 8·10 ⁻³ 3,2·10 ⁻³	Cu 1·10 ⁻² 3,6·10 ⁻³	Zn 5·10 ⁻³ 1,5·10 ⁻³	Ga 1,5·10 ⁻³ 4·10 ⁻⁴	Ge 5·10 ⁻⁴ 2·10 ⁻⁴	As 6·10 ⁻⁵ 1,5·10 ⁻⁴
Pb 1·10 ⁻⁶ 1,6·10 ⁻⁷	Ag 1·10 ⁻⁵ 1,6·10 ⁻⁶	Cd 5·10 ⁻⁵ 7,6·10 ⁻⁶	In 1·10 ⁻⁵ 1,5·10 ⁻⁶	Sb 4·10 ⁻⁵ 5·10 ⁻⁶	Te 1·10 ⁻⁶ 1,3·10 ⁻⁷
Pt 5·10 ⁻⁷ 5·10 ⁻⁸	Au 5·10 ⁻⁷ 5·10 ⁻⁸	Hg 7·10 ⁻⁶ 7·10 ⁻⁷	Tl 7·10 ⁻⁶ 3·10 ⁻⁵	Pb 3·10 ⁻⁴ 1,6·10 ⁻³	Po 2·10 ⁻¹⁴ 2·10 ⁻¹⁵
				Bi 1,6·10 ⁻³ 1,6·10 ⁻⁴	At 2·10 ⁻¹⁴ 2·10 ⁻¹⁵
					Rn 7·10 ⁻¹⁶
Gd 1·10 ⁻³ 1·10 ⁻⁴	Tb 1,5·10 ⁻⁴ 1·10 ⁻⁵	Dy 4,5·10 ⁻⁴ 5·10 ⁻⁵	Ho 1,3·10 ⁻⁴ 5·10 ⁻⁶	Er 4·10 ⁻⁴ 5·10 ⁻⁵	Tm 8·10 ⁻⁵ 8·10 ⁻⁶
Cm	Bk	Cf	Es	Fm	Md (No) (Lr)

Таблица 27. Формы существования элементов на Земле

Li Be		спираторы						H He*	
Mg		карбонаты, гипсовые						O*	
Ca		оксиды						F	
Na		Ti V Cr Mn Fe	Co Ni Cu	Zn	Ga Ge	As	Se	Br	Kr*
Mg		карбонаты, гипсовые			сульфиды			Ne*	
Al		B	C	N*	O*	P	S*	Cl	Ar*
Si		карбонаты			оксиды			аргентина	
Si		фосфаты			фосфаты			калия	
Y		Zr	Nb	Mo	Ru*	Rh*	Pd*	Ag*	Cd
Sc		Ti V Cr Mn Fe			Ge			In	
Ca		оксиды			Ga			Sn	
Sc		оксиды			сульфиды			Te	
Y		оксиды			сульфиды			I	
Zr								Xe*	
Y									
Zr									
Nb									
Mo									
Ru*									
Rh*									
Pd*									
Ag*									
Cd									
Sc									
Ti									
V									
Cr									
Mn									
Fe									
Co									
Ni									
Cu									
Zn									
Ga									
Ge									
As									
Se									
Br									
Kr*									
Ne*									
Ar*									
La									
Hf									
W									
Re									
Os*									
Ir*									
Pt*									
Au*									
Hg									
Tl									
Pb									
Bi									

* Встречаются в свободном состоянии.

дятся. Очень часто из двух элементов менее распространенный образует большее число разновидностей минералов. Так, рубидий [0,007% (мол. доли)] собственных минералов практически не имеет и является рассеянным элементом. В то же время сравнительно менее распространенная медь [0,0036% (мол. доли)] образует разнообразные собственные минералы, а поэтому к рассеянным элементам не относится.

В земной коре постоянно происходят многие химические процессы. Разобраться в них — значит понять, как образуются минералы, горные породы и руды, в каких условиях они формируются. Это, в свою очередь, позволяет определить наиболее вероятные расположения месторождений полезных ископаемых.

ГЛАВА 2. ПРОСТЫЕ ВЕЩЕСТВА

§ 1. СТРУКТУРА ПРОСТЫХ ВЕЩЕСТВ

Сочетание атомов одного и того же элемента есть *простое вещество*. В зависимости от типа химической связи между атомами простые вещества могут быть *металлами* и *неметаллами*. Для металлов характерна металлическая связь, для неметаллов — ковалентная. Резкого различия между металлическими и неметаллическими простыми веществами нет. К металлам примыкают металлоидные простые вещества, к неметаллам — неметаллоидные.

Один и тот же элемент может образовывать несколько разных типов простых веществ, называемых *аллотропными модификациями*. Известно свыше 400 разновидностей простых веществ. Явление аллотропии может быть обусловлено либо различным составом молекул простого вещества данного элемента (*аллотропия состава*), либо способом размещения молекул или атомов в кристаллах (*аллотропия формы*). Способность элемента к образованию соответствующих аллотропных модификаций обусловлена строением атома, которое определяет тип химической связи, строение молекул и кристаллов.

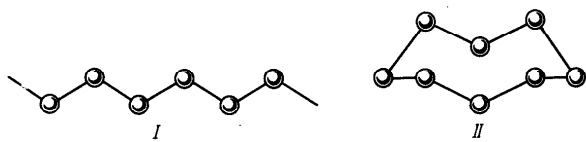
Рассмотрим для примера типы и структуру простых веществ, образованных элементами третьего периода. Так, у *p*-элемента VIII группы аргона ($3s^23p^6$), имеющего завершенную валентную оболочку ($:Ar:$), молекула одноатомна. Между атомами аргона возможно только

дисперсионное взаимодействие. Поэтому в твердом состоянии кристаллы аргона и его аналогов молекулярные (см. рис. 66, а) они характеризуются высокими координационными числами (обычно кубическая

гранецентрированная или гексагональная решетка).

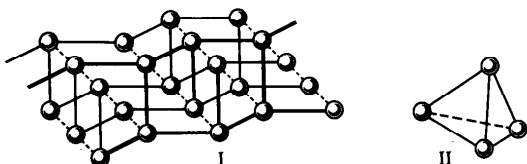
Для хлора ($3s^23p^5$) объединение атомов ($\cdot\ddot{\text{Cl}}\cdot$) в молекулу может осуществляться только одним способом, а именно за счет образования двухатомной ковалентной молекулы Cl_2 , имеющей форму гантеля. Кристаллы хлора образованы молекулами подобно кристаллам иода (см. рис. 66, б).

По мере увеличения числа непарных электронов для элементов становится возможной аллотропия состава. Так, для атомов серы ($3s^23p^4$), имеющих два непарных электрона ($\cdot\ddot{\text{S}}\cdot$), наиболее типично объединение в зигзагообразные цепи I. В обычных условиях этому соответствует геометрическая форма молекулы в виде зигзагообразной цепочки, замкнутой в восьмичленное кольцо S_8 (II):



Кроме молекул S_8 в соответствующих условиях существуют молекулы серы в виде зигзагообразных открытых цепей S_{∞} и колец S_6 , S_4 , а также гантелейвидные молекулы S_2 .

Атомы фосфора ($3s^23p^3$), имеющие три непарных электрона ($\cdot\ddot{\text{P}}\cdot$), объединяются в полимерные двумерные слои $\text{P}_{2\infty}$ с пирамидальным распределением связей (I); кроме того, атомы фосфора образуют четырехатомные молекулы P_4 тетраэдрической формы (II):



Для кремния ($3s^23p^2$) наиболее устойчива трехмерная (координационная) структура $\text{Si}_{4\infty}$ типа алмаза (см. рис. 65). Это строение можно объяснить в рамках представления о sp^3 -гибридизации орбиталей атома кремния.

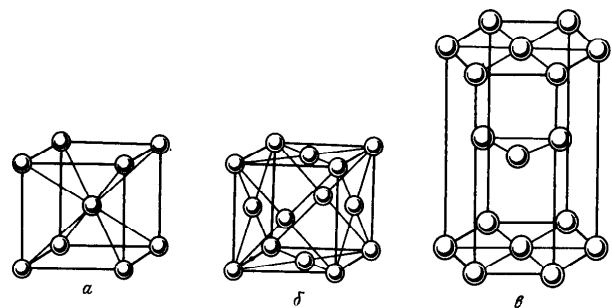


Рис. 125. Кристаллические решетки металлов:
а – кубическая объемноцентрированная; б – кубическая гранецентрированная;
в – гексагональная

От кремния к алюминию и далее к s -элементам магнию и натрию число валентных электронов уменьшается, а число свободных валентных орбиталей увеличивается. Это понижает прочность двухцентровой связи и усиливает тенденцию к образованию нелокализованной, а в пределе – металлической связи (электронного газа).

Поскольку металлическая связь ненасыщаема и ненаправлена, металлы имеют координационные решетки с максимально плотной упаковкой. Для металлических простых веществ самых разнообразных по химической природе элементов наиболее типичны три типа кристаллических решеток (рис. 125): кубическая гранецентрированная (к. ч. 12), гексагональная (к. ч. 12) и кубическая объемно центрированная (к. ч. 8).

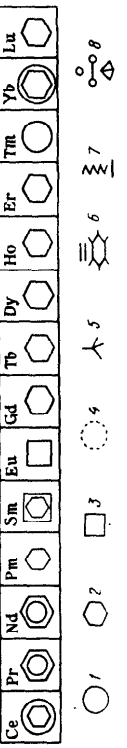
Для большинства металлов характерен полиморфизм. Это прежде всего связано с тем, что энергии кристаллических решеток различных металлических структур близки. Полиморфизм чаще проявляется у d - и f -элементов (в особенности $5f$), чем у s - и p -элементов. Это обусловлено энергетической близостью $(n-1)d$, ns , np -состояний у d -элементов и близостью $5f$, $6d$, $7s$ -состояний у f -элементов.

Таким образом, в периодической системе при переходе от p -элементов VIII группы к s -элементам I группы уменьшение числа валентных электронов обуславливает закономерный переход от неметаллов с молекулярными кристаллическими решетками (Ar , Cl_2 , P_4) к неметаллам с атомно-цепной (S_{∞}), атомно-слоистой ($\text{P}_{2\infty}$) и атомно-координа-

Таблица 28. Структура простых веществ

1 — кубическая гранецентрированная, 2 — гексагональная, 3 — объемноцентрированная, 4 — прямые структуры, 5 — алмазоподобная, 6 — слоистая, 7 — цепная, 8 — острорвотая (молекулярная).
Переход от наружного символа к внутреннему соответствует переходу от высокотемпературной модификации к низкотемпературной и далее к модификации, существующей при высоких давлениях.

	I A	II A	III B	IV B	V B	VI B	VII B	VIII B	IB	II B	III A	IV A	V A	VI A	VII A	VIII A	H	He
																	o-o	o
Li	B																	
Na	Mg																	
K	Ca	Sc	Tl	V	Cr	Mn	Fe	Co	Ni	Cu	Zn	Ga	Ge	As	Se	Br	Kr	
Rb	Sr	Y	Zr	Nb	Mo	Tc	Ru	Pd	Ag	Cd	In	Sn	Te	I	Xe			
Cs	Ba	La	Hf	Ta	W	Re	Os	Ir	Pt	Au	Hg	Tl	Pb	Bi	Po	At	Rn	



ционной ($Si_{3\infty}$) структурами и далее к металлическим координационным кристаллам (Al, Mg, Na).

Примерно так же изменяется структура простых веществ и в других периодах системы Д.И. Менделеева. Общий обзор строения простых веществ дан в табл. 28.

§ 2. СВОЙСТВА ПРОСТЫХ ВЕЩЕСТВ

Физические свойства. В соответствии с характером изменения структуры и типа химической связи закономерно изменяются и свойства простых веществ — их плотность, температуры плавления и кипения, электрическая проводимость и др. Так, аргон, хлор и сера в твердом состоянии являются диэлектриками, кремний — полупроводником, а алюминий, магний и натрий — металлическими проводниками.

Периодическая зависимость свойств от атомного номера элемента у простых веществ проявляется сложнее, чем у свободных атомов. Это объясняется тем, что свойства простых веществ не всегда однозначно определяются природой образующих их атомов, а в значительной мере зависят также от структуры, типа химической связи, межмолекулярного взаимодействия, условий образования и пр.

На рис. 126—128 показана зависимость от атомного номера элементов плотности простых веществ в твердом состоянии, температуры их плавления и стандартной энтропии. Как видно на рис. 127, температура плавления простых веществ в периодах вначале возрастает, затем падает. Наименьшую температуру плавления имеют простые вещества с молекулярной структурой, в особенности одноатомные простые вещества *s*- и *p*-элементов VIII группы (благородные газы). В обычных условиях простые вещества молекулярного строения являются газами, жидкостями или относительно легкоплавкими

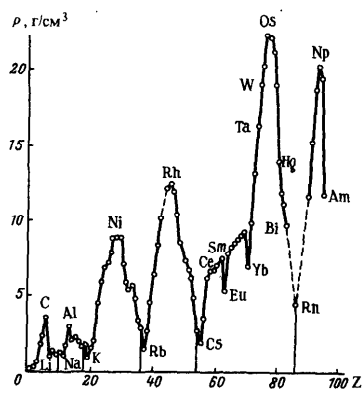


Рис. 126. Зависимость плотности простых веществ от атомного номера элемента

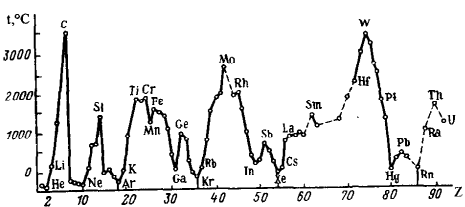


Рис. 127. Зависимость температуры плавления простых веществ от атомного номера элемента

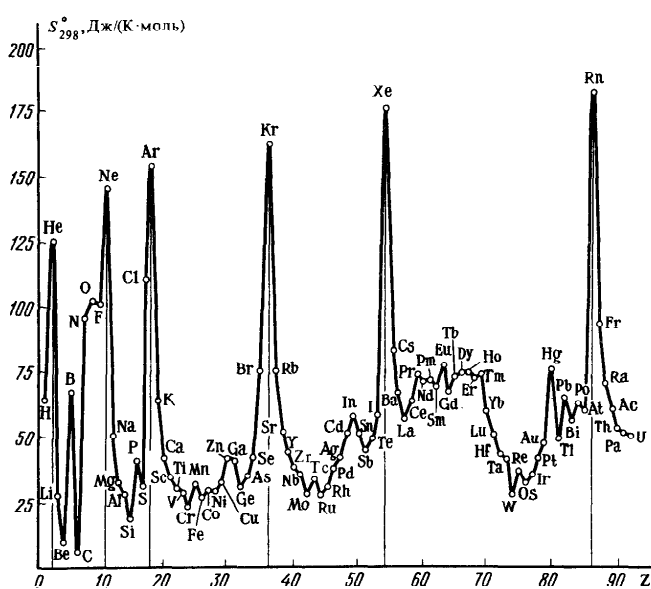


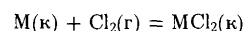
Рис. 128. Зависимость стандартной энтропии простых веществ от атомного номера элемента

твердыми телами. Наиболее тугоплавки алмаз и кремний, имеющие ковалентные атомно-координационные решетки.

Из металлов наибольшую температуру плавления имеют простые вещества *d*-элементов. Полагают, что в этом проявляется ковалентная связь (за счет *d*-электронов), которая присутствует в их кристаллах наряду с металлической связью (за счет внешних *s*-электронов). Участие в образовании ковалентной связи в наибольшей степени проявляется у *5d*-электронов, поэтому в подгруппах *d*-элементов температура плавления с ростом атомного номера повышается (см. рис. 127).

Изменение стандартных энтропий простых веществ (см. рис. 128) проявляется в периоде прямо противоположно изменению температуры плавления. В периодах стандартная энтропия вначале уменьшается, а затем возрастает. В этом находит отражение переход от мягкого щелочного металла к твердым ковалентным полимерам (алмазу, кремнию, германию, сурье), а в конце периода — к одноатомным благородным газам.

Химические свойства простых веществ. В химических реакциях металлы обычно выступают как восстановители. Неметаллы, кроме фтора, могут проявлять как окислительные, так и восстановительные свойства. При этом характер изменения восстановительной и окислительной активности простых веществ в группах и подгруппах существенно зависит от природы партнера по реакции и условий осуществления реакции. Обычно в главных подгруппах проявляется общая тенденция: с увеличением атомного номера элемента окислительные свойства неметаллов ослабевают, а восстановительные свойства металлов усиливаются. Об этом, в частности, свидетельствует характер изменения стандартной энергии Гиббса образования однотипных соединений. Например, в реакции окисления хлором металлов главной подгруппы II группы

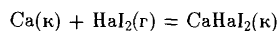


от бериллия к барнию отрицательное значение ΔG_f° увеличивается

	BeCl ₂ (к)	MgCl ₂ (к)	CaCl ₂ (к)	SrCl ₂ (к)	BaCl ₂ (к)
$\Delta G_f^\circ, \text{ кДж/моль.}$	-168	-592	-750	781	811

Иными словами, в ряду Be—Mg—Ca—Sr—Ba восстановительная активность простых веществ относительно хлора повышается.

В реакциях окисления галогенами кальция

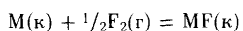


от фтора к иоду отрицательное значение ΔG_f° уменьшается:

	$\text{CaF}_2(\text{k})$	$\text{CaCl}_2(\text{k})$	$\text{CaBr}_2(\text{k})$	$\text{CaI}_2(\text{k})$
$\Delta G_{f,298}^\circ, \text{ кДж/моль}$	-1162	-750	-656	-529

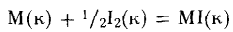
Таким образом, в ряду $\text{F}_2-\text{Cl}_2-\text{Br}_2-\text{I}_2$ окислительная способность простых веществ относительно кальция падает. $\Delta G_{f,298}^\circ$ для $\text{H}_2\text{O}(\text{г})$, $\text{H}_2\text{S}(\text{г})$, $\text{H}_2\text{Se}(\text{г})$ и $\text{H}_2\text{Te}(\text{г})$ равны соответственно -229, -34, +20 и +85 кДж/моль, что свидетельствует об уменьшении химической активности по отношению к водороду в ряду кислород — сера — селен — теллур.

При других партнерах по реакции и условиям ее протекания ряд изменений химической активности простых веществ может быть иным. Так, из щелочных металлов по отношению к фтору (а также кислороду) наиболее активен литий:



	LiF(k)	NaF(k)	KF(k)	RbF(k)	CsF(k)
$\Delta G_{f,298}^\circ, \text{ кДж/моль}$	-584	-543	-538	-523	-505

а по отношению к иоду (а также брому) — цезий:



	LiI(k)	NaI(k)	KI(k)	RbI(k)	CsI(k)
$\Delta G_{f,298}^\circ, \text{ кДж/моль}$	-267	-285	-324	-326	-334

Изменение ряда химической активности обязано неодинаковому характеру изменения в данном ряду элементов атомных и ионных радиусов, потенциалов ионизации атомов, теплот возгонки простых веществ, с одной стороны, и энергии кристаллической решетки соединений — с другой.

О периодичности изменения химической активности простых веществ свидетельствует характер изменения ΔH_f° и ΔG_f° соответствующих однотипных соединений с увеличением атомного номера элемента. Об этом же свидетельствует рис. 129, на котором показана зависимость значения стандартного электродного потенциала φ_{298}° простых веществ в водном растворе от атомного номера элемента в периодической системе.

Отношение простых веществ к воде. Поскольку химические процессы часто протекают в водных средах, важно рассмотреть отношение простых веществ к воде и водным растворам.

Химическое своеобразие воды заключается в том, что она является

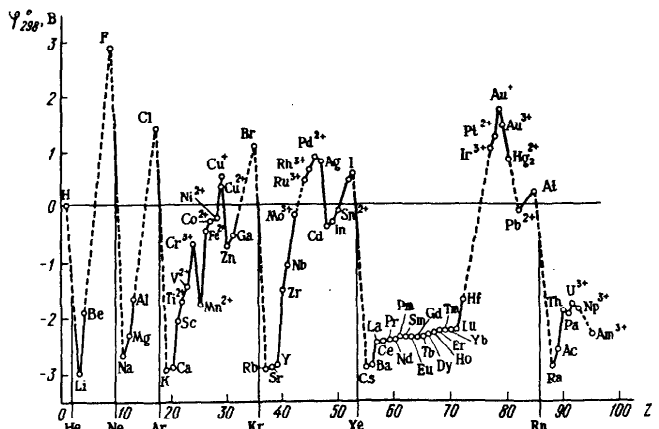
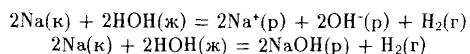


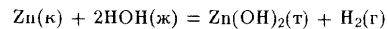
Рис. 129. Зависимость стандартных электродных потенциалов простых веществ в водном растворе от атомного номера элемента и окислителем, и восстановителем, а также выступает в качестве лиганда в процессах комплексообразования (гидратации ионов).

В зависимости от природы простых веществ возможны следующие варианты химического взаимодействия их с водой.

1. Окисление простого вещества водой, сопровождающееся выделением водорода и образованием гидратированных катионов. Электродный потенциал системы $2\text{H}^+(\text{p}) + 2e^- = \text{H}_2(\text{г})$ для воды (при pH7) составляет $\varphi_{298}^\circ = -0,414$ В. Следовательно, выделение водорода из воды имеет место при взаимодействии с ней металлов, электродный потенциал которых характеризуется более отрицательным значением, чем -0,414 В, например:

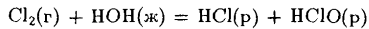
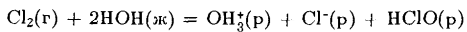


Данное взаимодействие характерно для щелочных и щелочно-земельных металлов. Реакция идет с заметной скоростью, если образующийся в результате реакции гидроксид растворим в воде. Образование же нерастворимого (или малорастворимого) гидроксида на поверхности металла тормозит дальнейшее протекание реакции, например:



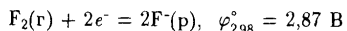
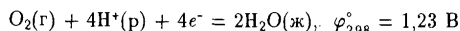
Торможение (или полное прекращение) химического процесса за счет продуктов взаимодействия называется *passивированием*.

2. Диспропорционирование простых веществ, сопровождающееся образованием гидратированных анионов:

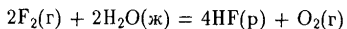


По указанному механизму взаимодействуют с водой простые вещества наиболее электроотрицательных элементов (Cl, Br, I).

3. Восстановление простого вещества водой, сопровождающееся выделением кислорода и образованием гидратированного аниона. Сравним электродные потенциалы систем:

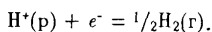


По указанному механизму взаимодействует фтор:

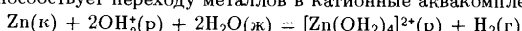


Растворенные в воде вещества могут способствовать проявлению присущих элементам тенденций к образованию катионных или анионных производных, либо тормозить и подавлять их. Так, ионы OH_3^+ способствуют образованию катионных комплексов и, наоборот, препятствуют образованию анионных комплексов. Ионы же OH^- препятствуют образованию катионных и способствуют образованию анионных комплексов. (Аналогичную роль играют и другие отрицательные ионы $-\text{CN}^-, \text{F}^-$ и пр.)

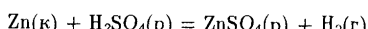
Отношение простых веществ к разбавленным кислотам. Повышение концентрации ионов OH_3^+ отвечает уменьшению отрицательного значения электродного потенциала системы:



Поэтому окисление простых веществ за счет выделения водорода в растворах кислот протекает активнее, чем в чистой воде. К тому же число металлов, взаимодействующих с кислотами резко увеличивается. Избыток ионов OH_3^+ препятствуют образованию гидроксидов, что также способствует переходу металлов в катионные аквакомплексы:



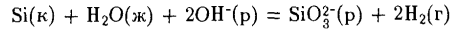
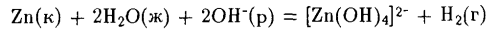
или



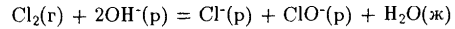
В ряде случаев при взаимодействии простых веществ с кислотами образуются нерастворимые или малорастворимые продукты, тормозящие дальнейшее окисление — восстановление. Например, свинец не растворяется в разбавленных кислотах — серной, соляной и др., так как при взаимодействии с ними на поверхности свинца образуются нерастворимые в воде осадки PbSO_4 , PbCl_2 и др., предохраняющие его от дальнейшего окисления. Нерастворимые продукты чаще всего образуются при взаимодействии металлов с H_3PO_4 , H_2SO_3 , H_2CO_3 , HF , HCN .

ищие дальнейшее окисление — восстановление. Например, свинец не растворяется в разбавленных кислотах — серной, соляной и др., так как при взаимодействии с ними на поверхности свинца образуются нерастворимые в воде осадки PbSO_4 , PbCl_2 и др., предохраняющие его от дальнейшего окисления. Нерастворимые продукты чаще всего образуются при взаимодействии металлов с H_3PO_4 , H_2SO_3 , H_2CO_3 , HF , HCN .

Отношение простых веществ к водным растворам щелочей. Поскольку ионы OH^- способствуют образованию анионных комплексов, с водными растворами щелочей могут взаимодействовать простые вещества тех элементов, которые склонны к образованию анионных комплексов. Окисление же простых веществ происходит или за счет воды (сопровождается выделением водорода):



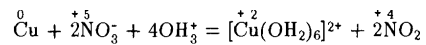
или за счет диспропорционирования:

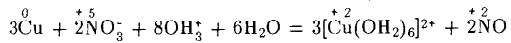


Понятно, что указанные реакции протекают тем легче, чем устойчивее образующиеся комплексные анионы. Так, гидроксокомплексы наиболее устойчивы у $\text{Zn}(\text{II})$, $\text{Al}(\text{III})$ и $\text{Be}(\text{II})$, поэтому их простые вещества довольно легко растворяются в водных растворах щелочей. В то же время Fe , Co , Mn и другие вследствие неустойчивости гидроксокомплексов взаимодействуют с растворами щелочей лишь в мелкораздробленном состоянии и при длительном нагревании.

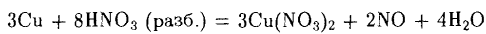
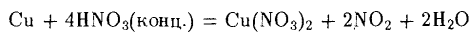
Отношение простых веществ к водным растворам более сильных окислителей, чем OH_3^+ . Присущие элементам тенденции к образованию катионных или анионных производных особенно отчетливо проявляются при окислении простых веществ в водных растворах более сильными окислителями, чем вода или ионы OH_3^+ . Таким более сильным окислительным действием, например, обладает азотная кислота. В отличие от многих других кислот она окисляет чаще всего не за счет иона OH_3^+ , а за счет аниона NO_3^- . Характер продуктов восстановления HNO_3 зависит от ее концентрации и активности простого вещества.

Элементы, у которых устойчива низкая степень окисления, при взаимодействии с HNO_3 образуют аквакомплексы:



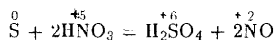


или

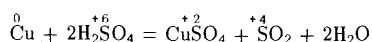


Если HNO_3 концентрированная, то обычно выделяется NO_2 , если разбавленная — NO .

Простые вещества элементов, для которых характерна высокая степень окисления, в результате взаимодействия с концентрированной HNO_3 обычно образуют кислородсодержащие кислоты. Азотная кислота при этом восстанавливается до NO :



Подобно азотной кислоте действует на простые вещества и концентрированная серная кислота, которая сама при этом восстанавливается чаще всего до SO_2 :

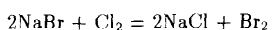


§ 3. ПОЛУЧЕНИЕ ПРОСТЫХ ВЕЩЕСТВ

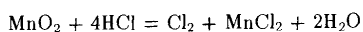
Подавляющее большинство химических элементов на Земле находится в виде соединений. Простое вещество из сложных можно получить окислением или восстановлением. Окислением получают простые вещества элементов, степени окисления которых в соединениях отрицательны, а восстановлением — простые вещества элементов, проявляющих в соединении положительные степени окисления.

Окислительно-восстановительные процессы можно осуществлять либо химическим, либо электрохимическим способом, а также термическим разложением соединений.

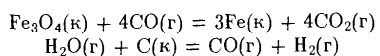
Химические методы получения простых веществ. Химическое окисление соединений применяется в технике для получения, например, простых веществ таких высокозелектроотрицательных элементов, как бром и иод:



В лаборатории этим методом получают хлор:

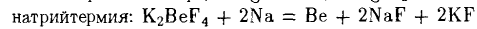
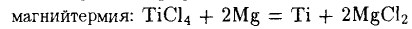
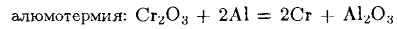


При химическом восстановлении в качестве восстановителя чаще всего применяют уголь или оксид углерода (II). Таким способом получают железо (в доменном процессе), водород и многие цветные металлы (олово, свинец, цинк и пр.):

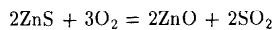


В качестве восстановителя применяют также водород. Восстановление исходного вещества водородом обеспечивает наибольшую чистоту получаемого простого вещества. Восстановление водородом используется, например, для получения вольфрама из WO_3 , очень чистого железа из его оксидов.

Широкое распространение получили металлотермические методы. В этих методах в качестве восстановителя используются активные металлы, такие, как алюминий, патрий, кальций и др. Ниже приведены некоторые примеры металлотермических реакций:



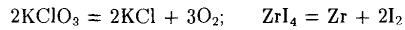
Чаще всего получение металлов сводится к восстановлению их оксидов, которые получают соответствующей обработкой природных руд. Если исходной рудой являются сульфидные минералы, то последние подвергают окислительному обжигу, например:



Одним из направлений в металлургии является так называемая хлорная металлургия. В этом методе руды подвергаются хлорированию и нужные элементы извлекаются из сырья в виде хлоридов. Хлориды разделяют и в дальнейшем подвергают восстановлению. Таким путем, в частности, получают титан и другие металлы.

Методы получения простых веществ, осуществляемые при высоких температурах, называют *пирометаллургическими*.

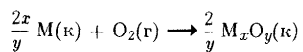
Окисление — восстановление осуществляется при термическом разложении соединений:



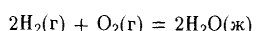
Для получения особо чистых веществ применяют **зонную плавку**. Вещество, например металл в виде - бруска, нагревают в сосуде с одного конца до плавления. Примеси лучше растворимы в расплаве, чем в твердом веществе, поэтому они концентрируются в расплаве. При медленном перемещении источника нагрева вдоль сосуда зона расплавленного металла вместе с примесями также смещается. Таким образом примеси концентрируются в конце бруска. Вышедший из зоны нагрева металл кристаллизуется. Конец бруска с примесями отрезают. Процесс расплавления и кристаллизации металла можно повторить и достичь еще более высокой степени очистки металла.

Выбор восстановителя. Выбор того или иного восстановителя для получения простого вещества определяется при сопоставлении значений энергии Гиббса образования соответствующих соединений. На рис. 130* приведены графики зависимости ΔG_f некоторых оксидов от температуры в соответствии с уравнением $\Delta C = \Delta H - T\Delta S$.

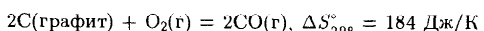
Для твердых оксидов линии ΔG с повышением температуры идут вверх, поскольку присоединение газообразного кислорода простым веществом сопровождается уменьшением объема и соответственно уменьшением энтропии:



Такой же характер изменения ΔG наблюдается для H_2O



поскольку в этом случае объем системы также уменьшается. Энергия Гиббса образования газообразного CO, наоборот, с повышением температуры уменьшается, так как окисление графита до CO сопровождается увеличением энтропии (увеличивается объем системы):



Последовательность расположения линий на рис. 130 соответствует повышению устойчивости оксидов по мере увеличения отрицательных значений их энергий Гиббса образования. Простое вещество, которое образует более устойчивый оксид, является поэтому потенциальным восстановителем для менее устойчивого оксида. Иначе говоря, оксид

*Зависимость ΔG от температуры на рис. 130 представлена в упрощенном виде. Здесь не учтены фазовые превращения — плавление и кипение простых веществ и оксидов.

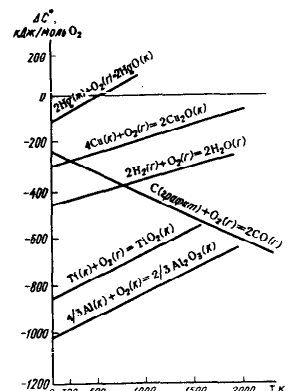
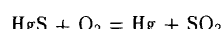


Рис. 130. Зависимость энергии Гиббса образования некоторых оксидов (в расчете на 1 моль O_2) от температуры

более отрицательным, чем для TiO_2 и H_2O .

Как видно из рис. 130, энергия Гиббса образования HgO при низких температурах имеет отрицательное значение, а при высоких — положительное. Следовательно, этот оксид может образоваться только при низких температурах, а при нагревании он распадается на простые вещества. Поэтому, в частности, при обжиге сульфидных руд оксид ртути не образуется, а металл выделяется в свободном состоянии, например:



Аналогичным образом можно сравнить значение ΔG для процессов окисления простых веществ серой, хлором и пр. и найти необходимые условия получения простых веществ восстановлением соответствующих хлоридов, сульфидов и пр. Ниже приведены реакции получения ванадия восстановлением его оксида и дихлорида с помощью водорода:





Оба процесса эндотермические. При повышении температуры энтропийный фактор для второй реакции становится благоприятнее (образуются 2 моль газа). Поэтому восстановление водородом галогенида ванадия (III) протекает значительно легче, чем восстановление его оксида.

Для окончательного выбора способа и условий получения простых веществ восстановлением соединений необходимо учесть влияние температуры на скорость реакции.

При промышленном производстве в выборе метода получения веществ решающим является его экономическая обоснованность. Так, несмотря на то что углерод (в виде кокса) может быть потенциальным восстановителем оксидов почти всех металлов, имеется ряд причин, препятствующих еще более широкому его использованию. Такими причинами являются высокая стоимость необходимого для протекания реакции нагрева, термическая неустойчивость футеровки печей, трудность подавления побочных реакций и пр. Если к веществу предъявляются повышенные требования по чистоте, дорогостоящей операцией оказывается часто последующая очистка полученного вещества.

Электрохимические методы получения простых веществ. Процессы электрохимического окисления и восстановления осуществляются на электродах при электролизе расплавов или растворов соединений. Электрохимическим (анодным) окислением получают фтор, хлор и кислород. Электрохимическим (катодным) восстановлением расплавов соответствующих соединений получают щелочные и щелочно-земельные металлы, алюминий и некоторые другие.

Электролизом растворов соединений можно получить водород и большинство *d*-металлов, таких, как Zn, Cu, Ni, Co и др. Электрохимическое восстановление используется также для рафинирования (очистки) "сырых" металлов (Cr, Ni, Zn, Ag, Sn), полученных другими способами. При электролитическом рафинировании в качестве анода используется "сырой" металл, в качестве электролита берется соответствующее соединение данного элемента.

Выбор режима электролиза производится исходя из значений электродного потенциала соответствующей реакции, осуществляемой на электродах.

Разделение простых веществ и отделение их от пустой породы. Разделение простых веществ, встречающихся в природе может осуществляться не только химическими, но и физическими и механическими методами.

Физические методы разделения основаны на различии физических свойств веществ, например на различии температур кипе-

ния, плавления и замерзания, на различной растворимости, на различии адсорбируемости и пр. Из физических методов применяют разделение фракционированной перегонкой, вымораживанием; методами абсорбции и адсорбции и пр.

Фракционированная перегонка, например, применяется для получения азота и кислорода из жидкого воздуха. Этот метод основан на различии температур кипения жидкого азота и кислорода: азот, имеющий более низкую температуру кипения, чем кислород, выкипает из жидкого воздуха в первую очередь, в результате чего происходит обогащение жидкого воздуха кислородом. При многократном сжижении и испарении жидкого воздуха можно получить чистые азот и кислород. Таким же способом получают из газовых смесей благородные газы.

Вымораживание применяют для выделения водорода и гелия из природных газовых смесей. При охлаждении этих смесей вещества переходят в жидкое и твердое состояния при различных температурах. Водород и гелий — вещества, кипящие при наиболее низких температурах, остаются в газовом состоянии.

Из механических методов можно назвать отделение промыванием водой золота и алмаза от пустой породы. В этом случае разделение основано на различной плотности получаемого вещества и пустой породы.

ГЛАВА 3. ДВУХЭЛЕМЕНТНЫЕ (БИНАРНЫЕ) СОЕДИНЕНИЯ

§ 1. ХАРАКТЕРИСТИКА БИНАРНЫХ СОЕДИНЕНИЙ ПО ТИПУ ХИМИЧЕСКОЙ СВЯЗИ

По типу химической связи бинарные соединения могут быть ионными, ковалентными, металлическими и со смешанным типом химической связи. В соответствии с закономерным развитием электронных структур атомов характер химической связи (а следовательно, структуры и свойств) однотипных соединений в периодах и группах периодической системы изменяется закономерно (рис. 131). На примере бинарных соединений элементов второго периода можно показать, что для любого из приведенных соединений степень полярности химической связи от I к VII группе постепенно уменьшается.

	Li	Be	B	C	N	O	F
Фториды	LiF	BeF ₂	BF ₃	CF ₄	NF ₃	OF ₂	(F ₂)
Оксиды	Li ₂ O	BeO	B ₂ O ₃	CO ₂	N ₂ O ₅	(O ₂)	—
Нитриды	Li ₃ N	Be ₃ N ₂	BN	C ₃ N ₄	(N ₂)	—	—

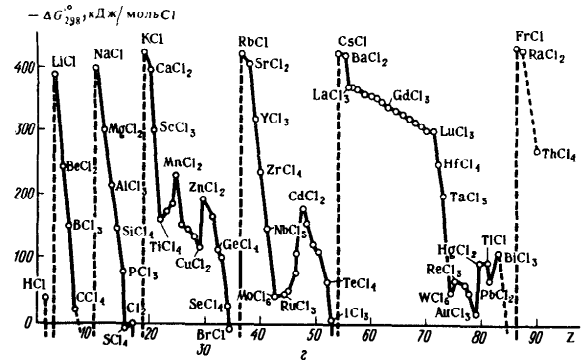
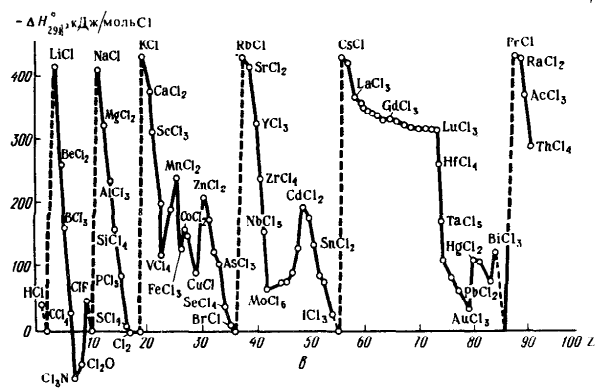
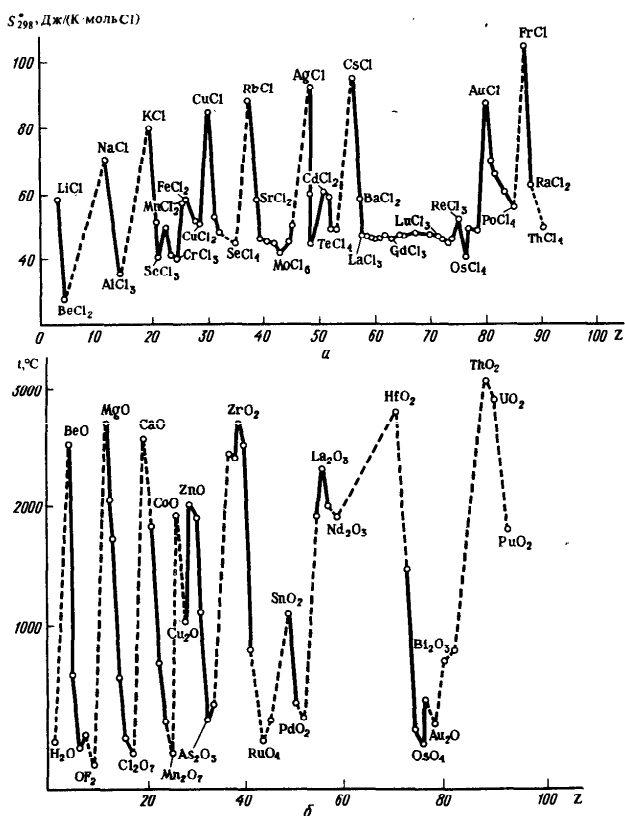


Рис. 131. Зависимость свойств бинарных соединений от атомного номера элемента с положительной степенью окисления:

α – стандартной энтропии кристаллических хлоридов; β – температуры плавления оксидов; γ – энталпии образования хлоридов; δ – энергий Гиббса образования хлоридов

Рис. 131. Продолжение.

Так, в ряду фторидов тип химической связи изменяется от ионного в LiF с последующим уменьшением степени полярности связи в BeF_2 , BF_3 , CF_4 , NF_3 и OF_2 до неполярного ковалентного во F_2 .

Об изменении типа химической связи в ряду оксидов можно судить по значениям эффективных зарядов кислорода в соединениях

	Li_2O	BeO	B_2O_3	CO_2	N_2O_5
Эффективный заряд δ					
на атоме кислорода . . .	0,80-	0,35-	0,24-	0,11-	0,05-

Химическая природа сильно-амфотер- слабо- средне- сильно- оксида основный ный кислотный кислотный кислотный

В главных подгруппах с увеличением атомного номера элемента степень ионности связи в однотипных соединениях обычно увеличивается, например:

	Li_2O	Na_2O	K_2O	Rb_2O	Cs_2O
Эффективный заряд на ато- ме кислорода	0,80-	0,81-	0,89-	0,92-	0,96-

В соответствии с изменением типа химической связи и структуры в свойствах бинарных соединений проявляется более или менее отчетливо выраженная периодичность. Об этом, например, свидетельствует ха-

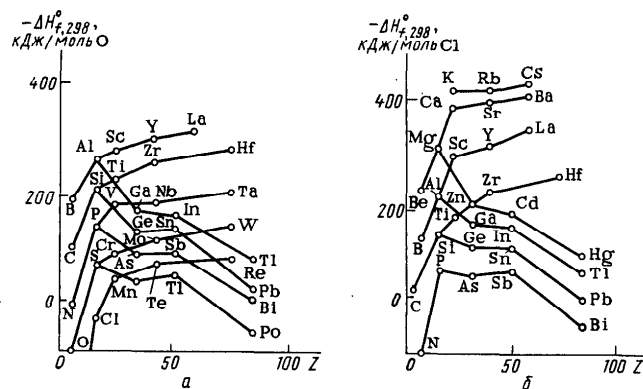
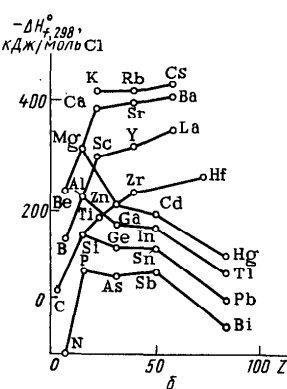


Рис. 132. Зависимость энталпии образования высших оксидов (а) и хлоридов (б) от атомного номера элемента с положительной степенью окисления



рактер изменения по периодам и группам стандартной энтропии, температуры плавления, энталпии и энергии Гиббса образования в зависимости от атомного номера элемента с положительной степенью окисления (см. рис. 131). В изменении параметров отчетливо проявляется также вторичная периодичность (рис. 132).

§ 2. СРАВНЕНИЕ УСТОЙЧИВОСТИ БИНАРНЫХ СОЕДИНЕНИЙ

В качестве меры сравнения стабильности соединений можно использовать энергию Гиббса образования соединений.

На рис. 131, 1 показана зависимость ΔG хлоридов ЭCl_n от атомного номера элемента Э . Как видим, значение энергии Гиббса образования в пределах каждого периода по мере роста атомного номера элемента Э становится все менее отрицательным. Следовательно, стабильность хлоридов в том же направлении уменьшается.

Примерно такой же характер изменения ΔG (в расчете на 1 моль атомов электроотрицательного элемента) имеет место в случае остальных галогенидов, оксидов, сульфидов, нитридов.

В ходе кривых для разных типов бинарных соединений, естественно, проявляются и различия. Так, максимальная стабильность у галогенидов и сульфидов приходится на s -элементы I группы, у оксидов — на s -элементы II группы. Далее, у s -элементов в целом наилучшие устойчивые фториды, хлориды устойчивее бромидов; в свою очередь бромиды устойчивее нитридов. Такая же разница в стабильности характерна для большинства p -элементов, но выражена менее резко. У d -элементов закономерности сложнее.

§ 3. ОСНОВНО-КИСЛОТНЫЕ СВОЙСТВА БИНАРНЫХ СОЕДИНЕНИЙ

В соответствии с изменением химической природы элемента закономерно изменяются и химические свойства соединений, в частности их основно-кислотная активность. Так, в случае оксидов в ряду $\text{Li}_2\text{O}-\text{BeO}-\text{B}_2\text{O}_3-\text{CO}_2-\text{N}_2\text{O}_5$ по мере уменьшения степени полярности связи (уменьшения отрицательного эффективного заряда атома кислорода δ) ослабляются основные и нарастают кислотные свойства: Li_2O — сильно основной оксид, BeO — амфотерный, а B_2O_3 , CO_2 и N_2O_5 — кислотные.

Как известно, при взаимодействии основного оксида с кислотным образуется соль:

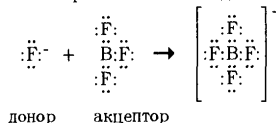


Аналогичным образом взаимодействуют между собой и другие однотипные бинарные соединения с резким различием в полярности связи:



В этих реакциях LiF и Li_2S (подобно Li_2O) играют роль основных соединений, а BF_3 и CS_2 (подобно CO_2) - роль кислотных соединений.

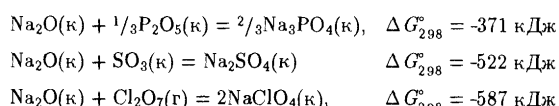
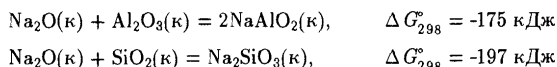
В приведенных реакциях соединения лития выступают в качестве доноров электронных пар - основных соединений, а соединения бора и углерода - в качестве акцепторов этих пар - кислотных соединений, например:



Как видим, химическая природа бинарных соединений обусловлена химической природой электроположительного элемента: соединения металлических элементов проявляют основные свойства, а неметаллических элементов — кислотные:

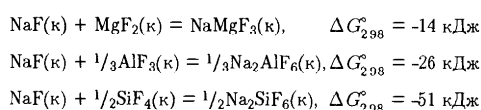
Li	Be	B	C	N	O	F
LiF	BeF_2	BF_3	CF_4	NF_3	OF_2	-
Li_2O	BeO	B_2O_3	CO_2	N_2O_5	-	-
Li_3N	Be_2N_2	BN	C_3N_4	-	-	-
основные амфотерные						
кислотные						

Для сравнения основно-кислотных свойств бинарных соединений можно воспользоваться данными по ΔG соответствующих химических реакций. Ниже приведены реакции взаимодействия оксидов элементов 3-го периода с оксидом натрия:

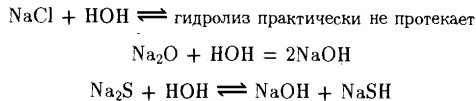


Как видно из значений ΔG химических реакций, в ряду $\text{Al}-\text{Si}-\text{P}-\text{S}-\text{Cl}$ по мере усиления неметаллических признаков элементов кислотные свойства их оксидов резко возрастают.

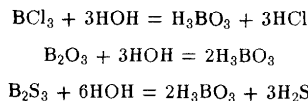
Аналогично можно показать, что в том же ряду элементов кислотные свойства возрастают и у других типов бинарных соединений, например:



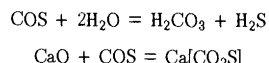
Соединения однотипных элементов проявляют общность свойств и при других реакциях, например при сольволизе (гидролизе), аммонолизе и пр. Так, бинарные соединения щелочных и щелочно-земельных металлов гидролизу практически не подвергаются или же дают при этом щелочную среду:



Наоборот, гидролиз бинарных соединений неметаллов протекает необратимо с образованием кислот:



Аналогично классифицируют соединения, в которых в качестве окислителей выступают два элемента, т.е. соединения типа оксид-галогенида, нитрид-галогенида, оксид-сульфида. Например, COS — оккосульфид углерода (IV) — кислотное соединение. Об этом свидетельствует его отношение к воде (при нагревании) и к основным соединениям:



§ 4. МЕТАЛЛИЧЕСКИЕ СОЕДИНЕНИЯ

Химическое взаимодействие металлов между собой, а также с неметаллами, если продукты их взаимодействия сохраняют металлические свойства, изучает один из разделов неорганической химии — *металлогидрии*.

Если расположить металлы в порядке усиления их химического взаимодействия друг с другом, то получится следующий ряд:

- а) не взаимодействующие друг с другом ни в жидком, ни в твердом состоянии;
- б) взаимно растворяющиеся в жидком состоянии, а в твердом состоянии образующие эвтектику;
- в) образующие друг с другом жидкие и твердые растворы любого состава;
- г) образующие между собой одно или несколько металлических соединений, называемых *металлидами*.

Металлические твердые растворы. Металлы характеризуются повышенной склонностью растворять металлы и в меньшей степени неметаллы. Эта способность — следствие предельной нелокализованности металлической связи. Вследствие дефицита электронов (см. рис. 72) валентная зона металлического кристалла может принимать некоторое число добавочных электронов, не вызывая изменения структуры и число металлических признаков кристалла. Например, в кристалле серебра, атомы которого имеют по одному валентному электрону, s^1 , электронная концентрация (отношение общего числа валентных электронов к общему числу атомов в кристалле) равна 1. Но она может возрастать до 1,4 за счет электронов, вносимых атомами других элементов.

Подобному увеличению электронной концентрации в валентной зоне до 40% соответствует предельная растворимость металлов в серебре; например, твердый раствор на основе серебра может содержать до 40 Cd(s^2), 20 In($s^2 p^1$), 13,3 Sn ($s^2 p^2$) или 10 Sb ($s^2 p^3$). (мол. доли, %):

Как видим, по мере увеличения числа валентных электронов растворимость металлов в серебре падает. В случае же растворения в серебре золота (один валентный электрон s^1) электронная концентрация не изменяется, поэтому золото и серебро растворяются друг в друге неограниченно.

Прибавление электронов сверх оптимального приводит к энергетической неустойчивости данного типа кристаллической структуры металла — растворитель и к возникновению структуры нового типа. Это уже свидетельствует о превращении твердого раствора в интерметаллическое соединение или при полном завершении валентной зоны — в соединение с ковалентной или ионной связью.

Образование энергетических зон возможно лишь при условии энергетического и пространственного соответствия перекрывающихся орбиталей (см. рис. 72). Поэтому растворимость веществ в металлах зависит не только от числа валентных электронов, но и от их типа (s , p , d или f) и энергетического состояния. Вследствие сложной взаимосвязи этих факторов в многоатомных системах рассчитать предельную растворимость приведенным выше путем для большинства случаев не представляется возможным.

Как уже указывалось, образованию твердых растворов благоприятствуют близость химических свойств атомных радиусов и типов кристаллической структуры исходных веществ (см. ч. 1, раздел III, гл. 1, § 7). Несоблюдение одного из этих условий приводит к тому, что твердые растворы между компонентами образуются лишь в ограниченных пределах концентраций или же не образуются вообще. Например, предельная растворимость ряда металлов в никеле ($d^8 s^2$, $r = 0,124$ нм) выражается в виде следующего ряда:

	Co	Fe	Mn	Cr	V	Ti	Sc	Ca	K
Валентные электроны ...									
Металлический радиус атома, нм	$d^8 s^2$	$d^6 s^2$	$d^5 s^2$	$d^5 s^1$	$d^3 s^2$	$s^2 d^2$	$d^1 s^2$	s^2	s^1
Растворимость, % (мол. доли).									
	100	100	100	50	43	15	?	Практически нерасторовимы	

Близкие по химическим свойствам и размерам атомов никель, кобальт, железо и марганец образуют друг с другом непрерывный ряд твердых растворов. В ряду Cr—V—Ti по мере увеличения различий в химических свойствах растворимость металлов в никеле падает. Кальций и калий, которые резко отличаются от никеля по свойствам и атомным размерам, твердых растворов с ним практически не образуют.

Металлические соединения. В противоположность твердым растворам интерметаллиды, как правило, имеют сложную кристаллическую структуру, отличную от структур исходных металлов. Свойства интерметаллидов также существенно отличаются от свойств исходных компонентов. Так, в обычных условиях интерметаллиды уступают чистым металлам по электрической проводимости и теплопроводности, но превосходят их по твердости и температуре плавления. Например:

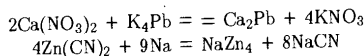
	Mg	β -Sn	Mg_2Sn
Т. пл., °С	650	232	778
Электрическая проводимость *	21	8	0,1
Ширина запрещенной зоны, эВ	—	—	0,34

Все это показывает, что интерметаллиды можно рассматривать как соединения с сочетанием разных типов химической связи (металлической, ковалентной и ионной). Относительная доля того или иного типа связи в разных металлидах меняется при этом в широких пределах.

Разнообразие типов химической связи и кристаллических структур обуславливает у металлидов широкий спектр физико-химических, электрических, магнитных, механических и других свойств. Так, их электрические свойства могут иногда изменяться от сверхпроводимости в жидком гелии до полупроводимости при обычных условиях.

Рис. 133. Кристаллическая решетка Cu₃Au (а) и взаимная координация атомов в кристалле (б)

но некоторые из них (подобно некоторым металлам) способны растворяться в неводных растворителях, в частности в жидким аммиаке. При этом они ведут себя как электролиты, т.е. при растворении дают ионы, вступают в реакции двойного обмена:

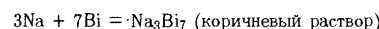
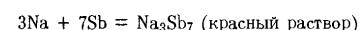
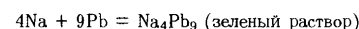


При электролизе растворов или расплавов интерметаллидов относительно более электроотрицательный металл выделяется на аноде, а более электроположительный — на катоде. Например, при электролизе аммиачного раствора

*Здесь и далее электрическая проводимость ртути принята за единицу.

278

Na_4Pb_9 на катоде выделяется натрий, на аноде — свинец. При электролизе расплава KNa_2 калий выделяется на катоде, натрий — на аноде. Наоборот, при взаимодействии металлов в неводных растворителях, например в жидком аммиаке, получаются металлиды:

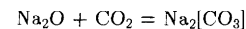
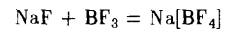


Сведения о составе и структуре металлидов обычно получают экспериментально. На рис. 133, а показана кристаллическая решетка Cu_3Au . Атомы золота занимают вершины куба, а атомы меди располагаются в центре граней. Следовательно, каждый атом золота находится в координации с 12 атомами меди, а каждый атом меди — с 4 атомами золота (рис. 133, б), что отвечает средней формуле Cu_3Au .

ГЛАВА 4. ТРЕХЭЛЕМЕНТНЫЕ СОЕДИНЕНИЯ

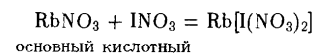
§ 1. ПРОИЗВОДНЫЕ АПИОННЫХ КОМПЛЕКСОВ

Как мы видели, при взаимодействии резко различных по химической природе бинарных соединений образуются новые химические соединения, среди которых наиболее просты по составу трехэлементные соединения:

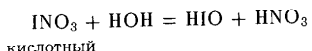


основный кислотный

По типу химической связи между их внутренней и внешней сферами эти соединения могут быть ионными, ионно-ковалентными и ковалентными. Если анионный комплекс достаточно устойчив, то рассматриваемые соединения по основно-кислотным свойствам подобны бинарным. Так, производные щелочных и щелочно-земельных металлов являются основными, а производные неметаллических элементов — кислотными. Сказанное подтверждается их сольволизом и реакциями взаимодействия производных анионных комплексов различной основно-кислотной природы, например:



$\text{RbNO}_3 + \text{HOH} = \text{гидролиз практически не идет}$
основный



На устойчивость производных анионных комплексов большое влияние оказывает природа ионов внешней сферы. Последние в большей или меньшей степени вызывают контрполяризацию (ослабление внутренних связей) анионного комплекса. При этом чем выше у атома склонность к образованию ковалентной связи (выше ЭО), тем его контрполяризующее действие, как правило, сильнее. В этом нетрудно убедиться, сопоставив температуры и значения ΔG_{298}° распада соответствующих соединений, например распада оксокарбонатов s-элементов II группы:



	Ba	Sr	Ca	Mg	Be
Электроотрицательность Э.	0,89	0,95	1,00	1,31	1,57
Карбонат	BaCO_3	SrCO_3	CaCO_3	MgCO_3	BeCO_3
Температура распада карбоната, °C	1300	1100	840	400	100
ΔG_{298}° распада карбоната, кДж/моль	216	183	130	65	-30

При нагревании MgCO_3 ($\Delta G = 65$ кДж/моль) распадается на MgO и CO_2 уже при 400 °C, тогда как распад BaCO_3 ($\Delta G = 216$ кДж/моль) на BaO и CO_2 становится заметным лишь при 1300 °C.

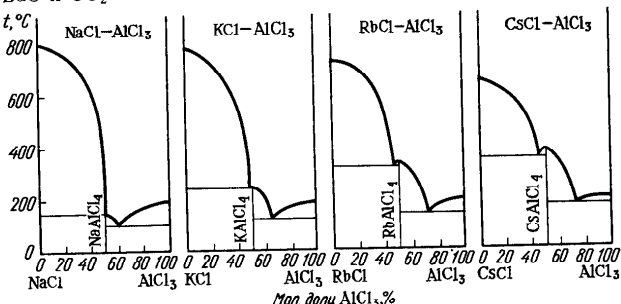
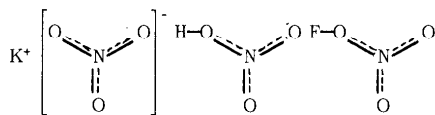


Рис. 134. Диаграмма плавкости систем $\text{MCl} - \text{AlCl}_3$

Влияние природы атомов внешней сферы на устойчивость соединений можно показать также на примере взаимодействия AlCl_3 с MCl . Как показывают диаграммы плавкости (рис. 134), в ряду $\text{NaCl} - \text{AlCl}_3$, $\text{KCl} - \text{AlCl}_3$, $\text{RbCl} - \text{AlCl}_3$, $\text{CsCl} - \text{AlCl}_3$ устойчивость соединений $\text{M}[\text{AlCl}_4]$ повышается. Это соответствует уменьшению контрполяризующего действия в ряду $\text{Na}^+ - \text{K}^+ - \text{Rb}^+ - \text{Cs}^+$, т.е. усилинию тенденции к образованию ионной связи.

Таким же образом можно объяснить уменьшение термической устойчивости по мере увеличения электроотрицательности атома внешней сферы в ряду $\text{KNO}_3 - \text{GNO}_3 - \text{FNO}_3$:



В KNO_3 ионы K^+ и NO_3^- изолированы друг от друга. В ковалентных HNO_3 и FNO_3 за счет образования связи $\text{H}-\text{O}$ и $\text{F}-\text{O}$ в ионе NO_3^- нарушается прежнее распределение электронной плотности (π -связывание), что приводит к снижению его устойчивости. Так, если ионное соединение KNO_3 разлагается лишь выше 400 °C, то ковалентное HNO_3 начинает заметно разлагаться уже при обычной температуре и освещении, а FNO_3 существует лишь при температурах ниже -5 °C.

Вследствие контрполяризующего действия внешней сферы катионные производные неметаллических элементов и сложных анионов весьма неустойчивы и известны для относительно слабо электроотрицательных элементов при низких степенях окисления I(II), I(III), Te(II), Sb(III).

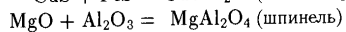
Подобным же образом объясняется хорошо известный факт меньшей устойчивости кислот со сложными кислотными остатками по сравнению с их солями. Можно напомнить, что, например, соли Na_2CO_3 , K_2CO_3 , KClO_3 , KBF_4 вполне устойчивы, тогда как однотипные соединения водорода H_2CO_3 , H_2SO_3 , HClO_3 , HBF_4 вследствие их неустойчивости в свободном состоянии не получены.

§ 2. СМЕШАННЫЕ СОЕДИНЕНИЯ, ТВЕРДЫЕ РАСТВОРЫ, ЭВТЕКТИКА

В зависимости от природы исходных соединений при их взаимодействии друг с другом возможны следующие варианты. Взаимодействие резко различных по химической природе соединений приводит к образованию новых химических соединений. Примеры такого взаимодействия были рассмотрены выше.

По мере уменьшения различий в химической природе взаимодействующих соединений возможности образования комплексных анионов уменьшаются, поэтому возникают уже либо смешанные соединения, твердые растворы, или эвтектика.

Смешанные соединения получаются при взаимодействии соединений элементов, в равной мере склонных к комплексообразованию, например



смешанное
соединение

Смешанные соединения — это полимеры, в которых атомы обоих электроположительных элементов играют роль комплексообразователей, т.е. с химической точки зрения равнозначны. Так, если кристалл KBF_4 имеет островную структуру и в нем можно выделить ионы K^+ и BF_4^- , то смешанное соединение CuFeS_2 (*халькопирит*) — координационный полимер. В его кристаллической решетке атомы Cu и Fe заключены в тетраэдры из атомов серы — структурные единицы CuS_4 и FeS_4 (рис. 135), т.е. халькопирит CuFeS_2 — смешанный сульфид меди (II) и железа (II).

MgAl_2O_4 (*шпинель*) — смешанный оксид магния (II) и алюминия (III), также координационный полимер. Его кристаллы образованы тетраэдрическими MgO_4 и октаэдрическими AlO_6 структурными единицами. Аналогичны по структуре соединения состава $\overset{+2}{\text{M}}(\overset{+3}{\text{MO}}_2)_2$, где $\overset{+2}{\text{M}}=\text{Mg}$, Mn , Fe , Co , Ni ; $\overset{+3}{\text{M}}=\text{Al}$, Cr .

Кроме структуры типа халькопирита и шпинели для смешанных соединений (смешанных оксидов, сульфидов, галогенидов, нитридов и др.) весьма характерны структурные типы ильменита, перовскита и пр. (см. рис. 70).

Если электроположительные элементы взаимодействующих соединений способны образовывать близкие по строению, размеру и устойчивости структурные единицы, то получаются твердые растворы замещения:

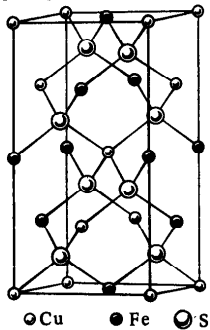
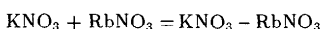


Рис. 135. Кристаллическая решетка халькопирита CuFeS_2

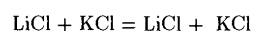


твердый раствор



твердый раствор

Соединения элементов, близких по химическим свойствам, но различающихся строением и размерами атомов (ионов), химически не взаимодействуют, а дают механическую смесь кристаллов — эвтектику. Например, эвтектическая смесь образуется при совместной кристаллизации KCl ($r_{\text{K}^+} = 0,133$ нм) и LiCl ($r_{\text{Li}^+} = 0,068$ нм):



эвтектика

Влияние природы взаимодействующих соединений на характер образующихся продуктов можно проиллюстрировать диаграммами плавкости соответствующих систем (рис. 136). Так, в системе химически близких и одинаковых по структуре соединений соседних элементов периодической системы $\text{MnCl}_2-\text{FeCl}_2$ образуется твердый раствор, тогда как в системе соединений, довольно близких по химической природе, но существенно различных по структуре $\text{FeCl}_2-\text{CuCl}_2$ (FeCl_2 — слоистая структура, CuCl_2 — цепная структура), возникает эвтектика. И наконец, в системе резко различных по химической природе соединений $\text{KCl}-\text{FeCl}_2$ возникают новые химические соединения.

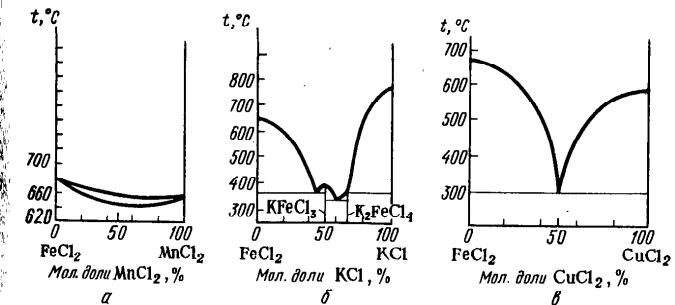


Рис. 136. Диаграммы плавкости систем:

а — твердый раствор; б — с химическим соединением; в — с эвтектикой

ГЛАВА 5. НЕСТЕХИОМЕТРИЧЕСКИЕ СОЕДИНЕНИЯ

§ 1. СОЕДИНЕНИЯ ПЕРЕМЕННОГО СОСТАВА

В начале XIX в. Пруст в споре с Бертолле высказал утверждение, что вещество, независимо от способов получения, обладает одним и тем же составом. Это утверждение стало основным законом — *законом постоянства состава*. На основании данных о составе вещества строилась его химическая формула с постоянным количественным соотношением элементов (CO_2 , H_2O , CH_4). Поэтому соединения постоянного состава были названы *стехиометрическими соединениями**. Закон постоянства состава и стехиометричность соединений долгое время считались незыблемыми. Однако в начале XX в. Н.С. Курнаков на основании своих исследований пришел к выводу о существовании нестехиометрических соединений, т.е. характеризующихся переменным составом. Он отмечал, что было бы ошибкой считать соединения постоянного состава... чем-то редким и исключительным. Соединения постоянного состава Н.С. Курнаков назвал *дальтонидами* в честь Дальтона, широко применявшего атомно-молекулярную теорию к химическим явлениям. Нестехиометрические соединения были названы в честь Бертолле *бертолидами*.

Соединениями постоянного состава являются вещества молекулярного строения, поскольку состав молекул однозначно определяется строением их образующих атомов. Если же кристаллическое вещество имеет атомное или ионное строение, то оно характеризуется более или менее переменным составом. Причиной этого являются точечные дефекты в кристалле. В реальном кристалле возможны дефекты двух типов. Рассмотрим кристалл двухэлементного соединения AB. В идеальном случае в кристалле заняты все узлы кристаллической решетки атомами (ионами) A и B (рис. 137, а). В реальном же кристалле, отвечающие могут быть не заняты узлы кристаллической решетки, отвечающие атому (иону) A или атому (иону) B (рис. 137, б) или того или другого. Кроме того, в междоузлиях решетки могут располагаться избыточные атомы (ионы) A и (или) B (рис. 137, в).

Рассмотрим некоторые примеры. Отчетливо нестехиометрическими соединениями являются оксид и сульфид железа (II). Оксид железа (II) имеет структуру типа хлорида натрия и его идеализированная формула $\text{Fe}_0.89\text{O}$ до $\text{Fe}_{0.95}\text{O}$. Реальное же соединение имеет состав от $\text{Fe}_{0.89}\text{O}$ до $\text{Fe}_{0.95}\text{O}$. Вещество, точно отвечающее формуле Fe_0O , вообще неустойчиво.

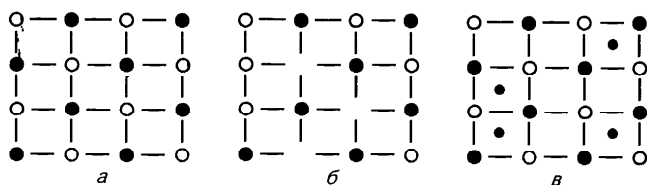


Рис. 137. Дефекты кристаллической решетки соединения AB:

а — идеальная решетка; б — решетка с недостатком атомов B; в — решетка с избытком атомов A

во может быть получено лишь в особых условиях. Такие соединения Н.С. Курнаков называл *минимиами*.

Сульфид железа (II) FeS на самом деле имеет состав Fe_{1-x}S , т.е. соединение имеет недостаток x атомов Fe и его состав близок к формуле Fe_6S_7 .

В представлении ионной модели избыток отрицательного заряда в кристаллах Fe_{1-x}O , Fe_{1-x}S (x — дефицит катионов) компенсируется превращением ионов Fe^{2+} в ионы Fe^{3+} . Чтобы сохранилась электронейтральность, на каждую вакансию иона Fe^{2+} должно приходить два иона Fe^{3+} (рис. 138, а).

В кристаллах с дефицитом анионов анионные ваканции могут занимать электроны и тем самым компенсировать избыток положительного заряда. Обсудим следующий экспериментальный факт. При нагревании в парах натрия кристаллы NaCl становятся желтого цвета. Это можно объяснить следующим образом. При растворении в кристалле NaCl атомы натрия ионизируются

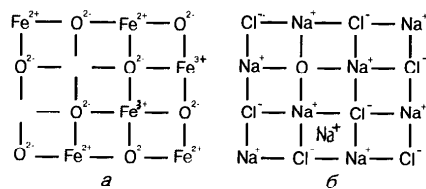


Рис. 138. Катионный дефект в кристалле FeO (а) и анионный дефект в кристалле NaCl , легированном натрием (б)

*Стехиометрия — от греч. *stoicheion* — основание, элемент и *metreia* — мерю.

Ион Na^+ занимает катионный узел, а электрон — анионный узел (рис. 138, б). За счет возбуждения электронов эта система поглощает свет в видимой части спектра: кристалл приобретает окраску.

Состав оксида титана (II) отвечает формула $\text{Ti}_{0,85}\text{O}_{0,85}$. Это означает, что из каждого из семи мест одно, предназначено для атомов обоих видов, всегда пустует. Поскольку вакансии распределены в произвольном порядке, структура остается кубической (типа NaCl) во всем интервале составов.

Составы, укладывающиеся внутри граничных значений нарушения стехиометрического состава, называются *областью гомогенности*. Есть соединения с широкой областью гомогенности, например, состав оксида титана (II) TiO изменяется от $\text{Ti}_{0,7}\text{O}$ до $\text{TiO}_{1,3}$, а состав сульфида свинца (II) PbS имеет весьма узкую область гомогенности: от $\text{Pb}_{0,9995}\text{S}$ до $\text{PbS}_{0,9995}$. Кристаллическая решетка карбида титана (типа NaCl) сохраняется, если в ней недостает даже 40% атомов углерода; состав карбида титана может изменяться от $\text{TiC}_{0,6}$ до TiC .

Среди неорганических веществ почти 95% не имеют молекулярного строения и, следовательно, являются нестехиометрическими соединениями. Часто отклонения от стехиометрического состава так невелики, что при химическом анализе их установить не удается. (Этим-то объясняется, что закон постоянства состава считали справедливым на протяжении столь долгого времени.) Однако исследование свойств веществ, например, электрической проводимости, окраски, магнитных и других свойств, вынуждает признать наличие переменного состава.

Наиболее отчетливо переменный состав проявляется у соединений *d*-элементов — оксидов, сульфидов, нитридов, карбидов, гидридов и др.

Соединения переменного состава, как правило, обладают интенсивной окраской, проявляют металлические или полупроводниковые свойства. По сравнению с соединениями постоянного состава у них большая реакционная способность и катализическая активность.

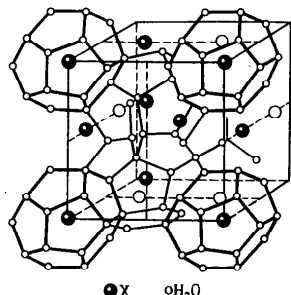
Процесс образования дефектов кристаллической решетки, конечно, эндотермический, и как всякое разупорядочение сопровождается возрастанием энтропии ($\Delta S > 0$). Поэтому в согласии с $\Delta G = \Delta H - T\Delta S$ при любой температуре, отличной от абсолютного нуля ($T > 0$ К), в реальном кристалле должны существовать дефектные позиции или вакансии. Полное структурное упорядочение может реализоваться лишь при абсолютном нуле (0 К).

§ 2. СОЕДИНЕНИЯ ВКЛЮЧЕНИЯ

Своеобразными упорядоченными твердыми растворами внедрения типа соль — лед являются некоторые кристаллогидраты с большим числом молекул воды, например $\text{Na}_2\text{SO}_4 \cdot 10\text{H}_2\text{O}$, $\text{Na}_2\text{CO}_3 \cdot 10\text{H}_2\text{O}$ (тектогидраты). Они имеют структуру льда, которая стабилизируется за счет стягивающего действия электростатически взаимодействующих ионов противоположного знака. Вследствие этого температура плавления тектогидратов намного превышает температуру плавления льда.

К тектогидратам приближаются так называемые *соединения включения*, т.е. системы, образовавшиеся в результате обратимого внедрения молекул одного вещества ("гостя") в свободные полости кристалла другого вещества ("хозяина"). В соединениях включения межмолекулярное взаимодействие молекул "гостя" с составными частями кристалла играет второстепенную роль.

Соединения включения называют также *клатратами* или просто *клатратами*. К клатратам, например, относятся так называемые *гидраты газов*, которые образуются за счет включения в междоузельные пространства кристалла льда молекул Cl_2 , CH_4 , H_2S , Ar , Xe , SO_2 или др. В одной из модификаций льда на 46 молекул воды приходится 8 свободных полостей; отсюда средний состав таких кристаллогидратов клатратного типа $X \cdot 5,75\text{H}_2\text{O}$ или округленно Рис. 139. Строение клатрата со $X \cdot 6\text{H}_2\text{O}$ (X — молекула "гостя"). Тава $X \cdot 5,75\text{H}_2\text{O}$



Строение газового гидрата этого состава показано на рис. 139. Встречаются также гидраты газов состава $X \cdot 7,75\text{H}_2\text{O}$ ($X \cdot 8\text{H}_2\text{O}$).

Газовые гидраты — твердые кристаллические вещества, напоминающие по внешнему виду снег или рыхлый лед. Первым был получен гидрат хлора $\text{Cl}_2 \cdot 6\text{H}_2\text{O}$ (Дэви, 1811) при охлаждении насыщенного хлором водного раствора до 9°С.

Большой теоретический и практический интерес представляют газовые клатраты. Ряд процессов нефтедобывающей, газовой и нефтехимической промышленности сопровождается образованием углеводородных гидратов, забивающих трубопроводы и аппаратуру. Для предотвращения этого необходимо

мо знать условия образования гидратов (температуру, давление и другие параметры) при различных составах газовой фазы.

Образование и затем разрушение газовых клатратов используются, например, для разделения газов (углеводородов, благородных газов), соединений изомеров, для опреснения морской воды. Клатраты используются как удобная форма хранения газов — 1 объем клатрата может содержать до 200 объемов газа.

Опреснение морской воды основано на высокой стабильности углеводородных газовых клатратов. Нагнетанием газа в соленую воду (при температуре 1,1 — 24 °С и давлении 0,4 — 7 МПа) получают твердые углеводородные кратраты. Например, кристаллогидраты пропана образуются при 1,7 °С и 0,4 МПа. Затем кристаллы кратратов выделяют, промывают и разлагают при температуре 7,2 °С и давлении 0,5 МПа. При этом получается опресненная вода; высвободившийся пропан снова используется для образования кратрата. Процесс опреснения морской воды этим методом высоко экономичен.

Кратраты в природе часто выполняют роль естественного хранилища газов. Так, в районах вечной мерзлоты обнаружены на значительной глубине в недрах земли твердые газовые гидраты метана — важный источник ценного сырья.

Раздел II Химия *s*- и *p*-элементов

s- и *p*-Элементы — это элементы главных подгрупп периодической системы Д.И. Менделеева. Каждый период системы начинается двумя *s*-элементами, а шесть его последних элементов (кроме 1-го периода) — это *p*-элементы.

ГЛАВА 1. ОБЩИЕ ЗАКОНОМЕРНОСТИ

§ 1. ВНУТРЕННЯЯ И ВТОРИЧНАЯ ПЕРИОДИЧНОСТЬ

У *s*- и *p*-элементов валентными являются электроны и орбитали внешнего слоя атома. Число внешних электронов равно номеру группы, в которой находится элемент (кроме Н и Не):

Группа	I	II	III	IV	V	VI	VII	VIII
Электронная конфигурация валентного слоя атома	s^1	s^2	$s^2 p^1$	$s^2 p^2$	$s^2 p^3$	$s^2 p^4$	$s^2 p^5$	$s^2 p^6$

В периодах и группах характер изменения атомных радиусов, энергии ионизации и сродства к электрону атомов был показан на рис. 16, 12 и 13. Как видно из этих рисунков, орбитальные радиусы атомов с увеличением атомного номера элемента в периоде уменьшаются, а энергия ионизации в общем возрастает.

В подгруппах элементов с возрастанием атомного номера элемента (увеличение числа электронных слоев) размеры атомов в общем увеличиваются, а энергия ионизации уменьшается. Характер изменения сродства к электрону (см. рис. 13) в периодах и подгруппах *s*- и *p*-элементов противоположен. Из рис. 13 следует, что электроотрицательность элементов при переходе в периоде от I к VII группе увели-

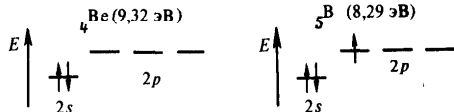
чивается, а в подгруппах сверху вниз уменьшается. Таковы общие тенденции изменения рассматриваемых констант.

В характере изменения свойств элементов по периоду проявляется *внутренняя* периодичность, а по подгруппе — *вторичная* периодичность.

Так, при переходе от *s*-элемента I группы к *p*-элементу VIII группы на кривой энергии ионизации атомов (рис. 140) и кривой изменения их радиусов (см. рис. 15, 16) имеются внутренние максимумы и минимумы. Это свидетельствует о внутреннепериодическом характере изменения этих свойств по периоду. Объяснение отмеченных закономерностей можно дать с помощью представления об *экранировании ядра*.

Эффект экранирования ядра обусловлен электронами внутренних слоев, которые, заслоняя ядро, ослабляют притяжение к нему

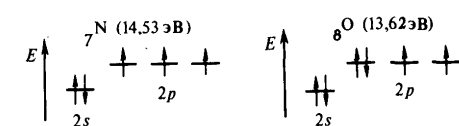
внешнего электрона. Так, при переходе от бериллия ${}^4\text{Be}$ к бору ${}^5\text{B}$, несмотря на увеличение заряда ядра, энергия ионизации атомов уменьшается:



Это объясняется тем, что притяжение к ядру $2p$ -электрона атома бора ослаблено за счет экранирующего действия $2s$ -электронов.

Понятно, что экранирование ядра возрастает с увеличением числа внутренних электронных слоев. Поэтому в подгруппах *s*- и *p*-элементов наблюдается тенденция к уменьшению энергии ионизации атомов (см. рис. 15, 140).

Уменьшение энергии ионизации от азота ${}^7\text{N}$ к кислороду ${}^8\text{O}$ (см. рис. 140) объясняется взаимным отталкиванием двух электронов одной и той же орбитали:



Эффектом экранирования и взаимного отталкивания электронов одной орбитали объясняется также внутреннепериодический характер изменения по периоду атомных радиусов (см. рис. 15) и тенденция к увеличению в подгруппе радиусов атомов.

В характере изменения свойств *s*- и *p*-элементов в подгруппах отчетливо наблюдается вторичная периодичность (см. рис. 16, 132). Для ее объяснения привлекается представление о *проникновении электронов к ядру*. Как было показано на рис. 9, электрон любой орбитали определенное время находится в области, близкой к ядру. Иными словами, внешние электроны проникают к ядру через слои внутренних электронов (рис. 141). Так, внешний $3s$ -электрон атома натрия обладает весьма значительной вероятностью находиться вблизи ядра. Концентрация электронной плотности (степень проникновения электронов) при одном и том же главном квантовом числе наибольшая для *s*-электрона, меньше — для *p*-электрона, еще меньше для *d*-электрона и т.д. Например, при $n = 3$ степень проникновения убывает в последовательности $3s > 3p > 3d$.

Понятно, что эффект проникновения увеличивает прочность связи внешних электронов с ядром. Этим, в частности, определяется порядок

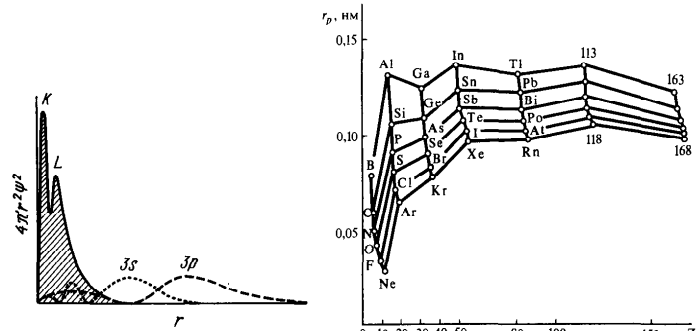


Рис. 141. Радиальное распределение электронной плотности в атоме натрия

Рис. 142. Вторичнопериодическая зависимость радиусов внешних *p*-орбиталей от атомного номера *p*-элемента

док заполнения в многоэлектронных атомах s -, p -, d -, f -орбиталей при данном n . Вследствие более глубокого проникновения s -электроны в большей степени экранируют ядро, чем p -электроны, а последние — сильнее, чем d -электроны, и т.д.

Пользуясь представлением о проникновении электронов к ядру, рассмотрим характер изменения радиуса атомов элементов в подгруппе углерода. В ряду C—Si—Ge—Sn—Pb проявляется общая тенденция увеличения радиуса атома (рис. 142). Однако это увеличение имеет немонотонный характер. При переходе от Si к Ge внешние p -электроны проникают через экран из десяти $3d$ -электронов и тем самым упаковывают связь с ядром и сжимают электронную оболочку атома. Уменьшение размера $6p$ -орбитали Pb по сравнению с $5p$ -орбиталью Sn обусловлено проникновением $6p$ -электронов под двойной экран десяти $5d$ -электронов и четырнадцати $4f$ -электронов.

Этим же объясняется немонотонность в изменении энергии ионизации атомов в ряду C—Pb и большее значение ее для Pb по сравнению с атомом Sn (см. рис. 140).

§ 2. СТЕПЕНИ ОКИСЛЕНИЯ s - И p -ЭЛЕМЕНТОВ

О немонотонном характере изменения свойств в главных подгруппах свидетельствует, например, характер изменения энергетического различия внешних s - и p -орбиталей (табл. 29), степеней окисления (табл. 30) и координационных чисел (табл. 31) s - и p -элементов в зависимости от их атомного номера.

У атомов s - и p -элементов валентными являются электроны внешнего слоя. При участии в образовании связей всех валентных электронов элемент проявляет высшую степень окисления, которая численно равна номеру его группы в периодической системе. Энергетически относительно более стабильны соединения, в которых элементы нечетных групп проявляют нечетные степени окисления, а элементы четных групп — четные степени окисления (табл. 31):

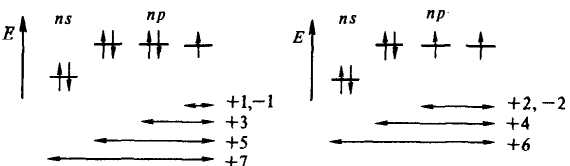


Таблица 29. Энергетическое различие (эВ) внешних s - и p -орбиталей атомов элементов главных подгрупп

Период	Группа							
	I	II	III	IV	V	VI	VII	VIII
2	Li	Be	B	C	N	O	F	Ne
	1,9	2,8	4,6	5,3	6,0	14,9	20,4	26,8
3	Na	Mg	Al	Si	P	S	Cl	Ar
	2,1	2,7	4,5	5,2	5,6	9,8	11,6	13,5
4	K	Ca	Ga	Ge	As	Se	Br	Kr
	-	-	5,9	6,7	6,8	10,4	12,0	13,2
5		In	Sn	Sb	Te	I	Xe	
		5,2	5,8	6,6	8,8	10,1	-	
6		Tl	Pb	Bi	Po	At	Rn	
		(7)	(9)	(10)	(12)	(16)	-	

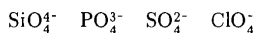
Таблица 30. Степени окисления s - и p -элементов

Характеристика элемента	Группа							
	I	II	III	IV	V	VI	VII	VIII
Валентные электроны	s^1	s^2	$s^2 p^1$	$s^2 p^2$	$s^2 p^3$	$s^2 p^4$	$s^2 p^5$	$s^2 p^6$
Элемент	Li	Be	B	C	N	O	F	Ne
Степени окисления	1	2	3	4, 2	5, 3	2	-	-
Элемент	Na	Mg	Al	Si	P	S	Cl	Ar
Степени окисления	1	2	3	4, 2	5, 3	6, 4	1, 3, 5, 7	-
Элемент	K	Ca	Ga	Ge	As	Se	Br	Kr
Степени окисления	1	2	3	4, 2	5, 3	6, 4	1, 3, 5, 7	2, 4
Элемент	Rb	Sr	In	Sn	Sb	Te	I	Xe
Степени окисления	1	2	3	4, 2	5, 3	6, 4	1, 3, 5, 7	2, 4, 6, 8
Элемент	Cs	Ba	Tl	Pb	Bi	Po	At	Rn
Степени окисления	1	2	1, 3	2, 4	3, 5	4, 6	5, 7	(2, 4, 6, 8)

Таблица 31. Фторо- и оксокомплексы некоторых элементов

Период	Группа							Координационное число центрального атома
	II	III	IV	V	VI	VII	VIII	
2	BeF_4^{2-}	BF_4^-	CF_4^0	NF_4^+				4
3		AlF_6^{3-}	SiF_6^{2-}	PF_6^-	SF_6^0	ClF_6^+		6
4		GaF_6^{3-}	GeF_6^{2-}	AsF_6^-	SeF_6^0			6
2		BO_3^{3-}	CO_3^{2-}	NO_3^-				3
3			SiO_4^{4-}	PO_4^{3-}	SO_4^{2-}	ClO_4^-		4
4			GeO_4^{4-}	AsO_4^{3-}	SeO_4^{2-}	BrO_4^-		4
5			SnO_6^{8-}	SbO_6^{7-}	TeO_6^{6-}	IO_6^{5-}	XeO_6^{4-}	6

При переходе от I к VIII группе высшая степень окисления элементов главных подгрупп становится все менее устойчивой. Это можно объяснить увеличением при переходе от I к VIII группе энергетического различия между *s*- и *p*-орбиталами внешнего слоя атома, а следовательно, уменьшением возможности участия в образовании химической связи *ns*²-электронов. Так, резкое увеличение энергетического различия между 3*s*- и 3*p*-орбиталями в ряду Si (5,2 эВ) — P (5,6 эВ) — S (9,8 эВ) — Cl (11,6 эВ) приводит к резкому уменьшению устойчивости образуемых ими оксоионов:



В характере изменения энергетического различия *ns*- и *np*-орбиталяй в подгруппе проявляется явно выраженная вторичная периодичность. Как видно из табл. 29, энергетическая разность между *ns*- и *np*-уровнями для элементов 4-го периода выше, чем для элементов 3-го и 5-го периодов. Следовательно, соединения, отвечающие высшей степени окисления у 3*p*- и 5*p*-элементов, должны быть устойчивее, чем у 4*p*-элементов. Сказанное объясняет экспериментально установленные ряды устойчивости типа



Особенно велико различие между энергиями 6*s*- и 6*p*-орбиталяй (рис. 143). Этим объясняется тот факт, что для *p*-элементов 6-го периода высшая степень окисления неустойчива. Поскольку 6*s*²-электроны *p*-элементов 6-го периода принимают участие в химической связи с большим трудом, этот эффект получил название "эффект инертной 6*s*-пары".

Как видно из рис. 143, средняя энергия связей в гексафторидах *p*-элементов VI группы с увеличением атомного номера элемента изменяется в обратной последовательности к изменению энергетического различия *ns*- и *np*-орбиталяй (см. табл. 29).

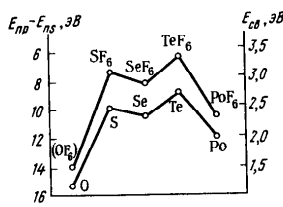


Рис. 143. Энергетическое различие *s*- и *p*-уровней атомов *p*-элементов VI группы и средняя энергия связи в молекулах их гексафторидов

§ 3. КООРДИНАЦИОННЫЕ ЧИСЛА *s*-И *p*-ЭЛЕМЕНТОВ

Валентными у *s*- и *p*-элементов являются орбитали внешнего энергетического уровня, т.е. одна *ns*- и три *np*-орбитали. У элементов 3-го и последующего периодов, правда, имеются вакантные *nd*-орбитали. Однако, как показывают расчеты, эти орбитали энергетически лежат столь высоко, что возможность их участия в образовании связей весьма незначительна.

Рассмотрим энергетическую диаграмму октаэдрической молекулы гексафторида серы SF₆ (рис. 144). Она показывает, что связи в этой молекуле образуются за счет одной 3*s*- и трех 3*p*-орбиталей атома серы и шести 2*p*-орбиталей шести атомов фтора. По энергетическим условиям 3*d*-орбитали атома серы в образовании молекулярных орбиталей участия практически не принимают. Двенадцать валентных электронов молекулы SF₆ располагаются на четырех связывающих и двух несвязывающих орбиталях:



Для объяснения строения и свойств *p*-элементов в настоящее время широко применяются представления о двух- и трехцентровых орбиталях. Двухцентровая двухэлектронная связь образуется за счет непарных

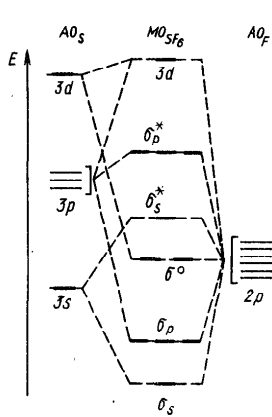


Рис. 144. Энергетическая диаграмма орбиталей октаэдрической молекулы SF₆

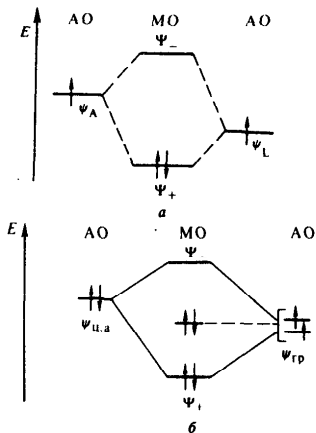


Рис. 145. Энергетическая диаграмма орбиталей для двухцентрового (а) и трехцентрового четырехэлектронного взаимодействия (б)

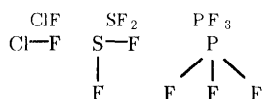
нных электронов центрального атома (A) и лиганда (L). Напомним, что это отвечает образованию двухцентровых связывающей

$$\Psi_+ \cong \psi_A + \psi_L$$

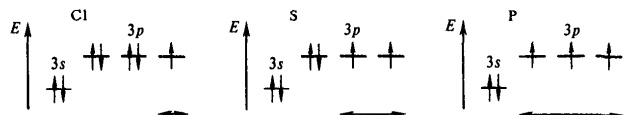
и разрыхляющей

$$\Psi_- \cong \psi_A - \psi_L$$

молекулярных орбиталей. При этом пара электронов занимает связывающую орбиталь, а разрыхляющая орбиталь вакантна (рис. 145, а). Так объясняется, например, образование связей в молекулах



за счет участия одного электрона хлора, двух электронов серы и трех электронов фосфора:



Трехцентровая четырехэлектронная связь возникает за счет электронной пары центрального атома и двух непарных электронов двух лигандов, расположенных по одной линии. Согласно теории MO это отвечает образованию трех молекулярных орбиталей. Одна из этих орбиталей трехцентровая связывающая:

$$\Psi_+ \cong \psi_{\text{Ц},a} + \psi_{\text{тр}}$$

другая — двухцентровая несвязывающая:

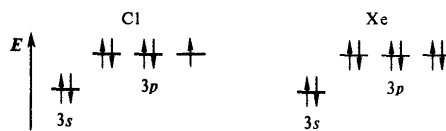
$$\Psi \cong \psi_{\text{тр}}$$

и третья — трехцентровая разрыхляющая:

$$\Psi_- \cong \psi_{\text{Ц},a} - \psi_{\text{тр}}.$$

Четыре электрона такой связи распределяются на связывающей и несвязывающей орбиталах (рис. 145, б). Этим обеспечивается устойчивость трехцентровой четырехэлектронной связи.

Трехцентровая четырехэлектронная связь получила название *ипервалентной*. Представление о гипервалентной связи используют для объяснения строения и образования соединений, в которых координационное число *p*-элемента (V—VIII группы) больше числа его непарных электронов; например, у хлора и ксенона есть соединения ClF₃ и ClF₅; XeF₂, XeF₄, и XeF₆, тогда как у хлора всего лишь один непарный электрон, а у ксенона непарных электронов вообще нет:



Рассмотрим молекулу трифторида хлора. Согласно изложенным выше представлениям одна из связей в молекуле двухцентровая двухэлектронная (как и в ClF), а другая трехцентровая четырехэлектронная. Для образования последней атом хлора предоставляет одну из 3p-электронных пар. Поскольку *p*-орбитали расположены в атоме взаимно перпендикулярно, молекула ClF₃ имеет Т-образную форму (рис. 146).

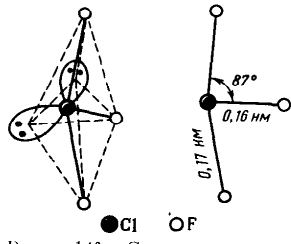


Рис. 146. Строение молекулы ClF_3

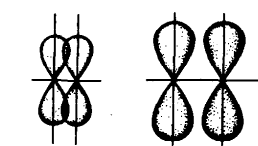


Рис. 147. Влияние межъядерного расстояния на степень перекрывания $p\pi-p\pi$ -связей

В результате взаимного отталкивания электронов валентный угол FClF несколько меньше 90° . Расстояние ClF при двухцентровом взаимодействии короче ($0,16 \text{ нм}$), чем при трехцентровом ($0,17 \text{ нм}$). Понятно, что связи ClF при двухцентровом взаимодействии прочнее (251 кДж/моль), чем при трехцентровом (174 кДж/моль).

Пространственная конфигурация молекулы ClF_3 находится в полном соглашении с моделью локализованных электронных пар (см. табл. 9). В молекуле ClF_3 три электронные пары участвуют в связи (одна пара за счет двухцентрового взаимодействия, две пары — за счет трехцентрового взаимодействия) и две пары остаются неподеленными при атоме хлора. Взаимное отталкивание пяти электронных пар отвечает расположению их в вершинах тривиальной пирамиды (см. рис. 51).

Рассуждая аналогично, можно показать, что молекула ClF_5 образована за счет ковалентной и двух гипervalентных связей. Форма молекулы — квадратная пирамида (см. рис. 51).

Четырехэлектронные трехцентровые связи менее прочны, чем двухэлектронные двухцентровые, — сказывается взаимное отталкивание электронных пар.

Образование гипervalентной связи отвечает перетеканию электронной плотности от центрального атома (донор) на лиганды (акцептор) (см. рис. 145, б). Поэтому в роли лигандов эффективнее всего выступают наиболее электроотрицательные атомы (фтор, кислород). Этим же объясняется стабилизация высших степеней окисления элементов в их фторо- и оксосоединениях.

Очевидно, что в однотипных молекулах гипervalентная связь будет прочнее, если центральный атом (донор) имеет меньший потенциал ионизации. Отсюда ясно, почему, например, для серы известен тетрафторид SF_4 и даже гексафторид SF_6 , тогда как подобные соединения

для кислорода неизвестны. Энергия ионизации атома кислорода столь велика ($13,6 \text{ эВ}$), что даже фтор ($17,4 \text{ эВ}$) неэффективен как лиганд при построении гипervalентной связи. Так же можно объяснить отсутствие у азота пентафторида, тогда как для фосфора соединение PF_5 вполне устойчиво.

Следует отметить еще одну особенность элементов 2-го периода: для них характерно образование $p\pi-p\pi$ -связей. Для элементов 3-го и последующих периодов этот тип перекрывания орбиталей не характерен. Объясняется это тем, что с увеличением размеров атомов возможность перекрывания гантельвидных p -орбиталей боковыми их частями резко уменьшается (рис. 147).

Вследствие устойчивости $p\pi-p\pi$ -связей для углерода и азота характерны оксоанионные комплексы CO_3^{2-} и NO_3^- плоскотреугольного строения. Для кремния и фосфора же устойчивы оксоанионные комплексы SiO_4^{4-} , PO_4^{3-} , имеющие тетраэдрическое строение (см. табл. 31).

Для s-элементов I и II групп (энергия ионизации атомов мала) в основном характерны ионные соединения. Координационные числа их ионов имеют большие значения ($6, 8$) и определяются соотношением размеров ионов ионного кристалла (см. рис. 57, 58).

ГЛАВА 2. ВОДОРОД

Систематическое изучение свойств элементов начнем с изучения свойств водорода, имеющего по сравнению с другими элементами наиболее простое строение атома. Его электронная конфигурация в основном состоянии $1s^1$. Простота электронной структуры атома водорода, конечно, не означает, что его химия наиболее проста. Наоборот, она во многом отличается от химии других элементов.

Основная особенность водорода заключается в том, что в отличие от всех других элементов (кроме гелия) в его атоме валентный электрон находится непосредственно в сфере действия атомного ядра — у него нет промежуточного электронного слоя. Положительно заряженный ион водорода H^+ представляет собой элементарную частицу *протон*.

Особенность строения электронной оболочки атома водорода (как и гелия) не позволяет однозначно решить, в какой группе периодической системы он должен находиться. Действительно, если исходить из числа валентных электронов его атома, то водород должен находиться в I группе, что подтверждается также сходством спектров щелочных металлов и водорода. Со щелочными металлами сближает водород и его способность давать в растворах гидратированный положительно

однозарядный ион H^+ (р). Однако в состоянии свободного иона H^+ (г) — протона — он не имеет ничего общего с ионами щелочных металлов. Кроме того, энергия ионизации атома водорода намного больше энергии ионизации атомов щелочных металлов.

Если же исходить из того, что для завершения внешнего электронного слоя атому водорода не хватает одного электрона, то водород следует поместить в VII группе. Кроме того, как и атомы галогенов, атомы водорода характеризуются высокими значениями энергии ионизации. Вместе с тем водород — элемент особый, и размещение его в той или иной группе таблицы в значительной мере условно.

Энергия ионизации атома водорода (1312 кДж/моль) столь велика, что соединения водорода (I), даже с такими сильными окислителями, как фтор и кислород, не могут быть ионными. Если же допустить образование в соединениях ионов H^+ , их исключительно высокое поляризующее действие все равно привело бы к образованию ковалентной связи. По этим же причинам ионы H^+ не могут существовать в свободном состоянии при обычных химических явлениях. Специфика строения атома водорода обусловливает особый присущий только соединениям водорода (I) вид химической связи — *водородную связь*.

Процесс образования отрицательного иона H^- из атома экзотермический (средство к электрону 0,75 эВ), поэтому для водорода в степени окисления -1 возможны ионные соединения.

Таким образом, водород — неметаллический элемент. В соединениях он может иметь степени окисления -1 и $+1$.

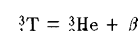
Водород широко распространен в природе. Содержание его на Земле 3,0% (мол. доли). Он входит в состав воды, глин, каменного и бурого угля, нефти и т.д., а также во все животные и растительные организмы. В свободном состоянии водород встречается крайне редко (в вулканических и других природных газах). Водород — самый распространенный элемент космоса: он составляет до половины массы Солнца и большинства звезд. Гигантские планеты солнечной системы Юпитер и Сатурн в основном состоят из водорода. Он присутствует в атмосфере ряда планет, в кометах, газовых туманностях и межзвездном газе.

Водород имеет изотопы с массовыми числами соответственно 1, 2 и 3:

1H	${}^2D ({}^2H)$	${}^3T ({}^3H)$
(р)е	(р + н)е	(р + 2н)е
протий	дейтерий	тритий

Протий и дейтерий — стабильные изотопы. Нормальный изотопный состав природных соединений водорода соответствует отношению $D:H = 1:6800$ (по 300

числу атомов). Тритий бета-радиоактивен, период полураспада $T_{1/2} = 12,26$ года:



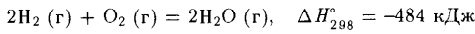
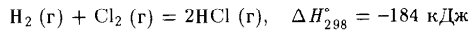
Полагают, что эта реакция — главный источник изотопа 3He , найденного в атмосфере. Содержание трития в атмосферном водороде составляет $4 \cdot 10^{-15}\%$ (мол. доли) и в атмосферных осадках $\sim 3 \cdot 10^{-18}\%$ (мол. доли). Очевидно, он образуется в результате ядерных реакций, вызванных действием космических лучей. Тритий можно искусственно получить по реакции ${}^6Li (n, \alpha) {}^3T$.

Простые вещества. Имея один электрон, водород образует лишь двухатомные молекулы с электронной конфигурацией невозбужденного состояния σ_s^2 . При этом возможны молекулы легкого водорода — протия H_2 , тяжелого водорода — дейтерия D_2 , трития T_2 , протодейтерия HD , прототрития HT , дейтеротрития DT .

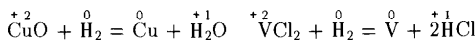
Молекулы водорода отличаются большой прочностью и малой поляризуемостью, незначительными размерами и малой массой, а следовательно, и большой подвижностью. Поэтому у водорода очень низкие температуры плавления ($-259,1^\circ C$) и кипения ($-252,6^\circ C$); он уступает в этом отношении лишь гелию. По тем же причинам он очень незначительно растворяется в воде и органических растворителях. У твердого водорода (см. табл. 28) молекулярная решетка. Вследствие высокой энергии диссоциации (435 кДж/моль) распад молекул H_2 на атомы происходит в заметной степени лишь при температуре выше $2000^\circ C$.

Согласно теоретическим представлениям при огромных давлениях водород должен переходить в металлическое состояние. В этих условиях должно происходить превращение молекулярного водорода в атомный и должна образовываться кристаллическая решетка, в узлах которой находятся протоны, а электроны становятся общими для всего кристалла; такой кристалл должен обладать металлической проводимостью.

Поскольку для водорода возможны положительная и отрицательная степени окисления, водород может проявлять и восстановительные, и окислительные свойства. В обычных условиях благодаря устойчивости молекул он сравнительно мало активен и непосредственно взаимодействует лишь со фтором. При нагревании же вступает во взаимодействие с многими неметаллами — хлором, бромом, кислородом и пр., например:

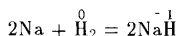


Эти реакции протекают с выделением большого количества теплоты, что свидетельствует о высокой энергии (прочности) связей $\text{H}-\text{Cl}$, $\text{H}-\text{O}$. Поэтому водород проявляет восстановительные свойства и по отношению ко многим оксидам и галогенидам, например:



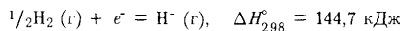
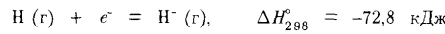
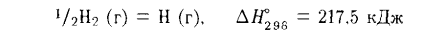
На этом основано применение водорода в качестве восстановителя для получения ряда простых веществ из оксидов и галогенидов.

В качестве окислителя водород взаимодействует с активными металлами:



Соединения водорода (-I). В тех случаях, когда водород выступает в качестве окислителя, он ведет себя как галоген, образуя аналогичные галогенидам *идриды*.

Однако в отличие от образования галогенид-ионов образование ионов H^+ из молекул H_2 — процесс эндотермический. Энталпия образования H^+ составляет 144,7 кДж/моль:

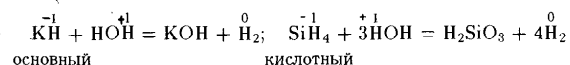


Поэтому окислительная активность водорода существенно уступает галогенам. По этой же причине ясно выраженный ионный характер проявляют лишь гидриды наиболее активных металлов — щелочных и щелочно-земельных.

Ионные гидриды, например KH и CaH_2 представляют собой белые кристаллические вещества с высокими температурами плавления, т.е. соли. Их расплавы характеризуются высокой электрической проводимостью, при электролизе расплавленных гидридов водород выделяется на аноде. Гидриды з-элементов I группы, как и большинство галогенидов этих элементов, имеют структуру типа NaCl . В химическом отношении ионные гидриды ведут себя как основные соединения.

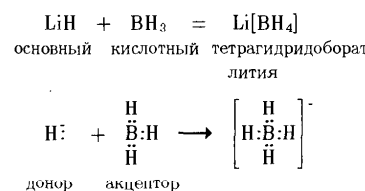
К ковалентным относятся гидриды менее электроотрицательных, чем сам водород, неметаллических элементов. К ковалентным относятся, например, гидриды состава SiH_4 и BH_3 . По химической природе гидриды неметаллов являются кислотными соединениями.

Различие в химической природе гидридов можно легко установить по их поведению при гидролизе. Характерной особенностью гидролиза гидридов является выделение водорода. Реакция протекает по окисительно-восстановительному механизму. Отрицательно поляризованный атом H^- в гидриде и положительно поляризованный атом H^+ в воде переходят в состояние с нулевой степенью окисления:



За счёт выделения водорода гидролиз протекает полностью и不可逆но ($\Delta H < 0$, $\Delta S > 0$). При этом основные гидриды образуют щелочь, а кислотные — кислоту.

Различие между основными и кислотными гидридами отчетливо проявляется также при их взаимодействии между собой, например:



Понятно, что эта реакция может протекать лишь в неводных средах, например в эфире.

Стандартный потенциал системы $\frac{1}{2}\text{H}_2/\text{H}^+$ равен $-2,25$ В. Следовательно, ион H^+ — один из самых сильных восстановителей. Поэтому ионные, а также комплексные гидриды — сильные восстановители. Они широко применяются для проведения различных синтезов, для получения водорода и в химическом анализе. Гидрид кальция CaH_2 используют, кроме того, в качестве осушителя для удаления следов влаги.

Соединения водорода (I). Положительная поляризация атомов водорода наблюдается в его многочисленных соединениях с ковалентной связью. При обычных условиях — это газы (HCl , H_2S , H_3N), жидкости (H_2O , HF , HNO_3), твердые вещества (H_2PO_4 , H_2SiO_3). Свойства этих соединений сильно зависят от природы электроотрицательного элемента. В частности, для соединений, содержащих связи $\text{F}-\text{H}$, $\text{O}-\text{H}$ и $\text{N}-\text{H}$, особо характерна водородная связь. Вследствие этого HF и H_2O в обычных условиях — жидкости.

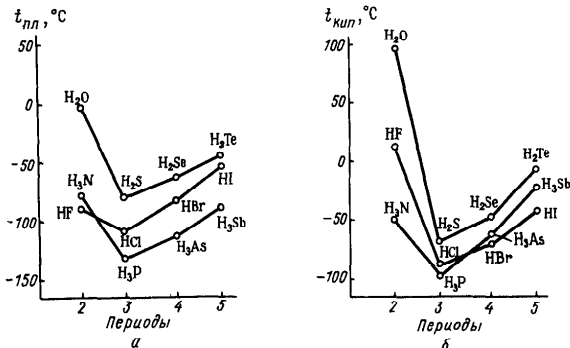


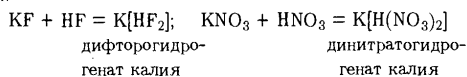
Рис. 148. Температуры плавления (а) и кипения (б) водородных соединений *p*-элементов VII, VI, V групп

Если сравнить температуры плавления и кипения однотипных бинарных соединений водорода с элементами данной группы (рис. 148), то видно, что вследствие образования водородных связей HF , H_2O и H_3N проявляют аномально высокие температуры плавления и кипения. Аналогичный ход кривых наблюдается и для энталпий испарения этих соединений.

Вследствие способности образовывать водородные связи и вступать в донорно-акцепторное взаимодействие жидкости HF , H_2O и H_3N являются хорошими ионизирующими растворителями.

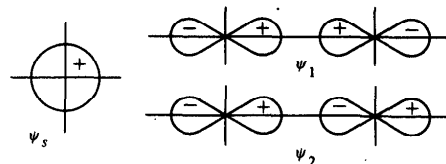
Степень и характер основно-кислотной ионизации в системе из двух соединений водорода (I) зависят от их донорно-акцепторной активности. Так, в ряду $\text{HF}-\text{H}_2\text{O}-\text{H}_3\text{N}$ в соответствии с уменьшением числа неподеленных электронных пар возрастает сродство к протону. Поскольку сродство к протону у NH_3 больше (9,3 эВ), чем у H_2O (7,9 эВ), кислоты — слабые в водных растворах, в жидком аммиаке — сильные. Например, HCN в воде — очень слабая кислота, а в жидком аммиаке ионизируется почти так же, как HNO_3 в воде. В жидком аммиаке кислотные свойства проявляют даже некоторые углеводороды. Вода при растворении в HF ведет себя как основание.

Присущая водороду, как неметаллическому элементу, тенденция к образованию анионных комплексов — *идрогенатов* реализуется, например в следующих реакциях:



Гидрогенат-комплексы образуются за счет водородной связи: $[\text{F}\cdots\text{H}\cdots\text{F}]^-$; $[\text{O}_2\text{NO}\cdots\text{H}\cdots\text{ONO}_2]^-$.

Они имеют линейное строение. Их образование можно объяснить следующим образом. Орбитали иона HF_2^- возникают за счет линейной комбинации орбитали центрального атома ψ_s (1s-орбиталь H) и групповых орбиталей периферических атомов ψ_1 , ψ_2 ($2p_z$ -орбиталей двух атомов F):



По условиям симметрии сочетание ψ_s и ψ_1 -орбиталей приводит к образованию связывающей σ_s и разрывающей молекулярной σ_s^* -орбитали иона HF_2^- (рис. 149):

$$\begin{aligned} \Psi(\sigma_s) &\sim \psi_s + \psi_1; \\ \Psi(\sigma_s^*) &\sim \psi_s - \psi_1. \end{aligned}$$

Для групповой орбитали ψ_2 подходящей по условиям симметрии орбитали центрального атома нет, поэтому в ионе HF_2^- орбиталь ψ_2 играет роль несвязывающей (рис. 149). Четыре электрона (один от атома H, два от двух атомов F

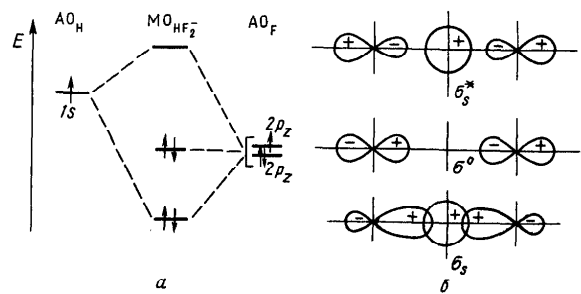
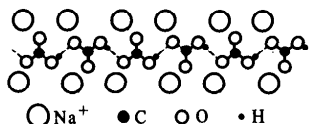


Рис. 149. Энергетическая диаграмма (а) и схема образования орбиталей (б) иона HF_2^-

и один за счет заряда иона) распределяются на молекулярных связывающей σ - и несвязывающей σ^* -орбиталах. Нахождение электронов на молекулярной несвязывающей σ^* -орбитали соответствует концентрации избыточного отрицательного заряда на концевых атомах. Следовательно, гидрогенат-ионы типа HX_2^- должны быть наиболее стабильными в том случае, когда X — наиболее электроотрицательные атомы или их группировки. Так, в ионе HF_2^- связь почти в три раза прочнее межмолекулярной водородной связи.

Большинство гидрогенатов может существовать лишь в неводных или насыщенных водных растворах, а также в твердом состоянии.

Атомы водорода входят также в состав гидросолей типа NaHS , NaHCO_3 , NaHSO_4 . Группы HS^- , HCO_3^- , HSO_4^- могут существовать в виде свободных ионов, называемых соответственно *иодросульфид-*, *иодокарбонат-* и *иодосульфат-*ионами. Структура таких солей в твердом состоянии также обуславливается водородной связью. Ниже схематически показана структура гидрокарбоната натрия NaHCO_3 :



Металлические соединения водорода. Металлическими свойствами обладают водородные связи соединения *d*- и *f*-элементов. Эти соединения получаются в виде металлоидобных темных порошков или хрупкой массы, их электрическая проводимость и теплопроводность типичны для металлов. Это гидриды нестехиометрического состава. Идеализированный состав металлических гидридов чаще всего отвечает формулам MH (VH , NbH , TaH), MH_2 (TiH_2 , ZrH_2 , HfH_2 , ScH_2) и MH_3 (UH_3 , PaH_3).

О характере связи в гидридах *d*- и *f*-элементов существуют две теории. В соответствии с одной из них водород входит в решетку в виде иона H^+ , а свой электрон отдает в зону проводимости металлической структуры. Согласно другой теории атомы водорода берут электроны из зоны проводимости и находятся в кристаллической решетке гидрида в виде гидрид-ионов H^- . Можно думать, что в периодической системе от I к V группе имеет место постепенный переход от ионных гидридов (типа солей) к веществам, в которых водород находится в виде H^+ .

Следует отметить, что первые три металла каждого семейства *d*-элементов (т.е. Sc, Ti и V; Y, Zr и Nb, La, Hf и Ta) поглощают водород со значительным экзотермическим эффектом. Например, энталпия образования некоторых гидридов имеют следующие значения:

306

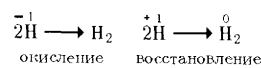
	ScH_2	YH_2	LaH_2	TiH_2	ZrH_2
$\Delta H_{f,20^\circ\text{C}}$, кДж/моль	−69	−186	−208	−144	−169

d-Металлы VI—VII групп по отношению к водороду малоактивны. Так, энталпия образования FeH_2 всего −0,84 кДж/моль. Исключение составляет палладий, который поглощает водород очень активно. Аномальное поведение палладия связывают с его уникальной электронной конфигурацией ($4d^{10}$ — "провал" двух 5s-электронов).

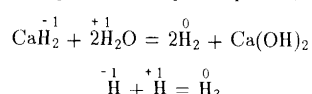
Гидриды металлов образуются из простых веществ с понижением энтропии, так как исходные вещества твердое и газообразное, а конечный продукт твердый. Поэтому синтезом из водорода и металла можно получить только те соединения, образование которых сопровождается выделением большого количества теплоты. В противном случае гидриды *d*- и *f*-элементов можно получить лишь косвенным путем.

Металлические гидриды используются как восстановители для получения покрытия из соответствующего металла, а также для получения металлов в виде порошков. В последнем случае металл, например Ti или V, насыщают водородом, образовавшийся хрупкий гидрид растирают в порошок и нагревают в вакууме, в результате чего получают порошок металла. Вследствие пластичности чистых металлов получить их порошки простым растиранием металлов не удается. Гидрид титана представляет интерес в качестве "хранилища" водорода.

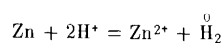
Получение и применение водорода. Поскольку в соединениях водород проявляет степени окисления −1 и +1, его получение в свободном состоянии основано на следующих окислительно-восстановительных процессах:



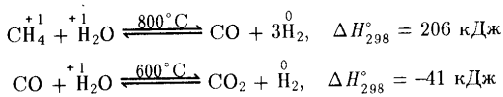
Из гидридов водород образуется и при гидролизе, например:



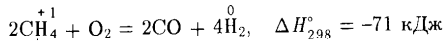
Обычно же получают водород из соединений водорода (I). Так, в лабораторных условиях его получают взаимодействием цинка с соляной или серной кислотой:



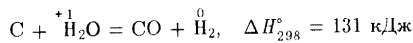
В промышленности водород получают главным образом из природных и попутных газов, продуктов газификации топлива (водяного и паровоздушного газов) и коксового газа. Производство водорода основано на катализитических реакциях взаимодействия с водяным паром (конверсии) соответственно углеводородов (главным образом метана) и оксида углерода (II), например:



Водород получают также неполным окислением углеводородов, например:



В связи с уменьшением запасов углеводородного сырья большой интерес приобретает метод получения водорода восстановлением водяного пара раскаленным углем:



При этом образуется *генераторный газ*. Затраты энергии на его получение можно скомпенсировать за счет реакции неполного окисления угля:



При комбинировании этих процессов получается *водяной газ*, состоящий в основном из смеси H_2 и CO .

Водород получают также электролизом воды.

Из газовых смесей с большим содержанием водорода его выделяют глубоким охлаждением смеси.

Водород широко используется в химической промышленности для синтеза аммиака, метанола, хлорида водорода, для гидрогенизации твердого и жидкого топлива, жиров и т.д. В смеси с CO (в виде водяного газа) применяется как топливо. При горении водорода в кислороде возникает высокая температура (до 2600°C), позволяющая сваривать и разрезать тугоплавкие металлы, кварц и пр. Жидкий водород используют как одно из наиболее эффективных реактивных топлив.

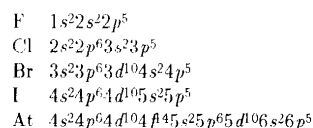
В настоящее время проблема использования водорода приобрела особое значение. Энергетический кризис, проблема защиты окружаю-

щих среды от непрерывного и угрожающего загрязнения нефтью и продуктами горения органических топлив — все это стимулирует резкое возрастание интереса к водороду как "экологически чистому" горючему. Водород — основа химической технологии и энергетики будущего.

В атомной энергетике для осуществления ядерных реакций синтеза гелия имеют большое значение изотопы водорода — тритий и дейтерий.

ГЛАВА 3. Р-ЭЛЕМЕНТЫ VII ГРУППЫ ПЕРИОДИЧЕСКОЙ СИСТЕМЫ Д.И. МЕНДЕЛЕЕВА

К элементам главной подгруппы VII группы относятся фтор F, хлор Cl, бром Br, иод I, астат At:



Соответственно электронной конфигурации атомов (одинаковая структура внешнего и предвнешнего электронных слоев) бром, иод и астат объединяют в подгруппу брома; фтор и хлор относят к типичным элементам. Основные константы *p*-элементов VII группы приведены ниже:

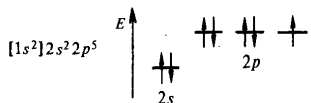
	${}^9\text{F}$	${}^{17}\text{Cl}$	${}^{35}\text{Br}$	${}^{53}\text{I}$	${}^{85}\text{At}$
Валентные электроны ...	$2s^2 2p^5$	$3s^2 3p^5$	$4s^2 4p^5$	$5s^2 5p^5$	$6s^2 6p^5$
Атомная масса	18,988	35,453	79,909	126,904	[210]
Ковалентный радиус ато- ма, нм	0,064	0,099	0,114	0,133	0,144
Радиус иона E^- , нм	0,133	0,181	0,195	0,220	0,23
Условный радиус иона E^{+} , нм	—	0,026	0,039	0,050	0,062
Средство к электрону, эВ	3,5	3,6	3,5	3,3	—
Энергия ионизации $\text{E}^0 \rightarrow \text{E}^+$, эВ	17,42	12,97	11,81	10,45	9,2
Содержание в земной ко- ре, % (мол. доли)	$2,8 \cdot 10^{-2}$	$2,6 \cdot 10^{-2}$	$8,5 \cdot 10^{-2}$	$4 \cdot 10^{-6}$	Следы

Как видно из этих данных, в ряду F—Cl—Br—I—At радиус атомов увеличивается, а энергия ионизации уменьшается. Это свидетельствует

об ослаблении признаков неметаллического элемента: фтор — наиболее ярко выраженный элемент-неметалл, а астат проявляет уже некоторые признаки элемента-металла.

§ 1. ФТОР

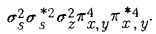
Фтор в невозбужденном состоянии имеет электронную конфигурацию:



Наличием одного непарного электрона обуславливается сходство фтора с водородом. Однако различие в общем числе валентных электронов и орбиталей предопределяет значительное отличие этих элементов друг от друга. Степень окисления фтора как самого электроотрицательного элемента (4,0) принимается равной -1.

Фтор — довольно распространенный элемент, и его содержание на Земле составляет ~0,03 % (моль. доли). Из минералов фтора наибольшее значение имеют CaF_2 — плавиковый шпат (флюорит), Na_3AlF_6 — криолит и $\text{Ca}_5(\text{PO}_4)_3\text{F}$ — фторапатит. Фтористые соединения содержатся в организме человека (в основном в зубах и костях). В природе встречается только один изотоп ^{19}F . Искусственно получены малоустойчивые изотопы (с массовыми числами от 16 до 21).

Простое вещество. Фтор образует двухатомные молекулы F_2 , что соответствует электронной конфигурации (см. табл. 8):



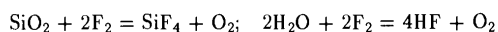
Поскольку на связывающих орбиталах имеется на два электрона больше, чем на разрыхляющих, порядок связи в молекуле F_2 принимается равным 1:



Молекула фтора F_2 имеет относительно небольшую массу и достаточно подвижна, поэтому фтор в обычных условиях — газ (светло-желтого цвета), обладает низкой температурой плавления (-223°C) и кипения (-187°C).

Фтор исключительно активен химически, он — сильнейший окислитель. Высокая химическая активность фтора объясняется тем, что его молекула имеет низкую энергию диссоциации (159 кДж/моль), в то

время как химическая связь в большинстве соединений фтора отличается большой прочностью (порядка 200–600 кДж/моль). По образному выражению акад. А.Е. Феремана, фтор "всесъедающий". В атмосфере фтора горят такие стойкие вещества, как стекло (в виде ваты), вода:

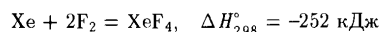


В этих реакциях в качестве одного из продуктов горения образуется кислород, т.е. фтор как окислитель сильнее кислорода.

Исключительно активно протекает взаимодействие фтора с большинством простых веществ. С серой и фосфором он взаимодействует даже при температуре жидкого воздуха (-190°C):



Фтор окисляет даже так называемые благородные газы:



Непосредственно фтор не взаимодействует лишь с гелием, неоном и аргоном.

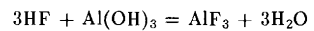
Соединения фтора (I). В соответствии с закономерным изменением характера элементов по периодам и группам периодической системы закономерно изменяются и свойства фторидов, например:

Основно-кислотная природа	NaF	MgF_2	AlF_3	SiF_4	PF_5	SF_6	(ClF_5)
основная			амфотерная				кислотная
Анионные комплексы	—	—	AlF_6^{3-}	SiF_6^{2-}	PF_6^-	SF_6^0	(ClF_6^-)

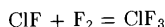
Ионные фториды — кристаллические вещества с высокой температурой плавления. Координационное число фторид-иона 6 (NaF) или 4 (CaF_2). Ковалентные фториды — газы или жидкости.

Промежуточное положение между ионными и ковалентными фторидами занимают фториды с высокой степенью полярности связи, которые можно назвать ионно-ковалентными соединениями. К последним относятся, например, кристаллические ZnF_2 , MnF_2 , CoF_2 , NiF_2 , в которых эффективные заряды металлических элементов составляют 1,56; 1,63; 1,46; 1,40 соответственно.

Многие фториды металлов в низких степенях окисления получают действием раствора HF на оксиды, гидроксиды, карбонаты и пр., например:

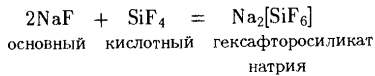


Фториды неметаллов и металлов в высоких степенях окисления получают фторированием простых веществ или низших фторидов, например:

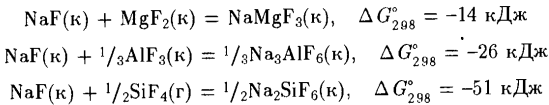


Большинство кристаллических фторидов нерастворимо в воде. Хорошо растворяются лишь фториды s -элементов I группы (кроме LiF), а также AgF , HgF_2 , SnF_2 и некоторые другие.

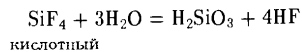
По химической природе ионные фториды являются основными соединениями, а ковалентные фториды — кислотными. Так, в реакции



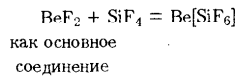
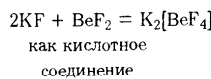
По мере усиления кислотной природы фторидов, например в ряду $\text{MgF}_2-\text{AlF}_3-\text{SiF}_4$, их взаимодействию с основными фторидами отвечает увеличение отрицательного значения ΔG° :



Основные фториды при гидролизе создают щелочную среду, а кислотные фториды — кислотную:



Амфотерные фториды взаимодействуют как с основными, так и с кислотными фторидами:



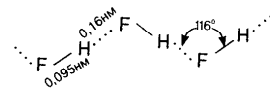
Комплексные фториды весьма разнообразны (см., например, табл. 31). Координационное число по фтору для элементов 2-го периода равно 4, для элементов других периодов координационное число 6. Кроме того, имеются комплексные фториды, в которых координационное число комплексообразова-

теля равно 7, 8 и 9, например: $\text{K}_2[\text{BeF}_4]$, $\text{K}_3[\text{AlF}_6]$, $\text{K}_2[\text{NbF}_7]$, $\text{K}_2[\text{WF}_8]$, $\text{K}_2[\text{ReF}_6]$.

Эти же примеры показывают, что во фторокомплексах стабилизируется высшая степень окисления центральных атомов.

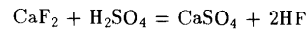
Производные фторокомплексов представляют собой преимущественно ионные соединения либо относятся к смешанным фторидам (например, BeSiF_6). Соединения с водородом типа HBF_4 , HPF_6 , H_2SiF_6 в свободном состоянии неустойчивы. Их водные растворы — очень сильные кислоты.

Молекула фторида водорода HF сильно полярна ($\mu = 0,64 \cdot 10^{-29}$ Кл·м, $\delta_\text{H} = 0,4+$, $\delta_\text{F} = 0,4-$) и имеет большую склонность к ассоциации за счет водородных связей в зигзагообразные цепи:



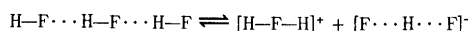
Поэтому фторид водорода в обычных условиях — бесцветная жидкость (т. пл. $-83,4^\circ\text{C}$, т. кип. $19,5^\circ\text{C}$) с резким запахом, сильно дымящая на воздухе.

Фторид водорода обычно получают действием серной кислоты на флюорит:

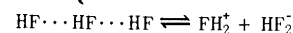


Даже в состоянии газа фторид водорода состоит из смеси полимеров H_2F_2 , H_3F_3 , H_4F_4 , H_5F_5 , H_6F_6 . Простые молекулы HF существуют лишь при температурах выше 90°C . Вследствие высокой прочности связи (энергия диссоциации 565 кДж/моль) термический распад HF на атомы становится заметным выше 3500°C .

Собственная ионизация жидкого HF незначительна ($K = 2,07 \cdot 10^{-11}$). Она происходит путем перехода протона (или соответственно фторид-иона от одной молекулы к другой, сопровождающегося превращением водородной связи из межмолекулярной в межатомную и в ковалентную. При этом образуются сольватированные фтороний-ион FH_2^+ и фторогидрокенат-ион HF_2^- по схеме

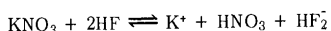


или

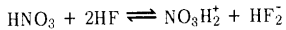
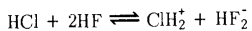


Жидкий фторид водорода — сильный ионизирующий растворитель.

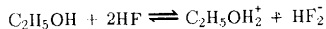
В нем хорошо растворяются вода, фториды, сульфаты и нитраты s -элементов I группы, несколько хуже аналогичные соединения s -элементов II группы. При этом растворенные вещества, отнимая от молекул HF протоны, увеличивают концентрацию отрицательных ионов (HF_2^-), т.е. ведут себя как основания. Например:



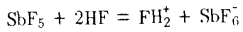
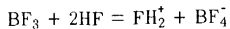
Даже HCl и HNO_3 в этих условиях ведут себя как основания:



а индифферентный в воде этиловый спирт в жидким фториде водорода оказывается таким же сильным основанием, как KOH в воде:

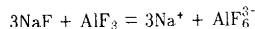


В жидким HF ведут себя как кислоты вещества — акцепторы фторид-ионов, например BF_3 , SbF_5 :

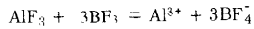


При растворении кислот увеличивается концентрация положительных фтороний-ионов FH_2^+ .

Амфотерными соединениями в жидким HF являются, например, фториды алюминия и хрома (III):

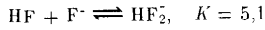
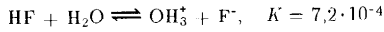


как кислотное
соединение

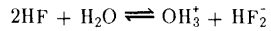


как основное
соединение

Фторид водорода неограниченно растворяется в воде. При этом происходит ионизация молекул HF с образованием ионов OH_3^+ и F^- . Последние, взаимодействуя с молекулами HF, образуют фторогидрогенат-ионы:

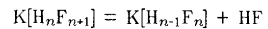


или суммарно

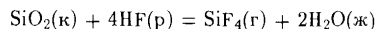


Раствор HF (фтороводородная кислота) является кислотой средней силы.

В растворе содержатся также комплексные ионы H_2F_3^- , H_3F_4^- , $\text{H}_n\text{F}_{n+1}^-$. Поэтому при нейтрализации растворов фтороводородной кислоты образуются не фториды, а фторогидрогенаты типа $\text{K}[\text{HF}_2]$ (т. пл. 239°C), $\text{K}[\text{H}_2\text{F}_3]$ (т. пл. 62°C), $\text{K}[\text{H}_3\text{F}_4]$ (т. пл. 66°C), $\text{K}[\text{H}_4\text{F}_5]$ (т. пл. 72°C). Эти соединения, как правило, хорошо кристаллизуются и плавятся без разложения. Гидрогенат-ионы имеют зигзагообразную форму. Они образованы за счет водородной связи. Термическое разложение фторогидрогенатов используется для получения HF:



Характерная особенность фтороводородной кислоты — ее способность взаимодействовать с диоксидом кремния:



Поэтому ее обычно хранят не в стеклянной посуде, а в сосудах из свинца, каучука, полиэтилена или парафина. Она токсична, при попадании на кожу вызывает плохо заживающие болезненные язвы.

Фтороводородная кислота применяется для травления стекла, удаления песка с металлического литья, получения фторидов и т.д. Фторид водорода в основном используется в органическом синтезе.

Получение и применение фтора. Из-за высокой окислительной активности фтора и большой прочности его соединений фтор получают в свободном состоянии электролизом его расплавленных соединений.

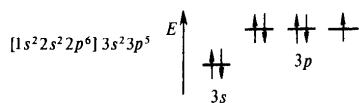
Вследствие высокой химической активности фтор вызывает коррозию почти всех материалов. В качестве материала аппаратуры для получения фтора, его хранения и перевозки используется никель (и его сплавы), который устойчив к действию фтора за счет образования защитной пленки NiF_2 . В целом проблема эта разрешена, и фтор в больших количествах перевозится в автоцистернах.

Широкое применение фтора началось в связи с работами по разделению изотопов урана (в виде $^{235}\text{UF}_6$ и $^{238}\text{UF}_6$) диффузионным методом. В настоящее время фтор широко применяется для синтеза различных хладагентов и полимерных материалов — фторопластов, отличающихся высокой химической стойкостью. Жидкий фтор и ряд его соединений применяют в качестве окислителей ракетного топлива.

§ 2.

ХЛОР

Хлор — неполный электронный аналог фтора:



Атом хлора имеет один непарный электрон, чем и предопределяется его сходство с фтором и водородом. В то же время у хлора по сравнению со фтором больше размер валентных орбиталей, гораздо меньшее значение энергии ионизации $E_{\text{и}}$, заметно большее сродство к электрону E_e , большая поляризуемость атома.

	$\lambda_{\text{раб.}, \text{ нм}}$	$E_{\text{и}}, \text{ эВ}$	$E_e, \text{ эВ}$
F	0,036	17,42	3,45
Cl	0,072	12,97	3,61

В большинстве соединений хлор как сильно электротрицательный элемент ($\text{ЭО} = 3,0$) выступает в отрицательной степени окисления -1 . В соединениях же с более электротрицательными фтором, кислородом и азотом он проявляет положительные степени окисления. Особо разнообразны соединения хлора с кислородом, в которых степени окисления хлора $+1, +3, +5$ и $+7$, а также $+4$ и $+6$.

Хлор — типичный неметаллический элемент. Следовательно, для него наиболее характерна тенденция при химических превращениях образовывать простые и сложные анионы.

Хлор относится к довольно распространенным на Земле элементам. Встречается он главным образом в виде хлоридов — соединений с наиболее устойчивым состоянием окисления хлора. Из них наиболее важными минералами являются NaCl — каменная соль, $\text{NaCl}\cdot\text{KCl}$ — сильвинит, $\text{KCl}\cdot\text{MgCl}_2\cdot 6\text{H}_2\text{O}$ — карналлит. В огромном количестве хлориды содержатся в морской воде, входя в составной частью водных организмов и пр.

В природных соединениях хлор находится в виде изотопов ^{35}Cl (75,53%) и ^{37}Cl (24,47%). Кроме того, искусственно получены его радиоактивные изотопы.

Простое вещество. Молекула хлора, подобно молекуле фтора, двухатомна. Энергия диссоциации молекулы Cl_2 больше (243 кДж/моль) чем F_2 (159 кДж/моль). Распад молекулы хлора на атомы становится заметным, начиная с 1000°C .

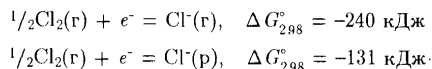
316

Большую устойчивость молекулы Cl_2 по сравнению с F_2 можно объяснить тем, что в молекуле F_2 несвязывающие электроны отталкиваются друг от друга сильнее, чем в более крупной по размерам молекуле Cl_2 .

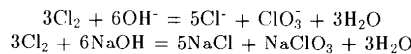
Согласно другой точке зрения в молекуле Cl_2 , в отличие от молекулы F_2 , имеется π -связывание. Последнее возникает по донорно-акцепторному механизму за счет неподеленной электронной пары одного атома и свободной $3d$ -орбитали другого. Считается, что порядок связи в молекуле Cl_2 составляет 1,12.

В обычных условиях хлор — газ желто-зеленого цвета (т. пл. $-101,0^\circ\text{C}$, т. кип. $-34,2^\circ\text{C}$). Ограниченно растворяется в воде (1 объем воды растворяет около 2 объемов хлора). При охлаждении из водных растворов выделяются кристаллогидраты, являющиеся клатратами приблизительного состава $\text{Cl}_2\cdot 6\text{H}_2\text{O}$ и $\text{Cl}_2\cdot 8\text{H}_2\text{O}$.

Хлор — активный окислитель:



Он весьма энергично реагирует с металлами и большинством неметаллов (за исключением O_2 , N_2 и благородных газов), легко окисляет многие сложные соединения. Восстановительные свойства хлор проявляют лишь при взаимодействии с фтором. Вступает также в реакции диспропорционирования, для протекания которых наиболее благоприятна щелочная среда, способствующая образованию простых и сложных анионов:

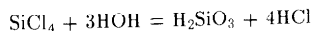


Соединения хлора (—I). Характер химической связи, а следовательно, и свойства хлоридов, как и фторидов, закономерно изменяются по группам и периодам элементов (см. рис. 131). Так, в ряду хлоридов элементов данного периода типа химической связи изменяется от преимущественно ионной в хлоридах типичных металлов до ковалентной в хлоридах неметаллов. Ионные хлориды — твердые кристаллические вещества с высокими температурами плавления, ковалентные хлориды — газы, жидкости или же легкоплавкие твердые вещества. Промежуточное положение занимают ионно-ковалентные хлориды.

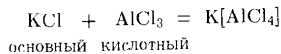
Ионные хлориды (хлориды металлов) проявляют основные свойства, ковалентные хлориды (хлориды неметаллов) — кислотные, например:

	NaCl	MgCl ₂	AlCl ₃	SiCl ₄	PCl ₅	(SbCl ₅)
Т. пл., °С	800	714	193	-70	159	-
Кислотно-основные свойства хлорида	Основные	Амфотерный	Кислотные			(возр.)

Основные хлориды гидролизу практически не подвергаются, а кислотные гидролизуются полностью и необратимо с образованием кислот:



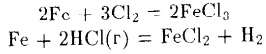
Различие свойств хлоридов разного типа проявляется также в реакциях между собой, например:



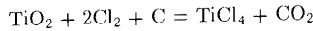
При этом основные хлориды (за счет хлорид-ионов Cl⁻) являются донорами электронных пар, а кислотные — акцепторами. Амфотерные хлориды взаимодействуют как с кислотными, так и с основными соединениями.

Большинство хлоридов металлов хорошо растворимо в воде (за исключением AgCl, CuCl, AuCl, TlCl и PbCl₂).

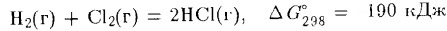
Хлориды получают хлорированием простых веществ хлором или сухим хлоридом водорода:



взаимодействием оксидов с хлором (либо с хлоридами, часто с CCl₄) в присутствии угля:



Большое применение в технике имеет хлорид водорода HCl. В обычных условиях HCl — бесцветный газ (т. пл. — 114,2°C, т. кип. — 85,1°C). В промышленности его получают синтезом из простых веществ:

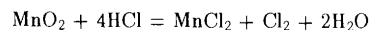


Хлорид водорода очень хорошо поглощается водой (1 объем H₂O при 20°C поглощает около 450 объемов HCl). Водный раствор HCl — сильная кислота ($pK_a = -7,1$), называемая *соляной*. Как сильная кислота

318

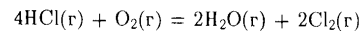
HCl находит широкое применение в технике, медицине, лабораторной практике. Хлороводородная кислота входит в состав желудочного сока.

При действии сильных окислителей или при электролизе хлориды проявляют восстановительные свойства. Так, концентрированная соляная кислота проявляет восстановительные свойства при действии на нее оксида марганца (IV):



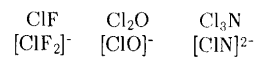
Этой реакцией пользуются в лаборатории для получения хлора.

При нагревании хлорид водорода окисляется кислородом (катализатор — CuCl₂):



Реакция сопровождается уменьшением энтропии системы. Поэтому согласно $\Delta G = \Delta H - T\Delta S$ с увеличением температуры ΔG реакции приобретает положительное значение и процесс протекает влево. Этот пример иллюстрирует относительность наших понятий о сравнительной окислительно-восстановительной активности веществ. В рассматриваемом случае при невысоких температурах более сильным окислителем оказывается кислород, при высоких температурах — хлор.

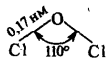
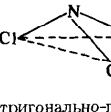
Соединения хлора (I). Степень окисления хлора +1 проявляется во фториде ClF, оксиде Cl₂O и нитриде Cl₃N, а также в соответствующих им анионах [ClF₂]⁻, [ClO]⁻ и [ClN]²⁻:



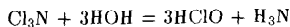
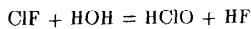
Общий обзор бинарных соединений хлора (I) приведен в табл. 32.

Из бинарных соединений хлора (I) относительно устойчив лишь ClF — слабо экзотермическое соединение. Монофторид хлора образуется при нагревании сухих Cl₂ и F₂ (выше 270°C). Нитрид Cl₃N и оксид Cl₂O — эндотермические соединения и неустойчивы. Оксид Cl₂O распадается со взрывом на Cl₂ и O₂ при небольшом нагревании, при соприкосновении с органическими веществами и даже при переливании в жидким состоянии. Поскольку энергия Гиббса образования Cl₂O и Cl₃N — величина положительная, эти соединения получают косвенным путем.

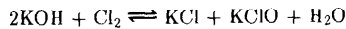
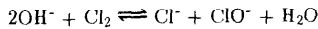
Таблица 32. Бинарные соединения хлора (I)

Соединение	Структура молекулы	$\mu \cdot 10^3$, Кл.м	т. пл., °C	т. кип., °C	Агрегатное состояние в обычных условиях	ΔH_f^{298} , кДж/моль	ΔG_f^{298} , кДж/моль
Фторид ClF	0,16 нм Cl—F гантельная	0,22	-154	-101,1	Бесцветный газ	-50	-51
Оксид Cl ₂ O		0,26	-121	-3,8	Желто-коричневый газ	+76	+93
Нитрид Cl ₃ N		-	-27	+71	Темно-желтое летучее масло	+230	-

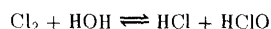
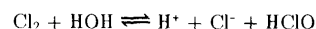
Бинарные соединения хлора (I) имеют кислотный характер, что подтверждается, например, их отношением к воде:



Производные оксохлорат (I)-аниона ClO^- , называемые *гипохлорита*ми, неустойчивы. Их растворы получают, пропуская хлор в охлаждаемые растворы щелочей:



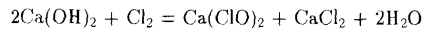
Оксохлорат (I) водорода HClO известен только в разбавленных растворах. Это *хлорноватистая кислота*; образуется она наряду с соляной при гидролизе хлора:



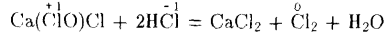
Хлорноватистая кислота слабая (см. табл. 22).

Производные хлора (I) — сильные окислители. Особенно агрессивен ClF , который реагирует с веществами еще более энергично, чем свободный фтор. На этом основано его применение в качестве фторирующего агента. Гипохлориты применяются в качестве отбеливающего средства.

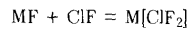
Наибольший практический интерес (как отбеливающее средство, средство для дегазации, дешевый окислитель) представляет гипохлорит кальция $\text{Ca}(\text{ClO})_2$. Получается он при взаимодействии хлора с гидроксидом кальция:



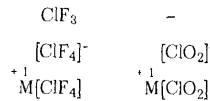
Как видно из приведенного уравнения реакции, одновременно с $\text{Ca}(\text{ClO})_2$ образуется CaCl_2 . Поэтому получаемый в технике продукт — *белильная или хлорная известь* — можно рассматривать как смешанное соединение $\text{Ca}(\text{ClO})\text{Cl}$, т.е. гипохлорит — хлорид кальция. Содержание $\text{Cl}(I)$ в белильной извести обычно устанавливают по количеству хлора, выделяемого при взаимодействии ее с соляной кислотой:



Из производных дифторохлорат (I)-комплекса известны кристаллические вещества типа $\overset{+1}{\text{M}}[\text{ClF}_2]$ (M — щелочной металл). Последние образуются при взаимодействии основных фторидов с ClF в неводных растворах (при 175°C, 10 МПа):

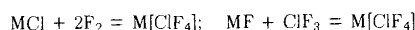


Соединения хлора (III). Степень окисления хлора +3 проявляется в трифториде ClF_3 и тетрафторохлорат(III)-анионе $[\text{ClF}_4]^-$, а также в диоксохлорат(III)-анионе $[\text{ClO}_2]^-$:

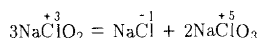


Трифторид хлора — бледно-зеленое вещество (т. пл. -76,3°C, т. кип. 11,6°C), может быть получено при нагревании ClF с избытком фтора. По химической природе ClF_3 — соединение кислотное. Так, известны соли —

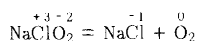
тетрафторохлораты (III) калия, рубидия и цезия типа $M^{+1}[ClF_4]$. Они образуются при фторировании MCl или при взаимодействии MF с жидким ClF_3 :



Производные ClO_2^- -аниона называются **хлоритами**. Хлориты щелочных металлов представляют собой белые кристаллические вещества. Диоксохлорат (III) водорода $HClO_2$ в свободном состоянии не получен. Даже в водном растворе $HClO_2$ быстро разлагается. Раствор $HClO_2$ — кислота средней силы ($K_a = 1 \cdot 10^{-2}$), называемая **хлористой**. При нагревании хлориты диспропорционируют:



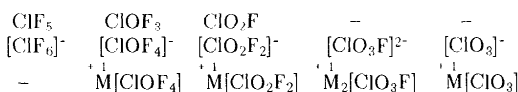
и разлагаются с выделением кислорода:



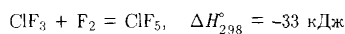
В присутствии органических веществ твердые оксо- и фоторохлораты (III) взрываются от удара.

Трифторид хлора и тетрафторохлораты (III) применяются как фторирующие агенты. Из хлоритов наибольшее значение имеет $NaClO_2$, применяемый при отбелке тканей и бумажной массы.

Соединения хлора (V). Из соединений, в которых хлор проявляет степень окисления +5, известны пентафторид ClF_5 , оксотрифторид $ClOF_3$, диоксофторид ClO_2F и производные триоксохлорат (V)-аниона $[ClO_3]^-$, диоксодифторохлорат (V)-аниона $[ClO_2F_2]^-$, триоксофторохлорат (V)-аниона $[ClO_3F]^{2-}$, окситетрафторохлорат (V)-аниона $[ClOF_4]^-$:



Молекула ClF_5 имеет формулу тетрагональной пирамиды (см. рис. 51, u). Пентафторид хлора — малодиссоциирующая жидкость (т. пл. $-93^\circ C$, т. кип. $-13^\circ C$), устойчив до $200^\circ C$. Его получают фторированием ClF_3 (при $350^\circ C$ и 25 МПа):

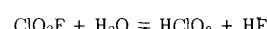


Оксотрифторид хлора $ClOF_3$ — бесцветное вещество (т. пл. $-44^\circ C$, т. кип. $27^\circ C$), образуется при действии на смесь ClF_3 и OF_2 ультрафиолетовых лучей:

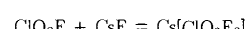


Это соединение легко разлагается на ClF_3 и O_2 . Является кислотным соединением.

Диоксофторид хлора ClO_2F (**хлорилфторид**) — бесцветный довольно устойчивый газ (т. пл. $-115^\circ C$, т. кип. $-6^\circ C$). Получают его фторированием ClO_2 . Хлорилфторид — кислотное соединение; его гидролиз идет по схеме

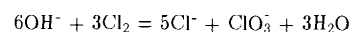


При взаимодействии ClO_2F и CsF получается соль



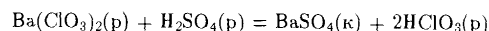
Значительно более устойчивы соли — производные $[ClO_3F]^{2-}$ -аниона.

Оксид хлора (V) неизвестен. Производные $[ClO_3]^-$ называют **хлоритами**. Из последних наибольшее практическое значение имеет хлорат калия $KClO_3$ (**бертолетова соль**). Его получают пропусканием хлора через горячий раствор KOH :



или электролизом горячего раствора KCl . Поскольку $KClO_3$ мало растворим в воде, его легко отделяют от KCl охлаждением раствора.

Триоксохлорат (V) водорода $HClO_3$ в свободном состоянии не выделен. Но (в отличие от $HClO$ и $HClO_2$) известны его концентрированные растворы (до 40%). В водных растворах $HClO_3$ — сильная кислота, называемая **хлорноватой**. Ее обычно получают обменной реакцией:

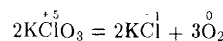


Хлорноватая кислота по свойствам напоминает азотную кислоту, в частности, ее смесь с соляной кислотой — сильный окислитель (типа "царской водки").

При нагревании хлораты (V) диспропорционируют:



а в присутствии катализатора распадаются с выделением кислорода:



При нагревании триоксохлораты (V) — сильные окислители. В смеси с восстановителями они образуют легко взрывающиеся составы. Бертолетову соль используют в производстве спичек и смеси для фейерверков. Хлорат натрия NaClO_3 применяется в качестве средства для борьбы с сорняками.

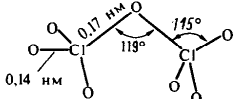
Соединения хлора (VII). Высшая степень окисления хлора +7 проявляется в его оксидах, ряде оксофторидов и отвечающих им анионных комплексах:

Cl_2O_7	ClO_3F	ClO_2F_3	ClOF_5	(ClF_7)
$[\text{ClO}_4]^-$	$[\text{ClO}_3\text{F}_2]^-$	$[\text{ClO}_2\text{F}_4]^-$	-	-
$\overset{+1}{\text{M}}\text{ClO}_4$	$\overset{+1}{\text{M}}\text{ClO}_3\text{F}_2$	$\overset{+1}{\text{M}}\text{ClO}_2\text{F}_4$	-	-

Оксид хлора (VII) Cl_2O_7 — бесцветная жидкость (т. пл. $-93,4^\circ\text{C}$, т. кип. $+83^\circ\text{C}$). Получается при нагревании смеси оксохлората (VII) водорода и оксида фосфора (V):



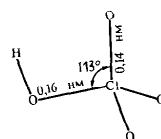
Молекула Cl_2O_7 полярна ($\mu = 0,24 \cdot 10^{-29}$ Кл·м). В ней согласно электронографическому исследованию два тетраэдра объединены посредством атома кислорода:



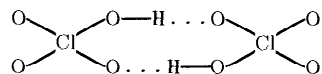
Оксид Cl_2O_7 относительно устойчив, но при нагревании (выше 120°C) разлагается со взрывом.

Тетраоксохлорат (VII)-ион ClO_4^- имеет тетраэдрическое строение, что в рамках теории валентных связей соответствует sp^3 -гибридизации валентных орбиталей атома хлора, стабилизированной за счет π -связей.

Тетраоксохлораты (VII) (неудачно называемые еще *перхлоратами*) весьма многочисленны. Большинство их хорошо растворимо в воде. Тетраоксохлорат (VII) водорода HClO_4 — бесцветная жидкость (т. пл. -102°C), способная взрываться. Строение молекулы HClO_4 приведено ниже:



В жидком HClO_4 молекулы димеризованы за счет водородной связи:



Тетраоксохлорат (VII) водорода хорошо растворим в воде. Раствор является *хлорной кислотой*:

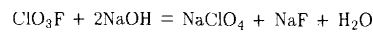


Вследствие ионизации HClO_4 растворы кислоты вполне устойчивы. Хлорная кислота — одна из наиболее сильных кислот. Ее получают действием концентрированной H_2SO_4 на KClO_4 :



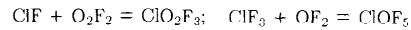
Известны многочисленные оксохлораты (VII). В частности, кристаллогидрат $\text{HClO}_4 \cdot \text{H}_2\text{O}$ является перхлоратом оксония $[\text{OH}_3]\text{ClO}_4$. Его получают электролизом раствора KClO_3 . Перхлораты в основном применяются в производстве взрывчатых веществ в реактивной технике.

Молекула ClO_3F имеет форму несколько искаженного тетраэда ($\mu = 0,006 \cdot 10^{-29}$ Кл·м). В обычных условиях триоксофторид хлора (*перхлорат-фторид*) — бесцветный газ (т. пл. $-147,8^\circ\text{C}$, т. кип. $-46,7^\circ\text{C}$), в отличие от Cl_2O_7 обладает высокой термической и гидролитической стойкостью: устойчив до 500°C и не гидролизуется даже при 260°C . Кислотная природа его проявляется при взаимодействии с концентрированными растворами щелочей:



ClO_3F , как и Cl_2O_7 — сильный окислитель.

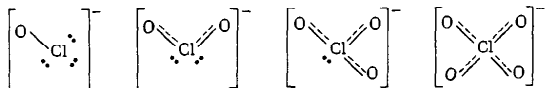
Другие оксофториды хлора (VII) — ClO_2F_3 и ClOF_5 — малоустойчивые газы. Получают их окислением фторидами кислорода низших фторидов хлора:



Степень окисления +7 у хлора проявляется также в некоторых катионных комплексах типа ClF_6^+ и ClO_2F_2^+ . Их производные $[\text{ClF}_6]^+[\text{PtF}_6]^-$, $[\text{ClO}_2\text{F}_2]^+[\text{PtF}_6]^-$ образуются при взаимодействии сильнейшего окислителя PtF_6 с рядом соединений с более низкими степенями окисления хлора.

Известны также катионные комплексы хлора и в других степенях окисления хлора, например ClF_2^+ , ClF_4^+ , ClO_2^+ , ClO_4^+ . Катионные комплексы хлора (как и катионы со связями N—F, N—O, O—F) имеют низкую энергию связи, поэтому представляют большой интерес как составные части энергоемких соединений. К энергоемким веществам относятся также ClF_5 , F_2 , OF_2 , Cl_2O_7 .

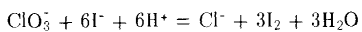
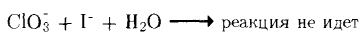
В ряду ClO^- — ClO_2^- — ClO_3^- — ClO_4^- по мере увеличения степени окисления хлора устойчивость анионов возрастает. Это можно объяснить тем, что при переходе от ClO^- к ClO_4^- увеличивается число электронов, принимающих участие в образовании связей. Особо устойчив ион ClO_4^- , в котором все валентные электроны атома хлора принимают участие в образовании связей:



По этой же причине высоко устойчивы тетраэдрические молекула ClO_3F и ион $[\text{ClO}_3\text{F}]^{2-}$.

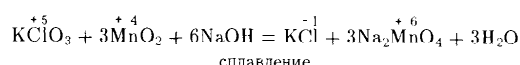
Полагают, что в ряду ClO^- — ClO_2^- — ClO_3^- — ClO_4^- возрастает роль π -связывания. Так, если в ClO^- порядок связи равен 1, то в ионе ClO_4^- он составляет 1,5. Повышение порядка связи ClO^- соответствует увеличению средней энергии связи и уменьшает межъядерное расстояние. Так, d_{ClO} в ClO^- составляет 0,170 нм, в ClO_4^- — 0,145 нм.

Вследствие повышения устойчивости в ряду ClO^- — ClO_2^- — ClO_3^- — ClO_4^- уменьшается окислительная активность. Так, гипохлориты вступают в окислительно-восстановительное взаимодействие в любой среде. Хлораты в растворах окисляют только в сильнокислой среде:



Окислительная же способность иона ClO_4^- в растворах практически не проявляется.

Деформация (возбуждение) анионов может происходить также при достаточно сильном нагревании. Поэтому триоксохлораты (V) ведут себя как сильные окислители даже в щелочной среде:



По мере увеличения степени окисления хлора в ряду HClO — HClO_2 — HClO_3 — HClO_4 сила кислот возрастает (табл. 22):

	HClO	HClO_2	HClO_3	HClO_4
pK	7,5	1,97	~1	~10

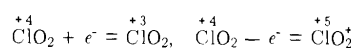
Этот факт можно объяснить тем, что по мере увеличения числа атомов кислорода в ряду ClO^- — ClO_2^- — ClO_3^- — ClO_4^- прочность связи O—H с определенным атомом кислорода ослабевает.

Соединения хлора (IV). Эта степень окисления хлора проявляется в его диоксиде ClO_2 . Диоксид хлора — зеленово-желтый газ (т. пл. -59°C , т. кип. $9,9^\circ\text{C}$) с резким запахом. Соединение эндотермическое ($\Delta H_f^\circ = 105$ кДж/моль). Молекула ClO_2 имеет угловую форму [$\angle \text{OClO} = 118^\circ$, $d(\text{ClO}) = 0,147$ нм], поэтому она полярна ($\mu = 0,56 \cdot 10^{-29}$ Кл·м).



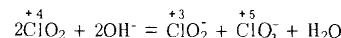
Молекула парамагнитна, так как имеет нечетное число электронов.

Таким образом, ClO_2 — валентноненасыщенное соединение; возможны его превращения с присоединением или потерей электрона:



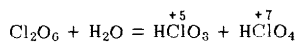
Наиболее сильно проявляется первая тенденция. Поэтому ClO_2 — сильный окислитель. Применяется для отбелки бумажной массы и в некоторых других технологических процессах.

Присоединение и потеря электрона легче всего реализуется при диспропорционировании ClO_2 в щелочных растворах:



При этом образуются две соли.

Существуют и другие оксиды хлора, например Cl_2O_6 . Это темно-коричневая жидкость. В кристаллическом состоянии Cl_2O_6 построен из ионов ClO_2^+ и ClO_4^- . Получают его окислением ClO_2 озоном. При обычных условиях Cl_2O_6 постепенно разлагается. Энергично взаимодействует с водой, образуя две кислоты:



При соприкосновении с органическими веществами Cl_2O_6 взрывается.

Получают свободный хлор окислением хлоридов: в лаборатории — химическим окислением концентрированной соляной кислоты; в технике — электролизом водного раствора NaCl и — как побочный продукт — при получении натрия электролизом расплава NaCl . Хлор применяют для стерилизации питьевой воды, широко используют в качестве окислителя в самых разнообразных отраслях химической промышленности. Важна его роль в металлургии цветных металлов.

§ 3. ПОДГРУППА БРОМА

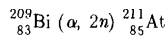
Атомы брома Br , иода I и астатина At имеют один непарный электрон (s^2p^5), поэтому проявляют большое сходство с типическими элементами. Но при высоких степенях окисления элементы подгруппы брома существенно отличаются от химии фтора и хлора.

Элементы подгруппы брома проявляют степени окисления $-1, +1, +3, +5$ и $+7$, из которых наиболее устойчивы -1 и $+5$.

Бром и его аналоги — неметаллические элементы. Но с увеличением числа заполняемых электронных слоев атомов неметаллические признаки элементов в ряду $\text{Br}-\text{I}-\text{At}$ ослабеваются. Об этом, в частности, свидетельствует уменьшение энергии ионизации и сродства к электрону. Иод и астат проявляют даже заметные признаки амфотерности.

Бром и иод — довольно распространенные на Земле элементы. Природный бром состоит из двух стабильных изотопов ^{79}Br (50,56%) и ^{82}Br (49,44%), иод — из одного изотопа ^{127}I . Получены также искусственные изотопы. Астат в природе практически не встречается.

Его получают искусственным путем, например бомбардировкой атомов висмута ядрами гелия:



Синтезировано около 20 радиоактивных изотопов астата. Все они имеют короткий период полураспада; самый долгоживущий из них ^{211}At ($T_{1/2} = 8,3$ ч.). Поэтому астат не может быть получен в заметных количествах и его свойства изучены недостаточно.

Бром обычно сопутствует хлору в его калийных минералах. Бром и иод находятся в морской воде и нефтяных буровых водах, откуда их главным образом и добывают. Ничтожные количества астата обнаружены в продуктах естественного радиоактивного распада урана и тория.

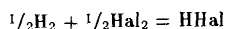
Простые вещества. Некоторые сведения о галогенах, а также водорода приведены ниже:

	H	F	Cl	Br	I	At
Т. пл., °C	-259,1	-219,7	-101	-7,2	113,6	244
Т. кип., °C	-252,6	-188,2	-34,1	59,82	184,35	309
$d_{\text{ЭЭ}}$, нм	0,074	0,142	0,200	0,299	0,267	—
$\Delta H_{\text{дис}} \text{Э}_2$, кДж/моль	435	159	243	199	150,7	117
$K_{\text{дис}} \text{Э}_2$	$5,1 \cdot 10^{-10}$	$9,2 \cdot 10^{-3}$	$1,6 \cdot 10^{-7}$	$3,3 \cdot 10^{-5}$	$3,0 \cdot 10^{-3}$	—
$\varphi_{298}^\circ (\text{Э}_2 + 2e^- \rightleftharpoons \dots)$						
$\rightleftharpoons 2\text{Э}^-$, В	-2,25	2,87	1,36	1,07	0,54	—

Молекулы брома и его аналогов двухатомны. Как видно из приведенных данных, в ряду $\text{Br}_2-\text{I}_2-\text{At}_2$ с увеличением межъядерного расстояния $d_{\text{ЭЭ}}$ энергия диссоциации молекул $\Delta H_{\text{дис}} \text{Э}_2$ уменьшается. Это объясняется уменьшением плотности перекрывания связующих электронных облаков. В этом ряду поляризумость молекул увеличивается, а следовательно, усиливается способность к межмолекулярному взаимодействию, поэтому возрастают температуры плавления и кипения. В обычных условиях бром — красно-коричневая жидкость, иод — черно-фиолетовые кристаллы с металлическим блеском, астат — твердое вещество металлического вида.

Растворимость галогенов в воде сравнительно мала. При охлаждении водных растворов выделяются кристаллогидраты клатратного типа $\text{Э}_2 \cdot 8\text{H}_2\text{O}$. Галогены лучше растворяются в органических растворителях (спирт, бензол, эфир, сероуглерод и др.). Этим пользуются для извлечения Br_2 и I_2 из различных смесей.

Бром и иод — достаточно сильные окислители, хотя и уступают по активности фтору и хлору. В ряду F—At снижается окислительная активность простых веществ. Так, изменение энергии Гиббса в реакциях взаимодействия галогенов с водородом

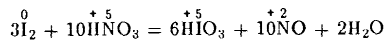


отвечает следующим значениям:

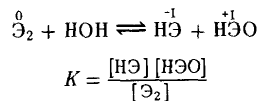
	HF	HCl	HBr	HI
$\Delta G_f^\circ, \text{ кДж/моль}$... -273	-95	-53	1,8

Взаимодействие фтора с водородом протекает со взрывом даже на холода, образование HBr из простых веществ происходит лишь при достаточном нагревании, а образование HI — при таком нагревании, что значительная часть его термически разлагается. Об уменьшении окислительной активности молекул галогенов с увеличением атомного номера элемента свидетельствует также сопоставление их стандартных электродных потенциалов (см. табл. 25).

Напротив, способность окисляться (т. е. восстановительная активность) в ряду Br₂—I₂—At₂ заметно повышается. Иод, например, окисляется концентрированной азотной кислотой:



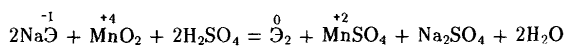
Ослабление окислительной активности оказывается и на уменьшении склонности брома и иода к реакциям диспропорционирования. Так, константа гидролиза для реакции



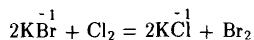
в ряду Cl₂—Br₂—I₂ заметно уменьшается: $3 \cdot 10^{-4}$, $4 \cdot 10^{-9}$ и $5 \cdot 10^{-23}$ соответственно. Следовательно, равновесие реакции взаимодействия галогенов с водой при переходе от хлора к иоду все более смещается влево.

Окислительную активность брома и иода широко используют в различных синтезах и для анализа веществ. Иод применяют как антисептическое и кровоостанавливающее средство.

Бром и иод получают, окисляя бромиды и иодиды, например, по реакции



При получении брома в качестве окислителя часто используют хлор:



Соединения брома, иода, астатата (-I). Бром, иод и астат с менее

электроотрицательными, чем они сами, элементами образуют бромиды, иодиды, астатиды. Связь Э—Hal в ряду фторид—хлорид—бромид—иодид для одного и того же элемента обычно ослабевает и наблюдается уменьшение устойчивости соединений. Об этом, в частности, свидетельствует сравнение стандартных энталпий и энергий Гиббса образования галогенидов одного и того же элемента (рис. 150).

В отличие от фторидов бромиды и иодиды известны главным образом для элементов низких степеней окисления. Например, фториды и хлориды известны для всех степеней окисления урана (UCl_3 , UCl_4 , UCl_5 , UCl_6), тогда как бромиды и иодиды известны лишь для U(III) и U(IV) (UBr_3 , UBr_4 и UI_3 , UI_4).

Как и фториды и хлориды, бромиды и иодиды могут быть ионными, ионно-коvalентными и коvalентными соединениями. Преимущественно ионными являются производные щелочных и щелочно-земельных металлов. Бромиды и иодиды неметаллических элементов являются преимущественно коvalентными. В ряду галогенидов одного и того же элемента с повышением его степени окисления усиливается коvalентный характер связи.

Растворимость в воде ионных галогенидов изменяется следующим образом: иодид > бромид > хлорид > фторид. Понижение растворимости в этом ряду объясняется тем, что фактором, определяющим растворимость, является энергия кристаллической решетки, которая с уменьшением ионного радиуса галогена возрастает. Этот порядок соблюдается у галогенидов щелочных и щелочно-земельных металлов и лантаноидов. В последних двух случаях фториды практически нерастворимы. Для галогенидов, в кристаллах которых в достаточной мере проявляется коvalентная связь, растворимость фторида может оказаться большой, а растворимость иодида малой, как, например, в для Ag(I) и Hg(II).

$-\Delta G_f^\circ, \text{ кДж/моль}$

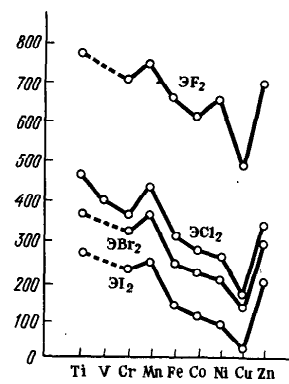
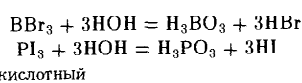
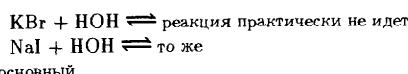


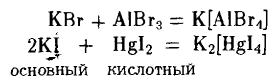
Рис. 150. Энергия Гиббса образования дигалогенидов 3d-элементов

Большинство бромидов и иодидов хорошо растворяется в воде. Как и для хлоридов, нерастворимы AgF и PbI_2 .

Подобно гидридам, фторидам и хлоридам, бромиды и иодиды в зависимости от природы элемента в положительной степени окисления могут быть основными (галогениды щелочных и щелочно-земельных металлов) и кислотными (галогениды неметаллических элементов). Примеры бромидов и иодидов разной химической природы и их поведение при гидролизе приведены ниже:



Различие в химической природе бромидов и иодидов проявляется также в реакциях типа



Такие реакции между бромидами или иодидами протекают реже, чем между соответствующими фторидами или хлоридами, к тому же высшие координационные числа комплексообразователей обычно не достигаются.

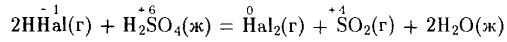
Некоторые константы галогенидов водорода приведены ниже:

	HF	HCl	HBr	HI
ΔH_f° , кДж/моль	-270,9	-92,8	-34	+26,6
ΔG_f° , кДж/моль	-272,8	-94,8	-53,2	+1,78
d_{HHal} , нм	0,092	0,128	0,141	0,160
E_{HHal} , кДж/моль	565	431	364	297
$\mu \cdot 10^{29}$, Кл·м	0,640	0,347	0,263	0,127
Т. пл., °C	-83,4	-114,2	-86,9	-50,9
Т. кип., °C	19,5	-85,1	-66,8	-35,4
K_a	$6,6 \cdot 10^{-4}$	$1 \cdot 10^7$	$1 \cdot 10^9$	$1,6 \cdot 10^{11}$
$K_{\text{дис}, 298}$	10^{-93}	10^{-31}	10^{-18}	3

При обычных условиях галогениды водорода — газы. Термическая устойчивость в ряду $\text{HF}-\text{HI}$ уменьшается. Как видно из значений $K_{\text{дис}} = [\text{H}_2][\text{Hal}_2]/[\text{HHal}]^2$, HF и HCl очень устойчивы, HBr устойчив при обычной температуре, HI неустойчив. Это обусловлено увеличением размера атомов в ряду HF-HI и уменьшением прочности связи.

Молекулы HHal полярны: в ряду HF-HCl-HBr-HI электрический момент диполя уменьшается, но поляризуемость молекул увеличивается. Поэтому в ряду HCl-HBr-HI температуры плавления и кипения галогенидов водорода повышаются (см. рис. 148). Бромид и иодид водорода очень хорошо растворимы в воде. Как видно по значениям K_a , их растворы — сильные кислоты, называемые соответственно бромоводородной и иодоводородной. В ряду HF-HCl-HBr-HI сила кислот увеличивается, что в основном определяется уменьшением в этом ряду прочности связи H-Hal. Особо прочная связь в молекуле HF, поэтому фтороводородная кислота значительно слабее других галогеноводородных кислот.

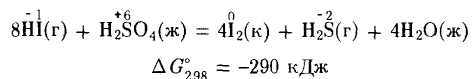
С увеличением межъядерного расстояния и уменьшения энергии связи в ряду HF-HCl-HBr-HI устойчивость молекул снижается. В этом же ряду возрастает восстановительная активность. Например, для реакции



изменение энергии Гиббса соответствует значениям:

	HF	HCl	HBr	HI
ΔG_f° , кДж/моль	460	105	25	-68

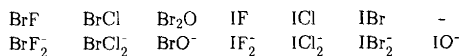
Отсюда следует, что HF и HCl с H_2SO_4 не реагируют, а HI вступает в окислительно-восстановительное взаимодействие. Так же галогеноводороды относятся к концентрированной серной кислоте: HF и HCl с концентрированной H_2SO_4 не взаимодействуют, HBr восстанавливает H_2SO_4 при нагревании до SO_2 , а HI — до SO_2 , S и даже H_2S :



Поэтому HBr и HI действием серной кислоты на их соли не получают. В отличие от фторида и хлорида водорода бромид и иодид водорода обычно получают гидролитическим разложением бромидов и иодидов фосфора(III).

Соединения брома (I), иода (I) и астата (I). Степень окисления +1

у брома и его аналогов проявляется в соединениях с более электроотрицательными галогенами и кислородом, например:

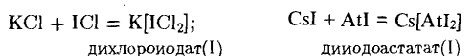


Бинарные соединения брома (I) и иода (I), кроме Br_2O , образуются при непосредственном взаимодействии простых веществ. За исключением ICl ($\Delta H_{298}^{\circ} = -12$ кДж/моль), они очень неустойчивы, BrF , BrCl — газы (соответственно красного и желтого цвета), Br_2O — красно-коричневая жидкость, ICl (красный), IBr (серый) — легкоплавкие твердые вещества.

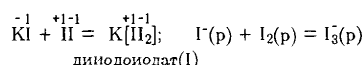
Бинарные соединения брома (I) и иода (I) являются кислотными соединениями. Об этом, в частности, свидетельствует их отношение к воде



и взаимодействие с однотипными производными щелочных и щелочноzemельных металлов, например:

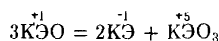


Иодиды щелочных металлов очень склонны в растворах присоединять молекулы галогенов с образованием полииодидов. Одну из таких реакций можно рассматривать как взаимодействие основного иодида щелочного металла с кислотным иодидом иода (I):

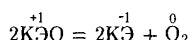


Строение линейных ионов типа $[\text{ICl}_2]^-$, $[\text{I}_2]^-$ можно объяснить образованием трехцентровых молекулярных орбиталей (см. рис. 145).

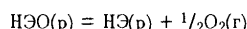
Производные EO^- (гипобромиты, гипоиодиты) по свойствам и способам получения подобны гипохлоритам. При нагревании они легко диспропорционируют:



или распадаются, выделяя кислород:



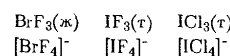
Оксобромат (I) HBrO и оксоиодат (I) водорода HIO известны только в разбавленных водных растворах. Их растворы, подобно HClO , — слабые кислоты — *бронзовистая* ($pK_b = 8,7$) и *иодноватистая* ($pK_b = 11$). Как и HClO , при нагревании и на свету они разлагаются:



Изменение ΔG_{rxn} в этом процессе для HClO составляет $-51,4$, для HBrO равно $-5,2$ и для HIO равно $+54,5$ кДж/моль. Это отвечает росту относительной устойчивости в ряду $\text{HClO}—\text{HBrO}—\text{HIO}$.

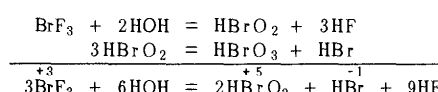
Производные брома (I) и иода (I) — сильные окислители.

Соединения брома (III) и иода (III). Степень окисления +3 брома и иода проявляется в тригалогенидах и отвечающих им анионах:

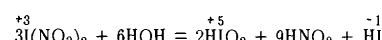


Оксиды Э (III) неизвестны, а отвечающие им анионы BrO_2^- и IO_2^- неустойчивы и легко диспропорционируют. Для иода (III) известны устойчивые желтые соединения $\text{I}(\text{ClO}_4)_3$, $\text{I}(\text{NO}_3)_3$, $\text{I}(\text{IO}_3)_3$.

Гидролиз соединений Br (III) и I (III) сопровождается диспропорционированием, например:

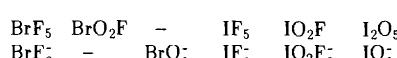


Аналогично гидролизуются соединения типа $\text{I}(\text{NO}_3)_3$:



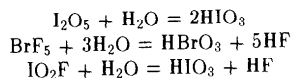
Производные брома (III) и иода (III) — сильные окислители. Трифторид брома применяется как фторирующий агент.

Соединения брома (V) и иода (V). Бром и иод проявляют степень окисления +5 в следующих соединениях и отвечающих им анионах:

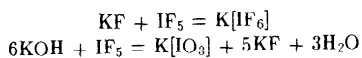


Фториды, оксид и оксофториды брома (V) и иода (V), а также оксид иода (V) бесцветны; это жидкости (BrF_5 , IF_5 , BrO_2F) или твердые

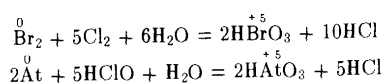
дные вещества. По кислотно-основным свойствам они являются кислотными. Более или менее энергично взаимодействуют с водой, образуя кислоты:



С основными соединениями они дают соли, например:



Производные $[\text{EO}_3]^-$ называются броматами и юодатами. Анионы $[\text{EO}_3]^-$ весьма устойчивы, поэтому именно их производные обычно образуются в водных растворах при действии на соединения брома, иода и астата сильных окислителей:

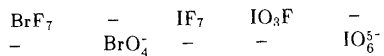


Водные растворы HBrO_3 — бромноватая ($\text{p}K_{\text{a}} = 0,7$), HIO_3 — юодноватая ($\text{p}K_{\text{a}} = 0,8$) кислоты. В ряду HClO_3 — HBrO_3 — HIO_3 кислотные свойства несколько ослабеваю, а устойчивость, наоборот, повышается. Так, если HClO_3 существует только в растворе, то HIO_3 можно выделить в свободном состоянии. Твердый триоксоидат (V) водорода — бесцветные кристаллы (т. пл. 110°C). Его можно выделить действием иодаты серной кислотой. При нагревании HIO_3 получается I_2O_5 .

Иодаты других элементов также значительно устойчивее соответствующих хлоратов и броматов. В частности, некоторые из иодатов встречаются в природе: KIO_3 — как примесь к чилийской селитре, NaIO_3 — в виде самостоятельного минерала лаутарита.

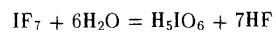
При сильном нагревании броматы и иодаты разлагаются, выделяя кислород.

Соединения брома (VII) и иода (VII). В ряду соединений $\text{Cl}(\text{VII})$ — $\text{Br}(\text{VII})$ — $\text{I}(\text{VII})$ отчетливо проявляется внутренняя периодичность. В отличие от Cl и I степень окисления +7 для Br не характерна. В высшей степени окисления для иода и брома известны:



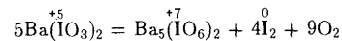
Гептафториды BrF_7 и IF_7 — очень реакционноспособные газы. Триоксофторид иода IO_3F — белое кристаллическое вещество. Эти

фториды и оксофториды являются кислотными соединениями, о чем свидетельствует их гидролиз, например

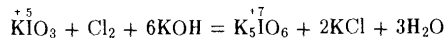


В ионе IO_6^{5-} достигается характерное для элементов 5-го периода координационное число по кислороду, равное шести. Этот ион имеет форму октаэдра с атомом иода в центре ($d_{\text{IO}} = 0,185$ нм). Гексаоксоидат (VII) водорода H_5IO_6 — бесцветное кристаллическое вещество (т. пл. 122°C), растворимое в воде. Кислотные свойства H_5IO_6 (*иодная кислота*)^{*} выражены несравненно слабее ($\text{p}K_{1\text{k}} = 3,2$, $\text{p}K_{2\text{k}} = 6,7$, $\text{p}K_{3\text{a}} = 12,6$), чем HClO_4 ($\text{p}K_{\text{a}} \sim 10$). При нейтрализации иодной кислоты обычно образуются кислые соли.

Гексаоксоидаты (VII) (*периодаты*) получают из оксоидатов (V) либо при их диспропорционировании

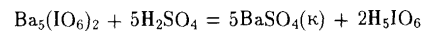


либо при окислении хлором в щелочной среде



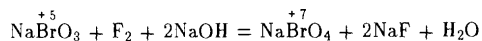
либо электролитическим путем.

Гексаоксоидат (VII) водорода получают обменной реакцией



В свободном состоянии тетраоксобромат (VII) HBrO_4 не выделен. Получены его водные растворы — бромная кислота. По силе она приближается к хлорной. Бромная кислота — сильный окислитель.

Тетраоксоброматы (VII) (*перброматы*) образуются при окислении триоксоброматов (V) в щелочной среде, например, фтором:

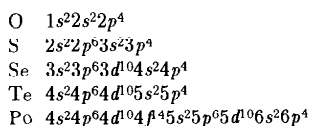


Соединения брома и иода в основном применяются в производстве лекарств, для синтезов и в химическом анализе.

* Относится к кислотам типа $\text{EO}(\text{OH})_n$ (см. табл. 22), а HClO_4 — к кислотам типа $\text{EO}_3(\text{OH})_n$.

ГЛАВА 4. Р-ЭЛЕМЕНТЫ VI ГРУППЫ ПЕРИОДИЧЕСКОЙ СИСТЕМЫ Д.И. МЕНДЕЛЕЕВА

К р-элементам VI группы относятся типические элементы — кислород O, сера S и элементы подгруппы селена — селен Se, теллур Te, полоний Po:



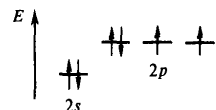
Некоторые сведения об этих элементах приведены ниже:

	${}_{\text{8}}\text{O}$	${}_{\text{16}}\text{S}$	${}_{\text{34}}\text{Se}$	${}_{\text{52}}\text{Te}$	${}_{\text{84}}\text{Po}$
Атомная масса	15,9994	32,064	78,96	127,60	[210]
Валентные электроны	$2s^2 2p^4$	$3s^2 3p^4$	$4s^2 4p^4$	$5s^2 5p^4$	$6s^2 6p^4$
Ковалентный радиус ато- ма, нм	0,066	0,104	0,114	0,132	—
Металлический радиус ато- ма, нм	—	—	0,16	0,17	0,17
Условный радиус иона E^{2-} , нм	0,136	0,182	0,193	0,211	—
Условный радиус иона E^{6+} , нм	—	0,029	0,035	0,056	—
Энергия ионизации $\text{E}^0 \rightarrow$ $\rightarrow \text{E}^+$, эВ	13,62	10,36	9,75	9,01	8,43
Сродство к электрону, эВ..	1,47	2,08	2,02	~2	1,35
Содержание в земной ко- ре, %, (мол. доли)	58,0	0,03	$1,5 \cdot 10^{-5}$	$1,3 \cdot 10^{-7}$	$2 \cdot 10^{-15}$

Как видно из приведенных данных, в ряду O—S—Se—Te—Po уменьшаются энергии ионизации, увеличиваются размеры атомов и ионов. Это ослабляет неметаллические признаки элементов: кислород — элемент-неметалл, полоний — элемент-металл.

§ 1. КИСЛОРОД

Электронная конфигурация невозбужденного атома кислорода $1s^2 2s^2 2p^4$:

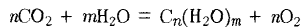


Подобно фтору, кислород образует соединения почти со всеми элементами (кроме гелия, неона и аргона). Поскольку по электроотрицательности кислород уступает только фтору, степень окисления кислорода в подавляющем большинстве соединений равна 2. Кроме того, кислород проявляет степени окисления +2 и +4, а также +1 и -1 в соединениях со связью O—O.

Кислород — самый распространенный элемент [58,0% (мол. доли)] на Земле. Состоит из трех стабильных изотопов: ${}^{16}\text{O}$ (99,759) % (мол. доли), ${}^{17}\text{O}$ (0,037) и ${}^{18}\text{O}$ (0,204). Получены также искусственные изотопы.

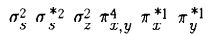
Вследствие количественного преобладания и большой окислительной активности кислород предопределяет форму существования на Земле химических элементов. Известно свыше 1400 минералов, содержащих кислород. Его значение было особенно велико в период образования земной коры. Предполагается, что кислород Земли обусловлен деятельностью зеленых растений.

В процессе фотосинтеза углеводов

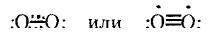


за счет деятельности зеленых растений и бактерий ежегодно поглощается около 300 млрд. т CO_2 , выделяется 200 млрд. т O_2 , синтезируется 150 млрд. т органических веществ. При этом консервируется в форме химической энергии $45 \cdot 10^{18}$ кДж солнечной энергии. Ежегодно потребляемая при фотосинтезе энергия Солнца во много раз превышает количество энергии, потребляемой человечеством.

Простые вещества. Наиболее устойчива двухатомная молекула кислорода O_2 . Она парамагнитна, так как имеет два непарных электрона:



В молекуле O_2 на 8 связывающих электронов приходится 4 разрыхляющих, поэтому порядок связи на ней равен двум. Учитывая парамагнетизм и порядок связи, строение молекулы O_2 можно представить схемами:



Вследствие кратности связи межъядерное расстояние в O_2 (0,121 нм) меньше длины одинарной связи O—O (0,148 нм). По этой же причине молекула O_2 весьма устойчива; ее энергия диссоциации равна 494 кДж/моль, тогда как энергия одинарной связи O—O всего 210 кДж/моль. Диссоциируют молекулы O_2 лишь выше 1500°C.

Молекулы O_2 слабо поляризуются, поэтому межмолекулярные связи между ними очень слабы. По этой причине температуры плавления (-218,9°C) и кипения (-183°C) кислорода очень низкие. Он плохо растворяется в воде (5 объемов O_2 в 100 объемах H_2O при 0°C). Жидкий и твердый кислород притягивается магнитом, так как его молекулы парамагнитны. Твердый кислород синего цвета, а жидкий — голубого. Окраска обусловлена взаимным влиянием молекул.

Аллотропическую модификацию кислорода — озон O_3 можно рассматривать как соединение $O(IV)$ — OO_2 .

Кислород при нагревании и в присутствии катализатора проявляет высокую химическую активность. С большинством простых веществ он взаимодействует непосредственно, образуя оксиды; лишь по отношению к фтору проявляет восстановительные свойства.

Кислород получают ректификацией жидкого воздуха, а также как побочный продукт при электролизе воды. В лаборатории для его получения используют термическое разложение богатых кислородом соединений ($KMnO_4$, $KClO_3$).

Соединения кислорода (–II). Как уже указывалось, образование двух- и многозарядных одноатомных анионов \dot{E}^{n-} энергетически невыгодно. Поэтому не существует соединений, содержащих ион O^{2-} . Даже в кристаллических оксидах наиболее активных металлических элементов типа Na_2O и CaO эффективный заряд атома кислорода составляет всего 1-.

Состав кристаллических оксидов (в особенности d -элементов) в большей или меньшей степени переменный. Так, для MnO он изменяется в пределах от MnO до $MnO_{1,5}$, а для Mn_2O_3 — от $MnO_{1,5}$ до $MnO_{1,6}$. Если в оксидах содержание кислорода выше стехиометрического, они проявляют дырочную проводимость, а если содержание металла выше стехиометрического, то — электронную. Полупроводниками с дырочной проводимостью являются MnO , Cu_2O , FeO и др. Ряд оксидов, состав которых не подчиняется обычным правилам степеней окисления (например, Cr_3O , Ti_5O , Ti_3O) — металлические соединения.

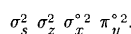
Важнейшим из оксидов является оксид водорода — вода. Академик А.П. Карпинский назвал воду "самым драгоценным ископаемым". Вода составляет 50–99% массы любого живого существа. Кровь человека

века содержит более $4/5$ воды, мускулы — 35% воды. При продолжительности жизни 70 лет человек выпивает около 25 т воды.

В настоящее время водные ресурсы во многих странах мира стали важным фактором, лимитирующим развитие производства. При этом одной из серьезных проблем человечества является снабжение населения пресной водой. В связи с бурным развитием промышленности и ростом населения расход воды все увеличивается. Первостепенное значение приобретают вопросы охраны водных источников от истощения, а также от загрязнения сточными и промышленными водами. Эта проблема решается путем создания таких технологических процессов, в которых отработанная вода не сбрасывается в водоемы, а после очистки снова возвращается в технологический процесс.

Как указывалось (см. рис. 51), молекула воды имеет угловую форму. Согласно теории валентных связей в молекуле H_2O две sp^3 -гибридные орбитали атома кислорода участвуют в образовании двух связей O—H. На двух других sp^3 -гибридных орбиталах расположены две несвязывающие электронные пары (см. рис. 51). Валентный угол воды $\angle H-O-H$ составляет 104,5°.

В рамках теории молекулярных орбиталей рассмотренная модель молекулы воды соответствует распределению восьми валентных электронов по двум связывающим и двум несвязывающим молекулярным орбитальным (рис. 151):



Такое объяснение подтверждается наличием у молекулы H_2O четырех первых потенциалов ионизации (27,3; 16,2; 14,5 и 12,6 эВ).

С позиций теории молекулярных орбиталей строение молекулы H_2O можно объяснить следующим образом. Взаимное расположение атомов водорода и кислорода в молекуле воды можно представить схемой

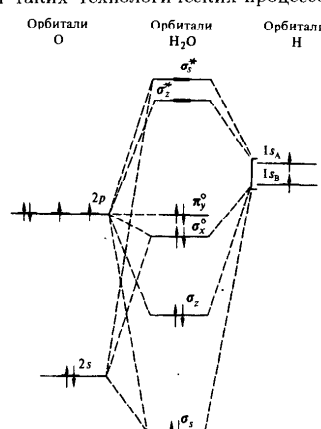
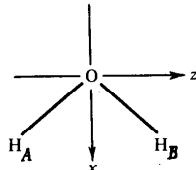


Рис. 151. Энергетическая диаграмма орбиталей молекулы H_2O



Молекулярные орбитали H_2O образуются за счет 2s- и 2p-орбиталей атома кислорода и 1s-орбиталей двух атомов водорода. Характер перекрывания этих орбиталей показан на рис. 152.

Перекрывание $2p_z$ -орбиталей атома О и $1s$ -орбиталей двух атомов Н приводит к возникновению молекулярных σ_z и σ_z^* -орбиталей. Как видно из рис. 151, характер перекрывания $2s$ - и $2p_x$ -орбиталей О одинаков. В результате образуются три молекулярные орбитали: связывающая σ_s , почти несвязывающая σ_x^* и разрыхляющая σ_s^* . Орбиталь $2p_y$ расположена перпендикулярно плоскости расположения атомов Н и О, с $1s$ -орбиталями атомов Н не перекрываетяется и в молекуле H_2O играет роль несвязывающей молекулярной π_y^* .

Таким образом, комбинация исходных четырех атомных орбиталей кислорода и двух орбиталей атомов водорода приводит к образованию двух связывающих (σ_s и σ_z), двух несвязывающих (σ_x^o и π_y^o) и двух разрывающих (σ_z^* и σ_x^*) молекулярных орбиталей (см. рис. 151).

В соответствии с природой элемента в положительной степени окисления характер оксидов в периодах и группах периодической системы закономерно изменяется. В периодах уменьшается отрицательный эффективный заряд на атомах кислорода δ_0 и осуществляется

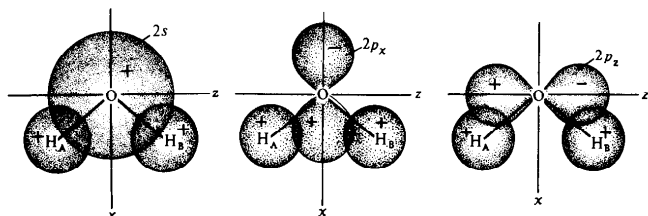
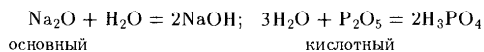


Рис. 152. Перекрывание $2s$ -, $2p_x$ -, $2p_z$ -орбиталей атома кислорода с $1s$ -орбиталями двух атомов водорода молекулы воды

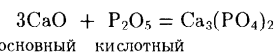
постепенный переход от основных через амфотерные оксиды к кислотным, например:

	Na ₂ O	MgO	Al ₂ O ₃	SiO ₂	P ₂ O ₅	SO ₃	Cl ₂ O ₇
Эффективный за- ряд δ_0	0,81–	0,42–	0,31–	0,23–	0,13–	0,06–	0,01–
Кислотно-основные свойства оксида	основные сильно	амфо- слабо	терный	слабо	кислотные средне		сильно

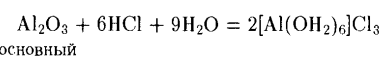
Различие в свойствах оксидов разного типа проявляется при их взаимодействии с водой:



а также при взаимодействии оксидов разного типа друг с другом:

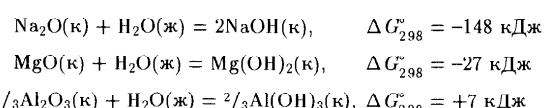


Амфотерные оксиды с водой не взаимодействуют, но могут реагировать и с кислотами, и с щелочами:

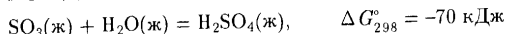
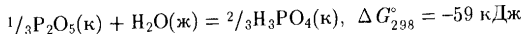


2. При сплавлении — с основными и вспомогательными элементами

а при сплавлении — с основными и кислотными оксидами. Сравнительную количественную оценку основно-кислотной активности оксидов можно дать на основании значений ΔG соответствующих однотипных реакций. Уменьшение отрицательного значения $\Delta G_{\text{спл}}^{\circ}$ в реакциях



свидетельствует об ослаблении их основных свойств в ряду $\text{Na}_2\text{O}-\text{MgO}-\text{Al}_2\text{O}_3$, а также об их способности взаимодействовать с водой. В ряду $\text{P}_2\text{O}_5-\text{SO}_3-\text{Cl}_2\text{O}_7$



наоборот, наблюдается увеличение отрицательного значения ΔG_{298}° , что свидетельствует об усилении у оксидов кислотных свойств.

Соединения пероксидного типа. Сродство к электрону молекулы O_2 составляет 0,44 эВ, а ее энергия ионизации 12,08 эВ. При химических превращениях молекула O_2 может присоединять или терять электроны с образованием молекулярных ионов типа O_2^{2-} , O_2^- и O_2^+ (табл. 33).

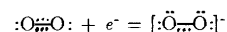
Таблица 33. Порядок, длина и энергия связи молекулы O_2 и молекулярных ионов O_2^+ , O_2^- и O_2^{2-}

Молекулярные орбиты и свойства	O_2^+ [O=O] ⁺	O_2 [O—O]	O_2^- [O—O] ⁻	O_2^{2-} [O—O] ²⁻
σ_z^*	—	—	—	—
π_x^*, π_y^*	++	++	++	++
π_x, π_y	++	++	++	++
σ_z	++	++	++	++
σ_s^*	++	++	++	++
σ_s	++	++	++	++
Порядок связи	2,5	2	1,5	1
Межъядерное расстояние, нм	0,112	0,1207	0,132	0,149
Энергия диссоциации, кДж/моль	642	494	394	210
Ион	Диоксиген-нил-	—	Супероксид-	Пероксид-

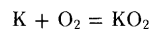
Как видно из табл. 33, удаление электрона с π^* -орбитали молекулы O_2 соответствует повышению порядка связи (в O_2^+), а появление элект-

ронов на π^* -орбитали приводит, наоборот, к уменьшению порядка связи в молекулярных ионах O_2^{2-} и O_2^- . В соответствии с этим в ряду $O_2^+—O_2—O_2^-—O_2^{2-}$ расстояние между атомами кислорода увеличивается, а средняя энергия связи уменьшается.

Присоединение одного электрона к молекуле O_2 вызывает образование надпероксид-иона O_2^- :

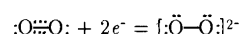


Производные радикала O_2^- называются **надпероксидали**; они известны для наиболее активных щелочных металлов (K, Rb, Cs). Надпероксиды образуются при прямом взаимодействии простых веществ:



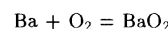
Непарный электрон иона O_2^- обуславливает парамагнетизм надпероксидов и наличие у них окраски. Надпероксиды — очень сильные окислители. Они бурно реагируют с водой с выделением кислорода.

Присоединяя два электрона, молекула O_2 превращается в пероксид-ион O_2^{2-} , в котором атомы связаны одной двухэлектронной связью, и поэтому он диамагнитен:

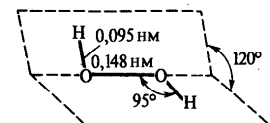


Производные O_2^{2-} называются **пероксидали**.

Пероксиды образуются при окислении ряда металлов, например:



Наибольшее практическое значение имеет пероксид (перекись) водорода H_2O_2 . Строение молекулы показано ниже:

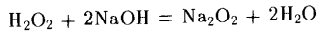
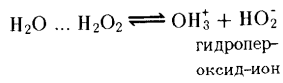


Энергия связи $O—O$ (210 кДж/моль) значительно меньше энергии связи $O—H$ (468 кДж/моль).

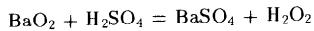
Вследствие несимметричного распределения связей $H—O$ молекула H_2O_2 сильно полярна ($\mu = 0,7 \cdot 10^{-29}$ Кл·м). Между молекулами H_2O_2

возникает довольно прочная водородная связь, приводящая к их ассоциации. Поэтому в обычных условиях пероксид водорода — сиро-кообразная жидкость (пл. 1,44) с довольно высокой температурой кипения (т. кип. 150,2°C, т. пл. 0,41°C). Она имеет бледно-голубую окраску. Пероксид водорода — хороший ионизирующий растворитель. С водой смешивается в любых отношениях благодаря возникновению новых водородных связей. Из растворов выделяется в виде неустойчивых водородных связей.

В водных растворах пероксид водорода — слабая кислота ($pK_{al} = 2,24 \cdot 10^{-12}$):

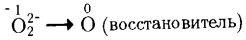
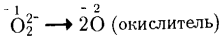


В химических реакциях пероксид-радикал может, не изменяясь, переходить в другие соединения, например:

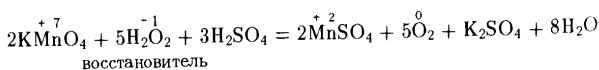
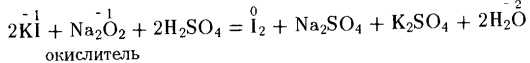


Последняя реакция используется для получения пероксида водорода.

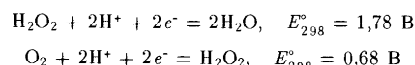
Чаще, однако, протекают реакции, сопровождающиеся разрушением связи О—О или изменением заряда иона O_2^{2-} . Эти процессы можно трактовать как проявление ионом O_2^{2-} окислительных и восстановительных свойств:



В первом случае пероксиды проявляют окислительные свойства, во втором — восстановительные. Например:

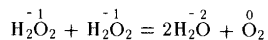


Окислительные свойства пероксидов выражены сильнее, чем восстановительные:



Так, при действии концентрированных растворов H_2O_2 на бумагу, опилки или другие горючие вещества происходит их самовоспламенение. Восстановительные свойства пероксид водорода проявляет по отношению к таким сильным окислителям, как ионы MnO_4^- .

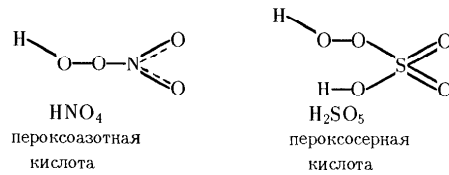
Для пероксида водорода характерен также распад по типу диспропорционирования:



Этот распад ускоряется в присутствии примесей, при освещении, нагревании и может протекать со взрывом. Довольно устойчивы только очень чистый H_2O_2 и его 30–65%-ные растворы. Пероксид водорода и его растворы обычно хранят в темной посуде и на холода; для стабилизации добавляются ингибиторы.

Водные растворы пероксида водорода широко используются для отбелки различных материалов, для обеззараживания сточных вод. Пероксид водорода применяют как окислитель ракетного топлива.

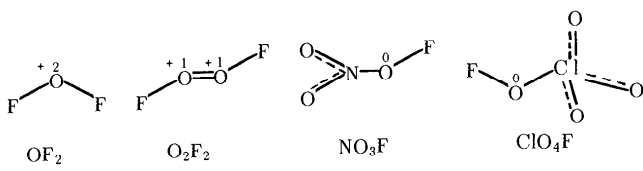
Кислоты, в которых имеется группировка $-\text{O}-\text{O}-$, называют *пероксикислотами*:



При гидролизе пероксикислот образуется пероксид водорода, что используется для его получения в промышленности.

Характерным свойством пероксидных соединений является способность образовывать пероксид водорода при взаимодействии с разбавленными растворами кислот, а также выделять кислород при термическом разложении.

Соединения кислорода (II), кислорода (I) и кислорода (0). Эти степени окисления кислорода проявляются в его соединениях с фтором, например:

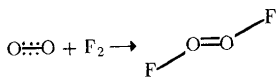


Дифторид кислорода OF_2 получают при быстром пропускании фтора через 2%-ный раствор щелочи:



Дифторид кислорода — ядовитый газ бледно-желтого цвета; термически устойчив, сильный окислитель, эффективный фторирующий агент.

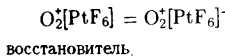
Диоксидифторид O_2F_2 образуется при взаимодействии простых веществ в электрическом разряде:



Соединение крайне неустойчиво, что определяется низкой энергией разрыва связи OF (75 кДж/моль).

Получены также полиоксидифториды типа O_4F_2 , O_5F_2 и O_6F_2 , существующие лишь при низкой температуре (-190°C). Предполагают, что их молекулы имеют цепное строение, например: $\text{F}-\text{O}-\text{O}-\text{O}-\text{F}$. Термическая устойчивость оксидифторидов уменьшается с увеличением числа атомов в молекуле O_nF_2 ($n = 2-6$).

Энергия ионизации молекулы O_2 довольно значительная (12,08 эВ). Однако при взаимодействии O_2 с сильнейшим окислителем PtF_6^- образуется солеподобное вещество $\text{O}_2^+[\text{PtF}_6]^-$

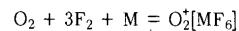


в котором роль катиона играет молекулярный ион O_2^+ (диоксигенил):



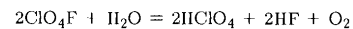
Гексафтороплатинат (V) диоксигенила $\text{O}_2[\text{PtF}_6]$ — парамагнитное вещество красного цвета, плавится с разложением при 219°C . Синтез этого соединения канадским ученым Н. Бартлетом в 1962 г. послужил толчком к синтезу соединений ксенона, энергия ионизации которого близка к таковой молекулы кислорода.

Синтез диоксигенильных солей можно осуществлять нагреванием (при $150-500^\circ\text{C}$) смеси кислорода, фтора и порошка соответствующего металла:



где M — As, Sb, Bi, Nb, Pt, Au, Ru, Rh.

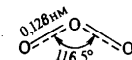
В воде эти соединения разлагаются, выделяя кислород:



Производные с положительной степенью окисления кислорода являются сильнейшими окислителями. Их можно использовать как эффективные окислители ракетного топлива.

Соединения кислорода (IV). В качестве производного, в котором кислород проявляет степень окисления +4, можно рассматривать аллотропическую модификацию кислорода — озон O_3 (OO_2).

Молекула O_3 димагнитна, имеет угловую форму и обладает некоторой полярностью ($\mu = 0,17 \cdot 10^{-29}$ Кл·м). Длина связи d_{OO} (0,128 нм) является промежуточной между длиной одинарной связи (0,149 нм) и двойной связи (0,1207 нм). Поэтому можно считать, что в молекуле O_3 порядок связи 1,5 и строение молекулы O_3 изобразить следующей структурной формулой:



Для описания распределения электронов по орбиталам молекулы O_3 можно воспользоваться энергетической диаграммой молекулярных орбиталей углковой молекулы NO_2 (см. рис. 163).

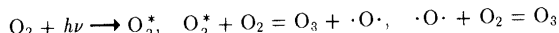
Электронная конфигурация молекулы O_3 :



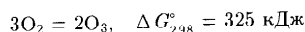
Остальные электроны заполняют орбитали, локализованные у периферийных атомов.

Озон — газ синего цвета с резким раздражающим запахом, очень токсичен. Жидкий озон — темно-синяя жидкость, твердый — темно-фиолетовые кристаллы (т. пл. $-192,7^{\circ}\text{C}$). Поскольку молекула O_3 обладает полярностью и большей поляризуемостью, озон имеет более высокую температуру кипения ($-111,9^{\circ}\text{C}$), чем кислород. Этим же объясняется большая интенсивность окраски озона и лучшая его растворимость в воде.

Озон образуется в процессах, сопровождающихся выделением атомного кислорода (радиолиз воды, разложение пероксидов и др.), а также при действии на молекулярный кислород потока электронов, протонов, коротковолнового излучения, т. е. за счет радиохимических и фотохимических реакций. Цепную реакцию образования озона из кислорода можно представить схемой



или суммарно

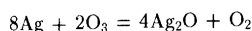


В естественных условиях озон образуется из атмосферного кислорода при грозовых разрядах, а на высоте 10–30 км — под действием ультрафиолетовых солнечных лучей. Озон задерживает вредное для жизни ультрафиолетовое излучение Солнца и поглощает инфракрасное излучение Земли, препятствуя ее охлаждению. Следовательно, "озоновый пояс" играет большую роль в обеспечении жизни на Земле.

В технике озон получают в озонаторах действием тихого электрического разряда на кислород.

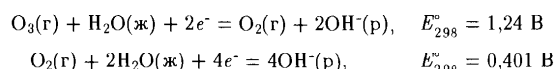
Озон — вещество эндотермическое ($\Delta H_{f,298}^{\circ} = 142,3 \text{ кДж/моль}$, $\Delta G_{f,298}^{\circ} = 162,7 \text{ кДж/моль}$). Но тем не менее в отсутствие катализаторов или без ультрафиолетового облучения газообразный озон разлагается довольно медленно даже при 250°C . Жидкий озон и его концентрированные смеси (70% O_3) взрывчаты.

Окислительная активность озона заметно выше, чем O_2 . Например, уже при обычных условиях он окисляет многие малоактивные простые вещества (Ag , Hg и пр.):



О более высокой химической активности O_3 , чем O_2 , свидетельствует также сравнение их стандартных электродных потенциалов для водных растворов, например:

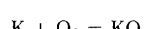
350



Для количественного определения озона можно использовать реакцию его взаимодействия с раствором КI:



Сродство к электрону озона около 180 кДж/моль, поэтому он может переходить в озонид-ион O_3^- . В частности, при действии озона на щелочные металлы образуются озониды:

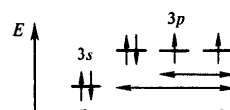


Озониды — это соединения, состоящие из положительно заряженных ионов металла и отрицательно заряженных ионов O_3^- . Наличие в ионе O_3^- непарного электрона обуславливает парамагнетизм и наличие окраски у озонидов. Обычно они окрашены в красный цвет.

Как сильный окислитель, к тому же экологически "чистый", озон используется для очистки питьевой воды, для дезинфекции воздуха, в различных органических синтезах, для очистки морей от разлитой нефти.

§ 2. СЕРА

Атом серы S, как и атом кислорода, имеет шесть валентных электронов: $3s^23p^4$. Сера — типичный неметаллический элемент. По электроотрицательности ($\text{ЭО} = 2,5$) она уступает только галогенам, кислороду, азоту. Наиболее устойчивы четные степени окисления серы (-2 , $+2$, $+4$, $+6$), что объясняется участием в образовании химических связей двух парных электронов, а также одной или двух электронных пар:



Наиболее характерны для серы низшая и высшая степени окисления. Известны соединения серы почти со всеми элементами.

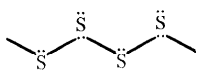
Сера — весьма распространенный на Земле элемент.

Сера — биогенный элемент, входит в состав белков. Она содержится в нефти, углях, природных газах.

В соответствии с характерными степенями окисления сера в природе встречается в виде сульфидных (ZnS , HgS , PbS , Cu_2S , FeS_2 , $CuFeS_2$ и др.) и сульфатных ($Na_2SO_4 \cdot 10H_2O$, $CaSO_4 \cdot 2H_2O$, $BaSO_4$ и др.) минералов, а также в самородном состоянии.

Простые вещества. Сера существенно отличается от кислорода способностью образовывать устойчивые гомоцепи.

Это можно объяснить тем, что две связи в гомоцепи $S-S-S$ оказываются прочнее (2·260 кДж/моль), чем связи в молекуле S_2 (420 кДж/моль). В случае же кислорода, наоборот, связи в молекуле O_2 прочнее (494 кДж/моль), чем две связи в гомоцепи $O-O-O$ (2·210 кДж/моль). Гомоцепи серы имеют зигзагообразную форму, поскольку в их образовании принимают участие электроны взаимно перпендикулярно расположенных p -орбиталей атома:



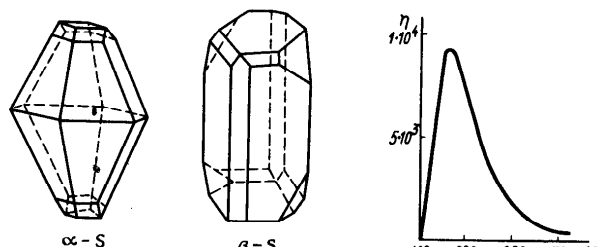
Наиболее стабильны циклические молекулы S_8 , имеющие форму кольца.



Кроме того, возможны молекулы с замкнутыми (S_6 , S_4) и открытыми цепями S_∞ . В обычных условиях устойчивы ромбическая α -S₆ (пл. 2,07 г/см³) и частично моноклинная β -S (пл. 1,96 г/см³) модификации серы. Их кристаллы отличаются взаимной ориентацией колцевых молекул S_6 .

На рис. 153 показана внешняя форма кристаллов ромбической и моноклинной серы. Ромбическая сера желтого, а моноклинная бледно-желтого цвета. Малоустойчивая в обычных условиях пластическая сера состоит из нерегулярно расположенных зигзагообразных цепочек S_{∞} (где ∞ достигает нескольких тысяч). Другие неустойчивые модификации серы построены из молекул S_2 (пурпурная), S_6 (оранжево-желтая) и др.

Моноклинная сера плавится при $119,3^{\circ}\text{C}$, а ромбическая — при $112,8^{\circ}\text{C}$ образуя легкоподвижную жидкость желтого цвета, которая при 160°C темнеет ее вязкость повышается, и при 200°C сера становится темно-коричневой и вязкой, как смола. Это объясняется разрушением кольцевых молекул S_8 .



Р и с. 153. Форма кристаллов ромбической (α -S) и моноклинной (β -S) серы

Рис. 154. Изменение относительной вязкости серы ($\eta = 1$ при 100°C) при повышении температуры.

образованием молекул в виде длинных цепей S_{∞} из нескольких сотен тысяч атомов. Дальнейшее нагревание (выше 250°C) ведет к разрыву цепей, и жидкость снова становится более подвижной. На рис. 154 показана температурная зависимость вязкости жидкой серы. (Около 190°C ее вязкость примерно в 9000 раз больше, чем при 160°C).

При $444,6^{\circ}\text{C}$ сера закипает. В зависимости от температуры в ее парах обнаруживаются молекулы S_8 , S_6 , S_4 и S_2 . Изменение состава молекул вызывает изменение окраски паров серы от оранжево-желтого до соломенно-желтого цвета. При температуре выше 1500°C молекулы S_2 диссоциируют на атомы. Молекулы S_2 парамагнитны и построены аналогично молекуле O_2 . Во всех других состояниях сера парамагнитна.

В воде сера практически нерастворима; некоторые ее модификации растворяются в органических жидкостях и в особенности в сероуглероде.

Сера — достаточно активный немёталл. Даже при умеренном нагревании она окисляет многие простые вещества, но и сама довольно легко окисляется кислородом и галогенами. При нагревании в кипящей воде и значительно лучше в кипящих растворах щелочей сера диспропорционирует:

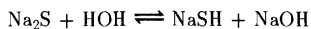


Серу получают главным образом выплавкой самородной серы непосредственно в местах ее залегания под землей. Она применяется в производстве серной кислоты, для вулканизации каучука, как инсектицид в сельском хозяйстве и т. д.

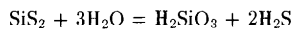
Соединения серы (-II). Наиболее заметно сходство серы и кислорода в соединениях, в которых они проявляют степень окисления -2. Оксидам отвечают сульфиды, гидроксидам — гидросульфиды, оксокислотам — сульфидокислоты (тиокислоты), например:

	Na	Mg	Al	Si	P	S
Сульфид	Na ₂ S	MgS	Al ₂ S ₃	SiS ₂	P ₂ S ₅	—
Оксид	Na ₂ O	MgO	Al ₂ O ₃	SiO ₂	P ₂ O ₅	SO ₃
Гидросульфид ...	NaSH	Mg(SH) ₂	[Al(SH) ₃]	H ₄ SiS ₄	H ₃ PS ₄	—
Гидроксид	NaOH	Mg(OH) ₂	Al(OH) ₃	H ₄ SiO ₄	H ₃ PO ₄	H ₂ SO ₄
Кислотно-основная природа	Основная	Амфотерная		Кислотная		

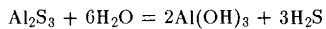
Химическая природа однотипных сульфидов и оксидов, гидросульфидов и гидроксидов закономерно изменяется в пределах периода. Сульфиды, как и оксиды, бывают основными, кислотными и амфотерными. Основные свойства проявляют сульфиды наиболее типичных металлических элементов, кислотные — сульфиды неметаллических элементов. Различие химической природы сульфидов проявляется в реакциях сольволиза и при взаимодействии сульфидов разной кислотности основной природы между собой. Так, сульфиды s-элементов I группы (как и их оксиды) растворимы в воде и при гидролизе образуют щелочную среду:



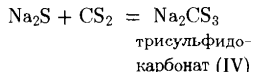
Сульфиды неметаллических элементов обычно гидролизуются необратимо с образованием соответствующих кислот:



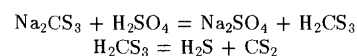
Амфотерные сульфиды (как и оксиды) в воде нерастворимы, но некоторые из них, например сульфид Al (III), полностью гидролизуются:



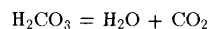
При взаимодействии основных и кислотных сульфидов образуются соли (тиосоли), например:



Отвечающие тиосолям тиокислоты обычно неустойчивы и необратимо разлагаются на H₂S и соответствующий сульфид. Так, при действии кислоты на сульфидокарбонат образующаяся кислота разлагается:



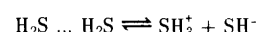
Этот распад аналогичен разложению кислородсодержащих кислот на кислотный оксид и воду:



Сульфиды имеют характерную окраску, например CuS, NiS, PbS — черные, MnS — телесного цвета, ZnS — белый. Различие в окраске и растворимости сульфидов в разных средах используют в аналитической практике для обнаружения и разделения катионов.

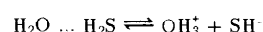
Молекула сульфида водорода H₂S имеет угловую форму ($\angle \text{HSH} = 92^\circ$, $d_{\text{SH}} = 0,133$ нм), поэтому она полярна ($\mu = 0,34 \cdot 10^{-29}$ Кл·м).

Способность образовывать водородные связи у H₂S выражена слабее, чем у H₂O. Поэтому сероводород в обычных условиях — газ (т. пл. -85,6°C, т. кип. -60,75°C). Собственная ионизация H₂S в жидком состоянии



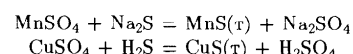
ничтожна. Ионное произведение сульфида водорода $[\text{SH}_3^+][\text{SH}^-] = 3 \cdot 10^{-33}$.

Заметно лучше H₂S ионизируется в воде:



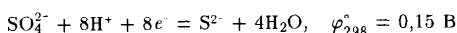
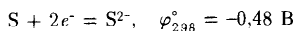
Его водный раствор — слабая кислота ($K_{\text{al}} = 1 \cdot 10^{-7}$), называемая *сероводородной*. Сульфид водорода имеет непрятный запах и очень ядовит.

Обычно H₂S получают действием разбавленной HCl на FeS. Нерастворимые сульфиды получают по обменным реакциям в растворе:

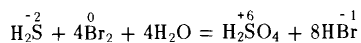
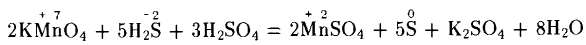


Сульфиды, как производные позшей степени окисления серы, проявляют восстановительные свойства.

Так, переход $S^{2-} \rightarrow S$, $S^{2-} \rightarrow SO_4^{2-}$ характеризуется следующими значениями φ_{298}° :



В зависимости от условий продуктами окисления сульфидов могут быть S , SO_2 и H_2SO_4 :

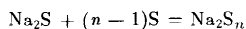


Сульфиды металлических элементов, как и их оксиды, имеют переменный состав, например $FeS_{1,01}-FeS_{1,14}$ (ср. $FeO_{1,04}-FeO_{1,12}$). Физические свойства сульфидов, как и оксидов, очень разнообразны. Так, TiS_2 обладает металлической проводимостью, ZrS_2 — полупроводник, HfS_2 — диэлектрик.

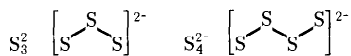
В подгруппах периодической системы окраска сульфидов элементов становится интенсивнее с ростом их атомного номера, например:

As_2S_3	желтый	ZnS	белый	Ga_2S_3	желтый	GeS_2	белый
Sb_2S_3	оранжевый	CdS	желтый	In_2S_3	желтый	SnS_2	желтый
Bi_2S_3	черный	HgS	черный	Tl_2S_3	черный	PbS	черный

Персульфиды. Тенденция серы образовывать гомоцепи реализуется в многочисленных *персульфидах* (полисульфидах) типа $M_2S_n^{+1}$. Последние получаются при взаимодействии серы с концентрированными растворами основного сульфида:

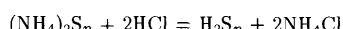


Персульфид-ионы имеют цепочечное строение:



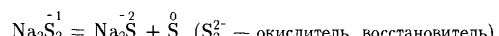
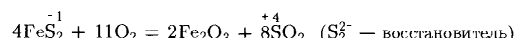
Получены многочисленные персульфиды водорода типа H_2S_n (где $n = 2-23$), называемые многосернистыми водородами или *сульфанами*. Это — желтые маслянистые жидкости. По мере увеличения содержания серы окраска персульфидов меняется от желтой (S_2^{2-}) до красной (S_9^{2-}).

Смесь сульфанов образуется при действии кислот на полисульфиды аммония или натрия:

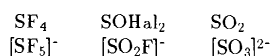


Персульфид водорода H_2S_2 — аналог пероксида водорода. Персульфиды встречаются в природе. Например, широко распространенный минерал *пирит* FeS_2 представляет собой персульфид железа (II) (рис. 155).

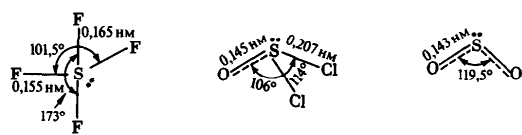
Персульфиды, подобно пероксидам, проявляют восстановительные и окислительные свойства, а также диспропорционируют:



Соединения серы (IV). Степень окисления +4 у серы проявляется в ее тетрагалогенидах $SHal_4$, оксодигалогенидах $SOHal_2$, диоксиде SO_2 , а также в отвечающих им анионах:



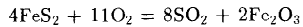
В молекулах, а также в анионных комплексах серы (IV) у атома серы имеется неподеленная (несвязывающаяся) электронная пара. В соответствии с числом σ -связывающих и несвязывающих электронных пар атома серы молекулы $SHal_4$ имеют форму искаженного тетраэдра, $SOHal_2$ и SO_3^{2-} — форму тригональной пирамиды, SO_2 — угловую форму, т. е. относятся к соединениям типа AB_4E , AB_3E , AB_2E (см. рис. 51) соответственно:



Тетрафторид серы SF_4 — бесцветный газ (т. пл. $-121^\circ C$, т. кип. $-37^\circ C$). Оксодихлорид серы $SOCl_2$ (тионилхлорид) — бесцветная жидкость с резким запахом (т. пл. $-99,5^\circ C$, т. кип. $75,6^\circ C$). Эти соединения применяют при химических синтезах.

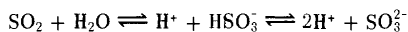
Химический характер бинарных соединений серы (IV) кислотный. Водный раствор SO_2 называют *сернистой кислотой*. В нем присутствуют анионы HSO_3^- и SO_3^{2-} .

Из соединений серы (IV) наибольшее значение имеет диоксид серы SO_2 (*сернистый газ*). Строение молекулы SO_2 аналогично строению молекулы озона $O_3(OO_2)$, но молекула отличается высокой термической устойчивостью. В обычных условиях диоксид серы — бесцветный газ с характерным резким запахом (т. пл. $-75,5^\circ C$, т. кип. $-10,1^\circ C$). В технике его получают сжиганием серы и обжигом пирита:

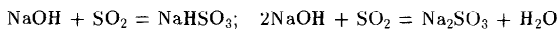


Большие количества SO_2 образуются при сжигании топлива и при обжиге сульфидных руд на металлургических предприятиях. Утилизация SO_2 — одна из важнейших проблем химической технологии, проблема защиты окружающей среды.

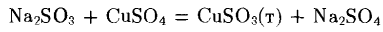
Растворимость диоксида серы в воде весьма велика (при обычных условиях около 40 объемов SO_2 на один объем H_2O). Водный раствор SO_2 называется *сернистой кислотой*. Основная масса растворенного SO_2 находится в растворе в гидратированной форме $SO_2 \cdot nH_2O$. При охлаждении растворов можно выделить кристаллогидрат клатратного типа приблизительного состава $SO_2 \cdot 7H_2O$. Лишь небольшая часть растворенных молекул взаимодействует с водой по схеме



Указанное равновесие в присутствии щелочи легко смещается в сторону образования анионов HSO_3^- и SO_3^{2-} . При этом образуются триоксосульфаты (IV) двух типов M_2SO_3 (сульфиты) и $MHSO_4$ (гидросульфиты):

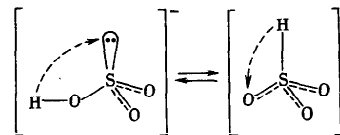


В воде растворяются лишь соли *s*-элементов I группы и гидросульфиты типа $M(HSO_3)_2$. Нерастворимые сульфиты получаются по обменным реакциям в растворе:



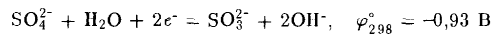
Действие кислот на сульфиты сопровождается выделением SO_2 . На этом основано получение SO_2 в лаборатории.

Сульфит-ион SO_3^{2-} имеет структуру тригональной пирамиды с атомом серы в вершине (см. рис. 51, б). Поскольку неподеленная пара атома серы пространственно направлена, ион SO_3^{2-} — активный донор электронной пары и легко переходит в тетраэдрические ионы HSO_3^- и SO_4^{2-} . Ион HSO_3^- существует в виде двух переходящих друг в друга изомерных форм:

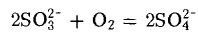


Явление обратимой изомерии, при которой два или более изомера переходят друг в друга, называется *таутомерией*. Получены производные обеих тautомерных форм иона HSO_3^- .

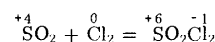
Легкость перехода иона SO_3^{2-} в ион SO_4^{2-} обуславливает его довольно сильные восстановительные свойства:



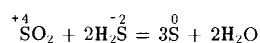
Поэтому, например, сульфиты в растворах постепенно окисляются даже кислородом воздуха:



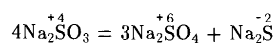
Восстановительные свойства проявляет и SO_2 , который, например, на солнечном свете окисляется хлором:



При взаимодействии же с более сильными восстановителями производные серы (IV) проявляют окислительные свойства:

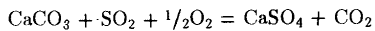


При нагревании сульфиты диспропорционируют:

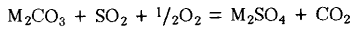


Диоксид серы применяют для получения серной кислоты, а также в бумажном и текстильном производстве в качестве отбеливающего средства, для консервирования плодов и др. Жидкий SO_2 используют в качестве неводного растворителя для проведения различных синтезов. Для этой же цели используют оксодихлорид серы (IV) SOCl_2 .

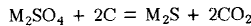
На кислотных свойствах SO_2 и способности S(IV) окисляться до S(VI) основано большинство способов утилизации SO_2 . Из горячих отходящих газов можно отделить SO_2 по реакции



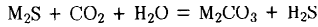
Согласно другому способу SO_2 поглощается расплавленной смесью карбонатов щелочных металлов:



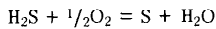
Сульфаты далее восстанавливаются углем (800°C):



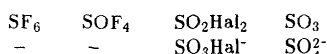
Далее осуществляется регенерация сульфидов (при 400°C) диоксидом углерода и водяным паром:



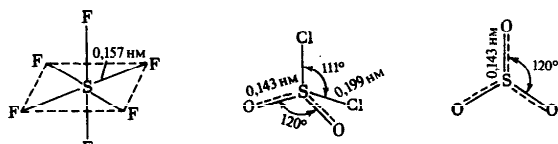
Образующийся сероводород окисляют до серы (в присутствии катализатора):



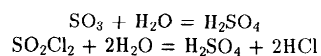
Соединения серы (VI). Как и у других p -элементов 3-го периода, максимальное координационное число серы при высшей степени окисления равно шести, а ее наиболее устойчивое координационное число четыре. Степень окисления серы +6 проявляется в соединениях с наиболее электроотрицательными элементами: в гексафториде SF_6 , триоксиде SO_3 , оксо- и диоксодигалогенидах SOF_4 , SO_2Hal_2 а также в отвечающих им анионных комплексах:



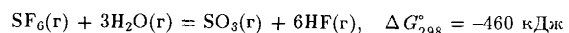
Молекулы SF_6 , SO_2Hal_2 , SO_3 имеют соответственно октаэдрическое, искаженное тетраэдрическое, плоско-треугольное строение:



В обычных условиях фторид серы (VI) — газ, а оксогалогениды серы (VI) — жидкости или газы. Как и SO_3 , они — типичные кислотные соединения. Большинство их легко гидролизуется, образуя кислоты:



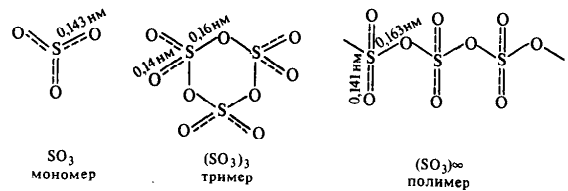
Гексафторид SF_6 (т. пл. -51°C ; т. возг. -64°C) отличается высокой химической стойкостью. Так, на него не действуют ни вода, ни щелочи, ни кислоты, несмотря на то, что гидролиз SF_6 характеризуется большими отрицательными значениями ΔG , например:



Низкая реакционная способность SF_6 объясняется кинетическими факторами, обусловленными валентным и координационным насыщением центрального атома молекулы SF_6 и ее высокой энергией ионизации (19,3 эВ). SF_6 является диэлектриком, который благодаря химической инертности и большой молекулярной массе используют в качестве газообразного изолятора в генераторах высокого напряжения и других электрических приборах.

Довольно инертен и SO_2F_2 (сульфурилфторид, т. пл. $-135,81^\circ\text{C}$, т. кип. $-55,37^\circ\text{C}$), который разлагается лишь растворами щелочей. Напротив, сульфурилхлорид (т. пл. -54°C , т. кип. $69,5^\circ\text{C}$) вследствие гидролиза дымит на воздухе.

Поскольку для серы (VI) наиболее характерно координационное число 4, молекулы SO_3 существуют лишь в газовой фазе. При охлаждении они полимеризуются в кольцеобразные или открытые зигзагообразные цепи:



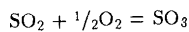
Поэтому триоксид серы существует в виде нескольких модификаций. При конденсации паров SO_3 образуется летучая жидкость

(т. кип. 44,8°C), состоящая преимущественно из циклических тримерных молекул $(SO_3)_3$.

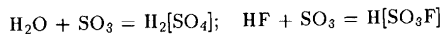
При охлаждении SO_3 затвердевает в прозрачную массу, напоминающую лед. Это так называемая *льдовидная модификация* γSO_3 . При хранении она постепенно превращается в модификацию, по внешнему виду напоминающую асбест. *Асбестовидная модификация* αSO_3 состоит из зигзагообразных цепей $(SO_3)_n$ различной длины. Вследствие неоднородности состава асбестовидная модификация не имеет строго определенной температуры плавления.

Структурные особенности модификаций SO_3 обусловливают различие их физических свойств и химической активности. Так, в противоположность льдовидной асбестовидной модификации менее летучая и с водой взаимодействует менее активно.

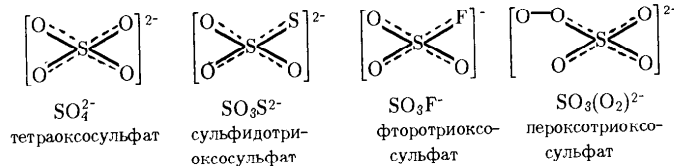
В технике оксид серы (VI) получают окислением SO_2 в присутствии катализатора (платина или оксид ванадия):



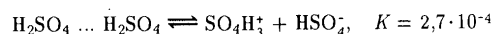
Тетраэдрические σ -связи серы (VI) возникают также при взаимодействии SO_3 с некоторыми соединениями водорода, например с водой, газообразными HF , HCl



Все многочисленные типы сульфат (VI)-ионов имеют тетраэдрическую конфигурацию:



Тетраоксосульфат (VI) водорода H_2SO_4 — маслянистая жидкость, замерзающая при 10,4°C. Его получают при охлаждении концентрированной серной кислоты. В твердом и жидким состоянии молекулы H_2SO_4 связаны водородными связями. Жидкий H_2SO_4 — ионизирующий растворитель. Его собственная ионизация незначительна и выражается уравнением



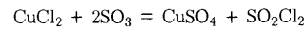
В водных растворах H_2SO_4 — сильная двухосновная кислота ($K_{1a} = 1 \cdot 10^3$, $K_{2a} = 1,2 \cdot 10^{-2}$).

Взаимодействие H_2SO_4 с водой сопровождается выделением большого количества теплоты за счет образования гидратов. Поэтому смешивать концентрированную H_2SO_4 с водой следует очень осторожно, вливая серную кислоту тонкой струйкой в воду, а не наоборот. Концентрированная серная кислота поглощает пары воды, и поэтому ее применяют в качестве осушителя: она отнимает воду и от органических веществ, обугливая их. При охлаждении разбавленной серной кислотой выделяются кристаллогидраты (см. рис. 81, б).

Серную кислоту получают растворением SO_3 в концентрированной H_2SO_4 в виде олеума, содержащего 20–65% SO_3 .

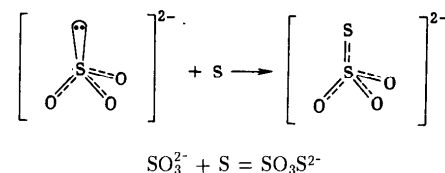
Большинство сульфатов (VI) хорошо растворимо в воде. Плохо растворимы тетраоксосульфаты $Ba(II)$, $St(II)$ и $Pb(II)$. Из водных растворов оккосульфаты (VI) обычно выделяются в виде кристаллогидратов. Соединения типа $CuSO_4 \cdot 5H_2O$, $FeSO_4 \cdot 7H_2O$ называются *купоросами*.

Безводные тетраоксосульфаты (VI) получают взаимодействием SO_3 с соответствующими хлоридами в неводных средах (например, в жидком SO_2 или SO_2Cl_2):



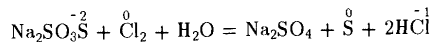
Триоксофторосульфат водорода $H[SO_3F]$ (*фторсульфоновая кислота*) и триоксохлоросульфат водорода $H[SO_3Cl]$ (*хлорсульфоновая кислота*) — жидкости. В водном растворе $H[SO_3F]$ — очень сильная кислота (подобная $HClO_4$) — гидролизуется медленно, в то время как гидролиз $H[SO_3Cl]$ протекает очень энергично.

При кипячении раствора триоксосульфата (IV) натрия с порошком серы образуется сульфидтриоксосульфат (VI) натрия:

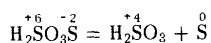
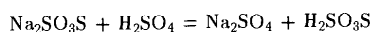


Свойства сульфидтриоксосульфатов (*тиосульфатов*) обусловливаются присутствием атомов серы в двух разных степенях окисления (+6

и -2). Так, наличие атома серы со степенью окисления -2 определяет восстановительные свойства SO_3^{2-} -иона:

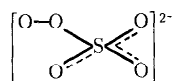


Тиосульфат водорода $\text{H}_2\text{SO}_3\text{S}$ неустойчив и при получении распадается:



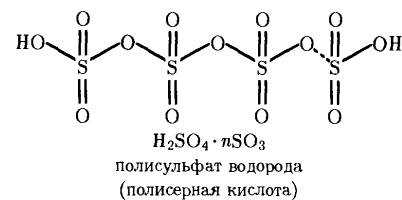
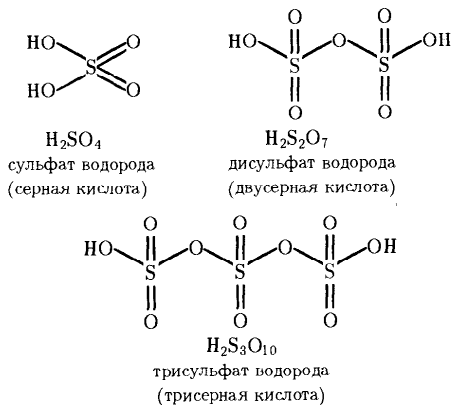
Из тиосульфатов наибольшее применение имеет *тиосульфит* $\text{Na}_2\text{S}_2\text{O}_3 \cdot 5\text{H}_2\text{O}$ (в фотографии, медицине).

Одним из лигандов в сульфат(VI)-ионе может быть пероксид-радикал O_2^{2-} :



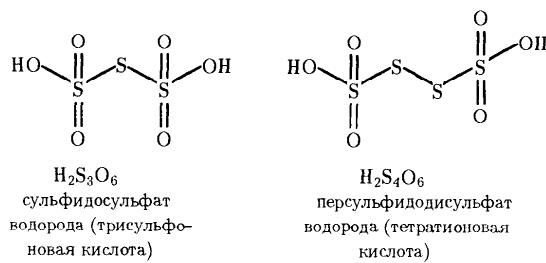
Производные $\text{SO}_3(\text{O}_2)^{2-}$ -иона (SO_5^{2-}) называются пероксосульфатами (VI), а раствор H_2SO_5 — *пероксомоноклерновая кислота*.

Подобно оксиду серы (VI), полимерными могут быть и сульфат-ионы, построенные из тетраэдрических структурных единиц SO_4 . Так, при растворении SO_3 в концентрированной серной кислоте образуется целая серия полисерных кислот:



Смесь H_2SO_4 , $\text{H}_2\text{S}_2\text{O}_7$, $\text{H}_2\text{S}_3\text{O}_{10}$, $\text{H}_2\text{S}_4\text{O}_{13}$, ... — густая маслянистая жидкость, дымящая на воздухе (*олеум*), широко используется в промышленности. Под действием воды связи $\text{S}-\text{O}-\text{S}$ разрываются и полисерные кислоты превращаются в серную.

Тетраэдрические структурные единицы в сульфатах могут объединяться также посредством атома или цепочки из атомов серы:

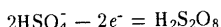


Соединения общей формулы $\text{H}_2\text{S}_x\text{O}_6$ ($x = 3 \div 6$) называются *политрионовыми кислотами*, а $\text{H}_2\text{S}_2\text{O}_6$ — *дитрионовой кислотой*.

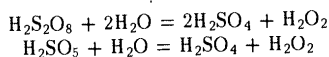
Роль мостика, объединяющего тетраэдрические структурные единицы, может играть также пероксидная группировка атомов:



Пероксодисерная кислота $H_2S_2O_8$ получается при электролизе серной кислоты или гидросульфатов. При этом на аноде протекает реакция

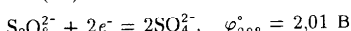


Пероксодисерная кислота $H_2S_2O_8$, как и пероксомоносерная H_2SO_5 , гидролизуется с образованием пероксида водорода:



Этим пользуются для получения пероксида водорода в технике.

Пероксусульфаты (VI) — сильные окислители:



Они используются при проведении химического анализа и синтеза. Пероксесерные кислоты обугливают бумагу, сахар и даже парафин.

§ 3. ПОДГРУППА СЕЛЕНА

Селен Se, теллур Te и полоний Po — имеют конфигурацию валентных электронов s^2p^4 .

В образование связей у селена и его аналогов вовлекаются непарные электроны, а также одна или две электроплые пары. Поэтому у *p*-элементов VI группы наблюдаются четные степени окисления: -2, +2, +4, +6.

В подгруппе селена, как и в других подгруппах *p*-элементов, с увеличением размеров атомов наблюдается общая тенденция к увеличению характерного координационного числа. Так, для серы и селена наиболее типичны координационные числа 3 и 4, а для теллура — 6, иногда даже 7 и 8.

При высшей степени окисления в ряду S—Se—Te—Po отчетливо наблюдается вторичная периодичность в изменении свойств соединений (см. рис. 142).

Селен и теллур — рассеянные, а полоний — редкий элементы (см. табл. 26). Природный селен состоит из шести устойчивых изотопов, теллур — из семи. Получены также радиоактивные изотопы селена и теллура. Полоний стабильных изотопов не имеет. Для него известно свыше двадцати радиоактивных изотопов.

Собственные минералы селена и теллура встречаются редко. Чаще всего Se и Te сопутствуют самородной сере и в виде селенидов и тел-

луридов присутствуют в сульфидных рудах. Полоний содержится в урановых и ториевых минералах как продукт распада радиоактивного ряда урана.

Простые вещества. В ряду O—S—Se—Te—Po тип устойчивых молекул изменяется: от двухатомных кислорода O_2 , затем циклических S_8 и Se_8 и цепных молекул Se_∞ и Te_∞ до металлического кристалла полония (см. табл. 28).

Как и сера, селен имеет полиморфные модификации. Наиболее устойчив гексагональный или серый селен. Его кристаллы образованы зигзагообразными цепями Se_∞ (рис. 156). При быстром охлаждении жидкого селена получается красно-коричневая стекловидная модификация. Она образована неупорядоченно расположенным молекулами Se_∞ разной длины. Кристаллические разновидности красного селена состоят из циклических молекул Se_8 , подобных S_8 .

Серый селен — полупроводник ($\Delta E = 1,8$ эВ). Его электрическая проводимость резко (примерно в 1000 раз) возрастает при освещении. Полупроводниковые свойства проявляют жидкий селен.

У теллура устойчива гексагональная модификация (рис. 156). Это серебристо-белое металlopодобное кристаллическое вещество. Однако он хрупок, легко растирается в порошок. Его электрическая проводимость незначительна, но при освещении усиливается, т. е. теллур — полупроводник ($\Delta E = 0,35$ эВ). Аморфный теллур (коричневого цвета) менее устойчив, чем аморфный селен, и при 25°C переходит в кристаллический.

Будучи изоморфными, гексагональные селен и теллур образуют между собой непрерывный ряд твердых растворов. При высоких температурах пары селена и теллура состоят из парамагнитных молекул Se_2 и Te_2 . При понижении температуры они полимеризуются в молекулы Se_4 , Se_6 и Se_8 .

Полоний — мягкий металл серебристо-белого цвета, по физическим свойствам напоминающий висмут и свинец. Как видно, в ряду O—S—Se—Te—Po структурные изменения и ослабление ковалентной связи Э—Э соответствуют изменению физических свойств; так, кисло-

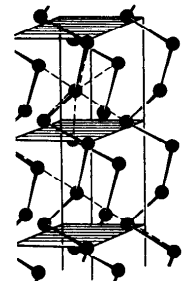


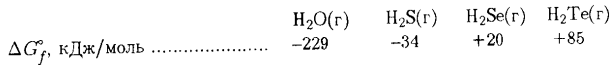
Рис. 156. Структура гексагонального селена и теллура

и сера — диэлектрики, селен и теллур — полупроводники, а полоний обладает металлической проводимостью.

Некоторые константы простых веществ *p*-элементов VI группы приведены ниже:

	O ₂	S	Se	Te	Po
	(ромб.)	(гекс.)	(гекс.)		
Пл., г/см ³	1,27*	2,07	4,82	6,25	9,3
T. пл., °C	-218,8	119,3	221	450	254
T. кип., °C	-182,97	444,6	685,3	990	962
S ₂₃₆ , Дж/(К·моль)	205,0	31,9	42,1	49,5	-
φ ₂₉₈ . Э + 2H ⁺ + 2e ⁻ = H ₂ Э, В	1,23	0,17	-0,40	-0,72	-

В ряду O—S—Se—Te—Po уменьшается окислительная и возрастает восстановительная активность, о чем, в частности, свидетельствует сопоставление электродных потенциалов. Об этом же можно судить по характеру изменения ΔG однотипных реакций с участием простых веществ. Так, изменение энергии Гиббса в реакции H₂ + Э = H₂Э отвечает следующим значениям:



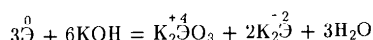
Селен и теллур с водой и разбавленными кислотами не реагируют. Полоний реагирует с соляной кислотой как типичный металл:



Подобно другим неметаллам, Se и Te окисляются концентрированной HNO₃ до кислот. Полоний же в этих условиях образует солеподобное соединение:



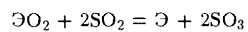
При кипячении в щелочных растворах Se и Te, подобно S, диспропорционируют:



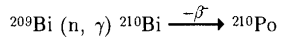
При нагревании селен, теллур и полоний довольно легко окисляются кислородом и галогенами, при сплавлении взаимодействуют с металлами.

* Для твердого кислорода.

Селен и теллур извлекают из отходов производства серной кислоты, накапливающихся в пылеуловителях, и из анодного плава, образуемого при электрической очистке цветных металлов. Для этого отходы и шлам окисляют, например, с помощью MnO₂. Образующиеся при этом SeO₂ и TeO₂ разделяют и восстанавливают диоксидом серы:

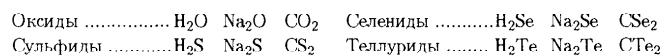


Изотоп ²¹⁰Po получают в атомных реакторах облучением висмута нейтронами:

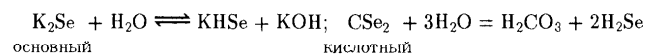


Как полупроводники селен и теллур используются для изготовления фотоэлементов оптических и сигнальных приборов. Кроме того, селен используют в стекольной промышленности для получения стекол рубинового цвета и др. Изотоп ²¹⁰Po (*T_{1/2}* = 138,4 дня) применяют как источник α-частиц.

Соединения селена, теллура и полония (—II). У селена, теллура и полония степень окисления —2 проявляется соответственно в *селенидах*, *теллуридах* и *полонидах* — соединениях с менее электроотрицательными, чем они сами, элементами. В этих типах соединений проявляется аналогия элементов селена и теллура с кислородом и серой. Например:



По методам получения, кристаллической структуре, растворимости и химическим свойствам селениды и теллуриды аналогичны сульфидам. Среди них имеются основные (K₂Se, K₂Te) и кислотные (CSe₂, CTe₂) соединения:



Вследствие больших размеров и низкой электроотрицательности атомов Se и Te в качестве лигандов выступают редко. Поэтому реакции между селенидами и тем более между теллуридами разной химической природы не характерны.

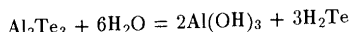
В соответствии с усилением металлических признаков простых веществ в ряду O—S—Se—Te—Po возрастает склонность к образованию

соединений типа металлидов. Большая группа селенидов и теллуридов — полупроводники. Наибольшее применение в качестве полупроводников имеют элементы подгруппы цинка.

Селениды водорода H_2Se и теллурид водорода H_2Te в обычных условиях — газы с очень неприятным запахом, по структуре и свойствам напоминают H_2S :

	H ₂ O	H ₂ S	H ₂ Se	H ₂ Te
T. пл., °C	0	-85,6	-65,7	-51
T. кип., °C	100	-60,4	-41,4	-2
$d_{\text{ЭН}^{\text{нм}}}$	0,096	0,133	0,146	0,169
$E_{\text{ЭН}^{\circ}}$, кДж/моль	463	347	276	238
$<\text{НЭН}$	104,5°	92,2°	91,0°	90°
ΔH_{298}° , кДж/моль	-285,8	-21	33	99,7
ΔG_{298}° , кДж/моль	-237,2	-33,8	19,7	85,2
K_{al} , в водном растворе	$1,8 \cdot 10^{-16}$	$1 \cdot 10^{-7}$	$1,7 \cdot 10^{-4}$	$1,0 \cdot 10^{-3}$

Как видно из приведенных данных, в ряду $\text{H}_2\text{O}-\text{H}_2\text{S}-\text{H}_2\text{Se}-\text{H}_2\text{Te}$ по мере увеличения длины и уменьшения энергии связи ЭН устойчивость молекул падает. В отличие от оксида и сульфида водорода его селенид и теллурид — эндотермические соединения ($\Delta H_f^{\circ} > 0$). При нагревании H_2Te легко распадается, а водородное соединение полония разлагается уже при получении. Селенид и теллурид водорода можно получить действием воды или кислот на селениды и теллуриды некоторых металлов, например:



Растворы в воде H_2Se и H_2Te — слабые кислоты (*селеноводородная* и *теллурводородная*). Как видно из значений констант ионизации K_{ai} , в ряду $H_2O-H_2S-H_2Se-H_2Te$ сила кислот возрастает, что объясняется уменьшением энергии связи ЭН. В этом же ряду растет восстановительная способность H_2E .

Селенид водорода и его производные ядовиты.
Соединения селена (IV), теллура (IV) и полония (IV). Степень окисления +4 селена, теллура и полония проявляется в диоксидах O_2 , тетрагалогенидах ЭHal_4 , оксодигалогенидах ЭOHal_2 , а также в соответствующих им анионных комплексах, например типа ЭO_3^- , Hal_6^{2-} . Для полония (IV), кроме того, характерны солеподобные соединения типа $\text{Po}(\text{SO}_4)_2$, $\text{Po}(\text{NO}_3)_4$.

В отличие от серы у селена и его аналогов диоксиды EO_2 в обычных условиях — полимерные соединения.

В ряду SeO_2 – TeO_2 – PoO_2 отчетливо наблюдается ослабление кислотных свойств. Так, SeO_2 легко растворяется в воде, образуя селенистую кислоту H_2SeO_3 :



Диоксид теллура в воде не растворяется, но взаимодействует с растворами щелочей:



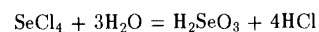
Диоксид же полония с щелочами реагирует только при сплавлении, а с кислотами взаимодействует как осибовый оксид:



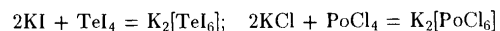
Производные EO_3^{2-} называются *селенитами*, *теллуритами* и *пологутатами*.

В отличие от H_2SO_3 триоксиселенат (IV) водорода H_2SeO_3 выделен в свободном состоянии. Это — твердое вещество, которое легко теряет воду (при $70^{\circ}C$) и превращается в SeO_2 . Аналогичное соединение теллура — H_2TeO_3 склонно к полимеризации, и поэтому при действии кислот на теллуриты выделяется осадок переменного состава $TeO_x \cdot nH_2O$.

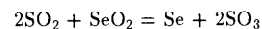
Тетрагалогениды, кроме жидкого SeF_4 , — твердые вещества (т. пл. 100–350°С). Они образуются при взаимодействии простых веществ. Будучи кислотными соединениями, EHal_4 довольно легко (в особенности SeHal_4) гидролизуются:



и взаимодействуют с основными галогенидами:

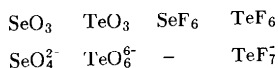


Оксид SeO_2 и SeO_3^{2-} по сравнению с SO_2 и SO_3^{2-} проявляют в большей степени окислительные свойства, чем восстановительные. Например, SeO_2 легко окисляет SO_2 :



Для окисления же производных Э(IV) необходимы сильные окислители.

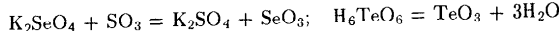
Соединения селена (VI), теллура (VI) и полония (VI). Для селена (VI) и теллура (VI) известны бинарные соединения с кислородом и фтором:



Соединения полония (VI) неустойчивы.

Как и SO_3 , триоксид селена SeO_3 (т. пл. $118,5^\circ\text{C}$, т. разл. $> 185^\circ\text{C}$) — белого цвета, известен в виде стекловидной и асбестовидной модификаций. С водой SeO_3 взаимодействует очень энергично, образуя селеновую кислоту H_2SeO_4 .

Триоксид теллура TeO_3 также имеет две модификации. В воде практически не растворяется, но взаимодействует со щелочами. Триоксид селена SeO_3 получают действием SO_3 на сelenаты (VI), а TeO_3 — обезвоживанием гексаоксотеллурата (VI) водорода:

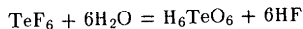


Тетраоксоселенат (VI) водорода H_2SeO_4 — белое кристаллическое вещество (т. пл. $62,4^\circ\text{C}$). Как и H_2SO_4 , он жадно поглощает воду, обугливает органические вещества. Его водный раствор — сильная (селеновая) кислота ($K_{\text{al}} = 1 \cdot 10^3$, $K_{\text{a2}} = 1,2 \cdot 10^{-2}$). Из растворов выделяются кристаллогидраты ($\text{H}_2\text{SeO}_4 \cdot \text{H}_2\text{O}$, $\text{H}_2\text{SeO}_4 \cdot 2\text{H}_2\text{O}$, $\text{H}_2\text{SeO}_4 \cdot 4\text{H}_2\text{O}$), являющиеся селенатами оксония.

Для теллура (VI), как и для других *p*-элементов 5-го периода, производственное координационное число по кислороду равно 6. Производственное соединение теллура (VI) — гексаоксотеллурат(VI)-иона TeO_6^{6-} образуется при сплавлении со щелочами производных Te (IV) в присутствии окислителей.

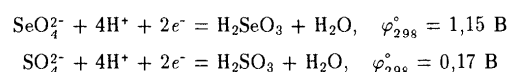
Гексаоксотеллурат (VI) водорода H_6TeO_6 — белое кристаллическое вещество, хорошо растворимое в горячей воде. Теллуровая кислота очень слабая ($K_{\text{al}} = 2 \cdot 10^{-8}$, $K_{\text{a2}} = 5 \cdot 10^{-11}$). При нейтрализации H_6TeO_6 щелочью образуются оксигидроксителлураты, например $\overset{+1}{\text{M}}[\text{TeO}(\text{OH})_5]$, $\overset{+1}{\text{M}}_2[\text{TeO}_2(\text{OH})_4]$. Получены также производные типа Ag_6TeO_6 , Hg_3TeO_6 .

Гексафториды ScF_6 (т. возг. $-46,6^\circ\text{C}$) и TeF_6 (т. возг. $-38,6^\circ\text{C}$) — бесцветные газы; их молекулы имеют форму октаэдра. Это отличие от SF_6 и SeF_6 гексафторид теллура легко гидролизуется. Это обусловлено координационной ненасыщенностью теллура:

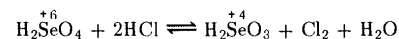


По этой же причине TeF_6 дает фторотеллураты (VI), например $\text{Cs}_2[\text{TeF}_8]$, $\text{Ba}[\text{TeF}_7]_2$, $\text{Ba}[\text{TeF}_8]$.

Соединения селена (VI) менее устойчивы (см. рис. 143), чем соответствующие соединения серы (VI). Так, при нагревании SeO_3 и H_2SeO_4 разлагаются с выделением кислорода. Поэтому H_2SeO_4 — более сильный окислитель, чем H_2SO_4 :



Например, H_2SeO_4 окисляет концентрированную соляную кислоту:

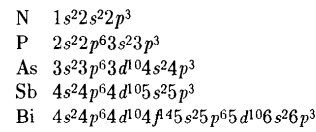


За счет выделения атомного хлора смесь H_2SeO_4 и HCl — сильнейший окислитель, растворяет золото и платину. Окислительные свойства у H_6TeO_6 выражены слабее, чем у H_2SeO_4 .

Помимо полупроводниковой техники соединения селена и теллура используются в химическом синтезе, в частности, для получения разнообразных селен- и теллурогорганических соединений. Многие соединения селена и теллура токсичны. Полоний еще опаснее ввиду его радиоактивности.

ГЛАВА 5. *p*-ЭЛЕМЕНТЫ В ГРУППЕ ПЕРИОДИЧЕСКОЙ СИСТЕМЫ Д.И. МЕНДЕЛЕЕВА

Элементы главной подгруппы V группы — азот N, фосфор P, мышьяк As, сурьма Sb, висмут Bi. Согласно электронным конфигурациям их атомов



азот и фосфор относят к типическим элементам, а мышьяк, сурьму и висмут объединяют в подгруппу мышьяка. Основные константы *p*-элементов V группы приведены ниже:

	^7N	^{15}P	^{33}As	^{51}Sb	^{83}Bi
Атомная масса	14,01	30,97	74,92	121,75	208,98
Валентные электроны	$2s^22p^3$	$3s^23p^3$	$4s^24p^3$	$5s^25p^3$	$6s^26p^3$
Атомный радиус:					
металлический, нм	0,071	0,13	0,148	0,161	0,182
ковалентный, нм	0,070	0,110	0,118	0,136	0,146
Условный радиус:					
иона E^3- , нм	0,148	0,186	0,192	0,208	0,213
иона E^{3+} , нм	0,015	0,035	0,047	0,062	0,074
Энергия ионизации $\text{E}^0 \rightarrow \text{E}^+$, эВ	14,53	10,484	9,81	8,639	7,287
Содержание в земной коре, %					
(мол. доли)	0,25	0,05	$1,5 \cdot 10^{-4}$	$5 \cdot 10^{-6}$	$1,7 \cdot 10^{-6}$
Природные изотопы	^{14}N (99,63%)	^{31}P (100%)	^{75}As (100%)	^{121}Sb (57,3%)	^{209}Bi (100%)
	^{15}N (0,36%)		^{123}Sb (42,7%)		

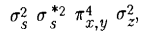
Как видно из приведенных данных, в ряду As—Sb—Bi размеры атомов и ионов увеличиваются, энергии ионизации уменьшаются. Этим обусловлено ослабление признаков неметаллических элементов и усиление признаков металлических элементов.

§ 1. АЗОТ

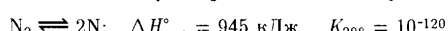
Азот ($1s^22s^22p^3$) — типичный неметаллический элемент, по электронности (3,0) уступает лишь фтору и кислороду. Степени окисления азота в соединениях $-3, -1, +1, +3, +5$, а также $-2, +2$ и $+4$.

Природный азот состоит из двух устойчивых изотопов: ^{14}N (99,635%) и ^{15}N (0,365%). Содержание азота на Земле составляет 0,03 % (мол. доли). Основная масса егоходит в состав атмосферы [78% (об. доли)] в виде простого вещества. Из минералов промышленное значение имеют чилийская NaNO_3 и индийская KNO_3 селитры. Азот входит в состав белковых тел всех растительных и животных организмов, обнаружен в газовых туманностях и солнечной атмосфере, на Уране и Нептуне и др.

Простое вещество. Электронная конфигурация молекулы азота N_2



что отвечает тройной связи между атомами азота: $\text{N}\equiv\text{N}$ ($d_{\text{NN}} = 0,1095$ нм). Вследствие этого молекула N_2 исключительно прочна:



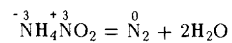
Даже при 3000°C степень диссоциации молекулярного азота на атомы достигает всего лишь 0,1%.

Вследствие прочности молекулы N_2 многие соединения азота эндотермичны. Кроме того, энтропия их образования отрицательна (N_2 — газ). Отсюда молекулярный азот химически малоактивен, а соединения азота термически малоустойчивы и относительно легко разлагаются при нагревании. Поэтому азот на Земле находится главным образом в свободном состоянии.

Молекула азота N_2 слабо поляризуется. Силы взаимодействия между молекулами N_2 очень слабые и не могут препятствовать беспорядочному движению молекул (энталпийный фактор проявляется значительно слабее, чем энтропийный). Поэтому в обычных условиях молекулярный азот — газ. Температуры плавления ($-210,0^\circ\text{C}$) и кипения ($-195,8^\circ\text{C}$) азота очень низкие; он плохо растворяется в воде и других растворителях.

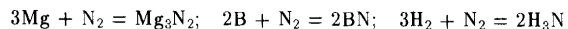
В обычных условиях азот непосредственно взаимодействует лишь с литием с образованием Li_3N . При активации молекул N_2 (нагреванием, действием электроразряда или ионизирующих излучений) азот обычно выступает как окислитель и лишь при взаимодействии с фтором и кислородом — как восстановитель.

В промышленности азот получают фракционированной перегонкой жидкого воздуха, в лаборатории — термическим разложением соединений, чаще всего NH_4NO_2 :



Основная масса получаемого азота используется для синтеза аммиака; азот применяют также для создания инертной атмосферы в химических и других производствах.

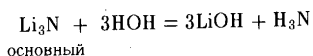
Соединения азота (—III). При высоких температурах азот окисляет многие металлы и неметаллы, образуя и т р и д ы:



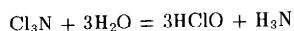
Свойства нитридов более или менее закономерно изменяются по периодам и группам периодической системы. Например, в малых периодах наблюдается переход от основных нитридов к кислотным:

Na_3N , Mg_3N_2	AlN	Si_3N_4 , P_3N_5 , S_3N_4 , Cl_3N
основные	амфотерный	кислотные

Нитриды s -элементов I и II групп, например Li_3N и Mg_3N_2 , — кристаллические вещества. Химически они довольно активны. Например, легко разлагаются водой, образуя щелочь и аммиак:



Нитриды галогенов — эндотермические соединения. В свободном состоянии выделен лишь жидкий Cl_3N ($\Delta H_f^\circ = 229$ кДж/моль), легко разлагающийся со взрывом. По химической природе это кислотное соединение:



Нитриды BN, AlN и Si_3N_4 , Ge_3N_4 — твердые полимерные вещества с высокими температурами плавления (2000—3000°C); они либо диэлектрики, либо полупроводники.

Весьма разнообразны нитриды d -элементов. Это кристаллические вещества переменного состава. Чаще всего встречаются нитриды типа MN (TiN, VN, CrN) и M_2N (Nb_2N , Cr_2N , Mo_2N). Они проявляют металлические свойства: обладают металлическим блеском и электронной проводимостью. Нитриды этого типа отличаются высокой твердостью и тугоплавкостью, часто превышающей тугоплавкость исходного металла:

	Ti	Zr	Hf	V	Nb	Ta
Т. пл., °C	1668	1855	2230	1920	2570	3014
	TiN	ZrN	HfN	VN	NbN	TaN
Т. пл., °C	3220	2950	2982	2050	2573	3090
ΔG_{298}° , кДж/моль	-308	-336	-340	-224	-215	-218

Большинство нитридов d -элементов химически очень стойки: они не разрушаются растворами кислот, расплавленными металлами, устойчивы против окисления на воздухе. Перечисленные особенности позволяют использовать нитриды в качестве высокопрочных материалов. Получены также бинарные нитриды d -элементов, по составу отвечающие обычным степеням окисления элементов, например Zr_3N_4 , Ta_3N_5 .

Из нитридов наибольшее практическое значение имеет нитрид водорода NH_3 — аммиак. В обычных условиях это бесцветный газ с резким удручающим запахом. Молекула NH_3 имеет форму тригональной пирамиды ($d_{\text{NH}} = 0,10$ нм, $\angle \text{HNH} = 107,3^\circ$). Согласно теории валентных связей это отвечает sp^3 -гибридизации валентных орбиталей атома азота. Из четырех sp^3 -гибридных орбиталей азота три участвуют в образовании трех σ -связей N—H, а четвертую орбиталь занимает несвязывающая электронная пара. В терминах теории молекулярных орбиталей это соответствует заполнению трех связывающих и одной почти несвязывающей молекулярной σ -орбитали:

$$\sigma_z^2 \sigma_x^2 \sigma_y^2 \sigma_z^0$$

На рис. 157 приведена энергетическая диаграмма орбиталей молекулы аммиака. Из семи исходных атомных орбиталей ($2s$, $2p_x$, $2p_y$ и $2p_z$ -орбиталей азота и $1s$ -орбиталей трех атомов водорода) возникает семь молекулярных орбиталей: три σ , три σ^* и одна несвязывающая σ_z^0 .

В соответствии с характером распределения электронов по орбитальным молекула NH_3 имеет три первых потенциала ионизации (22,4; 15,2 и 10,5 эВ), что отвечает удалению электрона с одного из трех заполненных энергетических уровней.

Поскольку несвязывающее двухэлектронное облако отчетливо ориентировано в пространстве (см. рис. 51), молекула NH_3 — резко выраженный донор электронной пары и обладает высокой полярностью ($\mu = 0,49 \cdot 10^{-29}$ Кл·м).

Полярность связи N—H обусловливает между молекулами NH_3 водородную связь. Поэтому температуры плавления (-77,8°C) и кипения (-33,4°C) аммиака довольно высоки; он характеризуется значительной энталпийей испарения и легко сжижается. На этом основано его применение в холодильных машинах. Жидкий аммиак хранят в стальных баллонах.

Среди водородных соединений p -элементов V группы аммиак занимает такое же особое положение, как вода среди водородных соедине-

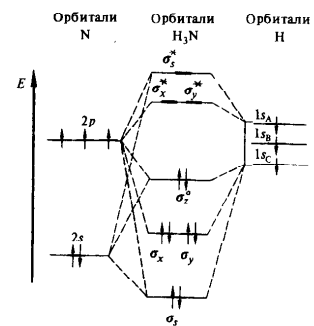
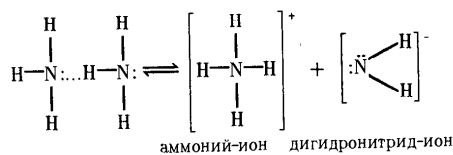


Рис. 157. Энергетическая диаграмма орбиталей пирамидальной молекулы без π -связывания на примере NH_3

ионов *p*-элементов VI группы и как фторид водорода среди галогеноводородов.

Собственная ионизация аммиака

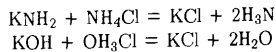


ничтожно мала, и ионное произведение аммиака $[\text{NH}_4^+][\text{NH}_2^-]$ составляет всего лишь $2 \cdot 10^{-33}$ (при -50°C).

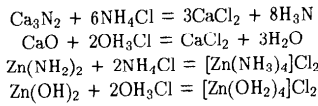
Жидкий аммиак, как и вода, — сильно ионизирующий растворитель. При этом производные NH_4^+ в жидким аммиаке (подобно производным OH^- в воде) ведут себя как кислоты (*аммонокислоты*), а производные NH_2^- (подобно производным OH^- в воде) — как основания (*аммооснования*). Например, сильными кислотами в жидким аммиаке являются NH_4Cl , NH_4NO_3 , а основаниями — KNH_2 , $\text{Ba}(\text{NH}_2)_2$. Дигидронитриды $\text{Zn}(\text{NH}_2)_2$, $\text{Al}(\text{NH}_2)_3$ ведут себя как амфотерные соединения. Производные NH_2^- называются также *алидами*, а производные NH^{2-} — *илидами*.

Ниже приведены некоторые типы реакций в жидким аммиаке и, для сравнения, в воде.

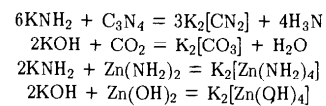
1. Реакции нейтрализации между аммонокислотой и аммооснованием:



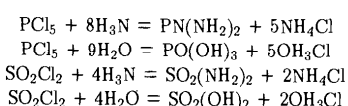
2. Растворение в аммонокислоте нерастворимого в жидким аммиаке основного и амфотерного нитрида, гидронитрида, дигидронитрида:



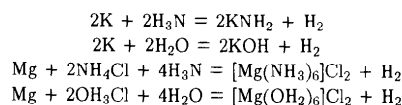
3. Растворение в аммоосновании нерастворимого в жидким аммиаке кислотного и амфотерного нитрида, гидронитрида, дигидронитрида:



4. Аммонолиз вещества, растворенного в жидким аммиаке:

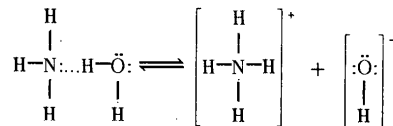


5. Взаимодействие простого вещества с жидким аммиаком, аммооснованием, аммонокислотой:



Жидкий аммиак как растворитель широко применяется для проведения различных синтезов.

Аммиак очень хорошо растворяется в воде (при 20°C в одном объеме H_2O растворяется около 700 объемов NH_3). Хорошая растворимость объясняется образованием водородной связи между молекулами NH_3 и H_2O . Поскольку молекула NH_3 — лучший акцептор протона, чем H_2O , то в растворе имеет место ионизация:



Появление ионов OH^- создает щелочную среду раствора. Но, как это видно из значения константы основности

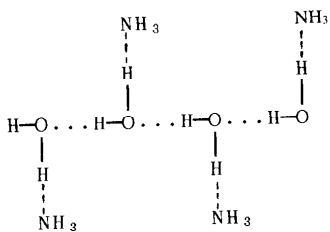
$$K_\text{0} = \frac{[\text{NH}_4^+][\text{OH}^-]}{[\text{NH}_3 \cdot \text{H}_2\text{O}]} = 1.8 \cdot 10^{-5}, \quad \text{p}K_\text{0} = 4.76$$

реакция протекает в незначительной степени. В растворе с молярной концентрацией аммиака 1 моль/л ионизируется, например, всего лишь 0,4% молекул NH_3 и H_2O .

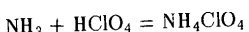
При взаимодействии ионов NH_4^+ и OH^- вновь образуются молекулы H_3N и H_2O , между которыми имеет место водородная связь. Следова-

тельно, ионное соединение NH_4OH (гидроксид аммония) не существует, как не существуют гидроксид оксония OH_3OH и дигидронитрид аммония NH_4NH_2 .

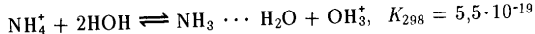
Из водных растворов аммиака выделяются два кристаллогидрата (рис. 158) $\text{NH}_3 \cdot \text{H}_2\text{O}$ и $2\text{NH}_3 \cdot \text{H}_2\text{O}$, устойчивые лишь при низкой температуре. Молекулы $\text{NH}_3 \cdot \text{H}_2\text{O}$ имеют структуру, в которой основой являются цепи из молекул $\text{NH}_3 \cdot \text{H}_2\text{O}$ с водородными связями. Цепи объединяются между собой в трехмерную решетку молекулами аммиака также посредством водородных связей:



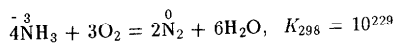
Ионы NH_4^+ значительно легче образуются при взаимодействии аммиака с кислотами, например:



При этом чем сильнее кислоты, тем устойчивее их аммонийные производные. Например, в ряду $\text{NH}_4\text{F} - \text{NH}_4\text{Cl} - \text{NH}_4\text{Br} - \text{NH}_4\text{I}$ термическая водность солей возрастает. Почти все соли аммония хорошо растворимы и полностью диссоциируют в воде. При их гидролизе ионы NH_4^+ и OH^- связываются в гидрат аммиака и возникает кислая среда:



При нагревании аммиак проявляет восстановительные свойства, окисляясь обычно до свободного азота:



Эта реакция необратима ($\Delta H < 0$, $\Delta S > 0$).

На восстановительной способности NH_3 основано применение NH_4Cl (нашатыря) для очистки от оксидов поверхности металлов при пайке:

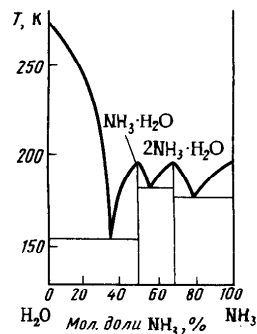
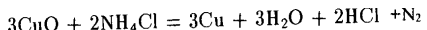


Рис. 158. Диаграмма состояния системы $\text{H}_2\text{O} - \text{NH}_3$

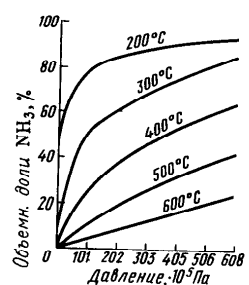
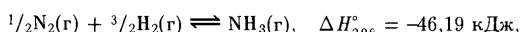


Рис. 159. Равновесная концентрация аммиака в азото-водородной смеси ($3\text{H}_2 + \text{N}_2$) как функция давления и температуры

В промышленности аммиак получают синтезом из простых веществ:



$$\Delta S_{298}^\circ = -103 \text{ Дж/К}$$

Поскольку энталпия образования аммиака невелика, а его синтез сопровождается уменьшением энтропии в соответствии с принципом Ле Шателье, процесс проводят (рис. 159) при высоком давлении ($10^7 - 10^8 \text{ Па}$). Для ускорения реакции применяют катализатор. В качестве катализатора наибольшую активность проявляют простые вещества элементов подгруппы железа (рис. 160). В технике обычно применяют железный катализатор (с добавлением активаторов). Процесс ведут при $450 - 500^\circ\text{C}$.

Аммиак выделяется также при коксации каменного угля. В лаборатории его получают действием щелочей на аммонийные соли. Основная масса производимого аммиака используется для получения азотной кислоты и азотистых удобрений — жидкого аммиака и его отвердителей.

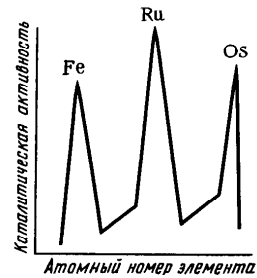
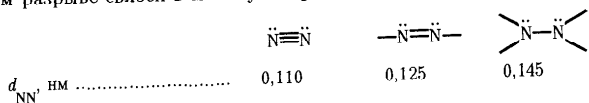


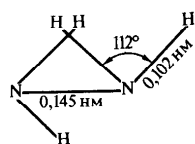
Рис. 160. Зависимость каталитической активности ряда металлов в реакции $2\text{NH}_3 = \text{N}_2 + 3\text{H}_2$ ($800^\circ\text{C}, 1 \cdot 10^5 \text{ Па}$) от атомного номера элемента

водных растворов, NH_4NO_3 , $(\text{NH}_4)_2\text{SO}_4$ и др. Водный раствор аммиака (*аммиачная вода*) — важный реагент для проведения различных реакций.

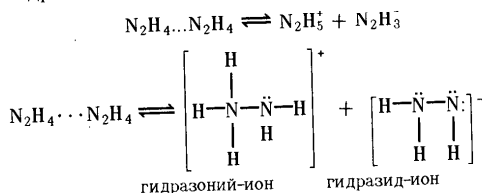
Соединения азота (II). Азот, как и кислород, образует соединения перекисного типа — пернитриды. Последние можно рассматривать как производные радикалов, образующихся при последовательном разрыве связей в молекуле N_2 :



Простейшим представителем пернитридов является пернитрид водорода N_2H_4 , называемый гидразином или диалидом. Молекула гидразина полярна ($\mu = 0,62 \cdot 10^{-29}$ Кл·м), ее структура может быть представлена схемой

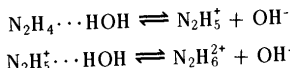


Гидразин — бесцветная жидкость (т. пл. 2°С, т. кип. 113,5°С), молекулы которой соединены водородной связью. Собственная ионизация жилкого гидразина



незначительна.

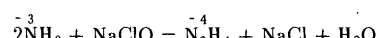
Гидразин — хороший ионизирующий растворитель. С водой и спиртом он смешивается в любых соотношениях. Водные растворы его показывают щелочную среду:



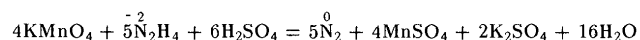
382

Являясь донором двух электронных пар, гидразин с кислотами образует два ряда гидразоний-производных, представляющих собой соли, например $[N_2H_5]Cl$, $[N_2H_6]Cl_2$, $[N_2H_6]SO_4$.

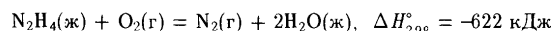
Растворы гидразина получают осторожным окислением аммиака гипохлоритом:



Гидразин — эндотермическое соединение ($\Delta H_{f,298}^\circ = 56$ кДж/моль, $\Delta G_{f,298}^\circ = 149$ кДж/моль). Гидразин и производные гидразоний-ионов значительно менее устойчивы, чем аммиак и производные аммония. Гидразин — сильный восстановитель:

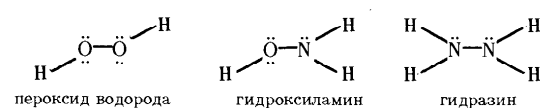


На воздухе N_2H_4 может гореть с большим выделением теплоты:



Пернитрид водорода состава N_2H_2 (*диимиид*) очень неустойчив, но известны его многочисленные органические производные.

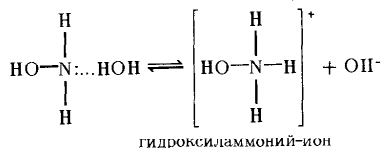
Соединения азота (-I). Промежуточное положение между пероксидом и пернитридом водорода по составу и структуре занимает *иодроксида азота*:



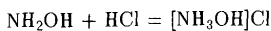
Гидроксиламин — это белое кристаллическое вещество (т. пл. 33°C, $\Delta G_f^\circ = -17$ кДж/моль), образуется при восстановлении раствора HNO_3 атомным водородом в процессе электролиза:



NH_2OH — донор электронной пары; образует водородные связи, с водой смешивается в любых отношениях. Подобно NH_3 и N_2H_4 в воде NH_2OH — слабое основание ($K_b = 8.9 \cdot 10^{-9}$):

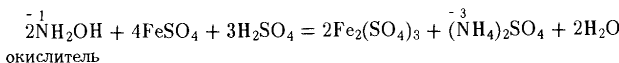


С кислотами дает соли гидроксиламмония $[\text{NH}_3\text{OH}]^+$, например $[\text{NH}_3\text{OH}]\text{Cl}$, $[\text{NH}_3\text{OH}]\text{NO}_3$, $[\text{NH}_3\text{OH}]_2\text{SO}_4$

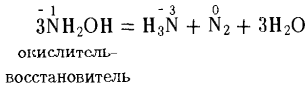


Соли гидроксиламмония — устойчивые бесцветные кристаллические вещества, растворимые в воде.

В ряду $\text{H}_2\text{O}_2-\text{NH}_2\text{OH}-\text{N}_2\text{H}_4$ окислительная активность падает, а восстановительная возрастает. Так, если для H_2O_2 наиболее характерны окислительные свойства, а для N_2H_4 — восстановительные, то NH_2OH в щелочной среде является сильным восстановителем, а в кислой среде отчетливо проявляет окислительные свойства:



Как и пероксид водорода, NH_2OH легко разлагается (в особенности при нагревании) по механизму диспропорционирования:



Гидроксиламин и соли гидроксиламмония применяются главным образом в органическом синтезе.

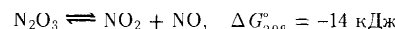
Будучи донорами электронных пар, NH_2OH и N_2H_4 , как и NH_3 , могут входить в качестве лигандов в комплексные соединения. Например: $[\text{Co}(\text{NH}_3)_6]\text{Cl}_3$, $[\text{Co}(\text{NH}_2\text{OH})_6]\text{Cl}_3$, $[\text{Co}(\text{N}_2\text{H}_4)_6]\text{Cl}_3$.

Соединения азота (III). Для азота в степени окисления +3 известны фторид NF_3 , оксид N_2O_3 , оксогалогениды NOHal ; а также производные аниона NO_2^- .

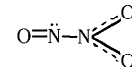
Трифторид азота NF_3 в обычных условиях — бесцветный газ (т. кип. -129°C , т. пл. -209°C). Получают его при окислении аммиака

фтором. Молекула NF_3 имеет пирамидальное строение (см. рис. 55). В отличие от NH_3 электрический момент диполя NF_3 очень мал (всего $0,07 \cdot 10^{-29}$ Кл·м). Электроупорных свойств NF_3 практически не проявляет. По отношению к нагреванию и различным химическим воздействиям трифторид весьма устойчив, вступает в реакции только выше 100°C . В воде он практически нерастворим, гидролиз начиняет протекать лишь при пропускании электрической искры через смесь его с водяным паром.

Оксид азота (III) N_2O_3 (триоксид диазота) существует только в твердом состоянии при низких температурах. В виде жидкости и пара в значительной степени диссоциирован:

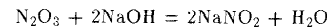


Его получают охлаждением смеси NO_2 с NO . Согласно данным инфракрасной спектроскопии, кристаллы N_2O_3 состоят из молекул

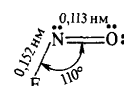


Жидкий N_2O_3 синего цвета, замерзает (при -100°C), образуя кристаллы светло-синей окраски.

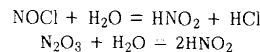
Оксид азота (III) — кислотный оксид, легко поглощается щелочами, образуя нитраты (III) (нитриты):



Молекулы оксогалогенидов азота (III) (галогениды нитрозила) имеют угловую форму:

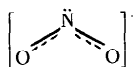


В обычных условиях это относительно малостойкие газообразные вещества. В ряду $\text{NOF}-\text{NOCl}-\text{NOBr}$ устойчивость соединений падает, а NOI получить не удалось. По химической природе фторид, оксогалогениды, как и оксид азота (III), — кислотные соединения, о чем свидетельствует, например, их отношение к воде:



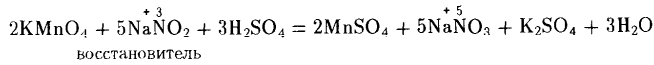
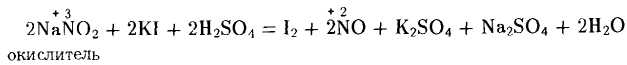
Диоксонитрат (III) водорода HNO_2 известен лишь в водном растворе, который является кислотой ($K_a = 4 \cdot 10^{-4}$), называемой азотистой.

Диоксонитрат (III), или *нитрит-ион* NO_2^- имеет угловую форму:

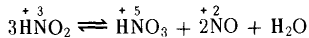


Нитраты (III) щелочных металлов получают при растворении N_2O_3 в щелочах.

Производные азота (III) проявляют и восстановительные, и окислительные свойства:

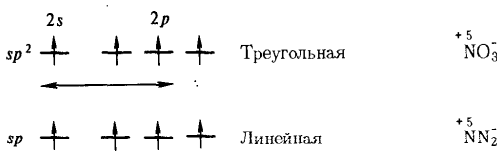


Кроме того, они склонны к реакциям диспропорционирования:



Соединения азота (V). Степень окисления +5 азот проявляет в оксиде N_2O_5 , оксонитриде NON , диоксофториде NO_2F , а также в триоксонитрат(В)-ионе NO_3^+ и динитридонитрат(В)-ионе NN_2^+ . Все эти соединения можно рассматривать как производные четырехзарядного иона N^+ :

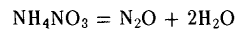
Характер гибридизации орбиталей N^+	Пространственная конфигурация	Примеры соединений
--	-------------------------------	--------------------



Оксид азота(В) N_2O_5 — белое кристаллическое вещество (т. возг. 33°C), образованное ионами NO_2^+ и NO_3^- : $[\text{NO}_2^+] [\text{NO}_3^-]$ — нитрат нитроила.

Его получают осторожным обезвоживанием HNO_3 (например, с помощью P_2O_5) или окислением NO_2 озоном. В обычных условиях N_2O_5 ($\Delta G_{f,298}^\circ = 114,2 \text{ кДж/моль}$) постепенно разлагается на NO_2 и O_2 , при нагревании взрывается.

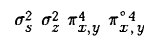
Оксонитрид азота (V) NON (N_2O — оксид азота (I), "веселящий газ") получается разложением аммонийной селитры (при 250°C):



Это бесцветный газ (т. пл. -91°C , т. кип. $-88,5^\circ\text{C}$) со слабым приятным запахом. В соответствии с sp -гибридизацией валентных орбиталей N^+ молекула имеет линейное строение ($\pi = 0,05 \cdot 10^{-29} \text{ Кл} \cdot \text{м}$, $d_{\text{NN}} = 0,113 \text{ нм}$, $d_{\text{NO}} = 0,118 \text{ нм}$). Его структуру можно передать схемой:



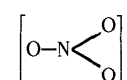
Это соответствует электронной конфигурации (см. рис. 42):



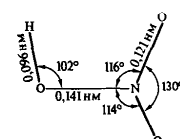
Уже при слабом нагревании оксид N_2O ($\Delta G_f^\circ = +104,1 \text{ кДж/моль}$) распадается, выделяя кислород. Поэтому в нем могут гореть углеродистые вещества, а его смеси с водородом и аммиаком взрываются. Оксонитрид азота (V) растворяется в воде, но устойчивых соединений не образует.

Оксофторид азота (V) NO_2F (фторид нитроила) — бесцветный газ сильный окислитель. Это кислотное соединение — водой разлагается на HNO_3 и HF .

Триоксонитрат (V)-ион NO_3^+ имеет форму плоского треугольника ($\angle \text{ONO} = 120^\circ$, $d_{\text{NO}} = 0,122 \text{ нм}$):

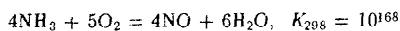


Молекула триоксонитрата (V) водорода HNO_3 имеет строение:

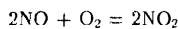


При обычных условиях HNO_3 — бесцветная жидкость (пл. 1,52 г/см³), кипящая при 82,6°C, а при -41,6°C затвердевающая в прозрачную кристаллическую массу.

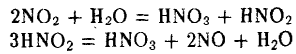
Собственная ионизация жидкого HNO_3 незначительна. С водой HNO_3 смешивается в любых отношениях. Его растворы — сильная кислота, называется *азотной*. В лаборатории азотную кислоту получают действием концентрированной серной кислоты на нитрат натрия. Промышленное производство HNO_3 осуществляется по стадиям: окисление NH_3 в NO кислородом воздуха на платиновом катализаторе:



окисление NO в NO_2



и взаимодействие последнего с водой:



Азотная кислота обладает сильно выраженными окислительными свойствами:

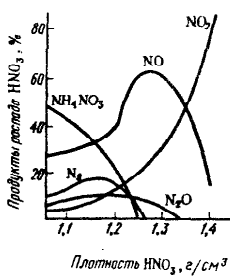
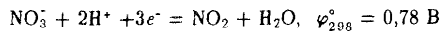
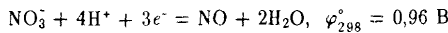


Рис. 161. Влияние плотности HNO_3 на характер продуктов ее восстановления железом

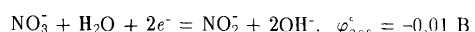
Она разрушает животные и растительные ткани, окисляет почти все металлы и неметаллы. Образование тех или иных продуктов взаимодействия зависит от концентрации HNO_3 , активности простого вещества и температуры. На рис. 161 показано влияние плотности (концентрации) HNO_3 на характер образующихся продуктов ее восстановления при взаимодействии с железом. Достаточно разбавленная кислота в основном восстанавливается до NH_4NO_3 ; с повышением ее концентрации становится более характерным образование NO ; концентрированная HNO_3 восстанавливается до NO_2 .

Смесь одного объема HNO_3 и трех объемов HCl называют *царской водкой*. Ее сильное окислительное действие обусловлено образующимся хлором:

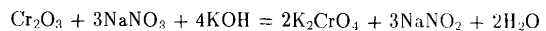


Она растворяет платину, золото и другие неактивные металлы, переводя их в комплексные хлориды.

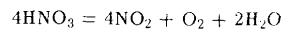
Нитрат-ион NO_3^- в нейтральной среде окислительные свойства практически не проявляет



но является окислителем при сплавлении:

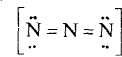


Триоксонитрат(V) водорода при нагревании и освещении легко разлагается:

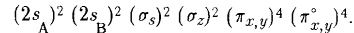


тогда как нитраты большинства других элементов устойчивы. Нитраты металлов растворимы в воде. Большое значение имеют нитраты как удобрения (особенно калийная и аммонийная селитры). Азотная кислота применяется для получения минеральных удобрений, взрывчатых веществ, органических красителей, пластических масс и в других многочисленных производствах.

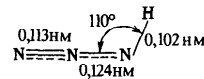
Динитридинитрат(V)-ион, или азид-ион, NN_2^- , (N_3^-) имеет линейную форму ($d_{\text{NN}} = 0,115 \text{ нм}$):



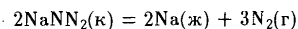
Распределение валентных электронов по молекулярным орбитальным отвечает электронной конфигурации (см. рис. 45):



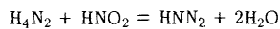
Структура молекулы динитридинитрата(V) водорода HN_2 или HN_3 :



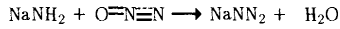
В обычных условиях HNN_2 — бесцветная летучая жидкость (т. пл. -80°C , т. кип. 37°C) с резким запахом. При ударе или нагревании HNN_2 и ряд других азидов распадаются со взрывом. На этом основано применение азида свинца $\text{Pb}(\text{N}_3)_2$ в качестве детонатора. Относительно устойчивы ионные азиды, которые при нагревании (до 300°C) разлагаются без взрыва:



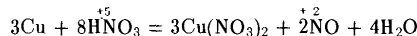
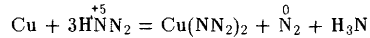
Эта реакция используется для получения особо чистого азота. Водный раствор HNN_2 — азотистоводородная кислота ($K_a = 2 \cdot 10^{-5}$), по силе близкая к уксусной. В разбавленных растворах HNN_2 практически устойчива. Ее получают взаимодействием гидразина и азотистой кислоты:



Исходным продуктом для получения других азидов является NaN_2 , который получают действием N_2O на NaNH_2 при 200°C :



Ион NN_2^- — окислитель. По окислительным свойствам HNN_2 напоминает HNO_3 . Так, если при взаимодействии с металлами HNO_3 дает оксид азота (II) и воду, то HNN_2 образует N_2 ("нитрид азота") и H_3N :



Смесь HN_3 и HCl , подобно царской водке, — сильный окислитель за счет образующегося хлора:

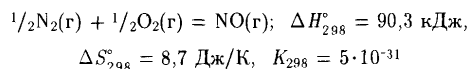


Отвечающий степени окисления +5 пентафторид азота не получен. Полагают, что вследствие большого значения энергии ионизации атом азота не склонен к образованию гипервалентных связей. Из производных N(V) синтезированы многочисленные соли иона фторалюминия NF_4^+ , например: $[\text{NF}_4]\text{BF}_4$, $[\text{NF}_4]\text{ЭF}_6$ (Э—P, As, Sb, Bi), $[\text{NF}_4]_2\text{ЭF}_6$ (Э—Ti, Ge, Ni и др.). Эти соли — сильные окислители.

Соединения азота (I), азота (II) и азота (IV). Для азота, как и для хлора, характерны достаточно устойчивые оксиды с нечетным числом электронов NO и NO_2 . Их можно рассматривать как устойчивые со-

бодные радикалы. Оба оксида — эндотермические соединения: их стандартные энталпии ΔH_f° и энергия Гиббса образования ΔG_f° имеют положительное значение.

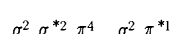
В обычных условиях оксид азота (II) NO — бесцветный газ (т. пл. $-163,6^\circ\text{C}$, т. кип. $-151,6^\circ\text{C}$). В лаборатории его получают действием разбавленной азотной кислоты на медь, а в промышленности — окислением аммиака на платиновом катализаторе. В отличие от всех остальных оксидов азота NO образуется прямым взаимодействием простых веществ:



Синтез NO из простых веществ сопровождается возрастанием энтропии системы. Поэтому в соответствии с уравнением $\Delta G = \Delta H - T\Delta S$ при соответствующей температуре ΔG может стать отрицательной величиной (рис. 162). При этих условиях начинает доминировать энтропийный фактор. Поскольку ΔS процесса очень незначительно, то отрицательное значение ΔG достигается при высоких температурах (порядка 3000°C).

Для всех же остальных оксидов азота при всех температурах ΔG — величина положительная Рис. 162. Зависимость стандартной (рис. 162), так как ΔS процесса образования оксидов имеет отрицательное значение. Поэтому прямой синтез других оксидов невозможен.

Молекула NO парамагнитна. Согласно теории молекулярных орбиталей в NO один из электронов находится на π_p^* -орбитали (табл. 34):



т. е. порядок связи в NO составляет 2,5. Структурную формулу NO можно изобразить следующим образом: $\text{:N}\equiv\text{O:}$.

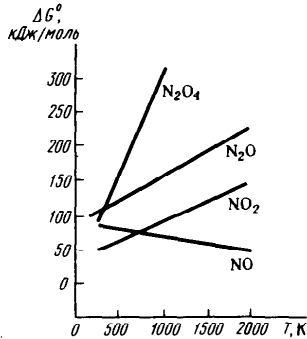
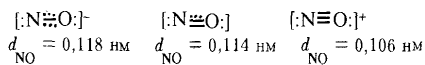


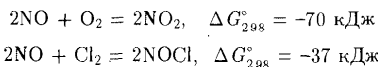
Таблица 34. Порядок, длина и энергия связи молекул N₂, NO и молекулярных ионов NO⁺, NO⁻

Молекулярные орбитали и свойства	NO ⁺ [N≡O] ⁺	N ₂ [N≡N]	NO [N=O]	NO ⁻ [N::O] ⁻
σ_z^*	—	—	—	—
$\pi_x^* \pi_y^*$	— —	— —	↑ —	↑ ↑
σ_z	†	†	†	†
$\pi_x \pi_y$	† †	† †	† †	† † †
σ_s^*	†	†	†	†
σ_s	†	†	†	†
Порядок связи	3	3	2,5	2
Межъядерное расстояние, нм	0,106	0,11	0,115	0,118
Энергия диссоциации, кДж/моль	1046	941	678	—

Подобная структура молекулы NO хорошо согласуется с ее электрическим моментом диполя ($0,02 \cdot 10^{-23}$ Кл·м), а также межъядерным расстоянием, промежуточным между значениями для двойной и тройной связи:



Вследствие повышенной кратности связи молекула NO достаточно устойчива, и ее распад становится заметным лишь при 500°C . Оксид азота (II) — химически активное соединение. С водородом образует гремучую смесь. Легко окисляется кислородом, галогенами:

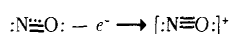


В молекуле NO непарный электрон находится на энергетически невыгодной π^* -орбитали, поэтому не может образовывать устойчивой связи N—N. Этим объясняется несклонность NO димеризоваться в N₂O₂ в обычных условиях.

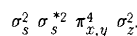
Твердый оксид азота (II) синего цвета состоит из неустойчивых диамагнитных молекул N₂O₂.

Но оксид азота (II) легко реагирует с другими свободными радикалами. Поэтому он является ингибитором цепных реакций. Если реакция протекает по радикально-цепному механизму, то добавление NO приводит к обрыву цепей и резкому замедлению реакции.

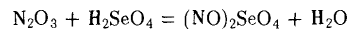
Энергия ионизации NO (9,27 эВ) заметно ниже таковой для N₂ (15,58 эВ) и O₂ (12,08 эВ). Молекула NO может терять непарный электрон с π^* -орбитали, образуя *нитрозил* (*нитроэозоний*)-ион NO⁺:



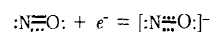
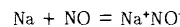
Ион NO⁺ изоэлектронен молекуле N₂. В отличие от NO ион NO⁺ диамагнитен. Его строение соответствует электронной конфигурации (см. табл. 34):



Производными иона NO⁺ являются, например, [NO]ClO₄, [NO]₂SeO₄. Это солеподобные вещества. Легко разлагаются водой. Их можно получить взаимодействием N₂O₃ с концентрированными кислотами, например:

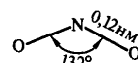


При взаимодействии с наиболее активными металлами в жидким аммиаке NO сам выступает как окислитель:

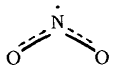


Производные NO⁺ неустойчивы и изучены недостаточно.

Диоксид азота NO₂ — газ бурого цвета (т. пл. $-11,2^\circ\text{C}$, т. кип. 21°C), токсичен. Его молекула paramагнитна, имеет угловую форму:



Длина связи d_{NO} (0,120 нм) имеет промежуточное значение между длиной одинарной (0,143 нм) и двойной (0,118 нм) связей. Это отвечает порядку связи 1,5:



Энергетическая диаграмма орбиталей молекулы NO_2 приведена на рис. 163. Семнадцать валентных электронов молекулы NO_2 образуют конфигурацию

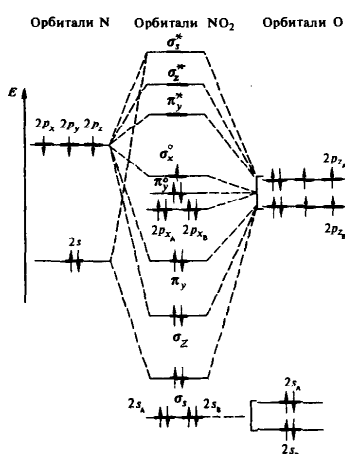
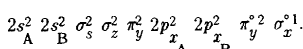
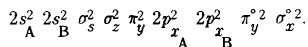


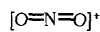
Рис. 163. Энергетическая диаграмма орбиталей молекулы NO_2

Кроме того, $2p_y$ -орбитали азота и $2p_y$ -орбитали двух атомов кислорода участвуют в образовании делокализованной π -связи (π_y -орбиталь).

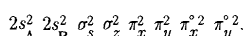
Таким же образом объясняется строение молекул Cl_2O , O_3 , ClO_2 , SO_2 , OF_2 , NO_2^- и др. Так, ион NO_2^- имеет электронную конфигурацию:



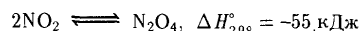
При потере σ_x -электрона молекула NO_2 превращается в нитронил-ион NO_2^+ . Последний имеет линейную структуру ($d_{\text{NO}} = 0,115$ нм):



Нитронил-ион изоэлектронен линейным молекулам типа CO_2 (см. рис. 41):

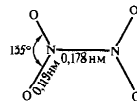


Молекулы NO_2 даже в парах частично димеризованы:

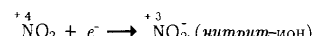
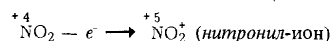


бурый, бесцветный,
парамагнетен диамагнетен

Жидкий и твердый диоксид азота бесцветен, состоит из плоских молекул N_2O_4 (тетраоксид диазота):



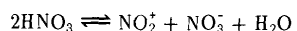
Молекула NO_2 может терять (энергия ионизации 9,78 эВ) и приобретать электроны (сродство к электрону 2,5 эВ):



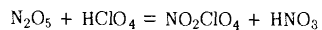
Указанные превращения определяют способность NO_2 к диспропорционированию при взаимодействии с водой и растворами щелочей:



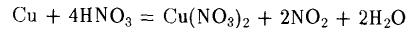
Нитронил-ион NO_2^+ образуется при самоионизации жидкого HNO_3 :



Из производных нитроний-иона NO_2^+ можно указать $[\text{NO}_2]\text{ClO}_4$, твердый оксид азота (V) $[\text{NO}_2]\text{NO}_3$ и др. Соли нитрония — кристаллические вещества, химически очень активны, быстро гидролизуются влагой воздуха. Соли нитрония можно получить, например, по реакции



Диоксид азота химически активен; в его атмосфере горят уголь, сера, фосфор. В лаборатории NO_2 получают взаимодействием меди с концентрированной азотной кислотой:



и термическим разложением ряда оксонитратов (V), например:



Диоксид азота применяют как нитрующий агент, в частности для получения безводных нитратов; N_2O_4 — окислитель ракетного топлива.

§ 2. ФОСФОР

Фосфор P ($1s^2 2s^2 2p^6 3s^2 3p^3$) по числу валентных элементов является аналогом азота. Однако как элемент 3-го периода он существенно отличается от азота — элемента 2-го периода. Это отличие состоит в том, что у фосфора больше размер атома, меньше энергия ионизации, большее сродство к электрону и большая поляризуемость атома, чем у азота. Максимальное координационное число фосфора шесть. В отличие от азота для фосфора (как и для других элементов 3-го периода) $p\pi - p\pi$ -связывание не характерно (см. рис. 147).

Фосфор в соединениях проявляет степени окисления от -3 до $+5$. Наиболее характерна степень окисления $+5$. Для фосфора наиболее прочны связи с фтором и кислородом.

В земной коре в соответствии с его устойчивой степенью окисления фосфор содержится в основном в виде фосфатов (V). Наиболее распространены минералы *гидроксилапатит* $\text{Ca}_5(\text{PO}_4)_3(\text{OH})$, *фторапатит* $\text{Ca}_5(\text{PO}_4)_3\text{F}$. Фосфор входит в состав живых организмов. Гидроксилапатит составляет минеральную часть костей, фторапатит — зубов, а сложные органические производные фосфора входят в состав клеток мозга и нервов.

Общее содержание фосфора в земной коре 0,05% (мол. доли). Он имеет только один природный изотоп ^{31}P . Получены его искусственные радиоактивные изотопы.

Простые вещества. Атомы фосфора объединяются в двухатомные P_2 , четырехатомные P_4 и полимерные $\text{P}_{2\infty}$ молекулы. Молекулы P_2 ($d_{\text{pp}} = 0,19$ нм), построенные аналогично N_2 , существуют лишь при температурах выше 1000°C .

В жидким и растворенном состоянии, а также в парах при температурах ниже 1000°C устойчивы четырехатомные молекулы P_4 , имеющие форму тетраэдра (см. табл. 28). При конденсации паров образуется белый фосфор (пл. 1,8 г/см³). Он имеет молекулярную кристаллическую решетку, в узлах которой находятся молекулы P_4 . Белый фосфор — мягкое бесцветное воскообразное вещество. Он легкоплавок (т. пл. $44,1^\circ\text{C}$, т. кип. 237°C), летуч, растворяется в сероуглероде и в

ряде органических растворителей. Белый фосфор чрезвычайно ядовит.

В молекуле P_4 связи $\text{P}-\text{P}$ ($d_{\text{pp}} = 0,221$ нм, $E_{\text{pp}} = 200$ кДж/моль) довольно легко разрываются. Этим объясняется высокая химическая активность белого фосфора и склонность переходить при хранении (в особенности при нагревании) в более стабильные полимерные модификации, например:



Черный фосфор имеет атомно-слоистую решетку (рис. 164) с характерным для фосфора пирамидальным расположением связей. По внешнему виду черный фосфор (пл. 2,7 г/см³) похож на графит, но является полупроводником ($\Delta E = 0,133$ эВ). Его можно получить из белого при 200°C и $1,2 \cdot 10^{10}$ Па:



Существует несколько форм красного фосфора.

Они — полимерные вещества, состоящие из пирамидально связанных атомов.

Для перевода красного фосфора в жидкое, а также в растворенное состояние необходим разрыв связей в полимерных молекулах. Поэтому полимерные модификации имеют высокие температуры плавления, практически не растворяются ни в одном из растворителей. При возгонке красного фосфора (423°C) в пар переходят молекулы P_2 , которые затем рекомбинируются в молекулы P_4 . Таким образом, при конденсации паров образуется белая, а не красная модификация.



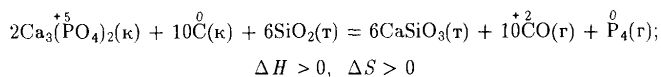
Рис. 164. Расположение атомов в кристалле черного фосфора

Красный и особенно черный фосфор химически намного устойчивее белого. Так, если белый фосфор на воздухе самовоспламеняется при 50°C , то красный — выше 250°C , а черный — выше 400°C . В отличие от белого фосфора его высокополимерные модификации не ядовиты. Вследствие высокой химической активности белый фосфор хранят под водой и по возможности в темноте.

Фосфор проявляет восстановительные и окислительные свойства. Он легко окисляется кислородом, галогенами, серой и др. При недостатке окислителя обычно образуются соединения фосфора (III) (P_2O_3).

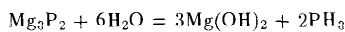
PHal_3 , P_2S_3), при избытке — соединения фосфора (V) (P_2O_5 , PHal_5 , P_2S_5). Окислительная активность фосфора проявляется при взаимодействии с металлами. При нагревании в воде и в особенности в щелочных растворах фосфор диспропорционирует.

В технике фосфор получают прокаливанием фосфата кальция с углем и песком в электропечах при 1500°C :



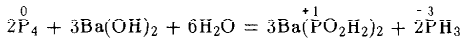
Эта реакция эндотермична, но сопровождается увеличением энтропии. Температура, при которой она протекает, определяется условием $T\Delta S > \Delta H$. При конденсации выделяющихся паров образуется белый фосфор, который длительным нагреванием при 280 – 340°C переводят в красный. Основная масса красного фосфора используется в спичечном производстве.

Соединения фосфора (–III). При нагревании фосфор окисляет почти все металлы, образуя фосфиды. Фосфиды s-элементов II группы состава E_3P_2 солеподобны, легко разлагаются водой:



Фосфиды d-элементов (обычно типа MP , MP_2 , M_3P) имеют серый или черный цвет, металлический блеск и электрическую проводимость. Фосфиды этого типа химически малоактивны.

Ковалентным фосфидом является фосфид водорода PH_3 (фосфин). С водородом фосфор практически не взаимодействует. Фосфин ($\Delta G_f^\circ = +13,4$ кДж/моль) получают косвенным путем. Образуется PH_3 при гидролизе некоторых фосфидов, а также при диспропорционировании фосфора в щелочной среде при нагревании:



Молекула PH_3 , как и NH_3 , имеет форму тригональной пирамиды ($d_{\text{PN}} = 0,142$ нм, $\angle \text{NPH} = 93,5^\circ$). Ее электрический момент диполя значительно меньше ($0,18 \cdot 10^{-29}$ Кл·м), чем у молекулы NH_3 . Водородная связь между молекулами PH_3 практически не проявляется, поэтому фосфин характеризуется более низкими температурами плавления ($-133,8^\circ\text{C}$) и кипения ($-87,42^\circ\text{C}$), чем аммиак. Фосфин — чрезвычайно ядовитый газ с неприятным запахом.

Превращение пирамидальной молекулы PH_3 в тетраэдрический ион PH_4^+ должно сопровождаться существенным изменением валентного угла $\angle \text{NPH}$ (от 398

93,5 до $109,5^\circ$), поэтому электронодонорные свойства PH_3 значительно ослаблены по сравнению с NH_3 . Так, фосфин в воде растворяется, но соединений при этом не образует.

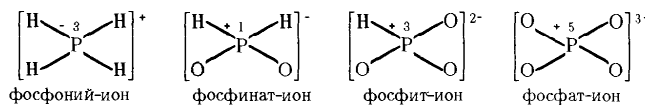
Электронодонорные свойства фосфина проявляют только при действии на него наиболее сильных доноров протонов (HClO_4 , HI), например при смешении газообразных PH_3 и HI :



При этом образуются малоустойчивые бесцветные кристаллические вещества — производные иона фосфония PH_4^+ . Соли фосфония легко разлагаются водой.

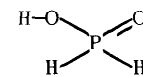
Фосфин и производные фосфония — сильные восстановители.

Соединения фосфора (I). По сравнению с PH_4^+ относительно более устойчивы комплексы, в которых наряду с атомами Н роль лигандов играют атомы O. Последние за счет π -связывания стабилизируют sp^3 -гибридное состояние фосфора:



Все эти ионы имеют тетраэдрическое или искаженно тетраэдрическое строение. Учитывая различие в электроотрицательностях атомов, можно считать, что степень окисления фосфора в указанном ряду изменяется от -3 до $+5$.

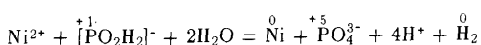
В качестве соединений фосфора (I) можно рассматривать производные $[\text{PO}_2\text{H}_2]^-$ -комплекса (фосфинат-ион). Его водородное производное $\text{H}[\text{PO}_2\text{H}_2]$



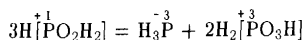
Фосфиновая кислота в обычных условиях — бесцветное кристаллическое вещество (т. пл. $26,5^\circ\text{C}$), хорошо растворимое в воде. Водный раствор $\text{H}[\text{PO}_2\text{H}_2]$ — сильная одноосновная кислота ($K_a = 7,9 \cdot 10^{-2}$).

Ее соли фосфинаты хорошо растворимы в воде. Как кислота, так и ее соли — сильные восстановители, окисляются до оксофосфатов (V).

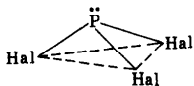
Фосфинаты применяют в качестве восстановителей, например, при химическом никелировании:



Соединения фосфора (I) практически не проявляют окислительных свойств, но при нагревании они диспропорционируют:



Соединения фосфора (III). У производных фосфора (III) в образовании связей принимают участие три или четыре sp^3 -гибридные орбитали атома фосфора, что соответствует пирамидальному и тетраэдрическому расположению связей. Так, молекула тригалогенида фосфора PHal_3 (как и H_3P) представляет собой тригональную пирамиду с атомом фосфора в вершине ($d_{\text{PHal}_3} = 0,155 - 0,255 \text{ нм}$, $\angle \text{HalPHal} \sim 100^\circ$)



Оксид фосфора (III) P_2O_3 существует в виде нескольких модификаций, построенных из пирамидальных структурных единиц (рис. 165, a). Обычная форма P_2O_3 имеет молекулярную решетку, образованную молекулами P_4O_6 . Эта форма легкоплавка (т. пл. $23,8^\circ\text{C}$, т. кип. $175,4^\circ\text{C}$), незначительно растворима в сероуглероде. Молекула P_4O_6 состоит из четырех пирамид PO_3 , соединенных через атомы кислорода (рис. 165, б). Другие модификации P_2O_3 — полимерные соединения.

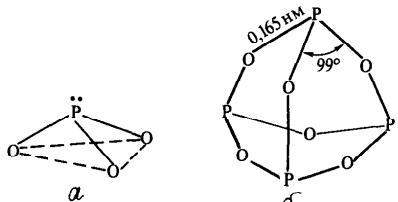
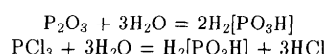
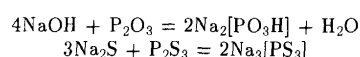


Рис. 165. Пирамидальная структурная единица (a) и строение молекулы P_4O_6 (б)

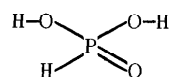
По химической природе бинарные соединения фосфора (III) являются кислотными, о чем свидетельствует их гидролиз:



и характер взаимодействия с основными соединениями:



При гидролизе образуется фосфоновая кислота $\text{H}_2[\overset{+3}{\text{PO}_3\text{H}}]$:

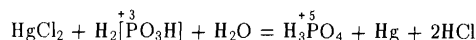


а при взаимодействии с основными соединениями — соответствующие фосфаты (III). Производные иона $[\overset{+3}{\text{PO}_3\text{H}}]^{2-}$ называются фосфонатами

Большинство из них, кроме солей s -элементов I группы, в воде растворяется плохо.

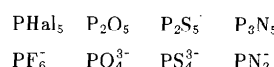
В обычных условиях $\text{H}_2[\overset{+3}{\text{PO}_3\text{H}}]$ — бесцветное, гигроскопичное, легко растворимое в воде твердое вещество (т. пл. 74°C). В водном растворе двухосновная фосфоновая кислота. Это кислота средней силы ($K_{\text{a}1} = 1,6 \cdot 10^{-3}$, $K_{\text{a}2} = 6,3 \cdot 10^{-7}$). Обычно ее получают гидролизом PCl_3 .

Соединения фосфора (III) — довольно сильные восстановители. Они, например, восстанавливают малоактивные металлы из растворов их соединений:

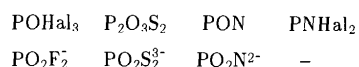


Фосфоновая кислота окисляется до фосфорной галогенами, диоксидом азота и другими окислителями. Тригалогениды окисляются фтором и хлором до PHal_5 , кислородом до POHal_3 и т. д.

Соединения фосфора (V). Фосфор проявляет степень окисления +5 в соединениях с галогенами, кислородом, серой и азотом:

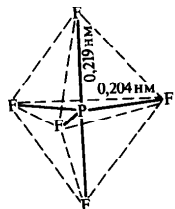


а также в соединениях смешанного типа:



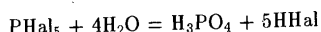
Для фосфора (V) характерны координационные числа 4 и 6, реже 5. Следовательно, большинство из указанных выше соединений являются полимерными, так как их простейший состав не отвечает характерному для фосфора (V) координационному числу.

Относительно более просты по структуре пентагалогениды фосфора PHal_5 . Их молекулы имеют форму тригональной бипирамиды:



В обычных условиях PF_5 — газ (т. пл. $-93,7^\circ\text{C}$, т. кип. $84,6^\circ\text{C}$), PCl_5 (т. возг. 159°C) и PBr_5 (т. пл. 106°C) — твердые вещества. Фторид и хлорид бесцветны, а PBr_5 — красного (или желтого) цвета. В соответствии с устойчивыми значениями координационных чисел фосфора (V) кристаллы PCl_5 построены из ионов PCl_4^+ и PCl_6^- (расположенных в (V) кристаллической решетке подобно ионам Cs^+ и Cl^- в CsCl). Кристаллы PBr_5 состоят из ионов PBr_4^+ и Br^- , а PCl_4F — из PCl_4^+ и F^- .

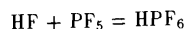
Пентагалогениды фосфора (V) — типично кислотные соединения. В частности, они более или менее легко гидролизуются, образуя кислоты:



В неводных растворах PF_5 взаимодействует с основными фторидами:

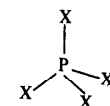


а с жидким HF дает *тексафторофосфорную* кислоту

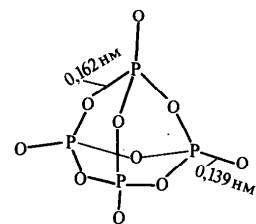


Свободный HPF_6 неустойчив. Его водные растворы — очень сильная кислота типа HClO_4 .

Бинарные соединения фосфора (V) с кислородом, серой, азотом полимерны. Все они построены из тетраэдрических структурных единиц типа PX_4 (PO_4 , PS_4 , PN_4):



Оксид фосфора (V) P_2O_5 в парообразном состоянии имеет состав P_4P_{10} . Молекулы P_4P_{10} состоят из четырех тетраэдров PO_4 , каждый из которых связан с тремя соседними через общие атомы кислорода:

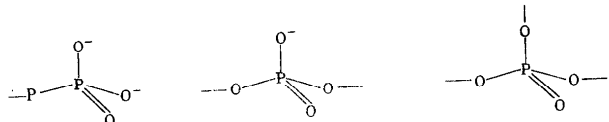


Твердый P_2O_5 имеет несколько модификаций, отличающихся характером расположения тетраэдров PO_4 . При окислении белого фосфора образуется летучая модификация P_2O_5 с молекулярной кристаллической решеткой, в узлах которой находятся молекулы P_4O_{10} . Эта модификация легко возгоняется (т. возг. 359°C), исключительно активно взаимодействует с водой. Другие модификации P_2O_5 полимерны — образованы бесконечными слоями тетраэдров PO_4 . Они имеют более высокую температуру плавления ($\sim 580^\circ\text{C}$), химически несколько менее активны.

Оксид фосфора (V) P_2O_5 получают сжиганием фосфора. Технический продукт имеет вид белой снегообразной массы, обычно состоящей из смеси разных форм P_2O_5 .

Оксид фосфора (V) очень активно взаимодействует с водой. Его используют для осушения газов и жидкостей. Он может отнимать воду у различных веществ; например, превращает HNO_3 в N_2O_5 и даже H_2SO_4 в SO_3 . В качестве хорошего дегидратирующего средства оксид фосфора (V) широко используется в химическом синтезе.

Производные P_2O_5 — окофосфаты весьма разнообразны. Большое многообразие оксофосфатов объясняется тем, что тетраэдрические структурные единицы PO_4 могут объединяться с соседними единицами PO_4 посредством одной, двух или трех вершин (см. табл. 13):



Первый случай отвечает образованию димерного оксофосфат-иона $[P_2O_7]^{4-}$, второй — объединению тетраэдров PO_4 в цепь (открытую или P_2O_5 , второй — объединению тетраэдров PO_4 в цепь (открытую или замкнутую), третий — образование разветвленной цепи. На последнем принципе объединения основана, в частности, структура слоистых модификаций P_2O_5 . Основные типы оксофосфат (V)-ионов приведены на рис. 166. Все это показывает, что оксофосфаты (V) разнообразнее, чем оксосульфаты (VI), которые могут иметь лишь цепное строение.

Оксофосфаты (V) с открытой цепью (из 2–10 атомов P) называются *полифосфатами*, циклического строения — *метафосфатами*. Фосфаты с бесконечной открытой цепью называются *полиметафосфатами*.

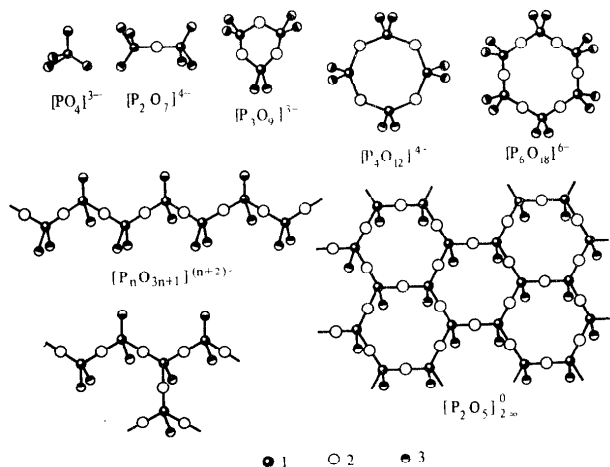
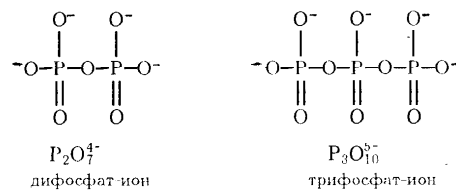


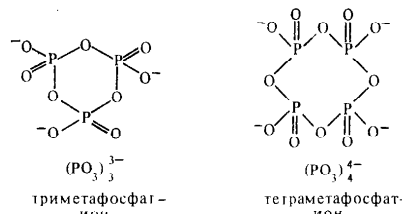
Рис. 166. Строение оксофосфат (V)-ионов и слоистой модификации P_2O_5 :

1 — атом P; 2 — мостиковый атом O; 3 — концевой атом O

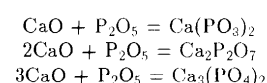
Полифосфаты представляют собой соли анионов общей формулы $[P_nO_{3n+1}]^{(n+2)-}$. Например, $M_4P_2O_7$ — дифосфат (*диофосфат*), $M_5P_3O_10$ — трифосфат:



К метафосфатам относятся соли анионов общей формулы $[P_nO_{3n}]^{n-}$. Например, $M_3P_3O_9$ — триметафосфат, $M_4P_4O_12$ — тетраметафосфат:



Простейшие по составу оксофосфаты имеют формулы M_3PO_4 и $M_3(P_2O_7)_2$, $M_4P_2O_7$ и $M_2P_3O_7$, MPO_3 и $M(P_2O_7)_2$. Так, при взаимодействии CaO с P_2O_5 образуются $Ca_3(PO_4)_2$, $Ca_2P_2O_7$, $Ca(P_2O_7)_2$ (рис. 167).



Простейшим представителем оксофосфатов (V) водорода является H_3PO_4 . Молекула H_3PO_4 имеет форму искаженного тетраэдра ($d_{PO} = 0,152$ нм, $d_{P-OH} = 0,157$ нм, $\angle O = P-OH = 112^\circ$ и $\angle HO-P-OH = 106^\circ$). В твердом и жидкком оксофосфате водорода H_3PO_4 (т. пл. $42,3^\circ C$) молекулы объединяются за счет водородных связей:

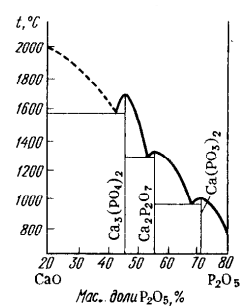
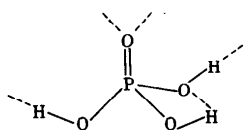
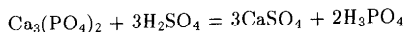


Рис. 167. Диаграмма плавкости системы $CaO - P_2O_5$



Этим же обусловлена повышенная вязкость концентрированных растворов фосфорной кислоты.

Все оксофосфаты водорода — твердые вещества, хорошо растворимые в воде. Их растворы являются кислотами средней силы (для ортофосфорной кислоты $K_{a1} = 7,25 \cdot 10^{-3}$, $K_{a2} = 6,31 \cdot 10^{-8}$, $K_{a3} = 1,26 \cdot 10^{-12}$). Ортофосфорную кислоту получают обычно в виде сиропообразного 85%-ного раствора взаимодействием фосфатных минералов с серной кислотой:



или гидратацией оксида фосфора (V). Ортофосфорная кислота — конечный продукт гидролиза всех соединений фосфора (V), например:

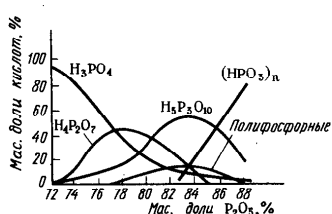
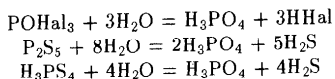


Рис. 168. Состав фосфорных кислот в зависимости от содержания в растворе P_2O_5

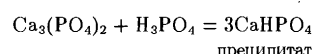
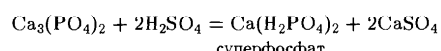
Полифосфорные кислоты образуются при взаимодействии P_2O_5 с ортофосфорной кислотой. Как видно из рис. 168, в системе $P_2O_5 - H_2O$ по мере увеличения содержания P_2O_5 содержание H_3PO_4 уменьшается, а полифосфорных кислот увеличивается.

Из оксофосфатов (V) наибольшее практическое значение имеют производ-

ные анионов PO_4^{3-} (фосфаты), HPO_4^{2-} (гидрофосфаты) и H_2PO_4 (дигидрофосфаты). Из фосфатов растворимы лишь немногие, в частности производные Na^+ , K^+ , NH_4^+ . Как правило, фосфаты бесцветны.

Основная масса фосфатов применяется в качестве удобрений. Так, $Ca_3(PO_4)_2 \cdot 2H_2O$ составляет основу суперфосфата, $CaHPO_4 \cdot 2H_2O$ —

преципитата. Их получают разложением фосфорита кислотами H_2SO_4 , H_3PO_4 соответственно

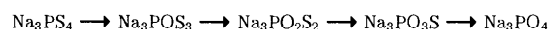


Смешанными азотофосфорными удобрениями являются так называемые аммофос — смесь $(NH_4)_2HPO_4$ и $(NH_4)_2HPO_4$ и азофоска — смесь аммофоса с KNO_3 .

Фосфаты в отличие от нитратов окислительные свойства не проявляют.

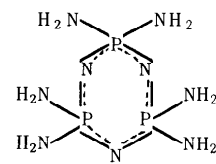
Сульфид фосфора (V) P_2S_5 подобно P_2O_5 существует в виде нескольких модификаций. Наиболее простая форма состоит из молекул P_4S_{10} , по структуре аналогичных P_4O_{10} . Такое же строение имеет оксусульфид $P_4O_6S_4$.

Сульфиофосфаты (V) можно получить взаимодействием сульфидов металлов с P_2S_5 или сплавлением металла, красного фосфора и серы. Растворимые сульфиофосфаты (NH_4^+ , K^+ , Na^+ и др.) постепенно разлагаются водой с выделением H_2S , переходя при этом в соответствующие оксусульфиофосфаты и в конечном итоге в оксофосфаты. Например:



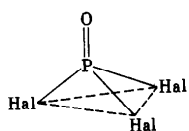
Структура нитрида фосфора (V) P_3N_5 изучена недостаточно. Это белое, твердое, химически очень устойчивое вещество. В реакции вступает лишь при сильном нагревании (500—700°C).

Известен также аморфный продукт состава $(H_4PN_3)_3$, который, очевидно, является аналогом $(HPO_4)_3$ — метанитридофосфатом (V) водорода:

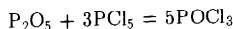


Отвечающий кислотной функции P_3N_5 анион PN_2^- полимерен, имеет структуру типа SiO_2 (кристобалита). В $LiPN_2$ ионы Li^+ расположены в пустотах трехмерной сетки координационного иона PN_2^- .

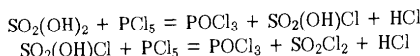
Молекулы оксогалогенидов фосфора (V) POHal_3 (фосфорилгалогениды) имеют форму искаженного тетраэдра ($d_{\text{PO}} = 0,145 \text{ нм}$, $d_{\text{PF}} = 0,152 \text{ нм}$, $d_{\text{PCl}} = 0,199 \text{ нм}$, $\angle \text{HalPHal} \sim 100^\circ$):



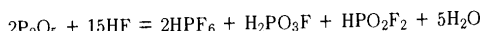
Молекулы POHal_3 полярны ($\mu = 0,6 \cdot 10^{-29} - 1,2 \cdot 10^{-29} \text{ Кл} \cdot \text{м}$). В обычных условиях POF_3 — газ (т. пл. -39°C), POCl_3 (т. пл. 1°C , т. кип. 107°C) — жидкость и POBr_3 (т. пл. 56°C) — твердое вещество. Хлорид фосфорила POCl_3 образуется при гидролизе PCl_5 с недостатком воды или при нагревании смеси P_2O_5 и PCl_5 :



Особая склонность PCl_5 переходит в POCl_3 используется в различных синтезах, например для превращения H_2SO_4 в хлорсульфоновую кислоту HSO_3Cl и сульфурилхлорид SO_2Cl_2 :



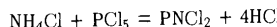
Оксофториды фосфора (V) POF_3 соответствуют фторофосфатам водорода типа $\text{H}_2[\text{PO}_3\text{F}]$ и $\text{H}[\text{PO}_2\text{F}_2]$, являющиеся в воде очень сильными кислотами. Они образуются наряду с HPF_6 при взаимодействии P_2O_5 с раствором HF:



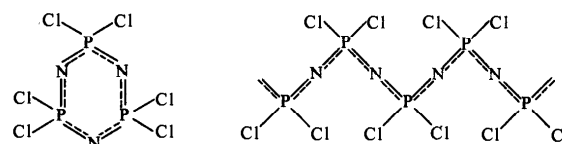
Соли $\text{H}_2[\text{PO}_3\text{F}]$ во многом напоминают сульфаты, а соли $\text{H}[\text{PO}_2\text{F}_2]$ перхлораты. Известен также $\text{H}[\text{PO}_2\text{Cl}_2]$ (т. пл. -28°C).

Сульфидогалогениды фосфора (V), например газообразный PSF_3 , жидкий PSCl_3 , твердые PSBr_3 и PSI_3 , по структуре подобны POHal_3 .

Весьма разнообразны по структуре нитридогалогениды фосфора (V) состава PNHal_2 (фосфонитрилгалогениды). Нитридохлориды PNCl_2 образуются при нагревании NH_4Cl и PCl_5 под давлением:

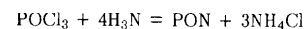


Молекулы PNCl_2 состоят из тетраэдров PN_2Cl_2 , объединенных в колыца или зигзагообразную цепь:



Большинство фосфонитрилхлоридов PNCl_2 — твердые вещества. Они обладают высокой химической устойчивостью, но разлагаются водой. Высокомолекулярные фосфонитрилхлориды с молекулами в виде бесконечных изогнутых цепей по механическим свойствам напоминают каучук.

Оксонитрид фосфора (V) PON образуется при аммонолизе POCl_3 :



Это аморфный термостойкий (до 750°C) белый порошок, нерастворимый ни в одном из обычных растворителей.

Приведенный обзор далеко не исчерпывает всего многообразия неорганических соединений фосфора. Еще более разнообразны его элементоорганические соединения, в изучении которых особая заслуга принадлежит А.Е. Арбузову. Соединения фосфора широко применяют в качестве удобрений, для борьбы с вредителями сельскохозяйственных культур и сорняками, в медицине, производстве пластмасс, моющих средств и др.

§ 3. ПОДГРУППА МЫШЬЯКА

Мышьяк As, сурьма Sb и висмут Bi — полные электронные аналоги с конфигурацией s^2p^3 . По мере увеличения размеров атомов в ряду As—Sb—Bi значения устойчивых координационных чисел возрастают. Степени окисления мышьяка, сурьмы и висмута равны 3, +3 и +5. Вследствие особой устойчивости конфигурации $6s^2$ для висмута наиболее характерна степень окисления +3.

Содержание в земной коре мышьяка, сурьмы и висмута сравнительно невелико (см. табл. 26). Они обычно встречаются в виде сульфидных минералов: As_2S_3 — *аурипигмент*^{*}, As_4S_4 — *реальгар*, Sb_2S_3 — *сурьмянистый блеск* (*антимонит*), Bi_2S_3 — *висмутовый блеск* (*висмутит*), а также FeAsS — *мышьяковый колчедан* (*арсенопирит*).

Простые вещества. В ряду N—P—As—Sb—Bi отчетливо наблюдается усиление металлических признаков простых веществ. В частности, в

* Минерал As_2S_3 получил свое название по интенсивной золотистой окраске.

в этом ряду устойчивость неметаллических модификаций падает, а металлических возрастает (см. табл. 28). Мышьяк, как и фосфор, имеет несколько аллотропических форм. При быстром охлаждении пара (состоящего из молекул As_4) образуется неметаллическая модификация — желтый мышьяк (пл. 2,0 г/см³), изоморфный белому фосфору и подобно ему растворимый в сероуглероде. Эта модификация менее устойчива, чем белый фосфор, и при действии света или при слабом нагревании легко переходит в металлическую модификацию — серый мышьяк. Неметаллическая модификация сурьмы (*желтая сурьма*) еще менее устойчива, чем желтый мышьяк. У висмута же неметаллическая модификация неизвестна вообще.

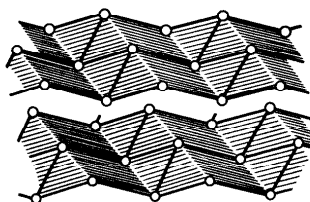


Рис. 169. Слоистая структура мышьяка, сурьмы, висмута

слое. В ряду As—Sb—Bi различие межъядерных расстояний внутри и между слоями уменьшается (0,063—0,050—0,037 нм), т. е. происходит постепенно приближение к характерному для металлических структур равенству межъядерных расстояний. Благодаря близости параметров кристаллических решеток сурьма образует твердые растворы с мышьяком и висмутом, но последние друг с другом их не образуют.

Некоторые сведения о простых веществах p -элементов V группы приведены ниже:

	N ₂	P	As	Sb	Bi
		черный	серый	серая	
Пл., г/см ³	0,978*	2,69	5,7	6,68	9,80
Т. пл., °С	-210,0	1000**	817***	630,5	271,4'
Т. кип., °С	-195,8	453	615	1635	1552
	(возгонка)	(возгонка)			

* В твердом состоянии.

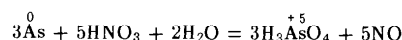
** При $1,8 \cdot 10^9$ Па.

*** При $3,6 \cdot 10^6$ Па.

410

ΔE , эВ	-	1,5	1,2	0,12	(металл)
$d_{\text{ЭЭ}}$, нм:					
внутри слоя	-	0,210	0,251	0,288	0,310
между слоями	-	0,368	0,314	0,338	0,347
$S_{\text{ээ}}$, Дж/(К·моль)	199,9	22,7	36,6	45,69	56,9

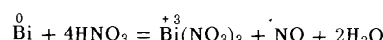
В обычных условиях металлические модификации устойчивы по отношению к воздуху и воде. В электрохимическом ряду напряжений они расположены после водорода. При взаимодействии с концентрированной HNO_3 мышьяк переходит в мышьяковую кислоту:



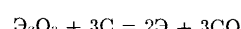
Сурьма в этих же условиях образует β -сурьмяную кислоту HSbO_3 ($\text{Sb}_2\text{O}_5 \cdot n\text{H}_2\text{O}$):



Висмут же в концентрированной азотной кислоте пассивируется, а с разбавленной дает нитрат, т. е. ведет себя как металл.



Для получения мышьяка, сурьмы и висмута их природные сульфиды обжигают; образующиеся при этом окислы восстанавливают углем:



Мышьяк, сурьма и висмут существенно отличаются по структуре от типичных металлов и поэтому с металлами твердые растворы обычно не образуют. Более характерно возникновение эвтектических смесей. Так, сплав состава 60% Bi и 40% Cd плавится при 144°C. Широко применяемый сплав *Вуда*, температура плавления которого 65–70°C, т. е. ниже температуры кипения воды, содержит 50% Bi, 25% Pb, 12,5% Sn и 12,5% Cd. Сплав состава 41% Bi, 22% Pb, 11% Sn, 8% Cd и 18% In плавится лишь при 47°C. Сплавы висмута эвтектического состава применяются в автоматических огнетушителях и в качестве припоеv.

Мышьяк и сурьма используются главным образом в качестве добавки к свинцу для придания ему повышенной твердости. Важное значение имеет *типографский сплав*, содержащий 25% Sb, 60% Pb и 15% Sn.

Соединения мышьяка, сурьмы и висмута (–III). В качестве солеподобных соединений, в которых мышьяк, сурьма и висмут проявляют степень окисления –3, можно рассматривать арсениды, стибиды (антистибиды) и висмутиды σ -элементов I и II групп ($\text{K}_3\text{Э}$, $\text{Ca}_3\text{Э}_2$, $\text{Mg}_3\text{Э}_2$ и др.). В большинстве же других случаев при взаимодействии металлов с мышьяком, сурьмой и висмутом образуются соединения металлического типа.

Стибиды и арсениды p -элементов и элементов подгруппы цинка — полупроводники. В ряду однотипных нитридов, фосфидов, арсенидов, стибидов и висмутидов ширина запрещенной зоны уменьшается, что свидетельствует об увеличении доли дсп-калинизованный связи. Например:

	AlN	AlP	AlAs	AlSb
$\Delta E, \text{эВ}$	3,8	3,0	2,16	1,6

Большинство арсенидов, стибидов и висмутидов довольно легко разлагаются кислотами.

Ослабление признаков неметаллических элементов в ряду $\text{As}—\text{Sb}—\text{Bi}$ проявляется также в их соединениях с водородом $\text{H}_3\text{Э}$. Строение молекул $\text{H}_3\text{Э}$ аналогично строению NH_3 и PH_3 . Но по мере увеличения размеров электронных облаков в ряду $\text{N}—\text{P}—\text{As}—\text{Sb}—\text{Bi}$ полярность и прочность связи $\text{Э}—\text{H}$ уменьшается. По этой же причине несвязывающее двухэлектронное облако становится пространственно менее направленным. значение валентного угла $\angle\text{НЭН}$ приближается к 90° и наблюдается уменьшение электрического момента диполя молекул.

В этом же ряду уменьшаются энталпии образования. Ниже приведены некоторые сведения о водородных соединениях p -элементов V группы:

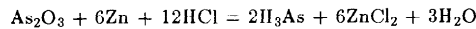
	NH_3	PH_3	H_3As	H_3Sb
$d_{\text{ЭН}}^{\text{нм}}$	0,102	0,144	0,152	0,171
$\angle\text{НЭН}$	$107,3^\circ$	$93,3^\circ$	92°	91°
$E, \text{кДж/моль}$	380	323	281	256
$\mu_{\text{H}_3\text{Э}}^{1029}, \text{Кл}\cdot\text{м}$	0,48	0,19	0,07	0,04
T. плав., $^\circ\text{C}$	-77,8	-133,8	-116	-88
T. кип., $^\circ\text{C}$	-33	-87,7	-62	-18
$\Delta H_f^{298}, \text{кДж/моль}$	-46,19	+5,1	+66,4	+145
$\Delta G_f^{298}, \text{кДж/моль}$	-16,7	+13,4	+68,9	+147,6

В обычных условиях арсин H_3As , стибин H_3Sb и висмутин BiH_3 — газообразные вещества с резким запахом. Арсин, стибин и особенно висмутин сильно эндотермичны. При нагревании они довольно легко распадаются с образованием на стенках сосуда черного осадка с металлическим блеском (простые вещества As , Sb , Bi). В ряду $\text{H}_3\text{As}—\text{H}_3\text{Sb}—\text{BiH}_3$ устойчивость падает, вследствие чего висмутин недостаточно изучен. Все они — сильные восстановители.

Образуются $\text{H}_3\text{Э}$ действием разбавленных кислот на арсениды, стибиды и висмутиды:



а также действием цинка на подкисленные растворы соединений:



Арсин (в меньшей степени стибин и висмутин) очень токсичен. Поскольку цинк почти всегда содержит небольшие количества мышьяка, опасно вдыхать водород, выделяющийся при действии кислот на цинк.

Момент диполя молекул арсина и стибина близок к нулю. Это свидетельствует о том, что связь Э—Н близка к неполярной, а несвязывающая электронная пара пространственно практически не направлена. Поэтому в ряду $\text{H}_3\text{N}—\text{H}_3\text{P}—\text{AsH}_3—\text{SbH}_3—\text{BiH}_3$ электронодонорные свойства молекул ослабеваются. Так, если производные аммония NH_4^+ вполне устойчивы, то арсоний-ион AsH_4^+ обнаружен лишь спектроскопически (в смеси AsH_3 и HI при низкой температуре).

Соединения мышьяка (II), сурьмы (II) и висмута (II). В степени окисления +3 атомы As, Sb и Bi сохраняют несвязывающую электронную пару; их координационные числа 3, 4, 5 и 6. Этим координационным числам отвечают структурные единицы в виде тригональной пирамиды (тип AB_3E , см. рис. 51, б), искаженного тетраэдра (тип AB_4E , см. рис. 51, д), тетрагональной пирамиды (тип AB_5E , см. рис. 51, е), искаженного октаэдра (тип AB_6E) соответственно.

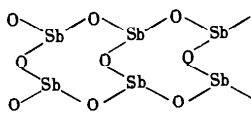
Степень окисления +3 у мышьяка и его аналогов проявляется в талогенидах ЭHal_3 , оксидах $\text{Э}_2\text{O}_3$, сульфидах $\text{Э}_2\text{S}_3$. Бинарные соединения и гидроксиды Э (III) амфотерны. Отвечающие кислотным признакам соединений Э (III) анионные комплексы имеют состав



В ряду однотипных соединений $\text{As}(\text{III})—\text{Sb}(\text{III})—\text{Bi}(\text{III})$ кислотные признаки ослабеваются и парастают основные.

Оксиды $\text{Э}_2\text{O}_3$ получают прямым взаимодействием простых веществ, Sb_2O_3 также окислением сурьмы разбавленной HNO_3 , а Bi_2O_3 — термическим разложением $\text{Bi}(\text{NO}_3)_3$.

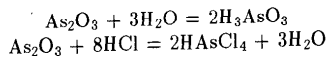
Структура оксидов при переходе от As (III) к Bi (III) существенно изменяется. Кристаллы низкотемпературных модификаций As_2O_3 и Sb_2O_3 имеют, как и P_2O_3 , молекулярную решетку, построенную из молекул O_4O_6 . В высокотемпературной модификации Sb_2O_3 пирамиды Sb_3O_9 связаны в бесконечные двойственные цепи:



Оксид висмута (III) Bi_2O_3 имеет координационную решетку с искаженной октаэдро-тетраэдрической координацией атомов. Различие в структуре, естественно, сказывается на свойствах оксидов:

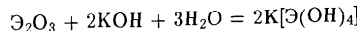
	As_2O_3	Sb_2O_3	Bi_2O_3
Цвет	белый	белый	желтый
Т. пл., $^{\circ}\text{C}$	274	656	820
Т. кип., $^{\circ}\text{C}$	460	1456	(субл.)
ΔH_f^{298} , кДж/моль	-653	-699	-578
ΔG_f^{298} , кДж/моль	-574	-619	-498
Расторимость в воде, моль/л	$9 \cdot 10^{-2}$	$3 \cdot 10^{-5}$	$2 \cdot 10^{-8}$

Белый *мыший* As_2O_3 — преимущественно кислотный оксид. Он растворяется в воде и щелочах, но в отличие от P_2O_3 взаимодействует также с галогеноводородными кислотами:



Оксид сурьмы (III) Sb_2O_3 в воде практически не растворяется, но взаимодействует со щелочами, а также с соляной кислотой.

Взаимодействие As_2O_3 и Sb_2O_3 с растворами щелочей приводит к образованию соответственно гидроксоарсенатов (III) (*гидроксоарсенито*) и гидроксостибатов (III) (*гидроксоантилонитов*):

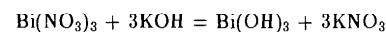


Наоборот, Bi_2O_3 легко взаимодействует с кислотами, образуя разнообразные соли Bi (III), в воде не растворяется, со щелочами практически не реагирует.

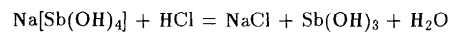
Аналогично изменяются свойства и в ряду гидроксидов. В отличие от H_3PO_3 гидроксиды $\text{As}(\text{OH})_3$ и $\text{Sb}(\text{OH})_3$ амфотерны: у первого преобладают кислотные свойства, у второго — основные. При этом и кислотная, и основная ионизация $\text{Э}(\text{OH})_3$ в растворе выражены слабо.

В свободном состоянии $\text{As}(\text{OH})_3$ не выделен, в водном растворе ведет себя как слабая кислота H_3AsO_3 , называемая *мышийковистой*.

Гидроксиды Sb (III) и Bi (III) в воде практически не растворяются. Они получаются в виде белых осадков переменного состава $\text{Э}_2\text{O}_3 \cdot n\text{H}_2\text{O}$ при действии щелочей на катионные производные Э (III):

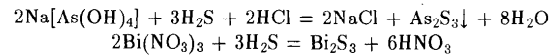


или кислот на анионные производные Э (III):

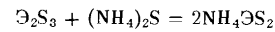


При сплавлении $\text{Э}_2\text{O}_3$ или $\text{Э}(\text{OH})_3$ со щелочами обычно образуются полимерные метаарсенаты (III) (*метаарсениты*) и метастибаты (III) (*метаантилониты*) состава $\overset{+1}{\text{M}}\overset{+1}{\text{ЭO}_2}$. Оксовисмутаты (III) неустойчивы.

Ослабление кислотных признаков проявляется также в ряду с ульф и о в $\text{Э}_2\text{S}_3$. Желтый As_2S_3 , оранжевый Sb_2S_3 и черно-бурый Bi_2S_3 — твердые вещества, нерастворимые в воде. Сульфиды образуются непосредственным взаимодействием простых веществ или действием сероводорода на растворимые соединения Э (III) в кислой среде:



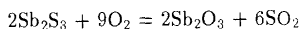
Сульфиды As (III) и Sb (III) — преимущественно кислотные соединения. Они легко растворяются в присутствии основных сульфидов с образованием сульфидаарсенатов (III) и сульфидостибатов (III) типа $\overset{+1}{\text{M}}\overset{+1}{\text{ЭS}_2}$ и $\overset{+1}{\text{M}}\overset{+1}{\text{ЭS}_3}$:



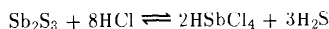
Растворяются As_2S_3 и Sb_2S_3 в щелочах.

Сульфид висмута (III) Bi_2S_3 кислотные свойства в растворах не проявляет, с основными сульфидами взаимодействует лишь при сплавлении.

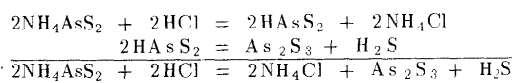
Соединения Э₂S₃ характеризуются сравнительно небольшими значениями энергий Гиббса образования; довольно легко переходят в Э₂O₃, ЭF₃ и ЭCl₃ при окислении кислородом, фтором и хлором, например:



В отличие от As₂S₃ сульфиды Sb (III) и Bi (III) растворяются в концентрированной соляной кислоте:

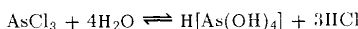


Сульфидаарсенаты (III) (*тиоарсениты*) и сульфидостибаты (III) (*тиоантимониты*) в твердом состоянии вполне устойчивы, но соответствующие им тиокислоты при получении распадаются:

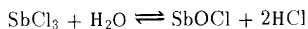


Тригалогениды элементов подгруппы мышьяка ЭHal получают взаимодействием простых веществ при недостатке галогена. Молекулы ЭHal₃, как и PCl₃, имеют пирамидальное строение. В соответствии с увеличением размеров атомов галогенов в ряду молекул ЭF₃—ЭCl₃—ЭBr₃—ЭI₃ межъядерные расстояния увеличиваются, энергия связей, энталпия и энергия Гиббса образования уменьшаются. Большинство тригалогенидов элементов подгруппы мышьяка кристаллические решетки молекулярные. Трифторид висмута имеет координационную решетку и поэтому наиболее тугоплавок (730°C).

Подобно Э₂O₃ и Э₂S₃, галогениды As (III) — кислотные соединения галогениды Sb (III) и Bi (III) проявляют свойства солей. При гидролизе AsHal₃ образуются кислоты. Однако в отличие от PHal₃ гидролиз AsHal₃ обратим:



Гидролитическое разложение галогенидов Sb³⁺(III) и Bi³⁺(III) также преобладает над их электролитической диссоциацией. Гидролиз идет энергично до оксогалогенидов, например:



Кислотная природа ЭHal₃ проявляется также при взаимодействии с основными галогенидами. При этом образуются соответственно галогеноарсенаты (III), галогеностибаты (III) и галогеновисмутаты (III) например состава M₃[ЭHal]₆, M₂[ЭHal]₅ и M[ЭHal]₄ (рис. 170).

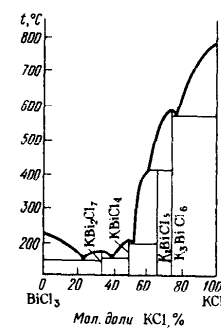


Рис. 170. Диаграмма плавкости системы BiCl₃ – KCl

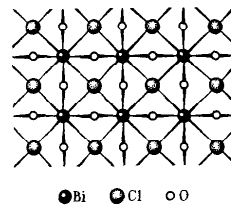
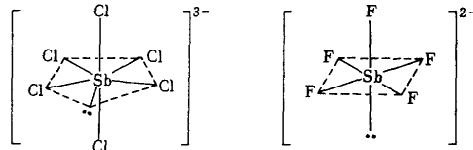


Рис. 171. Структура слоя кристаллического BiOCl: атомы O и Cl лежат соответственно выше и ниже плоскости из атомов Bi

Ион [SbHal]₆³⁻ имеет форму несколько искаженного октаэдра, ион [SbF₅]²⁻ (как и IF₅) — форму квадратной пирамиды:



Такое же, как в SbF₅²⁻ расположение связей наблюдается в тетramerном ионе [SbCl₄]₄⁻.

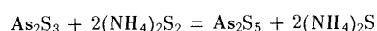
Оксогалогениды Sb (III) и Bi (III) состава ЭОНал в обычных условиях — твердые, нерастворимые в воде вещества с координационно-слоистой решеткой, структурно совершенно отличные от аналогичных соединений фосфора (III) и мышьяка (III). Расположение атомов в слое кристалла BiOCl показано на рис. 171.

Ослабление неметаллических свойств в ряду As–Sb–Bi проявляется также в изменении устойчивости солей и солеподобных соединений Э (III). Последние для As (III) неустойчивы и в свободном состоянии не выделены, а для Sb (III) известны сульфат Sb₂(SO₄)₃, нитрат Sb(NO₃)₃ и некоторые другие. В воде эти соединения энергично разла-

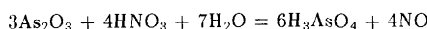
гаются. Относительно устойчивы комплексные стибаты (III) *s*-элементов I группы, например сульфатостибаты (III) $M^{+1}[Sb(SO_4)_2]$.

Соли Bi (III) весьма разнообразны и устойчивы.

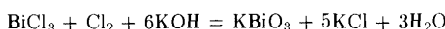
Соединения As (III) довольно легко окисляются. Так, As_2S_3 окисляется персульфидом аммония:



а As_2O_3 — азотной кислотой:



У производных Sb (III) восстановительная активность проявляется в меньшей степени, однако Sb_2S_3 также окисляется персульфидом аммония. Окисление же соединений Bi (III) возможно лишь наиболее сильными окислителями в сильнощелочной среде, например:

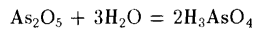


Соединения мышьяка (V), сурьмы (V) и висмута (V). В ряду As (V)—Sb (V)—Bi (V) устойчивость соединений в целом падает. При этом в изменении свойств проявляется внутренняя периодичность (см. рис. 142). При рассмотрении подгрупп брома и селена (см. рис. 140) было показано, что высшая степень окисления в этих подгруппах наиболее характерна для *p*-элементов 5-го периода, т. е. для I и Te. Наименее устойчива высшая степень окисления для *p*-элемента 6-го периода, т. е. для At и Po. Подобная закономерность, хотя и выраженная менее отчетливо, проявляется и в подгруппе мышьяка; степень окисления +5 наиболее характерна для Sb, менее характерна для As и неустойчива у Bi.

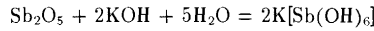
Для висмута (V) получен лишь фторид BiF_5 , для мышьяка (V) и сурьмы (V), кроме того, известны оксиды \mathcal{E}_2O_5 , сульфиды \mathcal{E}_2S_5 , а для сурьмы (V) — еще и хлорид $SbCl_5$.

По химической природе бинарные соединения мышьяка (V) и его аналогов кислотные. Им соответствуют анионные комплексы, простейшие из которых $\mathcal{E}Hal_5$, $\mathcal{E}O_4^{3-}$, $\mathcal{E}(OH)_6^-$.

Оксиды \mathcal{E}_2O_5 в обычных условиях — твердые вещества. По структуре и свойствам As_2O_5 напоминает P_2O_5 , довольно хорошо растворяется в воде:



Sb_2O_5 (желтого цвета) в воде растворим мало, лучше в щелочных растворах:



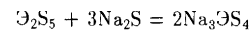
Большинство оксоарсенатов (V) и оксостибатов (V), образующихся при сплавлении As_2O_5 и Sb_2O_5 со щелочами и оксидами металлов, полимерны.

Структура оксоарсенатов обычно подобна структуре оксофосфатов (V). Для оксостибатов (V) $MSbO_3$, MSb_2O_4 , $M_2Sb_2O_7$ наиболее характерна октаэдрическая структурная единица SbO_6 . Чаще всего полимерные висмутаты отвечают составу $MBiO_3$.

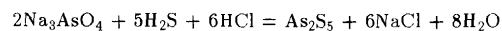
Из растворов обычно выделяются тетраоксоарсенаты типа $M_3AsO_4^{+1}$ и гексагидрокостибаты типа $M^{+1}[Sb(OH)_6]$. Подобно фосфатам, арсенаты, стибаты и висмутаты, как правило, трудно растворимы в воде.

Из соответствующих соединений водорода в свободном состоянии получен лишь оксоарсенат (V) водорода H_3AsO_4 (*мышьяковая кислота*) — твердое растворимое в воде вещество. H_3AsO_4 получают окислением As или As_2O_3 азотной кислотой. Мышьяковая кислота ($K_{al} = 6 \cdot 10^{-3}$) слабее фосфорной. При попытке получения сурьмяных кислот образуется осадок неопределенного состава $Sb_2O_5 \cdot nH_2O$. Не выделены в свободном состоянии и висмутовые кислоты.

Сульфиды \mathcal{E}_2S_5 во многом напоминают оксиды \mathcal{E}_2O_5 . Желтый As_2S_5 и оранжевый Sb_2S_5 с водой не взаимодействуют; будучи кислотными соединениями, они растворяются в присутствии основных сульфидов и при действии щелочей:



Сульфиды \mathcal{E}_2S_5 можно получить либо взаимодействием простых веществ, либо осаждением при действии H_2S на производные \mathcal{E} (V) в кислой среде:

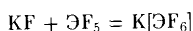


Соответствующие сульфидоарсенаты (V) и сульфидостибаты (V) (*тиоантимонаты*) водорода в свободном состоянии неустойчивы.

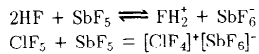
Молекулы пентагалогенидов $\mathcal{E}Hal_5$, как и $RHal_5$, имеют форму тригональной бипирамиды (см. рис. 51, *i*).

В обычных условиях AsF_5 — газ (т. пл. $-80^\circ C$, т. кип. $-53^\circ C$), а SbF_5 (т. пл. $8^\circ C$, т. кип. $142^\circ C$) и $SbCl_5$ (т. пл. $3^\circ C$, т. кип. $140^\circ C$) — жидкости; BiF_5 — твердое вещество (т. пл. $151^\circ C$, т. кип. $230^\circ C$). Резкое повышение температур плавления и кипения при переходе от AsF_5

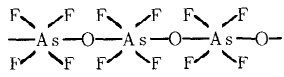
к SbF_5 обусловливается ассоциацией молекул SbF_5 в полимерные цепи, образованные октаэдрическими структурными единицами SbF_6 ($-\text{SbF}_4-\text{F}-\text{SbF}_4-\text{F}-$). Пентагалогениды — типичные кислотные соединения. При взаимодействии с водой ЭNa_5 дают кислоты, с основными галогенидами образуют галогеноарсенаты (V) и галогеностибаты (V):



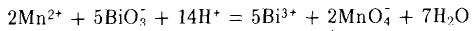
Пентафториды ЭF_5 — сильные акцепторы фторид-иона; при взаимодействии с ЭF_5 основные свойства проявляют даже такие соединения, как HF , O_2F_2 , N_2F_2 , N_2F_4 , ClF_5 и др.:



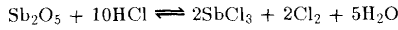
Известны также производные $[\text{AsCl}_6]^-$, $[\text{SbBr}_6]^-$, $[\text{BiOF}_5]^{2-}$, $[\text{AsF}_5(\text{OH})]^-$. Производные типа $\text{M}[\text{ЭOF}_4]$ образованы полимерными анионами в виде цепи октаэдрических структурных единиц:



Соединения висмута (V) — сильные окислители. Они, например, приводят Mn (II) в Mn (VII):



Производные сурьмы (V) окислительные свойства проявляют в меньшей степени, однако Sb_2O_5 может окислять концентрированную соляную кислоту по обратимой реакции:

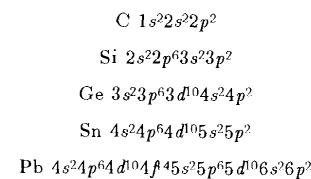


Применение соединений мышьяка, сурьмы и висмута весьма разнообразно. Так, производные As в сельском хозяйстве служат одним из основных средств борьбы с вредителями культурных растений. Например, Na_3AsO_4 , $\text{Ca}_3(\text{AsO}_4)_2$, $\text{Ca}(\text{AsO}_2)_2$ и другие применяются как инсектициды. Важное применение соединения мышьяка (As_2O_3 , KAsO_2 , органические производные) находят в медицине. Лекарства на их основе рекомендуют при малокровии, истощении, используют в стоматологической практике. Производные As, Sb и Bi нашли применение также в производстве керамики и в других областях.

Соединения сурьмы, висмута и в особенности мышьяка ядовиты.

ГЛАВА 6. Р-ЭЛЕМЕНТЫ IV ГРУППЫ ПЕРИОДИЧЕСКОЙ СИСТЕМЫ Д.И.МЕНДЕЛЕЕВА

К *p*-элементам IV группы относятся углерод C, кремний Si, германий Ge, олово Sn и свинец Pb. В соответствии с электронными конфигурациями их атомов



углерод и кремний относятся к *типическим элементам*, а германий, олово и свинец составляют *подгруппу германия*.

Основные сведения о *p*-элементах IV группы приведены ниже:

	${}_6\text{C}$	${}_{14}\text{Si}$	${}_{32}\text{Ge}$	${}_{50}\text{Sn}$	${}_{82}\text{Pb}$
Атомная масса	12,011	28,086	72,59	118,69	207,19
Валентные электроны	$2s^2 2p^2$	$3s^2 3p^2$	$4s^2 4p^2$	$5s^2 5p^2$	$6s^2 6p^2$
Атомный радиус, нм					
металлический	—	0,134	0,139	0,158	0,175
ковалентный	0,077	0,117	0,122	0,140	—
Условный радиус, мм					
иона Э^{2+}	—	—	0,065	0,102	0,126
иона Э^{4+}	0,020	0,039	0,044	0,067	0,076
Энергия ионизации					
$\text{Э} \rightarrow \text{Э}^+$, эВ	11,26	8,15	7,90	7,34	7,42
Средство к электру	1,26	1,38	1,11	1,23	0,36
Содержание в земной коре, % (мол. доли)	0,15	20,0	$2 \cdot 10^{-4}$	$7 \cdot 10^{-4}$	$1,6 \cdot 10^{-4}$

Как видно из приведенных данных, углерод существенно отличается от других *p*-элементов группы высоким значением энергии ионизации. Углерод — типичный неметаллический элемент. В ряду C—Si—Ge—Sn—Pb энергия ионизации уменьшается, а следовательно, неметаллические признаки элементов ослабевают, металлические усиливаются. В изменении свойств атомов и соединений в этом ряду проявляется вторичная периодичность (см. рис. 16 и 132).

§ 1. УГЛЕРОД

В зависимости от числа σ -связей координационное число углерода равно четырем (sp^3 -гибридизация), трем (sp^2 -гибридизация) или двум (sp -гибридизация валентных орбиталей):

Характер гибридизации орбиталей атома углерода	Пространственное расположение σ -связей	Примеры соединений
sp^3	Тетраэдрическое	Алмаз, CH_4 , CHal_4
sp^2	Треугольное	Графит, C_6H_6 , CO_3^{2-}
sp	Линейное	Карбин, CO_2 , CS_2

В большинстве неорганических соединений углерод проявляет степени окисления -4 , $+4$, $+2$.

В атоме углерода в отличие от всех других элементов (кроме водорода) число валентных электронов равно числу валентных орбиталей. Это одна из основных причин большой устойчивости связи $\text{C}-\text{C}$ и исключительной склонности углерода к образованию гомоцепей. Наблюдается резкое уменьшение энергии связей от углерода к азоту:

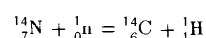
$\equiv \text{C}-\text{C}\equiv$	$=\ddot{\text{N}}-\ddot{\text{N}}=$	$-\ddot{\text{O}}-\ddot{\text{O}}-$	$:\ddot{\text{F}}-\ddot{\text{F}}:$
$\text{H}_3\text{C}-\text{CH}_3$	$\text{H}_2\text{N}-\text{NH}_2$	$\text{HO}-\text{OH}$	$\text{F}-\text{F}$
374	250	210	159

$E_{\text{ЭЭ}}$, кДж/моль

что объясняют отталкиванием несвязывающих электронных пар атомов азота. Гомоцепные молекулы, содержащие связь $\text{C}-\text{C}$, бывают самых разнообразных типов: линейные, разветвленные, сшитые, циклические. Эти многочисленные соединения углерода изучает органическая химия.

В природе углерод находится в виде двух стабильных изотопов: ^{12}C (98,892%) и ^{13}C (1,108%). Его содержание в земной коре составляет 422

0,15% (мол. доли). Под действием космических лучей в земной атмосфере образуется также некоторое количество β -радиоактивного изотопа ^{14}C :



По содержанию ^{14}C в растительных остатках судят об их возрасте. Получены также радиоактивные изотопы с массовыми числами от 10 до 16. В земной коре углерод находится в составе карбонатных минералов (прежде всего CaCO_3 и MgCO_3), каменного угля, нефти, а также в виде графита и реже алмаза. Углерод — главная составная часть животного и растительного мира.

Простые вещества. В отличие от рассмотренных элементов 2-го периода, простые вещества которых имеют молекулярное строение (F_2 , O_2 , N_2), простые вещества элемента углерода имеют полимерное строение. Кратные связи двухатомных молекул O_2 и N_2 заметно прочнее, чем σ -связи гомоцепей (кДж/моль):

$\text{O}=\text{O}$	$-\text{O}-\text{O}-$	$\text{N}\equiv\text{N}$	$-\text{N}-\text{N}-$
494	210 210	946	250 250

Электронная конфигурация двухатомной молекулы C_2

$$(\sigma_s)^2(\sigma^*)^2(\pi_{x,y})^4,$$

свидетельствует о том, что в ней атомы связаны двойной связью. Но связь в молекуле C_2 оказывается менее прочной, чем две σ -связи в гомоцепях (кДж/моль):

$\text{C}\equiv\text{C}$	$-\text{C}-\text{C}-$
627	374 374

В соответствии с характерными гибридными состояниями орбиталей атомы углерода могут объединяться в полимерные образования координационной (sp^3), слоистой (sp^2) и линейной (sp) структуры. Этому соответствуют три типа простых веществ: алмаз, графит и карбины.

Алмаз — кристаллическое вещество с атомной координационной кубической решеткой (рис. 172, а).

Каждый атом в алмазе образует равнопенные прочные σ -связи с четырьмя соседними. Это обуславливает исключительную твердость и отсутствие электронной проводимости в обычных условиях ($\Delta E = 5,6$ эВ). О жесткой структуре алмаза свидетельствует также очень небольшое значение энтропии алмаза — всего 2,4 Дж/(К·моль).

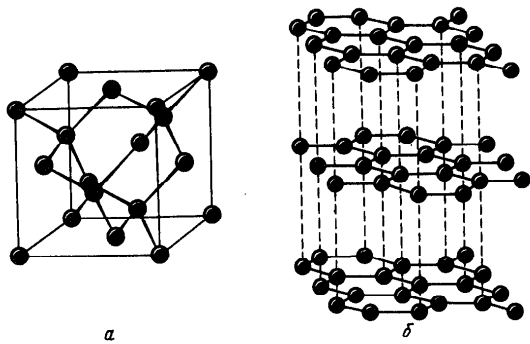


Рис. 172. Структура алмаза (a) и графита (b)

Графит — слоистое кристаллическое вещество с гексагональной структурой (рис. 172, б). В соответствии с sp^2 -гибридизацией орбиталей атомы углерода объединяются в макромолекулы $C_{2\infty}$, представляющие собой бесконечные слои из шестичленных колец. sp^2 -Гибридное состояние в этом случае стабилизируется делокализованной π -связью, образованной за счет четвертого электрона каждого из атомов макромолекулы (рис. 173). π -Связь в графите делокализована в пределах всей макромолекулы. Этим определяются его электрическая проводимость, серый цвет и металлический блеск. Углеродные слои объединяются в кристаллическую решетку в основном за счет межмолекулярных сил. Прочность химических связей в плоскости макромолекулы (716 кДж/моль) значительно больше, чем между слоями (всего 17 кДж/моль). Поэтому графит довольно мягок, легко расслаивается, химически несколько активнее алмаза. Плотность графита ($2,1$ — $2,5$ г/см 3) ниже, чем алмаза ($3,5$ г/см 3); значение энтропии, напротив, у графита больше и составляет $5,74$ Дж/(К·моль).

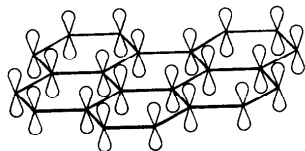
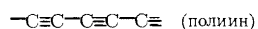
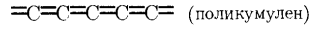


Рис. 173. Ориентация p -орбиталей атомов углерода в слое графита $C_{2\infty}$

и π -связи. sp -Гибридизация орбиталей углерода отвечает объединению атомов в цепи вида



или



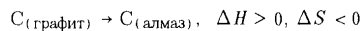
Существование двух линейных структур доказано как физическими, так и химическими методами (в частности, при озонировании полинин превращается в шавелевую, а поликумулен — в угольную кислоту). Карбин — полупроводник ($\Delta E = 1$ эВ). Под влиянием света его электрическая проводимость резко возрастает. Карбин синтезирован в начале 60-х годов. Позднее он был обнаружен в природе.

В соответствии с возрастанием порядка связи между атомами углерода в ряду алмаз — графит — карбин межъядерное расстояние d_{CC} в этом ряду уменьшается: 0,155; 0,142 и 0,128 нм (рис. 174). Расстояние между слоями в графите 0,335 нм. Расстояние между цепями в карбоне 0,295 нм.

По значению стандартной энтропии модификации углерода располагаются в следующий ряд: S^* (карбин) > S^* (графит) > S^* (алмаз).

Из сопоставления теплот горения алмаза ($-395,3$ кДж/моль), графита ($-393,5$ кДж/моль) и карбина ($-360,0$ кДж/моль) следует, что наиболее стабильная модификация углерода — карбин, а наименее стабильная — алмаз.

Вследствие очень высокой энергии активации превращения модификаций углерода возможны лишь при особых условиях. Так, алмаз превращается в графит при нагревании до 1000 — 1500 °С (без доступа воздуха). Переход графита в алмаз



вследствие очень незначительного уменьшения объема согласно принципа Ле Шателье требует очень высокого давления ($6 \cdot 10^9$ — $10 \cdot 10^{10}$ Па). Повышение температуры неблагоприятно для смещения равновесия, но оно необходимо для достижения приемлемой скорости процесса. Процесс проводят при ~ 2000 °С.

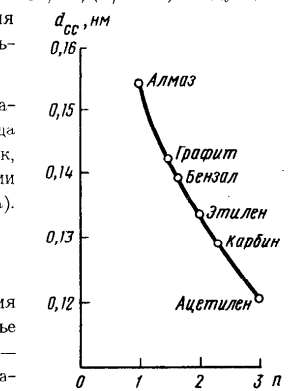


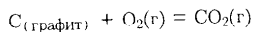
Рис. 174. Влияние порядка связи n на межъядерное расстояние в соединениях углерода

Освоен метод получения алмаза при низком давлении. Нарашивание алмаза на алмазной затравке в атмосфере углеводородного газа за осуществляется на алмазной затравке в атмосфере углеводородного газа (метан, этан) при температуре порядка 1000 °С. Такой способ позволяет получать алмазный порошок или кристаллы алмаза в виде "усов". Образующиеся кристаллы отличаются высокой чистотой.

Получаемый при термическом разложении органических соединений **черный графит**, или **уголь**, представляет собой тонкоизмельченный графит. Технически наиболее важными сортами черного графита являются **кокс**, **древесный уголь**, **животный уголь** и **сажа**. Все разновидности углерода тугоплавки.

При обычной температуре элементный углерод весьма инертен. При высоких же температурах он непосредственно взаимодействует с многими металлами и неметаллами. Углерод проявляет восстановительные свойства, что широко используется в металлургии.

Для реакции



изменение энтропии незначительно ($\Delta S \approx 0$), поэтому изменение энергии Гиббса по существу обусловлено изменением энталпии, т.е. $\Delta H \approx \Delta G$. Следовательно, теплоту этой реакции почти полностью можно использовать для совершения работы. Этого можно достигнуть, если суметь осуществить реакцию в топливном элементе. При использовании же реакции горения угля в системе топка — паровой котел — турбина — электрический генератор коэффициент полезного действия составляет лишь 20—30%.

Окислительные свойства у углерода выражены слабо. Вследствие различия в структуре алмаз, графит и карбон по-разному ведут себя в химических реакциях. Для графита характерны реакции образования кристаллических соединений, в которых макромолекулярные слои $C_{2\infty}$ играют роль самостоятельных радикалов.

Так, при взаимодействии с фтором делокализованная π -связь графита разрывается и возникают двухэлектронные σ -связи C—F. В пределе образуется фторид графита состава CF (рис. 175). При этом углерод переходит из sp^2 -связь фторид графита состава CF (рис. 175). При этом углерод переходит из sp^2 -гибридное состояние. Поскольку во фториде графита все связи локализованы, он диэлектрик. Фторид графита — бесцветное, прозрачное, химически инертное вещество. Не реагирует даже с концентрированными кислотами и щелочами. Используется как смазочный материал. При дальнейшем окислении фтором превращается в CF_4 . Алмаз окисляется фтором при нагревании непосредственно в CF_4 . На различном отношении к фтору основан один из способов отделения графита от алмаза, получаемого синтезом из графита.

426

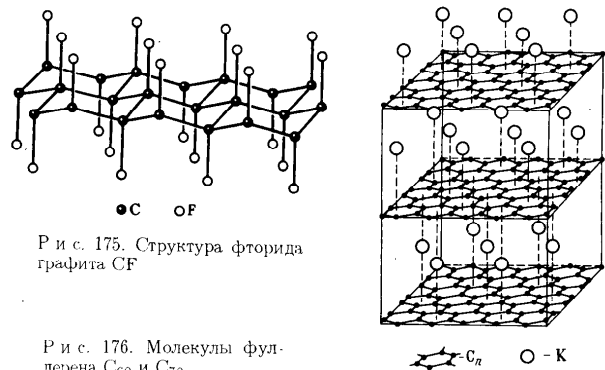


Рис. 175. Структура фторида графита CF

Рис. 176. Молекулы фуллерена C_{60} и C_{70}

При нагревании графита в парах или в расплаве щелочного металла (Cs, Rb или K) образуются соединения включения — **графитиды щелочных металлов**, в которых роль аниона играют гексагональные сетки $C_{2\infty}$. Графитиды щелочных металлов MC_8 — весьма реакционноспособные вещества медно-красного цвета. Самовоспламеняются на воздухе, а с водой взаимодействуют со взрывом.

Соединения типа включения образуются также при взаимодействии графита с другими веществами (HNO_3 , H_2SO_4 , Cl_2 , $FeCl_3$ и др.)

Из графита изготавливают электроды, плавильные тигли, футеровку электрических печей и промышленных электролизных ванн и др. В ядерных реакторах его используют в качестве замедлителя нейтронов. Графит применяют также как смазочный материал и т.д.

Исключительная твердость алмаза обуславливает его широкое применение для обработки особых твердых материалов, при буровых работах, для вытягивания проволоки и т.д. Наиболее совершенные кристаллы алмаза используют после огранки и шлифовки для изготовления ювелирных изделий (бриллианты).

Благодаря большой адсорбционной способности древесного и животного углей они применяются для очистки веществ от примесей. Сажа используется в производстве черной резины, для изготовления красок, туши и т.д.

Сочетание атомов углерода разных гибридных состояний в единой полимерной структуре порождает множество аморфных форм углерода.

Типичным примером аморфного углерода является так называемый *стеклоуглерод*. В нем беспорядочно связаны между собой структурные фрагменты алмаза, графита и карбина.

Его получают термическим разложением некоторых углеродистых веществ. Стеклоуглерод — новый конструкционный материал с уникальными свойствами, не присущими обычным модификациям углерода. Стеклоуглерод тугоплавок (остается в твердом состоянии плоть до 3700 °С), по сравнению с большинством других тугоплавких материалов имеет небольшую плотность (до 1,5 г/см³), обладает высокой механической прочностью, электропроводен. Стеклоуглерод весьма устойчив во многих агрессивных средах (расплавленных щелочах и солях, кислотах, окислителях и др.). Изделия из стеклоуглерода самой различной формы (трубки, цилиндры, стаканы и пр.) получают при термическом разложении углеродистых веществ или прессованием стеклоуглерода. Уникальные свойства стеклоуглерода позволяют использовать его в атомной энергетике, электрохимических производствах, при изготовлении аппаратуры для особо агрессивных сред. Стекловидное углеродистое волокно, обладая низкой плотностью, высокой прочностью на разрыв и повышенной термостойкостью, применяется в космонавтике, авиации и других областях.

Сравнительно недавно получена новая модификация углерода — *фуллерен*. Молекулы фуллерена состоят из 60, 70 атомов, образующих сферу — геодезический купол (рис. 176). Сфера сшита из 5-и и 6-и угольников атомов углерода. Фуллерен получен при испарении графита и конденсации его паров в атмосфере гелия при высоком давлении.

Фуллерен химически стоек. Благодаря сферической форме молекул C₆₀, C₇₀ фуллерен весьма тверд. Он может служить в качестве твердой смазки. Строение молекул фуллерена позволяет вводить в их внутреннюю полость другие вещества, создавая тем самым принципиально новые, в частности, сверхтвердые материалы. Фуллерен можно использовать для удаления токсичных и радиоактивных веществ.

Соединения с отрицательной степенью окисления. С менее электротриципательными, чем он сам, элементами углерод даёт *карбиды*. Поскольку для углерода характерно образовывать гомоцепи, состав большинства карбидов не отвечает степени окисления углерода —4. По типу химической связи можно выделить ковалентные, ионно-ковалентные и металлические карбиды.

Ковалентные карбиды кремния SiC и бора B₄C — полимерные вещества. Они характеризуются очень высокой твердостью, тугоплавкостью и химической инертностью. В качестве простейшего ковалентного карбida можно рассматривать метан CH₄. Его молекула (см. рис.

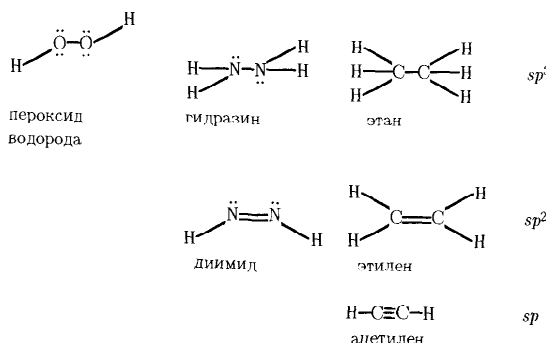
50) имеет тетраэдрическую форму ($d_{\text{CH}} = 0,1093 \text{ нм}$, $\mu = 0$), что отвечает электронной конфигурации

$$\sigma_z^2 \sigma_x^2 \sigma_y^2 \sigma_z^2$$

Метан — бесцветный, не имеющий запаха газ (т.пл. —182,49 °С, т.кип. —161,56 °С), химически весьма инертен вследствие валентной и координационной насыщенности молекулы. На него не действуют кислоты и щелочи. Однако он легко загорается; его смеси с воздухом чрезвычайно взрывоопасны. Метан — основной компонент природного (60—90%) гудничного и болотного газа. Содержится в виде клатратов в земной коре. В больших количествах образуется при коксовании каменного угля. Богатые метаном газы используются как высококалорийное топливо и сырье для производства быдяного газа.

Углерод образует многообразные *перкарбиды*. Вследствие высокой прочности гомоцепей из атомов углерода перкарбиды многообразнее пероксидов и перниитридов. В качестве простейших представителей перкарбидов можно формально рассматривать некоторые простейшие углеводороды — изоэлектронные аналоги пероксида и перниитридов водорода:

Пероксид	Перниитриды	Перкарбиды	Характер гибридизации орбиталей атома Э (O, N, C)
----------	-------------	------------	---



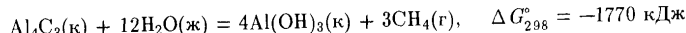
Этан C₂H₆, этилен C₂H₄ и ацетилен C₂H₂ в обычных условиях — газы. Вследствие высокой прочности связи C₂H₆ ($E_{\text{CC}} = 347 \text{ кДж/моль}$), C₂H₄ ($E_{\text{CC}} = 598 \text{ кДж/моль}$) и C₂H₂ ($E_{\text{CC}} = 429 \text{ кДж/моль}$)

$= 811$ кДж/моль) в отличие от H_2O_2 , N_2H_4 и в особенности N_2H_2 вполне устойчивы и химически малоактивны.

Расстояния d_{CC} при одинарной, двойной и тройной связях между атомами углерода равны 0,154, 0,135 и 0,120 нм соответственно. В зависимости от типа гибридизации валентных орбиталей атома углерода длина связи CH составляет: 0,1093 нм (sp^3 -гибридизация), 0,1071 нм (sp^2 -гибридизация), 0,1057 нм (sp -гибридизация). Межъядерное расстояние в ионе C_2^{2-} составляет 0,119—0,124 нм.

Ионно-ковалентные карбиды — это кристаллические солеподобные вещества. При действии воды или разбавленной кислоты они разрушаются с выделением углеводородов. Поэтому карбиды подобного типа можно рассматривать как производные соответствующих углеводородов.

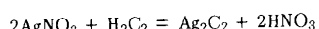
В качестве производных метана — *метанидов* — можно рассматривать карбиды Be_2C (т.пл. 2150 °С) и Al_4C_3 (т.пл. 2800 °С). Это тугоплавкие кристаллические вещества. Согласно рентгеноструктурным исследованиям в их кристаллах атомы углерода между собой не связаны. Метаниды разлагаются водой, выделяя метан:



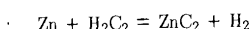
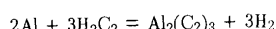
Из солеподобных перкарбидов относительно лучше изучены ацетилиды типа M_2C_2 , MC_2 и $\text{M}_2(\text{C}_2)_3$.

Ацетилиды наиболее характерны для *s*- и *d*-элементов I и II группы, а также для алюминия.

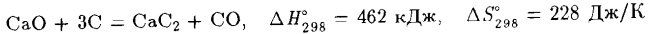
Ацетилиды образуются по обменным реакциям в растворах



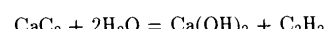
или непосредственным взаимодействием C_2H_2 с некоторыми металлами при нагревании:



Имеющий наибольшее значение ацетилид кальция CaC_2 (обычно называемый *карбидом*) получают нагреванием CaO с углем в электропечах:



Ацетилиды более или менее легко разлагаются водой



с образованием ацетилена. Эта реакция используется в технике для получения ацетилена.

В ряду F—O—N—C повышается способность к образованию соединений с делокализованной связью, вплоть до металлической. Металлическими являются карбиды *d*-элементов IV—VIII групп. Карбиды этого типа представляют собой соединения включения; в них атомы углерода занимают октаэдрические пустоты в плотноупакованных структурах атомов металлов. Металлические карбиды весьма разнообразны. Чаще всего встречаются карбиды среднего состава MC (TiC , ZrC , HfC , VC , NbC , TaC), M_2C (Mo_2C , W_2C), M_3C (Mn_3C , Fe_3C , Co_3C). Эти карбиды проявляют металлические признаки: металлический блеск, высокую электрическую проводимость, уменьшающуюся с повышением температуры, легкость образования твердых растворов с металлами и др. Состав карбидов *d*-элементов изменяется в широких пределах. Например, в зависимости от условий получения карбиды титана и ванадия имеют состав $\text{TiC}_{0,16-1,0}$ и $\text{VC}_{0,58-1,0}$.

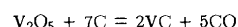
Карбиды *d*-элементов обладают высокой твердостью, жаропрочностью, обычно более высокой температурой плавления, чем исходные металлы, например:

Металл	Ti	Zr	Hf	V	Nb	Ta	Mo	W	Mn	Fe
T. пл., °С	1668	1852	2200	1919	2460	3000	2620	3380	1244	1539
Карбид	TiC	ZrC	HfC	VC	NbC	TaC	Mo_2C	W_2C	Mn_3C	Fe_3C

Карбиды состава MC (TiC , VC , NbC) и M_2C (Mo_2C , W_2C) наряду с исключительной жаростойкостью и тугоплавкостью (2000—3500 °С) характеризуются высокой коррозионной стойкостью.

Карбиды состава M_3C (Mn_3C , Fe_3C , Co_3C) термически и химически менее устойчивы. Так, они разлагаются разбавленными кислотами, выделяя смесь углеводородов.

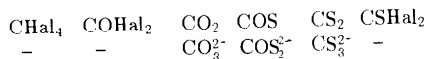
Карбиды получают прокаливанием при высоких температурах смеси порошков металлов или их оксидов с углем в электрических печах:



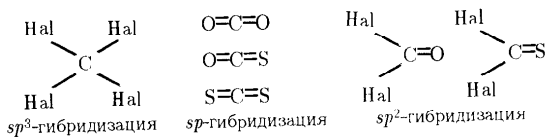
Металлические карбиды входят в состав чугунов и сталей, придавая им твердость, износостойкость и другие ценные качества. На

основе карбидов вольфрама, титана и tantalа производят сверхтвердые и тугоплавкие сплавы, применяемые для скоростной обработки металлов. Такие сплавы изготавливают методами порошковой металлургии (спрессовыванием составных частей при нагревании). В качестве цементирующего материала чаще всего используют кобальт и никель. Сплав, состоящий из 20% NiC и 80% TaC, — самый тугоплавкий из известных веществ (т.пл. 4400°С).

Соединения углерода (IV). Степень окисления углерода +4 проявляется в его соединениях с более электроотрицательными, чем он сам, неметаллическими элементами:

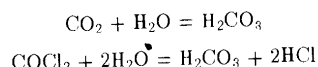


В соответствии с гибридным состоянием валентных орбиталей углерода молекулы его галогенидов CHal₄ имеют тетраэдрическую, молекулы оксида CO₂ и сульфида CS₂ — линейную, а оксо- и сульфиогалогенидов COHal₂, CSHal₂ — треугольную структуру:

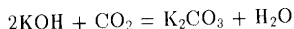


В обычных условиях некоторые из указанных соединений — газы (CO₂, CO₂, COS, COCl₂), другие — жидкости (CCl₄, CS₂) или легкоплавкие твердые вещества (CBr₄, Cl₄-иодил). В твердом состоянии все они имеют молекулярные решетки.

По химической природе эти соединения углерода (IV) являются кислотными. Некоторые из них взаимодействуют с водой, образуя кислоты:



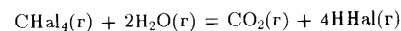
и с основными соединениями, образуя соли:



Некоторые константы тетрагалогенидов углерода приведены ниже:

	CF ₄	CCl ₄	CBr ₄	Cl ₄
T. пл., °С	-184	-23	94	171 (разл.)
T. кип., °С	-128	77	187	возд.
d _{CHal} , г/мл	0,136	0,176	0,194	0,215
E _{CHal} , кДж/моль	487	340	285	214
ΔG _{f,298} , кДж/моль	-634	-103	79	-
ΔH _{f,298} , кДж/моль	-888	-61	67	260

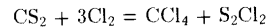
В обычных условиях CF₄ — газ, CCl₄ — жидкость, а CBr₄ и Cl₄ — твердые вещества. Первые два галогенида бесцветны, CBr₄ — бледно-желтое и Cl₄ — светло-красное вещества. Все эти соединения в воде практически нерастворимы, но растворяются в органических растворителях. Тетрафторид углерода чрезвычайно устойчив к нагреванию и химическим реагентам, тетрахлорид углерода несколько менее устойчив, однако не разлагается щелочами и кислотами. Его гидролиз протекает лишь при высокой температуре в присутствии катализаторов. Изменение энергии Гиббса в реакции



свидетельствует о термодинамической вероятности гидролиза CF₄ ($\Delta G_{298}^{\circ} = -150$ кДж/моль) и CCl₄ ($\Delta G_{298}^{\circ} = -250$ кДж/моль). Отсутствие гидролиза при обычных условиях обусловливается кинетическим фактором: координационно насыщенный атом углерода не склонен присоединять молекулы воды (акцептировать электронные пары от молекул H₂O для инициирования гидролиза).

По мере увеличения длины и ослабления прочности связи C—Hal в ряду CF₄—CCl₄—CBr₄—Cl₄ устойчивость соединений снижается и возрастает химическая активность.

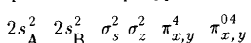
Тетрафторид углерода можно получить непосредственным взаимодействием простых веществ или по обменной реакции между CCl₄ и AgF при 300 °С. Тетрахлорид получают хлорированием CS₂ в присутствии катализатора:



Из тетрагалогенидов наибольшее применение получил CCl₄ в качестве негорючего растворителя органических веществ, а также жидкости для огнетушителей. Смешанный фторид-хлорид углерода

CCl_2F_2 — фреон (т. кип. — 30°C) применяется в качестве хладагента в холодильных машинах и установках.

Молекула диоксида углерода CO_2 имеет линейную форму ($d_{\text{CO}} = 0,1162 \text{ нм}$, $\mu = 0$). С учетом 2s-электронов двух атомов кислорода это отвечает электронной конфигурации

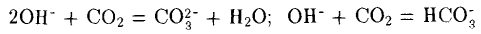


и структурной формуле



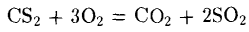
Диоксид углерода (т. субл. $-78,5^\circ\text{C}$, т. пл. $-56,5^\circ\text{C}$ при $5 \cdot 10^5 \text{ Па}$) в технике обычно получают термическим разложением CaCO_3 , а в лаборатории — действием на CaCO_3 соляной кислотой.

Растворимость CO_2 в воде невелика (при 0°C составляет 1,7 л CO_2 , при 15°C — 1 л CO_2 в 1 л воды). Некоторая часть растворенного CO_2 взаимодействует с водой с образованием угольной кислоты H_2CO_3 . Диоксид углерода легко поглощается растворами щелочей; при этом образуется соответствующий карбонат, а при избытке CO_2 — гидрокарбонат:



Диоксид углерода используют в производстве соды, для тушения пожаров, приготовления минеральной воды, как инертную среду при проведении различных синтезов.

Д и с у л ь ф и д углерода CS_2 (сероуглерод) в обычных условиях — летучая бесцветная жидкость (т. пл. $-111,9^\circ\text{C}$, т. кип. $-46,2^\circ\text{C}$). Получают его взаимодействием паров серы с раскаленным углем. Сероуглерод — эндотермическое соединение ($\Delta H_f = +122 \text{ кДж/моль}$), легко окисляется, при небольшом нагреве воспламеняется на воздухе:



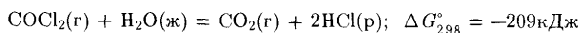
Так же легко воспламеняется эндотермический COS . В воде CS_2 не растворяется, при нагревании (150°C) гидролизуется на CO_2 и H_2S . Сероуглерод используется как хороший растворитель органических веществ, фосфора, серы, иода. Основная масса CS_2 применяется в производстве вискозного шелка, а также в качестве средства для борьбы с вредителями сельского хозяйства. Сероуглерод (как и COS) ядовит.

Из оксодигалогенидов углерода (IV) известны COF_2 , COCl_2 и COBr_2 .

	COF_2	COCl_2	COBr_2
Т. пл., $^\circ\text{C}$	-114	-118	-
Т. кип., $^\circ\text{C}$	-83	+8	+65
$d_{\text{CHal}} \text{ нм}$	0,131	0,175	-
$d_{\text{CO}^+} \text{ нм}$	0,117	0,117	-
$\mu_{\text{COHal}_2} \cdot 10^{29}, \text{Кл}\cdot\text{м}$	32	39	-

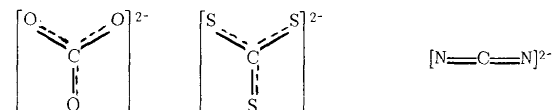
Их молекулы имеют форму плоского треугольника. Поскольку связи в них неравноценны, молекулы COHal_2 обладают полярностью.

Все оксодигалогениды (карбонилгалогениды) значительно более реакционноспособны, чем тетрагалогениды; в частности, они легко гидролизуются:



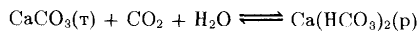
Наиболее применение находит COCl_2 (фосген, хлористый карбонил). Его широко используют в органическом синтезе. Это чрезвычайно ядовитый газ.

Из анионных комплексов углерода (IV) — карбонатов — простейшими являются CO_3^{2-} , CS_3^{2-} и CN^{2-} :



триоксокарбонат-ион трисульфидокарбонат-ион динитрокарбонат-ион
(sp^2 -гибридизация (sp^2 -гибридизация (sp -гибридизация
орбиталей углерода) орбиталей углерода) орбиталей углерода)

Оксокарбонаты получают взаимодействием CO_2 с растворами щелочей или по обменным реакциям. Растворимы в воде лишь карбонаты натрия и элементов подгруппы калия. При действии CO_2 на карбонаты в присутствии воды образуются гидрокарбонаты:



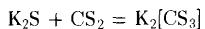
Гидрокарбонаты в отличие от карбонатов в большинстве своем растворимы в воде.

Триоксокарбонат водорода H_2CO_3 неустойчив в свободном состоянии. Угольная кислота образуется при взаимодействии CO_2 с водой. В водном растворе большая часть растворенного CO_2 находится в гидрат-

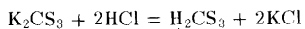
тированном состоянии $\text{CO}_2\cdot\text{aq}$ и только часть — в виде H_2CO_3 , HCO_3^- и CO_3^{2-} .

Угольная кислота — кислота средней силы ($K_{\text{a}1} = 1,3 \cdot 10^{-4}$, $K_{\text{a}2} = 5,0 \cdot 10^{-11}$).

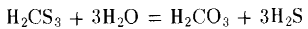
Сульфидокарбонаты (IV) (тиокарбонаты) во многом напоминают триоксокарбонаты (IV). Их можно получить взаимодействием сероуглерода с основными сульфидами, например:



Трисульфидокарбонат водорода H_2CS_3 — маслянистая жидкость (т. пл. -31°C). Образуется действием на соответствующие тиокарбонаты соляной или серной кислот:

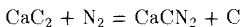


Водный раствор H_2CS_3 — слабая тиоугольная кислота. Постепенно разлагается водой, образуя угольную кислоту и сероводород:



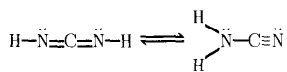
Известны также смешанные оксогульфидокарбонаты — производные $[\text{COS}_2]^{2-}$ и $[\text{CO}_2\text{S}]^{2-}$.

Из нитридокарбонатов важное значение имеет так называемый цианамид кальция CaCN_2 . Его получают окислением карбида кальция CaC_2 азотом при нагревании:



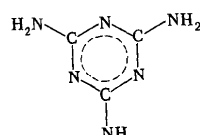
Цианамид кальция применяется в качестве удобрения, а также для получения аммиака и ряда азотистых производных углерода.

Динитридокарбонат водорода H_2CN_2 (цианамид) — бесцветные кристаллы (т. пл. $+47^\circ\text{C}$), легко растворимые в воде, спирте и эфире. Цианамид проявляет слабо выраженные кислотные свойства. В органических растворителях вероятно равновесие таутомерных форм:

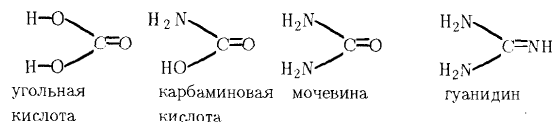


В воде H_2CN_2 постепенно разлагается на угольную кислоту и аммиак.

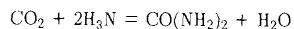
Жидкий цианамид полимеризуется, давая кольцеобразные тримерные молекулы меламина:



Ниже приведены структурные формулы нитридо- и оксонитридокарбонатов водорода, которые можно рассматривать как производные H_2CO_3 , где OH^- и O_2^{2-} замещены на NH_2^- и NH_2^{2-} -радикалы:

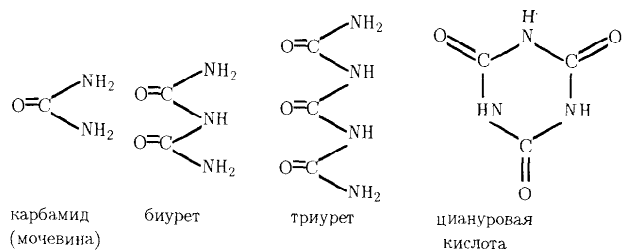


Из указанных соединений наибольшее значение имеет мочевина $\text{CO}(\text{NH}_2)_2$ (карбамид) — белое кристаллическое вещество (т. пл. $132,7^\circ\text{C}$). Ее получают действием CO_2 на водный раствор H_2N при 130°C и $1 \cdot 10^7$ Па:



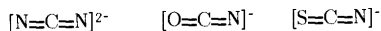
Мочевина применяется в качестве удобрения и для подкормки скота. Она — исходный продукт для получения пластических масс, фармацевтических препаратов (веронала, люминала и др.) и пр.

Для углерода (IV) известны многочисленные гетероцепные соединения, например, ряда:

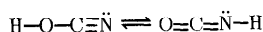


Это кристаллические вещества. В основном они используются в органическом синтезе.

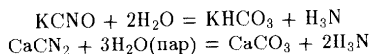
sp-Гибридному состоянию орбиталей углерода кроме CN_2^{2-} соответствуют также анионы OCN^- и SCN^- :



Производные OCN^- и SCN^- называют соответственно *цианатами* и *тиоцианатами*. Оксонитрилодикарбонат (IV) водорода HOCN в водном растворе (*циановая кислота* $K_a = 1,2 \cdot 10^{-4}$) существует в виде таутомерных форм:



Многие нитридо- и оксонитрилодикарбонаты постепенно разрушаются водой, выделяя аммиак:



Последняя реакция используется для получения аммиака по цианамидному способу.

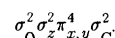
Сульфидонитрилодикарбонат (IV) водорода HSCN (*тиоцианат водорода*) $\text{H}-\text{S}-\text{C}\equiv\text{N}$ — бесцветная очень неустойчивая маслянистая жидкость (т. пл. 5°C). С водой смешивается в любых соотношениях, образуя сильную (типа HCl) тиоцианистоводородную кислоту ($K_a = 0,14$). Тиоцианаты в основном применяют при крашении тканей; NH_4SCN используют как реагент на ионы Fe^{3+} .

Карбонат-ионы, особенно SCN^- и OCN^- , могут играть роль лигандов в комплексных соединениях, например $\text{K}_3[\text{Fe}(\text{SCN})_6]$, $\text{Na}_2[\text{Ni}(\text{OCN})_4]$. Ионы SCN^- и OCN^- — монодентатные лиганда, а ион CO_3^{2-} может выступать в качестве монодентатного, так и дидентатного лиганда, например, в $[\text{Co}(\text{NH}_3)_5\text{CO}_3]\text{Br}$ и $[\text{Co}(\text{NH}_3)_4\text{CO}_3]\text{Br}$:



Соединения углерода (II). Производные углерода (II) — это CO , CS , HCN . В молекуле оксида углерода (II) CO , как и в изоэлектронной ей молекуле N_2 , имеется тройная связь.

Согласно теории молекулярных орбиталей это отвечает следующей электронной конфигурации невозбужденной молекулы CO :



Эту электронную конфигурацию можно интерпретировать следующим образом. В молекуле тройная связь: σ_z — электронная пара обеспечивает σ -связь, а электроны дважды вырожденного уровня $\pi_{x,y}$ соответствуют двум π -связям. Электроны на несвязывающих σ_0^- и σ_{C}^- орбиталах соответствуют двум парам электронов, одна из которых преимущественно локализована у атома кислорода, а другая — у атома углерода. Вследствие тройной связи молекула CO характеризуется очень большой энергией диссоциации (1069 кДж/моль) и малым межъядерным расстоянием (0,1128 нм). Значение электрического момента диполя молекулы CO незначительно ($\mu = 0,04 \cdot 10^{-29}$ Кл·м).

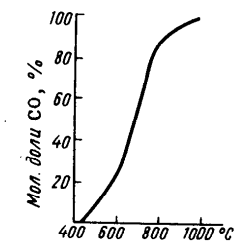


Рис. 177. Влияние температуры на состояние равновесия $\text{CO}_2(\text{г}) + \text{C}(\text{к}) \rightleftharpoons 2\text{CO}(\text{г})$

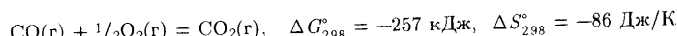
Поскольку строение молекулы CO и N_2 аналогично, сходны и их физические свойства; очень низкие температуры плавления (для $\text{CO} -204^\circ\text{C}$) и кипения ($-191,5^\circ\text{C}$); стандартные энтропии близки [для $\text{CO} 198$ Дж/(К·моль), $\text{N}_2 199$ Дж/(К·моль)]; в твердом состоянии оксид углерода (II), как и азот, существует в виде двух модификаций (кубической и гексагональной); плохо растворяются в воде и т.д. Сходство проявляется также в структуре спектров CO и N_2 .

Оксид углерода (II) образуется при горении углерода или его соединений в недостатке кислорода, а также в результате взаимодействия оксида углерода (IV) с раскаленным углем:

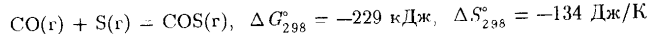


Эта реакция обратима, ее протекание вправо определяет энтропийный фактор, протекание влево — энталпийный фактор. Равновесие этой реакции ниже 400°C практически смещено в сторону образования CO_2 , выше 1000°C — в сторону образования CO (рис. 177). Скорость реакции при низкой температуре незначительна, поэтому в обычных условиях оксид углерода (II) не диспропорционирует, т.е. вполне устойчив.

В обычных условиях оксид углерода (II) химически весьма инертен. При нагревании проявляет восстановительные свойства, что широко используется в пирометаллургии. При 700 °С оксид углерода (II) сгорает синим пламенем, выделяя большое количество теплоты:

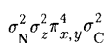


При нагревании CO окисляется серой:



При облучении или в присутствии катализатора CO взаимодействует с хлором, образуя оксохлорид COCl_2 , и т. д.

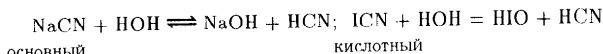
Аналогично молекуле CO построен изоэлектронный ей цианид-ион CN^- . Электронную конфигурацию невозбужденного состояния CN^- иона



можно интерпретировать так же, как и электронную конфигурацию молекулы CO. Две занятые σ -орбитали соответствуют двум парам электронов, одна из которых преимущественно локализована у атома азота, другая — около атома углерода. Занятая σ_z -орбиталь соответствует σ -связи, а четыре электрона на дважды вырожденном π -уровне — двум π -связям между атомами C и N:



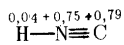
По химической природе цианиды могут быть основными и кислотными. Так, при гидролизе ионный цианид NaCN образует щелочную среду, а ковалентный ICN — две кислоты:



Молекула цианида водорода HCN имеет линейную структуру ($d_{\text{CH}} = 0,106 \text{ нм}$, $d_{\text{CN}} = 0,116 \text{ нм}$):



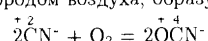
Существует также ее тautомерная форма (изоцианид водорода)



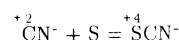
Первый изомер устойчивее, так как у него эффективные заряды на атомах имеют меньшее значение, чем у второго.

Молекулы HCN обладают высокой полярностью ($\mu = 0,9 \cdot 10^{-29} \text{ Кл} \cdot \text{м}$); за счет водородной связи они ассоциируются в бесцветную жидкость (т. пл. $-13,3$ °С, т. кип. $25,7$ °С). Цианид водорода смешивается с водой в любых отношениях. Его водный раствор — очень слабая кислота ($K_a = 7,9 \cdot 10^{-10}$), называемая *цианистоводородной*. HCN — сильнейший неорганический яд.

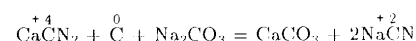
Будучи производными углерода (II), цианиды проявляют восстановительные свойства. Так, при нагревании их растворов они постепенно окисляются кислородом воздуха, образуя цианаты:



а при кипячении растворов цианидов с серой образуются тиоцианаты



На последней реакции основано получение тиоцианатов. Цианиды получают восстановлением углеродом карбонатов (IV) при нагревании:

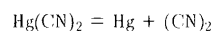


а также по реакциям, не сопровождающимся окислением — восстановлением элементов. Так, в частности, получают в технике HCN при нагревании смеси CO и H_3N под давлением в присутствии катализатора (ThO_2):

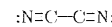


Цианид водорода применяют в органическом синтезе, NaCN и KCN — при добыве золота, для получения комплексных цианидов и т. д.

При нагревании цианидов малоактивных металлов [AgCN , $\text{Hg}(\text{CN})_2$] до 350 — 450 °С образуется дициан (CN_2):

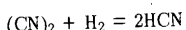


Это очень реакционноспособный ядовитый газ (т.пл. $-27,8$ °С, т. кип. $-21,2$ °С). Свойства дициана ($d_{\text{CC}} = 0,137 \text{ нм}$, $d_{\text{CN}} = 0,113 \text{ нм}$) отвечают структуре

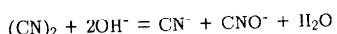


Энергия Гиббса образования дициана имеет большое положительное значение ($\Delta G_f^\circ = 309,2 \text{ кДж/моль}$), поэтому непосредственным взаимодействием про-

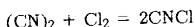
тых веществ он не получается. По этой же причине дициан легко окисляется кислородом, давая очень горячее пламя (~ 4780 °C). Дициан можно назвать псевдогалогеном, так как в некоторых реакциях он ведет себя подобно галогенам. Так, при взаимодействии дициана с водородом образуется газ HCN.



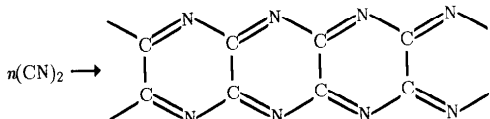
который, как и HHal, в растворе ведет себя как кислота. Подобно галогенам, дициан при действии щелочей диспропорционирует:



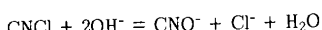
Дициан может выступать и в качестве восстановителя:



В чистом виде дициан устойчив, но при нагревании полимеризуется



Хлорид циана CNCI в обычных условиях — газ (т. пл. —6, т. кип. 13,8 °C). Это соединение ковалентное, по химической природе — кислотное. При взаимодействии со щелочами дает цианат- и хлорид-ионы:



§ 2. КРЕМНИЙ

Кремний Si ($1s^2 2s^2 2p^6 3s^2 3p^2$) по числу валентных электропровов является аналогом углерода. Однако у кремния больший размер атома, меньшая энергия ионизации.

Поэтому кремний — элемент 3-го периода — по структуре и свойствам однотипных соединений существенно отличается от углерода — элемента 2-го периода. Максимальное координационное число кремния равно шести, а наиболее характерное — четырем. Как и для других элементов 3-го периода, $p_{\pi}-p_{\pi}$ -связывание для кремния не характерно и потому в отличие от углерода sp - и sp^2 -гибридные состояния для него неустойчивы. Кремний в соединениях имеет степени окисления +4 и —4.

Согласно другой точке зрения различие свойств кремния и углерода объясняется наличием в атоме кремния вакантных 3d-орбиталей.

Для кремния наиболее характерны связи Si—F и Si—O. Поэтому, в частности, кремний на Земле находится в виде кислородных соединений.

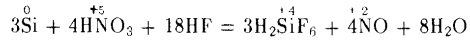
Природный кремний состоит из трех стабильных изотопов: ^{28}Si (92,27%), ^{29}Si (4,68%) и ^{30}Si (3,05%).

По распространенности на Земле 20% (мол. долей) кремний уступает только кислороду. Земная кора более чем наполовину состоит из кремнезема SiO_2 , силикатных и алюмосиликатных пород.

Простое вещество. В соответствии с характерным типом гибридизации валентных орбиталей (sp^3) у кремния наиболее устойчива алмазо-подобная (кубическая) модификация. Как и алмаз, она тугоплавка (т. пл. 1415 °C) и отличается высокой твердостью. Вследствие частичной делокализации связи эта модификация имеет темно-серый цвет и металлический вид. При комнатной температуре кремний является полупроводником ($\Delta E = 1,12$ эВ). Графитоподобная модификация кремния неустойчива.

В обычных условиях кремний довольно инертен. С простыми веществами (кроме фтора) взаимодействует лишь при нагревании, проявляя чаще всего восстановительные свойства. Так, он окисляется хлором при 400 °C, кислородом при 600 °C; с азотом взаимодействует лишь при 1000 °C, а с углеродом — при 2000 °C, образуя соответственно Si_3N_4 и SiC .

В кислородсодержащих кислотах — окислителях кремний пассивируется и растворяется лишь в смеси кислот фтороводородной (плавиковой) и азотной:



В этой реакции HNO_3 играет роль окислителя, а HF — комплексообразующей среды. В результате реакции кремний переходит в устойчивую степень окисления +4; входит в состав устойчивого фторокомплекса SiF_6^{2-} (для растворенного SiF_6^{2-} $\Delta G_f^\circ = -2133$ кДж/моль).

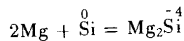
Кремний энергично растворяется в щелочах с выделением водорода:



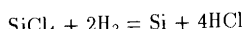
При этом роль окислителя выполняет вода, а комплексообразующей среды — OH^- -ионы.

С водой в обычных условиях кремний не реагирует.

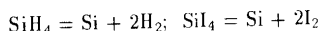
Окислительная активность кремния проявляется лишь по отношению к некоторым металлам, например:



Кремний технической чистоты (95–98%) получают в электронечах восстановлением SiO_2 коксом. В лабораторных условиях в качестве восстановителя применяют магний. При этом образуется сильно загрязненный примесями коричневый порошок кремния. Последний перекристаллизацией из металлических расплавов (Zn , Al и др.) можно перевести в кристаллическое состояние. Необходимый для полупроводниковой техники кремний особой чистоты получают восстановлением SiCl_4 водородом при высокой температуре:



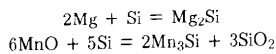
а также термическим разложением его водородных соединений или SiI_4 :



Дополнительно очищают кремний зонной плавкой. Монокристаллы кремния с соответствующими добавками служат для изготовления различных полупроводниковых устройств (выпрямителей переменного тока, фотоэлементов и пр.). Из кремниевых фотоэлементов (преобразователи световой энергии в электрическую), в частности построены солнечные батареи, обеспечивающие питание радиоаппаратуры на космических аппаратах. Монокристаллы кремния служат матрицей для изготовления интегральных схем в микроэлектронике.

Кроме полупроводниковой техники кремний широко применяется в металлургии для раскисления сталей и придания им повышенной коррозионной стойкости. Для этих целей используется сплав кремния с железом (*ферросилиций*), получаемый при совместном восстановлении коксом железной руды и кремнезема. Ферросилиций очень устойчив к действию кислот и потому используется для изготовления кислотоупорных изделий.

Соединения с отрицательной степенью окисления кремния. При окислении металлов кремнием (700–1200 °C) или при нагревании смеси соответствующих оксидов и кремния в инертной атмосфере образуются *силициды*:



По структуре и свойствам силициды отличаются от карбидов. Большинство силицидов имеет сложный состав, не отвечающий целочисленным степеням окисления элементов. Силициды щелочных и щелочно-земельных металлов

химически активны, более или менее легко разлагаются водой и особенно кислотами. Силициды с большим содержанием кремния весьма кислотоупорны, не растворяются в щелочах. Ca_2Si , CaSi и CaSi_2 — полупроводники. Многие силициды *s*- и *f*-элементов обладают металлической проводимостью, большинство их отличается высокой твердостью, некоторые достаточно тугоплавки, например:

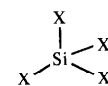
T. пл., °C	Ti_5Si_3	V_5Si_3	MoSi_2	WSi_2
	2120	2150	2050	2165

Силициды применяют для получения жаростойких и кислотоупорных сплавов и в качестве высокотемпературных полупроводниковых материалов. Из дисилицида молибдена MoSi_2 , выдерживающего нагрев до 1600–1700 °C в агрессивной атмосфере, изготавливают нагреватели электропечей. Ряд силицидов *f*-элементов применяется в атомной энергетике в качестве поглотителя нейтронов и т.д.

Соединения кремния (IV). Кремний в степени окисления +4 входит в соединения с галогенами, кислородом и серой, азотом, углеродом, водородом:

SiHal_4	SiO_2	SiS_2	Si_3N_4	SiC	SiH_4
SiF_6^{2-}	SiO_3^{2-}	SiS_3^{2-}	SiN_2^{2-}	—	—

Устойчивому координационному числу кремния 4 отвечает тетраэдрическая структурная единица SiX_4 . В ней атомы электроотрицательных элементов (O, S, N, C, H, Hal) расположены в вершинах тетраэдра, а атом кремния — в центре:



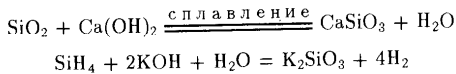
Из бинарных соединений кремния (IV) мономерными являются лишь SiHal_4 и SiH_4 , остальные соединения полимерны. Полимерные соединения с координационной решеткой (SiC , SiO_2) характеризуются высокой температурой плавления и химической устойчивостью. Мономерные соединения, наоборот, легкоплавки, химически активны. Про междоузельное положение занимают соединения с цепной структурой (SiS_2).

Отвечающие бинарным соединениям анионные комплексы кремния (IV) (SiO_3^{2-} , SiS_3^{2-} , SiN_2^{2-}) в отличие от таковых углерода (IV) также

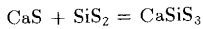
полимерны. Они также образованы тетраэдрической структурной единицей Si_4 .

Таким образом, углерод и кремний имеют одинаковое число валентных электронов и образуют соединения одинакового состава. Однако по строению, а следовательно, и по химической активности однотипные соединения углерода и кремния существенно отличаются.

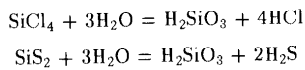
По химической природе бинарные соединения Si(IV) являются кислотными. Так, большинство из них взаимодействует со щелочами (в растворах и особенно при сплавлении):



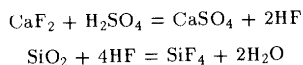
и с другими основными соединениями:



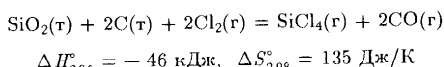
При гидролизе они образуют кислоты:



Галогениды кремния SiHal_4 можно получить непосредственным взаимодействием простых веществ. Тетрафторид кремния обычно получают действием концентрированной серной кислоты на смесь $\text{SiO}_2 + \text{CaF}_2$:



а тетрахлорид — при нагревании смеси SiO_2 и углерода в атмосфере хлора:



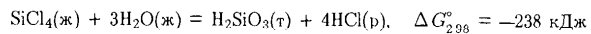
Значительные количества SiF_4 получаются как побочный продукт суперфосфатного производства.

В обычных условиях SiF_4 — газ, SiCl_4 и SiBr_4 — жидкости, SiI_4 — твердое вещество. Все они бесцветны.

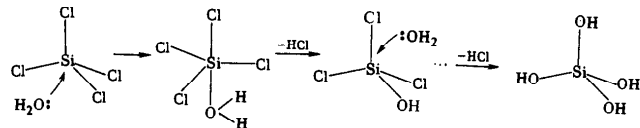
Ниже приведены некоторые сведения о галогенидах кремния:

	SiF_4	SiCl_4	SiBr_4	SiI_4
Т. пл., °С	-87 (возр.)	-70	5,2	120,5
Т. кип., °С	-95 (возр.)	57,5	152,8	287,5
$\Delta H_f^{\circ}_{298}$, кДж/моль	-1615	-662	-430	-113
$\Delta G_f^{\circ}_{298}$, кДж/моль	-1572	-598	-214	-138

В противоположность тетрагалогенидам углерода (IV) галогениды SiHal_4 легко гидролизуются:



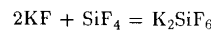
Гидролиз протекает по ассоциативному механизму — за счет последовательного присоединения молекул воды и отщепления молекул HHal , вплоть до образования $\text{Si}(\text{OH})_4$. Так, гидролиз SiCl_4 можно представить следующей схемой:



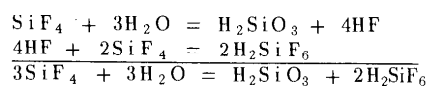
Молекулы H_4SiO_4 далее полимеризуются с образованием H_2SiO_3 . Вследствие гидролиза тетрагалогениды кремния во влажном воздухе дымят.

Повышение координационного числа кремния (IV) с 4 до 5 в промежуточном соединении можно объяснить возникновением трехцентровой четырехэлектронной связи. Так, в $\text{SiCl}_4 \cdot \text{H}_2\text{O}$ три атома хлора связаны с атомом кремния посредством двухцентровой связи, а один атом хлора и молекула воды — посредством трехцентровой связи.

Кислотная природа SiF_4 проявляется не только при гидролизе, но и при взаимодействии с основными фторидами, например:



Вследствие устойчивости тексафторосиликат-иона SiF_6^{2-} гидролиз SiF_4 выражается уравнениями:



Гексафторосиликат водорода H_2SiF_6 в свободном состоянии не выделен. В водном растворе H_2SiF_6 — сильная (типа H_2SO_4) гексафтородная кислота.

Фторосиликаты металлов получают действием фтороводородной кислоты на смесь кремнезема и соответствующего фторида:

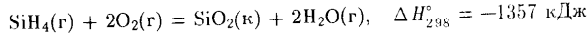


Большинство фторосиликатов растворимо в воде. Наибольшее значение имеет Na_2SiF_6 . Применяют его для фторирования воды, как инсектицид, в производстве кислотоупорных цементов, эмалей и пр. Тетрафторид кремния и все фторосиликатыядовиты.

Гомоцепи $-\text{Si}-\text{Si}-$ обнаруживаются в гидридах кремния (силанах) гомологического ряда $\text{Si}_n\text{H}_{2n+2}$. По составу (SiH_4 , Si_2H_6 , Si_3H_8 , Si_4H_{10} до Si_8H_{18}) и физическим свойствам силаны сходны с соответствующими углеводородами. В обычных условиях моносиланы SiH_4 и дисилан Si_2H_6 — газообразны, трисилан Si_3H_8 — жидкость, высшие представители гомологического ряда — твердые вещества:

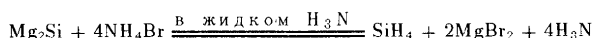
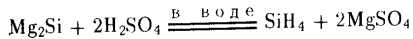
	SiH_4	Si_2H_6	Si_3H_8	Si_4H_{10}
Т. пл., °С	-185	-131	-117	-84
Т. кип., °С	-112	-15	53	108
ΔG_f^{298} , кДж/моль	57	126	—	—

Поскольку связи $\text{Si}-\text{H}$ и $\text{Si}-\text{Si}$ слабее связей $\text{C}-\text{H}$ и $\text{C}-\text{C}$, кремневодороды несравненно менее устойчивы и более реакционноспособны, чем соответствующие углеводороды. Большинство из них на воздухе воспламеняется. Сгорают силаны с большим выделением теплоты, например:



С галогенами силаны взаимодействуют со взрывом. Силаны — кислотные гидриды, о чем свидетельствует характер их взаимодействия со щелочами (см. выше). При этом разложение силанов происходит даже в присутствии следов щелочи. В нейтральной и кислотной среде кремневодороды довольно устойчивы.

С водородом кремний непосредственно не взаимодействует. Силаны получают косвенным путем, например действием кислот на некоторые силициды:



В последнем случае роль кислоты играет NH_4Br . Разложение силицидов кислотами в жидком амиаке приводит к большему выходу продуктов, чем при разложении в водной среде.

Диоксид кремния SiO_2 (кремнезем) имеет несколько модификаций.

В природе он встречается главным образом в виде минерала кварца (гексагональная структура), а также кристобалита (кубическая структура) и тридиита (гексагональная структура). Модификации SiO_2 отличаются характером взаимного расположения кремнекислородных тетраэдров SiO_4 в пространстве.

Кремнезем тугоплавок, очень тверд и химически стоек. На него действуют лишь фтор, фтороводородная кислота и газообразный HF , а также растворы щелочей и фосфорная кислота. В воде в обычных условиях SiO_2 не растворяется, но начиная со 150 °С его растворимость возрастает, достигая $0,25\%$ или 500 °С.

Кремнезем легко переходит в стеклообразное состояние. В отличие от кристаллических модификаций SiO_2 в кварцевом стекле тетраэдрические структурные единицы SiO_4 расположены неупорядоченно (см. рис. 75). Кварцевое стекло химически и термически весьма стойко. Его применяют для изготовления химической аппаратуры и в оптических приборах.

Аморфный кремнезем является также основой ряда минералов: халцедона, опала, агата и др. Кварцевый песок в огромных количествах используется в производстве стекла, цемента, фарфора и пр.

При сверхвысоком давлении и нагревании (~ $1,2 \cdot 10^{10}$ Па; ~ 1300 °С) была получена особая модификация SiO_2 , названная стишиовитом. Его плотность на 60% выше плотности кварца. Это объясняется тем, что стишиовит имеет структуру типа рутила (см. рис. 69, б), т.е. в нем координационное число кремния 6. Благодаря плотной структуре стишиовит еще менее активен, чем кварц. Он устойчив даже к концентрированному раствору фтороводородной кислоты.

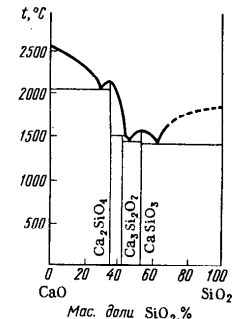
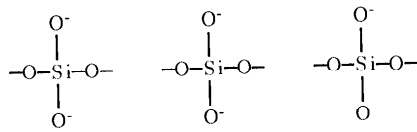


Рис. 178. Диаграмма плавкости системы $\text{CaO} - \text{SiO}_2$

Структурной единицей оксосиликатов, как и SiO_2 , является тетраэдрическая группировка атомов SiO_4 . Два соседних кремненогородных тетраэдра SiO_4 соединены друг с другом только через один атом кислорода. Если в кристаллах SiO_2 (координационная решетка) каждый тетраэдр SiO_4 дает на образование связей $\text{Si}-\text{O}-\text{Si}$ четыре вершины (см. табл. 13), то в оксосиликатах могут давать три, две или одну вершину:



Этим объясняется большое разнообразие возможных способов сочетаний друг с другом тетраэдров SiO_4 , структур и типов оксосиликатов. Так, в системе $\text{CaO}-\text{SiO}_2$ возможны следующие соединения: Ca_2SiO_4 , $\text{Ca}_3\text{Si}_2\text{O}_7$, CaSiO_3 (рис. 178).

Тетраэдры SiO_4 , как и PO_4 (см. рис. 166), могут объединяться попарно ($\text{Si}_2\text{O}_7^{6-}$), в замкнутые кольца из трех ($\text{Si}_3\text{O}_9^{6-}$), четырех ($\text{Si}_4\text{O}_{10}^{12-}$), шести ($\text{Si}_6\text{O}_{18}^{12-}$) тетраэдров.

В качестве примеров оксосиликатов — производных указанных структурных единиц — можно привести следующие минералы: производные аниона SiO_4^{4-} — циркон $\text{Zr}[\text{SiO}_4]$ и оливин $(\text{Mg}, \text{Fe})_2[\text{SiO}_4]$; аниона $\text{Si}_2\text{O}_7^{6-}$ — тортвейтит $\text{Si}_2\text{O}_7^{6-}$; аниона $\text{Sc}_2[\text{Si}_2\text{O}_7]$; аниона $\text{Si}_3\text{O}_9^{6-}$ — бенитоит $\text{BaTi}[\text{Si}_3\text{O}_9]$ и вадеит $\text{K}_2\text{Zr}[\text{Si}_3\text{O}_9]$; аниона $\text{Si}_6\text{O}_{18}^{12-}$ — берилл $\text{Be}_3\text{Al}_2[\text{Si}_6\text{O}_{18}]$.

Эти относительно простые структурные единицы в свою очередь могут объединяться в полимерные цепочки, ленты, сетки (рис. 179). Простейшая формула такого аниона рассчитывается по числу атомов, приходящихся на одно повторяющееся в полимере звено: $\text{Si}_3\text{O}_9^{6-}$, $\text{Si}_4\text{O}_{11}^{6-}$, $\text{Si}_2\text{O}_5^{2-}$.

Цепной оксосиликатный анион состава SiO_3^{2-} содержит так называемые пироксены. Примерами последних являются энстатит $\text{Mg}[\text{SiO}_3]$, диопсид $\text{CaMg}[\text{SiO}_3]_2$ и сподумен $\text{LiAl}[\text{SiO}_3]_2$.

Ленточные анионы состава $\text{Si}_4\text{O}_{11}^{6-}$ содержат так называемые альбинолы. Типичным представителем амфиболов является минерал трепеллит $\text{Ca}_2\text{Mg}_5[\text{Si}_4\text{O}_{11}]_2(\text{OH})_2$. Слоистые оксосиликатные анионы имеют состав $\text{Si}_2\text{O}_5^{2-}$.

Цепи, ленты и слои связаны между собой расположеннымими между ними катионами. В зависимости от типа оксосиликатных

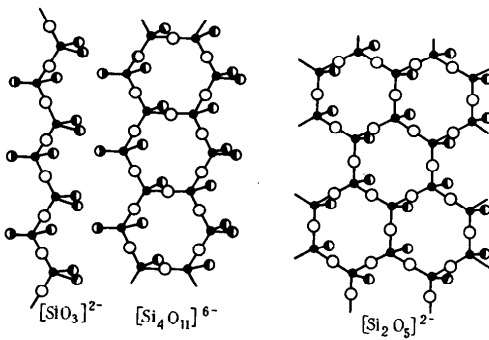


Рис. 179. Полимерные оксосиликатные ионы:

1 — атом Si; 2 — мостиковый атом O; 3 — концевой атом O

анионов силикаты имеют волокнистую (асбест) или слоистую структуру.

Кроме силикатов в природе широко распространены алюмосиликаты, в образовании которых наряду с тетраэдрами SiO_4 принимают участие тетраэдры AlO_4 .

Большинство оксосиликатов нерастворимо в воде. Исключение составляют силикаты *s*-элементов I группы.

Силикаты натрия и калия получают нагреванием SiO_2 в растворе щелочи. При этом образуется смесь оксосиликатов, которой приписывается общая формула Na_2SiO_3 или K_2SiO_3 . Концентрированный раствор силиката натрия применяют в производстве негорючих тканей, для пропитки древесины, в качестве клея и т.д.

Для оксосиликатов, как и для SiO_2 , очень характерно стеклообразное состояние. Обычное стекло получают сплавлением смеси соды (или Na_2SO_4), известняка и кварцевого песка. При этом образуется стекло приблизительного состава $\text{Na}_2\text{O}\cdot\text{CaO}\cdot 6\text{SiO}_2$, состоящее из больших полимерных анионов; оно нерастворимо, химически неактивно. Обыкновенное стекло в той или иной степени окрашено в зеленый цвет содержащимися в нем силикатами железа.

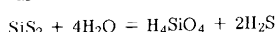
Для придания стеклу тех или иных физико-химических свойств (прозрачности, химической, термической и механической прочности и пр.) вводятся соответствующие добавки, изменяющие состав и структуру стекол. Так, у стекла, содержащего вместо натрия калий (*калиевое стекло*), температура размягчения выше, чем у обычного *натриевого*

вого стекла. Поэтому оно используется для изготовления специальных лабораторных приборов. Замена кальция на свинец, а натрия на калий придает стеклу повышенный показатель предломления, большую плотность. Из свинцового стекла (хрусталия) изготавливают вазы, фужеры и пр. Добавление к стеклу соединений кобальта придает им синюю окраску, Cr_2O_3 — изумрудно-зеленую, соединений марганца — фиолетовую окраску и т.д. Существенно изменяются свойства стекол, содержащих B_2O_3 .

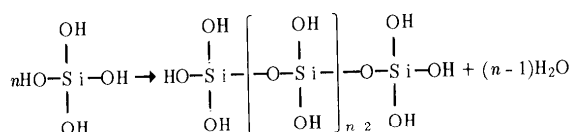
Стекло химически очень стойко, но хрупко, что препятствует широкому применению его для изготовления труб и аппаратуры химических производств. Прочность стекол повышают, придавая им мелкокристаллическую структуру. В результате управляемой кристаллизации расплавленных стекол удается получить очень мелкокристаллические однородные материалы — ситаллы (стеклокристаллы), прочность которых иногда более чем в 5 раз превышает прочность исходных стекол и приближается к прочности чугуна. Стекловолокно используют для изготовления световодов.

Поскольку SiO_2 с водой практически не взаимодействует, кремниевые кислоты могут быть получены только косвенным путем: действием на растворы оксисиликатов или гидролизом некоторых соединений Si (IV) (галогенидов, сульфида, эфиров ортокремниевой кислоты и др.).

При гидролизе, например, SiS_2 вначале получается ортокремниевая кислота H_4SiO_4 ($K_{\text{a}1} = 2 \cdot 10^{-10}$, $K_{\text{a}2} = 2 \cdot 10^{-12}$):



Она растворима в воде, но при стоянии более или менее быстро полимеризуется:

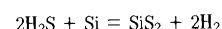


Подобным же образом могут взаимодействовать строительные группы OH, образуя разветвленные и трехмерные макромолекулы.

Переход ортокремниевой кислоты в поликислоты сопровождается превращением молекулярного раствора H_4SiO_4 в коллоидные растворы — золы. Зольность либо застудневает целиком, т.е. превращается в гель, либо выпадает в виде объемистого осадка, включающего большое количество воды. Состав получаемых кремниевых кислот сильно зависит от исходных веществ и условий проведения реакций.

Нагревая осадки поликремниевых кислот, постепенно их обезвоживая, можно получить тонкодисперсный SiO_2 — силикатель, который применяется в качестве адсорбента.

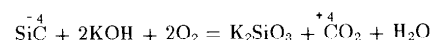
Дициклодиоксида кремния SiS_2 получают сплавлением аморфного кремния с серой в отсутствии воздуха или по реакции (при 1300 °C)



Возгоненный в вакууме дисульфид кремния выделяется в виде белых шелковистых игл (т. пл. 1090 °C, т. кип. 1130 °C). Как показывает рентгеноструктурный анализ, иглы эти слагаются из полимерных цепей, в которых тетраэдры SiS_4 объединены ребрами.

SiS_2 значительно активнее SiO_2 . В частности, SiS_2 разлагается водой, с основными сульфидами при сплавлении образует сульфидосиликаты (тиосиликаты).

Карбид кремния SiC (карборунд), подобно углероду и кремнию, существует в виде кубической (алмазоподобной) и гексагональной модификаций. В чистом виде алмазоподобный SiC — диэлектрик, но с примесями становится полупроводником ($\Delta E = 1,5 - 3,5$ эВ) с n - или p -проводимостью. Он тугоплавок (т. пл. 2830 °C), по твердости близок к алмазу, химически весьма стоек. Разрушается лишь при нагревании в смеси $\text{HF} + \text{HNO}_3$ и при сплавлении со щелочами в присутствии окислителя, например:

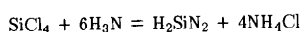


Карбид кремния получают в дуговых электропечах (при 2000—2200 °C) из смеси кварцевого песка и кокса, SiC широко применяется как абразивный и огнеупорный материал, его кристаллы используются в радиотехнике.

Большой химической стойкостью и жаропрочностью обладает также и тирид кремния Si_3N_4 . Это твердый тугоплавкий белый порошок (т. возг. ~ 1900 °C). Он очень устойчив к химическим воздействиям HF , растворов щелочей, металлов.

Кристаллы Si_3N_4 бесцветны, проявляют полупроводниковые свойства ($\Delta E = 3,9$ эВ). Нитрид кремния используют в качестве химически стойкого и огнеупорного материала, в создании коррозионно-стойких и тугоплавких сплавов, в качестве высокотемпературного полупроводника.

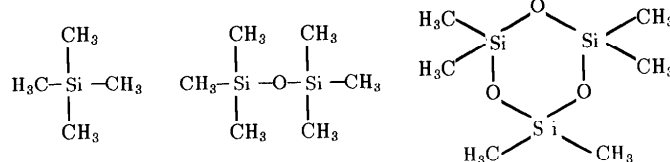
Нитридосиликат водорода H_2SiN_2 в отличие от H_2CN_2 (цианалида) — полимерное соединение. Его получают аммонолизом SiCl_4 :



В структурном отношении это соединение можно рассматривать как SiO_2 , в котором роль ионов O^{2-} играет группа NH_2^- .

Оксогалогениды (SiOHal_2), **нитридогалогениды** (SiNHal) кремния также полимерны.

Кроме неорганических соединений кремния большое значение имеют кремнийорганические соединения, простейшими из которых являются



В зависимости от характера цепи и природы обрамляющих радикалов среди кремнийорганических соединений встречаются смолы, каучуки, масла и др. Общее свойство полимерных кремнийорганических соединений — относительно высокая теплостойкость (до 600 °C).

Кремнийорганические соединения — представители более широкого класса так называемых **элементоганических соединений**. Полимерные элементоганические соединения сочетают термическую стойкость, присущую неорганическим материалам, с рядом свойств полимерных органических веществ.

Разработаны методы синтеза полимерных фосфор-, мышьяк-, сурьма-, титан-, олово-, свинецорганических, бор-, алюминий- и других элементоганических соединений. Большинство этих соединений в природе не встречается. Усиленно исследуются теплостойкие полимеры, в основе которых лежат цепи:

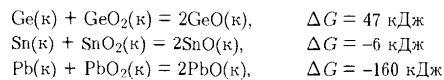
$\text{Si}-\text{O}-\text{Si}$	$\text{Si}-\text{O}-\text{P}$	$\text{P}-\text{N}-\text{P}$
$\text{Si}-\text{O}-\text{Sn}$	$\text{Al}-\text{O}-\text{Al}$	$\text{B}-\text{N}-\text{B}$
$\text{Si}-\text{O}-\text{Ti}$	$\text{Ti}-\text{O}-\text{Ti}$	$\text{Si}-\text{N}-\text{P}$
$\text{Si}-\text{O}-\text{B}$	$\text{P}-\text{O}-\text{P}$	$\text{Al}-\text{P}-\text{Al}$
$\text{Si}-\text{O}-\text{Bi}$	$\text{Al}-\text{O}-\text{P}$	$\text{Sn}-\text{S}-\text{Sn}$
$\text{Si}-\text{O}-\text{Al}$	$\text{Si}-\text{N}-\text{Si}$	$\text{B}-\text{P}-\text{B}$

§ 3. ПОДГРУППА ГЕРМАНИЯ

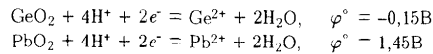
Германий Ge, олово Sn и свинец Pb — полные электронные аналоги. Как и у типических элементов группы, валентными у них являются 3^2p^2 -электроны. В ряду Ge—Sn—Pb уменьшается роль внешней s -электронной пары в образовании химических связей (участвуют уже не четыре, а только два электрона). Так, если для германия (подобно углероду и кремнию) наиболее характерна степень окисления +4, то для свинца +2; в соединениях олова различие в степенях окисления проявляется менее резко, хотя производные олова (IV) более устойчивы.

Изменение характерных степеней окисления в ряду C—Si—Ge—Sn—Pb можно объяснить вторичной периодичностью в различии энергии p_{s-} и p_{p-} -орбиталей (см. табл. 29).

Рост устойчивости соединений со степенью окисления +2 в ряду $\text{Ge} < \text{Sn} \ll \text{Pb}$ и ее уменьшение для соединений Э(IV) в обратной последовательности хорошо иллюстрируют значения величины ΔG для процессов диспропорционирования ЭО:



Первый процесс должен протекать справа налево, т.е. GeO_2 устойчивее, чем GeO . Наоборот, третья реакция должна протекать слева направо: для Ge более характерна степень окисления +4, а для Pb — степень окисления +2. Об этом же свидетельствует сопоставление значений стандартных электродных потенциалов соответствующих процессов:



Германий рассеянный элемент; образование рудных скоплений для него не характерно. Он в основном сопутствует природным силикатам и сульфидам, содержится в некоторых углях. Основной минерал олова — **касситерит** SnO_2 (оловянный камень), свинца — **галенит** PbS (свинцовый блеск). Свинец как конечный продукт радиоактивного распада U и Th содержится в урановых и ториевых минералах.

Германий был открыт в 1886 г. К.А. Винклером после того, как его существование предсказал Д.И. Менделеев.

Простые вещества. Некоторые константы простых веществ приведены ниже:

	C(алмаз)	Si	Ge	β -Sn	Pb
Пл., г/см ³	3,52	2,33	5,32	7,29	11,34
Т. пл., °С	> 3500	1415	937	232	327
Т. кип., °С	—	3700	2830	2620	1745
Электрическая проводимость (Hg = 1)	—	—	0,001	8	5
ΔE , эВ	5,6	1,12	0,78	(металлы)	
$d_{\text{ЭЭ}}$, нм	0,154	0,234	0,244	0,316	0,350
$\Delta H_{\text{возд}}^{298}$, кДж/моль	716	469	383	301	196
S_{298}° , Дж/(К·моль)	2,36	18,8	31,3	51,6	64,8
Твердость (по алмазу)	10	7	6	1,8	1,5

В ряду Ge—Sn—Pb отчетливо усиливаются металлические свойства простых веществ. Германий — серебристо-серое вещество с металлическим блеском, внешне похож на металл, но имеет алмазоподобную решетку. Олово полиморфно. В обычных условиях оно существует в виде β -модификации (белое олово), устойчивой выше 14°C ; это серебристо-белый металл, кристаллическая решетка его тетрагональной структуры с октаэдрической координацией атомов. При охлаждении белое олово переходит в α -модификацию (серое олово) со структурой типа алмаза. Переход $\beta \rightarrow \alpha$ сопровождается увеличением удельного объема (на 25%), в связи с чем олово рассыпается в порошок. Свинец — темно-серый металл с типичной для металлов структурой гранецентрированного куба.

Различия в структуре простых веществ сказываются также на их взаимной растворимости. Германий и кремний неограниченно растворяются друг в друге в жидком и твердом состояниях: Ge, Sn и Pb образуют друг с другом твердые растворы в очень ограниченных пределах: с германием и между собой олово и свинец образуют эвтектику. Так, температура плавления сплава состава 73,9% Sn и 26,1% Pb равна 181 °C.

Образование металлических твердых растворов для германия и его аналогов не характерно, но весьма типичны эвтектические смеси (Sn—Bi, Sn—Cd).

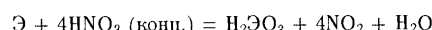
Pb—Sn, Pb—Sb, Pb—Bi и др.). Эвтектические сплавы олова и свинца находят широкое применение.

Из сплавов олова и свинца важнейшими являются типографские (84—62% Pb, 4—8% Sn, 10—25% Sb, 2—4% As), подшипниковые (80—60% Pb или Sn с добавками Sb и Cu), легкоплавкие припои (80—60% Pb, 17—40% Sn, до 2,5% Sb или 90—50% Sn, остальное Pb).

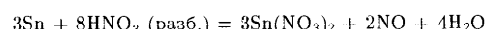
Усиление металлических признаков у простых веществ в ряду Ge—Sn—Pb отчетливо наблюдается и в характере изменения их химических свойств. В обычных условиях Ge и Sn устойчивы по отношению к воздуху и воде. Свинец на воздухе окисляется — покрывается синеватой серой оксидной пленкой, поэтому не имеет металлического блеска. При нагревании Ge, Sn и Pb взаимодействуют с большинством неметаллов. При этом образуются соединения Ge(IV), Sn(IV) и Pb(II), например GeO_2 , SnO_2 и PbO ; GeCl_4 , SnCl_4 и PbCl_2 .

В электрохимическом ряду напряжений Ge расположено после водорода, а Sn и Pb находятся непосредственно перед водородом. Поэтому германий с разбавленными кислотами типа HCl и H_2SO_4 не взаимодействует. Вследствие образования на поверхности нерастворимых солей $PbCl_2$ и $PbSO_4$ свинец устойчив по отношению к разбавленным HCl и H_2SO_4 .

Различия в химической природе простых веществ особо отчетливо проявляются в их отношении к азотной кислоте. При окислении азотной кислотой Ge переходит в германиевую кислоту H_2GeO_3 ($GeO_2 \cdot nH_2O$), а Sn в оловянную кислоту H_2SnO_3 ($SnO_2 \cdot nH_2O$):

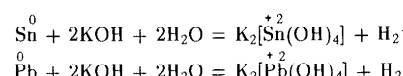


В разбавленной HNO_3 олово ведет себя как металл, т.е. переходит в нитрат олова (II):

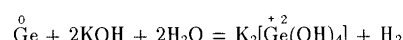


Свинец по отношению к HNO_3 любых концентраций выступает как металл и образует с ней $\text{Pb}(\text{NO}_3)_2$.

При нагревании олово и свинец взаимодействуют с водными растворами щелочей:



Германий же растворяется в щелочах лишь в присутствии окислителей, например H_2O_2 :



Германий получают из побочных продуктов переработки руд цветных металлов, а также выделяют из золы, полученной от сжигания некоторых видов угля, из отходов коксохимического производства. Соединение Ge переводят в GeO_2 , который затем восстанавливают водородом. Дополнительно очищают германий зонной плавкой. Основная масса германия расходуется в полупроводниковой технике.

Олово получают восстановлением кассiterита углем. Большое значение имеет регенерация (обратное получение) олова за счет растворения его покрытий на железе (старые консервные банки), в щелочах и последующего выделения из раствора электролитическим путем. Для получения свинца галенит переводят в PbO , который также восстанавливают углем.

Олово используется главным образом для лужения железа — получения *белой жести*, которая расходуется в основном в консервной промышленности. Оловянная фольга (*станиоль*) применялась для изготовления конденсаторов (сейчас олово вытесняется алюминиевой фольгой). Из свинца делают аккумуляторные пластины, обкладки электрических кабелей, свинец применяется для защиты от радиоактивных и рентгеновских излучений, в качестве коррозионно-стойкого материала используется в химической промышленности. Оба металла применяются для изготовления легкоплавких сплавов.

Соединения германия, олова и свинца (IV). Усиление в ряду простых веществ $\text{Ge}-\text{Sn}-\text{Pb}$ металлических свойств проявляется также в их отношении к металлам. Подобно кремнию, германий и его аналоги образуют с магнием соединения состава $\text{Mg}_2\text{Э}$ (рис. 180). Называются они соответственно *германид*, *станинди* и *плюмбид*. В ряду $\text{Mg}_2\text{Si}-\text{Mg}_2\text{Ge}-\text{Mg}_2\text{Sn}-\text{Mg}_2\text{Pb}$ в соответствии с повышением доли ме-

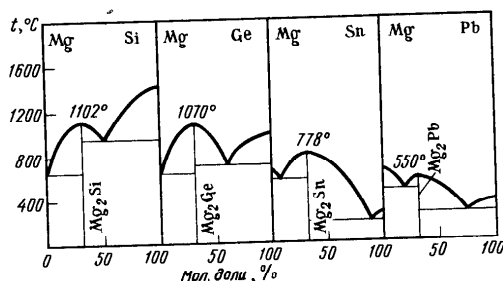


Рис. 180. Диаграмма плавкости систем $\text{Mg}-\text{Si}$, $\text{Mg}-\text{Ge}$, $\text{Mg}-\text{Sn}$, $\text{Mg}-\text{Pb}$.

таллической связи уменьшаются температура плавления, энталпия образования и ширина запрещенной зоны:

	Mg_2Si	Mg_2Ge	Mg_2Sn	Mg_2Pb
Т. пл., °C	1102	1070	778	550
ΔE , эВ	0,77-0,8	0,69-0,74	0,32-0,36	Металл

Таким образом, в этом ряду усиливается склонность к образованию металлических соединений. Наиболее типичны металлические соединения олова и свинца с s-элементами, например Na_2Sn , NaSn , NaSn_2 .

Соединения германия, олова и свинца (IV). В ряду $\text{Ge(IV)}-\text{Sn(IV)}-\text{Pb(IV)}$ устойчивость бинарных соединений в целом уменьшается (см. рис. 132). О том же свидетельствует уменьшение энергии связей ЭХ однотипных соединений.

Для всех трех элементов известны оксиды ЭO_2 , фториды ЭF_4 и хлориды ЭCl_4 (PbCl_4 крайне неустойчив). Бромиды ЭBr_4 и иодиды ЭI_4 , сульфиды ЭS_2 и нитриды $\text{Э}_3\text{N}_4$ известны лишь для Ge (IV) и Sn (IV).

В степени окисления +4 чаще всего координационные числа германия и его аналогов 6 и 4, что отвечает октаэдрической и тетрагидридической структурной единице. По мере увеличения размеров атомов при переходе от С и Si к ряду Ge-Sn-Pb координационное число 4 становится все менее характерным. Напротив, более типичным является координационное число 6.

Так, в отличие от SiO_2 кристаллы GeO_2 , SnO_2 и PbO_2 имеют структуру типа рутила (см. рис. 69, Б). Однако известна также высокотемпературная модификация GeO_2 со структурой типа кварца.

Диоксиды GeO_2 и SnO_2 (оба белого цвета), подобно SiO_2 , тугоплавки (1100–2000 °C). Черно-коричневый PbO_2 при нагревании разлагается. Подобно SiO_2 , диоксид германия легко переходит в стеклообразное состояние. При добавке диоксида германия в кварцевое стекло получаются очень прозрачные, сильно преломляющие свет стекла, что определяет важное значение GeO_2 в производстве оптического стекла. Диоксид олова применяется в керамической промышленности для изготовления эмалей и глазурей.

Диоксиды химически малоактивны, в воде не растворяются. В ряду $\text{GeO}_2-\text{SnO}_2-\text{PbO}_2$ несколько усиливаются основные свойства GeO_2 (подобно SiO_2) — кислотное соединение, растворяется в горячих щелочах; SnO_2 — амфотерен, при продолжительном нагревании с концентрированной H_2SO_4 дает $\text{Sn}(\text{SO}_4)_2$. Диоксиды олова и свинца при сплавлении взаимодействуют со щелочами. При сплавлении ЭO_2 со щелоча-

ми или соответствующими оксидами образуются соединения состава $M_2\overset{+1}{\text{ЭO}_3}$ и $\overset{+2}{\text{M}}\overset{+2}{\text{ЭO}_3}$, $M_4\overset{+1}{\text{ЭO}_4}$ и $\overset{+2}{\text{M}}\overset{+2}{\text{ЭO}_4}$:

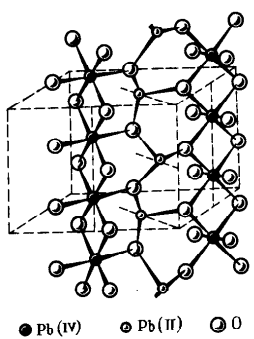
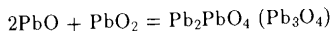
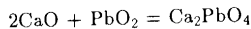
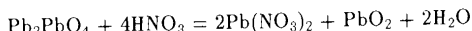


Рис. 181. Структура сурика Pb_3O_4 (Pb_2PbO_4)

В отличие от оксосиликатов структурной единицей оксостанинатов и оксоплюмбатов являются октаэдры ЭO_6 . Так, кристаллы ортоплюмбата Ba_2SnO_4 и ортоплюмбата Ca_2PbO_4 образованы октаэдрами SnO_6 и PbO_6 , объединенными общими четырьмя вершинами в слоистые сетки (типа, показанных на рис. 181). Кристаллы метастанинатов MSnO_3 ($\text{M} = \text{Ca}, \text{Sr}, \text{Ba}, \text{Cd}$) имеют решетку типа первовскита (см. рис. 70). В кристалле Pb_2PbO_4 (рис. 181) имеется цепь октаэдров с общими ребрами. Цепи друг с другом связаны посредством атомов Pb(II). Структурной единицей оксогерманатов могут быть как тетраэдры GeO_4 , так и октаэдры GeO_6 . Поэтому оксогерманаты разнообразнее, чем оксосиликаты.

Из оксогерманатов, оксостанинатов и оксоплюмбатов в воде растворимы лишь производные щелочных металлов. При этом они сильно гидролизуются.

В качестве ортоплюмбата (IV) свинца (II) Pb_2PbO_4 можно рассматривать Pb_3O_4 так называемый *свинцовий сурик* (см. рис. 181). В разном валентном состоянии атомов Pb в Pb_3O_4 можно легко убедиться: при действии разбавленной HNO_3 протекает обменная реакция и образуются производные Pb(II) и Pb(IV):



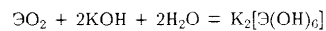
Сурик (оранжево-красного цвета) применяется в производстве красок, предохраняющих металлы от коррозии, для приготовления высокотемпературных замазок, в качестве окислителя и др.

Германиевые, оловянные и свинцовые кислоты (как и кремниевые) в индивидуальном состоянии выделить весьма трудно. При их получении обычно образуются коллоидные растворы кислот различного состава, превращающиеся в белые студенистые осадки с переменным и неопределенным составом: $\text{ЭO}_2 \cdot n\text{H}_2\text{O}$.

При действии водных растворов аммиака на растворы SnCl_4 вначале получается гексагидроксооловянная кислота:

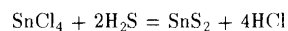


При стоянии она более или менее быстро полимеризуется вплоть до выпадения $\text{SnO}_2 \cdot n\text{H}_2\text{O}$. Свежеполученные оловянные и свинцовые кислоты растворяются в кислотах и щелочах. В последнем случае образуются гидроксосоединения типа $\overset{+1}{\text{M}}_2[\text{Э}(\text{OH})_6]$:

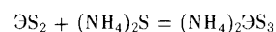


Изменение структуры и состава оловянных кислот сопровождается изменением их химической активности. Так, свежеполученный осадок (α -оловянная кислота) легко растворяется в щелочах и даже кислотах. После стояния осадок (β -оловянная кислота) по химической активности напоминает SnO_2 . Он взаимодействует только со щелочами, и то лишь при сплавлении. Таким образом, β -оловянная кислота – неактивная форма оловянных кислот. Она образуется, кроме того, при окислении олова в концентрированной HNO_3 . Различие в химической активности так называемых α - и β -оловянных кислот обусловлено различием в их строении: уменьшением при переходе от α - к β -формам числа активных OH-групп и образованием устойчивых связей $\text{Sn}-\text{O}-\text{Sn}$.

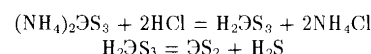
Дисульфиды GeS_2 (белый) и SnS_2 (желтый) в воде и разбавленных кислотах не растворяются. Они образуются действием H_2S на подкисленные растворы производных Э (IV), например:



Будучи кислотными, ES_2 взаимодействуют со щелочами и основными сульфидами:



Отвечающие сульфидогерманатам (IV) и сульфидостанинатам (IV) кислоты при попытке получения разлагаются:



Дисульфид олова SnS_2 в виде желтых чешуек применяется для мозаичных работ, "позолоты" дерева и др.

Молекулы тетрагидогалогенидов ЭHal₄ имеют форму тетраэдра с атомом Э в центре. По мере увеличения размеров орбиталей в ряду GeHal₄–SnHal₄–PbHal₄ устойчивость молекул заметно падает. Тетрабромид и тетраиодид свинца не известны.

В твердом состоянии тетрагалогениды, за исключением SnF_4 и PbF_4 (рис. 182), имеют молекулярную решетку. Поэтому они легко плавки и летучи. В обычных условиях GeF_4 — газ, а Cl_4 — жидкости, а EI_4 — кристаллические вещества.

За исключением оранжевого GeI_4 и желтых SnI_4 и PbCl_4 , тетрагалогениды германия и его аналогов бесцветны.

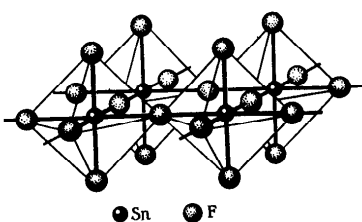


Рис. 182. Структура SnF_4

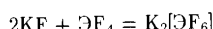
Резкое возрастание температур плавления и кипения при переходе от GeF_4 (т. пл. -15°C) к SnF_4 (т. возг. 700°C) и PbF_4 (т. пл. $\sim 600^\circ\text{C}$) является следствием перехода от молекулярной решетки к полимерной. Кристаллы SnF_4 и PbF_4 имеют слоистую решетку, состоящую из октаэдрических структурных единиц (см. рис. 182). Таким образом, в PbF_4 достигается устойчивое координационное число атома Pb — 6, и это соединение в отличие от других галогенидов свинца (IV) устойчиво.

Вследствие координационной ненасыщенности молекул тетрагалогениды молекулярной структуры химически активны. Подобно другим ковалентным соединениям этого типа (см. гидролиз SiCl_4), их гидролиз протекает последовательно через стадии присоединения воды и отщепления молекул галогеноводородов, вплоть до образования гидроксидов



которые за счет полимеризации переходят в гидратированные оксиды, например $\text{SnO}_2 \cdot n\text{H}_2\text{O}$.

Тетрагалогениды взаимодействуют также с основными галогенидами:



Для Ge(IV), как и для Si(IV), характерны фторокомплексы GeF_6^{2-} . Но получен и малостойкий $\text{Cs}_2[\text{GeCl}_6]$. Для Sn(IV) и Pb(IV) известны комплексные галогениды всех типов от $\text{M}_2[\text{EF}_6]$ до $\text{M}_2[\text{EI}_6]$. Это свидетельствует о стабилизации у свинца степени окисления +4 в анионных комплексах с координационным числом 6. Галогенидные комплексы германия и олова устойчивы

как в растворе, так и в кристаллических соединениях. Аналогичные соединения свинца легко гидролизуются.

Из тетрагалогенидов наибольшее значение имеет SnCl_4 — в обычных условиях жидкость, вследствие гидролиза дымящая на воздухе. Получают SnCl_4 действием сухого хлора на жидкое олово. В частности, на этой реакции основан один из методов регенерации оловянных покрытий на железе (консервных банок). SnCl_4 и $(\text{NH}_4)_2\text{SnCl}_6$ в основном используют при крашении в качестве проправы, применяют для получения других соединений олова.

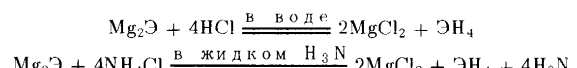
Тетрахлорид олова хорошо растворяется в малополярных растворителях, а сам растворяется иод, серу, фосфор и др.

Гидриды элементов подгруппы германия немногочисленны и малоустойчивы. Это связано с дальнейшим уменьшением в ряду Ge—Sn—Pb прочности связи Э—Э и Э—Н по сравнению с Si—Si и Si—Н. Ниже приведены константы гидридов ЭН₄:

	CH_4	SiH_4	GeH_4	SnH_4	PbH_4
Т. пл., $^\circ\text{C}$	-182,5	-185	-165,8	-150	-
Т. кип., $^\circ\text{C}$	-161,5	-111,9	-88,5	-52	-
Т. разл., $^\circ\text{C}$	800	450	285	150	0
$E_{\text{ОН}}$ кДж/моль	414	320	291	258	205
$d_{\text{ОН}}$ нм	0,109	0,148	0,153	0,170	-
$\Delta H_f^{\circ}, 298$	-75	35	91	162	250

Как показывают приведенные данные, в ряду *салан* SiH_4 — *герман* GeH_4 — *станинан* SnH_4 — *плюмбан* PbH_4 устойчивость понижается. Последний настолько неустойчив, что о его существовании можно заключить лишь по косвенным признакам. При пропускании через нагретую докрасна стеклянную трубку герман и станинан разлагаются, осаждаясь в виде металлического зеркала.

Гидриды Э(IV) выделяются при действии разбавленных кислот на некоторые германиды и станиниды:



При действии кислот на Mg_2Ge кроме GeH_4 одновременно получаются *дигерман* Ge_2H_6 (т. пл. -109°C , т. кип. 31°C) и *тригерман* Ge_3H_8 (т. пл. -106°C , т. кип. -52°C). Известны также более сложные германы, а также *дистанинан* Sn_2H_6 .

Соединения германия (II), олова (II) и свинца (II). Координационные числа элементов подгруппы германия в степени окисления +2 более разнообразны, чем в степени окисления +4, и равны 3, 4, 5 и 6. У атомов Э(II) имеется несвязывающая электронная пара, поэтому координационным числам 3, 4, 5, 6 отвечают тригональная пирамида (тип AB_3E , см. рис. 51, б), искаженный тетраэдр (тип AB_4E , см. рис. 51, д), тетрагональная пирамида (тип AB_5E , см. рис. 51, е) и искаженный октаэдр (тип AB_6E).

Степень окисления +2 наиболее характерна для свинца и проявляется в его разнообразных соединениях, а для германия (II) известны лишь немногочисленные бинарные соединения.

Большинство производных Pb(II) — кристаллические вещества. За исключением нитрата $\text{Pb}(\text{NO}_3)_2$ и ацетата $\text{Pb}(\text{CH}_3\text{COO})_2$, в воде они мало растворимы (PbHal_2) или почти нерастворимы (PbSO_4 , PbCrO_4 , PbCl_2). Этим, в частности, объясняется устойчивость свинца в действии большинства кислот.

Соединения Э(II) обычно бесцветны. Имеют окраску оксиды (GeO и SnO — черного, PbO — красного или желтого цвета), сульфиды (GeS и SnS — бурого, PbS — черного цвета), иодиды (SnI_2 — красного, PbI_2 — желтого цвета) и некоторые другие.

Структура кристаллов соединений Э(II) весьма сложная. Так, SnO и красный PbO имеют слоистую решетку (рис. 183), образованную тетрагональными пирамидами (зонтиками) ЭО₄ с локализованной электронной парой при атоме Э:

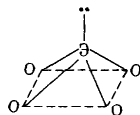
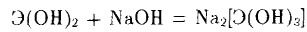
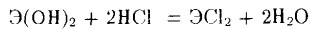


Рис. 183. Структура PbO

Оксиды ЭО и гидроксиды Э(OH)₂ амфотерны. Они взаимодействуют как с кислотами, так и со щелочами:

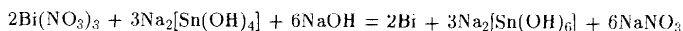


У производных Pb(II) преобладают основные, а у Ge(II) — кислотные свойства.

По устойчивости гидроксостаннаты(II) и гидроксоплюмбаты(II) уступают аналогичным производным Э(IV). В растворах они существуют лишь при избытке щелочи, в противном случае распадаются. В кристаллическом состоянии выделены соли, отвечающие формулам $\text{Na}[\text{Sn}(\text{OH})_3]$, $\text{Na}[\text{Pb}(\text{OH})_3]$.

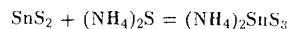
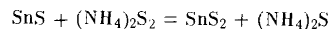
Тенденция к комплексообразованию у дигалогенидов ЭHal₂ проявляется в меньшей степени, чем у ЭHal₄. С основными галогенидами дигалогениды дают комплексы типа $\text{M}^{+1}[\text{ЭHal}_3]$. Образованием комплексных галогенидов объясняется растворимость галогенидов Pb(II) в присутствии галогеноводородных кислот. В разбавленных растворах комплексные галогениды распадаются.

Производные Ge(II) и Sn(II) — сильные восстановители. Так, GeCl_2 реагирует с Cl_2 почти мгновенно, SnCl_2 при комнатной температуре — быстро, а PbCl_2 в обычных условиях с хлором не взаимодействует вообще. Производные Ge(II) и Sn(II) восстанавливают некоторые металлы из соединений, например:



Они переводят Fe^{3+} в Fe^{2+} , CrO_4^{2-} в Cr^{3+} и т.д.

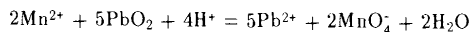
В отличие от PbS , GeS и SnS окисляются полисульфидами аммония до ЭS_2 , которые затем с $(\text{NH}_4)_2\text{S}$ образуют растворимые в воде соединения $(\text{NH}_4)_2\text{ЭS}_3$:



На этом основано отделение SnS и PbS друг от друга.

Восстановительные свойства производных Sn(II) используются в химическом синтезе и анализе.

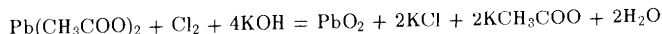
Соединения Pb(IV), наоборот, — сильные окислители, в особенности в кислой среде. Они, например, даже окисляют Mn^{+2} до MnO_4^{-} :



PbO_2 и Pb_3O_4 используются в качестве окислителей в спичечной промышленности.

Перевод Pb(II) в Pb(IV) возможен лишь при электролитическом

окислении или действием наиболее сильных окислителей (Cl_2 , белильная известь и др.) при нагревании в щелочной среде. Например:



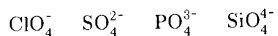
Из соединений свинца (II) PbO применяется в производстве оптического стекла, хрусталия, глазурей и олиф; PbCrO_4 (оранжево-красного цвета) входит в состав минеральных красок; $2\text{PbCO}_3 \cdot \text{Pb}(\text{OH})_2$ используется для изготовления свинцовых белил. Малорастворимый SnF_2 применяется как фторсодержащая добавка к зубным пастам. В последнее время большое теоретическое и практическое значение приобретают олово- и свинецорганические соединения.

§ 4. ОБЗОР ОКСОСОЕДИНЕЙ p -ЭЛЕМЕНТОВ IV, V, VI и VII ГРУПП

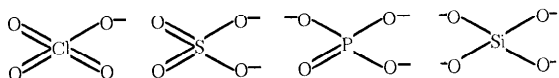
Рассмотрение химии p -элементов VII—IV групп показывает, что в ряду Э(VII)—Э(VI)—Э(V)—Э(IV) число оксосоединений и их устойчивость резко возрастают. Для объяснения этого фактора обсудим оксосоединения ряда $\text{Cl}(\text{VII})-\text{S}(\text{VI})-\text{P}(\text{V})-\text{Si}(\text{IV})$. Как известно, для этих элементов в высшей степени окисления характерно координационное число 4, что отвечает тетраэдрической структурной единице:



(точками указаны непарные электроны). В свободном состоянии эти радикалы неустойчивы — за счет присоединения электронов они превращаются в тетраэдрические ионы:

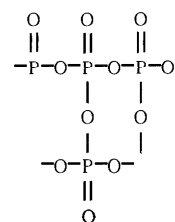


или образуют соединения за счет одной, двух, трех и четырех связей соответственно



Таким образом (см. табл. 13), для хлора (VII) возможен только один способ объединения оксохлоратных тетраэдров, а именно — в димер с образованием молекулы Cl_2O_7 . Сера (VI) образует как димер $\text{S}_2\text{O}_7^{2-}$, так и открытые $(\text{SO}_3)_n$ и замкнутые $(\text{SO}_3)_3$ цепочки. При этом каждый оккосульфатный тетраэдр объединяется с соседними за счет двух своих вершин — двух мостиковых атомов кислорода. В соединении

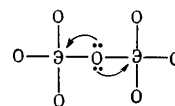
ниях фосфора (V) проявляется еще один способ объединения оксофосфатных тетраэдров — при участии трех мостиковых атомов кислорода с образованием разветвленных цепей



и слоистой модификации $(\text{P}_2\text{O}_5)_{2\infty}$. И наконец, для кремния (IV) наряду с рассмотренными выше типами мостиковых структур возможно образование трехмерного полимера $(\text{SiO}_2)_{3\infty}$, в котором роль мостиковых атомов от каждого окссиликатного тетраэдра играют четыре атома кислорода.

Увеличение числа способов объединения тетраэдрических структурных единиц друг с другом определяет резкое возрастание числа оксосоединений в ряду $\text{Cl}(\text{VII})-\text{S}(\text{VI})-\text{P}(\text{V})-\text{Si}(\text{IV})$ (табл. 13).

Увеличение устойчивости гетероцепи типа Э—О—Э в ряду $\text{Cl}-\text{S}-\text{P}-\text{Si}$ объясняют наложением π -связи, возникающей при участии свободных $3d$ -орбиталей атома Э, и неподеленных $2p$ -электронных пар мостикового атома кислорода:



С образованием дополнительной связи в цепи Э—О—Э выпрямляется валентный угол ЭОЭ. Очевидно, чем эффективнее π -связь, тем больше должен быть ЭОЭ:

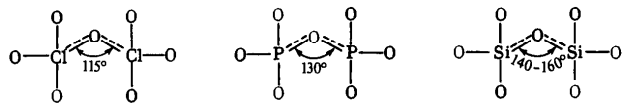
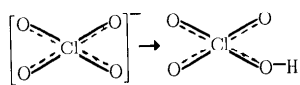


Таблица 35. Длина связи в тетраэдрических оксоионах

Связь	Длина связи, нм		Сокращение длины связи, нм	Связь	Длина связи, нм		Сокращение длины связи, нм
	Э—O	Э—O		Э—O	Э—O	Э—O	
SiO	0,176	0,163	0,013	SO	0,169	0,149	0,020
PO	0,171	0,154	0,017	ClO	0,168	0,145	0,023

Как известно, в ряду SiO_4^{4-} — PO_4^{3-} — SO_4^{2-} — ClO_4^- устойчивость понижается. В рамках представления о гибридизации это можно объяснить уменьшением устойчивости sp^3 -гибридного состояния центрального атома вследствие увеличения энергетического различия $3s$ - и $3p$ -уровней (см. табл. 29). Для стабилизации sp^3 -гибридного состояния центрального атома в указанном ряду все большую роль играет π -связывание. Подобное представление используют для объяснения сокращения в ряду SiO_4^{4-} — PO_4^{3-} — SO_4^{2-} — ClO_4^- длины связи $d_{\text{ЭO}}$ по сравнению с одинарной (табл. 35).

Таким образом, если устойчивость иона SiO_4^{4-} в основном определяют σ -связи, то устойчивость иона ClO_4^- в существенной степени зависит и от π -связей. Так, в ионном KClO_4 и ковалентном HClO_4 число σ - и π -связей в хлорокислородном тетраэдре одинаково. Но в HClO_4 вследствие наличия связи O—H доля участия электронов в π -связывании меньше:

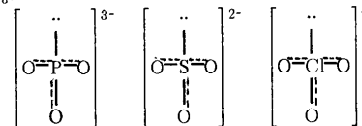


Ото существенно изменяется устойчивость соединений: KClO_4 начинает разлагаться лишь при 400°C , а HClO_4 разлагается со взрывом при небольшом нагревании. Напротив, поскольку в ионе SiO_4^{4-} каркас из sp^3 -связей достаточно стабилен, разрыв π -связей на его устойчивости существенно не сказывается. Поэтому все четыре атома кислорода иона SiO_4^{4-} могут образовать вторые σ -связи.

В соответствии с уменьшением чувствительности иона ЭO_4^{n-} к разрыву π -связей и образованию σ -связи O—H в ряду HClO_4 — H_2SO_4 — H_3PO_4 — H_4SiO_4 устойчивость возрастает, а окислительная ак-

тивность падает. Иными словами, уменьшается контрполаризующее действие протонов.

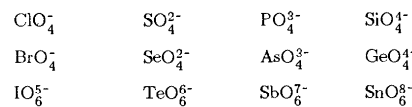
Уменьшение склонности к sp^3 -гибридизации при переходе от Si к Cl объясняет также увеличение устойчивости анионов в ряду PO_3^{3-} — SO_3^{2-} — ClO_3^- :



Будучи ярко выраженным донором неподеленной электронной пары атома фосфора, PO_3^{3-} -ион, присоединяя протон, превращается в тетраэдрический ион PO_3H^{2-} или за счет окисления превращается в ион PO_3^{2-} . Ион SO_3^{2-} существует, но довольно легко окисляется до SO_4^{2-} и дает SO_3H^+ . Что же касается иона ClO_3^- , то, поскольку sp^3 -гибридное состояние Cl не характерно, неподеленная электронная пара (s^2) сохраняет шарообразную форму и не проявляет тенденции к донорно-акцепторному взаимодействию. Поэтому ион ClO_3^- вполне устойчив и восстановительных свойств практически не проявляет. Таким образом, в ряду PO_3^{3-} — SO_3^{2-} — ClO_3^- восстановительная активность падает.

Вследствие уменьшения устойчивости sp^3 -гибридного состояния центрального атома понижается также устойчивость тетраэдрических оксоионов p -элементов 4-го периода в ряду GeO_4^{4-} — AsO_4^{3-} — SeO_4^{2-} — BrO_4^- . В этом же ряду заметно возрастает окислительная активность. Эти ионы менее устойчивы, а AsO_4^{3-} , SeO_4^{2-} и BrO_4^- — более сильные окислители, чем соответствующие им анионы p -элементов 3-го периода.

Поскольку для p -элементов 5-го периода наиболее характерно координационное число 6, а не 4, то не наблюдается монотонное изменение свойств в вертикальных рядах

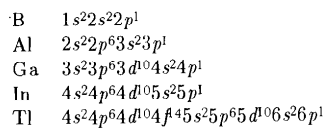


Структура оксоединений I(VII), Tc(VI), Sb(V) и Sn(IV), а следовательно, и их свойств существенно отличаются от таковых однотип-

ных соединений Cl(VII) и Br(VII), S(VI) и Se(VI), P(V) и As(V), Si(IV) и Ge(IV).

ГЛАВА 7. Р-ЭЛЕМЕНТЫ III ГРУППЫ ПЕРИОДИЧЕСКОЙ СИСТЕМЫ ДИ. МЕНДЕЛЕЕВА

К р-элементам III группы относятся типичные элементы — бор и алюминий — и элементы подгруппы галлия — галлий, индий и таллий:



Некоторые константы этих элементов приведены ниже:

	₄ B	₁₃ Al	₃₁ Ga	₄₉ In	₈₁ Tl
Атомная масса	10,81	26,98	69,72	114,82	204,37
Валентные электроны	$2s^2 2p^1$	$3s^2 3p^1$	$4s^2 4p^1$	$5s^2 5p^1$	$6s^2 6p^1$
Атомный радиус, нм					
металлический	0,097	0,143	0,139	0,166	0,171
ковалентный	0,088	0,126	0,127	0,144	0,147
Условный радиус иона					
Z^{3+} , нм	0,020	0,057	0,062	0,092	0,105
Энергия ионизации $\text{Z}^0 \rightarrow \text{Z}^+$, эВ	8,298	5,986	5,998	5,786	6,11
Содержание в земной коре, % (мол. доли)	$6 \cdot 10^{-4}$	6,6	$4 \cdot 10^{-4}$	$1,5 \cdot 10^{-6}$	$3 \cdot 10^{-5}$

Как видно из приведенных данных, с увеличением атомного номера элементов энергия ионизации атомов уменьшается: бор — неметаллический, таллий — металлический элемент.

§ 1. БОР

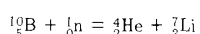
По сравнению с ранее рассмотренными элементами 2-го периода у бора наблюдается дальнейшее ослабление признаков неметаллического элемента. В этом отношении он напоминает кремний (диагональное сходство в периодической системе). Для бора наиболее характерны соединения, в которых его степень окисления равна +3. Отрицатель-

470

ные степени окисления бора проявляются редко; с металлами бор обычно образует нестехиометрические соединения.

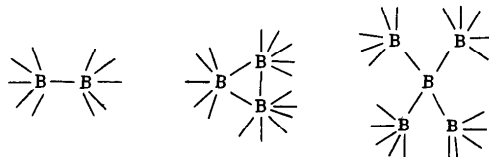
Бор в земной коре находится в виде двух изотопов: ^{10}B (19,57) и ^{11}B (80,43%). Основными его минералами являются бораты: $\text{Na}_2\text{B}_4\text{O}_7 \cdot 10\text{H}_2\text{O}$ — бура, $\text{Na}_2\text{B}_4\text{O}_7 \cdot 4\text{H}_2\text{O}$ — кернит, H_3BO_3 — сассолин.

Относительно высокое содержание бора в земной коре, не отвечающее его малому атомному номеру, объясняется легкостью взаимодействия его ядер с нейтронами:



Эта способность бора поглощать нейтроны определяет важную роль борсодержащих материалов в ядерной энергетике в качестве замедлителей ядерных процессов и в биологической защите.

Простые вещества. Бор имеет более 10 аллотропических модификаций. Атомы бора в них объединены в группировки B_{12} , имеющие форму икосаэдра — двадцатигранника (рис. 184). Расположение икосаэдров B_{12} относительно друг друга в кристалле показано ниже:



Кристаллы бора темно-серого цвета, тугоплавки (т. пл. 2075 °C, т. кип. ~ 3700 °C), диамагнитны, обладают полупроводниковыми свойствами ($\Delta E = 1,5$ эВ).

В обычных условиях бор (подобно кремнию) весьма инертен и непосредственно взаимодействует только с фтором: при нагревании (400–700 °C) окисляется кислородом, серой, хлором и даже азотом (выше 1200 °C). С водородом бор не взаимодействует. При сильном нагревании восстановительная активность бора проявляется и в отношении таких устойчивых оксидов, как SiO_2 , P_2O_5 и др.:

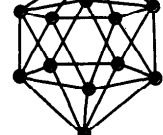
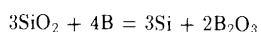
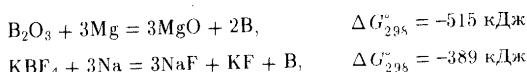


Рис. 184. Икосаэдрическая группировка атомов B_{12}

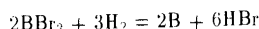
Это объясняется высоким значением энергии Гиббса образования оксида бора B_2O_3 ($\Delta G_{f,298}^{\circ} = -1178 \text{ кДж/моль}$).

На бор действуют лишь горячие концентрированные азотная и серная кислоты, а также царская водка, переводя его в H_3BO_3 . Щелочи при отсутствии окислителей на бор не действуют.

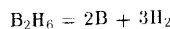
Вследствие высокой энергии Гиббса образования большинства соединений бора его получают в свободном состоянии обычно методом металлотермии (чаще всего восстановлением магнием или натрием):



При этом выделяется аморфный бор, который перекристаллизацией в расплавленных металлах можно перевести в кристаллическое состояние. Однако этот метод дает продукт, загрязненный примесями. Более чистый бор (99,5%) получается электролизом расплавленных фторобромидов бора на раскаленной tantalовой проволоке в присутствии водорода:



или разложением (крекингом) его водородных соединений:



Металлические соединения бора. С металлами бор образует бориды среднего состава: M_4B , M_2B , MB , M_3B_4 , MB_2 , MB_6 , MB_{12} .

В зависимости от условий один и тот же элемент образует бориды разного состава, например: Nb_2B , Nb_3B_2 , NbB , Nb_5B_4 , Nb_2B_3 ; Cr_4B , Cr_2B , CrB , Cr_3B_4 , CrB_2 . По мере увеличения содержания бора структура боридов существенно усложняется. В боридах типа M_4B и M_2B атомы бора изолированы друг от друга. В боридах типа M_3B_2 атомы бора связаны попарно, в MB — в цепи, в M_3B_4 — в сдвоенные цепи, в MB_2 — в сетки из шестичленных колец и, наконец, в боридах состава MB_6 и MB_{12} — в трехмерные каркасы соответственно в виде октаэдрических и икосаэдрических группировок атомов.

Большинство боридов d - и f -элементов очень тверды, жаростойки (2000—3000 °C) и химически устойчивы. Бориды s -элементов химично-

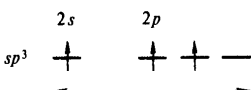
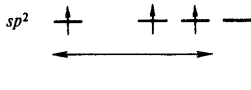
ски активны, в частности, разлагаются под действием кислот, образуя смеси бороводородов.

Жаропрочные и жаростойкие бориды d -элементов (Cr, Zr, Ti, Nb, Ta) и их сплавы применяют для изготовления деталей реактивных двигателей, лопаток газовых турбин и пр. Некоторые бориды используют как катализаторы, в качестве материалов для катодов электронных приборов и т.д.

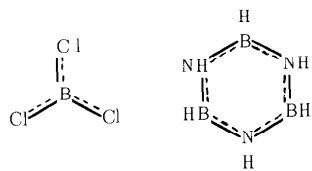
Соединения бора (III). Степень окисления +3 у бора проявляется в соединениях с более электроотрицательными, чем он сам, элементами, т.е. в галогенидах, оксиде, сульфиде, нитриде, гидридах и в соответствующих анионных борат-комплексах, простейшие из которых приведены ниже:

BF_3	B_2O_3	BH_3	BN	B_2S_3
BF_4^-	BO_2^-	BH_4^-	—	BS_2^-
$[BF_3OH]^-$	$[B(OH)_4]^-$	$[BF_3H]^-$	—	—

В зависимости от числа σ -связей координационное число бора (III) равно 4 или 3, что соответствует sp^3 - или sp^2 -гибридизации его валентных орбиталей:

Характер гибридизации орбиталей атома бора	Пространственное расположение σ -связей	Примеры соединений
sp^3 	Тетраэдрическое 	BF_4^- , BH_4^-
sp^2 	Треугольное 	BCl_3 , BO_3^{2-}

sp^2 -Гибридизация валентных орбиталей бора определяет плоское треугольное строение молекул, комплексов и структурных единиц его соединений. Как и в случае углерода, sp^2 -гибридное состояние стабилизируется за счет нелокализованной π - π -связи. Последняя образуется при участии свободной $2p$ -орбитали атома бора и неподеленной пары электронов связанных с ним атомов:



В результате возникает частичная двоесвязанность, упрочняется связь и уменьшается межъядерное расстояние.

Так, длина связи d_{BO} при треугольном расположении (0,136 нм) на 0,012 нм короче, чем при тетраэдрическом (0,148 нм). Аналогично длина связи d_{BF} в BF_3 (0,129 нм) короче, чем в BF_4^- (0,143 нм).

В соответствии с устойчивыми координационными числами бора (III) из бинарных соединений галогениды $BHal_3$ мономолекулярны, а оксид B_2O_3 , сульфид B_2S_3 , нитрид BN — полимерны. Весьма своеобразна структура гидридов бора.

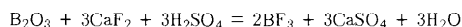
Бинарные соединения бора (III) кислотные. Об этом, в частности, свидетельствует характер их сольволиза (гидролиза) и взаимодействия с однородными соединениями.

Галогениды типа $BHAl_3$ известны для всех галогенов. Могут быть получены из простых веществ при нагревании. Все они бесцветны. Молекулы $BHAl_3$ имеют форму плоского треугольника с атомом азота в центре (sp^2 -гибридные орбитали). В обычных условиях BF_3 — газ, BCl_3 и BBr_3 — жидкости, BI_3 — твердое вещество.

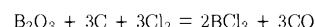
	BF ₃	BCl ₃	Br ₂	Cl ₂
T. пл., °С	-127	-107	-46	+43
T. кип., °С	-101	-12,5	+90	разл.
ΔH_f° , 298° кДж/моль	-1137	-427	-243	-38
ΔG_f° , 298° кДж/моль	-1120	-387	-238	-
$d_{\text{BHal}^{\text{l}}}$ нм	0,129	0,173	0,187	0,210
$E_{\text{BHal}^{\text{l}}}$ кДж/моль	644	443	376	284

В твердом состоянии галогениды имеют молекулярные решетки. В соответствии с увеличением длины связи и уменьшением ее энергии в ряду $\text{BF}_3\text{-BCl}_3\text{-BBr}_3\text{-BI}_3$ устойчивость быстро уменьшается. Об этом свидетельствует также характер изменения их энталпии образования и энергии Гиббса образования.

Наибольшее применение имеют BF_3 и BCl_3 . Трифторид получают нагреванием B_2O_3 с CaF_2 в присутствии концентрированной H_2SO_4 (ср. получение SiF_4):

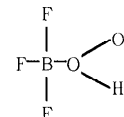


Получение трихлорида бора (как и SiCl_4) основано на хлорировании раскаленной смеси оксида и угля:

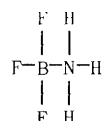


Тригалогениды бора — сильные акцепторы электронной пары; BF_3 , например, присоединяет молекулу воды, аммиака, эфира, спирта и пр.

При взаимодействии с водой BF_3 дает $\text{BF}_3 \cdot \text{H}_2\text{O}$ (т. пл. 10,2 °C, т. разн. 20 °C):



С аммиаком образует твердое вещество $\text{BF}_3 \cdot \text{NH}_3$ (т. пл. 163 °C)



хорошо растворимое в воде без заметного гидролиза. В продуктах присоединения орбитали атома бора находятся в состоянии sp^2 -гибридизации.

Способность к донорно-акцепторному взаимодействию определяет применение трифторида и трихлорида бора в органическом синтезе в качестве катализаторов.

Кислотная природа тригалогенидов бора проявляется, например, при их гидролизе, который протекает необратимо с образованием кислот:



Вследствие этого BCl_3 и BBr_3 во влажном воздухе дымят, взаимодействие B_3I_5 с водой протекает со взрывом. Кислотный характер BCl_3 проявляется при взаимодействии с жидким аммиаком:



Сесквиоксид бора (III) B_2O_3 существует в виде нескольких модификаций. В кристаллах B_2O_3 атомы бора находятся внутри равностороннего треугольника BO_3 либо тетраэдра BO_4 из атомов кислорода. Кристаллический B_2O_3 (плавится при 450°C и кипит при 2250°C) имеет высокие значения энталпии ($\Delta H_f^{\circ} = -1254$ кДж/моль) и энергии Гиббса образования ($\Delta G_f^{\circ} = -1194$ кДж/моль). Он легко переходит в стеклообразное состояние и очень трудно кристаллизируется. Получают оксид B_2O_3 обезвоживанием H_3BO_3 . В отличие от цепи $\text{Si}—\text{O}—\text{Si}$ цепь $\text{B}—\text{O}—\text{B}$ относительно легко разрывается при гидратации; в этом отношении кислородные соединения бора (III) сходны с таковыми фосфора. Как кислотный оксид B_2O_3 энергично взаимодействует с водой с образованием борной кислоты H_3BO_3 .

Сульфид бора B_2S_3 — стеклообразное вещество, водой полностью разлагается.

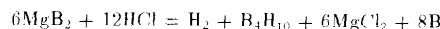
В соответствии с устойчивыми координационными числами боря 3 и 4 нитрид бора BN существует в виде двух модификаций. При взаимодействии простых веществ образуется модификация с гексагональной атомно-слоистой структурой типа графита (см. рис. 172, б). Гексагональные кольца в нитриде бора содержат чередующиеся атомы B и N (на расстоянии 0,145 нм с углами 120°). Это соответствует sp^2 -гибридизации валентных орбиталей атомов бора и азота. (Расстояние между слоями в нитриде бора равно 0,334 нм, т.е. короче, чем в графите, — 0,340 нм). В отличие от графита BN — белого цвета ("белый графит"), полупроводник ($\Delta E = 4,6\text{--}3,6$ эВ), легко расслаивается на чешуйки, оgneупорен (т. пл. ~ 3000 °C). Водой разлагается очень медленно при нагревании. Разложение усиливается при действии разбавленных кислот.

В другой модификации нитрид бора (боразон или эльбор) атомы бора и азота находятся в состоянии sp^3 -гибридизации. Эта модификация имеет кристаллическую решетку типа алмаза (см. рис. 172, а). Она образуется из гексагональной при высоком давлении порядка 6–8 ГПа и нагревании (1800 °C). Превращение гексагонального нитрида бора в боразон аналогично превращению графита в алмаз.

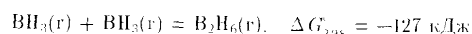
Кристаллы боразона окрашены от желтого до черного цветов или бесцветны. Боразон очень твердый и в этом отношении почти не уступает алмазу (некоторые образцы боразона даже царапают алмаз). К тому же в отличие от последнего он механически более прочен и термически более стоек. Например, при нагревании в вакууме до 2700 °C боразон совершенно не изменяется, при нагревании на воздухе до 2000 °C лишь слегка окисляется его поверхность, тогда как алмаз

сторает уже при 900 °C. Как и алмаз, боразон — диэлектрик. Указанные свойства определяют все возрастающее значение боразона для техники.

Гидриды бора (бораны) по способу получения и по свойствам напоминают силаны. Обычно смесь боранов с водородом получается действием кислот на некоторые химически активные бориды, например:



Простейшее водородное соединение бора BH_3 ($\Delta G_f^{\circ} = 109$ кДж/моль) в обычных условиях не существует. Это объясняется его координационной ненасыщенностью и невозможностью образования делокализованной π -связи, которая стабилизировала бы sp^2 -гибридное состояние атома бора. Координационное насыщение атома бора возникает при сочетании этих молекул-радикалов друг с другом:



Из выделенных в свободном состоянии гидридов бора состава B_nH_{n+4} и B_nH_{n+6} простейшими представителями являются: B_2H_6 , B_4H_{10} — газы, B_5H_9 , B_6H_{10} — жидкости, $\text{B}_{10}\text{H}_{14}$ — твердое вещество:

	B_2H_6	B_4H_{10}	B_5H_9	B_6H_{10}	$\text{B}_{10}\text{H}_{14}$
Т. пл., °C	-166	-120	-47,6	-65	99
Т. кип., °C	-92,5	18	48,6	?	213(?)

Для всех боранов $\Delta G_f^{\circ} \gg 0$, поэтому их получают косвенным путем.

Как нетрудно видеть, бороводороды — соединения с дефицитом электронов. Например, в B_2H_6 общее число валентных электронов равно 12, т.е. их не хватает для образования восьми обычных двух-

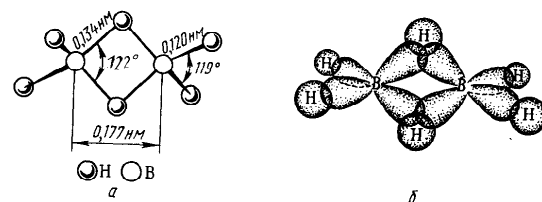


Рис. 185. Строение (a) и схема перекрывания атомных орбиталей (b) в молекуле B_2H_6 .

электронных двухцентровых связей. В диборане B_2H_6 имеют место двух- и трехцентровые связи (рис. 185). Две концевые группы BH_2 лежат в одной плоскости, а атомы водорода и бора связаны двухцентровыми двухэлектронными связями. Два же центральных атома водорода расположены симметрично над этой плоскостью и под нею и объединены с атомами бора трехцентровой двухэлектронной связью.



Рис. 186. Энергетическая схема уровней трехцентровых орбиталей молекулы B_2H_6

Эффективный заряд на мостиковых атомах водорода отрицательный ($-0,22-$), а на атомах бора ($0,22+$) положительный.

В молекулах других боранов помимо двухцентровых (внешних) связей $B-H$ и трехцентровых (мостиковых) связей $B-H-B$ проявляются также связи $B-B$. В результате возникают довольно сложные структуры.

Так, в молекуле тетраборана B_4H_{10} (рис. 187) шесть связей $B-H$, четыре трехцентровые связи $B-H-B$ и одна связь $B-B$.

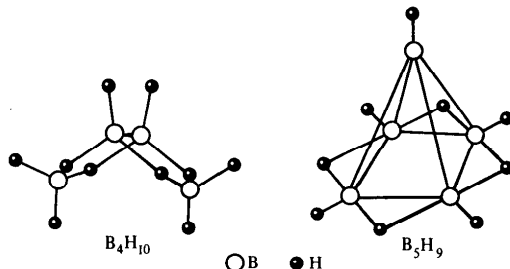
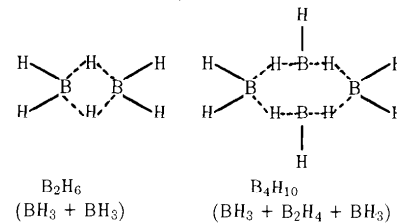


Рис. 187. Структура тетраборана B_4H_{10} и пентаборана B_5H_9

Трехцентровая связь возникает в результате перекрывания двух sp^3 -гибридных орбиталей бора (по одной от каждого атома) и $1s$ -орбитали атома водорода (рис. 185, б). Это соответствует образованию связывающей, несвязывающей и разрыхляющей молекулярных орбиталей (рис. 186). Пара электронов занимает связывающую орбиталь, что обеспечивает устойчивость молекулы B_2H_6 .

В молекуле пентаборана B_5H_9 электроны делокализованы в еще большей степени и образуют пятицентровую связь. В молекуле B_5H_9 (рис. 187) из 24 электронов десять используются на образование пяти двухцентровых связей $B-H$, восемь — на образование четырех трехцентровых связей $B-H-B$, а остальные шесть электронов участвуют в построении пятицентровой связи, охватывающей остат из пяти атомов бора. Вследствие делокализации связи координационное число бора в пентаборане достигает шести.

Структурные формулы простейших боранов приведены ниже (пунктиром обозначены многоцентровые связи):



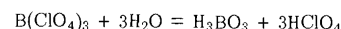
Бороводороды химически весьма активны (относительно менее активен $B_{10}H_{14}$ — декаборан). Так, большинство боранов на воздухе самовспламняются и горят с выделением очень большого количества теплоты (например, для B_2H_6 2025 кДж/моль, тогда как для C_2H_6 1425 кДж/моль). Это позволяет использовать их в качестве ракетного топлива.

Гибиды бора разлагаются водой, спиртами и щелочами с выделением водорода. Наиболее активно гидролизуется диборан:

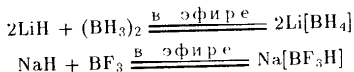


Большинство боранов имеет отвратительный запах и очень ядовиты.

Кроме бинарных соединений получены соединения бора типа $B(ClO_4)_3$, $BCl(ClO_4)_2$, $BCl_2(ClO_4)$. Первые два — легкоплавкие твердые вещества, а последнее жидкость. Все они малоустойчивы. Во влажном воздухе разрушаются, образуя кислоты:



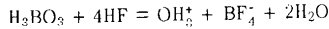
Будучи кислотными, бинарные соединения бора(III) при взаимодействии с основными соединениями образуют анионные комплексы, например:



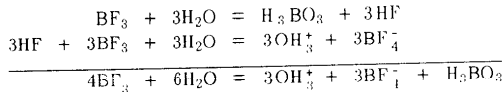
Из анионных комплексов бора(III) — боратов — наиболее просты по составу следующие: фтороборат $[\text{BF}_4]^-$, фторогидроксбораты $[\text{BF}_3\text{OH}]^-$, $[\text{BF}_2(\text{OH})_2]^-$, фторогидридбораты $[\text{BF}_3\text{H}]^-$, $[\text{BF}_2\text{H}_2]^-$ и гидридборат $[\text{BH}_4]^-$. Все эти комплексы соответствуют sp^3 -гибридному состоянию атома бора и имеют тетраэдрическую структуру.

Тетрафторобораты очень разнообразны. Но кристаллической структуре и растворимости они очень близки к соответствующим перхлоратам. Относительно мало растворимы $\text{K}[\text{BF}_4]$, $\text{Rb}[\text{BF}_4]$ и $\text{Cs}[\text{BF}_4]$; соли почти всех остальных металлов хорошо растворимы в воде.

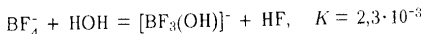
Фтороборат водорода HBF_4 не получен. Его водный раствор — сильная кислота. Получают ее растворением H_3BO_3 в фтороводородной кислоте:



Тетрафтороборная кислота образуется наряду с ортоборной при гидролизе трифтормида бора:

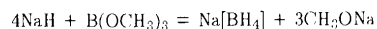


Одновременно в незначительном количестве образуются ионы $[\text{BF}_3\text{OH}]^-$ и $[\text{BF}_2(\text{OH})_2]^-$ как продукты частичного гидролиза BF_4^- :

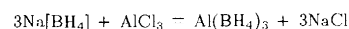


Гидридбораты известны для многих элементов. Тетрагидридбораты щелочных и щелочно-земельных металлов являются преимущественно ионными соединениями, т.е. типичными солями. В твердом состоянии они вполне устойчивы (т. разл. 250–500 °C). В практике чаще всего используется $\text{Na}[\text{BH}_4]$ — бесцветная соль, хорошо растворимая в воде. При обычных температурах гидролизуется очень медленно.

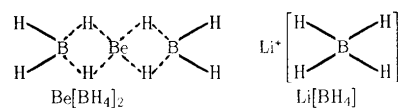
Гидридбораты щелочных металлов можно получить взаимодействием соответствующего гидрида с дибораном в эфирном растворе (см. выше). Для получения $\text{Na}[\text{BH}_4]$ обычно используется реакция между гидридом натрия и метиловым эфиrom ортоборной кислоты:



Тетрагидридбораты других металлов обычно получают обменной реакцией между $\text{Na}[\text{BH}_4]$ и соответствующим галогенидом, например:



В противоположность ионным ковалентные тетрагидридбораты типа $\text{Al}(\text{BH}_4)_3$ (т. пл. –64,5 °C, т. кип. 44,5 °C), $\text{Be}(\text{BH}_4)_2$ (т. возг. 91 °C) летучи, легкоплавки. В этих гидридборатах (поскольку имеется дефицит электронов) связь между внешней и внутренней сферами осуществляется за счет трехштенных связей. Таким образом, эти соединения являются смешанными гидридами. В гидридборатах же щелочных и щелочно-земельных металлов (низкие энергии ионизации) дефицит электронов устраняется за счет перехода электронов атома металла к радикалу BH_4 , т.е. в этом случае связь между внешней и внутренней сферами становится преимущественной ионной:



В отличие от ионных ковалентные гидридбораты (смешанные гидриды) так же реакционноспособны, как и гидриды бора, например взрываются на воздухе.

Гидробораты — сильные восстановители. Они широко используются для проведения различных синтезов, применяются как исходные вещества для получения различных гидридов и в особенности дибрана:



Эту реакцию, протекающую в эфирной среде, можно рассматривать как реакцию вытеснения одним кислотным соединением (BF_3) другого (BH_3).

Кроме тетрагидридборатов известны разнообразные гидридбораты более сложного состава и строения.

Известны гидридбораты щелочных металлов, содержащие сложные ионы, например B_3H_8 , $\text{B}_{11}\text{H}_{14}^+$, $\text{B}_{10}\text{H}_{10}^2$, $\text{B}_{12}\text{H}_{12}^2$. Последний ион имеет вид икосаэдра с атомами бора в вершинах (рис. 188, a).

Весьма разнообразны также галогенозамещенные гидридборатные анионы, например, типа $[\text{B}_{10}\text{H}_{10-n}\text{Hal}_n]^{2-}$ и $[\text{B}_{12}\text{H}_{12-n}\text{Hal}_n]^{2-}$ вплоть до $[\text{B}_{10}\text{Hal}_{10}]^{2-}$ и $[\text{B}_{12}\text{Hal}_{12}]^{2-}$ (где $\text{Hal} = \text{Cl}^-$, Br^- или I^-).

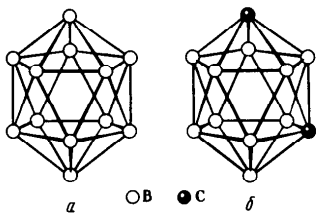
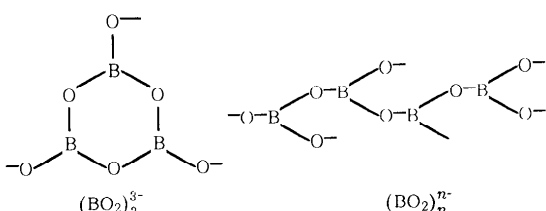


Рис. 188. Структура иона $\text{B}_{12}\text{H}_{24}^+$ (а) и молекулы $\text{B}_{10}\text{C}_2\text{H}_{12}$ (б) (водородные связи не указаны)

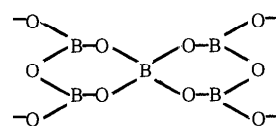
В последнее время химия бора обогатилась новым классом соединений — так называемыми карборанами (бороуглеродами). Один из представителей карборанов имеет состав $\text{B}_{10}\text{C}_2\text{H}_{12}$ (барен). Это кристаллическое вещество (т. пл. 300 °C), его молекула имеет структуру икосаэдра, в котором атомы углерода аналогичны атомам бора и принимают участие в трехцентровых связях с ближайшими атомами бора (рис. 188, б). Барен растворим в органических растворителях. Бареновое ядро очень устойчиво по отношению к окислителям, щелочам. Атомы водорода, парабор, легко замещаются. На основе карборанов получены многочисленные производные, в том числе карборановые полимеры. Многие из них обладают ценных физико-химическими и физико-механическими свойствами (высокая термическая стабильность, высокие диэлектрические свойства и пр.). Химия карборанов в настоящее время интенсивно изучается.

Оксобразные анионы, подобно оксиду бора, в большинстве своем полимерны. В качестве простейших представителей можно назвать циклический метаборатный знион $(\text{BO}_2)_3^{3-}$ (в кристаллах KBO_2 , NaBO_2) и полиметаборатный знион $(\text{BO}_2)_n^n$ в виде плоской зигзагообразной бесконечной цепи (в кристаллах $\text{Ca}(\text{BO}_2)_2$; LiBO_2):



Указанные анионы состоят из плоских треугольных структурных единиц BO_2 , что отвечает sp^2 -гибридному состоянию орбиталей бора.

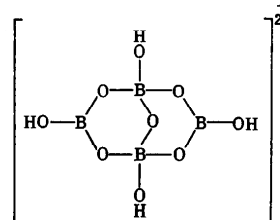
В оксобразах орбитали атома бора находятся, кроме того, в состоянии sp^3 -гибридизации, т.е. образуют четыре σ -связи:



Способы сочетания треугольных BO_3 , тетраэдрических BO_4 , а также треугольных и тетраэдрических структурных единиц между собой весьма разнообразны. В гидратированных оксобразах вокруг атомов бора координируются также OH -группы. Все это объясняет очень большое разнообразие составов и структур оксобразов. О разнообразии составов безводных оксобразов можно судить, например, по диаграмме плавкости системы $\text{N}_2\text{O}-\text{B}_2\text{O}_3$ (рис. 189).

Большинство оксобразов в воде не растворяется. Исключение составляют бораты 3-элементов I группы. Более других используется тетраборат натрия $\text{Na}_2\text{B}_4\text{O}_7$.

Кристаллы буры $\text{Na}_2\text{B}_4\text{O}_7 \cdot 10\text{H}_2\text{O}$ или $\text{Na}_2[\text{B}_4\text{O}_5(\text{OH})_4] \cdot 8\text{H}_2\text{O}$ состоят из анионов $[\text{B}_4\text{O}_5(\text{OH})_4]^{2-}$:



объединенных в цепи посредством водородных связей. Между цепями находятся ионы Na^+ и молекулы H_2O , которые, в свою очередь, связывают их между собой как за счет притяжения ионов друг к другу, так и через водородные связи.

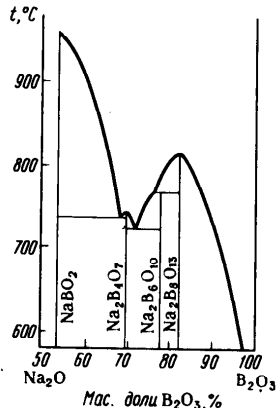
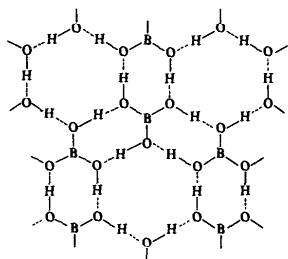
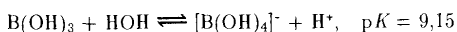


Рис. 189. Диаграмма плавкости системы $\text{Na}_2\text{O}-\text{B}_2\text{O}_3$

Оксбораты водорода — белые кристаллические вещества. Ортоборат водорода (в растворе *ортоборная кислота*) имеет слоистую решетку, в которой молекулы H_3BO_3 связаны в плоские слои за счет водородных связей, а сами слои соединены друг с другом (на расстоянии 0,318 нм) межмолекулярными связями. Поэтому в твердом состоянии H_3BO_3 — чешуйки, жирные на ощупь. Структура одного слоя кристалла H_3BO_3 показана ниже:



Оксборат водорода сравнительно мало растворим в воде. Ортоборная кислота — очень слабая, одноосновная. В отличие от обычных кислот ее кислотные свойства обязаны не отщеплению протона, а присоединению OH^- -ионов:

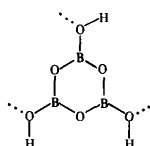


Ортоборную кислоту получают гидролизом галогенидов, боранов и др.

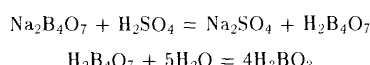
При нагревании ортоборат водорода теряет воду, переходя в полимерные метабораты водорода HBO_2 , а затем в B_2O_3 :



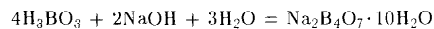
Одна из модификаций HBO_2 (т. пл. 176 °C) содержит циклические структурные единицы $(HBO_2)_3$, которые объединяются в плоские слои за счет водородных связей:



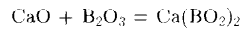
Полибораты водорода в растворе легко гидратируются, поэтому при действии на них кислот обычно выделяется ортоборная кислота, например:



Наоборот, при нейтрализации H_3BO_3 избытком щелочи (т.е. при выделении воды) характерные для бора связи $B—O—B$ возникают снова и опять образуются полибораты, выделяющиеся из растворов в виде кристаллогидратов, например:

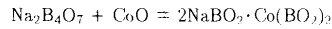


Безводные оксбораты получают сплавлением B_2O_3 или H_3BO_3 с оксидами металлов:



Подобно силикатам (IV) и фосфатам (V), полибораты легко переходят в стеклообразное состояние.

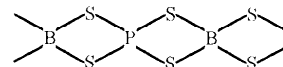
Так, при прокаливании буры совместно с солями некоторых металлов образуются двойные высокомолекулярные полиметабораты — стекла, часто окрашенные в характерные цвета, например: $NaBO_2 \cdot Cr(BO_2)_3$ — зеленый, $2NaBO_2 \cdot Co(BO_2)_2$ — синий:



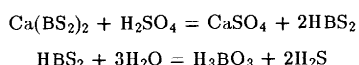
На свойство буры растворять оксиды металлов основано применение ее для образования эмалей, при пайке металлов, в аналитической практике для обнаружения ряда *d*-элементов.

Добавка $Na_2B_4O_7$ или H_3BO_3 (до 3–12% B_2O_3) придает силикатному стеклу повышенную термическую и химическую стойкость. Боросиликатные стекла: *нирекс* — 81% SiO_2 , 2% ($Al_2O_3 + Fe_2O_3$), 12% B_2O_3 , 0,5% CaO , 4,5% Na_2O ; *менское* — 76% SiO_2 , 5% ($Al_2O_3 + Fe_2O_3$), 7% B_2O_3 , 1% CaO , 4% BaO , 6% Na_2O , 1% K_2O и др. — широко применяются для изготовления химической посуды, трубопроводов в химических производствах и т.д. В боросиликатных стеклах имеются группы BO_3 и BO_4 , включенные в силикатную решетку.

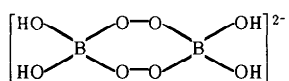
Известно соединение состава BPO_4 , которое представляет собой смешанный оксид со структурой типа SiO_2 . Смешанным сульфидом является BPS_4 , который изотипен SiS_2 :



Сульфидобораты (III) получаются при сплавлении сульфидов металлов с сульфидом бора B_2S . Сульфидобораты водорода (тибороновые кислоты) неустойчивы, в водных растворах легко разлагаются:

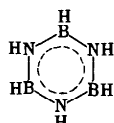


Весьма разнообразны — пероксебораты. В качестве простейших представителей можно указать на NH_4BO_3 , KBO_3 , NaH_2BO_6 , $NaBO_3 \cdot 4H_2O$. Строение пероксеборатов изучено недостаточно. В некоторых из них (например, $NaBO_3 \cdot 4H_2O$) в кристаллах обнаружены анионы $[B_2(O_2)_2(OH)_4]^{2-}$ с двумя мостиковыми пероксогруппами, связывающими тетраэдрические атомы бора:



Пербораты получают действием H_2O_2 на бораты или действием пероксидов щелочных металлов на H_3BO_3 . Пербораты — сильные окислители. Используются в качестве отбеливающих средств в моющих порошках, так как при гидролизе образуют пероксид водорода.

Большое внимание привлекают бороганические соединения, в частности содержащие цепи $B—O—B$, $B—N—B$, $B—P—B$, $B—S—B$, обрамленные органическими радикалами. Особый интерес представляют производные боразола $B_3N_3H_6$:



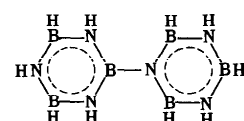
Боразол — бесцветная жидкость (т. пл. $-56^{\circ}C$ и т. кип. $55^{\circ}C$). По структуре и ряду свойств близок к бензолу и потому его образно называют "неорганическим бензолом".

Наличием, как и в бензole, делокализованной π -связи объясняется уменьшение межъядерного расстояния $d(BN)$ в боразоле до 0,144 нм по сравнению с длиной связи $B—N$ 0,154 нм. Распределение электронной плотности отвечает $\delta-\delta^+$ для $N-B$ и разной полярности связей $N-H$ и $B-H$. Реакционная способность боразола выше, чем бензола. Боразол разлагается

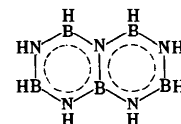
при нагревании на воздухе, в воде и при действии кислот. Его можно получить нагреванием тетрагидробората лития и хлорида аммония:



Среди продуктов превращения боразола выделены аналог дифенила:



и аналог нафталина:



Боразол и его производные представляют как теоретический, так и практический интерес. Имеются, например, маслостойкие и термостойкие бороганические соединения. Производные боразола могут применяться также в качестве ракетного топлива.

Как видно из изложенного, соединения бора с азотом во многом напоминают соединения углерода. Эту аналогию мы наблюдали на примерах двух модификаций нитрида бора (графито- и алмазоподобного), боразола и его производных. Ее можно проиллюстрировать также следующими примерами:



Во всех этих соединениях атомы бора и азота имитируют структуру атома углерода; четвертая связь $B—N$ возникает за счет использования sp^3 -гибридной несвязывающей электронной пары азота и свободной sp^3 -гибридной орбитали атома бора.

В относительно простых производных атомы бора и азота имитируют структуру атома углерода за счет образования соответственно анионных и катионных комплексов, изоэлектронных соответствующим соединениям углерода. Например:

B	C	N
2s	2s	2s
BH_4^-	CH_4	NH_4^+
BF_4^-	CF_4	NF_4^+
$\text{B}_2\text{H}_6^{2+}$	C_2H_6	$\text{N}_2\text{H}_6^{2+}$

В соединениях типа BPO_4 , BPS_4 , атомы бора и фосфора имитируют структуру атома углерода и кремния соответственно.

§ 2. АЛЮМИНИЙ

Атом алюминия ($1s^2 2s^2 2p^6 3s^2 3p^1$) больше по размеру, чем атом бора, и обладает меньшей энергией ионизации. Следовательно, неметаллические признаки химического элемента алюминия выражены в меньшей степени, чем химического элемента бора. Для алюминия, как и для бора, наиболее характерна степень окисления +3. Отрицательная степень окисления алюминия проявляется еще реже. Для алюминия (III) наиболее характерны координационные числа 6 и 4:

Координационное число Al (III)	Пространственное расположение лигандов	Примеры соединений
4	Тетраэдрическое	AlCl_4^- , AlH_4^- , алюмосиликаты
6	Октаэдрическое	Al_2O_3 , AlF_6^{3-} , AlF_3 , $[\text{Al}(\text{OH}_2)_6]^{3+}$, $[\text{Al}(\text{OH})_4(\text{OH}_2)_2]^-$

Алюминий — типичный амфотерный элемент. В отличие от бора для него характерны не только анионные, но и катионные комплексы. Так, в зависимости от pH водного раствора существуют катионный аквакомплекс $[\text{Al}(\text{OH}_2)_6]^{3+}$ и анионный гидроксокомплекс $[\text{Al}(\text{OH})_6]^{3-}$.

По распространённости на Земле алюминий занимает третье место (после O, Si), состоит из одного стабильного изотопа ^{27}Al .

Алюминий находится в земной коре главным образом в виде соединений с кислородом. Важным минералом для получения алюминия является боксит $\text{Al}_2\text{O}_3 \cdot n\text{H}_2\text{O}$; встречается в природе минерал корунд Al_2O_3 . Способность алюминия давать анионные комплексы определяет нахождение алюминия в виде алюмосиликатов.

В алюмосиликатах сосредоточена основная масса алюминия земной коры. Распространенным продуктом разрушения горных пород является

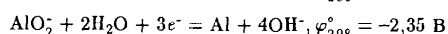
ся каолин, состоящий в основном из глинистого минерала каолинита $\text{Al}_4[\text{Si}_4\text{O}_{10}](\text{OH})_8$ ($\text{Al}_2\text{O}_3 \cdot 2\text{SiO}_2 \cdot 2\text{H}_2\text{O}$). Важное промышленное значение имеет минерал криолит Na_3AlF_6 .

Простое вещество. В виде простого вещества алюминий — серебристо-белый металл (т. пл. 660°C , т. кип. $\sim 2500^\circ\text{C}$). Кристаллизуется в гранецентрированной кубической решётке. Обладает высокой электрической проводимостью и теплопроводностью, исключительно пластичен.

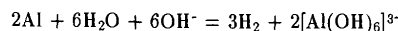
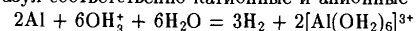
Алюминий химически активен; даже в обычных условиях покрываются очень прочной тончайшей ($0,00001\text{ mm}$) оксидной пленкой. Последняя несколько ослабляет металлический блеск алюминия и определяет его довольно высокую коррозионную стойкость. Так, алюминий горит в кислороде лишь при высокой температуре и притом в мелко-раздробленном состоянии. Взаимодействие сопровождается большим выделением теплоты ($\Delta H^\circ_{298} = -1676\text{ кДж/моль Al}_2\text{O}_3$). Подобным же образом протекает взаимодействие алюминия с серой. С хлором и бромом он реагирует при обычной температуре, а с иодом — при нагревании или в присутствии воды как катализатора. При сильном нагревании реагирует с азотом (800°C) и углеродом (2000°C). С водородом непосредственно не взаимодействует.

Вследствие высокого сродства к кислороду ($\Delta G^\circ_{f,298} = -1582\text{ кДж/моль Al}_2\text{O}_3$) алюминий активно восстанавливает многие металлы из оксидов (алюмотермия). При этом реакция обычно сопровождается выделением большого количества теплоты и повышением температуры до $1200\text{--}3000^\circ\text{C}$. Алюмотермия применяется в производстве марганца, хрома, ванадия, вольфрама, ферросплавов.

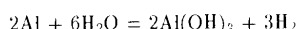
О высокой химической (восстановительной) активности алюминия свидетельствуют также значения его стандартного электродного потенциала в кислой и щелочной среде:



Будучи амфотерным, алюминий растворяется в растворах кислот и щелочей, образуя соответственно катионные и анионные комплексы:



Как в том, так и в другом случае окисление алюминия сопровождается выделением водорода. Если механическим путем или амальгамированием снять предохраняющее действие оксидной пленки, то алюминий энергично взаимодействует с водой:



Вследствие образования защитной пленки алюминий устойчив в очень разбавленной HNO_3 и концентрированных растворах HNO_3 и H_2SO_4 на холода. Склонность к пассивированию позволяет повысить коррозионную стойкость алюминия обработкой его поверхности соответствующими окислителями (конц. HNO_3 , $\text{K}_2\text{Cr}_2\text{O}_7$) или анодным окислением. При этом толщина защитной пленки возрастает. Устойчивость алюминия позволяет использовать его для изготовления емкостей для хранения и транспортировки азотной кислоты.

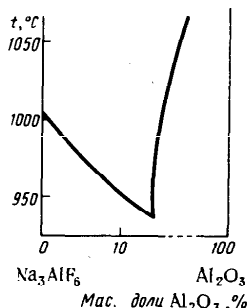


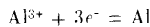
Рис. 190. Фрагмент диаграммы плавкости системы $\text{Na}_3\text{AlF}_6 - \text{Al}_2\text{O}_3$

Получение и применение алюминия. В промышленности алюминий получают электролизом раствора глинозема Al_2O_3 в расплавленном криолите Na_3AlF_6 . Содержание в растворе Na_3AlF_6 (92–94%) и Al_2O_3 отвечает эвтектическому составу (рис. 190). Это позволяет вести процесс электролиза при сравнительно низкой температуре (800 – 1000 $^\circ\text{C}$; температуре плавления криолита 1009 $^\circ\text{C}$).

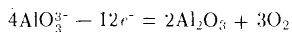
Электролиз Al_2O_3 можно представить следующей условной схемой. В растворе Al_2O_3 диссоциирует на ионы



на катоде разряжаются ионы Al^{3+} :



на аноде происходит процесс



Катодом служит корпус электролизера, на котором выделяется жидкий алюминий (т. пл. 660 $^\circ\text{C}$). На графитовом аноде выделяется кислород, который окисляет графит до оксидов углерода. По мере сгорания анода его нарощивают. Поскольку жидкий алюминий имеет более высокую плотность, чем расплав, он собирается на дне электролизера.

По применению алюминий занимает одно из первых мест среди металлов. Это обусловлено его невысокой плотностью, высокой прочностью, способностью пассивироваться. Из алюминия изготавливаются химическая аппаратура, электрические провода, конденсаторы. Алю-

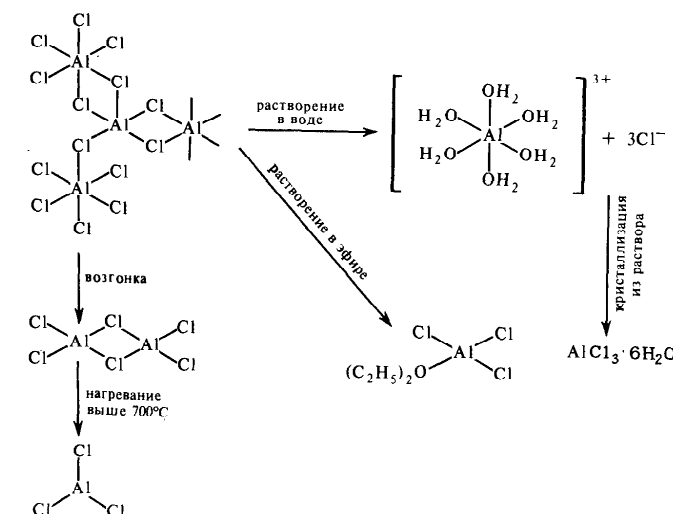
миниевая фольга (толщиной 0,005 мм) применяется в пищевой и фармацевтической промышленности для упаковки продуктов и препаратов.

Основную массу алюминия используют для получения легких сплавов — *дуралюмина* (94% Al, 4% Cu, по 0,5% Mg, Mn, Fe и Si), *силумина* (85–90% Al, 10–14% Si, 0,1% Na) и др. Сплавы алюминия широко применяются в автомобилестроении, судостроении, авиационной технике и пр. Из алюминиевого сплава был изготовлен первый искусственный спутник Земли.

Алюминий, кроме того, применяется как легирующая добавка ко многим сплавам для придания им жаростойкости.

Соединения алюминия с *d*-элементами — *алюминиды* (NiAl , Ni_3Al , CoAl , Ti_3Al , TiAl и др.) и их сплавы используются в качестве жаропрочных (до 1200 $^\circ\text{C}$) материалов.

Соединения алюминия (III). Характерные координационные числа Al(III) равны 6 и 4, что соответствуют октаэдрическому и тетраэдрическому строению структурных единиц. Так, в кристаллическом AlCl_3 его координационное число 6. При растворении AlCl_3 в воде образуются октаэдрические аквакомплексы $[\text{Al}(\text{OH}_2)_6]^{3+}$. При растворении в неполярных растворителях или при возгонке образуются молекулы Al_2Cl_6 :



Поскольку для Al(III) наиболее типичны координационные числа 6 и 4, его бинарные соединения AlF_3 , AlCl_3 , Al_2O_3 , Al_2S_3 , AlN , AlH_3 в обычных условиях полимерны. Они представляют собой твердые вещества белого цвета.

Оксид алюминия Al_2O_3 известен в виде нескольких модификаций. В обычных условиях наиболее устойчив $\alpha\text{-Al}_2\text{O}_3$ (см. рис. 69, Г). Эта модификация встречается в природе в виде минерала *корунда*. Часто в корунде атомы Al(III) частично замещены на атомы других элементов, придающих ему окраску. Прозрачные окрашенные кристаллы корунда — красный *рубин* — примесь Cr(III) — и синий *сапфир* — примесь Ti(III) и Fe(III) — драгоценные камни. Их получают также искусственно.

Высокая прочность связи Al—O—Al и плотная кристаллическая структура предопределяют большую энталпию образования, высокую температуру плавления (порядка 2050 °C), твердость и огнеупорность

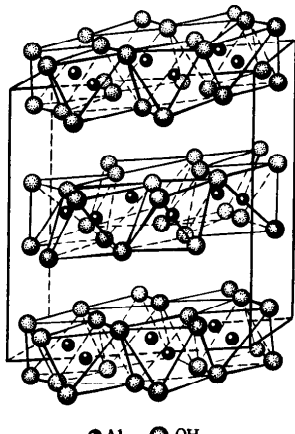


Рис. 191. Структура гидрохилита $\text{Al}(\text{OH})_3$

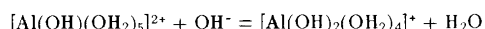
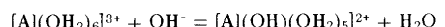
Al_2O_3 — производство металлического алюминия. Используемый для этих целей *глинозем* получают из бокситов и комплексной переработкой нефелина.

Гидроксид алюминия $\text{Al}(\text{OH})_3$ — полимерное соединение.

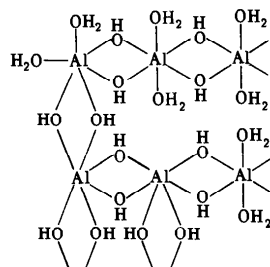
Так, природный гидроксид (минерал *гидрохилит*) имеет слоистую кристаллическую решетку (рис. 191). Слои состоят из октаэдров $\text{Al}(\text{OH})_6$; между слоями действует водородная связь. Получаемый по обменной реакции гидроксид — студенистый белый осадок. Состав и структура осадка существенно зависят от условий получения и хранения. Обычно приводимое уравнение реакции получения гидроксида



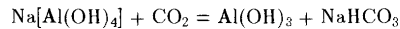
не раскрывает всей сложности механизма его образования. Получение гидроксида можно представить в виде следующей схемы. При действии щелочей ионами OH^- постепенно замещаются в аквакомплексах $[\text{Al}(\text{OH}_2)_6]^{3+}$ молекулы воды:



Одновременно происходит полимеризация с образованием многоядерных комплексов и в конечном итоге — выпадение осадка переменного состава $\text{Al}_2\text{O}_3 \cdot n\text{H}_2\text{O}$:



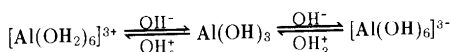
При стоянии осадок постепенно (с выделением воды) переходит в кристаллический $\text{Al}(\text{OH})_3$ и теряет свою активность — "стареет". Кристаллический $\text{Al}(\text{OH})_3$ получают при пропускании CO_2 в щелочной раствор алюмината:



При прокаливании $\text{Al}_2\text{O}_3 \cdot n\text{H}_2\text{O}$ постепенно теряет воду, превращаясь в оксогидроксосоединение AlOOH (бемит) и в конечном счете в Al_2O_3 . Механизм дегидратации достаточно сложен, и получаемые промежуточ-

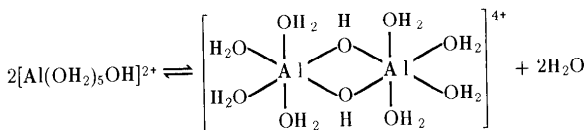
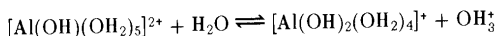
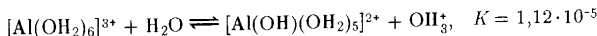
ные продукты в зависимости от исходного вещества и условий обезвоживания имеют различные свойства. Некоторые из них химически активны (пробладание OH-мостиков) и легко растворяются в кислотах и щелочах, другие - химически неактивны (OH-группы замещены на атомы O) и взаимодействуют лишь при сплавлении со щелочами. Одна из форм дегидратированного гидроксида - *алюмофель* используется в технике, как и силикагель, в качестве адсорбента.

Гидроксид алюминия - типичное амфотерное соединение; свежеполученный продукт легко растворяется и в кислотах, и в щелочах. При этом разрушается высокомолекулярный гидроксид. В зависимости от среды образуются комплексные либо катионы, либо анионы:



Из кислых растворов выделяются кристаллогидраты соответствующих солей алюминия. Например, $\text{AlCl}_3 \cdot 6\text{H}_2\text{O}$, $\text{Al}(\text{NO}_3)_3 \cdot 9\text{H}_2\text{O}$, $\text{Al}_2(\text{SO}_4)_3 \cdot 18\text{H}_2\text{O}$, $\overset{+1}{\text{M}}\text{Al}(\text{SO}_4)_2 \cdot 12\text{H}_2\text{O}$ (квасцы). Соли алюминия и кислородсодержащих кислот растворимы в воде. Нерастворим AlPO_4 , имеющий координационную структуру типа SiO_4 .

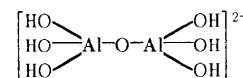
В растворах соли алюминия гидролизуются. Начальные стадии гидролиза можно описать уравнениями (см. табл. 24)



Вследствие гидролиза сульфид, карбонат, цианид и некоторые другие соли алюминия из водных растворов получить не удается.

Из солей алюминия широкое применение имеют его сульфат и квасцы, используемые в бумажной промышленности для проклейки бумаги писчих сортов, в кожевенной — для дубления кожи, в текстильной — при краслении тканей и т.д.

При кристаллизации из щелочных растворов некоторые алюминаты сохраняют состав гидроксосоединений (например, $\text{Ca}_3[\text{Al}(\text{OH})_6]_2$, а другие подвергаются частичной дегидратации, образуя, например $\text{K}_2[\text{Al}_2\text{O}(\text{OH})_6]$:



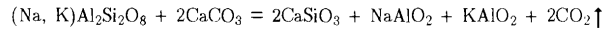
Сплавляя $\text{Al}(\text{OH})_3$ или Al_2O_3 со щелочами, получают высокомолекулярные метаоксоалюминаты. Их состав весьма разнообразен, о чем свидетельствует, например, рис. 192. В воде оксоалюминаты щелочных металлов легко гидролизуются, вплоть до выделения $\text{Al}(\text{OH})_3$.

Как и в оксиде алюминия, структурный единицей метаоксоалюминатов является октаэдр AlO_6 . К метаалюминатам можно отнести некоторые двойные оксиды, например минерал *шпинели* MgAl_2O_4 и аналогичные ему по составу и структуре алюминаты типа $\overset{+2}{\text{M}}\text{Al}_2\text{O}_4$ или $\overset{+2}{\text{M}}(\text{AlO}_2)_2$ ($\text{M} = \text{Be}, \text{Zn}, \text{Mn}$). Смешанные оксиды в виде минералов *шпинели* MgAl_2O_4 и *хризоберилла* BeAl_2O_4 являются полудрагоценными камнями.

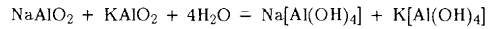
В алюмосиликатах алюминий играет такую же роль, как кремний: оба эти элемента образуют смешанное соединение — алюминат-силикат. Алюмосиликаты можно рассматривать как силикаты, в которых часть кремнекислородных тетраэдров SiO_4^{4-} заменена на алюмокислородные тетраэдры AlO_4^{5-} . Так, частичное замещение атомов Si на атомы Al в SiO_2 (Si_4O_8) дает алюмосиликатные ионы типа $[\text{AlSi}_3\text{O}_8]^-$, $[\text{Al}_2\text{Si}_2\text{O}_8]^{2-}$. При замене атомов Si в ионах силикатов слоистой структуры $\text{Si}_2\text{O}_5^{2-}$ (или $\text{Si}_4\text{O}_{10}^{4-}$) атомами Al образуются слоистые алюмосиликатные ионы, например, типа $[\text{AlSi}_3\text{O}_10]^{5-}$.

Из алюмосиликатов наиболее распространены *полевые шпаты*. Главные их представители — минералы *ортоклаз* $\text{K}[\text{AlSi}_3\text{O}_8]$, *альбит* $\text{Na}[\text{AlSi}_3\text{O}_8]$ и *анортит* $\text{Ca}[\text{Al}_2\text{Si}_2\text{O}_8]$. Очень распространены минералы группы слюд, например, *мусковит* $\text{KAl}_2[\text{AlSi}_3\text{O}_10](\text{OH})_2$. Большое практическое значение имеет минерал *нефелин* ($\text{Na}, \text{K}_2[\text{Al}_2\text{Si}_2\text{O}_8]$).

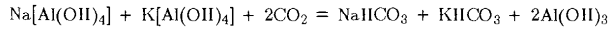
Нефелин используется для получения глинозема, содовых продуктов и цемента. Это производство складывается из следующих операций: а) нефелин и известняк спекают в трубчатых печах при 1200°C



б) образовавшуюся массу выщелачивают водой — образуется раствор алюминатов натрия и калия и шлам CaSiO_3 :



в) через раствор алюминатов пропускают образовавшийся при спекании CO_2 :



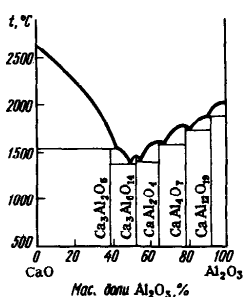


Рис. 192. Диаграмма плавкости системы $\text{CaO} - \text{Al}_2\text{O}_3$

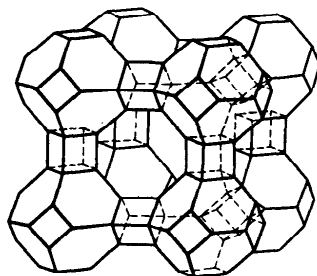
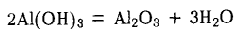


Рис. 193. Структура цеолита

г) нагреванием $\text{Al}(\text{OH})_3$ получают глиноzem:



д) выпариванием маточного раствора выделяют соду и поташ, а ранее полученный шлам CaSiO_3 идет на производство цемента.

При производстве 1 т Al_2O_3 получают 1 т содопродуктов и 7,5 т цемента. Таким образом, комплексная переработка дешевого нефелина с помощью дешевого известняка дает возможность получить такие ценные продукты, как глиноzem, соду (поташ) и цемент.

Из алюмосиликатов большой интерес представляют цеолиты. Их состав выражает формула $\text{M}_x\mathcal{E}_y\text{O}_{2y}\cdot n\text{H}_2\text{O}$, где $\text{M} = \text{Ca}, \text{Na}$ (реже $\text{Ba}, \text{Sr}, \text{K}$), $\mathcal{E} = \text{Si}$ и Al в переменном соотношении. На рис. 193 приведена модель одного из искусственных цеолитов. Кремнекислородные и алюмокислородные тетраэдры объединены в полизидры, которые соединены между собой через атомы кислорода. Благодаря такому строению в кристаллах цеолитов имеются свободные полости.

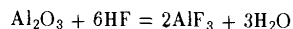
В этих полостях располагаются ионы M^+ и M^{2+} , компенсирующие отрицательный заряд алюмокремнекислородных тетраэдров, и в них могут внедряться молекулы воды. Содержание воды зависит от давления водяного пара. Цеолиты способны обменивать воду на другие вещества (спирт, аммиак и т.д.). При осторожном нагревании вода постепенно удаляется, и даже полное обезвоживание не приводит к разрушению кристаллической решетки цеолита.

Ряд искусственных цеолитов используется в качестве так называемых *молекулярных сит*. Молекулярные сита поглощают вещества, молекулы которых могут войти в их полости (диаметром 0,3–1,3 нм). Например, одно из молекулярных сит (с диаметром отверстия 0,35 нм) может поглотить молекулы H_2 , O_2 , N_2 , но практически не поглощает более крупные молекулы типа CH_4 или атомы Ar . Молекулярные сита используются для разделения углеводородов, осушки газов и жидкостей.

В цеолитах одни катионы могут замещаться другими. На этом свойстве основано применение цеолитов в качестве ионнообменников (катионитов). Цеолиты с внедренными в них ионами ряда *d*-элементов являются катализаторами.

Сульфины и аллюминий Al_2S_3 получают непосредственным взаимодействием простых веществ при температуре красного каления. Это кристаллическое вещество ($t_{\text{пл.}} 1100^\circ\text{C}$), полностью гидролизующееся даже следами влаги в воздухе. При сплавлении Al_2S_3 с основными сульфидами образуются полимерные сульфоаллюминаты состава ${}^+ \text{I} \text{AlS}_2$ и $\text{M}(\text{AlS}_2)_2$. Они малоустойчивы, в водных растворах легко разлагаются.

Галогениды алюминия AlHal_3 в обычных условиях — бесцветные кристаллические вещества. Их можно получить прямым взаимодействием простых веществ. Основной способ получения AlF_3 основан на действии безводного HF на Al_2O_3 или Al :



а получение AlCl_3 — на хлорировании Al_2O_3 в присутствии угля (при 500 – 550°C).

Ниже приведены некоторые сведения о галогенидах алюминия:

	AlF_3	AlCl_3	AlBr_3	AlI_3
Т. пл., $^\circ\text{C}$	1290	193	97,5	179,5
Т. кип., $^\circ\text{C}$	1291	180	255	381
	(возг.)	(возг.)		
Пл., $\text{г}/\text{см}^3$	3,1	2,5	3,2	4,0
$\Delta H_f^{\circ}, \text{кДж}/\text{моль}$	-1510	-705	-513	-308
$\Delta G_f^{\circ}, \text{кДж}/\text{моль}$	-1432	-629	-491	-304
$S_{298}^{\circ}, \text{кДж}/\text{моль}$	66	109	180	190

Фторид алюминия резко отличается по свойствам от остальных его галогенидов. Имеет координационную решетку типа ReO_3 (см. рис.

69), тугоплавок, мало растворяется в воде, химически неактивен. Хлорид имеет слоистую решетку, а кристаллы AlBr_3 и AlI_3 состоят из димерных молекул Al_2Hal_6 (рис. 194). Поэтому они легкоплавки, заметно летучи при обычной температуре. Очень гигроскопичны и на воздухе расплющиваются.

В парообразном состоянии и в некоторых органических растворителях AlCl_3 , AlBr_3 и AlI_3 находятся в виде димерных молекул Al_2Hal_6 , имеющих конфигурацию сдвоенных тетраэдров с общим ребром (рис. 194). Простые молекулы AlHal_3 существуют только при высокой температуре.

В отличие от типичных солей галогениды алюминия (кроме AlF_3) — весьма реакционноспособные вещества. Взаимодействие AlHal_3 с водой сопровождается значительным выделением теплоты. При этом они сильно гидролизуются, но в отличие от типичных кислотных галогенидов неметаллов их гидролиз неполный и обратимый.

Подобно BHal_3 тригалогениды алюминия (кроме AlF_3) — сильные акцепторы электронных пар — присоединяют молекулы-доноры, например:



Склонность к комплексообразованию у AlHal_3 проявляется в отношении к H_2O , H_3N , PCl_5 , POCl_3 и ряду органических соединений. С этой способностью связано применение AlCl_3 в качестве катализатора в органическом синтезе.

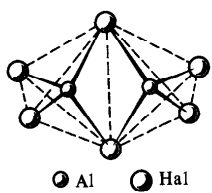


Рис. 194. Строение молекулы Al_2Hal_6

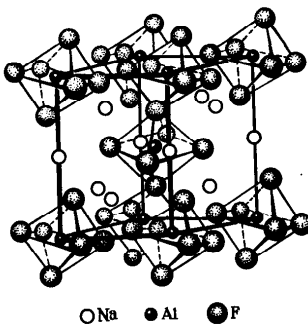
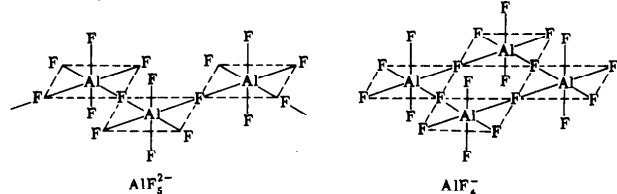


Рис. 195. Структура криолита Na_3AlF_6

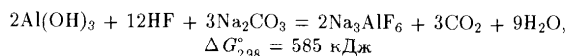
С основными галогенидами тригалогениды AlHal_3 легко образуют галогено-алюминаты типа $\overset{+1}{\text{M}_3\text{AlF}_6}$, $\overset{-1}{\text{M}_2\text{AlF}_5}$ и $\overset{+1}{\text{MAlHal}_4}$. Из них наиболее устойчив гексафтороалюминат натрия Na_3AlF_6 (*криолит*). Его кристаллы островного типа образованы ионами Na^+ и AlF_6^{3-} (рис. 195).

Фтороалюминаты состава $\overset{+1}{\text{M}_2\text{AlF}_5}$ и $\overset{+1}{\text{MAlF}_4}$ образованы полимерными фтороалюминатными комплексами. Так, в кристалле Ti_2AlF_5 октаэдры AlF_6 за счет двух своих вершин (атомов F) объединены в бесконечные цепи состава AlF_5^{2-} , а в KAlF_4 октаэдры AlF_6 за счет четырех вершин образуют бесконечный анион AlF_4^{2-} в виде сетки:



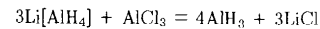
Объединение же октаэдров AlF_6 за счет всех шести вершин создает координационную кристаллическую решетку AlF_3 (см. выше).

Фтороалюминаты щелочных металлов в воде растворяются с трудом. Наибольшее применение (для получения Al , F_2 , эмалей, стекла и пр.) имеет Na_3AlF_6 . Промышленное производство искусственного криолита основано на обработке гидроксида алюминия фтороводородной кислотой и карбонатом натрия:



В хлоро-, бромо- и иodoалюминатах координационное число Al равно четырем. Получаются они при сплавлении тригалогенидов алюминия с галогенидами соответствующих металлов (см. рис. 133). Производные щелочных металлов, например $\text{Na}[\text{AlCl}_4]$ (т. пл. 156 °C), $\text{Cs}[\text{AlCl}_4]$ (т. пл. 377 °C), являются солями. В противоположность фтороалюминатным ионам ионы $[\text{AlCl}_4]^-$, $[\text{AlBr}_4]^-$ и $[\text{AlI}_4]^-$ легко гидролизуются, поэтому соответствующие соли в воде разлагаются.

Алюминий образует полимерный гидрид (алан) AlH_3 , который получают косвенным путем, например действием AlCl_3 на эфирные растворы гидridoалюминатов:



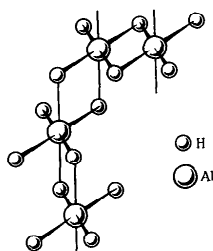


Рис. 196. Фрагмент структуры гидрида алюминия ($\text{AlH}_3)_n$

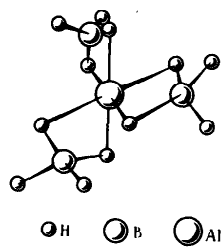
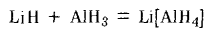


Рис. 197. Структура $\text{Al}(\text{BH}_4)_3$

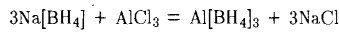
Гидрид алюминия ($\text{AlH}_3)_n$ — белый порошок, разлагающийся при нагревании (выше 105°C) с выделением водорода. Подобно гидридам бора, AlH_3 — соединение с дефицитом электронов. Предполагается, что он имеет сетчатое строение. Атомы алюминия находятся в октаэдрическом окружении атомов водорода и каждая пара соседних атомов алюминия связана двумя трехцентровыми двухэлектронными связями через атомы водорода сверху и снизу от плоскости сетки из атомов алюминия. Фрагмент структуры AlH_3 показан на рис. 196.

При взаимодействии AlH_3 с основными гидридами в эфирном растворе образуются гидридоалюминаты:



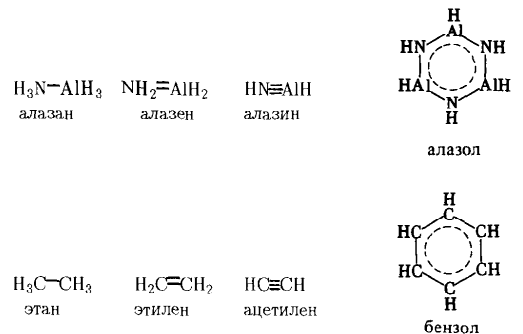
Гидридоалюминаты — белые твердые вещества. Их устойчивость заметно меньше однотипных гидридборатов. Водой бурно разлагаются. Они — сильные восстановители. Применяются (в особенности $\text{Li}[\text{AlH}_4]$) в органическом синтезе.

В качестве смешанного гидрида бора-алюминия можно рассматривать гидридоборат алюминия $\text{Al}[\text{BH}_4]_3$ (т. пл. $-64,5^\circ\text{C}$, т. кип. $44,5^\circ\text{C}$). Это соединение также с дефицитом электронов. Связь атомов бора и алюминия осуществляется через водород двумя трехцентровыми двухэлектронными связями (рис. 197). $\text{Al}[\text{BH}_4]_3$ можно получить по обменной реакции в эфирной среде:



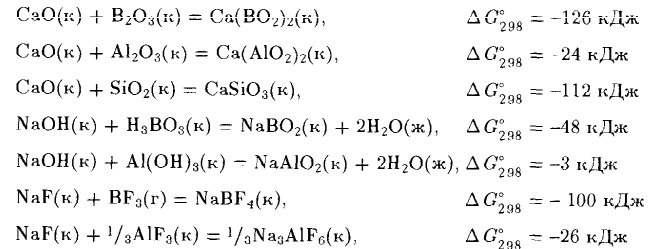
$\text{Al}[\text{BH}_4]_3$ — чрезвычайно реакционноспособен. Перспективен как ракетное топливо.

Для алюминия, как и для бора, известны соединения, которые по структуре аналогичны соответствующим соединениям углерода. Например:



Указанные производные алюминия менее устойчивы, чем однотипные соединения бора. Некоторые из них известны лишь при низких температурах в полимеризованном состоянии.

Приведенный обзор показывает, что по сравнению с бором у алюминия признаки металлического элемента заметно усиливаются. В частности, в отличие от кислотных соединений бора однотипные соединения алюминия (III) проявляют амфотерные свойства. Ослабление кислотных признаков однотипных производных алюминия (III) по сравнению с бором (III), а также у алюминия (III) по сравнению с кремнием (IV) можно проиллюстрировать на следующих примерах:



$\text{NaF}(\kappa) + \frac{1}{2}\text{SiF}_4(\kappa) = \frac{1}{2}\text{Na}_2\text{SiF}_6(\kappa)$	$\Delta G_{298}^{\circ} = -51 \text{ кДж}$
$\text{NaF}(\kappa) + \text{MgF}_2(\kappa) = \text{NaMgF}_3(\kappa)$	$\Delta G_{298}^{\circ} = -14 \text{ кДж}$
$\text{KH}(\kappa) + \frac{1}{2}\text{B}_2\text{H}_6(\gamma) = \text{KBH}_4(\kappa)$	$\Delta G_{298}^{\circ} = -170 \text{ кДж}$
$\text{KH}(\kappa) + \text{AlH}_3(\kappa) = \text{KAlH}_4(\kappa)$	$\Delta G_{298}^{\circ} = -111 \text{ кДж}$
$\text{KCl}(\kappa) + \text{MgCl}_2(\kappa) = \text{KMgCl}_3(\kappa)$	$\Delta G_{298}^{\circ} = -16 \text{ кДж}$
$\text{KCl}(\kappa) + \text{AlCl}_3(\kappa) = \text{KAlCl}_4(\kappa)$	$\Delta G_{298}^{\circ} = -114 \text{ кДж}$

Из значения ΔG_{298}° приведенных реакций следует, что соединения алюминия (Al_2O_3 , $\text{Al}(\text{OH})_3$, AlF_3 , AlH_3) имеют более основные свойства, чем однотипные соединения бора (B_2O_3 , H_3BO_3 , BF_3 , B_2H_6) и кремния (SiO_2 , SiF_4). По сравнению же с соединениями $\text{Mg}(\text{II})$ соединения $\text{Al}(\text{III})$ проявляют более кислотные свойства.

§ 3. ПОДГРУППА ГАЛЛИЯ

Подгруппа галлия располагается в периодической системе непосредственно после семейств d -элементов. Поэтому на свойствах галлия и его аналогов в значительной степени сказывается d -сжатие. Так, от Al к Ga атомный радиус несколько уменьшается, а энергия ионизации возрастает. На свойствах таллия, кроме того, сказывается и f -сжатие. Поэтому от In к Tl размер атома и иона увеличивается незначительно, а энергия ионизации даже несколько возрастает. Остальные свойства элементов подгруппы галлия изменяются в той же последовательности, как и в других подгруппах p -элементов.

Как и в ранее рассмотренных подгруппах p -элементов, с увеличением атомного номера участие s^2 -электронов в образовании связей уменьшается. Особо инертна электронная пара $5s^2$. Поэтому если для галлия наиболее характерна степень окисления +3, то для таллия +1. Индий чаще всего проявляет степень окисления +3.

Ga , In и Tl самостоятельных минералов практически не образуют, являются рассеянными элементами и входят в состав некоторых полиметаллических руд (см. табл. 27). Галлий часто сопутствует алюминию.

Простые вещества. В виде простых веществ галлий, индий и таллий — легкоплавкие серебристо-белые металлы. Индий в отличие от других блестящих металлов наиболее равномерно отражает световые волны всех длин и поэтому применяется для изготовления зеркал. Важнейшие константы рассматриваемых металлов приведены ниже:

	Ga	In	Tl
Пл., г/см ³	5,91	7,36	11,85
Т. пл., °С	29,8	156,4	304
Т. кип., °С	2250	2040	1470
$\Delta H_{\text{возд}, 298}^{\circ}$, кДж/моль	262,5	234,9	169,3
S_{298}° , Дж/(к·моль)	41,1	57,82	64,18
Электрическая проводимость ($\text{Hg} = 1$)			
φ_{298}° , В	2	12	5
$\mathcal{E}^{3+} + 3e^- \rightarrow \mathcal{E}$	-0,53	-0,34	+ 0,72
$\mathcal{E}^+ + 1e^- \rightarrow \mathcal{E}$	-	-	-0,34

Жидкий галлий весьма склонен к переохлаждению и долго не застывает. Из всех известных веществ галлий имеет самый большой температурный интервал существования жидкого состояния. Низкая температура плавления, высокая температура кипения и склонность к переохлаждению позволяют использовать Ga как жидкость в термометрах для измерения высоких температур.

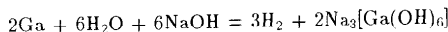
Свойства галлия, во многих отношениях отличающегося от остальных металлов, определяются его необычным строением. В кристалле у каждого атома три соседа по сплю. Один из них расположен на расстоянии 0,244 нм, а два других на значительно большем расстоянии друг от друга — 0,271 нм. Расстояние между слоями также велико и составляет 0,274 нм. Поэтому можно считать, что кристалл галлия состоит из частиц Ga_2 , связанных между собой вандерваальсовыми силами. Этим объясняется его низкая температура плавления. Он имеет уникальный температурный интервал жидкого состояния (от 29,8 до 2250 °С). Высокую температуру кипения галлия объясняют тем, что при плавлении образуется плотная упаковка атомов с координационным числом 12, для разрушения которой требуется большая энергия. В частности, таким строением объясняется большая плотность жидкого галлия по сравнению с кристаллическим.

Подобно алюминию, галлий и индий на воздухе покрываются прочной оксидной пленкой и поэтому практически не изменяются. Таллий же медленно окисляется. При накаливании Ga , In и особенно Tl энергично соединяются с кислородом и серой. С хлором и бромом они взаимодействуют уже при обычной температуре, с иодом — при нагревании.

Кроме изготовления высококачественных зеркал индий применяется в качестве электролитических покрытий для защиты других металлов от коррозии.

Рассматриваемые металлы Ga, In, Tl расположены в ряду напряженности до водорода. Галлий и индий растворяются в разбавленных кислотах. В соответствии с устойчивой степенью окисления Tl при взаимодействии с кислотами образует производные Tl(I). Таллий в соляной кислоте пассивируется за счет образования нерастворимого в воде TlCl.

Галлий, подобно алюминию, растворяется в щелочах:



Индий и особенно таллий в отсутствие сильных окислителей к щелочам устойчив.

Основным источником промышленного получения галлия являются продукты переработки боксита, нефелина. Соединения галлия извлекают также совместно с соединениями германия из продуктов горения углей (пылевые отходы, зола), попутно получают при производстве свинца и цинка вместе с другими редкими металлами.

Металлические галлий и его аналоги получают при довольно сложной химической переработки полиметаллических руд. После многоэтапной переработки и очистки из руд выделяют их оксиды или хлориды. Последние химическим или электрохимическим способом восстанавливают до металлов.

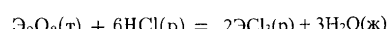
Галлий и его аналоги легко сплавляются со многими металлами. При этом часто образуются эвтектические сплавы с низкими температурами плавления. Например, сплав 18,1% In с 41% Bi, 22,1% Pb, 10,6% Sn и 8,2% Cd плавится всего лишь при 47 °C; сплав 90% Ga, 8% Sn и 2% Zn плавится даже при 19 °C.

Соединения галлия (III), индия (III) и таллия (III). Подобно алюминию (III), для Ga(III), In(III) и Tl(III) наиболее характерны координационные числа 6, реже 4. Так, модификации Ga₂O₃ по структуре аналогичны соответствующим модификациям Al₂O₃; в кристаллах In₂O₃ и Tl₂O₃ координационное число In и Tl также равно 6.

Непосредственным взаимодействием простых веществ могут образоваться белый Ga₂O₃ и желтый In₂O₃. Коричневый Tl₂O₃ образуется косвенным путем из соединений Tl(III) и окислением Tl₂O₃ озоном; при 100 °C Tl₂O₃ начинает терять кислород. Об относительной устойчивости оксидов можно судить по значениям их энталпий и энергий Гиббса образования:

	Ga ₂ O ₃	In ₂ O ₃	Tl ₂ O ₃
ΔG _{f,298} , кДж/моль	-996	-837	-318

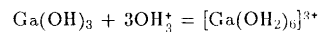
В воде оксиды практически нерастворимы. В соответствии с увеличением основных свойств в ряду Ga₂O₃—In₂O₃—Tl₂O₃ возрастает растворимость в кислотах. Например, для реакций



изменение стандартной энергии Гиббса для Ga₂O₃, In₂O₃, Tl₂O₃ составляет соответственно +71 кДж/моль, -25 кДж/моль, -199 кДж/моль.

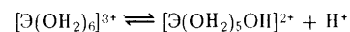
Гидроксиды Э(OH)₃ получают аналогично Al(OH)₃. У Ga(OH)₃ (белого цвета) основная и кислотная функции проявляются примерно в одинаковой степени; у In(OH)₃ (белого цвета) основные свойства преобладают над кислотными, а у Tl(OH)₃ (красно-коричневого цвета) кислотная функция выражена очень слабо и практически не проявляется. Таким образом, в ряду Ga(OH)₃—In(OH)₃—Tl(OH)₃ (как и в ряду оксидов) отчетливо наблюдается усиление основных и ослабленных кислотных признаков, что находится в соответствии с увеличением размеров атомов Э(III).

При растворении Э(OH)₃ и Er₂O₃ в кислотах образуются аквакомплексы, например:

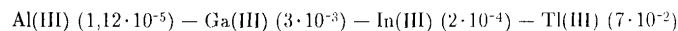


Поэтому соединения Ga(III), In(III) и Tl(III) из водных растворов всегда выделяются в виде кристаллогидратов, например ЭНal_x·6H₂O, KЭ(SO₄)₂·12H₂O (квасцы). Аквакомплексы Ga(III) и In(III) бесцветны, а Tl(III) слабо-желтого цвета. Характер растворимости и гидролиза соединений Ga(III) и In(III) в общем такой же, как и соответствующих соединений алюминия.

Соли Э(III) в растворе подвергаются гидролизу:

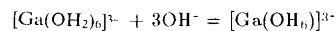


Как видно из значений константы равновесия K_к первой стадии гидролиза



склонность к гидролизу солей Э(III) большая, поэтому соли слабых кислот (сульфиды, карбонаты) полностью гидролизуются.

Гидроксид галлия Ga(OH)₃, как и Al(OH)₃, растворяется в присутствии щелочей:



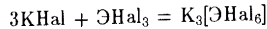
Из растворов обычно выделяются производные, отвечающие составу $M_2^{+1}[Ga_2O(OH)_6]$, $M_3^{+2}[Ga(OH)_6]_2$. При сплавлении оксидов \mathcal{E}_2O_3 с основными оксидами образуются оксосоединения типа $\mathcal{E}MO_2$.

Галогениды элементов подгруппы галлия $\mathcal{E}Hal_3$ во многом напоминают $AlHal_3$. Трифториды $\mathcal{E}F_3$, как и AlF_3 , имеют координационную решетку (см. рис. 69, B). Трихлориды $\mathcal{E}Cl_3$ имеют слоистую решетку, а $\mathcal{E}Br_3$ и $\mathcal{E}I_3$ (а также $GaCl_3$) — молекулярную решетку, состоявшую из димерных молекул \mathcal{E}_2Hal_6 . Различие в структуре $\mathcal{E}Hal_3$ сказывается на их температуре плавления: $\mathcal{E}F_3$ — тугоплавки, $\mathcal{E}Hal_3$ — легкоплавки:

	InF_3	$InCl_3$	$InBr_3$	InI_3
Т. пл., °С	1170	586	420	207
$\Delta H_f^{\circ}, \text{ кДж/моль}$	-1029	-537	-418	-247
$\Delta G_f^{\circ}, \text{ кДж/моль}$	-962	-460	-372	-142

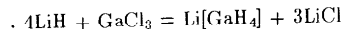
Вследствие гидратации галогениды $\mathcal{E}Hal_3$ растворяются с выделением теплоты (трифториды нерастворимы). В парах и органических растворителях тригалогениды находятся в виде молекул \mathcal{E}_2Hal_6 , по структуре аналогичных Al_2Hal_6 (см. рис. 194).

Галогениды $\mathcal{E}Hal_3$ — кислотные соединения; с основными галогенидами образуют комплексные галогениды типа $M_3^{+1}[\mathcal{E}Hal_6]$ и $M^{+1}[\mathcal{E}Hal_4]$:



Для галлия (III), как и для алюминия (III), наиболее характерны фторокомплексы. Индий (III) и талий (III), наоборот, образуют устойчивые комплексы с хлором, бромом $[InCl_6]^{3-}$, $[TlCl_6]^{3-}$, $[InBr_6]^{3-}$, $[TlBr_6]^{3-}$; для $Tl(III)$ характерны комплексы с иодом.

Гидриды галлия и индия $\mathcal{E}H_3$, подобно AlH_3 , полимерны. Являются кислотными соединениями. Так, в неводных растворах образуются гидридогаллаты (III), например $Li[GaH_4]$, $Tl[GaH_4]$:



В качестве смешанного гидрида алюминия-индия можно рассматривать гидридоалюминат индия(III), который образуется в эфирной среде по обменной реакции:



В ряду $BH_4^- - AlH_4^- - GaH_4^-$ устойчивость падает. Ион BH_4^- довольно

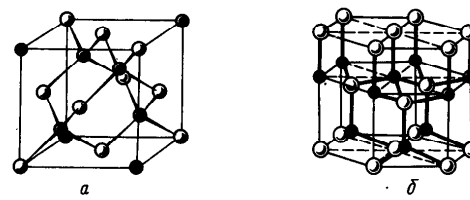
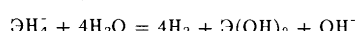
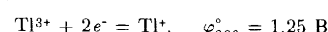


Рис. 198. Кристаллическая структура с тетраэдро-тетраэдрической координацией атомов:
а — сфалерит; б — вюрцит

устойчив в водном растворе, а соли AlH_4^- и GaH_4^- активно гидролизуются (иногда со взрывом):



Соединения $Tl(III)$ — сильные окислители:



Подобно B и Al , галлий и индий с p -элементами V группы образуют соединения типа $A^{III}B^V$ (где A^{III} — p -элемент III группы, B^V — p -элемент V группы). Эти соединения изоэлектронны соответствующим простым веществам p -элементов IV группы. В большинстве соединений типа $A^{III}B^V$ атомы находятся в состоянии sp^3 -гибридизации, т.е. в тетраэдрической координации друг относительно друга. Основные типы кристаллических структур с тетраэдрическим расположением связей показаны на рис. 198.

Кристаллические решетки, изображенные на рис. 198, а и б, получили свое название от соответствующих модификаций сульфида цинка ZnS — *сфалерита* (кубическая решетка) и *вюрцита* (гексагональная решетка).

Типы кристаллических решеток бинарных соединений, образуемых этими элементами, приведены в табл. 36.

Однаковый характер гибридизации валентных орбиталей атомов предопределяет далеко идущую аналогию между простыми веществами p -элементов IV группы и соединениями, образованными элементами, равноотстоящими от IV группы. Так, межъядерное расстояние в кристаллах AlP (0,235 нм), $GaAs$ (0,243 нм), $InSb$ (0,280 нм) практически равны расстояниям в изоэлектронных им кристаллах Si

Таблица 36. Структура соединений типа $A^{III}B^V$, $A^{II}B^VI$ и $A^I B^{VII}$

$A^{III}B^V$				$A^{II}B^VI$				$A^I B^{VII}$				
N	P	As	Sb	Bi	O	S	Se	Te	F	Cl	Br	I
B	s	s	?	-	Be	w	s	s	Li	NaCl	NaCl	NaCl
Al	w	s	s	-	Mg	NaCl	NaCl	NaCl	w	Na	NaCl	NaCl
Ga	w	s	s	-	Zn	w	w, s	w, s	w, s	Cu	s	s
In	w	s	s	CsCl	Cd	NaCl	w, s	w, s	s	Ag	NaCl	NaCl
Tl	-	-	CsCl	CsCl*	Hg	-	s	s	s	Au	-	?
												?

Условные обозначения структур: *s* — типа сфалерита, *w* — типа вюрцита, NaCl — типа каменной соли; CsCl* — искаженной структуры типа CsCl.

(0,235 нм), Ge (0,245 нм) и α -Sn (0,280 нм). То же самое следует сказать о средней энергии связи E_{AB} , которая близка энергии связи в изоэлектронных простых веществах, например GaAs (150 кДж/моль) и Ge (163 кДж/моль), InSb (134 кДж/моль) и α -Sn (150 кДж/моль).

Как в ряду простых веществ C—Si—Ge—Sn—Pb, в ряду изоэлектронных им соединений BN—AlP—GaAs—InSb—TlBi прочность ковалентной связи уменьшается, а возможность ее делокализации возрастает. Соответственно падают температура плавления и твердость, уменьшается ширина запрещенной зоны (рис. 199), понижается эффективный заряд атома A^{III} , а при переходе от InSb к TlBi (как и от α -Sn к Pb) изменяется и тип кристаллической решетки, например:

	BN	AlP	GaAs	InSb	TlBi	
Тип кристаллической решетки	<i>s</i>	<i>s</i>	<i>s</i>	<i>s</i>	Гранецентрированная кубическая	
$d_{\text{ЭХ}}$, нм	0,158	0,235	0,243	0,280	—	
$E_{\text{ЭХ}}$, кДж/моль	—	210	150	134	—	
Т. пл., °C	—	2000	1237	536	—	
ΔE , эВ	4,6	3,0	1,53	0,27	(металл)	

Об этом же свидетельствует внешний вид соединений: BN похож на алмаз, AlP — желтовато-серая масса, GaAs — темно-серое со смолистым блеском вещество; InSb имеет вид светло-серого сплава с металлическим блеском; TlBi — металлический сплав.

Аналогично изменяются свойства изоэлектронных и изоструктурных соединений типа $A^{II}B^VI$ и $A^I B^{VII}$ в подгруппах с возрастанием атомного номера элементов.

В изоструктурных рядах соединений типа $A^{III}B^V$ — $A^{II}B^VI$ — $A^I B^{VII}$ по мере увеличения различий в химической природе элементов увеличивается доля ионной связи, что также расширяет запрещенную зону:

	Ge	GaAs	ZnSe	CuBr
ΔE , эВ	0,78	1,53	2,6	2,94
Тип решетки	<i>s</i>	<i>w, s</i>	<i>s</i>	<i>s</i>

Тетраэдрическую структуру имеет большая группа соединений типа $A^{II}B^IVC_2^V$ (ZnSiP₂, CdGeAs₂, ZnGeAs₂), типа $A^I B^{III}C_2^{IV}$ (CuInS₂, AgGaSe₂, CuAlS₂) и др. Для них характерна структура типа халькопирита CuFeS₂ (см. рис. 135).

Многие алмазоподобные соединения — полупроводники. Они представляют большой интерес как материал для выпрямителей переменного тока, усилителей, фотоэлементов, датчиков термоэлектрических генераторов и др. Многие из них успешно конкурируют с полупроводниковыми германием и кремнием.

Соединения галлия (I), индия (I) и таллия (I). Для таллия (I) известны многочисленные соединения, производные же галлия (I) и индия (I) неустойчивы и являются сильными восстановителями.

Ион Tl⁺ имеет радиус (0,144 нм), близкий к радиусу ионов K⁺ (0,133 нм), Rb⁺ (0,148 нм) и Ag⁺ (0,126 нм). Поэтому химия таллия (I) напоминает химию щелочных металлов и химию серебра. Соединения Tl(I) — преимущественно ионные, характеризуются высокими координационными числами (6 и 8). Например,

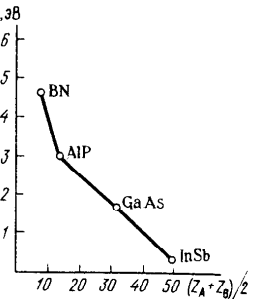
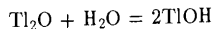


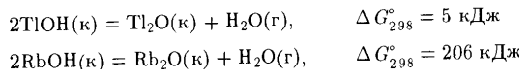
Рис. 199. Зависимость ширины запрещенной зоны ΔE в соединениях типа $A^{III}B^V$ от среднеарифметического атомного номера

TlF имеет структуру типа NaCl, а TlCl, TlBr, TlI — типа CsCl. Большинство соединений Tl(I) в воде растворяется; нерастворимы TlCl, TlBr, TlI, Tl₂S.

По химическим свойствам соединения таллия(I) основные. Они или не гидролизуются, или же, гидролизуясь, образуют щелочную среду. Так, черный оксид Tl_2O (т. пл. $300^{\circ}C$) хорошо растворяется в воде:

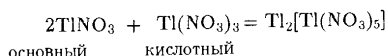
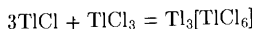


Гидроксид TiOH (желтого цвета) — сильное основание, но (в отличие от NaOH , RbOH) отщепляет воду при нагревании (100°C):



В этом проявляется сходство с химией серебра, гидроксид которого неустойчив и распадается при получении.

Как и для щелочных металлов, для таллия (I) комплексообразование не характерно; он обычно не образует даже кристаллогидратов. В реакциях комплексообразования ион Tl^+ обычно переходит во внешнюю сферу комплексных соединений, например:



Как и соединения серебра (I), соединения таллия (I) обладают светочувствительностью: при освещении они разлагаются. Действием сильных окислителей производные таллия (I) можно перевести в соединения таллия (III). Соединения галлия, индия и таллия ядовиты.

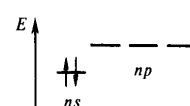
ГЛАВА 8. ЭЛЕМЕНТЫ И ГРУППЫ ПЕРИОДИЧЕСКОЙ СИСТЕМЫ ДИМЕНДЕЛЕЕВА

К s -элементам II группы относятся *типические* элементы — бериллий Be и магний Mg и элементы *подгруппы кальция* — кальций Ca, стронций Sr, барий Ba, радий Ra. Некоторые константы этих элементов приведены ниже:

510

	${}^{4}\text{Be}$	${}^{12}\text{Mg}$	${}^{20}\text{Ca}$	${}^{38}\text{Sr}$	${}^{56}\text{Ba}$	${}^{88}\text{Ra}$
Атомная масса	9,01	24,31	40,08	87,62	137,33	[226]
Валентные электроны . .	$(2)2s^2$	$(8)3s^2$	$(8)4s^2$	$(8)5s^2$	$(8)6s^2$	$(8)7s^2$
Металлический радиус атома, нм	0,113	0,160	0,197	0,216	0,221	0,235
Радиус иона Э^{2+} , нм . .	0,034	0,074	0,104	0,120	0,138	0,144
Энергия ионизации $\text{Э}^0 \rightarrow \text{Э}^+$, эВ	9,32	7,65	6,11	5,69	5,21	5,28
$\text{Э}^+ \rightarrow \text{Э}^{2+}$, эВ	18,21	15,04	11,87	11,03	10,0	10,1
Содержание в земной коре, % (мод. дол.)	$1,2 \cdot 10^{-3}$	2,0	2,0	$1 \cdot 10^{-2}$	$0,9 \cdot 10^{-3}$	$1 \cdot 10^{-10}$

В соответствии со строением валентного электронного слоя



s-элементы II группы проявляют степень окисления +2.

Как и в других главных подгруппах, в ряду рассматриваемых элементов с увеличением атомного номера энергия ионизации атомов уменьшается (см. рис. 12), радиусы атомов (см. рис. 15) и ионов увеличиваются, металлические признаки химических элементов усиливаются.

§ 1. БЕРИЛЛИЙ

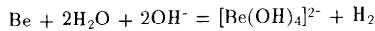
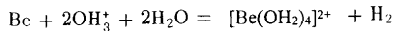
У бериллия ($1s^22s^2$) по сравнению с бором ($1s^22s^22p^1$) в соответствии с увеличением радиуса атома и уменьшением числа валентных электронов неметаллические признаки проявляются слабее, а металлические усиливаются. Бериллий обладает более высокими энергиями ионизации атома ($E_1 = 9,32$ эВ, $E_2 = 18,21$ эВ), чем остальные s-элементы II группы. В то же время он во многом сходен с алюминием (диагональное сходство в периодической системе) и является типичным амфотерным элементом: для него характерны комплексные ионы как катионного, так и анионного типа. Во всех устойчивых соединениях степень окисления бериллия +2. Для Be(II) наиболее характерно координационное число 4 (sp^3 -гибридизация валентных орбиталей).

В земной коре бериллий находится в виде минералов: **берилл** $\text{Be}_3\text{Al}_2(\text{SiO}_3)_6$, **фенакит** Be_2SiO_4 . Окрашенные примесями прозрачные

разновидности берилла (зеленые изумруды, голубые аквамарин и др.) — драгоценные камни. В настоящее время их получают искусственно.

Простое вещество. Бериллий в виде простого вещества — металл (т. пл. 1287 °С, т. кип. 2507 °С) серо-стального цвета, имеет плотную гексагональную кристаллическую решетку, довольно тверд и хрупок. На воздухе, как и алюминий, покрывается оксидной пленкой, придающей ему матовый оттенок и обуславливающей пониженную химическую активность. При нагревании бериллий горает в кислороде и на воздухе, взаимодействует с серой, азотом. С галогенами реагирует при обычных температурах или при небольшом нагревании. Все эти реакции сопровождаются выделением значительного количества теплоты, что определяется большой прочностью кристаллических решеток продуктов взаимодействия: BeO, BeS, Be₃N₂ и др. С водородом в обычных условиях Be не реагирует.

Защитная оксидная пленка препятствует взаимодействию бериллия ($\varphi_{298}^{\circ} = -1,85$ В) с водой. Но, подобно алюминию, он реагирует с кислотами и щелочами, с выделением водорода, образуя катионные и анионные комплексы:

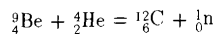


В концентрированных холодных кислотах HNO₃ и H₂SO₄ бериллий (как и Al) пассивируется.

С металлами бериллий образует интерметаллические соединения. Бериллиды ряда d-элементов состава MBe₁₂ (M = Ti, Nb, Ta, Mo), MBe₁₁ (M = Nb, Ta) и другие имеют высокую температуру плавления и не окисляются при нагревании до 1200—1600 °С.

Бериллий используют в качестве легирующей добавки к сплавам, придающей им повышенную коррозионную стойкость, высокую прочность и твердость. Наиболее ценные сплавы Cu—Be (бериллиевые бронзы), содержащие до 2,5% Be. Сплавы бериллия применяют в самолетостроении, электротехнике и др.

В атомных реакторах бериллий используется как замедлитель и отражатель нейтронов. В смеси с препаратами радиоактивных изотопов бериллий образующихся при действии на ⁹Be альфа-частиц:

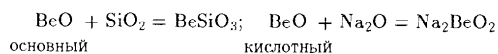


Бериллий получают электролизом расплава BeCl₂ (с добавкой Na⁺ при 300 °С) или магниттермическим восстановлением BeHal₂.

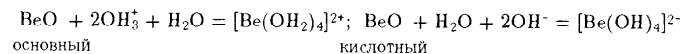
Соединения бериллия (II). Большинство неорганических соединений бериллия (II) в обычных условиях полимерны и являются кристаллическими веществами белого цвета. Независимо от типа кристаллических решеток соединений координационное число бериллия 4. В кислых водных растворах ионы Be²⁺ находятся в виде прочных аквакомплексов [Be(OH₂)₄]²⁺; в сильно щелочных растворах — в виде ионов [Be(OH)₄]²⁻.

Оксид BeO имеет структуру типа вюрцита (см. рис. 198), отличается высокой энергией кристаллической решетки и высокой энергией Гиббса образования ($\Delta G_f^\circ = -582$ кДж/моль). Он тугоплавок (т. пл. 2530 °С), теплопроводен; предварительно прокаленный (при 400 °С) химически неактивен. Применяют BeO в качестве химически стойкого и огнеупорного материала для изготовления тиглей и специальной керамики, а в атомной энергетике — как замедлитель и отражатель нейтронов. BeO входит в состав некоторых стеклообразующих смесей.

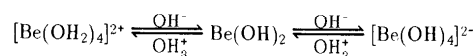
Будучи амфотерным, BeO взаимодействует при сплавлении и с основными, и с кислотными оксидами:



При нагревании BeO взаимодействует с кислотами и щелочами:

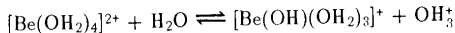


Гидроксид Be(OH)₂ — полимерное соединение, в воде не растворяется. Получение гидроксида бериллия и его отношение к кислотам и щелочам можно выразить следующей суммарной схемой:

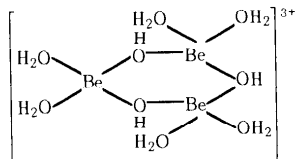


Как показывает схема, в кислых средах (избыток ионов OH₃⁺) устойчивы аквакомплексы бериллия (II), в щелочных (избыток ионов OH⁻) — гидроксобериллат (II)-комpleксы. При кристаллизации соединений из кислых водных растворов аквакомплексы переходят в состав кристаллогидратов с четырьмя молями воды: BeSO₄·4H₂O, BeCl₂·4H₂O, Be(NO₃)₂·4H₂O и др. Выделение кристаллогидратов с меньшим или большим числом молекул воды свидетельствует об образовании производных многоядерных комплексов.

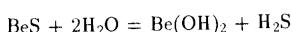
Вследствие относительно высокого поляризующего действия иона Be²⁺ его соли подвергаются заметному гидролизу:



В зависимости от концентрации раствора и типа присутствующих в растворе анионов механизмы гидролиза существенно различаются. В частности, образующиеся при гидролизе гидроксоаквакомплексы $[Be(OH)(OH_2)_5]^{+}$, $[Be_2(OH)(OH_2)_6]^{3+}$ (см. табл. 24) затем полимеризуются в многоядерные комплексы, например $[Be_3(OH)_5(OH_2)_6]^{3+}$, вероятно, следующего строения:

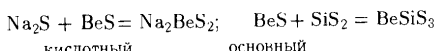


При связывании ионов H^+ (например, анионами CO_3^{2-} , SH^-) полимеризация может идти вплоть до образования полимерного гидроксила.



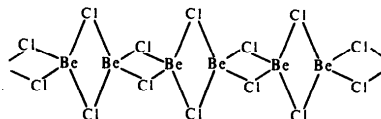
Гидроксбериллаты в водных растворах существуют лишь при большом избытке щелочи, в противном случае они полностью гидролизуются. Растворимы только бериллаты *s*-элементов I группы.

Сульфид берилля BeS — кристаллическое вещество со структурой типа сфалерита (см. рис. 198, а). Образуется взаимодействием простых веществ. В горячей воде полностью гидролизуется. Амфотерная природа BeS проявляется при сплавлении с основными и кислотными сульфидами:



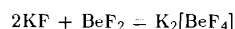
Сульфилобериллаты (II) разрушаются водой.

Из галогенидов бериллия наибольшее значение имеют фторид и хлорид. Дильторид BeF_2 существует в нескольких модификациях, аналогичных по структуре соответствующим модификациям диоксида кремния SiO_2 (сравните рис. 60 и 69, Б). Как и кремнезем, BeF_2 легко переходит в стеклообразное состояние. Стакловидный BeF_2 получают термическим разложением $(\text{NH}_4)_2\text{BeF}_4$. Другие галогениды $\text{Be}(\text{II})$ также полиморфны. Одна из модификаций BeCl_2 имеет волокнистое строение:

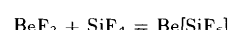


Вследствие координационной структуры температура плавления соответствующих модификаций BeF_2 выше (~800 °C), чем остальных галогенидов $\text{Be}(\text{II})$ (~450 °C). Галогениды BeCl_2 , BeBr_2 и BeI_2 гигроскопичны и на воздухе расплываются; при их растворении в воде выделяется теплота; они растворимы также в органических растворителях.

Амфотерность BeHal_2 наиболее отчетливо проявляется у фторида. Так, при нагревании BeF_2 с основными фторидами образуются фторобериллаты (рис. 200), например:



При взаимодействии BeF_2 с кислотными фторидами образуются соли берилля:



Тетрафторобериллаты по кристаллической структуре (рис. 201) и растворимости во многом напоминают однотипные тетраоксоксультфаты, что объясняется одинаковой тетраэдрической структурой и близкими размерами ионов BeF_4^{2-} и SO_4^{2-} . Кроме BeF_4^{2-} -иона возможны полимерные фторобериллат-ионы, например типа

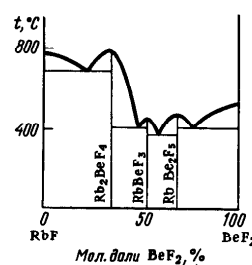


Рис. 200. Диаграмма плавкости системы RbF - BeF₂

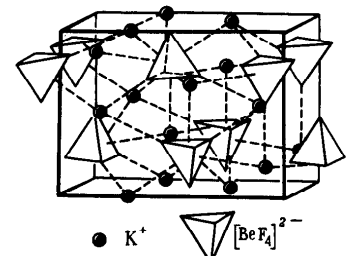
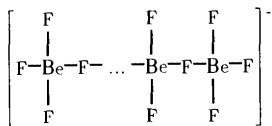


Рис. 201. Структура K_2BeF_4

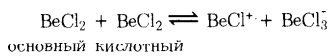


Из подобных цепных анионов построен, например, NaBeF_3 .

Структурное сходство между BeF_2 и SiO_2 распространяется и на их производные. Полимерные фторобериллаты по структуре аналогичны оксосиликатам; например, NaBeF_3 имеет однотипное строение с CaSiO_3 ; Na_2BeF_4 с Ca_2SiO_4 , NaLiBeF_4 с CaMgSiO_4 ; Li_2BeF_4 с Zn_2SiO_4 и т.д. Сходны также диаграммы плавкости соответствующих систем. Полимерные фторобериллаты могут находиться в стеклообразном состоянии.

Другие галогенобериллаты не характерны.

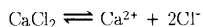
Присущая бериллию как амфотерному элементу склонность образовывать катионные и анионные комплексы проявляется и при расплавлении его соединений. Так, расплавленный BeCl_2 состоит из ионов BeCl_4^+ и BeCl_3^- :



Так же ведут себя при расплавлении соединения и других элементов амфотерного характера, например:

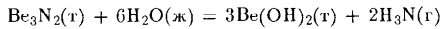


Таким образом, и в этом случае амфотерные элементы не образуют простых ионов, а лишь комплексные. Однотипные же соединения металлических элементов при этом распадаются на слабо сольватированные простые ионы, например:



В соответствии со сказанным расплавленные соединения металлических элементов проявляют высокую, а амфотерных элементов — пониженную электрическую проводимость.

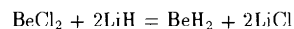
Нитрид Be_3N_2 — кристаллическое вещество, получается при нагревании бериллия в атмосфере азота выше 1000°C . Бесцветен, очень тверд, тугоплавок (т. пл. 2200°C). Разлагается водой при нагревании:



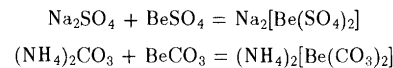
При действии кислот разложение протекает достаточно активно.

Об амфотерном характере Be_3N_2 свидетельствует существование двойных нитридов, например BeSiN_2 и LiBeN , которые можно рассматривать соответственно как нитридосиликат (IV) бериллия и нитридо-бериллат (II) лития.

Гидрид BeH_2 — твердое полимерное вещество, по свойствам подобное AlH_3 . При его разложении водой выделяется водород. Сильный восстановитель. Гидрид бериллия ($\Delta G_f^\circ = 115,7 \text{ кДж/моль}$) из проптых веществ не образуется. Его можно получить взаимодействием BeCl_2 с LiH в эфирном растворе:



Соли бериллия и кислородсодержащих кислот выделяются из растворов обычно в виде кристаллогидратов, которые по структуре и свойствам, естественно, существенно отличаются от безводных производных. Большинство солей бериллия растворимо в воде, нерастворимы BeCO_3 , $\text{Be}_2(\text{PO}_4)_2$ и некоторые другие. Для бериллия весьма характерны двойные соли — бериллаты со сложными лигандами, например:



За счет последней реакции нерастворимый в воде BeCO_3 растворяется в насыщенных растворах карбонатов s-элементов I группы или аммония. В разбавленных растворах эти бериллаты разлагаются.

Соединения бериллия ядовиты.

§ 2. МАГНИЙ

Магний заметно отличается от бериллия размерами атома и иона (радиусы ионов Be^{2+} и Mg^{2+} соответственно равны $0,034$ и $0,078 \text{ нм}$). От своего соседнего элемента по периоду — алюминия — магний отличается меньшим числом валентных электронов и относительно большим размером атома. Поэтому у магния металлические признаки проявляются сильнее, чем у бериллия и алюминия. В частности, для магния менее характерно образование ковалентной связи и более характерно образование ионной связи. В этом отношении он ближе к типичным металлическим элементам — элементам подгруппы кальция.

Магний — один из наиболее распространенных элементов на Земле. Он входит в состав силикатных минералов (среди них преобладает оливин Mg_2SiO_4), карбонатных минералов — доломита $\text{CaMg}(\text{CO}_3)_2$, магнезита MgCO_3 . Важное техническое значение имеет минерал кар-

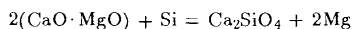
нналлит $KCl \cdot MgCl_2 \cdot 6H_2O$. Большое количество магния содержится в морской воде (до 0,38% $MgCl_2$) и в воде некоторых озер (до 30% $MgCl_2$).

Простое вещество. Магний в виде простого вещества — белый металл (пл. 1,74 г/см³, т. пл. 650 °C, т. кип. 1095 °C), на воздухе окисляется и приобретает матовый оттенок. Он мягче и пластичнее бериллия.

Магний — активный металл. Легко взаимодействует с галогенами; при нагревании сгорает на воздухе, окисляется серой и азотом. С соответствующими металлами образует эвтектические смеси, твердые растворы и интерметаллические соединения, которые входят в состав его сплавов. Наиболее важный сплав магния — электрон (3—10% Al, 0,2—3% Zn, остальное Mg), который благодаря его прочности и малой плотности (1,8 г/см³) применяют в ракетной технике и авиастроении.

В электрохимическом ряду напряжений магний расположен перед водородом ($\varphi_{298}^{\circ} = -2,36$ В). С холодной водой взаимодействует очень медленно, так как образующийся при этом $Mg(OH)_2$ плохо растворим; при нагревании реакция ускоряется за счет растворения $Mg(OH)_2$ в кислотах растворяется очень энергично, за исключением кислот (HF, H_3PO_4), образующих с ним малорастворимые соединения. Со щелочами магний практически не взаимодействует.

Основную массу производимого магния получают электролизом расплавленного карналлита или дихлорида магния, в который для понижения температуры плавления (до 720—750 °C) добавляют $NaCl$ или другие хлориды. Магний получают также металлотермическим и углеродным методами. При металлотермическом методе прокаленный доломит $CaO \cdot MgO$ восстанавливают в электропечах (при 1200—1300 °C) в вакууме ферросилицием или алюмосилицием:



При углеродном методе магний получают восстановлением его из соединений углем в электропечах (при 2100 °C). Для получения чистого магния (99,999% Mg) технический магний многократно сублимируют в вакууме.

Магний в основном используется для производства "сверхлегких" сплавов, в металлотермии — для производства Ti, Zr, V, U и др. Смеси его порошка с окислителями применяются для осветительных и зажигательных ракет, снарядов, в фото- и осветительной технике.

Соединения магния (II). Во всех устойчивых соединениях степень окисления магния +2, а координационное число 6. Ниже приведены некоторые сведения о соединениях Mg (II).

	Mg ₂ Si	Mg ₃ P ₂	MgS	MgCl ₂
$\Delta H_f^{\circ}, 298$, кДж/моль	-26	-107	-177	-641
К. ч. Mg	4	4	6	6
К. ч. Э	8	6	6	3

Степень окисления +2 часто проявляется и в металлидах (Mg_3Al_2 , Mg_3Sb_2 , Mg_2Pb). Бинарные соединения Mg в зависимости от электроотрицательного элемента могут быть соединениями преимущественно от металлических до ионных. Так, Mg_3Al_2 — типично металлическое соединение, а $MgCl_2$ — ионное.

По химической природе соединения Mg(II) преимущественно основные. Некоторые из них, например, $MgCl_2$, $MgSO_4$, $Mg(NO_3)_2$, в обычных условиях гидролизу не подвергаются, другие создают слабощелочную среду.

Большинство солей Mg(II) растворимы в воде. Плохо растворимы соли слабых кислот ($Mg_3(PO_4)_2$, $MgCO_3$, MgF_2). В водных растворах ионы Mg^{2+} находятся в виде бесцветных гексааквакомплексов $[Mg(OH_2)_6]^{2+}$, которые входят в состав ряда его кристаллогидратов: $MgCl_2 \cdot 6H_2O$, $Mg(NO_3)_2 \cdot 6H_2O$, $Mg(ClO_4)_2 \cdot 6H_2O$, $MgSiF_6 \cdot 6H_2O$ и др. Структура гексагидрата дихлорида магния $MgCl_2 \cdot 6H_2O$ (минерал *бишофит*) показана на рис. 202. Существуют также кристаллогидраты с 1—12 молекулами воды (рис. 203).

Безводные соли Mg(II) весьма гигроскопичны, в особенности $Mg(ClO_4)_2$, который энергично поглощает влагу (до 60% от своей массы). Вследствие чрезвычайной гигроскопичности $Mg(ClO_4)_2$ (под

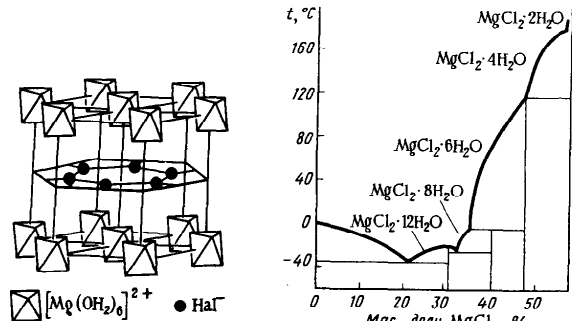


Рис. 202. Структура бишофита $MgCl_2 \cdot 6H_2O$

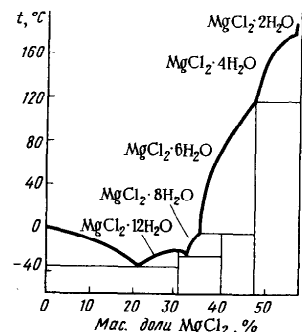
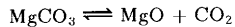


Рис. 203. Диаграмма плавкости системы $H_2O - MgCl_2$

названием *анидрон*) широко используют для сушки газов (H_2 , CO_2 , O_2 , H_2S и др.).

Анионные комплексы для Mg(II) не характерны, но весьма разнообразны двойные соединения типа смешанных карбоната $\text{CaCO}_3 \cdot \text{MgCO}_3$ (*доломит*), нитрида $\text{Li}_3\text{N} \cdot \text{Mg}_3\text{N}_2$ (*LiMgN*) и др. Весьма характерны также кристаллогидраты типа $\text{KCl} \cdot \text{MgCl}_2 \cdot 6\text{H}_2\text{O}$ (*карналлит*), $\text{M}_2\text{SO}_4 \cdot \text{MgSO}_4 \cdot 6\text{H}_2\text{O}$ (*шескиты*) и др. Доломит применяют в качестве облицовочного материала.

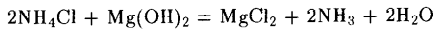
Оксид MgO (*жженая магнезия*) — тугоплавкое (т. пл. 2800°C) вещество. В технике его получают термическим разложением карбоната:



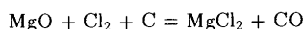
Мелкокристаллический MgO химически активен, является основным соединением. Он взаимодействует с водой, поглощает CO_2 , легко растворяется в кислотах. Но сильно прокаленный MgO становится очень твердым, теряет химическую активность.

Жженую магнезию применяют в производстве магния, в качестве наполнителя в производстве резины, для очистки нефтепродуктов, в производстве оgneупоров, строительных материалов и др.

Гидроксид $\text{Mg}(\text{OH})_2$ — кристаллическое вещество со слоистой структурой (см. рис. 236, б). В воде растворяется незначительно, является основанием средней силы ($K_{\text{b}_2} = 2,5 \cdot 10^{-3}$). В частности, из насыщенных растворов соединений HN_4^+ вытесняет аммиак:



Кроме оксида широкое применение находит MgCl_2 . Его кристаллы образованы октаэдрическими структурными единицами MgCl_6 , объединенными в слой (см. рис. 236, б). Дихлорид получают хлорированием MgO , в присутствии угля:



или обезвоживанием $\text{MgCl}_2 \cdot 6\text{H}_2\text{O}$, добываемого из морской воды. Дихлорид в основном применяется для получения магния, в производстве *магнезиального цемента*. Последний получают смешиванием предварительно прокаленного MgO с 30%-ным водным раствором MgCl_2 . Вследствие образования полимерных цепей эта смесь постепенно превращается в белую твердую массу, устойчивую по отношению к кислотам и щелочам.

С водородом Mg непосредственно не взаимодействует, но косвенным путем можно получить гидрид состава MgH_2 . По сравнению с преиму-

щественно ковалентными гидридами BeH_2 и AlH_3 в MgH_2 более отчетливо проявляется ионная связь. Гидрид магния — нелетучее твердое вещество, более термически устойчивое, чем гидриды бериллия и алюминия. MgH_2 разлагается водой. Известны также гидридборат $\text{Mg}[\text{BH}_4]_2$ и гидridoалюминат $\text{Mg}[\text{AlH}_4]_2$ магния.

§ 3. ПОДГРУППА КАЛЬЦИЯ

Кальций Ca, стронций Sr, барий Ba и радий Ra в отличие от ранее рассмотренных элементов имеют относительно большие атомные радиусы и низкие значения потенциалов ионизации. Поэтому в условиях химического взаимодействия кальций и его аналоги легко теряют валентные электроны и образуют простые ионы E^{2+} . Поскольку ионы E^{2+} имеют электронную конфигурацию s^2p^6 и большие размеры (т.е. слабо поляризуют), комплексные ионы с неорганическими лигандами у элементов подгруппы кальция неустойчивы.

В земной коре кальций находится в виде смеси шести, стронций — четырех, барий — семи стабильных изотопов, из которых наиболее распространены ^{40}Ca (96,97%), ^{88}Sr (82,56%) и ^{138}Ba (71,66%). Радий устойчивых изотопов не имеет.

Кальций — один из наиболее распространенных элементов на Земле. Большая его часть содержится в виде силикатов и алюмосиликатов в изверженных горных породах (граниты, гнейсы и др.). Из других пород наиболее распространены известняки и мел, состоящие в основном из минерала *кальцита* CaCO_3 . Значительно реже встречается окристаллизованная форма кальцита — *мрамор*. Широко распространены *анидрит* CaSO_4 и *илл* $\text{CaSO}_4 \cdot 2\text{H}_2\text{O}$. Важны для промышленности минералы *флюорит* CaF_2 , *апатит* $\text{Ca}_5(\text{PO}_4)_3$ (F, Cl, OH) и др. В качестве продуктов выветривания минералов соединения кальция содержатся в большинстве природных вод и в основном обуславливают их жесткость.

Важнейшие минералы стронция и бария: *стронцианит* SrCO_3 , *витерит* BaCO_3 , *целестин* SrSO_4 , *барит* (*тяжелый шпат*) BaSO_4 . Радий обычно содержится в урановых рудах.

Простые вещества. В виде простых веществ кальций и его аналоги — серебристо-белые металлы (см. табл. 28). На воздухе, правда, они тотчас покрываются желтоватой пленкой продуктов взаимодействия с составными частями воздуха. Кальций довольно тверд, стронций и барий мягче. Барий в этом отношении напоминает свинец. Приведем основные константы рассматриваемых металлов (и для сравнения константы Be и Mg):

	Be	Mg	Ca	Sr	Ba	Ra
Пл., г/см ³	1,85	1,74	1,54	2,63	3,76	~ 6
Тип решетки	текс.	текс.	гр. ц. к.	гр. ц. к.	об. ц. к.	
T. пл., °С	1287	650	842	768	727	991
T. кип., °С	2507	1095	1495	1390	1640	1500
S_{298}° , Дж/(К·моль)	9,35	32,7	41,6	55,8	62,5	69
Электрическая проводимость	5	21	21	4	—	—
$\Delta H_{\text{возд}}^{298}$, кДж/моль . . .	327,4	150,2	191,0	151,8	195,0	162
$\varphi^{\circ} \mathcal{E}^{2+} + 2e = \mathcal{E}, V$	-1,85	-2,36	-2,87	-2,89	-2,90	—

Кальций, стронций и барий энергично взаимодействуют с активными неметаллами уже при обычных условиях. С менее активными (такими, как азот, водород, углерод, кремний и др.) щелочно-земельные металлы реагируют при более или менее сильном нагревании. Реакции сопровождаются выделением большого количества теплоты. Активность взаимодействия в ряду Ca—Sr—Ba возрастает. При нагревании щелочно-земельные металлы взаимодействуют с другими металлами, образуя сплавы, в состав которых входят различные интерметаллические соединения.

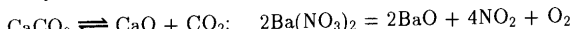
В электрохимическом ряду напряжений кальций и его аналоги располагаются далеко впереди водорода. Взаимодействие с водой, даже на холода, сопровождается растворением, поскольку образуются при этом более или менее растворимые гидроксиды. Активность взаимодействия с водой в ряду Ca—Sr—Ba заметно возрастает.

Кальций получают электролизом его расплавленного хлорида. Барий и стронций обычно получают алюмотермическим методом из оксидов.

Вследствие высокой химической активности щелочно-земельные металлы хранят под керосином в запаянных сосудах (кальций в плотно закрывающихся металлических банках).

Соединения кальция (II), стронция (II), бария (II). Неорганические соединения кальция и его аналогов представляют собой кристаллические вещества, в большинстве с высокими температурами плавления.

Оксиды получают в лаборатории термическим разложением соответствующих карбонатов или нитратов:



в технике — термическим разложением природных карбонатов. Оксиды энергично взаимодействуют с водой, образуя более или менее

растворимые основания $\mathcal{E}(\text{OH})_2$ и выделяя большое количество теплоты. Энталпия гидратации $\Delta H_{\text{гидр}}$ в ряду $\text{CaO}-\text{SrO}-\text{BaO}$ возрастает.

Гидроксиды $\mathcal{E}(\text{OH})_2$ — сильные основания, по силе уступающие лишь гидроксидам щелочных элементов I группы.

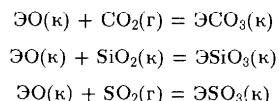
Приведем некоторые сведения об оксидах и гидроксидах рассматриваемых элементов (а также, для сравнения, об оксидах и гидроксидах Be и Mg):

	Be	Mg	Ca	Sr	Ba
Радиус иона \mathcal{E}^{2+} , нм	0,034	0,074	0,104	0,120	0,133
Теплота гидратации $\mathcal{E}\text{O}$					
$\Delta H_{\text{гидр}}^{\circ}$, кДж/моль . . .	-23	-37	-65	-83	-106
Растворимость $\mathcal{E}(\text{OH})_2$					
при 20°C, моль/л	$8 \cdot 10^{-6}$	$5 \cdot 10^{-4}$	$2 \cdot 10^{-2}$	$7 \cdot 10^{-2}$	$2 \cdot 10^{-1}$
$K_{\text{ф2}} \mathcal{E}(\text{OH})_2$	—	$2,5 \cdot 10^{-3}$	$4,0 \cdot 10^{-3}$	$1,5 \cdot 10^{-1}$	$2,3 \cdot 10^{-1}$

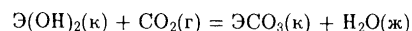
В ряду $\text{Be}(\text{OH})_2-\text{Mg}(\text{OH})_2-\text{Ca}(\text{OH})_2-\text{Sr}(\text{OH})_2-\text{Ba}(\text{OH})_2$ усиливается основный характер гидроксидов. В том же направлении усиливаются растворимость и термическая устойчивость.

Раствор $\text{Ba}(\text{OH})_2$ (*баритовая вода*) — лабораторный реагент для открытия CO_2 . Гидроксид $\text{Ca}(\text{OH})_2$ (*известковое молоко, ташеная известка*) применяется в качестве дешевого растворимого основания.

Об усилении основных свойств в ряду $\text{BeO}-\text{BaO}$ можно судить по значениям ΔG_{298}° реакций их взаимодействия с соответствующим оксидом:

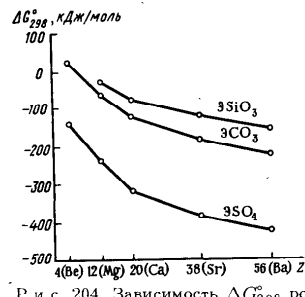


Из рис. 204 видно, что отрицательное значение ΔG_{298}° этих реакций возрастает с увеличением атомного номера \mathcal{E} . Аналогично можно показать усиление основных свойств в ряду $\text{Ca}(\text{OH})_2-\text{Sr}(\text{OH})_2-\text{Ba}(\text{OH})_2$ по значениям ΔG_{298}° реакций образования $\mathcal{E}\text{CO}_3$:



	BeCO_3	MgCO_3	CaCO_3	SrCO_3	BaCO_3
ΔG_{298}° , кДж/моль	30	-38	-75	-110	-112

Об усилении основных свойств однотипных соединений в ряду $\text{Ca(II)}-\text{Sr(II)}-\text{Ba(II)}$ свидетельствует также увеличение устойчивости



солей с одинаковым сложным анионом. Сравнение термической устойчивости карбонатов щелочно-земельных металлов было рассмотрено ранее (ч. 2, раздел I, гл. 4, § 1).

А вот другой пример:



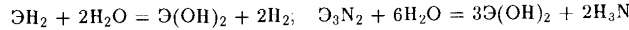
По мере усиления основных признаков в ряду $\text{CaF}_2-\text{SrF}_2-\text{BaF}_2$ устойчивость в ряду $\text{CaBeF}_4-\text{SrBeF}_4-\text{BaBeF}_4$ заметно возрастает: фторобериллат бария плавится без разложения (при 1080°C), а

фторобериллат кальция при нагревании (до 890°C) разлагается на

CaF_2 и BeF_2 .

Из солей и солеподобных соединений в воде хорошо растворимы лишь ЭCl_2 , ЭBr_2 , ЭI_2 , $\text{Э(NO}_3)_2$; более или менее растворимы ЭS , Э(OH)_2 , Э(SH)_2 , а также большинство кислых солей: $\text{Э(HSO}_4)_2$, $\text{Э(HCO}_3)_2$ и др.

Соли и солеподобные соединения кальция и его аналогов гидролизу либо не подвергаются [ЭHal_2 , $\text{Э(NO}_3)_2$, ЭSiF_6 и др.], либо дают щелочную среду:



В качестве производных катионных комплексов Ca(II) и его аналогов можно рассматривать их некоторые кристаллогидраты. Например: $\text{CaCl}_2 \cdot 6\text{H}_2\text{O}$, $([\text{Ca}(\text{OH})_2]_6\text{Cl}_2)$. Склонностью к образованию кристаллогидратов объясняется гигроскопичность соединений. В частности, из-за высокой гигроскопичности CaCl_2 применяется в качестве обезвоживающего средства.

С солями s^1 - и s^2 -элементов соли Ca(II) , Sr(II) и Ba(II) образуют либо твердые растворы ($\text{KMnO}_4-\text{BaSO}_4$, $\text{KBF}_4-\text{BaSO}_4$), либо эвтектические смеси ($\text{NaCl}-\text{BaCl}_2$, $\text{CaCl}_2-\text{BaCl}_2$).

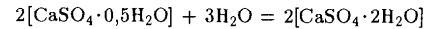
Высокая активность кальция и его аналогов проявляется также в их способности образовывать многочисленные перекисные соединения, например *пероксиды* ЭO_2 , *надпероксиды* $\text{Э(O}_2)_2$, *персульфины* ЭS_n ($n = 2-5$), *перкарбиды* ЭC_2 . В ряду $\text{Ca(II)}-\text{Sr(II)}-\text{Ba(II)}$ устойчивость этих соединений возрастает.

Вяжущие материалы. Природные соединения кальция широко применяются в производстве вяжущих материалов. Последние представляют собой порошкообразные вещества, образующие при смешении с водой пластичную массу, затвердевающую в твердое прочное тело. Вяжущие материалы используются в строительных растворах (для скрепления камней, кирпичей, отдельных элементов сооружений), для изготовления бетона, строительных деталей и конструкций. К вяжущим веществам относятся цементы, гипсовые материалы, известняк и др.

По химическому составу цементы представляют собой главным образом силикаты и алюминаты кальция, т.е. в их состав входят Si и Al — химические элементы, особо склонные к образованию гетероцепочных полимеров (в основе которых лежат связи $\text{Si}-\text{O}-\text{Si}$ и $\text{Al}-\text{O}-\text{Al}$). В зависимости от относительного содержания силикатов и алюминатов различают *силикатный цемент (портландцемент)* и *алюминатный (алиноземистый)*.

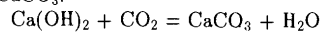
Силикатные цементы синтезируют обжигом (при $1400-1600^{\circ}\text{C}$) до спекания тонкоизмельченной смеси известняка и богатой SiO_2 глины. При этом частично разрушаются связи $\text{Si}-\text{O}-\text{Si}$ и $\text{Al}-\text{O}-\text{Al}$, образуются относительно простые по структуре силикаты и алюминаты кальция и выделяется CO_2 . Тонко измельченный цементный клинкер, будучи замешан с водой в тестообразную массу, постепенно твердеет. Этот переход (схватывание цемента) обусловливается сложными процессами гидратации и поликонденсации составных частей клинкера, приводящими к образованию силикатов и алюминатов кальция.

Гипсовые материалы — это прежде всего *жженый гипс*, или *алебастр*, — гидрат состава $2\text{CaSO}_4 \cdot \text{H}_2\text{O}$. Его получают обжигом гипса (при $150-180^{\circ}\text{C}$). При замачивании теста из порошка $2\text{CaSO}_4 \cdot \text{H}_2\text{O}$ с водой происходит присоединение воды, сопровождающееся затвердеванием всей массы вследствие закристаллизования:



На этом основано применение гипса при изготовлении строительных перегородочных плит и панелей, слепков с различных предметов, а также в виде известково-гипсовых растворов для штукатурных работ и т.д.

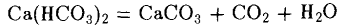
В качестве вяжущего материала служит также смесь гашеной извести с песком и водой (*известковый раствор*). Известковый раствор затвердевает за счет перехода $\text{Ca}(\text{OH})_2$ при поглощении CO_2 воздуха в кристаллический CaCO_3 :



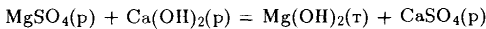
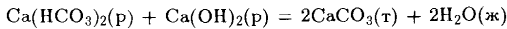
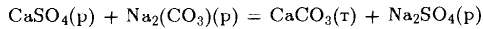
Одновременно образуются силикаты кальция (за счет SiO_2 песка).

Жесткость воды. Как уже говорилось выше, наличие в природной воде солей кальция и магния обуславливает ее жесткость. Различают временную и постоянную жесткость воды. Временную жесткость придают воде гидрокарбонаты, постоянную — сульфаты и хлориды Ca(II) и Mg(II).

Жесткость воды устраниют физическими и химическими методами. Временная жесткость устраняется кипячением воды. При этом гидрокарбонаты переходят в нерастворимые карбонаты:



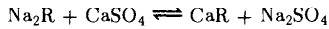
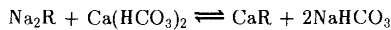
Химическое умягчение воды основано на введении в воду реагентов, обогащающих ее анионами CO_3^{2-} и OH^- , в результате чего образуются малорастворимые CaCO_3 и $\text{Mg}(\text{OH})_2$. Для этого природную воду обрабатывают гашеной известью или содой:



Для удаления ионов Ca^{2+} и Mg^{2+} можно применять также фосфаты натрия, буру, поташ и др.

Широкое распространение в технике получил метод устранения жесткости воды путем ионного обмена. В этом методе используется способность некоторых природных и искусственных высокомолекулярных соединений — ионитов — обменивать входящие в их состав радикалы на ионы, находящиеся в растворе.

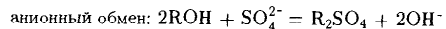
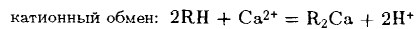
По характеру обменяемых ионов среди ионитов различают катиониты и аниониты. Катионитами являются алюмосиликаты типа цеолитов, например $\text{Na}_2[\text{Al}_2\text{Si}_2\text{O}_8] \cdot n\text{H}_2\text{O}$, искусственно приготовленные гидратированные алюмосиликаты — перлутиты, ряд силикатов и др. Происходящий между алюмосиликатом и жесткой водой обмен ионами можно схематически представить следующими уравнениями реакций:



где R — сложный алюмосиликатный анион $[\text{Al}_2\text{Si}_2\text{O}_8 \cdot n\text{H}_2\text{O}]^{2-}$.

Для умягчения воды применяют также различные искусственные органические высокомолекулярные вещества, называемые ионообменными смолами. Катионообменные смолы содержат активные группы $-\text{SO}_3\text{H}$, $-\text{COOH}$, $-\text{OH}$, в которых атом водорода способен замещаться

на катионы. В анионообменных смолах активными являются основные группы $-\text{NH}_2$, $=\text{NH}$, $\equiv\text{N}$. Обменными анионами служат OH^- -группы, которые образуются на поверхности смолы в процессе ее гидратации. Пропуская природную воду через систему катионитов и анионитов, можно получить дистиллированную воду:



где R — сложный органический радикал.

Кроме умягчения и обессоливания воды иониты широко используются в гидрометаллургии для извлечения благородных, цветных и редких металлов (Ag, Cu, Ni, Co и др.), а также для разделения близких по химическим свойствам элементов. Ионный обмен широко используется в аналитической химии.

ГЛАВА 9. s -ЭЛЕМЕНТЫ И ГРУППЫ ПЕРИОДИЧЕСКОЙ СИСТЕМЫ Д.И.МЕНДЕЛЕЕВА

s -Элементы I группы являются щелочными металлами — литий Li, натрий Na и элементы подгруппы калия — калий K, рубидий Rb, цезий Cs и франций Fr. Некоторые сведения об этих элементах приведены ниже:

	${}_3\text{Li}$	${}_11\text{Na}$	${}_19\text{K}$	${}_37\text{Rb}$	${}_55\text{Cs}$	${}_87\text{Fr}$
Атомная масса	6,94	22,99	39,1	85,47	132,9	[223]
Валентные электроны	(2)2s ¹	(8)3s ¹	(8)4s ¹	(8)5s ¹	(8)6s ¹	(8)7s ¹
Металлический радиус атома, нм . . .	0,155	0,189	0,236	0,248	0,268	0,280
Радиус иона E^+ , нм	0,068	0,098	0,133	0,149	0,165	0,175
Энталпия гидратации $\Delta H_{\text{гидр}} \text{E}^+$, кДж/моль	-500	-390	-305	-280	-246	-
Энергия ионизации, эВ $\text{E}^0 \rightarrow \text{E}^+$	5,39	5,14	4,34	4,18	3,89	3,98
$\text{E}^0 \rightarrow \text{E}^{2+}$	75,6	47,3	31,8	27,5	25,1	-

Содержание в земной коре, %						
(мол. доли)	0,02	2,4	1,4	$7 \cdot 10^{-3}$	$9,5 \cdot 10^{-9}$	-
Природные изотопы	$^{7\text{Li}}$ (92,70%)	$^{23\text{Na}}$ (100%)	$^{39\text{K}}$ (93,10%)	$^{85\text{Rb}}$ (72,15%)	$^{133\text{Cs}}$ (100%)	-
	$^{6\text{Li}}$ (7,30%)		$^{41\text{K}}$ (6,88%)	$^{87\text{Rb}}$ (27,85%, β -рад.)		
			$^{40\text{K}}$ (0,02%, β -рад.)			

Атомы рассматриваемых элементов имеют один валентный электрон. По сравнению с элементами других подгрупп у них наиболее низкие первые энергии ионизации, а размеры атомов и ионов наибольшие. Таким образом, у щелочных металлов наиболее сильно выражены металлические признаки. При этом с увеличением атомного номера в подгруппе возрастает размер атомов (см. рис. 15) и уменьшается их энергия ионизации (см. рис. 12). Все это свидетельствует об усилении в ряду Li—Fr металлических признаков элементов.

Так как вторая энергия ионизации атомов щелочных металлов значительно больше, чем первая, они проявляют степень окисления +1. Для некоторых из них получены соединения, в которых они проявляют степень окисления -1. В подобного типа соединениях они существуют в виде отрицательного заряженных ионов E^- . Возможность таких соединений определяется тем, что атомы щелочных металлов обладают средством к электрону (см. табл. 6).

§ 1. ЛИТИЙ

Литий Li от остальных щелочных металлов отличает большее значение энергии ионизации и небольшой размер атома и иона. Литий по свойствам напоминает магний (диагональное сходство в периодической системе).

Для лития наиболее характерно образование ионной связи. Поэтому координационное число Li в соединениях в отличие от остальных элементов 2-го периода больше 4. Вместе с тем вследствие небольшого размера ион лития характеризуется высокой энергией сольватации, а в литийорганических соединениях литий образует ковалентную связь.

Литий достаточно широко распространен в земной коре.

Наиболее ценные минералы сподумен $\text{LiAl}(\text{SiO}_3)_2$, амблиоинит $\text{LiAl}(\text{PO}_4)\text{F}$ и лепидолит $\text{Li}_2\text{Al}_2(\text{SiO}_3)_3(\text{F}, \text{OH})_2$.

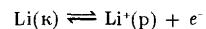
Простое вещество. В виде простого вещества литий — мягкий серебристо-белый металл (т. пл. 180,5 °C, т. кип. 1336,6 °C). Из металлов он самый легкий (пл. 0,539 г/см³).

Литий химически очень активен. С кислородом и азотом взаимодействует при обычных условиях, поэтому на воздухе тотчас окисляется, образуя темно-серый налет продуктов взаимодействия (Li_2O , Li_3N). При температуре выше 200 °C загорается. В атмосфере фтора и хлора, а также брома и иода самовоспламеняется при обычных условиях. При нагревании непосредственно соединяется с серой, углем, водородом и другими неметаллами. Будучи накален, горит в CO_2 .

С металлами литий образует интерметаллические соединения. С магнием, алюминием, цинком и с некоторыми другими металлами, кроме того, образует ограниченные твердые растворы. Заметно отличающаяся атомным радиусом от остальных щелочных металлов, дает с ними эвтектические смеси.

Литий придает сплавам ряд ценных физико-химических свойств. Например, у сплавов алюминия с содержанием до 1% Li повышается механическая прочность и коррозионная стойкость, введение 2% Li в техническую медь значительно увеличивает ее электрическую проводимость и т.д.

По химической активности литий уступает некоторым металлам. Его стандартный электродный потенциал имеет наиболее отрицательное значение ($\varphi_{298}^{\circ} = -3,05 \text{ В}$) по сравнению со всеми другими металлами. Это обусловлено большой энталпиией гидратации иона Li^+ , что обеспечивает значительное смещение равновесия

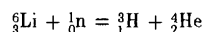


в сторону ионизации металла. Для слабо сольватирующих растворителей (например, в расплавах солей) значение его электродного потенциала соответствует его меньшей химической активности в ряду щелочных металлов.

Литий энергично разлагает воду, выделяя из нее водород, еще легче взаимодействует с кислотами.

Получают литий электролизом расплава эвтектической смеси $\text{LiCl}-\text{KCl}$. Его хранят под слоем вазелина или парафина в запаянных сосудах.

Важнейшей областью применения лития является атомная энергетика. Его используют как источник получения трития:



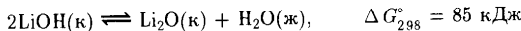
а также в качестве теплоносителя в атомных реакторах.

Соединения лития (I). Бинарные соединения лития — бесцветные кристаллические вещества; являются солями или соленоидными соединениями. По химической природе, растворимости и характеру гидролиза они напоминают производные кальция и магния. Плохо растворимы LiF , Li_2CO_3 , Li_3PO_4 и др.

Пероксидные соединения для лития малохарактерны. Однако для него известны пероксид Li_2O_2 , персульфид Li_2S_2 и перкарбид Li_2C_2 .

Оксид лития Li_2O — белое твердое вещество. Получается взаимодействием простых веществ. Активно реагирует с водой, образуя гидроксид. С кислотами, кислотными и амфотерными оксидами образует соли.

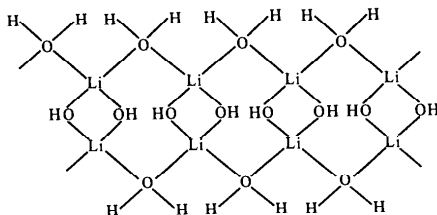
Гидроксид лития LiOH — бесцветное очень гигроскопическое вещество, растворимое в воде. Сильное основание ($K_b = 6,75 \cdot 10^{-1}$). Однако по растворимости и силе LiOH уступает гидроксидам остальных s-элементов I группы. При накаливании LiOH (в отличие от ЭОН других щелочных металлов) разлагается:



LiOH получают электролизом водных растворов LiCl . Применяется как электролит в аккумуляторах.

В отличие от $\text{Be}(\text{II})$ аквакомплексы $\text{Li}(\text{I})$ менее устойчивы.

В кристаллогидратах молекулы воды часто участвуют в образовании мостиковых связей. Так, в $\text{LiOH} \cdot \text{H}_2\text{O}$ ион Li^{+} окружен четырьмя атомами кислорода (два от OH-групп и два других от молекул H_2O), образующими искаженный тетраэдр. Тетраэдры попарно соединены общими ребрами (за счет атомов кислорода OH-групп). Соседние пары тетраэдров связаны общими вершинами (через атомы кислорода молекул H_2O) и образуют бесконечную цепь состава $\text{LiOH} \cdot \text{H}_2\text{O}$:



Цепи связаны друг с другом за счет водородной связи.

В кристалле $\text{LiClO}_4 \cdot 3\text{H}_2\text{O}$ каждый ион Li^{+} находится в центре октаэдра из молекул H_2O ; но каждая молекула H_2O принадлежит двум таким октаэдрам,

образуя гексагональные столбики состава $[\text{Li}_2(\text{OH}_2)_6]^{2+}$, между которыми помещаются ионы ClO_4^- .

При взаимодействии (совместной кристаллизации или сплавлении) солей лития с однотипными соединениями других щелочных металлов образуются эвтектические смеси, например $\text{LiNO}_3 - \text{KNO}_3$ (т. пл. 132°C), $\text{LiNO}_3 - \text{NaNO}_3 - \text{KNO}_3$ (т. пл. 350°C) и др. Значительно реже образуются двойные соединения, например $\text{M}^{+1}\text{LiSO}_4$, $\text{Na}_3\text{Li}(\text{SO}_4)_2 \cdot 6\text{H}_2\text{O}$, и твердые растворы.

Расплавы солей и их смесей составляют важный класс неводных растворителей. В них растворяется большинство металлов. Эти растворы имеют интенсивную окраску и являются очень сильными восстановителями. Растворенные металлы находятся в них либо в атомном состоянии, либо в виде сольватированных ионов необычно низкой степени окисления (Al^{+} , Ba^{+} , Ca^{+}). Растворение металлов в расплавленных солях важно для многих электрометаллургических и металлургических процессов, для рафинирования металлов, проведения различных синтезов.

Соединения, растворяясь в расплавленных солях, ионизируются, образуя сольватированные ионы. Например, при растворении CoCl_2 расплавленной эвтектике $\text{LiNO}_3 - \text{KNO}_3$ образуется сольватированный ион $[\text{Co}(\text{NO}_3)_6]^{4-}$, а при добавлении к этому раствору KCl получается ион $[\text{CaCl}_4]^{2+}$. В расплавленных солях могут протекать реакции как без изменения, так и с изменением степени окисления элементов.

§ 2. НАТРИЙ

Натрий — один из наиболее распространенных элементов на Земле. Он обнаружен в атмосфере Солнца и в межзвездном пространстве. Важнейшие минералы натрия: NaCl (каленная соль, галит), $\text{Na}_2\text{SO}_4 \cdot 10\text{H}_2\text{O}$ (лирабилит, глауберова соль), Na_3AlF_6 (криолит), $\text{Na}_2\text{B}_4\text{O}_7 \cdot 10\text{H}_2\text{O}$ (бура) и др. В сочетании с другими элементами он входит в состав многих природных силикатов и алюмосиликатов. Огромно содержание солей натрия в гидросфере (около $1,5 \cdot 10^{16}$ т).

Соединения натрия входят в растительные и животные организмы, в последнем случае главным образом в виде NaCl . В крови человека ионы Na^{+} составляют 0,32%, в костях — 0,6%, в мышечной ткани — 0,6–1,5%.

Простое вещество. В виде простого вещества натрий — легкий (пл. 0,97 $\text{г}/\text{см}^3$), мягкий серебристо-белый металл со сравнительно невысокими температурами плавления ($97,8^\circ\text{C}$) и кипения ($882,9^\circ\text{C}$).

По химическим свойствам это активнейший металл. На воздухе тотчас окисляется, образуя рыхлые продукты окисления. При обыч-

ной температуре самовоспламеняется в атмосфере фтора и хлора. При небольшом подогревании энергично взаимодействует с жидким бромом, серой, иодом, водородом и др.

С многими металлами натрий образует интерметаллические соединения. Например, с оловом он дает ряд соединений: NaSn_6 , NaSn_4 , NaSn_3 , NaSn_2 , NaSn , Na_2Sn , Na_3Sn и др. С некоторыми металлами дает твердые растворы. Эвтектический сплав 24% Na и 76% K в обычных условиях представляет собой жидкость (т. пл. $-12,6^\circ\text{C}$).

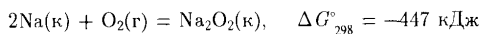
Натрий используется в металлотермии. Металлический натрий и его жидкий сплав с калием используются в органическом синтезе. Как восстановитель часто применяется амальгама натрия. Натрий используется также в качестве теплоносителя в ядерных энергетических установках, клапанах авиационных двигателей, в химических производственных, где требуется равномерный обогрев в пределах 450–650 $^\circ\text{C}$.

Натрий получают электролизом расплавленного NaCl и реже NaOH . При производстве натрия из NaCl (т. пл. 800°C) температуру плавления электролита снижают (до 575 – 585°C) добавкой KCl , CaCl_2 , NaF или других солей. Натрий хранят в запаянных сосудах или под слоем керосина.

Соединения натрия (I). Для натрия (I) наиболее характерны ионные соединения. Его соединения имеют кристаллическое строение, отличаются большой или меньшей тугоплавкостью, в расплавленном состоянии являются электролитами, хорошо растворяются в воде. Трудно растворимы немногочисленные производные со сложными анионами, например гексагидроксостибат(V) $\text{Na}[\text{Sb}(\text{OH})_6]$. Сравнительно мало растворим (в отличие от карбоната) его гидрокарбонат.

Поскольку поляризующее действие иона Na^+ незначительно, комплексные соединения для натрия нехарактерны. Даже аквакомплексы малоустойчивы. Поэтому большинство его солей кристаллогидраты не образуют. Относительно устойчивые кристаллогидраты типа $\text{Na}_2\text{SO}_4 \cdot 10\text{H}_2\text{O}$, $\text{Na}_2\text{CO}_3 \cdot 10\text{H}_2\text{O}$ являются соединениями включения.

Для натрия образование пероксидных соединений более характерно, чем для лития. Так, взаимодействуя с кислородом, он (в отличие от лития) образует не оксид, а пероксид:

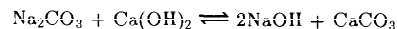


Оксид же натрия Na_2O получают косвенным путем — восстанавливая Na_2O_2 металлическим натрием. Известны также малоустойчивые озонид NaO_3 и надпероксид натрия NaO_2 . При сплавлении натрия с серой образуются персульфиды типа Na_2S_2 , Na_2S_3 , Na_2S_4 и Na_2S_5 .

Из соединений натрия важное значение в технике имеют его хлорид, гидроксид, карбонаты и многочисленные другие производные.

Хлорид натрия встречается в природе в огромных месторождениях. Он является основой для целого ряда важнейших производств, таких, как производство натрия, едкого натра, соды, хлора и др.

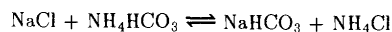
Гидроксид натрия (едкий натр, каустическая сода) — очень сильное основание — щелочь ($K_b = 5,9$). В громадных количествах потребляются самыми разнообразными отраслями промышленности, главные из которых — производство мыл, красок, целлюлозы и др. Получают NaOH либо электролизом водных растворов NaCl , либо химическими методами. Из последних наилучшим распространенным известковым способом. В его основе лежит реакция взаимодействия раствора карбоната натрия (соды) с гидроксидом кальция (гашеной известкой):



Равновесие реакции смешено в сторону образования NaOH из-за плохой растворимости CaCO_3 . Обработанная таким образом сода становится едкой (по-гречески каустической). Поэтому-то получаемый таким путем гидроксид натрия и называется *каустической содой*.

Потребляют карбонаты натрия многие отрасли промышленности: химическая, мыловаренная, бумажная, текстильная, пищевая и др. Карбонаты натрия вырабатываются или в виде Na_2CO_3 (кальционированный карбонат натрия), или в виде кристаллогидрата $\text{Na}_2\text{CO}_3 \cdot 10\text{H}_2\text{O}$ (кристаллическая сода), или в виде гидрокарбоната NaHCO_3 (питьевая сода).

Сода чаще всего производится по аммиачно-хлоридному методу, основанному на реакции



равновесие которой смешено в сторону образования гидрокарбоната натрия ввиду его сравнительно малой растворимости. Кривые растворимости для солей, составляющих рассматриваемую систему, приведены на рис. 205.

Соду Na_2CO_3 можно получить также восстановлением сульфата натрия углем в присутствии карбоната кальция:

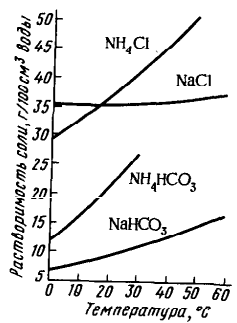
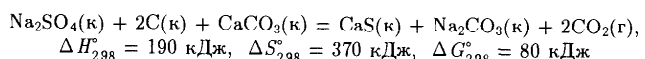


Рис. 205. Растворимость в воде NaCl , NH_4HCO_3 , NaHCO_3 и NH_4Cl

Поскольку эта реакция эндотермична, но протекает с увеличением энтропии системы, для ее осуществления необходимо нагревание.

§ 3. ПОДГРУППА КАЛИЯ

Элементы подгруппы калия — калий K, рубидий Rb, цезий Cs и франций Fr — наиболее типичные металлические элементы — катионогенны. При этом с повышением порядкового номера этот признак у элементов усиливается. Для них наиболее характерны соединения с преимущественно ионным типом связи. Вследствие незначительного поляризующего действия ионов (малый заряд, устойчивость электронной структуры, большие размеры), комплексообразование с неорганическими лигандами для K⁺, Rb⁺, Cs⁺ нехарактерно, даже кристаллоидраты для них почти неизвестны.

Наиболее важными минералами калия являются: *силевит* KCl, *сильвинит* NaCl·KCl, *карналлит* KCl·MgCl₂·6H₂O, *каинит* KCl·MgSO₄·3H₂O.

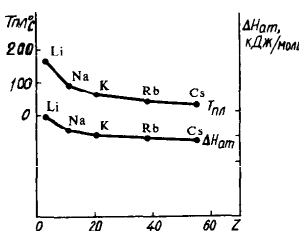


Рис. 206. Зависимость теплоты атомизации и температуры плавления щелочных металлов от атомного номера элемента

Вследствие малого периода полураспада изотопов сколько-нибудь заметных количеств франция накопить не удается, поэтому его свойства изучены недостаточно.

Простые вещества. В виде простых веществ калий и его аналоги — блестящие серебристо-белые (за исключением золотисто-желтого цезия) металлы. Как Li и Na, они имеют объемно-центрированную кристаллическую решетку (см. табл. 28). Основные физические константы этих металлов (и для сравнения лития и натрия) приведены ниже:

	Li	Na	K	Rb	Cs
Пл., г/см ³	0,539	0,97	0,86	1,5	1,9
Твердость (алмаз-10)	0,6	0,4	0,5	0,3	0,2
S_{299} , Дж/(К·моль)	28,6	51,6	71,5	76,7	84,4
Теплоемкость (H ₂ O = 1)	0,83	0,29	0,17	0,08	0,05
Электрическая проводимость (Hg = 1)	11	21	14	8	5
$\Delta H_{\text{возр}}^{\circ}$ кДж/моль	159,3	92,0	90,4	82,1	78,5
Т. пл., °С	180,5	97,8	63,6	39,5	28,4
Т. кип., °С	1336,6	882,9	760	750	685
φ_{299}° Э ⁺ + e ⁻ = Э, В (раств.)	-3,05	-2,71	-2,92	-2,93	-2,92
Э ⁺ + e ⁻ = Э, В (распл.)	-2,1	-2,43	-2,61	-2,74	-2,91

Как видно из приведенных данных, плотность K, Rb и Cs невелика (калий, подобно Li и Na, даже легче воды), температуры плавления и кипения невысокие. В соответствии с уменьшением энергии связи ($\Delta H_{\text{возр}}^{\circ}$) температуры плавления и кипения в ряду простых веществ уменьшаются (рис. 206). Эти металлы очень мягки и легко режутся ножом. Существенно, что от лития к натрию и далее к калию значения большинства констант меняются довольно резко.

Калий и его аналоги — исключительно реакционноспособные металлы. На воздухе калий быстро окисляется, образуя рыхлые продукты взаимодействия; цезий и рубидий самовоспламеняются.

В атмосфере фтора и хлора эти металлы самовоспламеняются. Взаимодействие их с жидким бромом сопровождается взрывом. При нагревании они легко взаимодействуют с серой, водородом и другими неметаллами. С металлами образуют большей частью интерметаллические соединения.

Калий и его аналоги располагаются в самом начале ряда напряжений. Взаимодействие калия с водой сопровождается самовоспламенением выделяющегося водорода, а взаимодействие рубидия и цезия — даже взрывом.

Рассматриваемые металлы при нагревании и освещении сравнительно легко теряют электроны. Эта способность делает их ценным материалом для изготовления фотозлементов.

В технике калий получают натрийтермическим методом из расплавленного гидроксида или хлорида, рубидий и цезий — методами металлотермии и термическим разложением соединений. Калий и его аналоги хранят в запаянных сосудах. Калий, кроме того, можно сохранять в керосине.

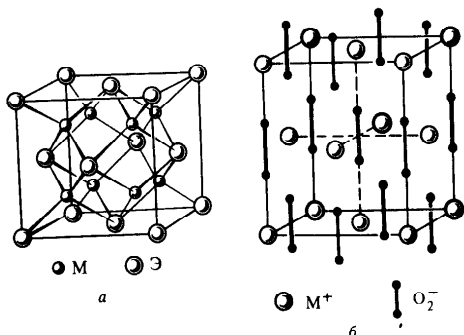


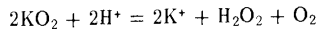
Рис. 207. Кристаллическая решетка оксидов M_2O (а) и надпероксидов MO_2 (б) ё-элементов I группы

Соединения калия (I), рубидия (I), цезия (I). Производные калия и его аналогов являются преимущественно солями и соленоидными соединениями. По составу, кристаллическому строению, растворимости и характеру сольволиза их соединения проявляют большое сходство с однотипными соединениями натрия.

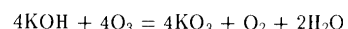
Кристаллы соединений щелочных металлов характеризуются высокими координационными числами. Так, гидриды ЭН имеют структуру типа $NaCl$. Галогениды ЭHal — структуру типа $NaCl$ и $CsCl$. Оксиды $\text{Э}_2\text{O}$, сульфиды $\text{Э}_2\text{S}$, селениды $\text{Э}_2\text{Se}$, теллуриды $\text{Э}_2\text{Te}$ калия и рубидия (а также Li и Na) имеют структуру типа антифлюорита (рис. 207, а), т.е. тетраэдро-кубическую координацию атомов.

В соответствии с усилением химической активности в ряду $K-Rb-Cs$ возрастает тенденция к образованию пероксидных соединений. Так, в отличие от лития, дающего при сгорании на воздухе оксид, и натрия, переходящего в тех же условиях в пероксид, K, Rb и Cs при сгорании образуют надпероксиды $\text{Э}_2\text{O}_2$ (рис. 207, б). Косвенным путем можно получить также пероксиды $\text{Э}_2\text{O}_2$, которые менее устойчивы, чем $Na_2\text{O}_2$.

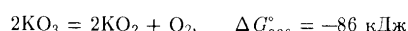
Пероксиды и надпероксиды — сильные окислители. Водой, а тем более разбавленными кислотами они легко разлагаются:



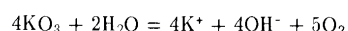
Еще более сильными окислителями являются озониды $\text{Э}\text{O}_3$. Они образуются при действии озона на твердые гидроксиды:



При хранении озониды постепенно разлагаются уже в обычных условиях:

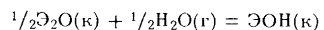


а в воде — бурно выделяя кислород:



Персыульфиды (полисульфиды) калия и его аналогов могут быть получены кипячением сульфидов с избытком серы (или при сплавлении сухих сульфидов с серой). Устойчивость полисульфидов в ряду $K-Rb-Cs$ также увеличивается. Для калия и его аналогов выделены и изучены все члены ряда $\text{Э}_2\text{S}_n$, плоть до $n = 6$ (тогда как для Na до $n = 5$, а для Li до $n = 2$).

Оксиды (белый K_2O , желтый Rb_2O и оранжевый Cs_2O), подобно Na_2O , — очень реакционноспособные вещества, энергично взаимодействуют с водой, образуя гидроксиды. Об усилении химической активности в ряду $Li_2O-Na_2O-K_2O-Rb_2O-Cs_2O$ можно судить по изменению значений энергии Гиббса для реакций



которая для $LiOH$ составляет -47 кДж/моль, для $NaOH$ -78 , для KOH -102 , для $RbOH$ -105 , для $CsOH$ -111 кДж/моль. Этот же пример свидетельствует о значительном изменении свойств при переходе от Li к Na и от Na к K. $\text{Э}_2\text{O}$ можно получить восстановлением $\text{Э}_2\text{O}_2$ металлами:



Гидроксиды ЭОН — бесцветные очень гигроскопические вещества. При накаливании они, подобно $NaOH$, возгораются без разложения. Хорошо растворяются в воде; при этом выделяется значительное количество теплоты. В растворе ЭОН ионизированы почти нацело и являются самыми сильными основаниями — щелочами. Из них наибольшее значение в технике имеет KOH (едкое кали). Его получают электролизом водного раствора KCl .

В противоположность аналогичным соединениям Li^+ и Na^+ их оксохлораты (VII) ЭClO_4 , хлорплатинаты (IV) $\text{Э}_2\text{PtCl}_6$, нитритокобальтаты (III) $\text{Э}_3[\text{Co}(\text{NO}_2)_6]$ и некоторые другие труднорастворимы.

Из производных подгруппы наибольшее значение имеют производные калия. Около 90% солей калия потребляется в качестве удобрений. Его соединения применяются также в производстве стекла, мыла и др.

ГЛАВА 10. *s*-И *p*-ЭЛЕМЕНТЫ VIII ГРУППЫ ПЕРИОДИЧЕСКОЙ СИСТЕМЫ Д.И.МЕНДЕЛЕЕВА

В главную подгруппу VIII группы входят гелий He, неон Ne, аргон Ar и элементы подгруппы криптона — криптон Kr, ксенон Xe, радон Rn. Их атомы имеют завершенную конфигурацию внешнего электронного слоя $1s^2$ (He) и ns^2np^6 :

	${}_2\text{He}$	${}_{10}\text{Ne}$	${}_{18}\text{Ar}$	${}_{36}\text{Kr}$	${}_{54}\text{Xe}$	${}_{86}\text{Rn}$
Атомная масса ..	4,0026	20,984	39,948	83,80	131,30	[222]
Валентные электроны	$1s^2$	$(2)2s^22p^6$	$(8)3s^23p^6$	$(18)4s^24p^6$	$(18)5s^25p^6$	$(18)6s^26p$
Радиус атома Э, нм	0,122	0,160	0,192	0,198	0,218	0,22
Энергия ионизации Э \rightarrow Э $^+$, эВ	24,59	21,57	15,76	14,00	12,13	10,75
Содержание в земной атмосфере, % (об. доли) ..	$5 \cdot 10^{-4}$	$1,8 \cdot 10^{-3}$	$9,3 \cdot 10^{-1}$	$1,1 \cdot 10^{-4}$	$8,6 \cdot 10^{-6}$	$6 \cdot 10^{-20}$

§ 1. ГЕЛИЙ

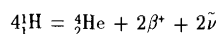
Гелий He по сравнению с другими элементами обладает наибольшей энергией ионизации атома (24,59 эВ). Особая устойчивость электронной структуры атома отличает гелий от всех остальных химических элементов периодической системы.

Гелий по физическим свойствам наиболее близок к молекулярному водороду. Вследствие ничтожной поляризуемости атомов гелия у него самые низкие температуры кипения (-269°C) и плавления (-272°C при $2,5 \cdot 10^6$ Па).

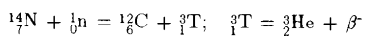
Гелий хуже других газов растворяется в воде и других растворителях. В 1 л воды, например, растворяется при 0°C менее 10 мл He, т.е. в два с лишним раза меньше, чем H_2 , и в 51 000 раз меньше, чем HCl .

В обычных условиях гелий химически инертен, но при сильном возбуждении атомов он может образовывать молекулярные ионы $\text{He}_2^+[\sigma_s^2\sigma_s^{*1}]$. В обычных условиях эти ионы неустойчивы; захватывая недостающий электрон, они распадаются на два нейтральных атома. Возможно также образование ионизированных молекул $\text{HeH}^+[\sigma_s^2]$.

Гелий — наиболее распространенный после водорода элемент космоса — состоит из двух стабильных изотопов: ${}^4\text{He}$ и ${}^3\text{He}$. Спектральный анализ показывает присутствие его в атмосфере Солнца, звезд, в meteorитах. Накапливание ядер ${}^4\text{He}$ во Вселенной обусловлено термоядерной реакцией, служащей источником солнечной и звездной энергии:



В земной коре гелий накапливается за счет α -распада радиоактивных элементов, содержится растворенным в минералах, в самородных металлах. Изотоп ${}^3\text{He}$ образуется за счет ядерных реакций, вызываемых космическим излучением, например:



Ядра гелия (α -частицы) чрезвычайно устойчивы и широко используются для проведения различных ядерных реакций.

В промышленности гелий в основном выделяют из природных газов методом глубокого охлаждения. При этом он, как самое низкокипящее вещество, остается в виде газа, тогда как все другие газы конденсируются.

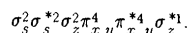
Газообразный гелий применяется для создания инертной атмосферы при сварке металлов, при консервации пищевых продуктов и др. Жидкий гелий применяется в лаборатории в качестве хладоагента в физике низких температур.

§ 2. НЕОН

Неон, как и гелий, обладает очень высоким ионизационным потенциалом (21,57 эВ), поэтому соединений валентного типа не образует.

Основное отличие его от гелия обуславливается относительно большей поляризуемостью атома, т.е. несколько большей склонностью образовывать межмолекулярную связь. Неон имеет очень низкие температуры кипения ($-245,9^\circ\text{C}$) и плавления ($-248,6^\circ\text{C}$), уступая лишь гелию и водороду. По сравнению с гелием у неона несколько большая растворимость и способность адсорбироваться.

Как и гелий, неон при сильном возбуждении атомов образует молекулярные ионы типа Ne_2^+ :



Неон получают совместно с гелием в качестве побочного продукта в процессе сжижения и разделения воздуха. Разделение гелия и неона

осуществляется за счет адсорбции или конденсации. Адсорбционный метод основан на способности неона в отличие от гелия адсорбироваться активированным углем, охлажденным жидким азотом. Конденсационный способ основан на вымораживании неона при охлаждении смеси жидким водородом.

Неон применяется в электровакуумной технике для наполнения стабилизаторов напряжения, фотоэлементов и других приборов. Различные типы неоновых ламп с характерным красным свечением употребляют на маяках и в других осветительных устройствах, в световой рекламе и т.п.

Природный неон состоит из трех стабильных изотопов: ^{21}Ne и ^{22}Ne .

§ 3. АРГОН

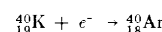
Валентный слой атома аргона, как и неона, содержит восемь электронов. Вследствие большой устойчивости электронной структуры атома (энергия ионизации 15,76 эВ) соединения валентного типа для аргона не получены. Имея относительно больший размер атома (молекулы), аргон более склонен к образованию межмолекулярных связей, чем гелий и неон. Поэтому аргон в виде простого вещества характеризуется несколько более высокими температурами плавления ($-184,3^\circ\text{C}$) и кипения ($-185,9^\circ\text{C}$). Он лучше адсорбируется.

Аргон образует молекулярные соединения включения — клатраты — с водой, фенолом, толуолом и другими веществами. Гидрат аргона примерного состава $\text{Ar} \cdot 6\text{H}_2\text{O}$ представляет собой кристаллическое вещество, разлагающееся при атмосферном давлении и температуре $-42,8^\circ\text{C}$. Его можно получить непосредственным взаимодействием аргона с водой при 0°C и давлении порядка $1,5 \cdot 10^7$ Па. С соединениями H_2S , SO_2 , CO_2 , HCl аргон дает двойные гидраты, т.е. смешанные кватраты.

Аргон получают при разделении жидкого воздуха, а также из отходов газов синтеза аммиака. Аргон применяют в металлургических и химических процессах, требующих инертной атмосферы (аргоно-дуговая сварка алюминиевых и алюмо-магниевых сплавов), в светотехнике (флюоресцентные лампы, лампы накаливания, разрядные трубы), в электротехнике, ядерной энергетике (ионизационные счетчики и камеры) и т.п.

На Земле аргон значительно более распространен, чем остальные благородные газы. Его объемная доля в земной атмосфере составляет $(0,93\%)$. Он находится в виде смеси трех стабильных изотопов: ^{40}Ar ($99,600\%$), ^{38}Ar ($0,063\%$) и ^{36}Ar ($0,337\%$). Изотоп ^{40}Ar образуется в

природных условиях при распаде изотопа ^{40}K за счет электронного захвата ($1s$ -электрона калия ядром):



§ 4. ПОДГРУППА КРИПТОНА

Криpton Kr, ксенон Xe и радон Rn характеризуются меньшей энергией ионизации атомов, чем типические элементы VIII группы. Поэтому элементы подгруппы криптона дают соединения обычного типа. Так, ксенон проявляет степени окисления $+2$, $+4$, $+6$ и $+8$. По характеру соединений ксенон напоминает близкий к нему по значению энергии ионизации иод.

Элементы подгруппы криптона отличаются от других благородных газов большими размерами атомов (молекул) и большей их поляризуемостью.

Увеличение поляризуемости молекул по мере роста размера атомов в ряду He—Ne—Ar—Kr—Xe характеризуется следующими соотношениями: 1:2:3:12:20 (поляризуемость молекула Xe в 20 раз выше, чем He). Возрастание поляризуемости сказывается на увеличении межмолекулярного взаимодействия, а это последнее — на возрастании температур кипения и плавления простых веществ:

	He	Ne	Ar	Kr	Xe	Rn
Радиус атома Э, нм	0,122	0,160	0,192	0,198	0,118	0,22
Т. кип., $^\circ\text{C}$	-269	-246	-186	-153	-108	-62
Т. пл., $^\circ\text{C}$	-272*	-249	-189	-157	-112	-71
Растворимость в 1 л воды						
при 0°C , мл	10	—	60	—	50	—

В ряду He—Ne—Ar—Kr—Xe—Rn усиливается также растворимость газов в воде и других растворителях, возрастает склонность к адсорбции и т.д. В твердом состоянии, подобно Ne и Ar, криpton ксенон и радон имеют кубическую гранецентрированную кристаллическую решетку (см. рис. 66, a).

В ряду He—Rn возрастает и устойчивость соединений включения. Так, температура, при которой упругость диссоциации кватратов $\text{Ar} \cdot 6\text{H}_2\text{O}$, $\text{Kr} \cdot 6\text{H}_2\text{O}$ и $\text{Xe} \cdot 6\text{H}_2\text{O}$ достигает атмосферного давления, соот-

*При давлении $2,5 \cdot 10^6$ Па.

ветственно равна: -43 , -28 , и -4 °С. Наоборот, чтобы получить при 0 °С гидрат ксенона, достаточно применить давление чуть большее атмосферного. Для получения гидратов криптона, аргона и неона необходимо давление соответственно в $1,5 \cdot 10^6$, $1,5 \cdot 10^7$ и $3 \cdot 10^7$ Па. Можно ожидать, что гидрат гелия удастся получить лишь под давлением порядка 10^8 Па.

Кроме гидратов, для элементов подгруппы криптона получены и другие молекулярные соединения клатратного типа (Б.А. Никитин). Различие в устойчивости клатратных соединений используется для разделения благородных газов. В промышленном масштабе криптон извлекают вместе с ксеноном при ректификации жидкого воздуха.

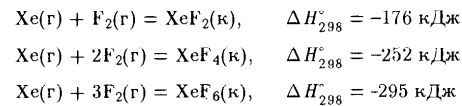
Криптон применяется в электровакуумной технике, смеси его с ксеноном используются в качестве наполнителей различного рода осветительных ламп и трубок. Радиоактивный радон находит применение в медицине (например, "радоновые ванны").

Таблица 37. Соединения благородных газов

Тип соединений	Соединения со степенью окисления благородного газа			
	+2	+4	+6	+8
Галогениды	KrF ₂ XeF ₂ , XeCl ₂ (RnF ₂)	XeF ₄ , XeCl ₄ (RnF ₄)	XeF ₆ (RnF ₆)	—
Оксиды	—	—	XeO ₃ XeOF ₄ XeO ₂ F ₂	XeO ₄ XeO ₃ F ₂
Оксифториды	—	—	[XeF][MF ₆] [KrF][MF ₆]	[XeF ₅][MF ₆] [XeOF ₃][MF ₆] Cs ₂ [XeF ₈]
Фторокомплексы *	Xe[ClO ₄] ₂ [XeF][NO ₃]	—	Ba ₃ XeO ₆ H ₂ XeO ₄	Ba ₂ XeO ₆ H ₄ XeO ₆
Соли оксокислот	—	—		
Кислоты	—	—		

* M = Pt, Ir, Os, Ru, Au, Nb, Ta, Sb.

Соединения криптона, ксенона, радона. Все многообразные соединения благородных газов получают, исходя из фторидов. Фториды же получают прямым синтезом из простых веществ. Образование фторидов ксенона происходит с выделением теплоты:

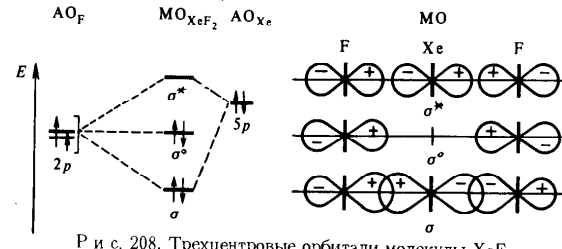


Ксенон горит в атмосфере фтора ярким пламенем. Состав получаемых продуктов окисления ксенона фтором зависит от состава исходной смеси, времени и условий взаимодействия. Синтез фторида криптона протекает сложнее. Этот процесс требует затраты энергии. Общий обзор соединений благородных газов приведен в табл. 37.

Как показывают расчеты, перевод p -электрона Kr и He в другие энергетические состояния требует большой затраты энергии. Так, возбуждение атома He от его нормального состояния $5s^25p^6$ в состояние $5s^25p^56s^1$ и $5s^25p^55d^1$ требует 795 и 960 кДж/моль, а возбуждение в состояние $5s^25p^45d^2$ и $5s^25p^45d^16s^1$ — 1760 и 1930 кДж/моль. Столь большая затрата энергии не компенсируется при формировании двухэлектронных двухцентровых связей.

Для объяснения образования соединений элементов подгруппы ксенона привлекают представление о трехцентровых четырехэлектронных (гипервалентных) связях (см. рис. 145). Так, в линейной молекуле XeF₂ за счет одной $5p$ -орбитали атома Xe и двух $2p$ -орбиталей атомов фтора образуются три молекулярные орбитали — связывающая, несвязывающая и разрывляющая (рис. 208). На эти молекулярные орбитали приходится четыре электрона, которые располагаются на связывающей и несвязывающей орбиталах. В результате образуется довольно прочная связь. Не связывающая орбиталь практически сосредоточена у атома фтора. В молекуле XeF₂ происходит смещение электронной плотности от атома Xe к атому F и эффективный заряд последнего оказывается отрицательным ($\delta_F = 0,5-$).

Таким образом, роль лигандов в соединениях благородных газов могут играть лишь наиболее электроотрицательные атомы типа фтора



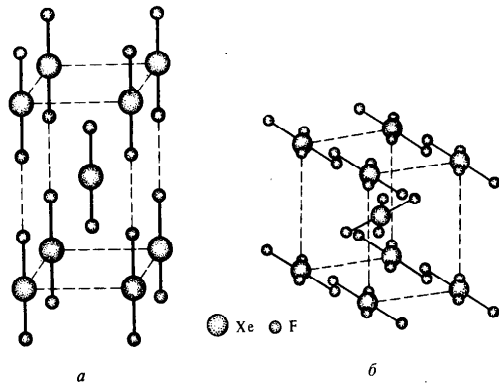
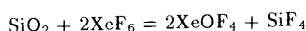


Рис. 209. Структура кристаллов XeF_2 (а) и XeF_4 (б)

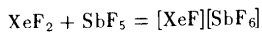
и кислорода. Кроме того, поскольку центральный атом выступает в роли донора электронной пары, то прочность связи должна в общем уменьшаться с увеличением значения его энергии ионизации. Отсюда становится понятным, почему наиболее устойчивы соединения ксенона, а для Не, Ne и Ar соединения неизвестны.

Поскольку каждая $5p$ -орбиталь атома ксенона способна к образованию линейного фрагмента $\text{F}-\text{Xe}-\text{F}$, аналогичным образом можно объяснить строение квадратной молекулы XeF_4 (см. рис. 51, к).

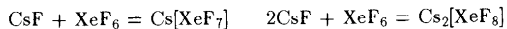
На рис. 209, а, б приведены структуры кристаллов XeF_2 (т. пл. 140°C) и XeF_4 (т. пл. 114°C). Гексафторид ксенона XeF_6 — белое кристаллическое вещество (т. пл. 46°C), устойчивое при комнатной температуре, чрезвычайно химически активное. Например, взаимодействует с SiO_2 :



Приведенный обзор показывает, что с ростом степени окисления ксенона наблюдается общая закономерность — ослабление основной и усиление кислотной природы однотипных соединений. Так, XeF_2 является основным соединением и может образовывать катионные комплексы, например, при взаимодействии с такими ярко выраженными кислотными соединениями, как SbF_5 (или PtF_5 , NbF_5 , TaF_5 и пр.):



В отличие от XeF_2 и XeF_4 фторид ксенона(VI) уже проявляет амфотерные свойства. При взаимодействии XeF_6 с более кислотными фторидами образуются производные катионного комплекса XeF_5^+ , например $[\text{XeF}_5][\text{SO}_3\text{F}]$. При взаимодействии же с более основными фторидами образуются гепта- или октофтороксеноны (VI), например:

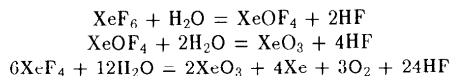


Фтороксеноны (VI) цезия и рубидия устойчивы (разлагаются выше 400°C).

О наличии у оксофторида ксенона (VI) XeOF_4 основных признаков свидетельствует существование соединений катионного комплекса XeOF_3^+ (например $[\text{XeOF}_3][\text{SbF}_6]$), кислотных — комплекса XeOF_5^- (например $[\text{NO}][\text{XeOF}_5]$). Кислотная природа оксида ксенона (VI) XeO_3 проявляется в наличии производных анионного комплекса XeO_4^{2-} , т. е.

солей — оксоксенонатов (VI), которые во многом напоминают оксосульфаты (VI). Ксеноны образуются при взаимодействии XeO_3 с щелочами.

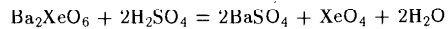
Триоксид ксенона XeO_3 — белое, нелетучее, чрезвычайно взрывчатое соединение ($\Delta H_f^\circ = 401,7 \text{ кДж/моль}$). Молекула XeO_3 имеет структуру тригональной пирамиды ($\angle \text{XeOXe} = 103^\circ$, $d_{\text{XeO}} = 0,176 \text{ нм}$). Триоксид легко образуется в результате гидролиза XeF_6 , XeOF_4 или окисительно-восстановительного (диспропорционирование) гидролиза XeF_4 , например, действием на эти соединения влажного воздуха:



Оксотетрафторид ксенона XeOF_4 — бесцветная жидкость, замерзающая при -28°C . Молекула XeOF_4 имеет форму квадратной пирамиды.

Производные ксенона (VIII) — оксид XeO_4 , оксофторид XeO_3F_2 — преимущественно кислотные соединения.

Молекула XeO_4 имеет форму тетраэдра с атомом Xe в центре ($d_{\text{XeO}} = 0,16 \text{ нм}$). Тетраоксид получают действием безводной H_2SO_4 на оксоксенонат (VIII) бария при комнатной температуре:



В обычных условиях XeO_4 — газ; медленно разлагается на Xe, XeO_3 и O_2 . В твердом состоянии взрывается даже при -40°C .

Раздел III

Химия *d*-элементов

ГЛАВА 1. ОБЩИЕ ЗАКОНОМЕРНОСТИ

§ 1. ЭНЕРГИЯ ИОНИЗАЦИИ И РАДИУСЫ АТОМОВ *d*-ЭЛЕМЕНТОВ

d-Элементы называются также *переходными*. Они расположены в периодической системе в больших периодах между *s*- и *p*-элементами. Как известно (см. табл. 3) характерной особенностью переходных элементов является то, что в их атомах заполняются орбитали не внешнего слоя (как *s*- и *p*-элементов), а предвнешнего [(*n*–1)*d*-состояние] слоя. У *d*-элементов валентными являются энергетически близкие девять орбиталей — одна *ns*-орбиталь, три *np*-орбитали и пять (*n* – 1) *d*-орбиталей:



Приведем электронные конфигурации (валентные электроны) атомов *d*-элементов 4-го периода периодической системы Д.И.Менделеева (и — для сравнения — кальция и галлия):

Ca	Sc	Ti	V	Cr	Mn	Fe	Co	Ni
$4s^2$	$3d^14s^2$	$3d^24s^2$	$3d^34s^2$	$3d^44s^1$	$3d^54s^2$	$3d^64s^2$	$3d^74s^2$	$3d^84s^2$
Cu	Zn	Ga						
$3d^{10}4s^1$	$3d^{10}4s^2$	$4s^24p^1$						

Во внешнем слое у атомов *d*-элементов находятся 1–2 электрона (*ns*-состояние). Остальные валентные электроны расположены в (*n* – 1)*d*-состоянии, т.е. в предвнешнем слое.

Подобное строение электронных оболочек атомов определяет ряд общих свойств *d*-элементов. Так, их атомы характеризуются сравнительно невысокими значениями первой энергии ионизации. Как видно на рис. 12, при этом характер изменения энергии ионизации атомов по периоду периодической системы в ряду *d*-элементов более плавный, чем в ряду *s*- и *p*-элементов. При переходе от *d*-элемента III группы к *d*-элементу II группы значения энергии ионизации изменяются немонотонно. Так, на участке кривой рис. 12 Sc–Zn хорошо видны две площадки, соответствующие энергии ионизации атомов, в которых заполняются 3*d*-орбитали по одному и по два электрона. Заполнение 3*d*-орбиталей по одному электрону заканчивается у Mn ($3d^54s^2$), что отмечается некоторым повышением относительной устойчивости $4s^2$ -конфигурации за счет проникновения $4s^2$ -электронов под экран 3*d*-конфигурации. Наибольшее значение энергии ионизации имеет Zn ($3d^{10}4s^2$). Это находится в соответствии с полным завершением 3*d*-подслоя и стабилизацией электронной пары за счет проникновения под экран $3d^{10}$ -конфигурации. Значения третьих энергий ионизации (см. табл. 5) также показывают, что наиболее устойчивы конфигурации d^5 у Mn и d^0 у Zn.

В подгруппах *d*-элементов значения энергии ионизации атомов в общем увеличиваются. Это можно объяснить эффектом проникновения электронов к ядру. Так, если у *d*-элементов 4-го периода внешние $4s$ -электроны проникают под экран 3*d*-электронов, то у элементов 6-го периода внешние $6s$ -электроны проникают уже под двойной экран 5*d*-и 4*f*-электронов. Например:

$$\begin{array}{ll} {}_{22}\text{Ti} \dots 3d^24s^2; & E_i = 0,66 \text{ МДж/моль} \\ {}_{40}\text{Zr} \dots 3d^{10}4s^24p^64d^25s^2; & E_i = 0,91 \text{ МДж/моль} \\ {}_{72}\text{Hf} \dots 4d^{10}4f^{14}5s^25p^65d^26s^2; & E_i = 0,72 \text{ МДж/моль} \end{array}$$

Поэтому у *d*-элементов 6-го периода внешние $6s$ -электроны связаны с ядром болееочно и, следовательно, энергия ионизации атомов больше, чем у *d*-элементов 4-го периода.

Размеры атомов *d*-элементов являются промежуточными между размерами атомов *s*- и *p*-элементов данного периода. Изменение радиусов их атомов по периоду более плавное, чем для *s*- и *p*-элементов. В подгруппах *d*-элементов радиусы атомов в общем увеличиваются. Важно отметить следующую особенность для подгруппы *d*-элементов. Увеличение атомных и ионных радиусов в подгруппах *d*-элементов в основном отвечает переходу от элемента 4-го к элементу 5-го периода. Соответствующие же радиусы атомов *d*-элементов 5-го и 6-го периодов данной подгруппы примерно одинаковы. Это объясняется тем, что

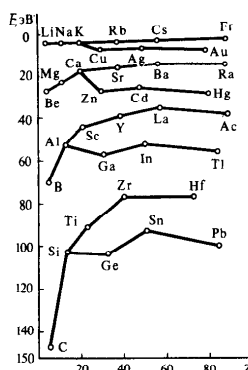
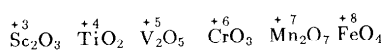


Рис. 210. Зависимость энергии ионизации атомов в подгруппах *s*, *p*- и *d*-элементов от атомного номера элемента:
для I группы приведены значения E_1 , для II группы — $E_1 + E_2$, для III — $E_1 + E_2 + E_3$, для IV группы — $E_1 + E_2 + E_3 + E_4$
например, из характера изменения температуры плавления простых веществ (см. рис. 127), теплот образование однотипных соединений (см. рис. 132)

§ 2. СТЕПЕНИ ОКИСЛЕНИЯ *d*-ЭЛЕМЕНТОВ

За немногим исключением *d*-элементы проявляют переменную степень окисления. Почти для всех *d*-элементов, в частности, возможна степень окисления +2 — по числу внешних электронов в атомах. Высшая степень окисления большинства *d*-элементов отвечает номеру группы периодической системы, в которой они находятся, например, проявляется в оксидах:



В отличие от подгрупп *s*- и *p*-элементов с увеличением атомного номера значение устойчивой степени окисления в подгруппах *d*-

* В этом случае *f*-сжатие называется лантаноидами.

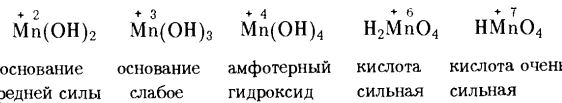
увеличение радиусов за счет возрастания числа электронных слоев при переходе от 5-го к 6-му периоду компенсируется *f*-сжатием*, вызванным заполнением электронами 4*f*-подслоя у *f*-элементов 6-го периода. При аналогичных электронных конфигурациях внешних слоев и примерно одинаковых размерах атомов и ионов для *d*-элементов 5-го и 6-го периодов данной подгруппы характерна особая близость свойств.

Отмеченным закономерностям не подчиняются элементы подгруппы скандия. Для этой подгруппы типичны закономерности, характерные для соседних подгрупп *s*-элементов.

Различие в закономерностях изменения энергии ионизации (рис. 210) и атомных радиусов в подгруппах *d*-элементов и подгруппах *s*- и *p*-элементов проявляется в различии характера изменения свойств элементов и образуемых ими соединений. Это видно, например, из характера изменения температуры плавления простых веществ (см. рис. 127), теплот образование однотипных соединений (см. рис. 132).

элементов возрастает. Так, оксид железа (VIII) FeO_4 неустойчив, в то время как OsO_4 — устойчивое соединение ($\Delta G_{298}^{\circ} = -302 \text{ кДж/моль}$).

Вследствие разнообразия степеней окисления для химии *d*-элементов очень характерны окислительно-восстановительные реакции. По этой же причине почти каждый из *d*-элементов имеет соединения, резко отличающиеся по своим кислотно-основным свойствам, например:



Общим закономерностям в химии *d*-элементов не подчиняются подгруппы скандия и цинка. Первые по своим свойствам напоминают щелочно-земельные металлы и в подгруппе скандия проявляются закономерности, характерные для *s*-элементов. Подгруппа цинка расположена рядом с подгруппой галлия и является как бы переходной. В подгруппе цинка, одновременно с рядом признаков *d*-элементов, заметно проявляются закономерности, характерные для *p*-элементов.

§ 3. ПРОСТЫЕ ВЕЩЕСТВА *d*-ЭЛЕМЕНТОВ

Простые вещества, образованные переходными элементами, являются металлами (число валентных электронов в их атомах заметно меньше числа валентных орбиталей).

Основной вклад в энергетику межатомной связи в простых веществах *d*-элементов вносят электроны *d*-орбиталей, образующие ковалентные связи. Это особо заметно для *d*-элементов середины семейства, атомы которых имеют максимальное число непарных электронов. Вследствие прочности связи *d*-металлы отличаются высокой энергией атомизации. Это определяет также их высокую температуру плавления (см. рис. 127) и кипения.

В отличие от *s*- и *p*-элементов в подгруппах *d*-элементов с увеличением их атомного номера энергия химической связи в простых веществах возрастает. Как полагают, причиной этого является усиление доли ковалентной связи, образованной за счет электронов ($n = 1$) *d*-орбиталей.

Об упрочнении химической связи свидетельствует увеличение энталпии атомизации простых веществ. С упрочнением химической связи в ряду металлов однотипной структуры в подгруппе возрастают энталпии плавления и кипения, а следовательно, и температуры плавления, кипения, возгонки (согласно $T = \Delta H / \Delta S$), например:

	Ti	Zr	Hf
$\Delta H_{\text{ат}}$, кДж/моль	471	608	703
$\Delta H_{\text{пл}}$, Дж/(К·моль)	15,83	16,7	21,8
$\Delta S_{\text{пл}}$, Дж/(К·моль)	8,15	7,8	8,8
$T_{\text{пл}}$, К	1940	2125	2500
$\Delta H_{\text{исп}}$ (при $T_{\text{кип}}$), кДж/моль	429,1	582	661
$\Delta S_{\text{исп}}$ (при $T_{\text{кип}}$), кДж/моль	121,0	125,2	120,2
$T_{\text{кип}}$, К	3600	4610	4890

Характер изменения энергии связи в d -металлах объясняет, почему с увеличением атомного номера устойчивая степень окисления элементов подгруппы увеличивается. Так, для титана устойчивы оксиды TiO , Ti_2O_3 , TiO_2 и фториды TiF_2 , TiF_3 , TiF_4 , а для циркония и гафния — ZrO_2 , HfO_2 и ZrF_4 , HfF_4 .

Этот экспериментальный факт на примере фторидов можно объяснить следующим образом. Образование соединения из простых веществ сопровождается затратой энергии для разрыва связей в простых веществах и выделением энергии при взаимодействии образовавшихся атомов. Энергия разрыва связей в металле (энталпия атомизации) значительно больше, чем энергия разрыва связей в молекуле фтора. При образовании EF_2 , EF_3 , EF_4 затрата энергии на атомизацию металла одна и та же. Но при соединении атомов Э и F в случае образования EF_2 энергии выделяется меньше, чем в случае образования EF_3 и EF_4 . Следовательно, если энергия атомизации металла достаточно велика, то фториды оправдано, когда образуются высшие, а не низшие фториды. Поскольку в подгруппах d -элементов теплота атомизации с увеличением атомного номера элемента возрастает, наиболее характерными становятся фториды для высших степеней окисления элементов.

ГЛАВА 2. КООРДИНАЦИОННЫЕ СОЕДИНЕНИЯ d -ЭЛЕМЕНТОВ

Значительная часть соединений переходных элементов относится к числу координационных. Среди последних весьма разнообразны комплексные соединения d -элементов. Напомним, что для координационных соединений характерно то, что в структуре их кристаллических решеток нет отдельных молекул данного соединения (например, NaCl , CoO , $\text{K}_4[\text{Fe}(\text{CN})_6]$). Каждый атом (ион) в таких соединениях окружен некоторым числом лигандов (атомы, ионы или группировки атомов). Если подобные комплексы (центральный атом и окружающие его лиганды) при переходе соединения в раствор не разрушаются, то

такие координационные соединения относятся к комплексным. Сопоставим структуры двух координационных соединений: CoO (структурный тип NaCl , см. рис. 69, A) и $[\text{Ni}(\text{NH}_3)_6]\text{Cl}_2$ (см. рис. 68). Очевидно, что последнее соединение является комплексным, а CoO к комплексным соединениям не относится.

Для объяснения образования и свойств комплексных соединений в настоящее время применяются теория валентных связей (ТВС), теория кристаллического поля (ТКП) и теория молекулярных орбиталей (ТМО).

Описание комплексных соединений с позиций ТВС было дано ранее. В настоящее время теория валентных связей применительно к комплексным соединениям потеряла свое былое значение. При всех своих достоинствах она не объясняет ряд важных свойств соединений, в частности их спектры поглощения, магнитные свойства и др.

§ 1. ОПИСАНИЕ КОМПЛЕКСНЫХ СОЕДИНЕНИЙ С ПОЗИЦИЙ ТЕОРИИ КРИСТАЛЛИЧЕСКОГО ПОЛЯ

Теория кристаллического поля основана на предложении, что между комплексообразователем и лигандами осуществляется чисто электростатическое взаимодействие (ионная связь). Однако в отличие от классических электростатических представлений в теории кристаллического поля учитывается влияние электростатического поля лигантов на энергетическое состояние электронов комплексообразователя.

Первоначально теория кристаллического поля была применена для объяснения свойств кристаллических веществ и отсюда получила свое название. Однако она равно применима к любым системам геометрически правильно расположенных электрически взаимодействующих частиц, например к отдельному комплексному иону.

Рассмотрим основные положения теории кристаллического поля на примере одноядерных комплексов d -элементов. Напомним, что пять d -орбиталей по разному располагаются в пространстве относительно атомного ядра. Орбиталь d_{z^2} сконцентрирована вдоль оси z , орбиталь $d_{x^2-y^2}$ — вдоль осей x и y , тогда как орбитали d_{xy} , d_{xz} и d_{yz} расположены по биссектрисам между осями (см. рис. 8)*.

В свободном атоме или ионе все пять d -орбиталей одного и того же

*Орбитали d_{z^2} и $d_{x^2-y^2}$ обычно обозначают d_γ , а орбитали d_{xy} , d_{xz} и d_{yz} обозначают d_ε .

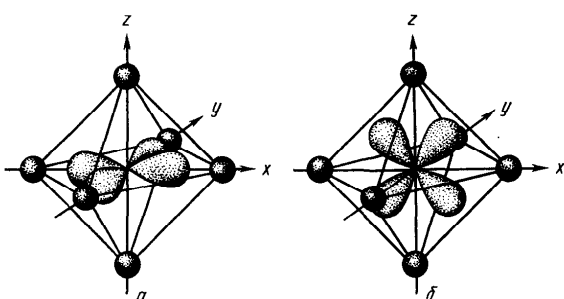


Рис. 211. Орбитали $d_{x^2-y^2}$ (а) и d_{xy} (б) в октаэдрическом поле лигандов

уровня имеют одинаковую энергию, т.е. они *вырождены*. Если ион d -элемента внести в центр сферы равнораспределенного отрицательного заряда (гипотетический случай), то на все пять электронных облаков будет действовать одинаковая сила отталкивания. В результате отталкивание между этой сферой и d -электронами приведет к возбуждению d -уровня, однако вырождение не снимается.

Иная картина возникает, если ион попадает в октаэдрическое, тетраэдрическое или иное окружение (менее симметричное, чем сферическое). Допустим, положительный ион d -элемента находится в октаэдрическом окружении отрицательно заряженных ионов или полярных молекул (рис. 211). В этом случае d_{z^2} - и $d_{x^2-y^2}$ -электроны испытывают большее электростатическое отталкивание от лигандов, чем d_{xy} , d_{xz} и d_{yz} -электроны (рис. 211).

Следовательно, энергия d -электронов в этих условиях не одинакова: в d_{z^2} - и $d_{x^2-y^2}$ -состоянии энергия выше, чем в d_{xy} , d_{xz} , d_{yz} -состояниях. Таким образом, если в свободном или находящемся в сферическом поле ионе пять d -

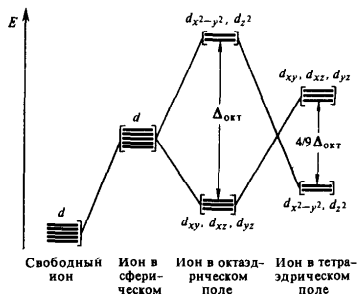


Рис. 212. Расщепление d -уровня кристаллическим полем разной симметрии

орбиталей имеют одинаковую энергию, то в октаэдрическом поле лигандов они разделяются на две группы с разными энергиями — в три и две орбитали (рис. 212).

Для тетраэдрического окружения картина расщепления будет обратной. В этом случае наиболее близки к лигандам d_{xy} , d_{xz} и d_{yz} -орбитали (рис. 213). Следовательно, d_{xy} , d_{yz} и d_{xz} -электроны испытывают большее электростатическое отталкивание, чем d_{z^2} - и $d_{x^2-y^2}$ -электроны. Поэтому d_{z^2} - и $d_{x^2-y^2}$ -орбитали обладают низкой, а d_{xy} , d_{xz} и d_{yz} -орбитали — более высокой энергией (см. рис. 212).

Энергетическая разность d -уровней Δ называется *энергией расщепления*. Степень расщепления d -уровня зависит от конфигурации комплекса, природы лиганда и природы комплексообразователя. Как видно из рис. 212, разным пространственным конфигурациям комплексов соответствует разное значение Δ .

Для тетраэдрического окружения значение Δ меньше, чем для октаэдрического окружения. Если лиганда и их расстояние от комплексообразователя одинаковы, то Δ для тетраэдрического окружения составит $4/9$ октаэдрического окружения ($\Delta_{\text{тетр}} = 4/9 \Delta_{\text{окт}}$).

При одном и том же центральном ионе и одинаковой конфигурации комплексов значение Δ тем больше, чем сильнее поле, создаваемое лигандами. По способности вызвать расщепление d -уровня лиганда можно расположить в следующий ряд: $\text{CO} > \text{CN}^- > \text{NO}_2 > \text{NH}_3 > \text{NCS}^- > \text{OH}_2 > \text{OH}^- > \text{F}^- > \text{Cl}^- > \text{Br}^- > \text{I}^-$. Этот ряд, называемый *спектротитническим*, был найден в результате экспериментального исследования спектров комплексов и квантово-механических расчетов.

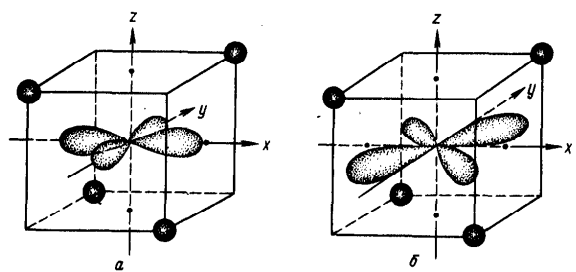


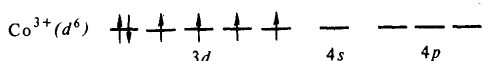
Рис. 213. Орбитали $d_{x^2-y^2}$ (а) и d_{xy} (б) в тетраэдрическом поле лигандов

На величину расщепления уровней энергии кристаллическим полем влияют заряд центрального иона и тип имеющихся у него d -электронов. С возрастанием заряда иона значение Δ увеличивается, так как лиганды ближе подходят к иону и, следовательно, вызывают большее расщепление d -уровня. В подгруппах d -элементов при переходе от 4-го к 5-му и особенностям к 6-му периодам значение Δ однотипных комплексов заметно возрастает. Это объясняется тем, что $4d$ - и $5d$ -орбитали простираются в пространстве дальше от ядра, чем $3d$ -орбитали. Это отвечает более сильному отталкиванию электронов и лигандов и соответственно большему расщеплению $4d$ - и $5d$ -уровней по сравнению с $3d$ -уровнем.

Низко- и высокоспиновые комплексы. Теория кристаллического поля достаточно просто и наглядно объясняет магнитные свойства комплексов, их спектры и ряд других свойств. Для понимания этих свойств необходимо знать характер распределения электронов по d -орбитальным иона, находящегося в поле лигандов. Последнее зависит от соотношения значений энергии расщепления Δ и энергии отталкивания электронов друг от друга.

Если энергия межэлектронного отталкивания оказывается больше энергии расщепления, то пять d -орбиталей последовательно заполняются сначала по одному, а затем по второму электрону. Это случай слабого поля. Если же энергия расщепления Δ превышает энергию межэлектронного отталкивания, то сначала полностью заполняются орбитали с меньшей энергией, а затем орбитали с большей энергией. Это случай сильного поля.

В качестве примера рассмотрим характер распределения $3d$ -электронов иона Co^{3+} при образовании октаэдрических комплексов $[\text{CoF}_6]^{3-}$ и $[\text{Co}(\text{NH}_3)_6]^{3+}$. В свободном ионе Co^{3+} ($3d^6$) электроны располагаются следующим образом



Рассчитано, что энергия отталкивания электронов одной и той же орбитали для иона Co^{3+} равна 251 кДж/моль, энергия расщепления его $3d$ -орбиталей в октаэдрическом поле ионов F^- составляет 156 кДж/моль, а в поле молекул NH_3 — 265 кДж/моль.

Таким образом, в поле ионов F^- значение Δ невелико. Поэтому число непарных электронов на орбиталах расщепленных уровней Co^{3+} такое же, как и в свободном ионе (рис. 214). Но в сильном поле, создаваемом молекулами NH_3 , энергия расщепления большая, и энергети-

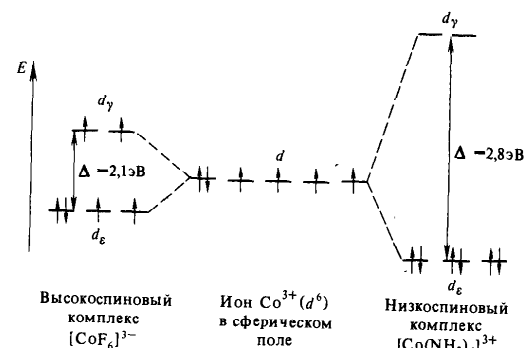


Рис. 214. Распределение d -электронов по орбитальным иона Co^{3+} октаэдрических комплексов $[\text{CoF}_6]^{3-}$ и $[\text{Co}(\text{NH}_3)_6]^{3+}$

чески более выгодно, когда d -электроны иона Co^{3+} располагаются только на нижних d -орбиталах.

По характеру распределения электронов по орбиталам Co^{3+} ион $[\text{CoF}_6]^{3-}$ является **высокоспиновым** (четыре непарных электрона), а ион $[\text{Co}(\text{NH}_3)_6]^{3+}$ — **низкоспиновым** комплексом (непарные электроны отсутствуют).

Приведем еще один пример. Можно показать, что из двух октаэдрических комплексов Co^{2+} (d^7) — $[\text{Co}(\text{OH}_2)_6]^{2+}$ и $[\text{Co}(\text{CN})_6]^{4-}$ — первый является высокоспиновым (три непарных электрона), второй — низкоспиновым (один непарный электрон).

В соответствии с характером распределения электронов по d -орбитальным комплексом $[\text{Co}(\text{NH}_3)_6]^{3+}$ диамагнетен, а комплексы $[\text{CoF}_6]^{3-}$, $[\text{Co}(\text{OH}_2)_6]^{2+}$ и $[\text{Co}(\text{CN})_6]^{4-}$ парамагнитны. Об этом же свидетельствуют экспериментальные данные.

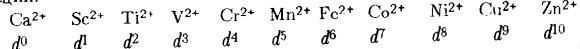
Как уже указывалось, в подгруппах d -элементов при переходе от 4-го к 5-му и в особенности к 6-му периодам значение Δ однотипных комплексов возрастает. Поэтому комплексы $4d$ - и $5d$ -элементов почти всегда низкоспиновые.

Значение параметра расщепления обычно определяют по спектрам поглощения соединений. Кванты света, возбуждающие переход электронов с нижних d -орбиталей на верхние, соответствуют видимой области спектра, и значения Δ лежат в пределах (1—4) эВ. Этим объясняется тот факт, что соединения d -элементов обычно окрашены.

Теория кристаллического поля позволяет объяснить многие свойства d -элементов.

элементов и их соединений. Так, представления ТКП можно использовать для описания кристаллических соединений. Если допустить, что кристаллы состоят из ионов, то каждый из ионов d -элемента находится в поле отрицательных ионов. Это приводит к расщеплению d -уровня иона d -элемента, что определяет магнитные свойства его соединений, их окраску и другие свойства.

Рассмотрим, как влияет d -электронная конфигурация на радиус двухзарядных ионов, находящегося в октаэдрическом окружении ионов лигандов в ряду иона. На рис. 215 приведен график зависимости радиусов ионов ряда $\text{Ca}^{2+}-\text{Zn}^{2+}$ от атомного номера элемента. Эти ионы имеют электронные конфигурации:



Если бы не было влияния кристаллического поля, то радиусы ионов должны были бы монотонно уменьшаться по мере увеличения заряда ядра (атомного номера элемента), что на рис. 215 показано пунктирной кривой. Она проходит через точки, соответствующие сферически симметричным ионам $\text{Ca}^{2+}(d^0)$, $\text{Mn}^{2+}(d^5)$, $\text{Zn}^{2+}(d^{10})$.

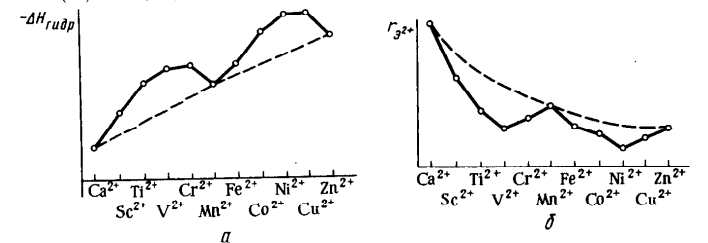


Рис. 215. Изменение энталпии гидратации (а) и радиусов двухзарядных ионов (б) в ряду $\text{Ca}^{2+}-\text{Zn}^{2+}$

Действительные же значения радиусов ионов (кроме Ca^{2+} , Mn^{2+} , Zn^{2+}) лежат ниже пунктирной кривой. Объяснить этот факт можно с позиций ТКП. Отрицательный заряд электрона, находящегося на d_{ε} -орбитали, концентрируется в области между лигандами (см. рис. 211, б). Заряд же d_{γ} -электрона концентрируется непосредственно в направлении лигандов (см. рис. 211, а). Следовательно, d_{ε} -электроны экранируют ядро иона (заслоняют его от лигандов) в меньшей степени, чем d_{γ} -электроны. Поэтому появление электрона на d_{ε} -орбитали приводит к относительному усилению притяжения отрицательно заряженного лиганда к положительно заряженному иону d -элемента и их

ближению. Это объясняет уменьшение эффективного радиуса в ряду $\text{Ca}^{2+}(d^0)-\text{Sc}^{2+}(d_{\varepsilon}^1)-\text{Ti}^{2+}(d_{\varepsilon}^2)-\text{V}^{2+}(d_{\varepsilon}^3)$ и $\text{Mn}^{2+}(d_{\varepsilon}^5)-\text{Fe}^{2+}(d_{\varepsilon}^4)-\text{Co}^{2+}(d_{\varepsilon}^5)-\text{Ni}^{2+}(d_{\varepsilon}^6)$. Появление же электрона на d_{γ} -орбитали усиливает экранирование ядра иона и препятствует приближению к нему лиганда, что вызывает относительное увеличение радиуса в ряду $\text{V}^{2+}(d_{\varepsilon}^3)-\text{Cr}^{2+}(d_{\varepsilon}^3)-\text{Zn}^{2+}(d_{\varepsilon}^4)-\text{Mn}^{2+}(d_{\varepsilon}^6)-\text{Ni}^{2+}(d_{\varepsilon}^6)-\text{Cu}^{2+}(d_{\varepsilon}^6)-\text{Zn}^{2+}(d_{\varepsilon}^4)$.

Отмеченная закономерность позволяет объяснить характер изменения в ряду $\text{Ca}^{2+}-\text{Zn}^{2+}$ теплот гидратации ионов (рис. 215). Теплота гидратации ионов (при одинаковом заряде) зависит от их радиуса. Наибольшая теплота гидратации у иона с наименьшим радиусом (Ni^{2+}), наименьшая теплота гидратации — у иона с наибольшим радиусом (Ca^{2+}).

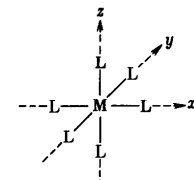
Поскольку от размеров ионов зависит энергия кристаллической решетки, энталпия образования, энергия Гиббса образования и др., то в изменении этих свойств в ряду d -элементов наблюдаются аналогичные закономерности (см., например, рис. 131, в, г; рис. 150).

Теория кристаллического поля, как мы видим, дает возможность объяснить многие свойства соединений. Однако, поскольку в ней учитывается лишь воздействие лигандов на комплексообразователь, а сами лиганды рассматриваются как неизменные частицы, ее применение существенно ограничено.

§ 2. ОПИСАНИЕ КОМПЛЕКСНЫХ СОЕДИНЕНИЙ С ПОЗИЦИЙ ТЕОРИИ МОЛЕКУЛЯРНЫХ ОРБИТАЛЕЙ

Наиболее обобщенной и перспективной теорией, объясняющей строение и свойства комплексов, является теория молекулярных орбиталей. Она рассматривает комплексообразователь и лиганды как единое целое — комплекс.

Октаэдрические комплексы без π -связывания. Рассмотрим октаэдрические комплексы d -элементов. Система координат взаимного расположения комплексообразователя и лигандов октаэдрического комплекса состава ML_6 показана ниже:



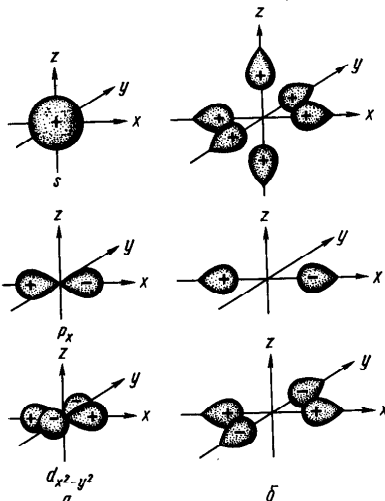


Рис. 216. Орбитали центрального атома и отвечающие им по симметрии сочетания орбиталей лигандов

На рис. 216, а, б показаны возможные комбинации σ -типа валентных орбиталей центрального атома и отвечающие им по симметрии сочетания орбиталей лигандов. Если совместить изображения соответствующей орбитали центрального атома и изображение орбиталей лигандов, то возникает картина их перекрывания. Как видно на рис. 216, s-орбиталь комплексообразователя благодаря сферической симметрии однаково перекрывает с орбиталами каждого из шести лигандов, расположенных по осям октаэдра. Это приводит к образованию семицентровых связывающей и разрыхляющей молекулярных σ -орбиталей (σ_s и σ_s^*).

Каждая из трех орбиталей p -типа может перекрываться с орбиталами лигандов, расположенных по осям вытянутости гантели. Это отвечает образованию трехцентровых, трех связывающих и трех разрыхляющих σ_p -орбиталей (σ_x , σ_y , σ_z и σ_x^* , σ_y^* , σ_z^*).

Орбитали $d_{x^2-y^2}$ - и d_{z^2} -типа перекрываются с орбиталами лигандов, расположенных по оси вытянутости их лепестков. При этом образуются две связывающие и две разрыхляющие молекулярные σ -орбитали ($\sigma_{x^2-y^2}$, d_{z^2} и $\sigma_{x^2-y^2}^*$ и $\sigma_{z^2}^*$).

Что же касается орбиталей d_{xy} , d_{yz} и d_{zx} -типа, то, поскольку их лепестки вытянуты по биссектрисам углов октаэдра, с орбиталами лигандов они не комбинируются (рис. 217). В октаэдрических комплексах без π -связывания они играют роль одноцентровых несвязывающих орбиталей, локализованных при центральном атоме. Их обозначают π_d (π_{xy}^o , π_{yz}^o , π_{xz}^o).

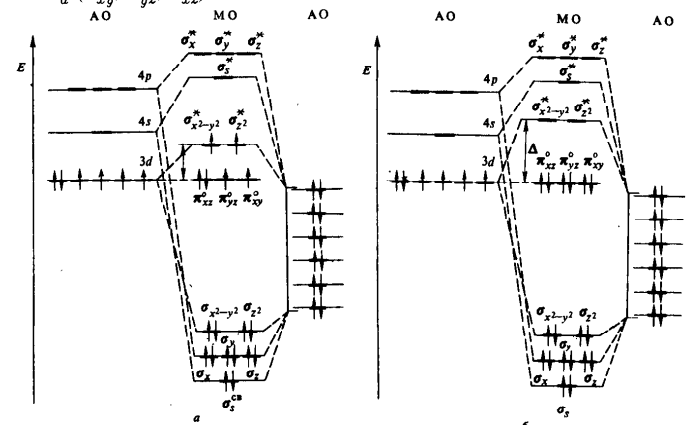


Рис. 218. Схема распределения валентных электронов по молекулярным орбитам:

а – октаэдрического высокоспинового комплекса $[CoF_6]^{3-}$; б – октаэдрического низкоспинового комплекса $[Co(NH_3)_6]^{3+}$

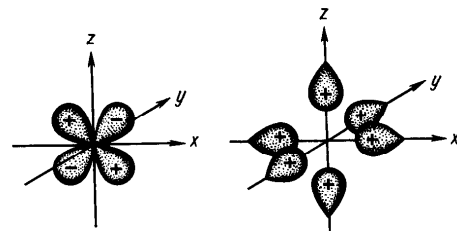


Рис. 217. d_{xy} -Орбиталь центрального атома и сочетания орбиталей лигандов

Относительное энергетическое расположение молекулярных орбиталей октаэдрических комплексов d -элементов показано на рис. 218.

Октаэдрические комплексы в основном состоянии имеют семь энергетических уровней, три из которых связывающие, три — разрыхляющие и один — несвязывающий.

В зависимости от степени вырождения молекулярные энергетические уровни обозначают: a — однократно, e — двукратно и t — трехкратно вырожденные уровни. Соответственно молекулярные σ_s -орбитали обозначают символами a_{1g} и a_{1g}^* ; σ_d -орбитали — e_g и e_g^* ; σ_p -орбитали — t_{1u} и t_{1u}^* ; π_d -орбитали — t_{2g} . Индексы g , $1g$, $2g$, $1u$ означают симметрию орбиталей, звездочка — разрыхляющую орбиталь. (О смысле символов g и u см. пояснение к табл. 7.)

Рассмотрим распределение электронов по МО высокоспинового комплекса $[\text{CoF}_6]^{3-}$ (рис. 218, а) и низкоспинового комплекса $[\text{Co}(\text{NH}_3)_6]^{3+}$ (рис. 218, б). Как видно, из 18 валентных электронов Co^{3+} (6 электронов) и лигандов (12 электронов) 12 электронов находятся на шести связывающих молекулярных σ -орбиталях. Остальные 6 электронов в ионе $[\text{CoF}_6]^{3-}$ распределяются на несвязывающих π_d^* - и разрыхляющих τ_d^* -орбиталях:

$$\sigma_s^2 \sigma_p^6 \sigma_d^4 \pi_d^* 4 \sigma_d^{*2},$$

а в ионе $[\text{Co}(\text{NH}_3)_6]^{3+}$ — только на несвязывающих π_d -орбиталях:

$$\sigma_s^6 \sigma_p^6 \sigma_d^4 \pi_d^{*6}.$$

Различие в характере распределения электронов на π_d^* - и σ_d^* -орбиталях зависит от значения Δ и определяется условиями, рассмотренными в предыдущем параграфе.

Сопоставление теорий МО, ВС и КП. Теория молекулярных орбиталей дает самый общий подход к описанию свойств комплексных соединений, объединяя идеи теории валентных связей и теории кристаллического поля (рис. 219). Шесть электронным парам связывающих σ -орбиталям октаэдрического комплекса в рамках теории валентных связей отвечает шесть σ -связей. Они возникают за счет донорно-акцепторного взаимодействия d^2sp^3 -гибридных орбиталей комплексообразователя и электронных пар шести лигандов. Что же касается молекулярных π_d^* - и σ_d^* -орбиталям, то в теории кристаллического поля они соответствуют d -орбиталям, возникающим при расщеплении d -уровня в октаэдрическом поле лигандов (см. рис. 212).

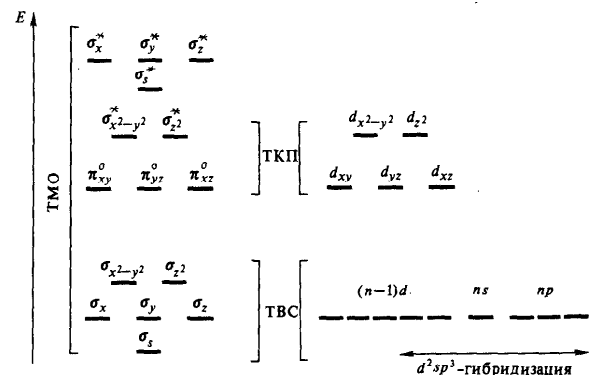


Рис. 219. Сопоставление теорий молекулярных орбиталей (ТМО), валентных связей (ТВС) и кристаллического поля (ТКП) применительно к октаэдрическому комплексу d -элемента

Спектрохимический ряд лигандов. Последовательность расположения лигандов в спектрохимическом ряду в рамках теории молекулярных орбиталей можно объяснить следующим образом. Чем больше степень перекрывания исходных орбиталей, тем больше энергетическое различие между связывающими и разрыхляющими орбиталами и тем больше Δ . Иначе говоря, значение Δ растет с увеличением σ -связывания металла — лиганд. На значение Δ , кроме того, существенное влияние оказывает π -связывание между центральным атомом и лигандами.

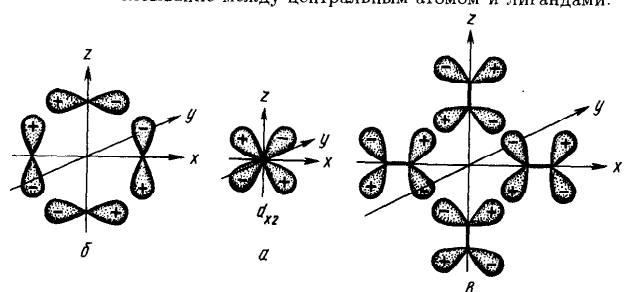


Рис. 220. d_{xy} -Орбиталь центрального атома (а) и отвечающие ей по симметрии сочетания p - (б) и π^* - (в) орбиталей лигандов, приводящие к образованию молекулярных орбиталей октаэдрического комплекса

Если лигандаe имеют орбитали (пустые или заполненные), которые по условиям симметрии способны к перекрыванию с d_{xy} -, d_{yz} - и d_{zx} -орбиталями центрального атома, то диаграмма молекулярных орбиталей комплекса существенно усложняется. В этом случае к молекулярным орбиталям σ - и σ^* -типа добавляются молекулярные орбитали π - и π^* -типа.

Орбитали лигандов, способные к π -перекрыванию, — это, например, p - и d -атомные орбитали или молекулярные π - и π^* -орбитали двухъядерных молекул. На рис. 220 показаны сочетания орбиталей лигандов и d_{xz} -орбиталь центрального атома, которые по условиям симметрии могут комбинироваться с образованием молекулярных π -орбиталяй. Аналогичным образом могут комбинироваться d_{xz} -орбиталь и сочетание молекулярных π -орбиталяй или атомных d -орбиталяй, а также сочетания других типов орбиталяй лигандов.

Участие d_{xy} -, d_{yz} - и d_{zx} -орбиталяй в построении π -орбиталяй приводит к изменению Δ . В зависимости от соотношения энергетических уровней орбиталяй центрального атома и комбинируемых с ними орбиталяй лигандов значение Δ может увеличиваться или уменьшаться (рис. 221). Как видно на рис. 221, а, если в π -взаимодействии принимают участие орбиталяи лигандов, лежащие выше, чем орбиталяи центрального атома, то Δ возрастает. Подобный случай имеет место при участии в перекрывании свободных d - или π^* -орбиталяй лигандов. При образовании π -орбиталяй комплекса часть электронной плотности центрального атома переносится к лигандаам $M \xrightarrow{\pi} L$. Такое π -взаимодействие называют *дативным*.

Если же в π -взаимодействии участвуют орбиталяи лигандов, энергетически более низкие, чем d_{xy} -, d_{yz} - и d_{zx} -орбиталяи центрального атома, то Δ становится меньше значения, характерного для комплексов с одними лишь σ -связями (рис. 221, б). Подобный случай характерен при участии занятых

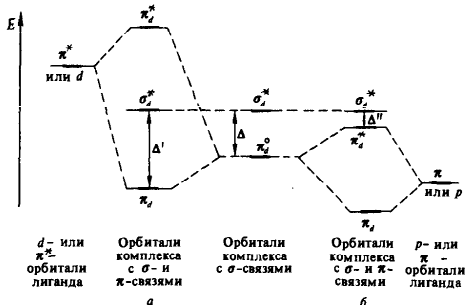


Рис. 221. Влияние π -связывания на величину Δ

электронами p - или π -орбиталяй лигандаe. При образовании π^* -орбиталяй комплекса некоторая часть электронной плотности от лигандаe переносится к центральному атому $L \xrightarrow{\pi} M$. В таком случае π -взаимодействие называют *донорно-акцепторным*.

В комплексах между лигандаe и центральным атомом кроме σ -связывания возможно два типа π -взаимодействия:

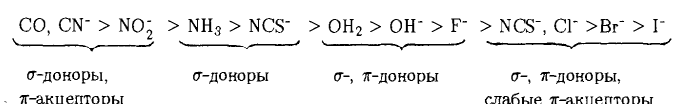
дативное $M \xrightarrow{\pi} L$, где M — донор, L — акцептор,

донорно-акцепторное $M \xleftarrow{\pi} L$, где M — акцептор, L — донор.

Лигандаe, являющиеся π -акцепторами, вызывают большее расщепление d -уровня; лигандаe, являющиеся π -донорами, наоборот, вызывают малое расщепление d -уровня. По характеру σ - и π -взаимодействия лигандаe можно подразделить на следующие группы:

σ -Доноры	NH_3, NR_3, NCS^-
σ -Доноры, слабые π -доноры	$F^-, OH^-, H_2O, ROH, R_2O$
σ , π -Доноры, слабые π -акцепторы . . .	$Cl^-, Br^-, I^-, SH^-, SCN^-$
σ -Доноры, π -акцепторы	$CN^-, CO, NO, PR_3, NO_2^-$
π -Доноры, π -акцепторы	C_6H_6, C_2H_4

Сказанное объясняет порядок расположения лигандаe в спектрохимическом ряду:



Тетраэдрические комплексы с π -связыванием. В тетраэдрических комплексах и молекулах d -элементов типа MnO_4^- , CrO_4^{2-} , $TiCl_4$ и им подобных в образовании связей принимают участие пять $(n-1)d$ -, одна ns - и три np -орбиталя центрального атoma и по три p -орбиталя от каждого из четырех лигандаe. Из 21 исходной атомной орбитали центрального атoma и четырех лигандаe образуется 21 молекулярная орбиталь (рис. 222).

В отличие от молекул и комплексов типа CH_4 , NH_4^+ , BH_4^- (см. рис. 45) в

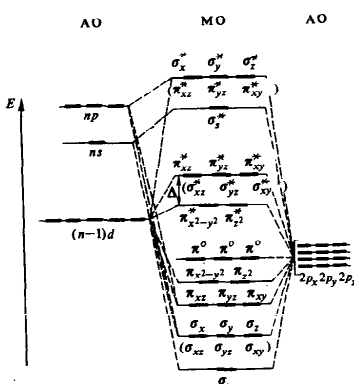


Рис. 222. Энергетическая диаграмма орбиталей тетраэдрического комплекса с π -связями

Распределение электронов по молекулярным орбиталам тетраэдрического комплекса рассмотрим на примере иона MnO_4^- . Этот ион содержит 24 валентных электрона (семь электронов Mn, по четыре электрона от каждого из атомов O и один за счет заряда иона).

Электронная конфигурация иона MnO_4^- в свободном состоянии:

$$\sigma^8 \pi^{10} \pi^6.$$

В представлениях теории валентных связей это распределение электронов означает, что в ионе MnO_4^- имеются четыре σ - и пять π -связей, а атом Mn находится в гибридном sp^3 - (или $d^3 s^-$) состоянии, стабилизированном π -связыванием.

Аналогичный характер распределения валентных электронов в ионах и молекулах типа VO_4^{3-} , CrO_4^{2-} , TiO_4^{4-} , $TiCl_4$, изоэлектронных иону MnO_4^- . В подобных ионах и молекулах электроны располагаются только на связывающих и несвязывающих MO, что определяет их устойчивость.

Окраска комплексов. Соединения d -элементов обычно окрашены. Это объясняется переходом электронов с более низкого на более высокий свободный энергетический уровень, который осуществляется за счет поглощения квантов видимого света. Например, водный раствор соединений Ti (III) имеет фиолетовую окраску. Цвет объясняется

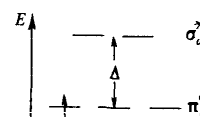
тетраэдрических комплексах и молекулах d -элементов вклад в образование σ -орбиталей вносят не только s - и p -, но и d_{xy} , d_{yz} , d_{zx} -орбитали центрального атома. Кроме того, в тетраэдрических комплексах (молекулах) d -элементов большую роль играет π -связывание, которое осуществляется с участием как p -, так и всех d -орбиталей комплексообразователя.

Из 21 молекулярной орбитали тетраэдрического комплекса четыре играют роль σ - и четыре σ^* -, пять являются π -, пять π^* - и три p -орбитали, принадлежащие лигандам, играют роль несвязывающих π^0 -орбиталей.

спектром поглощения комплекса $[Ti(OH_2)_6]^{3+}$ (рис. 223). Этот октаэдрический комплекс имеет электронную конфигурацию

$$\sigma^{12} \pi_d^{12} \sigma_d^{12}.$$

Возбуждение электрона с π_d^0 в σ_d^* состояние требует поглощения кванта энергии Δ :



Как видно из рис. 223, это соответствует поглощению излучения с длиной волны 500 нм. Таким образом, растворы $[Ti(OH_2)_6]^{3+}$, поглащающие желтые лучи, пропускают синие и красные, поэтому окраска растворов оказывается фиолетовой.

Изучение спектров поглощения соединений позволяет определить Δ :

$$\Delta = EN_A, E = h\nu = hc/\lambda.$$

Для иона $[Ti(OH_2)_6]^{3+}$ Δ равно 238 кДж/моль.

Спектры поглощения комплексов, содержащих более одного π_d -электрона, сложнее, так как в этом случае возможно большее число переходов электронов. Рассмотренный тип электронного перехода называется $d-d$ -переходом.

Причиной окраски комплексов могут быть также так называемые электронные переходы с переносом заряда. Так, окраска ионов типа MnO_4^- (фиолетовый) и CrO_4^{2-} (желтый) объясняется переходом несвязывающих π^0 -электронов (локализованных при атомах кислорода) на π_d^* -орбитали (преимущественно локализованные при центральном атоме Mn или Cr соответственно).

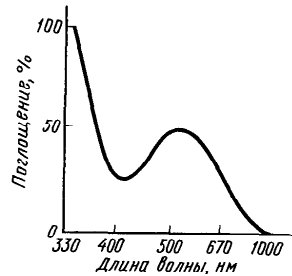


Рис. 223. Спектр поглощения комплекса $[Ti(OH_2)_6]^{3+}$

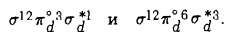
§ 3. ЭЛЕКТРОННАЯ КОНФИГУРАЦИЯ КОМПЛЕКСООБРАЗОВАТЕЛЯ И СТРОЕНИЕ КОМПЛЕКСОВ

Проявление той или иной пространственной конфигурации комплексов существенно зависит от характера распределения электронов по молекулярным орбитам и от значения Δ . Так, в октаэдрическом комплексе электронная плотность наиболее симметрично распределяется при следующих электронных конфигурациях:

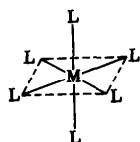
Комплекс	Центральный атом (ион)
$\sigma^{12}\pi_d^3$	d^3 – Cr (III), Mn (IV)
$\sigma^{12}\pi_d^3\sigma_d^{*2}$	d^5 – Mn (II), Fe (III)
$\sigma^{12}\pi_d^6\sigma_d^{*2}$	d^8 – Ni (II)
$\sigma^{12}\pi_d^6$	d^6 – Co (III), Fe (II), Pt (IV), Pd (IV)

Следовательно, октаэдрические комплексы наиболее характерны для ионов с конфигурацией d^3 , d^5 и d^6 , а при большом значении Δ – с конфигурацией d^0 .

При других электронных конфигурациях наблюдается большее или меньшее искажение октаэдрической структуры. Так, при конфигурациях электронной оболочки центрального иона (атома) d^4 – Cr (II), Mn (III) и d^9 – Cu (II) распределение электронов по молекулярным орбитам уже несимметричное:



Наличие одного (при d^4) или трех (при d^9) электронов на молекулярных σ_d^{*} -орбиталях соответствует ослаблению двух из шести σ -связей металл – лиганд. Поэтому четыре из шести лигандов L, расположенные по углам квадрата, оказываются ближе к центральному иону, чем два других, расположенных над и под этим квадратом:



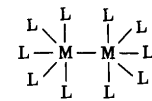
При большом значении Δ описанное искажение конфигурации может оказаться столь существенным, что приведет к перерождению октаэдра в

плоский квадрат. Последнее наблюдается в ряде комплексов Cu (II) – d^9 , например $\text{Cu}(\text{CN})_4^{2-}$.

Для конфигурации d^8 при большом значении Δ октаэдрическая структура также не характерна, так как два электрона располагаются на сильно разрывающих σ_d^{*} -орбиталах. В таком случае типичны комплексы в виде плоского квадрата. Именно такие комплексы дают Pt (II), Pd (II) и Au (III) (электронная конфигурация d^8), как d-элементы 5-го и 6-го периодов, обладающие высоким значением Δ .

Поскольку ионы CN^- создают сильное поле (значение Δ велико), квадратное строение имеет также ион $\text{Ni}(\text{CN})_4^{2-}$ [конфигурация Ni (II) – d^8].

При большом значении Δ октаэдрические комплексы не характерны также для атомов и ионов с конфигурацией d^7 , так как при этом один электрон заселяет сильно разрывающую σ_d^{*} -орбиталь. В этом случае (например, с лигандами сильного поля CN^- или CO) более типичны димерные комплексы с σ -связями металл – металл:



На проявление той или иной структуры влияет также размер лигандов, которые, естественно, взаимно отталкиваются. Так, Mn^{2+} и Fe^{3+} (d^5) с фторид-ионами F^- дают октаэдрические комплексы MnF_6^{4-} и FeF_6^{3-} , а с более крупными по размерам хлорид-ионами Cl^- – тетраэдрические MnCl_4^{2-} и FeCl_4^{2-} .

Другие факторы, определяющие строение комплексов, будут рассмотрены при изложении соответствующего материала.

§ 4. КОМПЛЕКСЫ С ОРГАНИЧЕСКИМИ ЛИГАНДАМИ

Для химии d-элементов очень характерны комплексы с молекулами органических соединений с π -связями (C_6H_6 , C_2H_4 , C_2H_2 и др.).

Комплексы с циклическими иенасыщенными молекулами. Рассмотрим производные d-элементов типа $\text{Cr}(\text{C}_6\text{H}_6)_2$ и $\text{Fe}(\text{C}_5\text{H}_5)_2$. Дибензолхром $\text{Cr}(\text{C}_6\text{H}_6)_2$ (т. пл. 284°C) и ферроцен $\text{Fe}(\text{C}_5\text{H}_5)_2$ (т. пл. 173°C) – устойчивые кристаллические вещества соответственно темно-коричневого и оранжево-коричневого цветов. Эти соединения диамагнитны.

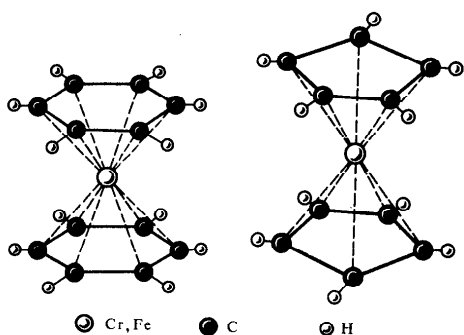
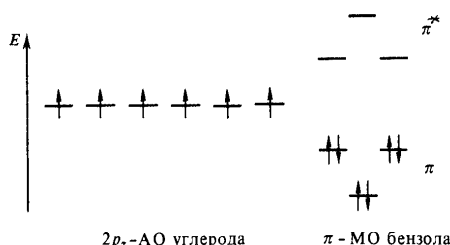


Рис. 224. Строение дубензолхрома $\text{Cr}(\text{C}_6\text{H}_6)_2$ и ферроцена $\text{Fe}(\text{C}_5\text{H}_5)_2$

Как показывают рентгеноструктурные исследования, в молекулах подобных соединений атом металла находится посередине, а по обе стороны от него в параллельных плоскостях расположены органические циклические молекулы (рис. 224). Такие соединения получили название сэндвичевых (бутербродных) структур.

Образование подобных соединений обусловлено способностью лигандов типа C_6H_6 и C_5H_5 к π -дативному и π -донорно-акцепторному взаимодействию с атомом (ионом) d -элемента за счет подходящих по условиям симметрии заполненных и свободных молекулярных π -орбиталей. Как указывалось ранее (см. рис. 54), в молекуле бензола $2p_z$ -электроны шести атомов углерода образуют нелокализованную π -связь. Согласно теории молекулярных орбиталей этому представлению отвечает возникновение из шести атомных $2p_z$ -орбиталей шести молекулярных π -орбиталей, три из которых оказываются связывающими, три другие — разрыхляющими:



Шесть $2p_z$ -электронов шести атомов С занимают три связывающие орбитали. Три π^* -орбитали остаются свободными.

Химическая связь в $\text{Cr}(\text{C}_6\text{H}_6)_2$ образуется по π -донорно-акцепторному и дативному механизмам:

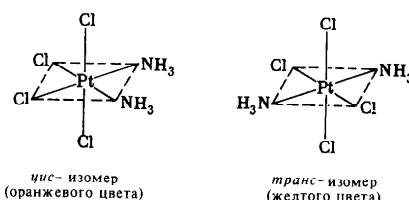


При этом возникает система из 18 электронов, которые находятся на девяти многоцентровых молекулярных орбиталах и движутся в поле тринадцати ядер (атом хрома и двенадцать атомов углерода двух бензольных колец).

§ 5. ИЗОМЕРИЯ КОМПЛЕКСНЫХ СОЕДИНЕНИЙ

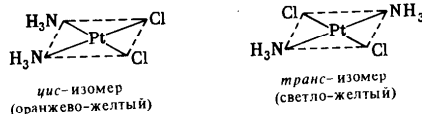
Напомним, что изомерией называется такое явление, когда вещества, имеющие одинаковый состав, различаются строением и, следовательно, свойствами. В химии комплексных соединений это явление весьма распространено и является одной из причин многообразия комплексных соединений. Различают геометрическую, координационную, ионизационную и другие виды изомерии.

Геометрическая (цис-транс) изомерия проявляется для комплексов с разнородными лигандами, например, для соединений состава $[\text{Pt}(\text{NH}_3)_2\text{Cl}_4]$ и $[\text{Pt}(\text{NH}_3)_2\text{Cl}_2]$. Диамминтетрахлорплатина $[\text{Pt}(\text{NH}_3)_2\text{Cl}_4]$ существует в виде двух соединений октаэдрического строения:



В первом соединении молекулы аммиака расположены в соседних вершинах октаэдра. Такие соединения называются *цис* изомерами (*cis* — по одну сторону). Во втором соединении молекулы аммиака расположены в противоположных вершинах октаэдра. Такого типа соединения называются *транс*-изомерами (*trans* — по ту сторону).

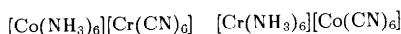
Соединения $[\text{Pt}(\text{NH}_3)_2\text{Cl}_2]$ — квадратный комплекс также существует в виде *цис*- и *транс*-изомера:



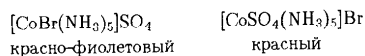
Изучение геометрической изомерии важно для установления пространственной конфигурации комплексов. Так, Вернер изучал комплексы состава MA_4B_2 и MA_2B_2 . Для шестикоординационных комплексов октаэдрическая модель допускает существование двух геометрических изомеров, а модель шестиугольника и тригональной призмы — трех геометрических изомеров. Для комплексов типа MA_4B_2 Вернеру не удалось синтезировать более двух изомеров, из чего он сделал вывод, что шестикоординационные комплексы имеют октаэдрическое строение.

Четырехкоординационные комплексы MA_2B_2 могут иметь квадратное или тетраэдрическое строение. Для квадратных комплексов возможны два геометрических изомера, тогда как для тетраэдрического строения существование геометрических изомеров невозможно. Таким образом, изомеры соединений с координационным числом комплексообразователя 4 могут иметь только квадратное строение. Выводы Вернера впоследствии были подтверждены экспериментально и теоретически на основе квантово-механических представлений.

Координационная изомерия выражается в различной координации двух типов лигандов относительно двух разных комплексообразователей, например:



Ионизацияционная изомерия проявляется в неодинаковом распределении анионов между внутренней и внешней сферами, например, для соединений состава



Из раствора изомера красно-фиолетового цвета не удается осадить бромид-ионы Br^- , но при действии ионами Ba^{2+} осаждается BaSO_4 . В растворе изомера красного иона, наоборот, не удается осадить SO_4^{2-} -ионы, но действием AgNO_3 осаждается бромид серебра AgBr .

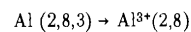
ГЛАВА 3. *d*-ЭЛЕМЕНТЫ III ГРУППЫ ПЕРИОДИЧЕСКОЙ СИСТЕМЫ Д.И.МЕНДЕЛЕЕВА

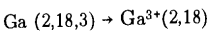
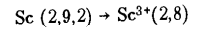
d-Элементы III группы периодической системы Д.И.Менделеева — полные электронные аналоги $(n-1)d^1ns^2$. Скандиний Sc, иттрий Y, лантан La и актиний Ac составляют *подгруппу скандия*. Основные константы скандия и его аналогов (а также бора и алюминия) приведены ниже:

	${}^5\text{B}$	${}^{13}\text{Al}$	${}^{21}\text{Sc}$	${}^{39}\text{Y}$	${}^{57}\text{La}$	${}^{89}\text{Ac}$
Атомная масса . . .	10,811	26,8815	44,956	88,905	138,91	[227]
Валентные электроны . . .	$2s^22p^1$	$3s^23p^1$	$3d^14s^2$	$4d^15s^2$	$5d^16s^2$	$6d^17s^2$
Металлический радиус атома, нм . . .	0,091	0,143	0,164	0,181	0,187	0,203
Условный радиус иона Э^{3+} , нм . . .	0,021	0,057	0,083	0,097	0,104	0,111
Энергия ионизации $\text{Э}^0 \rightarrow \text{Э}^+$, эВ . . .	8,298	5,986	6,562	6,22	5,58	5,1
Содержание в земной коре, % (мол. доли) . . .	$6 \cdot 10^{-4}$	6,6	$3 \cdot 10^{-4}$	$2,6 \cdot 10^{-4}$	$2,5 \cdot 10^{-4}$	$5 \cdot 10^{-15}$
Стабильные природные изотопы	${}^{10}\text{B}$ (19,61%)	${}^{27}\text{Al}$ (100%)	${}^{45}\text{Sc}$ (100%)	${}^{39}\text{Y}$ (100%)	${}^{139}\text{La}$ (99,91%)	Не имеет ${}^{11}\text{B}$ (80,39%) ${}^{138}\text{La}$ (0,089%)

Скандиний и его аналоги, каждый в своем периоде, являются первыми *d*-элементами, т.е. у них первых начинают заполняться *d*-орбитали предвнешнего слоя. Наличие лишь одного электрона в *d*-состоянии обуславливает малую устойчивость d^1s^2 -конфигурации и отражается на всех свойствах элементов подгруппы скандия. В частности, в отличие от других *d*-элементов скандий и его аналоги проявляют постоянную степень окисления +3.

Сопоставление электронных структур атомов и ионов скандия, галлия и алюминия показывает, что по строению внешних электронных слоев невозбужденных атомов элементы подгруппы скандия не имеют ничего общего с алюминием, тогда как электронная структура трехзарядных ионов этих элементов одинакова:





Элементы подгруппы галлия, наоборот, проявляют с Al сходство атомных структур и резкое отличие структур ионов Э³⁺.

Кроме того, в ряду B—Al—Sc—Y—La—Ac (в противоположность ряду B—Al—Ga—In—Tl) монотонно увеличиваются атомные и ионные радиусы (см. рис. 16). Таким образом, следует ожидать, что в ряду B—Ac свойства однотипных соединений должны изменяться монотонно в противоположность ряду B—Tl. Сказанное подтверждается, например, при сопоставлении суммы первых трех энергий ионизации атомов и энталпий образования соединений элементов подгрупп скандия и галлия и типичных элементов третьей группы (рис. 225).

Как видно из рис. 225, во всем ряду B—Ac (*p*- и *d*-элементов) монотонно уменьшаются энергии трехкратной ионизации ($E_1 + E_2 + E_3$) и увеличиваются энталпии образования высших оксидов. В ряду же B—Tl (одних лишь *p*-элементов) подобной монотонности не наблюдается. Рассмотренная закономерность является одним из примеров проявления вторичной периодичности (см. рис. 16).

В ряду B—Al—Sc—Y—La—Ac усиливаются признаки металлических элементов. Скандий напоминает алюминий и является амфотерным элементом, а его аналоги по свойствам приближаются к щелочно-земельным металлам.

§ 1. ПОДГРУППА СКАНДИЯ

В земной коре элементы подгруппы скандия очень распылены и отдельных минералов не образуют. Из-за этого их трудно выделить в чистом (без примесей) состоянии.

Простые вещества. В виде простых веществ элементы подгруппы скандия — белые металлы (см. табл. 28).

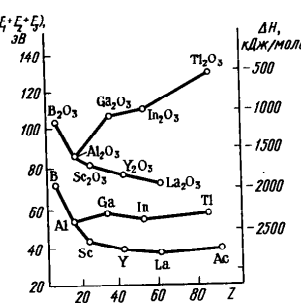
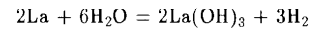


Рис. 225. Сумма трех первых энергий ионизации атомов и энталпии образования оксидов Э₂O₃ элементов III группы

	Sc	Y	La	Ac
Пл., г/см ³	3,0	4,47	6,16	10,1
Тпл., °С	1541	1528	920	1050
Т. кип., °С	2850	3322	3450	3590
φ_{M^3+/M^0} , В	-2,08	-2,37	-2,52	-2,6

Скандий и его аналоги по химической активности уступают лишь щелочным и щелочно-земельным металлам. В ряду Sc—Y—La—Ac химическая активность заметно возрастает, о чем свидетельствуют, в частности, значения их электродных потенциалов φ_{298}° . При более или менее сильном нагревании все они реагируют с большинством неметаллов, а при сплавлении — с металлами.

В электрохимическом ряду напряжений Sc и его аналоги находятся далеко впереди водорода (см. значения φ_{298}°). Скандий вследствие пассивирования с водой не реагирует, а лантан уже при обычных условиях медленно разлагает воду:



Рассматриваемые металлы легко взаимодействуют с разбавленными кислотами, причем разбавленную HNO_3 они восстанавливают до NH_4NO_3 :



В свободном состоянии Sc, Y и La получают электролизом расплавленных хлоридов или металлотермическим методом.

§ 2. СОЕДИНЕНИЯ ЭЛЕМЕНТОВ ПОДГРУППЫ СКАНДИЯ

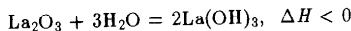
В соответствии с усилившимся в ряду Sc—Y—La—Ac признаков металлическости в том же ряду у соединений Э(III) ослабевают кислотные и усиливаются основные признаки. Соединения Э(III) — чаще всего белые кристаллические вещества.

Их структура характеризуется высокими координационными числами атома Э. Так, координационное число La(III) в кристаллах LaCl_3 и $\text{La}(\text{OH})_3$ равно 9, а в кристаллах La_2S_3 и LaN — 8.

В воде растворяются нитраты, сульфаты, галогениды (кроме EF_3), мало растворимы гидроксиды, карбонаты, фосфаты, фториды, силикаты. (Как и

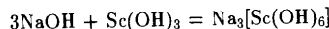
для *s*-элементов II группы, растворимость сульфатов в ряду Sc—Y—La (быстро уменьшается). Из водных растворов выделяются кристаллогидраты с переменным числом молекул воды, например: $\text{Sc}_2(\text{SO}_4)_3 \cdot 5\text{H}_2\text{O}$, $\text{Y}_2(\text{SO}_4)_3 \cdot 7\text{H}_2\text{O}$, $\text{ЭHal}_3 \cdot 6\text{H}_2\text{O}$, $\text{La}_2(\text{SO}_4)_3 \cdot 8\text{H}_2\text{O}$.

Оксиды $\text{Э}_2\text{O}_3$ — тугоплавкие белые кристаллические вещества с высокими энタルпиями образования (ΔH_f° от -1650 до -2000 кДж/моль) Взаимодействие La_2O_3 с водой сопровождается выделением теплоты (гашение):

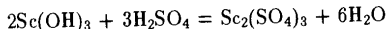


Активность взаимодействия с водой в ряду Sc_2O_3 — Y_2O_3 — La_2O_3 — Ac_2O_3 возрастает.

В ряду гидроксидов $\text{Sc}(\text{OH})_3$ — $\text{Y}(\text{OH})_3$ — $\text{La}(\text{OH})_3$ — $\text{Ac}(\text{OH})_3$ усиливаются основные признаки и возрастает растворимость в воде. Так, $\text{Sc}(\text{OH})_3$ амфотерен, а $\text{La}(\text{OH})_3$ — довольно сильное основание. В обычных условиях он взаимодействует с кислотами, поглощает CO_2 , из аммонийных соединений при нагревании вытесняет аммиак. При нагревании Sc_2O_3 или $\text{Sc}(\text{OH})_3$ с основными оксидами или щелочами образуются оксоскандинаты (III) $\overset{+1}{\text{M}}\text{ScO}_2$, а в растворах образуются гидрокоскандинаты:



При взаимодействии гидроксида с кислотами образуются соли:

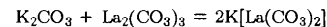


В ряду галогенидов ScHal_3 — YHal_3 — LaHal_3 — AcHal_3 также наблюдается усиление основных признаков. Так, к образованию комплексных галогенидов в растворах склонен лишь ScF_3 , для которого известны фтороскандинаты $\overset{+1}{\text{M}}_3[\text{ScF}_6]$. Фтороскандинаты *s*-элементов I группы растворимы в воде и довольно устойчивы. Что же касается фтороиттриатов, то они получаются лишь при сплавлении YF_3 с фторидами наиболее типичных металлических элементов, таких, как цезий, рубидий ($\text{Cs}_3[\text{YF}_6]$, $\text{Rb}_3[\text{YF}_6]$). Из фторолантанатов достаточно устойчивы только производное цезия $\text{Cs}_3[\text{LaF}_6]$.

Как и для алюминия (III), фториды $\text{Sc}(\text{III})$ и его аналогов существенно отличаются от остальных галогенидов: они тугоплавки (т. пл. 1450 — 1550 °C), негигроскопичны, в воде не растворяются. Хлориды, бромиды и иодиды (т. пл. 800 — 900 °C), напротив, гигроскопичны и легко гидролизуются, образуя полимерные оксогалогениды ЭОНal .

Подобно алюминию, скандий и его аналоги образуют двойные соли, напри-

мер $\overset{+1}{\text{M}}[\text{Э}(\text{SO}_4)_2]$, $\overset{+1}{\text{M}}_2[\text{Э}(\text{NO}_3)_5]$, $\overset{+1}{\text{M}}[\text{Э}(\text{CO}_3)_2]$. Образованием двойных солей объясняется растворение карбонатов скандия и его аналогов в насыщенных растворах карбонатов щелочных металлов и аммония:



С малоактивными неметаллами скандий и его аналоги образуют тугоплавкие соединения типа интерметаллических, например, ScB_2 , YB_2 , LaB_6 , ЭSi_2 , YC_2 , LaC_2 , ScC и др.

Из приведенного обзора вытекает, что скандий и его аналоги по свойствам напоминают *s*-элементы, т.е. являются переходными между *s*- и *d*-элементами больших периодов.

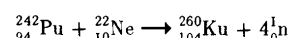
Соединения элементов подгруппы скандия применяют в полупроводниковой технике.

ГЛАВА 4. *d*-ЭЛЕМЕНТЫ IV ГРУППЫ ПЕРИОДИЧЕСКОЙ СИСТЕМЫ Д.И.МЕНДЕЛЕЕВА

d-Элементы IV группы — титан Ti , цирконий Zr , гафний Hf и курчатовий Кu — полные электронные аналоги $(n-1)d^2ns^2$. Они образуют подгруппу титана:

	^{22}Ti	^{40}Zr	^{72}Hf	^{104}Ku
Атомная масса	47,90	91,22	178,49	[261]
Валентные электроны	$3d^24s^2$	$4d^25s^2$	$5d^26s^2$	$6d^27s^2$
Металлический радиус атома, нм . . .	0,146	0,160	0,159	0,16
Условный радиус иона Э^{4+} , нм . . .	0,064	0,082	0,082	0,078
Энергия ионизации $\text{Э}^0 \rightarrow \text{Э}^+$, эВ . . .	6,82	6,84	7,5	—
Содержание в земной коре, %	—	—	—	—
(мол. доли)	0,25	$4 \cdot 10^{-3}$	$5 \cdot 10^{-5}$	—

Элемент 104 был впервые получен группой ученых под руководством Г.Н.Флерова (1964) при облучении в мощном ускорителе плутония-242 ($Z = 94$) ядрами неона-22 ($Z = 10$):



Новый элемент был назван *курчатовием* в честь выдающегося ученого И.В.Курчатова. (В США этот элемент назван резерфордием.) В весомых количествах курчатовий не получен, его свойства исследуются с использованием единичных атомов.

Как видно из приведенных данных, в ряду Ti—Zr—Hf несколько увеличиваются первые энергии ионизации. При переходе от Ti к Zr возрастают атомные и ионные радиусы, а цирконий и гафний из-за лантаноидного сжатия имеют почти одинаковые размеры атомов и ионов. Поэтому свойства Zr и Hf очень близки и их разделение — одна из сложнейших проблем неорганической технологии.

В отличие от элементов подгруппы германия в подгруппе титана с ростом атомного номера устойчивая степень окисления повышается. Для титана и его аналогов наиболее характерна степень окисления +4, но известны также соединения Ti(III) и реже Ti(II). Так, для титана устойчивы оксиды TiO , Ti_2O_3 , TiO_2 и фториды TiF_2 , TiF_3 , TiF_4 , а для циркония и гафния — ZrO_2 , HfO_2 и ZrF_4 , HfF_4 .

Для титана типично координационное число 6 и реже 4 (табл. 38). Для циркония и гафния более характерны высокие координационные числа 7 и 8.

Таблица 38. Степени окисления титана и структурные единицы его соединений

Степень окисления элемента	Координационное число	Структурные единицы	Примеры
+2	6	Октаэдр	TiO , TiF_2 , TiCl_2
+3	6	»	$[\text{Ti}(\text{OH}_2)_6]^{3+}$, $[\text{TiF}_6]^{3-}$, Ti_2O_3 , TiCl_3
+4	4	Тетраэдр	TiCl_4 , Ba_2TiO_4
	6	Октаэдр	TiF_6^{2-} , TiO_2 , CaTiO_3 (провскит), FeTiO_3 (ильменит)

§ 1. ПОДГРУППА ТИТАНА

В земной коре титан довольно распространен (см. табл. 26, 27). встречается главным образом в виде минералов *рутilla* TiO_2 , *ильменита* FeTiO_3 и *перовскита* CaTiO_3 . Цирконий и гафний — рассеянные элементы; из наиболее важных минералов циркония можно назвать циркон ZrSiO_4 и баддалеит ZrO_2 . Гафний самостоятельных минералов не образует, а всегда сопутствует цирконию.

Простые вещества. В виде простых веществ титан, цирконий и гафний — серебристо-белые металлы. Титан относится к легким,

цирконий и гафний к тяжелым металлам. Все они тугоплавки, имеют одинаковый тип кристаллической решетки (см. табл. 28).

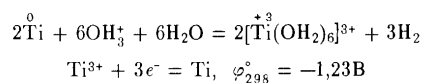
Основные константы рассматриваемых простых веществ приведены ниже:

	Ti	Zr	Hf	Ku
Пл., $\text{г}/\text{см}^3$	4,50	6,50	13,1	-18
Т. пл., $^{\circ}\text{C}$	1668	1855	-2230	-2100
Т. кип., $^{\circ}\text{C}$	-3330	-4340	-4110	-5550
S_{298}° , $\text{Дж}/(\text{К}\cdot\text{моль})$	30,6	39,0	43,6	-
Электрическая проводимость ($Hg = 1$)	1	2	3	-
$\Delta H_{\text{возд}, 298}^{\circ}$, $\text{кДж}/\text{моль}$	471	608	703	-

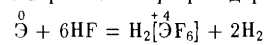
Чистые металлы хорошо поддаются механической обработке. Следует отметить, что у металлов, содержащих в качестве примесей O, N, C, H, пластичность, ковкость, тягучесть, твердость, прочность на разрыв и другие механические характеристики резко изменяются.

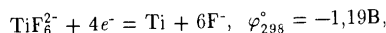
При обычной температуре металлы коррозионно-устойчивы на воздухе, что объясняется наличием на их поверхности защитной пленки EO_2 . При нагревании же их активность заметно возрастает. Так, при температуре красного каления они сгорают в кислороде, образуя EO_2 . При 800°C активно реагируют с азотом, образуя EN . С галогенами взаимодействуют при 150 — 400°C , образуя ENaI_4 и т.д. В порошкообразном состоянии металлы пирофорны.

Титан, цирконий и гафний химически устойчивы во многих агрессивных средах. В частности, титан устойчив против действия растворов сульфатов, хлоридов, морской воды и др. В HNO_3 все они пассивируются. В отличие от циркония и гафния титан при нагревании растворяется в соляной кислоте, образуя в восстановительной атмосфере аквакомплексы $\text{Ti}(\text{III}) - [\text{Ti}(\text{OH}_2)_6]^{3+}$:

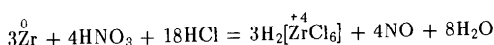
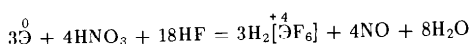


Цирконий и гафний взаимодействуют с кислотами лишь в тех случаях, когда создаются условия их окисления и образования анионных комплексов $\text{Э}(\text{IV})$. Так, мелкораздробленные Zr и Hf, как и Ti, относительно легко растворяются во фтороводородной кислоте:

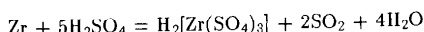




в смеси кислот $\text{HF} + \text{HNO}_3$ и $\text{HCl} + \text{HNO}_3$ (парская водка):



Мелкораздробленные титан, цирконий и гафний взаимодействуют при нагревании с концентрированной серной кислотой:



Цирконий и гафний, в меньшей степени титан, устойчивы в растворах щелочей.

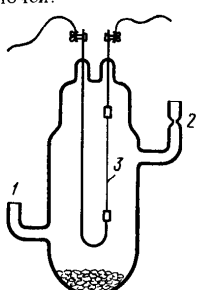
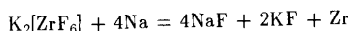
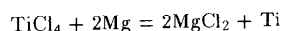


Рис. 226. Получение особо чистого титана иодидным методом — термическим разложением иодида титана (IV)

На рис. 226 изображен сосуд из стекла пирекс для получения чистого титана. Через отверстие 1 поступают порошкообразный титан и иод, через отверстие 2 откачивают воздух. В ходе процесса сосуд нагревают до 600°C в электрической печи, а титановая проволока 3 нагревается электрическим током. При 200°C титан и иод взаимодействуют с образованием TiI_4 , который при 377°C сублимирует. Пары TiI_4 при соприкосновении с титановой проволокой, нагретой до $1100\text{--}1400^\circ\text{C}$, разлагаются: металлический титан оседает на проволоку, а пары иода конденсируются на холодных частях прибора. Таким путем удается получать титан очень высокой степени чистоты, поскольку большинство примесей, содержащихся в исходном металле, или не реагирует с иодом, или не образует летучих при 377°C иодидов.

Поскольку при высоких температурах Ti, Zr и Hf проявляют высокую химическую активность, выделение их в чистом виде представляет значительные трудности. Обычно эти металлы получают магнитермическим и натрийтермическим восстановлением тетрагалогенидов в атмосфере аргона или гелия:



Очень чистые металлы получают термическим разложением тетраиодидов SiI_4 при высокой температуре в вакууме.

На рис. 226 изображен сосуд из стекла пирекс для получения чистого титана. Через отверстие 1 поступают порошкообразный титан и иод, через отверстие 2 откачивают воздух. В ходе процесса сосуд нагревают до 600°C в электрической печи, а титановая проволока 3 нагревается электрическим током. При 200°C титан и иод взаимодействуют с образованием TiI_4 , который при 377°C сублимирует. Пары TiI_4 при соприкосновении с титановой проволокой, нагретой до $1100\text{--}1400^\circ\text{C}$, разлагаются: металлический титан оседает на проволоку, а пары иода конденсируются на холодных частях прибора. Таким путем удается получать титан очень высокой степени чистоты, поскольку большинство примесей, содержащихся в исходном металле, или не реагирует с иодом, или не образует летучих при 377°C иодидов.

Используемые в металлургии титан и цирконий получают в виде *ферротитана* и *ферроциркония* (15—20% Ti или Zr) путем совместного восстановления углем минералов титана или циркония и железных руд.

Титан благодаря легкости, высокой термической и коррозионной устойчивости — важный конструкционный материал. Он используется для строительства самолетов, подводных лодок, химических реакторов и пр. Цирконий (освобожденный от гафния) и его некоторые сплавы применяются в атомной энергетике в качестве конструкционных материалов, отражающих нейтроны. Масштабы применения гафния более ограничены: он также используется в атомной энергетике, но как поглотитель нейтронов; применяется в электронной технике (катоды телевизионных трубок).

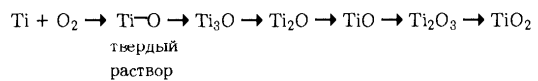
§ 2. СОЕДИНЕНИЯ ЭЛЕМЕНТОВ ПОДГРУППЫ ТИТАНА

Металлические и металlopодобные соединения. Порошки титана, циркония и гафния поглощают водород, кислород и азот. При этом растворенные неметаллы переходят в атомное состояние и принимают участие в образовании химических связей. Наряду с сильно делокализованной возникает локализованная связь. Благодаря этому система приобретает повышенную твердость и хрупкость. Способность Ti, Zr и Hf поглощать газы используется для получения глубокого вакуума, удаления газов из сплавов и т. д.

Гидриды Ti, Zr и Hf — хрупкие металlopодобные порошки серого или черного цвета. Их идеализированный состав отвечает формуле EH_2 , они являются промежуточными между твердыми растворами и солидоподобными (ионными) гидридами типа CaH_2 .

Разложение гидридов титана, циркония и гафния используется для получения металлов в порошкообразном состоянии и для нанесения металлов на поверхность соответствующих изделий.

Последовательные стадии окисления титана кислородом можно выразить схемой:



По мере увеличения содержания кислорода доля металлической связи падает, а ковалентной — увеличивается. Ti_3O и Ti_2O — типичные металлические, а TiO_2 — преимущественно ковалентное соединение ($\Delta E = 3,06 \text{ эВ}$).

Карбиды и нитриды элементов подгруппы титана образуются непосредственным взаимодействием простых веществ при высокой температуре. Соединения ЭН и ЭС (переменного состава) — кристаллические вещества, очень твердые, тугоплавкие ($3000\text{--}4000^\circ\text{C}$), хорошо проводят электрический ток и химически инертны. Аналогичными свойствами обладают силициды ESi_2 , бориды EB , EB_2 . Все они, конечно, обладают переменным составом. Соединения TiC , TiN , TiO , ZrN , ZrC , HfC имеют структуру типа NaCl и друг с другом образуют твердые растворы.

Ценные физико-химические свойства металлоподобных соединений элементов подгруппы титана определяют их большое значение для техники. Например, сплав состава 20% HfC и 80% TaC — один из самых тугоплавких (т. пл. 4200°C).

Характер взаимодействия титана и его аналогов с металлами зависит от положения последних в периодической системе. Так, с близкими к нему по свойствам хромом и ванадием титан образует непрерывный ряд твердых растворов замещения:

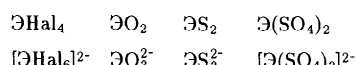
	Ti	V	Cr	Mn	Fe	Co	Ni
Валентные электроны	d^2s^2	d^3s^2	d^5s^1	d^6s^2	d^6s^2	d^7s^2	d^6s^2
Растворимость в Ti, % (мол. доли)	—	100	100	28	20	13	10

В ряду Mn—Fe—Co—Ni возможность образования твердых растворов с титаном уменьшается и, наоборот, усиливается склонность к образованию интерметаллических соединений.

Так, при сплавлении титан весьма энергично взаимодействует с железом, образуя Fe_3Ti и FeTi . Аналогично ведут себя Co, Ni, Cu и Zn, образующие с титаном соединения типа M_3Ti и MTi .

Введение титана и циркония в сплавы придает им ценные физико-химические свойства. Так, добавка к стали 0,1% Ti придает ей твердость и эластичность. Подобные стали используются для изготовления рельсов, вагонных осей, колес и пр. Стали с добавкой циркония отличаются повышенной твердостью и вязкостью и применяются для изготовления бронебойных плит и щитов.

Соединения Ti (IV), Zr (IV), Hf (IV). Для титана и его аналогов известны тетрагалогениды EHal_4 , диоксиды EO_2 , дисульфиды ES_2 , дисульфаты $\text{E}(\text{SO}_4)_2$ и т. п. Кроме того, известны многочисленные производные анионных комплексов Э (IV) — титанаты, цирконаты и гафнаты:



Для титана (IV) наиболее характерно координационное число 6 и реже 4. Цирконий (IV) и гафний (IV), кроме того, проявляют координационные числа 7 и 8.

В одной из модификаций TiO_2 — рутиле — координационное число титана равно 6 (см. рис. 69, *B*); в кристаллах ZrO_2 и HfO_2 координационные числа Zr и Hf достигают 7 и 8 (рис. 227, *a*).

Диоксиды EO_2 — тугоплавкие белые вещества с высокими энталпиями и энегриями Гиббса образования:

	TiO_2	ZrO_2	HfO_2
Т. пл., $^\circ\text{C}$	1870	2850	2900
ΔH_{298}° , кДж/моль	-944	-1100	-1118
ΔG_{298}° , кДж/моль	-889	-1043	-1061

Химически они довольно инертны. В кислотах и щелочах не растворяются. Лишь при длительном нагревании EO_2 медленно взаимодействуют с кислотами, а при сплавлении — со щелочами.

Из диоксидов наиболее широкое применение находит TiO_2 . Вследствие химической инертности он используется в качестве наполнителя в производстве пластмасс, красок, резины, а ZrO_2 — для изготовления огнеупорных тиглей и плит. Разработана технология получения крупных прозрачных кристаллов ZrO_2 с примесью HfO_2 , моновосьмивершинниках оксо- (*a*) и названных *фианитами*. Последние имеют высокий показатель преломления, отличаются высокой твердостью, прочностью, исключительной химической стойкостью. Их применяют в технике и для изготовления украшений.

Из тетрагалогенидов EHal_4 хлориды, бромиды и иодиды в твердом состоянии имеют молекулярные решетки. Тетрафториды полимерны.

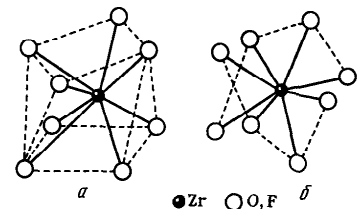
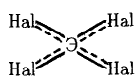


Рис. 227. Взаимное расположение атомов ZrO_2 с примесью HfO_2 , моновосьмивершинниках оксо- (*a*) и названных *фианитами*.

Устойчивость тетраэдрических молекул ЭHal_4 обусловливается π -связями, образованными за счет свободных орбиталей атомов Э и неподеленных электронных пар атомов галогенов:



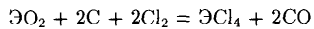
Это отвечает следующей электронной конфигурации (см. рис. 222):

$$\sigma^8 \pi^{10} \pi^6.$$

Кристаллы TiF_4 образованы из октаэдров TiF_6 ; структурной единицей ZrF_4 и HfF_4 является восьмивершинник EF_8 — квадратная антипризма (рис. 227, б).

Почти все галогениды (кроме TlBr_4 и El_4) бесцветны. В обычных условиях (за исключением жидкого TiCl_4) тетрагалогениды — твердые вещества. В ряду TiHal_4 — ZrHal_4 — HfHal_4 температура плавления однотипных галогенидов возрастает. Например, TiCl_4 — жидкость (т. пл. -23°C), а ZrCl_4 и HfCl_4 плавятся (под давлением) примерно при 430°C .

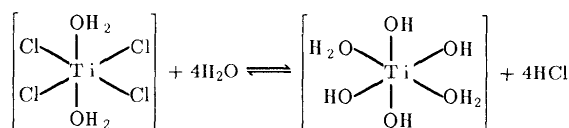
Галогениды Э(IV) обычно получают нагреванием EO_2 с углем в атмосфере галогена:



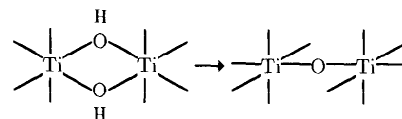
Тетрагалогениды молекулярной структуры летучи, химически активны. Из них наиболее широко используется TiCl_4 , в основном для получения металлического титана и TiO_2 . Иодиды Э(IV) при высоких температурах (1000 — 1400°C) распадаются на иод и металл, что используется, как указывалось, для получения особо чистых Ti, Zr и Hf.

Гидроксиды Э(IV) — студенистые осадки переменного состава $\text{EO}_2 \cdot n\text{H}_2\text{O}$. Свежеполученные осадки (α -форма) имеют относительно большое число OH-групп. Поэтому они более реакционноспособны (растворимы в кислотах), чем состарившиеся осадки (β -форма), в которых OH-группы замещены на O-мостики. Гидроксид титана (IV) растворим в концентрированных щелочах; гидроксиды циркония (IV) и гафния (IV) с щелочами практически не взаимодействуют.

Гидратированные ионы Ti^{4+} , Zr^{4+} и Hf^{4+} вследствие большого заряда в растворах существовать не могут. Поэтому растворимые производные Э (IV) сильно гидролизуются. Гидролиз протекает с образованием разнообразных многоядерных комплексов. Как первую стадию гидролиза TiCl_4 можно рассматривать его координационное насыщение до $\text{TiCl}_4 \cdot 2\text{H}_2\text{O}$ с последующим отщеплением молекул HCl :

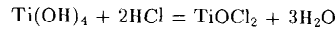


На последующих же стадиях образуются полимерные гидроксо- и оксопроизводные:



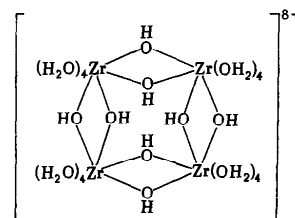
Этому переходу способствуют повышение температуры, щелочная среда и длительное стояние раствора. При дальнейшей полимеризации полиядерные комплексы разрастаются до размеров коллоидных частиц. Возможно даже выделение свободных гидроксидов $\text{EO}_2 \cdot n\text{H}_2\text{O}$.

В многоядерных комплексах молекулы воды и OH-группы могут замещаться на имеющиеся в растворе анионы. Поэтому при взаимодействии оксидов или гидроксидов с кислотами образуются не средние соли, а соответствующие оксо- и гидроксопроизводные, например, типа EOX_2 (где $X = \text{Cl}^-$, Br^- , I^- , NO_3^- , $1/2\text{SO}_4^{2-}$):



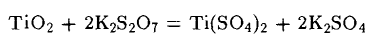
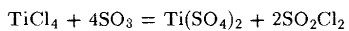
Из кислых растворов выделяются кристаллогидраты $\text{TiOCl}_2 \cdot 2\text{H}_2\text{O}$, $\text{TiOSO}_4 \cdot 2\text{H}_2\text{O}$, $\text{ZrOCl}_2 \cdot 8\text{H}_2\text{O}$, $\text{ZrOSO}_4 \cdot 8\text{H}_2\text{O}$, $\text{HfOCl}_2 \cdot 8\text{H}_2\text{O}$.

Кристаллы TiOSO_4 содержат катионы в виде цепи $-\text{Ti}-\text{O}-\text{Ti}-\text{O}-$, которые связаны ионами SO_4^{2-} . Выделяемый из раствора $\text{ZrOCl}_2 \cdot 8\text{H}_2\text{O}$ содержит тетramerный ион $[\text{Zr}_4(\text{OH})_8(\text{OH}_2)_{16}]^{8+}$:



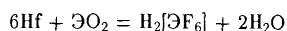
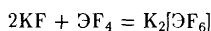
Здесь атомы Zr имеют координационное число 8 и связаны посредством OH-мостиков. Каждый атом окружен еще четырьмя молекулами H₂O. Атомы O молекул H₂O и OH-групп расположены в вершинах квадратной антипризмы.

Соединения простого состава получают лишь в неводных растворах. Так, Ti(SO₄)₂ образуется при взаимодействии TiCl₄ и SO₃ в жидкокомплексном сульфуриле SO₂Cl₂ или сплавлением TiO₂ с дисульфатом:



а Zr(NO₃)₄ — взаимодействием безводных ZrCl₄ и N₂O₅.

Из анионных комплексов Э (IV) относительно более просты по составу галогенопроизводные (рис. 228, а). Наиболее устойчивы в растворах и легко образуются фторокомплексы. Они образуются при растворении ЭO₂ во фтороводородной кислоте и при взаимодействии ЭF₄ с фторидом s-элемента:



Для циркония и гафния более характерны фтороцирконаты (фторографнаты) типа M₃[ZrF₇]⁺¹ и M₂[ZrF₈]⁺². Фторотитанаты, фтороцирконаты и фторографнаты s-элементов I группы хорошо растворимы в воде.

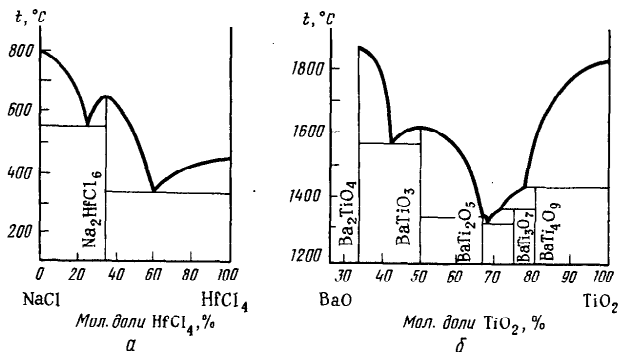
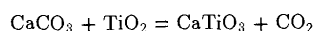
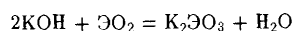


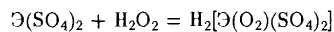
Рис. 228. Диаграмма плавкости системы NaCl - HfCl₄ (а) и BaO - TiO₂ (б)

Производные других анионных комплексов Э(IV) обычно образуются сплавлением соответствующих соединений, например:



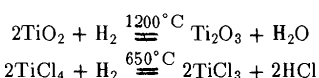
Состав оксотитанатов (IV), оксоцирконатов (IV) и оксогафнатов (IV) весьма разнообразен (рис. 227, б). Простейшие из них отвечают формулам M⁺²ЭO₃, M₂⁺¹ЭO₃ и M₂⁺²ЭO₄. Структура оксотитанатов часто соответствует структурному типу первовскита CaTiO₃ (см. рис. 70) и ильменита FeTiO₃. Большинство оксотитанатов, оксоцирконатов и оксогафнатов представляют собой смешанные оксиды. В воде они не растворяются, производные щелочных металлов гидролизуются.

Для титана и его аналогов весьма характерны анионные комплексы, в которых роль лиганда играет пероксид-радикал O₂^{•-}. Пероксотитанаты и перкоцирконаты образуются при действии H₂O₂ на соответствующие соединения, например:



При этом растворы соединений Ti (IV) приобретают желто-оранжевую окраску. На этом основан один из аналитических методов обнаружения соединений Ti(IV) и пероксида водорода.

Соединения Ti(III). Как указывалось, степень окисления +3 отчетливо проявляется лишь у титана. Производные Ti(III) получают восстановлением соединений Ti (IV), например:



При электрохимическом или химическом восстановлении соединений Ti(IV) в водных растворах образуется фиолетовый аквакомплекс Ti(OH)₆³⁺.

Устойчивое координационное число Ti(III) равно 6; его октаэдрические комплексы имеют электронную конфигурацию

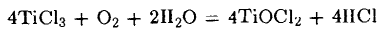


Переход π_d° -электрона на молекулярную σ_d^* -орбиталь определяет окраску комплексов. Для соединений Ti (III) это обычно (при $\Delta = 2,1 - 2,5$ эВ) отвечает фиолетовой окраске (см. рис. 223).

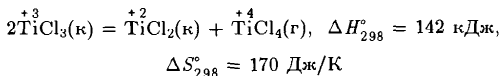
В соответствии с устойчивым координационным числом Ti(III) его оксид Ti_2O_3 (фиолетовый) имеет структуру типа $\alpha-Al_2O_3$ (см. рис. 69, I); хлорид $TiCl_3$ (фиолетовый) — слоистую структуру; в кислых растворах существует акваокомплекс $[Ti(OH_2)_6]^{3+}$, который входит в состав ряда кристаллогидратов титановых квасцов $M^{+1}Ti(SO_4)_2 \cdot 12H_2O$, придавая им фиолетовую окраску.

В воде Ti_2O_3 практически не растворяется. Грязно-фиолетовый осадок $Ti_2O_3 \cdot nH_2O$, получаемый при добавлении щелочи в растворы солей Ti (III), является основным; в избытке щелочи не растворяется.

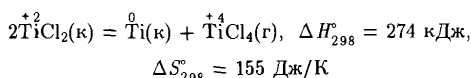
Производные Ti (III) — восстановители. Например, они легко окисляются кислородом воздуха:



Окисление соединений Ti(III) в кислых растворах сопровождается исчезновением фиолетовой окраски за счет образования соединений Ti(IV). Для соединений Ti(III) возможны также реакции диспропорционирования. Так, при нагревании до 400°C $TiCl_3$ распадается по уравнению



Легко показать, что эта реакция эндотермична, но сопровождается большим возрастанием энтропии, поскольку один из продуктов — газ. При дальнейшем нагревании $TiCl_2$ также диспропорционирует:



Хотя эта реакция еще более эндотермична, возрастание энтропии обеспечивает протекание процесса, но уже при более высокой температуре.

ГЛАВА 5. d-ЭЛЕМЕНТЫ В ГРУППЕ ПЕРИОДИЧЕСКОЙ СИСТЕМЫ Д.И. МЕНДЕЛЕЕВА

Элементы V группы — ванадий V, ниобий Nb, tantal Ta и нильсбериевий Ns входят в подгруппу ванадия:

	^{23}V	^{41}Nb	^{73}Ta
Атомная масса	50,942	92,906	180,948
Валентные электроны	$3d^14s^2$	$4d^15s^1$	$5d^16s^2$
Металлический радиус атома, нм	0,134	0,145	0,146
Угловый радиус иона Э^+ , нм	0,040	0,066	0,066
Энергия ионизации $\text{Э}^0 \rightarrow \text{Э}^+$, эВ	6,74	6,88	7,89
Содержание в земной коре, % (мол. доли)	$6 \cdot 10^{-3}$	$2 \cdot 10^{-4}$	$1,8 \cdot 10^{-5}$
Природные изотопы	^{51}V (99,75%)	^{93}Nb (100%)	^{181}Ta (99,99%)
	^{52}V (0,25%)		^{180}Ta (0,01%)

В отличие от подгруппы мышьяка в подгруппе ванадия по мере увеличения атомного номера элемента уплотняются электронные оболочки атомов. Об этом свидетельствуют рост в ряду V—Nb—Ta первой энергии ионизации и характер изменения атомных и ионных радиусов. Вследствие лантаноидного скатия атомные и ионные радиусы Nb и Ta практически одинаковы, поэтому ниобий и tantal по свойствам ближе друг к другу, чем к ванадию.

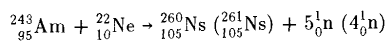
Ванадий в соединениях имеет степень окисления +2, +3, +4 и +5. Для ниobia и tantalа, как и для других 4d- и 5d-элементов, наиболее устойчива высшая степень окисления, т.е. +5. Высшая степень окисления ванадия стабилизируется в фторо- и оксопроизводных.

Устойчивые координационные числа ванадия, отвечающие соответствующим степеням окисления, приведены в табл. 39.

Таблица 39. Степени окисления ванадия и структурные единицы его соединений

Степень окисления	Координационное число	Структурная единица	Примеры соединений
+2	6	Октаэдр	$[\text{V}(\text{OH}_2)_6]^{2+}$, VO
+3	4	Тетраэдр	$[\text{VCl}_4]$
	6	Октаэдр	$[\text{V}(\text{OH}_2)_6]^{3+}$, $[\text{VF}_6]^{3-}$, V_2O_3
+4	4	Тетраэдр	VCl_4
	6	Октаэдр	VO_2 , $[\text{VO}(\text{OH}_2)_5]^{2+}$
+5	4	Тетраэдр	VO_4^{3-} , VOCl_3
		Тригональная бипирамида	VF_5

Первые ядра нильсбория были синтезированы под руководством Г.Н.Флерова в Дубне (1970) бомбардировкой америция-243 ядрами неона-22 (с энергией порядка 120 МэВ):



В США этот элемент называют ганием На.

§ 1. ПОДГРУППА ВАНАДИЯ

Ванадий в земной коре более распространен (см. табл. 26), чем медь, цинк и свинец, но его соединения редко встречаются в виде крупных месторождений. Ванадий относится к рассеянным элементам. Содержится в железных рудах, высокосернистых нефтях. Наиболее важные его минералы патронит VS_2 , ванадинит $\text{Pb}_5(\text{VO}_4)_3\text{Cl}$. Ниобий и tantal — почти всегда встречаются совместно, чаще всего в составе ниобат-танталатовых минералов типа $\overset{+2}{\text{M}}\overset{+2}{\text{O}}_6$ ($\text{M} = \text{Fe}, \text{Mn}$).

В случае преобладания tantalа минерал $\text{M}(\text{TaO}_3)_2$ называется *танталатом*, при преобладании ниobia — *колумбитом* $\text{M}(\text{NbO}_3)_2$.

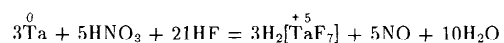
Простые вещества. В виде простых веществ V, Nb и Ta — серые тугоплавкие металлы с объемно центрированной кубической решеткой (см. табл. 28). Некоторые их константы приведены ниже:

	V	Nb	Ta
Пл., $\text{г}/\text{см}^3$	6,11	8,57	16,6
Т. пл., $^{\circ}\text{C}$	1920	2500	2014
Т. кип., $^{\circ}\text{C}$	3400	4927	-5500
ΔS_{298}° , $\text{Дж}/(\text{К}\cdot\text{моль})$	28,9	36,6	41,5
$\Delta H_{\text{возр}, 298}^{\circ}$, $\text{кДж}/\text{моль}$	515	742	782
Электрическая проводимость ($\text{Hg} = 1$)	4	5	6

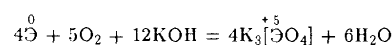
Физико-химические свойства ванадия, ниobia и tantalа существенно зависят от их чистоты. Например, чистые металлы ковки, тогда как примеси (особенно O, H, N и C) сильно ухудшают пластичность и повышают твердость металлов.

В обычных условиях V и особенно Nb и Ta отличаются высокой химической стойкостью. Ванадий на холода растворяется лишь в царской водке и концентрированной HF, а при нагревании — в HNO_3 и концентрированной H_2SO_4 . Ниобий и tantal растворяются в смеси

фтороводородной и азотной кислот с образованием отвечающих их высшей степени окисления анионных фторокомплексов:

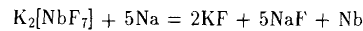
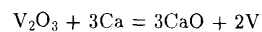


Ванадий, ниобий и tantal взаимодействуют также при сплавлении со щелочами в присутствии окислителей, т.е. в условиях, способствующих образованию отвечающих их высшей степени окисления анионных оксокомплексов:



При нагревании металлы окисляются кислородом до $\overset{+5}{\text{TaO}}_5$, фтором — до $\overset{+5}{\text{TaF}}_5$. При высокой температуре они реагируют также с хлором, азотом, углеродом и др.

Для получения ванадия, ниobia и tantalа их природные соединения сначала переводят в оксиды либо в простые или комплексные галогениды, которые далее восстанавливают металлотермическим методом:



Ниобий и tantal получают также электролизом $\overset{+5}{\text{TaO}}_5$ в расплавленных комплексных фторидах, например $\text{K}_2[\overset{+5}{\text{TaF}}_7]$, $\text{K}_2[\overset{+5}{\text{NbF}}_7]$.

Вследствие близости свойств ниobia и tantalа их отделение друг от друга представляет значительные трудности. Особо чистые металлы получают термическим разложением иодидов.

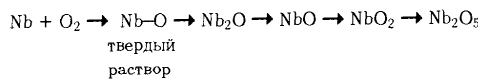
Для технических целей обычно выплавляют *феррованадий*, *феррониобий* и *ферротантал*. Основной потребитель ванадия — черная металлургия. Ценные физико-химические свойства V, Nb и Ta позволяют использовать их при создании атомных реакторов. Ниобий и tantal представляют интерес как конструкционные материалы для особо агрессивных сред в химической промышленности.

§ 2. СОЕДИНЕНИЯ ЭЛЕМЕНТОВ ПОДГРУППЫ ВАНАДИЯ

Металлические и металлоидные соединения. Порошкообразные V, Nb и Ta абсорбируют значительные количества водорода, кислорода, азота, образуя твердые растворы внедрения. При этом неметаллы переходят в атомное состояние и их электроны участвуют в построении d-зоны металлического кристалла. При нагревании растворимость

неметаллов возрастает; вместе с тем изменяются характер химической связи и свойства образуемых соединений.

Так, при образовании оксидов в постепенное окисление ниобия (как и V и Ta) кислородом протекает через ряд стадий:



По свойствам Nb_2O — металлическое соединение. NbO (серого цвета) — соединение переменного состава ($\text{NbO}_{0,98-1,04}$) с металлическим блеском и металлической проводимостью. Диоксид NbO_2 (черного цвета) также переменного состава ($\text{NbO}_{1,9-2,09}$), но уже полупроводник. И, наконец, Nb_2O_5 имеет более или менее постоянный состав и электронной проводимостью не обладает. Таким образом, по мере увеличения содержания кислорода постепенно уменьшается доля металлической связи и увеличивается доля ковалентной, что обуславливает изменение свойств оксидов.

Гидриды ванадия и его аналогов ЭН — крупные металлоподобные порошки серого или черного цвета, имеют переменный состав. Гидриды химически устойчивы, не взаимодействуют с водой и разбавленными кислотами.

Высокой коррозионной стойкостью обладают также нитриды (ЭН, Nb_2N , Ta_2N), карбиды (ЭС, $\text{Э}_2\text{C}$), бориды (ЭВ, ЭB_2 , $\text{Э}_3\text{B}_4$), ряд других соединений ванадия и его аналогов с неактивными неметаллами.

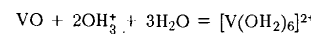
Ванадий, ниобий и тантал между собой и с металлами, близко расположеными к ним в периодической системе (подгруппы железа, титана и хрома), образуют металлические твердые растворы. По мере увеличения различий в электронном строении взаимодействующих металлов возможность образования твердых растворов уменьшается, а интерметаллических соединений, например типа Co_3V , Fe_3V , Ni_3V , Al_2V и др., возрастает.

Интерметаллические соединения ванадия и его аналогов придают сплавам ценные физико-химические свойства. Так, ванадий резко повышает прочность, вязкость и износостойчивость стали. Ниобий придает сталям повышенную коррозионную стойкость и жаропрочность. В связи с этим большая часть добываемого ванадия и ниobia используется в металлургии для изготовления инструментальной и конструкционной стали.

Сплавы на основе карбидов, нитридов, боридов и силицидов ниобия и тантала, отличаются твердостью, химической инертностью и жаростойкостью.

Соединения V(II). Из производных, в которых элементы подгруппы ванадия проявляют степень окисления +2, относительно более устойчивы соединения ванадия. Координационное число ванадия (II) равно 6, что отвечает октаэдрическому строению его структурных единиц в соединениях.

Оксид ванадия (II) VO ($\text{VO}_{0,9-1,2}$) имеет кристаллическую решетку типа NaCl . Он серого цвета, обладает металлическим блеском и сравнительно высокой электрической проводимостью. Получают VO восстановлением V_2O_5 в токе водорода. С водой VO не взаимодействует, но как основное соединение довольно легко реагирует с разбавленными кислотами:

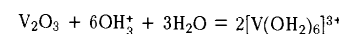


Ион $[\text{V}(\text{OH}_2)_6]^{2+}$ фиолетового цвета. Такую же окраску имеют кристаллогидраты, например $\text{M}_2\text{SO}_4 \cdot \text{VSO}_4 \cdot 6\text{H}_2\text{O}$, $\text{VSO}_4 \cdot 7\text{H}_2\text{O}$, $\text{VCl}_3 \cdot 6\text{H}_2\text{O}$.

Соединения V(II) — сильные восстановители. Фиолетовые растворы производны $[\text{V}(\text{OH}_2)_6]^{2+}$ довольно легко окисляются до $[\text{V}(\text{OH}_2)_6]^{3+}$ и их окраска становится зеленой. В отсутствие окислителей (например, кислорода воздуха) растворы соединений V(II) постепенно разлагают даже воду с выделением водорода.

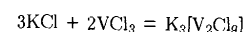
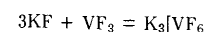
Производные $\text{Nb}(II)$ и $\text{Ta}(II)$ относятся к соединениям кластерного типа (см. ниже).

Соединения V(III). Координационное число ванадия (III) равно 6. По структуре соединения V(III) аналогичны однотипным производным Al(III). Черный оксид ванадия (III) V_2O_3 ($\text{VO}_{1,60-1,80}$) имеет кристаллическую решетку типа корунда $\alpha\text{-Al}_2\text{O}_3$ (см. рис. 69). Из щелочных растворов соединений V(III) выделяется зеленый гидроксид $\text{V}(\text{OH})_3$ переменного состава $\text{V}_2\text{O}_3 \cdot n\text{H}_2\text{O}$. Эти соединения амфотерны, но с преобладанием основных свойств. Так, V_2O_3 и $\text{V}(\text{OH})_3$ растворяются в кислотах:

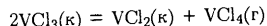


Образующиеся аквакомплексы $[\text{V}(\text{OH}_2)_6]^{3+}$ и производимые от них кристаллогидраты $\text{VCl}_3 \cdot 6\text{H}_2\text{O}$, $\text{VI}_3 \cdot 6\text{H}_2\text{O}$ имеют зеленую окраску. Фиолетовую окраску имеют ванадиевые квасцы $\text{M}^{\frac{1}{3}}[\text{V}(\text{SO}_4)_2] \cdot 12\text{H}_2\text{O}$, которые при растворении дают зеленые растворы.

Тригалогениды ванадия VHal_3 — кристаллические вещества. Трихлорид VCl_3 имеет слоистую структуру. С соответствующими основными галогенидами VHal_3 образуют галогенованадаты — производные ионов $[\text{VHal}_6]^{3-}$ и $[\text{V}_2\text{Cl}_9]^{3-}$ (см. рис. 61, б):



Производные ванадия (III) — сильные восстановители; в растворах они довольно легко окисляются кислородом воздуха до производных V(IV). Тригалогениды при нагревании диспропорционируют:



Эта реакция эндотермична, и ее протекание обвязано энтропийному фактору (за счет образования летучего VCl_4).

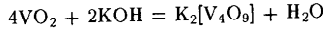
Производные Nb(III) и Ta(III) в основном относятся к соединениям кластерного типа.

Соединения V(IV). При обычных условиях степень окисления +4 для ванадия наиболее характерна. Соединения V(III) довольно легко окисляются до производных V(IV) кислородом, а соединения V(V) восстанавливаются до производных V(IV). Координационное число ванадия (IV) равно 6, а также 4 и 5.

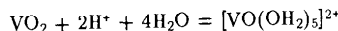
Из производных V(IV) известны синий VO_2 , ($\text{VO}_{1.8-2.17}$) коричневый VF_4 и красно-бурая жидкость VCl_4 , а также оксогалогениды типа VOHal_2 . Диоксид VO_2 образуется при осторожном восстановлении V_2O_5 водородом, а VCl_4 — при окислении ванадия (или феррованадия) хлором.

Диоксид имеет кристаллическую решетку типа рутила TiO_2 (см. рис. 69, Б). Молекула VCl_4 , как и TiCl_4 , имеет тетраэдрическую форму.

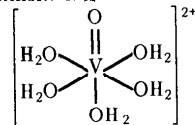
По сравнению с однотипными производными V(II) и V(III) бинарные соединения V(IV) кислотные свойства проявляют более отчетливо. Так, нерастворимый в воде VO_2 относительно легко взаимодействует при нагревании со щелочами. При этом образуются оксованадаты (IV) бурого цвета, чаще всего состава $\text{M}_2[\text{V}_4\text{O}_9]$:



Еще легче VO_2 растворяется в кислотах. При этом образуются не простые аквакомплексы V^{4+} , а акванафтогидраты VO^{2+} , характеризующиеся светло-синей окраской:



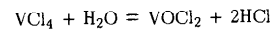
Оксованадильная группировка VO^{2+} отличается высокой устойчивостью, так как связь VO близка к двойной:



Группировка VO^{2+} остается неизменной в ходе различных реакций. В зависимости от природы лигандов она может входить в состав как катионных или анионных комплексов, так и нейтральных молекул.

Взаимодействие VHal_4 с основными галогенидами не характерно, но для V(IV) весьма типичны производные анионных комплексов оксованадила типа $\text{K}_2[\text{VOF}_4]$, $(\text{NH}_4)_3[\text{VOF}_5]$.

Тетрагалогениды ванадия легко гидролизуются. Так, в воде VCl_4 мгновенно переходит в VOCl_2 (дихлорид ванадила):



Для ниобия и tantalа известны диоксиды EO_2 , тетрагалогениды EHal_4 . В этих соединениях проявляется связь металл — металл, т.е. они относятся к кластерам.

Соединения V(V), Nb(V), Ta(V). В ряду V(V) — Nb(V) — Ta(V) устойчивость соединений возрастает. Об этом, в частности, свидетельствует сопоставление энергий Гиббса образования однотипных соединений, например:

	$\text{V}_2\text{O}_5(\text{k})$	$\text{Nb}_2\text{O}_5(\text{k})$	$\text{Ta}_2\text{O}_5(\text{k})$
$\Delta G_{f,298}^\circ, \text{ кДж/моль}$	-1427	-1776	-1908

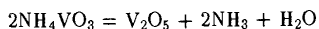
Для ванадия (V) известны лишь оксид V_2O_5 и фторид VF_5 , тогда как для ниobia (V) и tantalа (V) известны и все другие галогениды EHal_5 . Для Э(V), кроме того, характерны оксогалогениды типа EOHal_3 . Все указанные соединения типично кислотные. Некоторые отвечающие им анионные комплексы приведены ниже:

EF_5 [EF_6] ⁻	EOF_3 [EOF_5] ²⁻	EO_2O_5 [EO_4] ³⁻ , [EO_3] ⁻
---	--	---

Для V(V) наиболее типичны координационные числа 4 и 6, а для Nb(V) и Ta(V) — 6 и 7. Кроме того, существуют соединения, в которых координационное число Nb(V) и Ta(V) достигает 8.

Оксиды — красный V_2O_5 (т. пл. 670 °C), белые Nb_2O_5 (т. пл. 1490 °C) и Ta_2O_5 (т. пл. 1870 °C) — тугоплавкие кристаллические вещества. Структурная единица EO_2O_5 — октаэдр EO_6 . Оксиды имеют высокие энталпии и энергии Гиббса образования. Значения ΔH_f° и ΔG_f° для Nb_2O_5 и Ta_2O_5 близки (следствие лантаноидного сжатия) и заметно отличаются от таковых для V_2O_5 .

Оксид ванадия (V) получают термическим разложением NH_4VO_3 :



Он весьма плохо растворим в воде (0,007 г/л при 25 °C), образует кислый раствор светло-желтого цвета; довольно легко растворяется в щелочах, а в кислотах — лишь при длительном нагревании. Оксиды Nb (V) и Ta (V) химически неактивны, в воде и кислотах практически не растворяются, а со щелочами реагируют лишь при сплавлении:



Оксованадаты (V), оксониобаты (V) и оксотанталаты (V) — кристаллические вещества сложного состава и строения. О их многообразии и сложности состава можно судить по характеру соответствующих диаграмм плавкости (например, рис. 229). Простейшие по составу соединения типа $\overset{+1}{\text{M}}\text{EO}_3$ и $\overset{+1}{\text{M}}_3\text{EO}_4$. В большинстве своем они — полимерные соединения. Так, NaNbO_3 кристаллизуется по типу первовскита (см. рис. 70), а $\text{Fe}(\text{NbO}_3)_2$, $\text{Mn}(\text{TaO}_3)_2$ являются смешанными оксидами со структурой типа рутила (см. рис. 69, Б). В воде растворимы лишь производные 5-элементов I группы и NH_4^+ . Из ванадатов наибольшее значение имеет NH_4VO_3 — исходное вещество для получения других соединений ванадия.

Кислоты, действуя на растворы оксованадатов, вызывают полимеризацию ванадат-ионов вплоть до образования осадка гидратированного оксида $\text{V}_2\text{O}_5 \cdot n\text{H}_2\text{O}$. Изменение состава ванадат-ионов сопровождается изменением окраски от почти бесцветного VO_4^{3-} до оранжевого $\text{V}_2\text{O}_5 \cdot n\text{H}_2\text{O}$.

Пентагалогениды EHaI_5 имеют островную структуру. Поэтому они легкоплавки, летучи, растворяются в органических растворителях, химически активны. Фториды бесцветны, остальные галогениды окрашены.

Кристаллы NbF_5 (т. пл. 80 °C, т. кип. 235 °C) и TaF_5 (т. пл. 95 °C, т. кип. 229 °C) состоят из тетрамерных молекул (EF_4), а ECl_5 и EBr_5 (т. пл. и т. кип. порядка 200–300 °C) — из димерных молекул (EHaI_5):

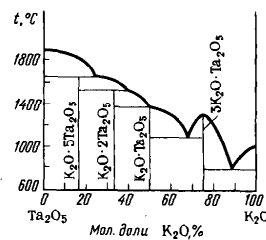
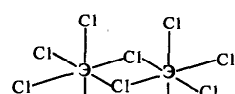
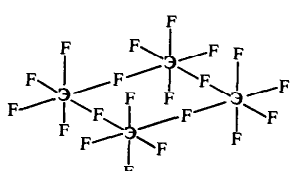


Рис. 229. Диаграмма плавкости системы $\text{Ta}_2\text{O}_5 - \text{K}_2\text{O}$

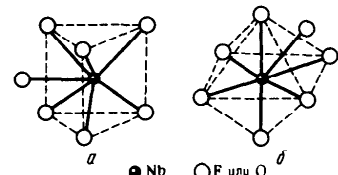
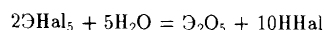
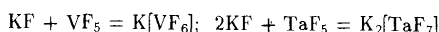


Рис. 230. Взаимная координация атомов в ионе $[\text{NbF}_7]^{2-}$ (а) и $[\text{NbF}_6]^{3-}$ (б)

Пентафторид ванадия VF_5 — вязкая жидкость (т. пл. 19,5 °C), построению подобен SbF_5 . Будучи кислотными соединениями, пентагалогениды легко гидролизуются, образуя аморфные осадки гидратированных оксидов:



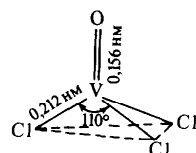
Галогениды Э (V) реагируют с соответствующими основными галогенидами с образованием анионных комплексов $[\text{EF}_6]^-$, а в случае Nb (V) и Ta (V), кроме того, $[\text{EF}_7]^{2-}$, $[\text{EF}_8]^{3-}$ и $[\text{ECl}_6]^-$, например:



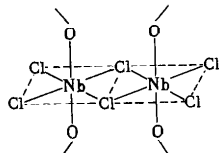
Структура ионов $[\text{EF}_7]^{2-}$ и $[\text{EF}_8]^{3-}$ показана на рис. 230.

Оксогалогениды EOhAl_3 — обычно твердые вещества, в большинстве летучие, а VOCl_3 — жидкость (т. пл. —77 °C, т. кип. 127 °C).

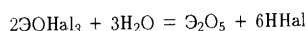
Молекула VOCl_3 имеет форму искаженного тетраэдра с атомом ванадия в центре:



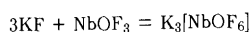
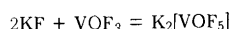
В решетке NbOCl_3 димерные группы Nb_2Cl_6 соединены через мостики $\text{Nb}-\text{C}-\text{Nb}$, образуя бесконечные цепи из октаэдров NbO_2Cl_4 :



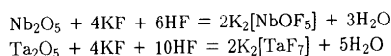
Оксогалогениды легко гидролизуются с образованием гидратированных оксидов $\mathcal{E}_2\text{O}_5 \cdot n\text{H}_2\text{O}$ и HHal



и вступают во взаимодействие с основными галогенидами (рис. 231), например:



При взаимодействии с водными растворами, содержащими KF и HF, Nb_2O_5 дает $\text{K}_2[\text{NbOF}_5]$, а Ta_2O_5 образует $\text{K}_2[\text{TaF}_7]$:



На различии в растворимости $\text{K}_2[\text{TaF}_7]$ и $\text{K}_2[\text{NbOF}_5]$ основан один из методов разделения ниобия и tantalа.

Для ванадия (V) и его аналогов весьма характерны пероксокомплексы типа желтого $[\text{VO}_2(\text{O}_2)_2]^{3-}$, сине-фиолетового $[\text{V}(\text{O}_2)_3]^{3-}$ и бесцветных $[\text{Nb}(\text{O}_2)_4]^{3-}$ и $[\text{Ta}(\text{O}_2)_4]^{3-}$. По строению $[\mathcal{E}(\text{O}_2)_4]^{3-}$ представляют собой восемьвершинник (см. рис. 227).

Пероксованадаты, пероксониобаты и пероксотанталаты образуются при действии пероксида водорода на соответствующие соединения $\mathcal{E}(\text{V})$ в щелочной среде. Например:

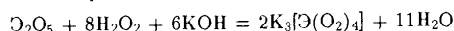
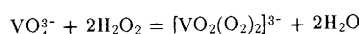


Рис. 231. Диаграмма плавкости системы $\text{CsCl} - \text{NbOCl}_3$

В твердом состоянии эти соединения устойчивы. При действии кислот пероксованадаты разлагаются.

Производные ванадия (V) в кислой среде проявляют окислительные свойства, например окисляют концентрированную соляную кислоту:



Для перевода же ниobia (V) и в особенности tantalа (V) в более низкие степени окисления требуются энергичные восстановители и нагревание.

Соединения ванадия используются в химической промышленности в качестве катализаторов (производство серной кислоты), а также применяются в стекольной и других отраслях промышленности.

ГЛАВА 6. 4-ЭЛЕМЕНТЫ VI ГРУППЫ ПЕРИОДИЧЕСКОЙ СИСТЕМЫ Д.И.МЕНДЕЛЕЕВА

Хром Cr, молибден Mo и вольфрам W — элементы VI группы — образуют подгруппу хрома.

	^{24}Cr	^{42}Mo	^{74}W
Атомная масса	52,01	95,95	183,92
Валентные электроны	$3d^54s^1$	$4d^55s^1$	$5d^46s^2$
Металлический атомный радиус, нм	0,127	0,139	0,140
Условный радиус иона \mathcal{E}^{6+} , нм	0,035	0,065	0,065
Энергия ионизации $\mathcal{E}^0 \rightarrow \mathcal{E}^+$, эВ	6,77	7,10	7,98
Содержание в земной коре, % (мол. доли)	$8 \cdot 10^{-3}$	$6 \cdot 10^{-5}$	$1 \cdot 10^{-5}$

Как видно из приведенных данных, в ряду Cr—Mo—W увеличивается энергия ионизации, т.е. уплотняются электронные оболочки атомов, в особенности сильно при переходе от Mo к W. Последний вследствие лантаноидного сжатия имеет атомный и ионный радиусы, близкие к таковым у Mo. Поэтому молибден и вольфрам по свойствам ближе друг к другу, чем к хрому.

Характерные степени окисления хрома +3 и в меньшей мере +6. Для молибдена и вольфрама, как и для других 4d- и 5d-элементов, наиболее характерна высшая степень окисления, т.е. +6. Возможны также соединения, где хром и его аналоги проявляют степени окисления 0, +1, +2, +4, +5.

Для хрома, молибдена и вольфрама наиболее типичны координационные числа 6 и 4. Известны также производные, в которых координационное число Mo и W достигает 8. Степени окисления элементов

подгруппы и отвечающие им координационные числа приведены в табл. 40.

Таблица 40. Степени окисления хрома и структурные единицы его соединений

Степень окисления	Координатное число	Структурная единица	Примеры соединений
0	6	Октаэдр	$\text{Cr}(\text{CO})_6$
+2	6	Искаженный октаэдр	$[\text{Cr}(\text{OH}_2)_6]^{2+}$, CrF_2 , CrCl_2
+3	6	Октаэдр	$[\text{Cr}(\text{OH}_2)_6]^{3+}$, $[\text{CrCl}_6]^{3-}$, Cr_2O_3 , CrCl_3
+6	4	Тетраэдр	$[\text{CrO}_4]^{2-}$, CrO_2Cl_2 , CrO_3 ,
	6	Октаэдр	CrF_6

Как и для других d -элементов, для хрома при низких степенях окисления более характерны катионные комплексы, а при высоких — анионные комплексы. Так, для Cr(II) характерны катионные комплексы, а для Cr(III) возможны и катионные и анионные комплексы. Тогда как для Cr(VI), так и для Mo(VI) и W(VI), типичны анионные комплексы.

§ 1. ПОДГРУППА ХРОМА

В природе хром и вольфрам находятся в виде соединений с кислородом, а молибден — с серой (см. табл. 27). Из минералов наибольшее значение имеют $\text{Fe}(\text{CrO}_2)_2$ — хромистый железняк; MoS_2 — молибденит, CaWO_4 — шеелит, $(\text{Fe}, \text{Mn})\text{WO}_4$ — вольфрамит.

Наличие в почве следов молибдена необходимо для нормального развития растительных организмов. Особенно это относится к растениям семейства бобовых. Соединения молибдена играют роль катализаторов процесса фиксации атмосферного азота.

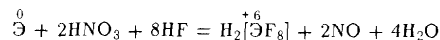
Простые вещества. В виде простых веществ хром, молибден и вольфрам — серовато-белые блестящие металлы. Устойчивые в обычных условиях модификации Cr, Mo и W имеют структуру объемно центрированного куба (см. табл. 28). Их основные константы приведены ниже:

	Cr	Mo	W
Пл., г/см ³	7,2	10,2	19,3
Т. пл., °С	1890	2620	3380
Т. кип., °С	2680	4800	6000
Электрическая проводимость ($Hg = 1$)	7,1	20,2	19,3
$\Delta H^\circ_{\text{возг. 298}}$ кДж/моль	398	656	850
S°_{298} , Дж/(К·моль)	23,6	28,6	32,6

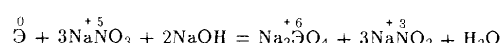
В ряду Cr—Mo—W наблюдается повышение температуры плавления и теплоты атомизации (возгонки). Это объясняют усилением в металлическом кристалле ковалентной связи, возникающей за счет d -электронов. Вольфрам является самым тугоплавким из металлов. Теплота атомизации для него наибольшая.

На свойства металлов в большей степени влияют примеси. Так, технический хром трудно поддается прокату, в то время как чистый хром пластичен. Обычные образцы этих металлов отличаются высокой твердостью (царапают стекло).

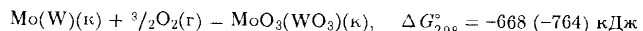
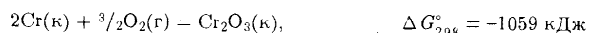
Как и в других подгруппах d -элементов, с ростом атомного номера элемента в ряду Cr—Mo—W химическая активность заметно снижается. Хром взаимодействует с разбавленной соляной и серной кислотами. Вольфрам разрушается в горячей смеси фтороводородной и азотной кислот, создающей условия для образования анионных фторокомплексов W(VI) типа WF_6^{2-} , WF_7^- . Аналогично взаимодействует молибден:



За счет образования оксоанионных комплексов Э (VI) — EO_4^{2-} молибден и вольфрам взаимодействуют при сплавлении со щелочами в присутствии окислителя:



В концентрированных HNO_3 и H_2SO_4 хром пассивируется. При нагревании, в особенности в мелкораздробленном состоянии, Cr, Mo и W довольно легко окисляются многими неметаллами, например сгорают в кислороде:

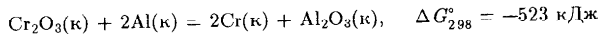


При этом образуются оксид хрома (III) и оксиды молибдена (VI) и вольфрама (VI), что соответствует устойчивым степеням окисления Cr,

Мо и W. Образование CrO_3 ($\Delta G_{f,298}^\circ = -506 \text{ кДж/моль}$) термодинамически менее вероятно, чем образование Cr_2O_3 ($\Delta G_{f,298}^\circ = -1059 \text{ кДж/моль}$).

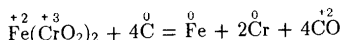
Хром легко пассивируется, поэтому широко используется в качестве гальванических защитных покрытий и для получения коррозионно-стойких сталей. Молибден применяют для изготовления химической аппаратуры, вольфрам — в электротехнической промышленности (в частности, для ламп накаливания). Молибден и вольфрам используют в качестве катализаторов.

Относительно чистый хром получают методом алюмотермии:



а молибден и фольфрам — восстановлением их оксидов водородом. В газофазном методе получают вольфрам при взаимодействии галогенидов вольфрама с водородом при высокой температуре (1200 °С).

Для металлургии хром получают в виде сплава с железом (*ферротром*), содержащий до 60% Cr восстановлением хромистого железняка углем в электрической печи:

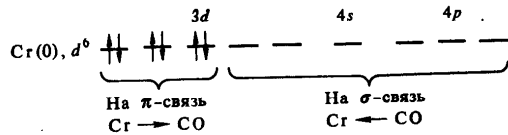


Выплавляют также *ферромолибден* и *ферровольфрам*, которые используются для получения высококачественных специальных сталей.

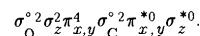
§ 2. СОЕДИНЕНИЯ ЭЛЕМЕНТОВ ПОДГРУППЫ ХРОМА

Соединения Cr (0), Mo (0), W (0). Шулевая степень окисления у *d*-элементов проявляется в соединениях с σ -донорными и π -акцепторными лигандами, например с молекулами CO. Для хрома и его аналогов известны гексакарбонилы $\text{Cr}(\text{CO})_6$. Это бесцветные легко возгоняющиеся твердые вещества (т. пл. 150–170 °C). Их молекулы диамагнитны, имеют форму октаэдра с атомом *d*-элемента в центре.

В нулевой степени окисления атомам хрома и его аналогов можно присвоить электронную конфигурацию d^6 .



Молекула CO имеет электронную конфигурацию:



Две занятые электронами несвязывающие σ^0 -орбитали соответствуют двум несвязывающим парам электронов, одна из которых принадлежит атому O, другая — атому C. Электронная пара σ^{*2} энергетически более выгодна для участия в донорно-акцепторном взаимодействии, чем электронная пара σ^{*2} . Поэтому в качестве лиганда молекула CO

чаще всего координируется через атом углерода. За счет шести свободных $3d^24s^14p^3$ -орбиталей атома Cr (0) и несвязывающих электронных пар при атоме С шести молекул CO образуются шесть σ -связей Cr - CO (рис. 232) и молекула Cr(CO)₆.

Стабилизация молекулы гексакарбонила хрома $\text{Cr}(\text{CO})_6$ достигается за счет π -дативного взаимодействия $\text{Cr} \rightarrow \text{CO}$, в котором принимают участие 3d-электронные пары атома хрома и свободные π^* -орбитали молекул CO (рис. 232). Вследствие переноса заряда от CO к атому Cr (при σ -донорно-акцепторном взаимодействии) и от атома Cr к молекуле CO (при π -дативном взаимодействии) результирующий заряд на атоме хрома оказывается положительным $\delta_{\text{Cr}} = 0,4+$.

Перенос заряда при образовании σ -связи $M \leftarrow CO$ и π -связи $M \rightarrow CO$ приводит к уменьшению порядка связи в молекуле CO. Так, согласно инфракрасным спектрам для свободной молекулы CO волновое число составляет $\nu_{CO} = 2155 \text{ cm}^{-1}$, а для координированных CO-групп меньше — примерно 2000 cm^{-1} .

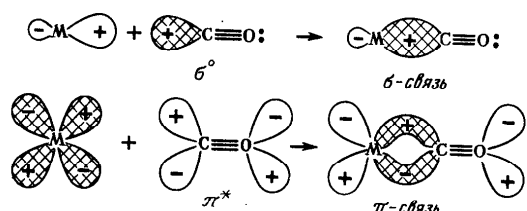


Рис. 232. Схема образования σ - и π -связей M - CO в карбонилах d -элементов:
заштрихованные орбитали содержат электроны; незаштрихованные - свободные

Карбонилы d -элементов (табл. 41) — жидкости или кристаллические вещества, хорошо растворимые в органических растворителях. Как и CO, они чрезвычайно токсичны. Термическим разложением карбонилов получают чистейшие металлы. Кроме того, их используют в химическом синтезе.

Таблица 41. Некоторые карбонилы d -элементов VI—VIII групп таблицы Д.И.Менделеева

VI	VII		VIII	
d^6	d^7	d^8	d^9	d^{10}
$\text{Cr}(\text{CO})_6$ бесцветный, возгоняется	$\text{Mn}_2(\text{CO})_{10}$ желтый, т. пл. 155 °C, возгоняется	$\text{Fe}(\text{CO})_5$ желтый, т. пл. 20 °C, т. кип. 103 °C	$\text{Co}_2(\text{CO})_8$ оранжево-красный, т. пл. 51 °C	$\text{Ni}(\text{CO})_4$ бесцветный, т. пл. -19 °C, т. кип. 43 °C
$\text{Mo}(\text{CO})_6$ бесцветный, возгоняется	$\text{Tc}_2(\text{CO})_{10}$ бесцветный, т. пл. 160 °C	$\text{Ru}(\text{CO})_5$ бесцветный, т. пл. 22 °C	$\text{Rh}_2(\text{CO})_8$ оранжевый, т. пл. 76 °C	-
$\text{W}(\text{CO})_6$ бесцветный, возгоняется	$\text{Re}_2(\text{CO})_{10}$ бесцветный, т. пл. 177 °C, возгорается	$\text{Os}(\text{CO})_5$ бесцветный, т. пл. -15 °C	$\text{Ir}_2(\text{CO})_8$ зелено-желтый, возгоняется	-

Карбонилы могут быть одно-, двух- и многоядерными. Одноядерные карбонилы образуют d -элементы с четным числом валентных электронов. d -Элементы с нечетным числом электронов образуют двухъядерные карбонилы со связью металл — металл (см. табл. 41). Обычно карбонилы металлов получают восстановлением их соответствующих соединений в присутствии CO.

Как указывалось, по многим свойствам с молекулой CO сходна молекула N_2 . В частности, молекула N_2 способна к σ -донорному и π -дативному взаимодействию и может выступать в качестве лиганда. Большой теоретический и практический интерес представляют соединения, в которых роль лиганда играют молекулы N_2 , например, в соединениях $[\text{Ru}(\text{NH}_3)_5(\text{N}_2)]\text{Cl}_4$, $[(\text{NH}_3)_5\text{RuN}_2\text{Ru}(\text{NH}_3)_5]\text{Cl}_4$.

Образование комплексов с участием N_2 играет важную роль при фиксации атмосферного азота микроорганизмами, а также в процессе катализитического синтеза аммиака. В естественных условиях биохимическое связывание атмосферного азота осуществляется с участием комплексов Fe и Mo.

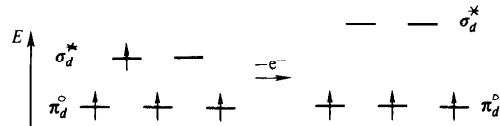
602

Соединения Cr(II). Для хрома в степени окисления +2 характерно координационное число 6. Это соответствует образованию, как правило, высокоспиновых комплексов (и структурных единиц) с электронной конфигурацией:

$$\sigma_d^{12} \pi_d^{\circ 3} \sigma_d^{*1}.$$

Поскольку из двух орбиталей σ_d^* уровня занята только одна орбиталь, высокоспиновые октаэдрические комплексы геометрически искажены: два лиганда находятся на большем расстоянии, чем четыре остальных. Так, в кристалле CrCl_2 четыре атома хлора удалены от Cr(II) на 0,239 нм, а два других — на 0,290 нм.

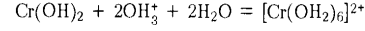
При удалении электрона с разрыхляющей орбитали возникает особо устойчивая конфигурация ($\sigma_d^{12} \pi_d^{\circ 3}$):



Поэтому соединения хрома (II) — сильные восстановители.

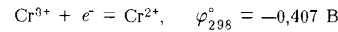
Для хрома (II) известно лишь небольшое число бинарных соединений, в частности дигалогениды CrHal_2 . Оксид хрома (II) CrO (черный) получить очень трудно (факт его существования подвергается сомнению).

Бинарные соединения хрома (II), а также $\text{Cr}(\text{OH})_2$ проявляют практически лишь основные свойства. Например, $\text{Cr}(\text{OH})_2$ (желтый) взаимодействует только с кислотами:

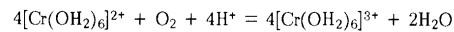


Образующиеся при этом аквакомплексы $[\text{Cr}(\text{OH}_2)_6]^{2+}$ синего цвета; такую же окраску имеют кристаллогидраты, например $\text{Cr}(\text{ClO}_4)_2 \cdot 6\text{H}_2\text{O}$. Дигалогениды довольно легко поглощают газообразный аммиак, образуя аммиакаты, например $[\text{Cr}(\text{NH}_3)_6]\text{Cl}_2$.

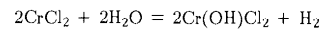
Будучи сильными восстановителями



соли Cr (II) в растворах легко окисляются кислородом воздуха:



а при отсутствии окислителя даже восстанавливают воду, постепенно ее разлагая с выделением водорода:



Соединения Cr(II) получают восстановлением соединений Cr(III), например водородом в растворе в момент выделения, или нагреванием в атмосфере H_2 . Диалогениды можно получить также взаимодействием металла с газообразным NH_3 (при 600—700 °C).

Кластерные соединения. Для d -элементов характерны соединения, в которых содержатся группировки из двух и большего числа непосредственно связанных друг с другом атомов d -элементов. Такие группировки называют кластерами (от англ. cluster — группировка, гнездо). Известные в настоящее время кластерные соединения распадаются на два больших класса: 1) низшие галогениды и оксиды и 2) многоядерные карбонилы.

Кластеры первого типа в основном образуются $4d$ - и $5d$ -элементами V—VII группы (Nb и Ta, Mo и W, Tc и Re). Среди галогенидов и оксидов найдены двух-, трех- и шестиядерные кластеры. Примером шестиядерного (октаэдрического) кластерного соединения является дихлорид молибдена $MoCl_2$ (желтого цвета). По данным рентгеноструктурного анализа, $MoCl_2$ отвечает формула $[Mo_6Cl_8]Cl_4$. Комплекс $[Mo_6Cl_8]^{4+}$ диамагнетен, его строение показано на рис. 233. Шесть атомов молибдена находятся в центрах граней куба, образуя октаэдр Mo_6 ; восемь атомов хлора расположены в вершинах куба, каждый атом Cl связан с тремя атомами Mo. Внешнесферные ионы Cl^- выполняют роль мостиков, объединяющих кластеры $[Mo_6Cl_8]^{4+}$ между собой.

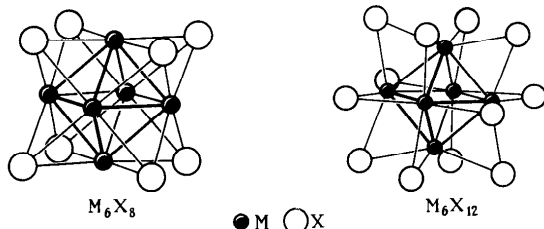
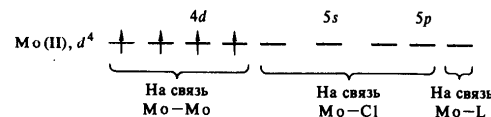


Рис. 233. Структура октаэдрических кластеров типа M_6X_8 на примере иона $Mo_6Cl_8^{4+}$ и типа M_6X_{12} на примере иона $Nb_6Cl_8^{2+}$

Для объяснения строения комплекса воспользуемся качественными представлениями. Каждый из атомов Mo на образование ковалентных связей Mo—Mo с четырьмя соседними атомами Mo представляет четыре электрона. Четыре свободные орбитали от каждого атома Mo используются на образование донорно-акцепторных связей Mo—Cl:

604



Кластерная группировка $[Mo_6Cl_8]^{4+}$ устойчива и может, не изменяясь, переходить в другие соединения

Так, при действии на $MoCl_2$ щелочей образуется основание $[Mo_6Cl_8](OH)_4$, которое при взаимодействии с кислотами дает соли этого иона. Группировка $[Mo_6Cl_8]^{4+}$, кроме того, может выступать в качестве комплексообразователя, координируя шесть лигандов по одному к каждому из атомов Mo, с образованием комплексов $[Mo_6Cl_8L_6]^{2-}$. Например, получены производные иона $[(Mo_6Cl_8)Cl_6]^{2-}$, а также соединение $[(Mo_6Cl_8)(OH)_4(OH_2)_2] \cdot 12H_2O$ и др. Строение $MoBr_2$, WCl_2 , WBr_2 аналогично строению $MoCl_2$.

Среди шестиядерных кластеров весьма распространена группировка типа M_6Cl_{12} (рис. 233). Она обнаружена в $PtCl_2(Pt_6Cl_{12})$, $WCl_3([W_6Cl_{12}]Cl_6)$, $NbCl_4([Nb_6Cl_{12}]Cl_2)$ и др.

К треугольным кластерам относятся галогениды рения (III) и их производные. Так, кристалл $ReCl_3$ построен из группировок Re_3Cl_9 , в которых атомы Re непосредственно объединены в треугольник (рис. 234). Межъядерное расстояние d_{ReRe} составляет 0,248 нм. Оно на 0,027 нм короче межъядерного расстояния в металлическом кристалле рения ($d_{ReRe} = 0,275$ нм). Следовательно, связь металл — металл здесь прочная; ей приписывают кратность, равную двум: $Re=Re$. Поэтому группировка Re_3Cl_9 очень прочная и сохраняется при переводе $ReCl_3$ в газовое состояние (вплоть до 600 °C). При взаимодействии

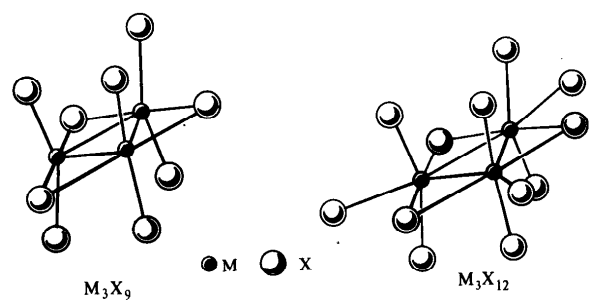
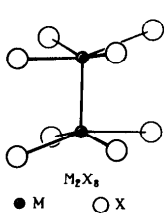


Рис. 234. Структура треугольных кластеров со связью металл—металл типа M_3X_9 и типа M_3X_{12}

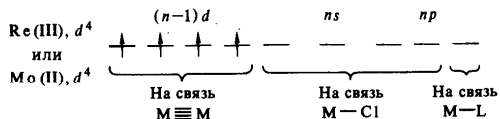


ствии ReCl_3 с концентрированной HCl образуется тримерный ион $[\text{Re}_3\text{Cl}_{12}]^{3-}$ (рис. 234) $d_{\text{ReRe}} = 0,248$ нм. Примерами производных кластеров $[\text{Re}_3\text{Hal}_{12}]^{3-}$ являются соли типа $\text{M}_3[\text{Re}_3\text{Hal}_{12}]$ (красного цвета).

Рис. 235. Структура двуъядерного кластера типа M_2X_8 на примере $\text{K}_2[\text{Re}_2\text{Cl}_8] \cdot 2\text{H}_2\text{O}$

К двуъядерным кластерам относятся ионы $[\text{Mo}_2\text{Cl}_8]^{4-}$ и $[\text{Re}_2\text{X}_8]^{2-}$ ($\text{X} = \text{Cl}, \text{Br}, \text{SCN}$). Экспериментально установлено, что в ионе $[\text{Re}_2\text{Cl}_8]^{2-}$ (рис. 235) межъядерное расстояние d_{ReRe} составляет всего 0,224 нм, т.е. на 0,051 нм короче, чем d_{ReRe} в металле MoMo (0,275 нм). Столь необычно короткое расстояние и диамagnetизм этого иона свидетельствует о четверной связи $[\text{Re} \equiv \text{Re}]$ (одна σ -связь, две π -связи и одна δ -связь). Аналогичным образом четверная связь $[\text{Mo} \equiv \text{Mo}]$ проявляется в диамагнитном ионе $[\text{Mo}_2\text{Cl}_8]^{4-}$, $d_{\text{MoMo}} = 0,214$ нм (в металле $d_{\text{MoMo}} = 0,278$ нм).

Если принять, что ось z проходит через атомы Re, то возникновение связи можно объяснить следующим образом: σ -связь образуется перекрыванием d_{z^2} -орбиталей, две π -связи — взаимодействием d_{xz} - и d_{yz} -орбиталей и δ -связь — перекрыванием d_{xy} -орбиталей.



В качестве производных кластера $[\text{Re}_2\text{Cl}_8]^{2-}$ можно назвать $\text{M}_2[\text{Re}_2\text{Cl}_8] \cdot 2\text{H}_2\text{O}$.

Двуъядерным кластерным оксидом является MoO_2 . Этот оксид в твердом состоянии имеет структуру, близкую типу рутила (рис. 69, Б), с межъядерными расстояниями d_{MoMo} , равными 0,250 и 0,310 нм. Более короткое из них является расстоянием для пары связанных между собой атомов молибдена. Соединение диамагнитно, что соответствует такому объяснению. Найдено, что кластерная группировка M_2 для диоксидов со структурой типа рутила проявляется в WO_2 , TcO_2 , ReO_2 , VO_2 .

Соединения кластерного типа весьма характерны для ниобия и tantalа. Среди кластеров этих элементов лучше изучены галогениды. Вследствие особенностей структуры состав галогенидов обычно не отвечает целочисленным степеням окисления элементов, например:

Состав	Кластерная группировка	Примеры соединений
$\text{ЭHal}_{1,88}$ или $\text{Э}_6\text{Hal}_{11}$	$\text{Э}_6\text{Hal}_8^{3+}$	$[\text{Nb}_6\text{I}_8]\text{I}_3$
$\text{ЭHal}_{2,33}$ или $\text{Э}_6\text{Hal}_{14}$	$\text{Э}_6\text{Hal}_{12}^{2+}$	$[\text{Nb}_6\text{Cl}_{12}]\text{Cl}_2, [\text{Ta}_6\text{Cl}_{12}]\text{Cl}_2$
$\text{ЭHal}_{2,5}$ или $\text{Э}_6\text{Hal}_{15}$	$\text{Э}_6\text{Hal}_{12}^{3+}$	$[\text{Nb}_6\text{F}_{12}]\text{F}_3, [\text{Ta}_6\text{Cl}_{12}]\text{Cl}_3$
$\text{ЭHal}_{2,67}$ или $\text{Э}_3\text{Hal}_8$	$\text{Э}_3\text{Hal}_8$	$\text{Nb}_3\text{Cl}_8, \text{Nb}_3\text{Br}_8, \text{Nb}_3\text{I}_8$

Атомы Nb и Ta чаще всего объединяются в октаэдрические и треугольные группировки (см. рис. 233 и 234). Устойчивые октаэдрические кластерные группировки $\text{Э}_6\text{Hal}_{12}$ обнаружены также в кристаллогидратах типа $\text{Nb}_6\text{Cl}_{14} \cdot 7\text{H}_2\text{O}$, $\text{Ta}_6\text{Cl}_{14} \cdot 7\text{H}_2\text{O}$. Последние в растворе распадаются на ионы $[\text{Э}_6\text{Hal}_{12}]^{2+}$ и 2Hal^- . При действии солей Ag^+ из раствора сразу осаждается только 2 моль галогенид-ионов в расчете на 1 моль соединения.

К соединениям кластерного типа относятся также низшие оксиды ниобия и tantalа. Так, NbO состоит из кластерных группировок Nb_6O_{12} .

В кластерных галогенидах атомы d -элемента используют в образовании связи $\text{M}-\text{M}$ и $\text{M}-\text{Hal}$ все свои валентные электроны (Tc и $\text{Re}=7$, Mo и $\text{W}=6$, Nb и $\text{Ta}=5$) независимо от степени окисления. Таким образом, стремление к использованию всех своих валентных электронов на образование химических связей у $4d$ - и $5d$ -элементов осуществляется либо за счет образования соединений, в которых они проявляют высшую степень окисления, либо за счет образования кластерных соединений.

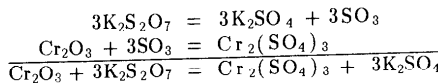
Следовательно, переход от металла к галогениду (или оксиду) не обязательно связан с разрушением всех связей между атомами металла и полной заменой их на связи металл — галоген. Обычно многие металлы d -элементов характеризуются высокими энталпиями атомизации, т.е. разрыв связей между атомами d -элементов требует большой затраты энергии. Поэтому при образовании низшего галогенида не-кластерного типа энергия, выделяемая при образовании связей $\text{M}-\text{Hal}$, оказывается недостаточной для компенсации энергии, затрачиваемой на разрыв всех связей $\text{M}-\text{M}$.

Соединения Cr (III). У хрома степень окисления +3 является наиболее устойчивой. Координационное число хрома (III) равно шести,

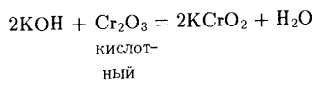
его структурные единицы имеют форму октаэдра. Валентные электронные структурные единицы имеют форму октаэдра. Валентные электронные орбитали Cr(III) располагаются только на связывающих и несвязывающих орбиталах: $\sigma^{12} \pi^3$.

Наличие трех непарных электронов обуславливает парамагнетизм производных Cr (III). Большинство соединений Cr (III) интенсивно окрашено.

Оксид хрома (III) Cr_2O_3 — темно-зеленый порошок, а в кристаллическом состоянии — черный с металлическим блеском. Структура Cr_2O_3 соответствует октаэдро-тетраэдрической координации атомов (структуре типа $\alpha\text{-Al}_2\text{O}_3$, см. рис. 69, Г). Оксид хрома (III) тугоплавок (т. пл. 2265 °C), химически инертен. В воде, кислотах и щелочах не растворяется. Его амфотерная природа проявляется при сплавлении с соответствующими соединениями. Так, при сплавлении Cr_2O_3 с дисульфатом калия образуется сульфат хрома (III):

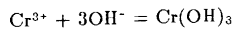


При сплавлении же Cr_2O_3 со щелочами и соответствующими основными оксидами образуются оксохроматы (III), называемые тролитами:

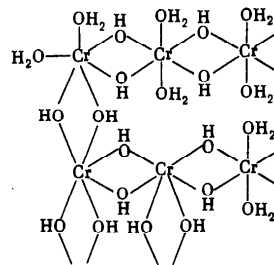


Оксохроматы (III) d^2 -элементов типа $\text{M}(\text{CrO}_2)_2$ являются координационными полимерами, т.е. смешанными оксидами (типа шпинели MgAl_2O_4). В их кристаллах атомы M (II) находятся в тетраэдрическом, а атомы Cr (III) — в октаэдрическом окружении атомов кислорода. Смешанным оксидом Cr (III) — Fe (II) является природный хромит — хромистый железняк FeCr_2O_4 .

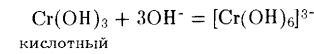
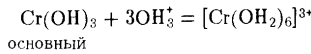
Осаждаемый из растворов серо-голубой гидроксид Cr(OH)₃



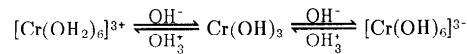
имеет переменный состав $\text{Cr}_2\text{O}_3 \cdot n\text{H}_2\text{O}$. Это многоядерный слоистый полимер, в котором роль лигандов играют OH⁻ и OH₂⁺, а роль мостиковых — OH-группы:



Его состав и структура зависят от условий получения. При стоянии и в особенности при нагревании $\text{Cr}_2\text{O}_3 \cdot n\text{H}_2\text{O}$ вследствие замены связей Cr—OH—Cr на связи Cr—O—Cr теряет активность. Свежеполученный Cr(OH)₃ (т.е. $\text{Cr}_2\text{O}_3 \cdot n\text{H}_2\text{O}$) — аморфный осадок. Хорошо растворяется в присутствии кислот и щелочей, которые вызывают разрыв связей в полимере:

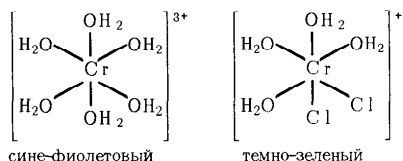


Получение гидроксида хрома (III) и его переход в катионные $[\text{Cr}(\text{OH}_2)_6]^{3+}$ и анионные $[\text{Cr}(\text{OH})_6]^{3-}$ комплексы можно выразить суммарным уравнением:

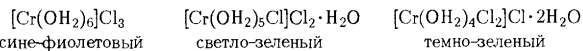


Аквакомплекс $[\text{Cr}(\text{OH}_2)_6]^{3-}$ сине-фиолетового цвета, входит в ряд кристаллогидратов Cr (III), например в фиолетовые $\text{CrCl}_3 \cdot 6\text{H}_2\text{O}$, $\text{CrBr}_3 \cdot 6\text{H}_2\text{O}$, $\text{MCr}(\text{SO}_4)_2 \cdot 12\text{H}_2\text{O}$ (квасцы). Результаты рентгеноструктурного анализа и окраска хромовых квасцов говорят в пользу структуры $[\text{M}(\text{OH}_2)_6][\text{Cr}(\text{OH}_2)_6](\text{SO}_4)_2$. Квасцы образуются при взаимодействии растворов M_2SO_4 и $\text{Cr}_2(\text{SO}_4)_3$. Квасцы, как и некоторые другие производные Cr (III), используются в качестве проправы в красильном деле и при дублении кожи.

В зависимости от условий (температура, концентрация, pH) состав катионных аквакомплексов изменяется, что сопровождается изменением их окраски от фиолетовой до зеленой. Например:



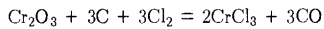
Так, твердый шестиводный кристаллогидрат $\text{CrCl}_3 \cdot 6\text{H}_2\text{O}$ в зависимости от ориентации молекул воды и хлорид-ионов имеет следующие изомерные формы:



Изомерия, обусловленная неодинаковым распределением молекул воды и внешнесферных ионов между внутренней и внешней сферами комплексных соединений, называется *тидратной*.

Существование указанных изомеров можно доказать с помощью следующего эксперимента. При высушивании в экскаторе с концентрированной серной кислотой $[\text{Cr}(\text{OH}_2)_6]\text{Cl}_3$ воду не теряет, $[\text{Cr}(\text{OH}_2)_5\text{Cl}]\text{Cl}_2 \cdot \text{H}_2\text{O}$ теряет 1 моль, а $[\text{Cr}(\text{OH}_2)_4\text{Cl}_2]\text{Cl} \cdot 2\text{H}_2\text{O}$ — 2 моль воды в расчете на 1 моль взятого изомера. При действии же AgNO_3 на растворы, содержащие 1 моль соответствующего соединения, немедленно осаждается соответственно 3, 2 и 1 моль AgCl . Дополнительные доказательства правильности выбранных формул можно получить при измерении электрической проводимости: наибольшей электрической проводимостью обладает раствор $[\text{Cr}(\text{OH}_2)_6]\text{Cl}_3$, меньшей — раствор $[\text{Cr}(\text{OH}_2)_5\text{Cl}]\text{Cl}_2 \cdot \text{H}_2\text{O}$ и еще меньшей — раствор $[\text{Cr}(\text{OH}_2)_4\text{Cl}_2]\text{Cl} \cdot 2\text{H}_2\text{O}$, что находится в полном согласии с уменьшением числа ионов, на которые распадаются при одинаковой молярной концентрации эти соединения.

Трихлорид хрома CrCl_3 (красно-фиолетового цвета) получают при пропускании хлора над раскаленным металлом или нагретой докрасна смесью Cr_2O_3 и древесного угля:



Здесь уместно отметить, что безводные соединения по своей структуре и свойствам существенно отличаются от соответствующих кристаллогидратов. Так, CrCl_3 полимерен (слоистая структура, рис. 236, a), тогда как кристаллы $\text{CrCl}_3 \cdot 6\text{H}_2\text{O}$ имеют островную структуру. В частности, CrCl_3 в отличие от $\text{CrCl}_3 \cdot 6\text{H}_2\text{O}$ в воде растворяется исключительно медленно.

Аналогично $\text{Cr}_2(\text{SO}_4)_3$ (розового цвета) в воде растворяется плохо, а $\text{Cr}_2(\text{SO}_4)_3 \cdot 18\text{H}_2\text{O}$ (фиолетового цвета) хорошо.

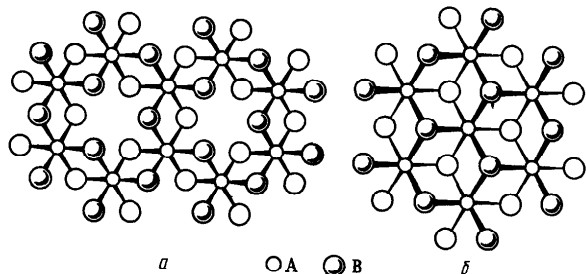
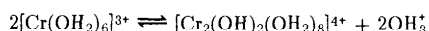
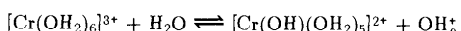


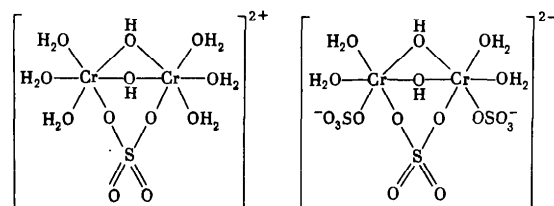
Рис. 236. Структура слоя, образованного октаэдрическими структурными единицами AB_6 , соединения типа AB_3 (a) и соединения типа AB_2 (б)

В растворе соли Cr (III) в большей или меньшей степени гидролизуются. Как первую стадию гидролиза галогенидов, сульфата, нитрата Cr (III) можно рассматривать образование гидроксоаквакомплексов $[\text{Cr}(\text{OH})(\text{OH}_2)_5]^{2+}$, $[\text{Cr}_2(\text{OH})_2(\text{OH}_2)_8]^{4+}$ (табл. 24):



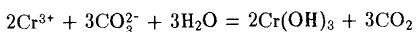
Далее может происходить полимеризация этих комплексов.

Кроме гидроксоаквакомплексов образуются также комплексы, роль лигантов в которых играют анионы растворенной соли. Например, в случае сульфата хрома в зависимости от температуры, pH , концентрации образуются продукты типа:

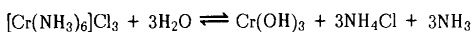


При этом раствор из фиолетового становится зеленым.

При попытке получить в водном растворе по обменным реакциям Cr_2S_3 или $\text{Cr}_2(\text{CO}_3)_3$ вследствие гидролиза выделяется гидроксид:

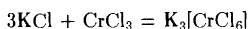
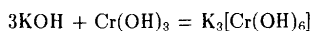


Кроме аквакомплексов для Cr (III) известны катионные амминокомплексы $[\text{Cr}(\text{NH}_3)_6]^{3+}$ (фиолетового цвета). Аммиакаты в твердом состоянии устойчивы. В водных же растворах они постепенно разрушаются:



Поэтому получение аммиакатов Cr (III) легче всего осуществляется в неводных растворах или в жидким аммиаке.

Производные анионных комплексов хрома (III) — хроматы (III) — весьма разнообразны. Ниже приведены уравнения реакций их получения:



Гексагидроксохромат (III)-ионы $[\text{Cr}(\text{OH})_6]^{3-}$ окрашены в изумрудно-зеленый цвет. Гидроксохроматы (III) устойчивы только в твердом состоянии, а в растворах — лишь при большом избытке щелочи.

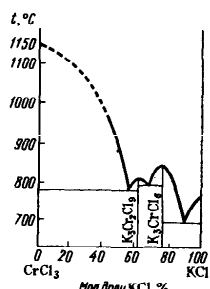
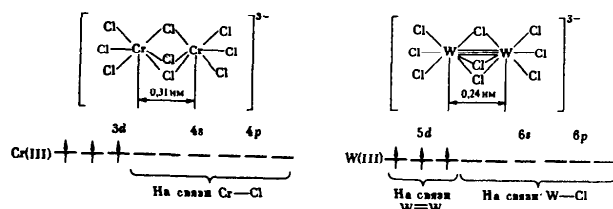


Рис. 237. Диаграмма плавкости системы $\text{CrCl}_3 - \text{KCl}$

Гексахлорохромат (III)-ионы $[\text{CrCl}_6]^{3-}$ окрашены в зеленый цвет. Известны также комплексные хлориды состава $3\text{KCl} \cdot 2\text{CrCl}_3$ (рис. 237), которые являются производными двухъядерных комплексов $[\text{Cr}_2\text{Cl}_9]^{3-}$. Структура последних отвечает сдвоенным октаэдрам CrCl_6 с общей гранью (см. рис. 61, в).

Ион $[\text{Cr}_2\text{Cl}_9]^{3-}$ парамагнетен, имеет три непарных электрона. Однотитаний же ион $[\text{W}_2\text{Cl}_9]^{3-}$ диамагнетен. Расстояние между атомами Cr в $[\text{Cr}_2\text{Cl}_9]^{3-}$ на 0,07 нм больше, чем расстояние между более крупными атомами W в $[\text{W}_2\text{Cl}_9]^{3-}$. Все это показывает, что в отличие от $[\text{Cr}_2\text{Cl}_9]^{3-}$ в ионе $[\text{W}_2\text{Cl}_9]^{3-}$ осуществляется тройная связь между атомами W (одна из связей σ и две π):



Поэтому межъядерное расстояние d_{WW} в ионе $[\text{W}_2\text{Cl}_9]^{3-}$ значительно короче (0,240 нм), чем в металлическом вольфраме (0,280 нм).

Соединения Cr (VI), Mo (VI), W (VI). Степень окисления +6 хрома, молибдена и вольфрама проявляется в галогенидах, оксогалогенидах, оксидах и отвечающих им анионных комплексах:

ЭHal_6^-	ЭOHal_4^-	$\text{ЭO}_2\text{Hal}_2^-$	ЭO_3^-
$[\text{MoF}_7]^-$, $[\text{WF}_7]^-$	$[\text{MoO}_2\text{Hal}_4]^{2-}$	$[\text{MoO}_3\text{F}]^{3-}$	$[\text{MoO}_4]^{2-}$
$[\text{MoF}_8]^{2-}$, $[\text{WF}_8]^{2-}$	$[\text{WO}_2\text{Hal}_4]^{2-}$	$[\text{WO}_3\text{F}]^{3-}$	$[\text{WO}_4]^{2-}$

Для хрома (VI) характерно координационное число 4, что отвечает тетраэдрическому строению его анионных комплексов и структурных единиц. Координационные числа молибдена (VI) и вольфрама (VI) разнообразнее; относительно более устойчивы 4 и 6.

В ряду однотипных производных Cr(VI) — Mo(VI) — W(VI) устойчивость заметно повышается. Об этом, в частности, свидетельствует сопоставление значений энергии Гиббса образования соединений, например:

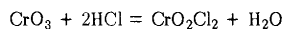
	$\text{CrO}_2(\kappa)$	$\text{MoO}_2(\kappa)$	$\text{WO}_2(\kappa)$
ΔG_f° , кДж/моль	-506	-618	-764
	$\text{CrO}_2\text{Cl}_2(\kappa)$	$\text{MoO}_2\text{Cl}_2(\kappa)$	$\text{WO}_2\text{Cl}_2(\kappa)$
ΔG_f° , кДж/моль	-524	-623	-753
	$\text{CrO}_4^{2-}(\kappa)$	$\text{MoO}_4^{2-}(\kappa)$	$\text{WO}_4^{2-}(\kappa)$
ΔG_f° , кДж/моль	-730	-916	-920

Для хрома (VI) относительно устойчивы лишь оксид CrO_3 и оксогалогениды CrO_2Cl_2 и CrO_2F_2 . Для молибдена (VI) и вольфрама (VI)

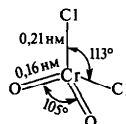
характерны, кроме того, фториды EF_6 (а также MoCl_6 , WCl_6 и WBr_6), оксогалогениды EOHal_4 , сульфиды ES_3 .

Гексафторид хрома CrF_6 — очень неустойчивый лимонно-желтый порошок. Гексафториды аналогов хрома: MoF_6 — бесцветная жидкость (т. пл. 18°C , т. кип. 34°C) и WF_6 — бесцветный газ (т. пл. 2°C , т. кип. 17°C) — значительно устойчивее. Образуются при взаимодействии простых веществ. В отличие от SF_6 они весьма реакционноспособны, например, легко разлагаются водой с образованием оксогалогенидов и HF .

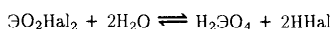
Оксогалогениды хрома (VI) — коричнево-красный CrO_2F_2 (т. пл. 30°C) и красно-бурый CrO_2Cl_2 (т. пл. -97°C , т. кип. 117°C). Последнее соединение (хлористый троллий) — жидкость образуется при взаимодействии сухого CrO_3 с газообразным HCl :



Молекулы EO_2Hal_2 имеют форму искаженного тетраэдра с атомом Э в центре:

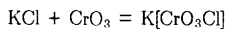


Для молибдена и вольфрама кроме EO_2Hal_2 характерны оксогалогениды состава EOHal_4 . Оксогалогениды Mo (VI) и W (VI) — твердые вещества, обычно летучие. Оксогалогениды — кислотные соединения с некоторыми признаками амфотерности. В отличие от однотипных производных серы SO_2Hal_2 гидролиз EO_2Hal_2 обратим:



Равновесие гидролиза CrO_2Cl_2 смешено вправо, а MoO_2Cl_2 и WO_2Cl_2 гидролизуются в меньшей степени. Это свидетельствует об ослаблении кислотных признаков в ряду $\text{CrO}_2\text{Cl}_2 - \text{MoO}_2\text{Cl}_2 - \text{WO}_2\text{Cl}_2$.

Оксогалогенидам хрома (VI) отвечают соли типа $\text{M}[\text{CrO}_3\text{Hal}]$, а производным молибдена и вольфрама — $\text{M}_2[\text{EO}_2\text{Hal}_4]$ ($\text{Hal} = \text{F}, \text{Cl}$) и $\text{M}_3[\text{EO}_3\text{F}_3]$. Триоксохлорхроматы (VI) — кристаллические вещества оранжевого цвета. Их можно получить взаимодействием растворов CrO_3 и основных хлоридов, например:

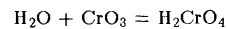


Триоксогалогенхроматы (VI) в воде постепенно гидролизуются. Соответствующие соединения Mo (VI) и W (VI) устойчивее.

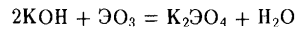
Триоксиды — кристаллические вещества: CrO_3 — темно-красный, MoO_3 — белый и WO_3 — желтый. MoO_3 имеет слоистую, а WO_3 — координационную решетку (см. рис. 69, B), структурной единицей которых являются октаэдры EO_6 . CrO_3 имеет цепочечную структуру, образованную тетраэдрами CrO_4 .

При нагревании CrO_3 (т. пл. 197°C) довольно легко разлагается, выделяя кислород, а MoO_3 (т. пл. 801°C , т. кип. 1155°C) и WO_3 (т. пл. 1473°C , т. кип. $\sim 1670^\circ\text{C}$) в газовую fazu переходят без разложения. Триоксид хрома — энергичный окислитель. Со многими окисляющими веществами он реагирует со взрывом. CrO_3 ядовит.

Триоксид хрома CrO_3 в отличие от MoO_3 и WO_3 легко растворяется в воде, образуя хромовую кислоту, т.е. является кислотным окислителем:



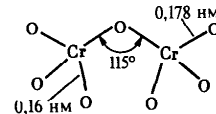
Кислотная природа MoO_3 и WO_3 проявляется при растворении в щелочах:



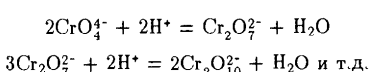
Тетраоксохромат (VI) водорода H_2CrO_4 в свободном состоянии не выделен. В водном растворе — это сильная кислота; она называется хромовой ($K_{a1} = 1,6 \cdot 10^{-1}$, $K_{a2} = 3,2 \cdot 10^{-7}$).

Растворимы в воде оксохроматы (VI), оксомолибдаты (VI) и оксовольфраматы (VI) σ -элементов I группы, а также Mg^{2+} и Ca^{2+} . Ионы CrO_4^{2-} имеют желтую окраску, ионы MoO_4^{2-} и WO_4^{2-} бесцветны.

Для Mo(VI) и W(VI) известны многочисленные производные полимерных оксоанионов весьма сложного состава и строения. Способность к полимеризации иона CrO_4^{2-} выражена менее отчетливо, тем не менее известны, например, $\text{K}_2\text{Cr}_2\text{O}_7$ — дихромат, $\text{K}_2\text{Cr}_3\text{O}_{10}$ — трихромат, $\text{K}_2\text{Cr}_4\text{O}_{13}$ — тетрахромат. Все они содержат анионы, образованные тетраэдрами CrO_4 , соединенными в цепь. Строение иона $\text{Cr}_2\text{O}_7^{2-}$ показано ниже:



Полихроматы образуются при действии кислот на хроматы. Так, если на концентрированный раствор хромата калия подействовать кислотой, то его окраска сначала станет красно-оранжевой, потом изменится до более темной за счет образования дихроматов, затем трихроматов и т.п.:



В результате дальнейшего подкисления раствора концентрированной серной кислотой при охлаждении выделяются темно-красные кристаллы триоксида:

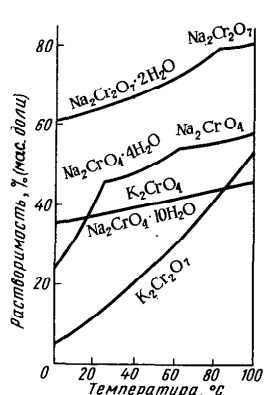
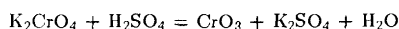
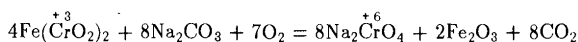


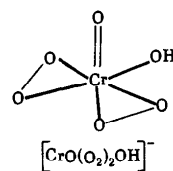
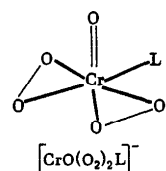
Рис. 238. Растворимость хроматов (VI) и дихроматов (VI) калия и натрия

карбонатами при 1000–1300 °C окисляется до Cr (VI):

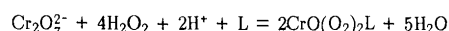


Дихромат натрия $\text{Na}_2\text{Cr}_2\text{O}_7 \cdot 2\text{H}_2\text{O}$ выделяют из подкисленных растворов Na_2CrO_4 . Из раствора $\text{Na}_2\text{Cr}_2\text{O}_7$ осаждением при помощи KCl получают менее растворимый $\text{K}_2\text{Cr}_2\text{O}_7$ (рис. 238).

Для хрома известны разнообразные пероксокомплексы, например голубой $\text{CrO}(\text{O}_2)_2\text{L}$ (L — молекулы воды или эфира) и фиолетовый, вероятно, состава $[\text{CrO}(\text{O}_2)_2\text{OH}]^-$. Эти комплексы имеют форму пентагональной пирамиды с атомом кислорода в вершине:

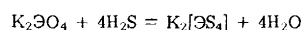


Голубой $\text{CrO}(\text{O}_2)_2\text{L}$ образуется при обработке кислого раствора дихромата пероксидом водорода:

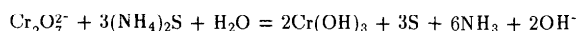


В водном растворе $\text{CrO}(\text{O}_2)_2\text{L}$ нестойкий, более устойчив в эфире, при распаде выделяет кислород и превращается в аквакомплексы Cr (III).

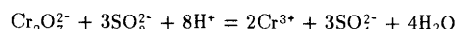
Для молибдена (VI) и вольфрама (VI) известны сульфиды ES_3 , а также производные ионов $[\text{ES}_4]^{2-}$, $[\text{EOS}_3]^{2-}$, $[\text{EO}_2\text{S}_2]^{2-}$, $[\text{EO}_3\text{S}]^{2-}$. Они получаются при пропускании сероводорода через растворы молибдатов и вольфраматов:



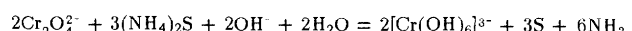
Соединения хрома (VI) — сильные окислители, переходят в окисительно-восстановительных процессах в производные Cr(III). В нейтральной среде образуется гидроксид хрома (III):



в кислой — производные катионного комплекса $[\text{Cr}(\text{OH})_6]^{3+}$:



в щелочной — производные анионного комплекса $[\text{Cr}(\text{OH})_6]^{3-}$:



Наибольшая окислительная активность оксохроматов (VI) наблюдается в кислой среде:



Окислительная способность соединений хрома (VI) используется в химическом анализе и синтезе.

Окислительные свойства производных Mo (VI) и W (VI) проявля-

ются лишь при взаимодействии с наиболее сильными восстановителями, например с водородом, в момент выделения.

Из производных хрома и его аналогов применяются главным образом соединения самого хрома. Так, Cr_2O_3 используется для приготовления красок и как катализатор, CrO_3 — для электролитического получения хрома и хромированных изделий.

ГЛАВА 7. 4-ЭЛЕМЕНТЫ VII ГРУППЫ ПЕРИОДИЧЕСКОЙ СИСТЕМЫ Д.И.МЕНДЕЛЕЕВА

Марганец Mn, технеций Tc и рений Re — полные электронные аналоги с конфигурацией валентных электронов $(n-1)d^5ns^2$. Они объединяются в подгруппу марганца. Некоторые сведения об этих элементах приведены ниже:

	^{25}Mn	^{43}Tc	^{75}Re
Атомная масса	54,9380	[99]	186,2
Валентные электроны	$3d^54s^2$	$4d^55s^2$	$5d^56s^2$
Металлический атомный радиус, нм	0,130	0,136	0,137
Условный радиус иона Э^{4+} , нм	0,052	—	0,072
Условный радиус иона Э^{7+} , нм	0,046	0,056	0,056
Энергия ионизации $\text{Э}^0 \rightarrow \text{Э}^+$, эВ	7,44	7,28	7,88
Содержание в земной коре, % (мол. доли)	$3,2 \cdot 10^{-2}$	следы	$8,5 \cdot 10^{-9}$
Природные изотопы	^{55}Mn (100%)	—	^{185}Re ^{187}Re (37,1%) (62,9%)

Как видим, атомные и ионные радиусы технеция и рения близки (следствие лантаноидного сжатия), поэтому их свойства более сходны между собой, чем с марганцем.

Для марганца характерны степени окисления +2, +4 и +7, что отвечает устойчивой несвязывающей электронной конфигурации d^5 или d^0 , а также d^6 . Существуют соединения марганца, в которых он проявляет степени окисления -1, 0, +3, +5 и +6. Для технеция и рения устойчива высшая степень окисления +7.

Для марганца наиболее типичны координационные числа 6 и 4, для технеция и рения, кроме того, 7, 8 и даже 9. Степени окисления и отвечающие ей структурные единицы марганца приведены в табл. 42.

С ростом степени окисления у марганца и у его аналогов тенденция

к образованию анионных комплексов возрастает, а катионных падает (усиливается кислотный характер их бинарных соединений).

Для химии марганца очень характерны окислительно-восстановительные реакции. При этом кислая среда способствует образованию катионных комплексов Mn (II), а сильнощелочная среда — анионных комплексов Mn (VI). В нейтральной среде (а также слабокислой и слабощелочной) при окислительно-восстановительных процессах образуются производные Mn (IV) (чаще всего MnO_2).

Таблица 42. Степени окисления марганца и пространственная конфигурация структурных единиц его соединений

Степень окисления	Координационное число	Структурная единица	Примеры соединений
-1	6	Октаэдр	$[\text{Mn}(\text{CO})_5]\text{H}$
0	6	То же	$\text{Mn}_2(\text{CO})_{10}$
+2	4	Тетраэдр	$[\text{MnCl}_4]^{2-}$
	6	Октаэдр	$[\text{Mn}(\text{OH}_2)_6]^{2+}$, $[\text{MnF}_6]^{4-}$, MnO_2 , MnF_2 , MnCl_2 , $\text{Mn}(\text{OH})_2$
+3	6	То же	Mn_2O_3
+4	6	»	$[\text{MnCl}_6]^{2-}$, MnO_2
+6	4	Тетраэдр	$[\text{MnO}_4]^{2-}$
+7	4	То же	$[\text{MnO}_4]^-$, Mn_2O_7

§ 1. ПОДГРУППА МАРГАНЦА

В земной коре марганец встречается в основном в виде соединений с кислородом, а рений — с серой (см. табл. 27). Основным природным минералом марганца является пиролюзит MnO_2 . Большое количество марганца содержит железо-марганцево-железные конкреции, находящиеся на дне океанов. Рений самостоятельные минералы образуют редко, а как рассеянный элемент сопутствует (0,05–21 г/т) молибдену в его минералах. Из минералов рения следует упомянуть джезказганит CuReS_4 .

Существование Te ("экамарганца") было предсказано Д.И.Менделевым. Технеций — первый элемент, полученный искусственным путем.

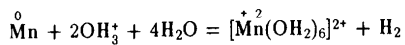
Из многочисленных изотопов технеция относительно более устойчив ^{97}Tc ($T_{1/2} = 2,6 \cdot 10^6$ лет). Незначительные количества технеция встречаются в урановых рудах.

Простые вещества. Простые вещества марганца и его аналогов представляют собой серебристо-белые металлы (см. табл. 28). Некоторые физические константы простых веществ приведены ниже:

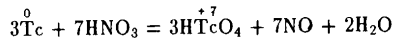
	Mn	Tc	Re
Пл., г/см ³	7,44	11,49	21,04
Т. пл., °C	1245	2200	3190
Т. кип., °C	2080	4600	5600
Электрическая проводимость (Hg = 1)	0,3	—	4,5
S_{298}° , Дж/(К·моль)	32,0	33	36,5
$\Delta H_{\text{возд}, 298}^{\circ}$, кДж/моль	280	649	777
$\varphi_{298}^{\circ} \mathcal{E}^{2+} + 2e^- = \mathcal{E}$, В	-1,18	0,4	—
$\mathcal{E}\text{O}_4^- + 8\text{H}^+ + 7e^- = \mathcal{E} + 4\text{H}_2\text{O}$	—	0,47	0,37

Возрастание теплоты возгонки (атомизации), температур плавления и кипения в ряду Mn—Tc—Re объясняют усилением доли ковалентной связи за счет электронов ($n-1$) d -орбиталей. По тугоплавкости рений уступает лишь вольфраму (т.пл. 3420 °C).

Химическая активность простых веществ в ряду Mn—Tc—Re понижается. Так, в электрохимическом ряду напряжений Mn располагается до водорода, а Tc и Re — после него. Марганец довольно активно взаимодействует с разбавленной HCl и H_2SO_4 , а технеций и рений реагируют лишь с HNO_3 . В соответствии с устойчивыми степенями окисления взаимодействие марганца с разбавленными кислотами приводит к образованию катионного аквакомплекса Mn(II) — $[\text{Mn}(\text{OH}_2)_6]^{2+}$:



Взаимодействие технеция и рения с азотной кислотой приводит к образованию анионного оксокомплекса $\mathcal{E}(\text{VII}) - [\mathcal{E}\text{O}_4]^-$:



Вследствие довольно высокой активности марганец легко окисляется при нагревании, в особенности в порошкообразном состоянии, кислородом, серой, галогенами. Компактный металл на воздухе устойчив, так как покрывается оксидной пленкой, которая препятствует дальнейшему окислению металла. Еще более устойчивая пленка образуется при действии на Mn холодной азотной кислоты. Технеций и рений вступают в химическое взаимодействие с неметаллами при достаточно

сильном нагревании. В атмосфере кислорода они сгорают, образуя O_2O_7 .

Марганец получают электролизом водного раствора его сульфата и восстановлением из оксидов методом алюмино- и силикотермий:



Рений обычно выделяют нагреванием NH_4ReO_4 , KReO_4 в токе водорода (1000 °C):

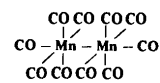


Источником для получения технеция в относительно больших количествах являются продукты деления урана — отходы атомной промышленности.

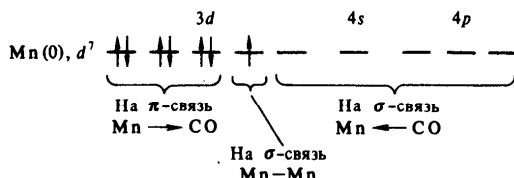
Основную массу марганца выплавляют в виде *ферромарганца* (сплав 60–90% Mn и 40–10% Fe) при восстановлении смеси железных и марганцевых руд углем в электрической печи. Около 90% марганца применяется в металлургии для раскисления и легирования сталей. Он придает сплавам железа коррозионную стойкость, вязкость и твердость. Рений в основном используется в электротехнической промышленности и как катализатор.

§ 2. СОЕДИНЕНИЯ ЭЛЕМЕНТОВ ПОДГРУППЫ МАРГАНЦА

Соединения Mn (0), Tc (0), Re (0). Как указывалось, нулевая степень окисления у d -элементов проявляется в соединениях с σ -донорными и π -акцепторными лигандами. Так, для марганца и его аналогов известны карбонилы состава $\mathcal{E}_2(\text{CO})_{10}$:



Эти соединения диамагнитны, следовательно, атомам марганца и его аналогов в степени окисления 0 можно приписать электронную конфигурацию d^7 :

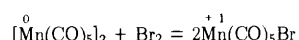
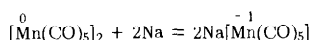


Образование карбонила марганца $Mn_2(CO)_{10}$ можно объяснить следующим образом. Атом Mn (0) за счет пяти свободных $3d$ -, $4s$ -, $4p$ -орбиталей присоединяет пять молекул CO по донорно-акцепторному механизму. При этом образуется радикал $Mn(CO)_5$. Устойчивость связи $Mn-CO$ повышается за счет дативного π -взаимодействия $Mn \rightarrow CO$, в котором принимают участие $3d$ -электронные пары атома марганца и π^* -орбитали молекул CO. За счет непарных электронов атомов марганца возникает σ -связь $Mn-Mn$, поэтому радикалы $Mn(CO)_5$ объединяются в молекулу $Mn_2(CO)_{10}$.

В обычных условиях $Mn_2(CO)_{10}$ желтый (т. пл. $157^\circ C$), $Tc_2(CO)_{10}$ (т. пл. $160^\circ C$) и $Re_2(CO)_{10}$ (т. пл. $177^\circ C$) — бесцветные твердые легко возгоняющиеся вещества.

Карбонилы металлов способны к реакциям замещения и окисления — восстановления. Так, CO-группы в молекулах карбонилов могут замещаться на другие лиганды σ -донорного и π -акцепторного типа (PF_3 , PCl_3 , NO и др.), например $Cr(PF_3)_3(CO)_3$.

В качестве примеров окислительно-восстановительных реакций можно привести следующие:



В первом случае $Mn_2(CO)_{10}$ восстанавливается, во втором — окисляется, что отвечает изменению степени окисления Mn от нуля до -1 и $+1$ соответственно.

Ниже приведены d -элементы, которые образуют нейтральные бинарные карбонилы и дают комплексы, содержащие помимо CO-группы атомы галогенов, например $Mn(CO)_5Br$:

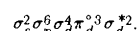
Группы							
V	VI	VII	VIII		Г	II	
Cr	Mn	Fe	Co	Ni	Cu	Zn	
Nb	Mo	Tc	Ru	Rh	Pd	Ag	Cd
Ta	W	Re	Os	Ir	Pt	Au	Hg

Сплошной линией обведены символы d -элементов, образующих бинарные

карбонилы; пунктирной линией — d -элементы, образующие карбонилгалогениды.

Известны и другие соединения нулевой степени окисления d -элементов, например $Cr(PF_3)_6$, $Mo(PF_3)_6$, $Cr(PF_3)_3(CO)_3$, $Fe(NO)_4$, $Fe(NO)_2(CO)_2$. В этих соединениях молекулы-лиганды выступают в качестве σ -доноров и π -акцепторов электронных пар. Координационные числа d -элементов здесь также обусловливаются числом свободных орбиталей, возникающих при спаривании валентных электронов комплексообразователя.

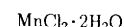
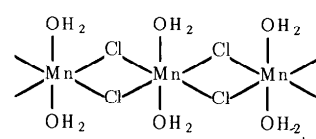
Соединения Mn (II). Для марганца (II) характерно координационное число шесть, что соответствует октаэдрическому расположению связей. Соединения Mn (II) парамагнитны. Строение высокоспиновых октаэдрических комплексов Mn (II) соответствует следующей электронной конфигурации:

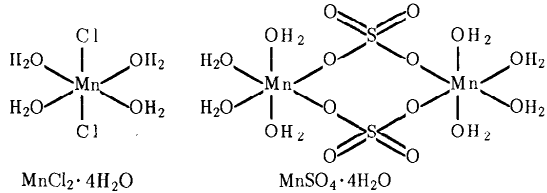


Бинарные соединения марганца (II) — кристаллические вещества с координационной или слоистой решеткой. Например, MnO и MnS имеют структуру типа $NaCl$, к структурному типу рутила относится MnF_2 (см. рис. 69, Б), слоистую структуру имеют $MnCl_2$, $Mn(OH)_2$ (см. рис. 236, б).

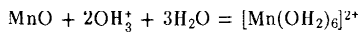
Большинство солей Mn (II) хорошо растворимы в воде. Малорасторимы MnS , $Mn(OH)_2$, $MnCO_3$ и $Mn_3(PO_4)_2$. Аквакомплексы $[Mn(OH_2)_6]^{2+}$ придают растворам розовую окраску. Такого же цвета кристаллогидраты Mn (II), например $Mn(NO_3)_2 \cdot 6H_2O$, $Mn(ClO_4)_2 \cdot 6H_2O$.

В кристаллогидратах с меньшим числом молекул воды роль лигандов, помимо OH_2 -групп, играют их анионные составляющие. Например, в $MnCl_2 \cdot 2H_2O$ и $MnCl_2 \cdot 4H_2O$ октаэдрическое окружение Mn (II) возникает за счет хлорид-ионов и молекул воды; в кристаллогидрате $MnSO_4 \cdot 4H_2O$ группа SO_4^{2-} играет роль связующего мостика между атомами Mn (II)

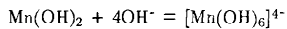




По химическим свойствам бинарные соединения Mn(II) слабо амфотерны (преобладают признаки основных соединений). В реакциях без изменения степени окисления для них наиболее характерен переход в катионные комплексы. Так, оксид MnO, как и гидроксид Mn(OH)₂, легко взаимодействует с кислотами:



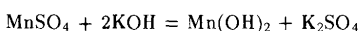
С щелочами же они реагируют только при достаточно длительном нагревании:



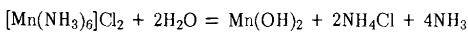
Из гидроксомanganатов (II) выделены в свободном состоянии K₄[Mn(OH)₆]²⁻ (красного цвета) и некоторые другие. Все они в водных растворах полностью разрушаются. По этой же причине ни металлический марганец, ни его оксид и гидроксид в обычных условиях со щелочами не взаимодействуют.

Оксид MnO (серо-зеленого цвета, т. пл. 1780 °C) обладает полупроводниковыми свойствами. Его обычно получают, нагревая MnO₂ в атмосфере водорода или термически разлагая MnCO₃.

Поскольку MnO с водой не взаимодействует, Mn(OH)₂ (белого цвета) получают косвенным путем — действием щелочи на раствор соли Mn(II):

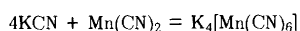


Известны аммиакаты Mn (II), например [Mn(NH₃)₆]Cl₂, [Mn(NH₃)₆](ClO₄)₂. Аммиакаты легко разрушаются водой:

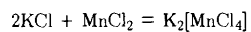
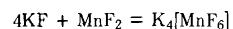


и могут существовать лишь в твердом состоянии или в растворах с большим избытком аммиака и солей аммония.

Кислотные признаки соединения Mn (II) проявляют при взаимодействии с однотипными производными щелочных металлов. Так, нерастворимый в воде Mn(CN)₂ (белого цвета) за счет комплексообразования растворяется в присутствии KCN:



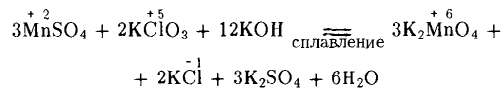
Аналогичным образом протекают реакции



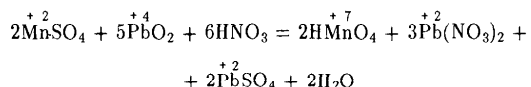
Большинство мanganатов (II) (кроме комплексных цианидов) в разбавленных растворах распадаются.

Мanganаты(II) часто образуют кристаллогидраты, например K₂[MnCl₄]·2H₂O, K₂Mn(SO₄)₂·4H₂O. Последние состоят из октаэдрических комплексов типа [MnCl₄(OH)₂]²⁻ и [Mn(SO₄)₂(OH)₂]²⁻.

При действии окислителей производные Mn (II) проявляют восстановительные свойства. Так, в щелочной среде Mn(OH)₂ легко окисляется даже молекулярным кислородом воздуха. Поэтому осадок Mn(OH)₂, получаемый по обменной реакции, быстро темнеет с образованием MnO₂·nH₂O. В сильнощелочной среде окисление сопровождается образованием оксомanganатов (VI) — производных MnO₄²⁻:



Сильные окислители, такие, как PbO₂ (окисляет в кислой среде), переводят соединения Mn (II) в оксомanganаты (VII) — производные MnO₄⁻:



Последняя реакция используется в аналитической практике как качественная реакция на соединения марганца.

Соединения Tc (II) и Re (II) не характерны.

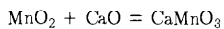
Соединения Mn (IV). Как указывалось, для ионов с конфигурацией d³ наиболее типичны октаэдрические комплексы с распределением валентных электронов по орбиталиям:



Таким образом, для Э(IV) наиболее характерно координационное число шесть. Можно привести лишь несколько примеров устойчивых бинарных соединений марганца (IV). Это диоксид MnO_2 , тетрафторид MnF_4 . Относительно устойчивы также производные гексагалогеномanganат (IV)-комплексов типа MnF_6^{2-} и $MnCl_6^{2-}$, в то время как $MnCl_4$ легко разлагается, а MnF_4 очень реакционноспособен.

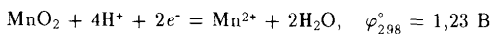
Диоксид MnO_2 — черно-буровое твердое вещество. Это наиболее устойчивое соединение марганца; оно широко распространено в земной коре (пиролюзит и др.). Кристаллы MnO_2 построены по типу кристаллов рутила (см. рис. 69, б). При обычных условиях MnO_2 в воде не растворяется и довольно инертен — без нагревания устойчив к действию большинства кислот.

По химической природе MnO_2 амфотерен. Его основным признаком отвечает черная соль $Mn(SO_4)_2$, получаемая окислением $MnSO_4$. В водных растворах это соединение гидролизуется нацело. При сплавлении со щелочами или основными оксидами MnO_2 играет роль кислотного оксида, например:

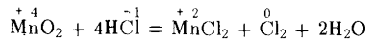


При этом образуются оксомanganаты (IV) весьма разнообразного и сложного состава. Простейшие из них $MMnO_3$ и M_4MnO_4 .

Соединения Mn (IV) — сильные окислители:

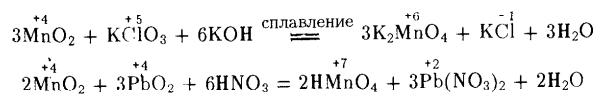


При нагревании с кислотами MnO_2 не образует аквакомплексы Mn^{4+} , а проявляет окислительные свойства, например окисляет концентрированную соляную кислоту:



При взаимодействии же с H_2SO_4 или HNO_3 диоксид марганца разлагается с выделением кислорода. В качестве дешевого окислителя MnO_2 широко используется в технике и лабораторной практике. В стекольном производстве применяется для обесцвечивания стекла, используется в спичечном производстве.

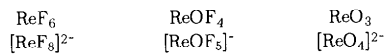
При взаимодействии соединений марганца (IV) с наиболее сильными окислителями образуются производные Mn (VI) и Mn (VII), например:



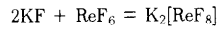
Соединения Mn (VI), Tc (VI), Re (VI). Соединения, в которых степень окисления марганца и его аналогов +6, немногочисленны. Из них более устойчивы соединения рения и технеция, для которых известны фториды и хлориды, ряд оксогалогенидов и оксиды, например:

ReF_6 бледно-желтый т. пл. 19 °C т. кип. 34 °C	$ReOF_4$ синий т. пл. 108 °C т. кип. 172 °C	ReO_3 красный т. пл. 160 °C
		—

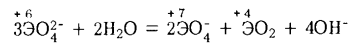
Галогениды, оксогалогениды и оксиды Tc(VI) и Re(VI) — кислотные соединения. Им соответствуют анионные комплексы, например:



Так, ReF_6 взаимодействует с фторидами щелочных металлов с образованием солей иона ReF_8^{2-} :

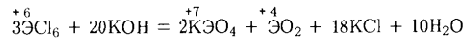


Степень окисления +6 марганца несколько стабилизируется в анионе MnO_4^{2-} , называемом *манинатом*. Производные MnO_4^{2-} , TcO_4^{2-} и ReO_4^{2-} (темно-зеленого цвета) в водных растворах существуют лишь при большом избытке щелочи, в противном случае диспропорционируют по схеме

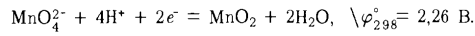


Очевидно, что особо легко этот процесс происходит в кислой среде.

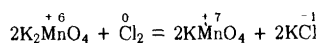
Диспропорционированием сопровождается также гидролиз галогенидов и оксогалогенидов Tc (VI) и Re (VI), протекающий весьма энергично с образованием \mathcal{EO}_4 , \mathcal{EO}_2 и $\mathcal{E}Hal$. При взаимодействии \mathcal{EO}_3 , $\mathcal{EO}Hal_4$, \mathcal{EF}_6 , \mathcal{ECl}_6 со щелочами образуются соответствующие соли и \mathcal{EO}_2 , например:



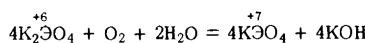
Соединения Mn (VI) — сильные окислители, в особенности в кислой среде:



Однако при действии хлора они превращаются в оксомanganаты (VII):



Производные Tc (VI) и Re (VI), наоборот, легко окисляются даже молекулярным кислородом воздуха:



Соединения Mn (VII), Tc (VII), Re (VII). Устойчивость соединений в ряду Mn (VII), Tc (VII) и Re (VII) повышается. Так, для Mn (VII) известны лишь оксид Mn_2O_7 и оксофторид MnO_3F , а для Re (VII) получена вся гамма соединений ряда ReF_7 — Re_2O_7 :

ReF_7	ReOF_5	ReO_2F_3	MnO_3F	Mn_2O_7
ReO_3F			Re_2O_7	

Сведения о некоторых соединениях Mn(VII) и Re(VII) приведены далее: MnO_3F — зеленый (т. пл. -38°C); Mn_2O_7 — зеленый (т. пл. $5,9^\circ\text{C}$); ReF_7 — желтый (т. пл. $18,5^\circ\text{C}$); ReO_3F — желтый (т. пл. 147°C); Re_2O_7 — желтый (т. пл. $301,3^\circ\text{C}$).

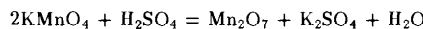
Марганцу (VII), технецию (VII) и рению (VII) отвечают устойчивые анионные тетраэдрические комплексы типа EO_4^- . Максимальное координационное число рения проявляется в соединениях $\text{K}_2[\text{ReF}_9]$ и $\text{K}_2[\text{ReH}_9]$.

О повышении устойчивости однотипных производных в ряду Mn (VII) — Tc(VII) — Re(VII) свидетельствует характер изменения энталпии и энергии Гиббса образования этих соединений.

Значения ΔH_f° и ΔG_f° для соединений Tc(VII) и Re(VII) более отрицательные, чем для однотипных соединений Mn(VII), например, в ряду $\text{EO}_7(\text{k})$ и $\text{EO}_4(\text{p})$:

	Mn_2O_7	Tc_2O_7	Re_2O_7	MnO_4^-	TcO_4^-	ReO_4^-
$\Delta G_{f,298}^\circ, \text{кДж/моль}$	-544	-938	-1198	-449	-630	-699

Оксид марганца (VII) Mn_2O_7 — неустойчивая темно-зеленая маслянистая жидкость. Его получают действием концентрированной H_2SO_4 на оксомanganаты (VII):

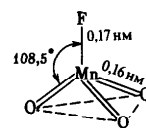


Если не применять специальных мер, Mn_2O_7 разлагается со взрывом:



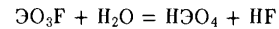
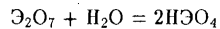
Оксид технеция (VII) Tc_2O_7 и оксид рения (VII) Re_2O_7 — устойчивые кристаллические вещества желтого цвета. В отличие от Mn_2O_7 оксид технеция (VII) разлагается лишь при нагревании (260°C), а оксид рения (VII) кипит без разложения (при 359°C). Оксиды Tc(VII) и Re(VII) получают непосредственным окислением простых веществ.

В обычных условиях MnO_3F — жидкость. Ее молекула имеет форму искаленного тетраэдра с атомом марганца в центре ($\mu = 0,5 \cdot 10^{-29} \text{ Кл} \cdot \text{м}$):



Аналогичным образом построены молекулы TcO_3Hal и ReO_3Hal .

Галогениды, оксогалогениды и оксиды Э(VII) — типичные кислотные соединения. Они взаимодействуют с водой с образованием кислот $\text{H}\overset{+}{\text{EO}_4}$, например:

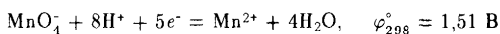


Тетраоксомanganат (VII) водорода HMnO_4 неустойчив (разлагается уже выше 3°C). Тетраоксотехнат (VII) водорода HTcO_4 — красное кристаллическое вещество, тетраоккорнат (VII) водорода HReO_4 не выделен. В водных растворах $\text{H}\overset{+}{\text{EO}_4}$ являются сильными кислотами (см. табл. 22), называемыми соответственно *марганцевой*, *технецевой* и *рениевой*. В ряду HMnO_4 — HTcO_4 — HReO_4 сила кислот несколько уменьшается.

Большинство производных MnO_4^- , TcO_4^- и ReO_4^- (неудачно называемых еще *пермanganатами*, *пертехнатами* и *перренатами*) хорошо растворимо в воде. Сравнительно трудно растворимы соли K^+ , Rb^+ и Cs^+ . Ион MnO_4^- красно-фиолетового цвета, а ионы TcO_4^- и ReO_4^- бесцветны.

Соединения марганца (VII) — сильные окислители. Например, при соприкосновении с Mn_2O_7 эфир и спирт воспламеняются. Тетраоксомanganаты (VII) в качестве сильных окислителей широко используются в лабораторной практике. Возможны следующие направления восстановления иона MnO_4^- в зависимости от среды.

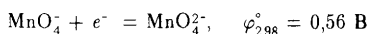
Кислая среда:



Нейтральная и щелочная среда:

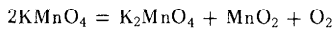


Сильнощелочная среда:



В кислой среде образуются катионы типа $[Mn(OH_2)_6]^{2+}$, в сильнощелочной среде — анионы MnO_4^{2-} , в нейтральной и щелочной — производные марганца (IV), обычно MnO_2 .

При нагревании оксомanganаты (VII) распадаются:



Эта реакция применяется в лаборатории для получения кислорода.

Из соединений элементов подгруппы марганца наибольшее применение имеет MnO_2 . Это исходный продукт для получения всех остальных производных марганца. Диоксид применяют также в качестве катализатора, дешевого окислителя, деполяризатора в гальванических элементах, в том числе батарей карманных фонариков, и т.д. Мангантан (VII) калия используется в медицине. Ряд соединений используют в качестве микроудобрений. Соединения рения, как и сам металл, применяют в качестве катализаторов.

ГЛАВА 8. *d*-ЭЛЕМЕНТЫ VIII ГРУППЫ ПЕРИОДИЧЕСКОЙ СИСТЕМЫ Д.И.МЕНДЕЛЕЕВА

В VIII группу входят девять *d*-элементов, которые составляют три подгруппы — подгруппу железа (железо Fe, рутений Ru, осмий Os), подгруппу кобальта (кобальт Co, родий Rh, иридий Ir) и подгруппу никеля (никель Ni, палладий Pd, платина Pt).

По мере заполнения ($n - 1$) *d*-орбиталей вторым электроном усиливается сходство соседних *d*-элементов по периоду. Так, никель проявляет большое сходство как с Co и Fe, так и с Cu. Кроме того, вследствие лантаноидного сжатия особая близость свойств наблюдается у диад Ru—Os, Rh—Ir и Pd—Pt. Поэтому эти элементы 5-го и 6-го периодов часто объединяют в семейство так называемых *платиновых металлов*. Железо, кобальт, никель объединяют в *семейство железа*.

§ 1. ПОДГРУППА ЖЕЛЕЗА

Железо Fe, рутений Ru и осмий Os — каждый в своем периоде — являются первыми *d*-элементами, у которых начинается заполнение *d*-орбиталей предыдущего слоя вторым электроном. Поэтому они являются родоначальниками вторых подсемейств *d*-элементов:

	^{27}Fe	^{44}Ru	^{76}Os
Атомная масса	55,847	101,07	190,2
Валентные электроны	$3d^64s^2$	$4d^75s^1$	$5d^66s^2$
Металлический радиус атома, нм	0,126	0,134	0,135
Условный радиус иона, нм			
3^{2+}	0,080	0,085	0,089
3^{3+}	0,067	0,077	0,081
3^{4+}	—	0,062	0,065
3^{8+}	—	—	0,054
Энергия ионизации $\mathcal{E}^0 \rightarrow \mathcal{E}^+$, эВ	7,89	7,37	8,5
Содержание в земной коре, % (мол. доли)	2,0	$1 \cdot 10^{-7}$	$5 \cdot 10^{-7}$

Для железа наиболее характерны степени окисления +2 и +3, известны также производные железа, в которых его степень окисления равна —2, 0, +4, +6 и +8. Наиболее устойчивы соединения Ru (IV) и Os (VIII).

Для элементов подгруппы железа характерны координационные числа 6 и 4. Влияние степени окисления на пространственную конфигурацию молекул и комплексов показано в табл. 43.

Железо — один из наиболее распространенных элементов в земной коре (см. табл. 26). Оно входит в состав многочисленных минералов, образующих скопления железных руд. Важнейшие из них: *бурые железняки* (основной минерал *лилонит* $HFeO_2 \cdot nH_2O$), *красные железняки* (основной минерал *гематит* Fe_2O_3), *магнитные железняки* (основной минерал *магнетит* Fe_3O_4), *сидеритовые руды* (основной минерал *сидерит* $FeCO_3$) и др. Железо содержится в природных водах. Изредка встречается самородное железо космического (метеорного) или земного

Таблица 43. Степени окисления и пространственная конфигурация структурных единиц соединений элементов подгруппы железа

Степень окисления	Координационное число	Структурная единица	Примеры соединений
-2 0	4 5	Тетраэдр Тригональная бипирамида	$[\text{Fe}(\text{CO})_4]^{2-}$ $\text{E}(\text{CO})_5$, $\text{Fe}(\text{PF}_3)_5$
+2	4 6	Тетраэдр Октаэдр	$[\text{FeCl}_4]^{2-}$ $[\text{Fe}(\text{OH}_2)_6]^{2+}$, $[\text{E}(\text{NH}_3)_6]^{2+}$, $[\text{E}(\text{CN})_6]^{4-}$, FeO , FeCl_2
+3	4 6	Тетраэдр Октаэдр	$[\text{FeCl}_4]^+$, $\text{Fe}(\text{III})$ в Fe_3O_4 $[\text{Fe}(\text{OH}_2)_6]^{3+}$, $[\text{E}(\text{NH}_3)_6]^{3+}$, $[\text{E}(\text{CN})_6]^{3-}$, Fe_2O_3 , FeF_3 , FeCl_3
+4	6	»	$[\text{RuCl}_6]^{2-}$, $[\text{OsCl}_6]^{2-}$, RuO_2
+6	4 6	Тетраэдр Октаэдр	$[\text{FeO}_4]^{2-}$, $[\text{RuO}_4]^{2-}$, RuF_6 , OsF_6 , $[\text{OsO}_2\text{Cl}_4]^{2-}$, $[\text{OsO}_2(\text{OH})_4]^{2-}$, $[\text{OsNCl}_5]^{2-}$
+8	4 6	Тетраэдр Октаэдр	RuO_4 , OsO_4 , $[\text{OsO}_8\text{N}]^+$ $[\text{OsO}_3\text{F}_3]^-$, $[\text{OsO}_4(\text{OH})_2]^{2-}$

происхождения. Метеорное железо обычно содержит значительные примеси кобальта и никеля. Железо — составная часть гемоглобина.

Рутений и осмий сопутствуют платине и палладию в полиметаллических рудах, а также встречаются в виде самородных сплавов с иридием и платиной.

Простые вещества. В виде простых веществ Fe и Ru — серебристо-белые металлы, Os — голубовато-белый металл. Осмий — самый тяжелый из всех металлов, очень твердый:

	Fe	Ru	Os
Пл., г/см ³	7,87	12,37	22,61
Т. пл., °С	1539	~2250	~3030
Т. кип., °С	3200	~4200	~5000
Электрическая проводимость (Hg = 1) . . .	10	10	11
$\Delta H_{\text{вог}, 298}$, кДж/моль	416	600	670
S_{298} , Дж/(К·моль)	27,2	28,5	32,6

В соответствии с усилением вклада ковалентной связи за счет 3d-, 4d- и 5d-электронов соответственно в ряду Fe—Ru—Os энталпия атомизации, температуры плавления (см. рис. 127) и кипения заметно возрастают.

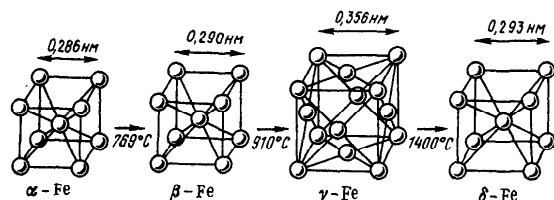
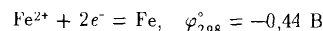


Рис. 239. Полиморфные превращения железа

Железо имеет несколько модификаций (рис. 239). До 769 °С устойчиво α -железо с объемно центрированной кубической решеткой и ферромагнитными свойствами. При 769 °С α -Fe переходит в β -Fe; исчезают ферромагнитные свойства и железо становится парамагнитным, но кристаллическая структура его существенно не изменяется. При 910 °С происходит полиморфное превращение, при котором изменяется структура — образуется гранецентрированная кристаллическая решетка γ -Fe, но металл остается парамагнитным. При 1400 °С происходит новый полиморфный переход и образуется δ -Fe с объемно центрированной кубической решеткой, существующее вплоть до температуры плавления железа (1539 °С). Рутений и осмий имеют гексагональную кристаллическую решетку (см. рис. 28).

Железо — металл средней химической активности. В отсутствие влаги в обычных условиях пассивируется на воздухе, но во влажном воздухе легко окисляется и покрывается ржавчиной. При нагревании (в особенности в мелкораздробленном состоянии) взаимодействует почти со всеми неметаллами. При этом в зависимости от условий и активности неметалла образуются твердые растворы (с C, Si, N, B, P, H), металlopодобные соединения (Fe_3C , Fe_3Si , Fe_3P , Fe_4N , Fe_2N) или соли и солеподобные соединения (FeF_3 , FeCl_3 , FeS).

Железо легко взаимодействует с разбавленными кислотами в отсутствие кислорода, образуя производные Fe (II):

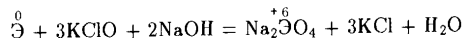


В концентрированных HNO_3 и H_2SO_4 пассивируется. В обычных условиях в щелочах железо не растворяется.

Рутений и осмий (как и простые вещества большинства других d-элементов 5-го и 6-го периодов) химически малоактивны. В обычных

условиях на компактные металлы не действуют даже наиболее активные неметаллы. Но мелкораздробленный осмий постепенно окисляется кислородом и концентрированной HNO_3 до OsO_4 . Рутений медленно окисляется кислородом лишь выше 450°C , давая RuO_2 , а при более высокой температуре — летучий RuO_4 .

В виде компактных металлов рутений и в меньшей степени осмий устойчивы по отношению к кислотам и их смесям. Они разрушаются в растворах оксохлоратов (I) и при сплавлении со щелочами в присутствии окислителей, т.е. в условиях, способствующих образованию оксанионов с высокими степенями окисления d -элемента:



Благодаря высокой твердости и высокой коррозионной устойчивости осмий и его сплавы с рутением (и иридием) применяются для изготовления ответственных деталей точных измерительных приборов, а также наконечников перьев авторучек. Осмий, рутений и железо — высокоэффективные катализаторы синтеза аммиака (см. рис. 160). Рутений и осмий — эффективные катализаторы процессов гидрогенизации, синтеза углеводородов с длинными цепями.

§ 2. СОЕДИНЕНИЯ ЭЛЕМЕНТОВ ПОДГРУППЫ ЖЕЛЕЗА

Металлические и металлоподобные соединения. Подобно другим d -элементам, железо с малоактивными неметаллами образует соединения типа металлических. Так, с углеродом оно дает карбид состава Fe_3C (цементит), твердые растворы, эвтектические смеси (железа с углеродом, железа с цементитом и др.). Изучение условий образования и свойств соединений железа с углеродом имеет большое значение для понимания структуры, состава и свойств железоуглеродистых сплавов. В зависимости от условий кристаллизации и состава расплава $\text{Fe}-\text{C}$ структура и соотношения компонентов существенно меняются, а следовательно, изменяются и физико-химические свойства получаемых сплавов.

Железоуглеродистые сплавы, содержащие до 2% C, называются *сталью*, содержащие 2–4% C — *чугунами*, менее 0,3% — *мягкойстью* (*мягким железом*).

На свойства сталей большое влияние оказывают их термическая обработка, вызывающая изменения в соотношении соединений и структуре сплавов. Так, при медленном охлаждении (*отпуске*) стали 634

становится мягкой. При быстром же охлаждении (*закалка*) сталь приобретает большую твердость и некоторую хрупкость.

Физико-химические свойства железоуглеродистых сплавов изменяются еще сильнее при добавлении легирующих компонентов (Cr, Mn, Ni, Co, Ti, W, Mo, Cu, Si, B, V, Zr и др.). При этом легирующие элементы вступают во взаимодействие с железом и углеродом и их соединениями с образованием новых металлических и металло-

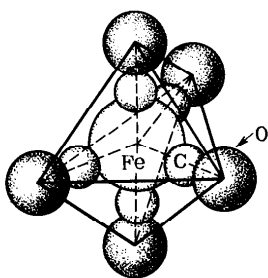


Рис. 240. Строение молекулы пентакарбонила железа $\text{Fe}(\text{CO})_5$

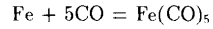
пентакарбонильных соединений. В результате этого происходит изменение всего комплекса механических и физико-химических свойств стали.

Чугун получают при восстановлении руд железа в доменных печах. Восстановление руды суммарно может быть выражено следующим уравнением:

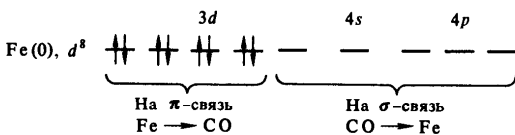


Последующей переработкой чугуна (бессмерованием, мартеновским способом, электроплавкой в вакууме и др.) получают сталь и техническое железо. Передел чугуна в сталь сводится к удалению избыточного углерода и вредных примесей (серы, фосфора) путем их окисления (выжигания) при плавке. Железо в чистом виде получают электролизом растворов его солей, термическим разложением ряда соединений.

Соединения Fe (0), Ru (0), Os (0). Подобно элементам подгруппы марганца и хрома, железо и его аналоги способны образовывать соединения за счет только донорно-акцепторного взаимодействия. Так, нагреванием порошка железа в струе CO (при 150 – 200°C) и повышенном давлении ($1 \cdot 10^7$ – $2 \cdot 10^7$ Па) образуется пентакарбонил железа $\text{Fe}(\text{CO})_5$:

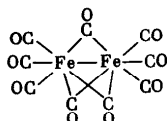


Пентакарбонил железа $\text{Fe}(\text{CO})_5$ — желтая летучая жидкость (т. пл. -20°C , т. кип. 103°C), растворимая в бензоле и эфире и нерастворимая в воде. Его молекула имеет конфигурацию тригональной бипирамиды (рис. 240), т.е. соответствует dsp^2 -гибридизации σ -связывающих орбиталей атома железа:



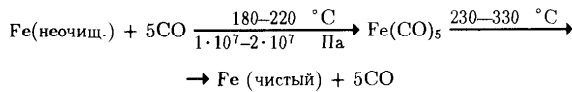
Аналогично строение молекул пентакарбонилов рутения $\text{Ru}(\text{CO})_5$ (т. пл. -22°C) и осмия $\text{Os}(\text{CO})_5$ (т. пл. -15°C), представляющих собой при обычных условиях бесцветные жидкости.

Получены также карбонилы железа и его аналогов более сложного состава. Так, при облучении $\text{Fe}(\text{CO})_5$ ультрафиолетовым светом выделяется CO и образуются темно-желтые кристаллы эннеакарбонила $\text{Fe}_2(\text{CO})_9$ (т. пл. 100°C). Это двухъядерное соединение со связью $\text{Fe}-\text{Fe}$, в котором атомы железа связаны как непосредственно, так и через CO -мостики:



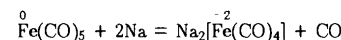
Кроме того, известны трехъядерные додекакарбонилы $\mathcal{E}_3(\text{CO})_{12}$. В обычных условиях это твердые вещества зеленого $\text{Fe}_3(\text{CO})_{12}$ (т. разл. 100°C), оранжевого $\text{Ru}_3(\text{CO})_{12}$ (т. пл. 155°C) и желтого $\text{Os}_3(\text{CO})_{12}$ (т. пл. 224°C) цвета.

При нагревании карбонилы разрушаются, что используется для получения чистейших металлов. Процесс получения и распада $\text{Fe}(\text{CO})_5$ можно представить схемой

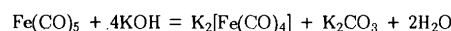


На первой стадии процесса CO избирательно реагирует с железосодержащим сырьем с получением $\text{Fe}(\text{CO})_5$; при этом происходит значительная очистка от микропримесей других металлов. На второй стадии — при термическом разложении карбонила образуются чистое железо и CO , который повторно используется в процессе.

Как указывалось, карбонилы металлов могут окисляться и восстанавливаться частично или полностью, сохраняя координированные молекулы CO . Так, в жидком аммиаке $\text{Fe}(\text{CO})_5$ взаимодействует с натрием:

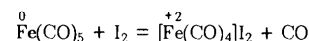


а в спиртовом растворе — со щелочью:



Соединения типа $\overset{+1}{\text{M}}_2[\overset{0}{\text{Fe}}(\text{CO})_4]$ являются солями. Они легко гидролизуются, образуя гидрокарбонил $\overset{0}{\text{H}}_2[\overset{+2}{\text{Fe}}(\text{CO})_4]$. Ион $[\overset{+2}{\text{Fe}}(\text{CO})_4]^{2-}$ можно рассматривать как производное железа в степени окисления -2 . В качестве производного железа в степени окисления -1 можно рассматривать ион $[\overset{+1}{\text{Fe}}_2(\text{CO})_8]^{2-}$. Известны также $\overset{0}{\text{H}}_2[\overset{+2}{\text{Ru}}(\text{CO})_4]$ и $\overset{0}{\text{H}}_2[\overset{+2}{\text{Os}}(\text{CO})_4]$.

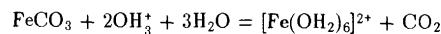
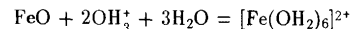
При осторожном окислении $\overset{0}{\text{Fe}}(\text{CO})_5$ галогенами одна из CO -групп замещается на два атома галогена:



Для $\text{Fe}(0)$, $\text{Ru}(0)$ и $\text{Os}(0)$ известны также нитрозилы $\mathcal{E}(\text{NO})_4$, нитрозилкарбонилы $\mathcal{E}(\text{CO})_2(\text{NO})_2$, соединения типа $\text{Fe}(\text{NO})_2(\text{PF}_3)_2$ и др.

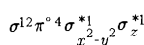
Соединения $\text{Fe}(\text{II})$. Для железа (II) наиболее типично координационное число 6, что соответствует октаэдрическому расположению связей в комплексах и структурных единицах (см. табл. 43). Железо (II) шестикоординационно, например, в кристаллах FeO (структурата типа NaCl), FeF_2 (структурата типа рутила), FeCl_2 (слоистая структура, рис. 236, б) и в многочисленных комплексных ионах $[\overset{+2}{\text{Fe}}(\text{OH}_2)_6]^{2+}$, $[\overset{+2}{\text{Fe}}\text{F}_6]^{4-}$, $[\overset{+2}{\text{Fe}}(\text{CN})_6]^{4-}$ и др. Имеются также тетраэдрические комплексы типа $[\overset{+2}{\text{Fe}}\text{Cl}]_4^{2-}$, $[\overset{+2}{\text{Fe}}(\text{NCS})]_4^{2-}$.

В водных растворах существуют катионные аквакомплексы $[\overset{+2}{\text{Fe}}(\text{OH}_2)_6]^{2+}$, имеющие бледно-зеленую окраску. Гексааквакомплексы образуются при растворении в воде солей $\text{Fe}(\text{II})$ или при взаимодействии с разбавленными кислотами железа, оксида FeO (черный), гидроксида $\text{Fe}(\text{OH})_2$ (зеленый), сульфида FeS (черный), карбоната FeCO_3 (белый), например:

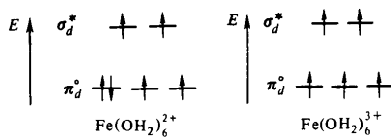


Железо (II) образует соли почти со всеми анионами. При выпаривании из водных растворов обычно выделяются зеленые кристаллогидраты, например $\text{Fe}(\text{ClO}_4)_2 \cdot 6\text{H}_2\text{O}$, $\text{Fe}(\text{NO}_3)_2 \cdot 6\text{H}_2\text{O}$, $\text{FeSO}_4 \cdot 7\text{H}_2\text{O}$, $\text{FeBr}_2 \cdot 6\text{H}_2\text{O}$, $(\text{NH}_4)_2\text{Fe}(\text{SO}_4)_2 \cdot 6\text{H}_2\text{O}$ (соли *Mora*).

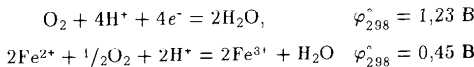
Как и большинство других комплексов Fe(II), акаион $[\text{Fe}(\text{OH}_2)_6]^{2+}$ парамагнитен, что соответствует электронной конфигурации:



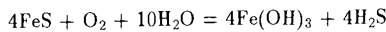
За счет потери одного электрона ион $[\text{Fe}(\text{OH}_2)_6]^{2+}$ довольно легко окисляется до $[\text{Fe}(\text{OH}_2)_6]^{3+}$:



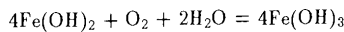
Стандартный потенциал системы $\text{Fe}^{3+} + e^- = \text{Fe}^{2+}$ равен 0,77 В, поэтому ион Fe^{2+} может окисляться молекулярным кислородом:



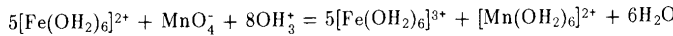
В присутствии влаги постепенно окисляются кислородом воздуха твердые FeCO_3 и FeS , например:



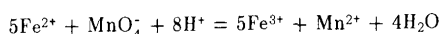
Особо легко окисление идет в щелочной среде. Так, $\text{Fe}(\text{OH})_2$ в момент получения тотчас начинает переходить в $\text{Fe}(\text{OH})_3$, поэтому бледно-зеленый осадок быстро темнеет:



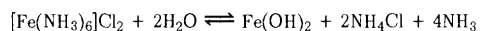
В аналитической практике для количественного определения Fe^{2+} используется реакция



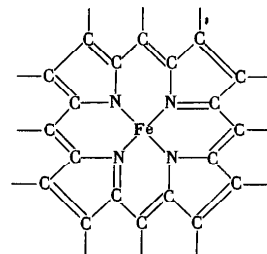
или



Из катионных комплексов Fe(II) известны также аминокомплексы $\text{Fe}(\text{NH}_3)_6^{2+}$. Амиакаты образуются за счет взаимодействия аммиака с бесводными соединениями железа (II), например с его галогенидами. Амиакаты устойчивы лишь в твердом состоянии и в насыщенных водных растворах аммиака. При растворении в воде амиакаты Fe (II) легко разрушаются:



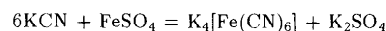
Значительно более устойчивы в растворах хелатные аминокомплексы. Важнейшим хелатным комплексом железа (II) является так называемый *хел-комплекс* порфирина с Fe(II):



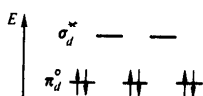
Гем входит в состав гемоглобина, выполняющего в организме функцию переносчика кислорода. Активным центром в процессе связывания кислорода является атом железа (II) гема. Процесс присоединения кислорода обратим: в легких, где парциальное давление кислорода высокое, молекула O_2 присоединяется к атому железа (II), а в тканях, где парциальное давление кислорода низкое, кислород освобождается.

Производные анионных комплексов железа (II) — *ферраты* (II) — в большинстве мэлостойки и напоминают двойные соли. К ним относятся, например, $\overset{+1}{\text{M}_2}[\overset{+1}{\text{FeCl}_4}]$ и $\overset{+1}{\text{M}_2}[\overset{+1}{\text{Fe}(\text{NCS})_4}]$. При кипячении (в восстановительной атмосфере) в концентрированных щелочах $\text{Fe}(\text{OH})_2$ образует гексагидроксоферраты (II), например зеленые $\overset{+1}{\text{Na}_4}[\overset{+1}{\text{Fe}(\text{OH})_6}]$, $\overset{+1}{\text{Ba}_2}[\overset{+1}{\text{Fe}(\text{OH})_6}]$. В воде гексагидроксоферраты (II) полностью разрушаются.

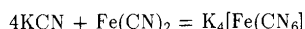
Для железа (II) наиболее устойчив и легко образуется цианидный комплекс $[\text{Fe}(\text{CN})_6]^{4-}$ ($K_y = 8 \cdot 10^{36}$):



Этот ион диамагнитен: $\sigma^{12}\pi_d^6$.



Цианид железа (II) $\text{Fe}(\text{CN})_2$, как и цианиды других d -элементов, в воде не растворяется, но за счет комплексообразования легко растворяется в присутствии основных цианидов:



Образование цианидных комплексов объясняется так же, как и карбонильных (см. рис. 232). В образовании химической связи принимают участие все валентные электроны и орбитали d -элемента (за счет донорно-акцепторного и дативного механизмов). Например, распределение валентных электронов в ионе $\text{Fe}(\text{CN})_6^{4-}$ аналогично распределению в изоэлектронной ему молекуле $\text{Cr}(\text{CO})_6$.

Вследствие наложения σ - и π -составляющих связь $\text{M}-\text{CN}$ обладает высокой прочностью и потому цианидные комплексы отличаются большой константой устойчивости.

Общие константы образования цианидных комплексов ряда d -элементов имеют следующие значения:

$[\text{Fe}(\text{CN})_6]^{4-}$	$[\text{Ag}(\text{CN})_2]^+$	$[\text{Cu}(\text{CN})_4]^{2-}$	$[\text{Hg}(\text{CN})_4]^{2-}$
$8 \cdot 10^{36}$	$7 \cdot 10^{19}$	$1 \cdot 10^{31}$	$4 \cdot 10^{40}$

Эти величины намного (на несколько порядков) выше, чем для соответствующих амиакатов, фторидных и других комплексов:

$[\text{FeF}_6]^{3-}$	$[\text{Ag}(\text{NH}_3)_2]^+$	$[\text{Ni}(\text{NH}_3)_6]^{2+}$	$[\text{Fe}(\text{NCS})_4]^-$
$1,26 \cdot 10^{16}$	$1,02 \cdot 10^7$	$1,26 \cdot 10^8$	$3,39 \cdot 10^4$

Цианид-ион отрицательно заряжен, поэтому он относительно слабый π -акцептор и цианидные комплексы металлов в низких степенях окисления не так устойчивы, как соответствующие карбонильные производные. С другой стороны, благодаря наличию заряда CN^- -ион как σ -донор сильнее, чем CO , и

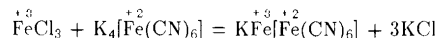
поэтому образует относительно устойчивые производные с элементами в достаточно высоких степенях окисления, например $[\text{Mo}(\text{CN})_8]^{4-}$.

При действии на гексацианоферраты (II) сильных кислот получается $\text{H}_4[\text{Fe}(\text{CN})_6]$ — белый мелкокристаллический диамагнитный порошок, хорошо растворимый в воде, весьма сильная (железистосинеродистая) кислота.

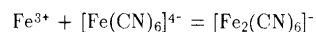
Из цианоферратов (II) наиболее широко применяются $\text{K}_4[\text{Fe}(\text{CN})_6] \cdot 3\text{H}_2\text{O}$. Гексацианоферрат (II) калия получали сплавлением кровяных отбросов боен (в частности крови) с поташом и железными опилками, что дало ему название "желтой кровяной соли". В настоящее время исходным продуктом для ее получения служат цианистые соединения, выделяемые в качестве побочного продукта при сухой перегонке каменного угля.

Гексацианоферраты (II) d -элементов, например $\text{Cu}_2[\text{Fe}(\text{CN})_6]$, $\text{Fe}_2[\text{Fe}(\text{CN})_6]$, имеют координационную структуру. В их кристаллах атомы Fe и соответствующего d -элемента связаны через CN-группы. Таким образом, они представляют собой смешанные цианиды. Многие из них имеют интенсивную окраску, в воде растворимы плохо.

Желтая кровяная соль широко используется в аналитической практике для обнаружения ионов Fe^{3+} :



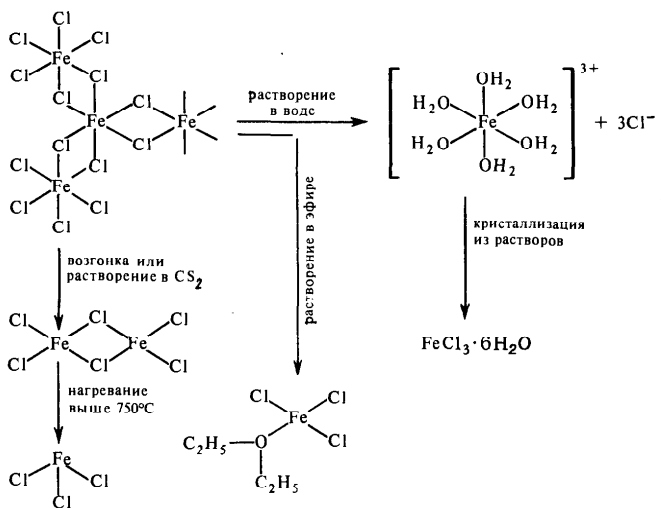
или



При этом образуется соединение интенсивно синего цвета — $\text{K}[\text{Fe}_2(\text{CN})_6]$, которое часто называют берлинской лазурью.

Из производных рутения (II) и осмия (II) наиболее устойчивы комплексные цианиды типа $\text{M}_4[\text{Э}(\text{CN})_6]^{+1}$.

Соединения Fe (III). Координационные числа Fe (III) равны 6 и 4, что соответствует октаэдрической и тетраэдрической структурной единице (комплексу). Так, в кристаллическом FeCl_3 координационное число равно 6. При растворении FeCl_3 в воде образуются октаэдрические комплексы $[\text{Fe}(\text{OH}_2)_6]^{3+}$. При растворении в неполярных растворителях (например, в CS_2) или при возгонке образуются молекулы Fe_2Cl_6 (типа Al_2Cl_6 , см. рис. 194):



В отличие от слоистого FeCl_3 (т. пл. 308°C , т. кип. 315°C) трифторид FeF_3 , имеет координационную решетку, тугоплавок (т. возг. $> 1000^\circ\text{C}$), в воде не растворяется, химически неактивен.

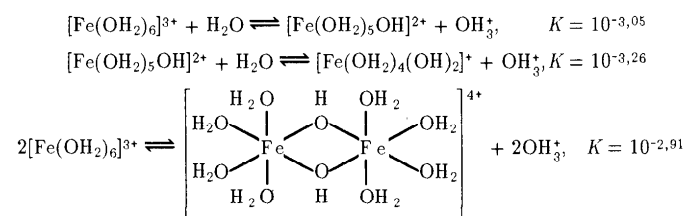
Оксид Fe_2O_3 (от темно-красного до черного цвета) существует в виде трех модификаций, по структуре подобных Al_2O_3 . В кристаллах $\alpha\text{-Fe}_2\text{O}_3$ (*гематит*), как и в корунде, имеет место октаэдро-тетраэдрическая координация атомов (см. рис. 69, Г). $\alpha\text{-Fe}_2\text{O}_3$ парамагнитен, а $\gamma\text{-Fe}_2\text{O}_3$ — ферромагнитен.

Гидроксид $\text{Fe}(\text{OH})_3$, получаемый в виде красно-коричневого осадка, имеет персменный состав $\text{Fe}_2\text{O}_3 \cdot n\text{H}_2\text{O}$. При его обезвоживании образуются промежуточные высокомолекулярные оксо- и гидроксосоединения состава HFeO_2 (являющиеся основой ряда минералов железа) и, наконец, Fe_2O_3 .

Природные с примесями разновидности оксида Fe_2O_3 применяются в качестве желтых (охра), красных (мумия) и коричневых (умбра) пигментов для красок; $\gamma\text{-Fe}_2\text{O}_3$ — рабочий слой магнитных лент.

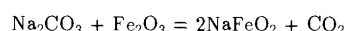
Основные свойства Fe_2O_3 и $\text{Fe}_2\text{O}_3 \cdot n\text{H}_2\text{O}$ проявляют при взаимодействии с кислотами, образуя светло-фиолетовые аквакомплексы, $[\text{Fe}(\text{OH}_2)_6]^{3+}$. Из кислых растворов выделяются кристаллогидраты, например: $\text{FeCl}_3 \cdot 6\text{H}_2\text{O}$, $\text{Fe}(\text{NO}_3)_3 \cdot 6\text{H}_2\text{O}$, $\text{Fe}(\text{NO}_3)_3 \cdot 9\text{H}_2\text{O}$, $\text{MFe}(\text{SO}_4)_2 \cdot 12\text{H}_2\text{O}$ (железные квасцы) и др.

В нейтральных растворах соли Fe (III) гидролизуются в заметной степени, при этом окраска раствора становится желто-коричневой. Начальные стадии гидролиза можно описать уравнениями (см. табл. 24):



В результате последующей полимеризации гидроксокомплексов (особенно при нагревании) образуются многоядерные комплексы, производные которых выделяются из растворов в коллоидном состоянии. В итоге выпадает $\text{Fe}_2\text{O}_3 \cdot n\text{H}_2\text{O}$ в виде красно-коричневой студенистой массы.

Анионные комплексы Fe(III) устойчивее и легче образуются, чем таковые для Fe(II). Так, свежеполученный $\text{Fe}(\text{OH})_3$ ($\text{Fe}_2\text{O}_3 \cdot n\text{H}_2\text{O}$) заметно растворяется в концентрированных щелочах, образуя гексагидроксоферраты (III) типа $\text{M}_3^{+1}[\text{Fe}(\text{OH})_6]$. При сплавлении Fe_2O_3 или $\text{Fe}(\text{OH})_3$ со щелочами или карбонатами щелочных металлов образуются полимерные оксоферраты (III) типа $\text{M}^{+1}\text{FeO}_2$ называемые *ферритами*:



Оксо- и гидроксоферраты (III) *s*-элементов (желтого или красного цвета) водой разрушаются, образуя $\text{Fe}_2\text{O}_3 \cdot n\text{H}_2\text{O}$.

В качестве оксометаферрата (III) железа (II) $\text{Fe}(\text{FeO}_2)_2$ можно рассматривать смешанный оксид — магнетит Fe_3O_4 черного цвета.

В кристаллах магнетита атомы Fe(II) находятся в октаэдрическом, а Fe(III) в октаэдрическом и тетраэдрическом окружении атомов кислорода. Аналогичную структуру имеют ферриты и других *d*-элементов. Магнетит и ферриты $\text{M}(\text{FeO}_2)_2$ ($\text{M} = \text{Mn, Co, Ni, Cu}$) ферромагнитны. Их применяют в электронике, в частности в производстве магнитных звуковых лент.

Кислотные свойства проявляют и другие соединения железа (III), которым соответствуют ферраты (III) типа $\text{M}_3^{+1}[\text{FeF}_6]$, $\text{M}^{+1}[\text{FeCl}_4]$, $\text{M}_3^{+1}[\text{Fe}(\text{NCS})_6]$.

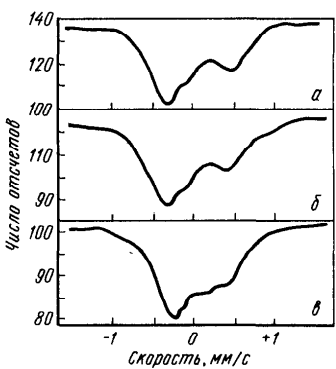
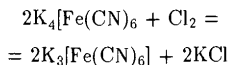


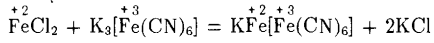
Рис. 241. γ -Спектры берлинской лазури (а) и турбулловой сини (б) и солей $KFe[Fe(CN)_6]$ и $KFe[Fe(CN)_6]$ (в)

Из анионных комплексов железа(III) особо устойчив гексацианоферрат (III)-ион $[Fe(CN)_6]^{3-}$ ($\beta_6 = 8 \cdot 10^{43}$).

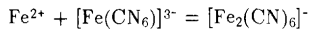
Его производные получаются окислением гексацианоферратов (II), например:



Наибольшее значение из цианоферратов (III) имеет $K_3[Fe(CN)_6]$ (красная кровяная соль). Эта соль, в частности, является реагентом на ионы Fe^{2+} ; дает с ними интенсивно-синий гексацианоферрат (III) калия-железа (II) (турбуллева синь):



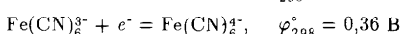
или



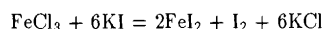
Как показали исследования, турбуллева синь и берлинская лазурь полностью идентичны $KFe[Fe(CN)_6]$. Их кристаллы образованы поликсидерными ионами $[Fe_2(CN)_6]^-$ и ионами K^+ .

Согласно результатам рентгеноструктурного исследования турбуллева синь и берлинская лазурь имеют одинаковую кубическую решетку с атомами железа в эквивалентных положениях. Показано также, что их γ -резонансные спектры практически одинаковы (рис. 241). В их кристаллах атомы $Fe(II)$ окружены атомами углерода, а атомы $Fe(III)$ — атомами азота цианидных групп и образуют поликсидерный координационный ион $[Fe_2(CN)_6]^-$ со структурой, близкой к структурному типу ReO_3 (см. рис. 69, Б), в междуузлиях которой расположены ионы K^+ .

Соединения $Fe(III)$ проявляют окислительные свойства:



Вследствие окислительного действия $Fe(III)$ неустойчивы его иодид и цианид. При попытке их получения в растворах по обменным реакциям происходит окислительно-восстановительный процесс, например:

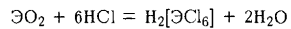


По этой же причине из растворов солей $Fe(III)$ осадить Fe_2S_3 не удается. При добавлении H_2S или сульфида к раствору солей $Fe(III)$ образуется осадок, содержащий FeS и коллоидную серу.

Для рутения (III) и осмия (III) известны соединения типа $M_3^{+1}[\mathcal{E}(CN)_6]$ и $M_3^{+1}[\mathcal{E}Cl_6]$.

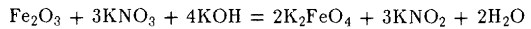
Соединения $Fe(IV)$, $Ru(IV)$, $Os(IV)$. Степень окисления +4 обычно проявляют рутений и осмий. Для них известны оксиды, галогениды и многочисленные производные анионных комплексов общего формулы $M_2^{+1}[\mathcal{E}X_6]$, например $M_2^{+1}[\mathcal{E}Cl_6]$, $M_2^{+1}[\mathcal{E}Br_6]$, $M_2^{+1}[\mathcal{E}Br_3Cl_3]$.

Оксиды и гидроксиды рутения (IV) и осмия (IV) — преимущественно кислотные соединения. Диоксиды $\mathcal{E}O_2$ (черного цвета) в воде не растворяются, но взаимодействуют с галогеноводородными кислотами:



Для железа степень окисления +4 стабилизируется в оксоферратах (IV) типа $M_2^{+2}FeO_4$. Это черные или темно-серые порошки, устойчивые при комнатной температуре и в отсутствие влаги. По строению они изотипны соответствующим оксотитанатам (IV). Оксоферраты (IV) — сильные окислители, например, окисляют концентрированную соляную кислоту. Оксоферраты (IV) можно получить окислением оксоферратов (III) в токе кислорода при нагревании.

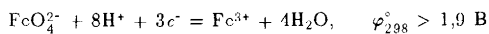
Соединения $Fe(VI)$, $Ru(VI)$, $Os(VI)$. Степень окисления +6 железа и рутения проявляется в тетраэдрических анионах типа $\mathcal{E}O_4^{2-}$, а осмия — в октаэдрическом $[\mathcal{O}S_2(OH)_4]^{2-}$. Производные этих анионов образуются при окислении металлов или соответствующих соединений в сильнощелочной среде, при нагревании, например:



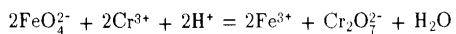
Оксоферраты (IV) — кристаллические вещества, обычно красного

цвета. По структуре изоморфны соответствующим оксохроматам (VI) и оксосульфатам (VI), образуют с ними твердые растворы. Подобно оксохроматам и оксосульфатам, растворимы оксоферраты (VI) щелочных металлов и кальция; оксоферраты (VI) бария и стронция нерастворимы.

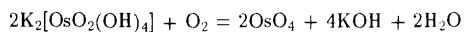
В растворах и при небольшом нагревании оксоферраты разлагаются, выделяя кислород. Оксоферраты (VI) — сильные окислители, превосходящие в этом отношении оксоманганаты (VII):



Например, они окисляют Cr (III) до Cr (VI):



Окислительные свойства оксогрутенатов (VI) (оранжевого цвета) выражены менее отчетливо, но все же они окисляют концентрированную соляную кислоту. В соответствии с устойчивой степенью окисления гидроксидоксоосматы (VI) (розового цвета), наоборот, довольно легко окисляются до OsO₄:



Соединения типа H₂OsO₄ (железная, рутениевая, осмивая кислоты) не получены: при действии кислот оксоферраты (VI), оксогрутенаты (VI) и гидроксооксоосматы (VI) разлагаются, например:



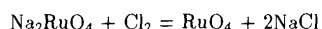
Получены также рутенаты (VI) и осматы (VI) следующих типов M₂⁺¹[OsO₂Hal₄], M₂⁺¹[OsNHal₅].

Из бинарных соединений Э(VI) известны гексафториды: RuF₆ (коричневого цвета, т.пл. 54 °C) и OsF₆ (желто-зеленый, т.пл. 33 °C). Гексафториды очень реакционноспособны, легко разлагаются на фтор и низшие фториды.

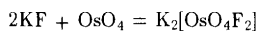
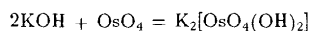
Соединения Fe (VIII), Ru (VIII), Os (VIII). Для рутения и осмия известны тетраоксиды: RuO₄ (золотисто-желтый) и OsO₄ (бесцветный). Это легкоплавкие (т. пл. 25,5–40 °C), летучие вещества, так как их кристаллические решетки образованы молекулами ЭO₄. Молекулы имеют тетраэдрическое строение и электронную конфигурацию (см. рис. 222):



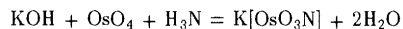
Тетраоксид рутения получают окислением рутенатов (VI):



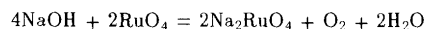
Тетраоксид осмия образуется при окислении порошкообразного осмия или его соединений кислородом, азотной кислотой и другими окислителями. Оксид осмия (VIII) растворим в воде, но определенных соединений при этом не образует. Кислотные свойства OsO₄ проявляет при взаимодействии с основными соединениями. Так, при взаимодействии OsO₄ с концентрированными щелочами образуются осматы (VIII) типа M₂⁺¹[OsO₄(OH)₂] (желто-коричневого цвета), а при взаимодействии с фторидами щелочных металлов — M₂⁺¹[OsO₄F₂] (красно-коричневого цвета), например:



При одновременном действии на OsO₄ концентрированного KOH и NH₃ образуется осмат (VIII) типа K[OsO₃N] (желтые кристаллы):



Рутенаты (VIII) неустойчивы. В щелочах RuO₄ растворяется, выделяя кислород:



Тетраоксид рутения RuO₄ — сильный окислитель: окисляет концентрированную соляную кислоту, со спиртами взрывается, при нагревании со взрывом распадается на RuO₂ и кислород.

Имеются сведения о получении оксида железа (VIII) FeO₄. Это очень неустойчивое летучее соединение розового цвета.

Тетраоксиды осмия и рутения ядовиты. OsO₄ по запаху напоминает хлор, а RuO₄ — озон. OsO₄ — наиболее часто применяемое соединение осмия. Его используют как мягкий окислитель и катализатор в органическом синтезе (например, кортизона) и для подкрашивания животных тканей при их микроскопическом исследовании.

§ 3. ПОДГРУППА КОБАЛЬТА

Кобальт Co, родий Rh и иридий Ir — полные электронные аналоги.

	^{27}Co	^{45}Rh	^{77}Ir
Атомная масса	58,933	102,905	192,2
Валентные электроны	$3d^7 4s^2$	$4d^8 5s^1$	$5d^6 6s^2$
Металлический радиус атома, нм	0,125	0,134	0,135
Условный радиус иона, нм:			
Э^{2+}	0,078	—	0,089
Э^{3+}	0,064	0,075	0,081
Э^{4+}	—	0,065	0,065
Энергия ионизации $\text{Э}^0 \rightarrow \text{Э}^+$, эВ	7,87	7,46	9,1
Содержание в земной коре,			
% (мол. доли)	$1.5 \cdot 10^{-3}$	$1.7 \cdot 10^{-7}$	$8.5 \cdot 10^{-9}$
Природные стабильные изотопы	^{59}Co (100%)	^{103}Rh (100%)	^{191}Ir (61.5%)

По сравнению с элементами подгруппы железа у кобальта и его аналогов происходит дальнейшая стабилизация ($n = 1$) d -конфигурации. Поэтому высшая степень окисления кобальта и его аналогов ниже, чем у железа, рутения и осмия. Для кобальта наиболее типичны степени окисления +2, +3, а для иридия степени окисления +3 и +4 примерно равнозначны. Получены также производные родия (IV) и иридия (VI).

Для элементов подгруппы кобальта характерны координационные числа 6 и 4 (табл. 44).

Чисто кобальтовые руды встречаются редко. Относительно более распространен минерал **кобальтиник** (кобальтовый блеск CoAsS). Кобальт содержится в некоторых медных, никелевых, серебряных, железных, марганцевых и полиметаллических рудах, в животных и растительных организмах.

Иридий чаще всего встречается в виде сплава с осмием (осмистый иридий), как и родий, в самородной платине и в медно-никелевых полиметаллических рудах.

Простые вещества. В виде простых веществ, кобальт, родий и иридий — блестящие белые металлы: Co с желтоватым, Rh и Ir с серебристым оттенком. По сравнению с железом кобальт более тверд и хрупок. Особо высокой твердостью отличаются родий и иридий. Основные константы Co, Rh и Ir приведены ниже:

	Co	Rh	Ir
Пл., г/см ³	8,90	12,41	22,65
Т. пл., °C	1492	1963	2447
Т. кип., °C	2960	~3700	~4380
Электрическая проводимость (Hg = 1)	108	19	16
φ_{298}^o ($\text{Э}^{2+} + 2^- = \text{Э}$), В	-0,27	0,6	1,1
$\Delta H_{\text{возд}}^{\circ}, \text{кДж/моль}$	425	447	669
$S_{298}^o, \text{Дж/(К·моль)}$	30,0	31,5	35,5

Таблица 44. Степени окисления и пространственная конфигурация структурных единиц соединений элементов подгруппы кобальта

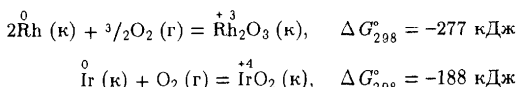
Степень окисления	Координационное число*	Структурная единица	Примеры соединений
-1	4	Тетраэдр	$[\text{Co}(\text{CO})_4]^-$, $[\text{Rh}(\text{CO})_4]^-$
0	6	»	$\text{Co}_2(\text{CO})_8$
+2	4	»	$[\text{CoCl}_4]^{2-}$, Co (II) в Co_3O_4
	6	Октаэдр	CoCl_2 , $[\text{Co}(\text{NH}_3)_6]^{2+}$, $[\text{Co}(\text{OH}_2)_6]^{2+}$, CoO , $\text{Co}(\text{OH})_2$
+3	6	»	$[\text{Э}(\text{NH}_3)_6]^{3+}$, $[\text{Э}(\text{CN})_6]^{3-}$, $[\text{CoF}_6]^{3-}$, $[\text{RhCl}_6]^{3-}$, $[\text{IrCl}_6]^{3-}$, RhF_3 , IrF_3
+4	6	»	$[\text{ЭF}_6]^{2-}$, $[\text{IrCl}_6]^{2-}$, IrO_2
+6	6	»	RhF_6 , IrF_6

Кобальт имеет две модификации. До 430°C устойчив α -Co (тексагональная плотноупакованная решетка); выше 430°C — β -Co (гранецентрированная кубическая решетка). Родий и иридий кристаллизуются в гранецентрированной решетке (см. табл. 28).

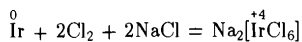
По химической активности кобальт несколько уступает железу. В обычных условиях он довольно устойчив, например кислородом начинает окисляться лишь при 300°C. При нагревании взаимодействует почти со всеми неметаллами, образуя, как и железо, от солеподобных соединений (CoHal_2) до соединений металлического типа (Co_3C , Co_2B , Co_2N), а также твердые растворы (с H, B, O). По отношению к кислотам кобальт также несколько устойчивее железа. С щелочами практически не взаимодействует.

Родий и особенно иридий отличаются высокой химической устойчивостью. С неметаллами они взаимодействуют в мелкораздробленном

состоянии при температуре красного каления. Так, на воздухе Rh начинает окисляться лишь при 600°C, а Ir — выше 1000°C:



В отличие от других благородных металлов компактные Rh и Ir практически не растворяются ни в одной из кислот и их смесей. Условия для перевода Rh и Ir в растворимые в воде производные хлорокомплексов создаются хлорированием при температуре красного каления смеси мелкораздробленного металла и NaCl:



С соответствующими металлами кобальт, родий и иридий образуют твердые растворы и интерметаллические соединения, что определяет физико-химические и механические свойства их сплавов. Особо широко используются кобальтовые сплавы. Многие из них жаропрочны и жаростойки. Например, сплав *виталлиум* (65% Co, 28% Cr, 3% Ni и 4% Mo), применяемый для изготовления деталей реактивных двигателей и газовых турбин, сохраняет высокую прочность и практически не подвергается газовой коррозии вплоть до 800–900°C. Имеются также кислотупорные сплавы, не уступающие платине. Кобальтовые сплавы типа *алико* (например, 50% Fe, 24% Co, 14% Ni, 9% Al и 3% Cu) применяются для изготовления постоянных магнитов. Для изготовления режущего инструмента важное значение имеют так называемые *составные сплавы*, представляющие собой сцементированные кобальтом карбиды вольфрама (сплавы ВК) и титана (сплавы ТК). Большое значение имеет кобальт как легирующая добавка к сталям.

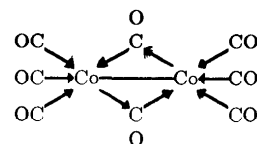
Кобальт обычно получают переработкой полиметаллических руд. Рядом последовательных пирометаллургических операций выделяют Co_3O_4 , который затем восстанавливают углем, водородом, иногда методом алюмотермии. Особо чистый кобальт получают электролитическим рафинированием, а также термическим разложением некоторых его соединений. Основная масса производимого кобальта используется для получения сплавов; его применяют для электролитического покрытия металлических деталей.

Области применения родия и иридиев определяются их большой коррозионной стойкостью и высокой твердостью. Из этих металлов изготавливают ответственные детали контрольно-измерительных приборов. Родий, обладающий высокой отражательной способностью, ис-

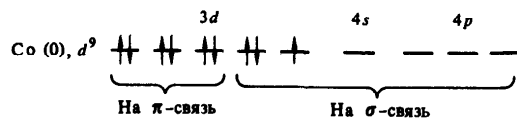
пользуется как покрытие в зеркалах и рефлекторах. Платиново-родиевые сплавы применяются в качестве катализаторов окисления аммиака в производстве азотной кислоты.

§ 4. СОЕДИНЕНИЯ ЭЛЕМЕНТОВ ПОДГРУППЫ КОБАЛЬТА

Соединения Co(0), Rh(0), Ir(0). Для кобальта и его аналогов в степени окисления 0 известны карбонилы. Простейший карбонил кобальта $\text{Co}_2(\text{CO})_8$ — двухъядерное соединение:

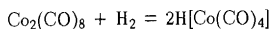


Строение молекулы октакарбонила можно объяснить следующим образом. В ней атомы Co образуют по шесть σ -связей. Четыре связи обязаны донорно-акцепторному взаимодействию электронных пар четырех молекул CO и свободных орбиталей Co. Пятая связь образуется при участии одной d -электронной пары атома Co и свободной π -орбитали молекулы CO. Связь Co—Co образуется за счет непарных электронов двух атомов кобальта. Стабилизация молекулы достигается за счет π -связей, на образование которых используются $3d^6$ -электроны атома кобальта:



Октакарбонил $\text{Co}_2(\text{CO})_8$ получают, нагревая порошок Co в атмосфере CO (при 150–200°C и $2,5 \cdot 10^7$ Па). Октакарбонил — оранжевые кристаллы (т. пл. 51°C), нерастворимые в воде, но хорошо растворимые в органических растворителях. При 60°C октакарбонил кобальта начинает разлагаться.

При нагревании $\text{Co}_2(\text{CO})_8$ под давлением водорода образуется гидрокарбонил (карбонилгидрид), который можно рассматривать как производное кобальта в степени окисления -1:



Известны соли типа $\text{K}[\text{Co}(\text{CO})_4]$, $\text{NH}_4[\text{Co}(\text{CO})_4]$. В отличие от них производные типа $\text{Zn}[\text{Co}(\text{CO})_4]$, $\text{Ga}[\text{Co}(\text{CO})_4]_3$ являются ковалентными соединениями — смешанными карбонилами кластерного типа со связью $\text{M}-\text{Co}$.

В ряду гидрокарбонилов $\text{HMn}(\text{CO})_5-\text{H}_2\text{Fe}(\text{CO})_4-\text{HCo}(\text{CO})_4$ сила кислот увеличивается, а устойчивость, наоборот, уменьшается. Известны также производные $[\text{Rh}(\text{CO})_4]^-$.

Для кобальта (0) выделены четырехъядерный карбонил $\text{Co}_4(\text{CO})_{12}$ (черный, т. р.зл. 60°C), а также жидкое $\text{Co}(\text{NO})(\text{CO})_3$ и $\text{Co}(\text{NO})(\text{PF}_3)_3$. Получены также карбонили родия и иридия состава $\text{E}_2(\text{CO})_8$, $\text{E}_4(\text{CO})_{12}$, $\text{E}_6(\text{CO})_{16}$.

Соединения Co(II). Степень окисления +2 характерна для кобальта. При этой степени окисления у него устойчивы координационные числа 6 и 4 (см. табл. 44).

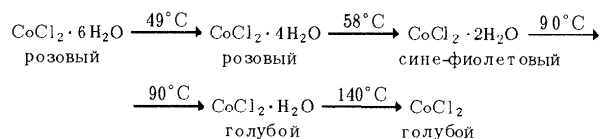
Октаэдрическая структурная единица лежит в основе строения координационных кристаллов CoO (тип NaCl) и CoF_2 (тип рутила), слоистых кристаллов CoCl_2 и $\text{Co}(\text{OH})_2$ (см. рис. 236, б).

Оксид кобальта (II) CoO (серо-зеленые кристаллы) образуется при взаимодействии простых веществ или термическим разложением $\text{Co}(\text{OH})_2$, CoCO_3 . Галогениды CoHal_2 также образуются при взаимодействии простых веществ или обезвоживанием соответствующих кристаллогидратов. Дигалогениды (кроме CoF_2) растворимы в воде.

Гидроксид $\text{Co}(\text{OH})_2$ существует в виде синей и розовой модификаций. Синяя модификация получается при действии щелочей на соли Co (II) на холода; при нагревании $\text{Co}(\text{OH})_2$ переходит в розовую модификацию. В воде $\text{Co}(\text{OH})_2$ не растворяется. По химической природе он, как и CoO , — амфотерное соединение, преимущественно проявляющее основные свойства.

Из катионных комплексов для Co (II) наиболее характерны аквакомплексы $[\text{Co}(\text{OH}_2)_6]^{2+}$, придающие растворам ярко-розовую окраску. Эти катионы образуются при взаимодействии с кислотами кобальта, CoO , $\text{Co}(\text{OH})_2$. Эта окраска (а также красная) характерна для кристаллогидратов Co (II): $\text{Co}(\text{NO}_3)_2 \cdot 6\text{H}_2\text{O}$, $\text{CoSO}_4 \cdot 6\text{H}_2\text{O}$, $\text{CoSO}_4 \cdot 7\text{H}_2\text{O}$.

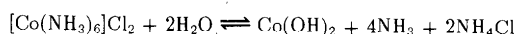
При нагревании или под действием водоотнимающих средств (CaCl_2 , спирт и др.) окраска кристаллогидратов Co (II) меняется, что связано с изменением характера координации лигандов и появлением многоядерных комплексов. Например, нагревание кристаллогидратов CoCl_2 сопровождается следующим изменением их состава и окраски:



При действии воды на безводный CoCl_2 снова образуются кристаллогидраты. Водный раствор CoCl_2 применяется для изготовления индикаторной бумаги, которая служит для определения влажности, поскольку в сухом состоянии эта бумага синего, а во влажном — розового цвета.

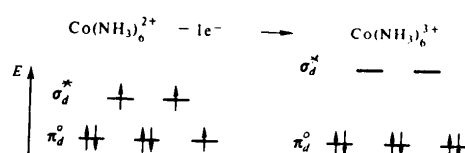
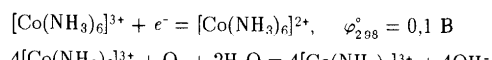
Изменение окраски в указанном ряду обусловлено изменением характера координации молекул H_2O и ионов Cl^- вокруг атома Co (II), а следовательно, изменением величины Δ . Структурные единицы розовых кристаллов $\text{CoCl}_2 \cdot 6\text{H}_2\text{O}$ и $\text{CoCl}_2 \cdot 4\text{H}_2\text{O}$ — октаэдры $[\text{Co}(\text{OH}_2)_6\text{Cl}_2]$, сине-фиолетовых кристаллов $\text{CoCl}_2 \cdot 2\text{H}_2\text{O}$ — октаэдры $[\text{Co}(\text{OH}_2)_2\text{Cl}_4]$, а голубых кристаллов $\text{CoCl}_2 \cdot \text{H}_2\text{O}$ и CoCl_2 — октаэдры CoCl_6 .

Безводные галогениды, тиоцианат, сульфат и другие производные могут присоединять молекулы аммиака с образованием гексааммионокомплекса $[\text{Co}(\text{NH}_3)_6]^{2+}$. Аммиакаты Co (II) устойчивее, чем Fe (II), но все же водой разрушаются:



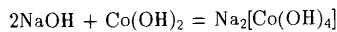
Поэтому их образование в растворах достигается при большом избытке аммиака и в присутствии NH_4Cl .

Аммиакаты Co (II) в растворах легко окисляются даже молекулярным кислородом воздуха за счет перехода в низкоспиновый комплекс Co (III):



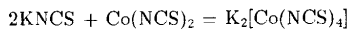
Анионные комплексы Co (II) обычно имеют тетраэдрическую структуру $[\text{CoX}]^{2-}$ ($X = \text{Cl}^-, \text{Br}^-, \text{I}^-, \text{NCS}^-, \text{OH}^-$), окрашены в синий и фиолетовый цвета. Они образуются при взаимодействии соответствую-

щих соединений Co (II) с однотипными основными соединениями. Так, при нагревании $\text{Co}(\text{OH})_2$ с концентрированными щелочами образуется $[\text{Co}(\text{OH})_4]^{2-}$:

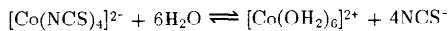


а при взаимодействии концентрированных растворов CoCl_2 и соляной кислоты — $[\text{CoCl}_4]^{2-}$. В присутствии основных галогенидов из соляно-кислых растворов CoCl_2 можно выделить соли $\overset{+1}{\text{M}}_2[\text{CoCl}_4]$.

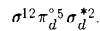
Большинство производных анионных комплексов Co (II) — кобальтаты (II) $\overset{+1}{\text{M}}_2[\text{CoHal}_4]$, $\overset{+1}{\text{M}}_2[\text{Co}(\text{NCS})_4]$ и другие по устойчивости относятся к двойным солям; при разбавлении растворов ионы $[\text{CoX}_4]^{2-}$ обычно разрушаются. Реакция образования синего тиоцианатокобальта (II)



используется для определения кобальта (II) при анализе. От сильного разбавления водой $\text{K}_2[\text{Co}(\text{SCN})_4]$ разрушается ($\lg \beta_4 = -0,3$) и окраска раствора становится розовой за счет появления ионов $[\text{Co}(\text{OH}_2)_6]^{2+}$:



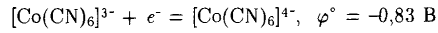
Рассмотренные октаэдрические ионы — высокоспиновые комплексы с электронной конфигурацией



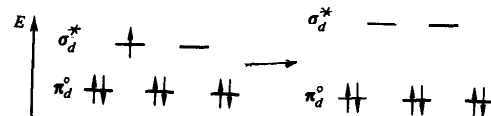
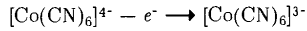
Низкоспиновые октаэдрические комплексы с электронной конфигурацией



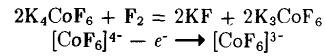
для Co (II) не характерны. Они — восстановители. Например:



Это объясняется тем, что вследствие большого значения параметра расщепления Δ энергетический уровень σ_d^* -орбитали расположен довольно высоко. Поэтому электрон с σ_d^* -орбитали легко удаляется и образуются низкоспиновые октаэдрические комплексы Co (III), например:



Высокоспиновые комплексы, напротив, характеризуются низким значением Δ и энергетическое различие σ_d^* - и π_d^* -орбиталей незначительно. Высокоспиновый комплекс CoF_6^{4-} окисляется лишь наиболее сильными окислителями:



Соединения Co (III), Rh (III), Ir (III). В степени окисления +3 для кобальта, родия и иридия очень характерны многочисленные катионные, анионные и нейтральные комплексы, в которых они шестикоординированные. Почти все они диамагнитны, парагмагнитен ион CoF_6^{3-} (табл. 45).

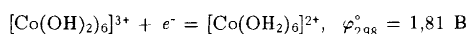
Таблица 45. Характеристика октаэдрических комплексов Co (III), Rh (III), Ir (III)

Комплекс	Электронная конфигурация	$\Delta, \text{кДж/моль}$	Магнитные свойства
$[\text{CoF}_6]^{3-}$	$\sigma^{12}\pi_d^4\sigma_d^{*2}$	155	Парамагнитен
$[\text{Co}(\text{NH}_3)_6]^{3+}$	$\sigma^{12}\pi_d^6$	273	Диамагнитен
$[\text{Co}(\text{CN})_6]^{3-}$	То же	405	»
$[\text{RhCl}_6]^{3-}$	»	241	»
$[\text{Rh}(\text{NH}_3)_6]^{3+}$	»	407	»
$[\text{IrCl}_6]^{3-}$	»	297	»
$[\text{Ir}(\text{NH}_3)_6]^{3+}$	»	477	»

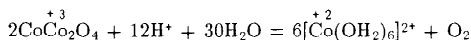
Бинарные соединения и соли для Co (III) нехарактерны. Относительно устойчив коричневый Co_3O_4 , который представляет собой смешанный оксид $\overset{+2}{\text{Co}}\overset{+3}{\text{Co}}\text{O}_4$. Его получают осторожным нагреванием $\text{Co}(\text{NO}_3)_2$. Оксид этот — сильный окислитель.

Для родия (III) и иридия (III) известны оксиды Er_2O_3 , гидроксиды $\text{Er}(\text{OH})_3$ (точнее $\text{Er}_2\text{O}_3 \cdot n\text{H}_2\text{O}$), галогениды ErHal_3 и ряд других соединений, в частности соли типа $\text{Er}_2(\text{SO}_4)_3$, $\text{Rh}(\text{NO}_3)_3$. Соединения Ir (III)

более или менее легко окисляются, переходя в производные Ir (IV). Например, $\text{Ir}(\text{OH})_3$ на воздухе переходит в $\text{Ir}(\text{OH})_4$, при нагревании до 400°C Ir_2O_3 диспропорционирует на IrO_2 и Ir. Все соединения рассматриваемых элементов окрашены. Аквакомплексы Co (III) не стабильны, так как являются сильными окислителями:



Ионы $[\text{Co}(\text{OH}_2)_6]^{3+}$ окисляют даже воду. Поэтому, например, при взаимодействии Co_3O_4 с кислотами выделяется кислород:



а при взаимодействии с концентрированной соляной кислотой — хлор.

Из катионных комплексов для Co (III) и его аналогов весьма устойчивы многочисленные амминокомплексы. Для гексааммин-иона $[\text{Co}(\text{NH}_3)_6]^{3+}$ (желтого цвета), например, не наблюдается сколько-нибудь заметной диссоциации в растворах ($\beta_6 = 2 \cdot 10^{36}$); он устойчив по отношению к концентрированной HCl и медленно разрушается лишь H_2S и NaOH . Ион $[\text{Co}(\text{NH}_3)_6]^{3+}$ образует многочисленные хорошо кристаллизующиеся соли с целым рядом анионов, простые производные Co (III) для которых неизвестны.

Для кобальта (III) и его аналогов весьма разнообразны катионные комплексы, в которых NH_3 -группы частично замещены на другие лиганды, например $[\text{Co}(\text{NH}_3)_5(\text{OH}_2)]\text{X}_3$, $[\text{Co}(\text{NH}_3)_5\text{X}]\text{X}_2$, $[\text{Co}(\text{NH}_3)_4\text{X}_2]\text{X}$ и др. (где X — чаще всего Cl^- и NO_2^-). В соответствии с этим окраска комплексов изменяется, например $[\text{Co}(\text{NH}_3)_5(\text{OH}_2)]^{3+}$ — красного, $[\text{Co}(\text{NH}_3)_5\text{Cl}]^{2+}$ — малиново-красного, а $[\text{Co}(\text{NH}_3)_4\text{Cl}_2]^{+}$ может быть зеленого (*транс*-изомер) и синего (*цикло*-изомер) цветов.

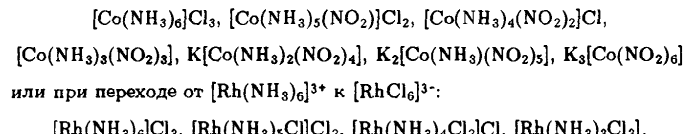
Среди кобальтатов (III), родиатов (III) и иридатов (III) весьма многочисленны и часто очень устойчивы соединения типа $M_3^{+1}[\text{Э}(\text{CN})_6]$ и $M_3^{+1}[\text{Э}(\text{NO}_2)_6]$.

Примерами гексанитритокобальтов (III) могут служить труднорастворимые в воде производные элементов подгруппы калия $M_3^{+1}[\text{O}(\text{NO}_2)_6]$. Образованием желтого осадка $K_3[\text{Co}(\text{NO}_2)_6]$ часто пользуются для обнаружения ионов K^+ при анализе. У калия, его аналогов и NH_4^+ плохо растворимы также гексанитритородиаты (III) и гексанитрито-иридаты (III).

Взаимодействие производных Co (II) с KCN в присутствии окислителя ведет к образованию гексацианокобальтата (III) калия $K_3[\text{Co}(\text{CN})_6]$ (бледно-желтого цвета). Выделена также сильная трехосновная кислота $H_3[\text{Co}(\text{CN})_6]$. По многим свойствам на гексацианокобальтат (III) калия весьма похожи бледно-желтый $K_3[\text{Rh}(\text{CN})_6]$ и бесцветный $K_3[\text{Ir}(\text{CN})_6]$.

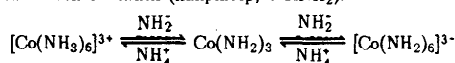
В отличие от Co (III) комплексные галогениды у Rh (III) и Ir (III) очень устойчивы. Так, при взаимодействии RhCl_3 с HCl получается хорошо растворимая в воде *гексахлородиовая кислота* $H_3[\text{RhCl}_6]$, соли которой (гексахлородиаты) обычно ярко-красного цвета. Зеленый гексахлороиродат (III) натрия $\text{Na}_3[\text{IrCl}_6]$ служит исходным продуктом при получении других производных ирида (III). Получают его восстановлением $\text{Na}_2[\text{IrCl}_6]$. У Co (III) выделено лишь фторидное производное $K_3[\text{CoF}_6]$. Известны также двойные сульфаты типа квасцов $M\overset{+1}{\text{Э}}(\text{SO}_4)_2 \cdot 12\text{H}_2\text{O}$.

Кроме катионных и анионных комплексов для Co (III) и его аналогов известны многочисленные нейтральные комплексы, которые можно рассматривать как промежуточные продукты при переходе от катионных к анионным комплексам, например при переходе от $[\text{Co}(\text{NH}_3)_6]^{3+}$ к $[\text{Co}(\text{NO}_2)_6]^{3-}$:

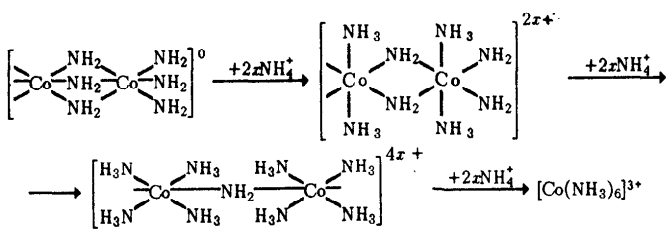


Образование нерастворимого $[\text{Rh}(\text{NH}_3)_3\text{Cl}_3]$ используется для отделения Rh от других платиновых металлов. При прокаливании $[\text{Rh}(\text{NH}_3)_3\text{Cl}_3]$ в токе водорода получают металлический родий.

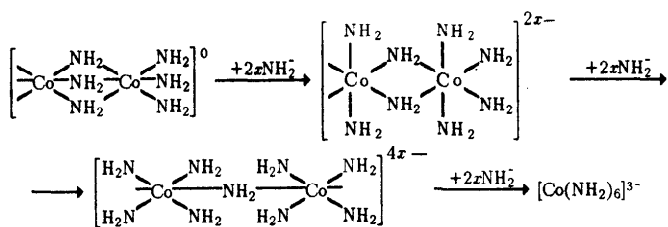
Переход от катионных комплексов Co (III) к анионным и обратно можно осуществить и в жидким аммиаке. Так, дигидронитрид (амид) $\text{Co}(\text{NH}_2)_3$, будучи амфотерным соединением, реагирует с аммонийными (например, с NH_4Cl) и с аммооснованиями (например, с KNH_2):



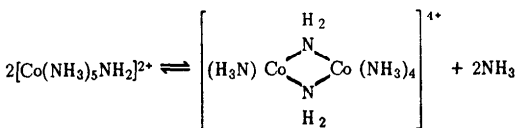
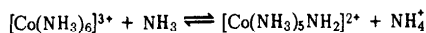
Взаимодействие с кислотой полимерного $\text{Co}(\text{NH}_2)_3$ сопровождается разрывом амидных мостиков ($-\text{NH}_2-$) и координацией молекул растворителя NH_3 :



Взаимодействие с аммонооснованием приводит к разрыву амидных мостиков ($\text{--NH}_2\text{--}$) и координацией к атому кобальта NH_2 -группы:



Многоядерные комплексы образуются также при аммонолизе аммиакатов $\text{Co}(\text{III})$, например:



Многочисленность комплексных соединений $\text{Co}(\text{III})$, $\text{Rh}(\text{III})$ и $\text{Ir}(\text{III})$ обусловливается также наличием соединений-изомеров. Ниже приведены примеры комплексных соединений кобальта (III), отвечающих

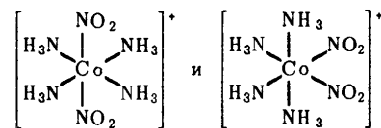
координационной изомерии: $[\text{Co}(\text{NH}_3)_6][\text{Cr}(\text{CN})_6]$ и $[\text{Cr}(\text{NH}_3)_6][\text{Co}(\text{CN})_6]$;

гидратной изомерии: $[\text{Co}(\text{NH}_3)_4\text{Cl}(\text{H}_2\text{O})]\text{Cl}_2$ и

$[\text{Co}(\text{NH}_3)_4\text{Cl}_2]\text{Cl} \cdot \text{H}_2\text{O}$

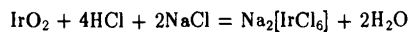
и

ионизационной изомерии: $[\text{Co}(\text{NH}_3)_5\text{SO}_4]\text{Br}$ (красный) и $[\text{Co}(\text{NH}_3)_5\text{Br}]\text{SO}_4$ (красно-фиолетовый); геометрической изомерии: транс- $[\text{Co}(\text{NH}_3)_4(\text{NO}_2)_2]\text{Cl}$ (оранжевый) и цис- $[\text{Co}(\text{NH}_3)_4(\text{NO}_2)_2]\text{Cl}$ (желтый):



Соединения родия(IV) и иридия(IV). Степень окисления +4 характерна для иридия. Для него известны нерастворимые в воде черные оксид Ir_2O_5 и гидроксид $\text{Ir}(\text{OH})_4$ (точнее $\text{IrO}_2 \cdot n\text{H}_2\text{O}$), галогениды IrHal_4 . Последние при взаимодействии с водой полностью гидролизуются.

Наиболее характерны для Ir(IV) комплексные хлориды типа $\overset{+1}{\text{M}_2}[\text{IrCl}_6]$ темно-красного цвета. Как указывалось, их получают хлорированием смеси порошкообразного иридия с основным хлоридом или взаимодействием IrO_2 с $\overset{+1}{\text{MCl}}$ в соляной кислоте:

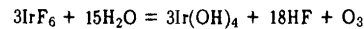


Из гексахлороиродатов (IV) в воде хорошо растворим $\text{Na}_2[\text{IrCl}_6]$, а производные элементов подгруппы калия и NH_4^+ растворимы плохо. Образование малорастворимого $(\text{NH}_4)_2[\text{IrCl}_6]$ используется для отделения иридия от остальных платиновых металлов. При прокаливании $(\text{NH}_4)_2[\text{IrCl}_6]$ (в атмосфере водорода) получается чистый иридий.

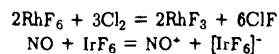
Из соединений Rh(IV) можно назвать труднорастворимый в воде зеленый гексахлорородиат (IV) цезия $\text{Cs}_2[\text{RhCl}_6]$, который является окислителем и частично отщепляет хлор уже при контакте с водой.

Соединения Rh(VI) и Ir(VI). Степень окисления +6 проявляется у иридия и родия в гексафторидах EF_6 . Это легкоплавкие твердые вещества, RhF_6 (т. пл. 70°C) красно-коричневого, а IrF_6 (т. пл. 44°C , т. кип. 53°C) желтого цвета. Получают их сжиганием металлов в атмосфере фтора.

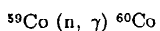
Гексафториды, в особенности RhF_6 , неустойчивы. Они сильные окислители, энергично окисляют воду:



в отсутствие воды окисляют даже свободный хлор и NO :



Из соединений элементов подгруппы кобальта наиболее широко применяют производные самого кобальта. Кроме рассмотренных областей применения его соединения идут для изготовления цветных эмалей и красок. В сельском хозяйстве соединения кобальта используются в качестве микроудобрений и для подкормки животных. Получаемый по реакции



изотоп ^{60}Co ($T_{1/2} = 5,24$ года) получил широкое применение в медицине в борьбе с раком ("кобальтовая пушка").

§ 5. ПОДГРУППА НИКЕЛЯ

Никель Ni, палладий Pd и платина Pt характеризуются следующими константами:

	^{28}Ni	^{46}Pd	^{78}Pt
Атомная масса	58,71	106,4	195,09
Валентные электроны	$3d^8 4s^2$	$4d^0 5s^0$	$5d^0 6s^1$
Металлический радиус атома, нм	0,124	0,137	0,138
Условный радиус иона, нм:			
Э^{2+}	0,074	0,088	0,090
Э^{4+}	-	0,064	0,064
Энергия ионизации $\text{Э}^0 \rightarrow \text{Э}^+$, эВ	7,64	8,34	8,9
Содержание в земной коре, % (мол. доли)	$3,2 \cdot 10^{-3}$	$2 \cdot 10^{-7}$	$5 \cdot 10^{-8}$

Для никеля и палладия наиболее характерна степень окисления +2, а для платины +4. Известны также соединения Pd (VI) и Pt (VI). Для никеля и его аналогов наиболее устойчивы координационные числа 4 (тетраэдр или квадрат) и 6 (октаэдр). Степени окисления элементов и отвечающие им пространственные конфигурации комплексов приведены в табл. 46.

Никель довольно распространен на Земле; палладий и платина, как и другие платиновые металлы, относятся к числу редких элементов (см. табл. 26). Из платиновых металлов наиболее распространена платина. Никель обычно содержится в сульфидных медно-никелевых рудах (см. табл. 27), являющихся ценным полиметаллическим сырьем. Наряду с никелем они содержат Cu, Ag, Au, платиновые металлы, ряд редких и рассеянных элементов. Платина встречается также в самородном состоянии в виде сплавов с небольшим содержанием других

Таблица 46. Степени окисления и структурные единицы элементов подгруппы никеля

Степень окисления	Координационное число	Структурная единица	Примеры соединений
0	4	Тетраэдр	$\text{Ni}(\text{CO})_4$, $\text{Ni}(\text{PF}_3)_4$, $[\text{Ni}(\text{CN})_4]^{4-}$
+2	4	»	NiCl_4^{2-}
	4	Квадрат	$[\text{Pt}(\text{NH}_3)_4]^2$, $[\mathcal{O}(\text{CN})_4]^{2-}$, $[\text{PtCl}_4]^{2-}$, $[\text{Pt}(\text{NH}_3)_2\text{Cl}_2]^0$, PdO , PtO , PdCl_2
	6	Октаэдр	$[\text{Ni}(\text{OH}_2)_6]^{2+}$, $[\text{Ni}(\text{NH}_3)_6]^{2+}$, $[\text{Ni}(\text{SCN})_6]^{4-}$, $[\text{Ni}(\text{CN})_6]^{4-}$, NiO , NiF_2 , PdF_2 , NiCl_2
+4	6	»	$[\text{Pt}(\text{NH}_3)_6]^{4+}$, $[\text{PtCl}_6]^{2-}$, $[\text{NiF}_6]^{2-}$, $[\text{Pt}(\text{NH}_3)_2\text{Cl}_4]^0$
+6	6	»	PtF_6

металлов (Ir, Pd, Rh, Fe, иногда Ni, Cu и др.). Палладий сопутствует платине. Важным источником платиновых металлов являются сульфидные полиметаллические медно-никелевые руды.

Простые вещества. В виде простых веществ никель и его аналоги — блестящие белые металлы: Ni и Pt с серебристым, Pd — с сероватым оттенком.

Никель образует две аллотропные модификации: гексагональную α -Ni, существующую ниже 250°C , и β -Ni, имеющую гранецентрированную кубическую решетку. Палладий и платина кристаллизуются в гранецентрированной решетке (см. табл. 28).

Важнейшие константы Ni, Pd и Pt сопоставлены ниже:

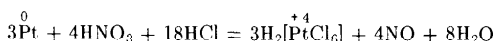
	Ni	Pd	Pt
Пл., $\text{г}/\text{см}^3$	8,91	12,02	21,46
Т. пл., $^\circ\text{C}$	1455	1554	1772
Т. кип., $^\circ\text{C}$	2900	~ 2940	~ 3900
Электрическая проводимость ($\text{Hg} = 1$)	14	10	10
$\Delta H_{\text{возг.}}^{298}$, кДж/моль	424	381	556
S_{298}° , Дж/(К·моль)	29,9	37,6	41,5
$\varphi_{298}^{\circ} \text{Э}^{2+} + 2e^- = \text{Э}, \text{В}$	-0,25	+0,98	+1,19

По химической активности никель несколько уступает железу и кобальту. С кислородом он начинает взаимодействовать при 500°C. При нагревании (в особенности в измельченном состоянии) легко окисляется галогенами, серой, селеном, фосфором, мышьяком, сурьмой и др. С большинством из них он, как и другие *d*-элементы, образует нестехиометрические соединения переменного состава, многие из которых металлоподобны.

По сравнению с другими платиновыми металлами палладий и платина несколько более реакционноспособны. Однако и они в реакции вступают лишь при высокой температуре (часто при температуре красного каления) и в мелкораздробленном состоянии. Получающиеся при этом соединения обычно малоустойчивы и при дальнейшем нагревании разлагаются.

Отличительная особенность палладия — способность поглощать значительные количества водорода. Так, 1 объем Pd при 80°C может поглотить до 900 объемов H₂. Палладий и никель — хорошие катализаторы гидрирования, восстановления водородом. В присутствии Pd водород переводит SO₂ в H₂S, ClO₃ в Cl₂ и т.д. Для платины наиболее характерно поглощение кислорода. Большое значение платины имеет как катализатор окисления кислородом амиака (в производстве HNO₃), водорода (для очистки O₂ от примеси H₂) и в других процессах каталитического окисления.

В электрохимическом ряду напряжений никель расположен до водорода, палладий и платина — после водорода. По отношению к кислотам и щелочам никель ведет себя подобно железу и кобальту. В отличие от остальных платиновых металлов палладий (подобно серебру) довольно легко растворяется в концентрированной азотной кислоте и горячей концентрированной серной кислоте, а платина растворяется при нагревании лишь в царской водке:



При сплавлении с щелочами, цианидами и сульфидами щелочных металлов в присутствии окислителей (даже O₂) палладий и платина переходят в соответствующие производные анионных комплексов.

Никель получают главным образом из медно-никелевых сульфидных руд. Выделение никеля из руд — сложный многостадийный процесс. В результате ряда пирометаллургических операций получают NiO. Свободный металл выделяют, восстанавливая NiO (чаще всего углем). Очищают никель электролитическим рафинированием в растворе сульфата. Попутно образуется анодный шлам, из которого путем

сложной переработки выделяют присутствующие в нем в качестве примеси платиновые металлы, серебро и золото.

Основная масса выплавляемого никеля (около 80%) используется для получения никелевых сплавов и легированых сталей (нержавеющих, бронебойных, жаростойких и др.). Из никеля изготавливают специальную аппаратуру химических производств. Он применяется также для декоративно-защитных покрытий на других металлах.

Палладий и платина используются для изготовления коррозионностойкой лабораторной посуды, аппаратов и приборов химических производств, для термометров сопротивления и термопар, а также электрических контактов. Из платины изготавливают нерастворимые аноды, например, для электрохимического производства надсерной кислоты и перборатов. Палладий и платина применяются в ювелирном деле.

§ 6. СОЕДИНЕНИЯ ЭЛЕМЕНТОВ ПОДГРУППЫ НИКЕЛЯ

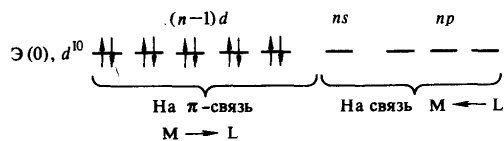
Металлические и металлоподобные соединения. Никель с металлами VIII группы (кроме Ru и Os), марганцем и медью дает непрерывные твердые растворы. У никеля весьма разнообразны также интерметаллические соединения, например, ряда: Ni₃Fe—Ni₃Mn—Ni₃Cr—Ni₃V—Ni₃Ti—Ni₃Al. Интерметаллические соединения никеля часто отличаются высокой жаростойкостью и жаропрочностью, являются основой многих конструкционных материалов для ракетной, газотурбинной и атомной техники. Интерсталлиды входят в состав сплавов никеля, придавая им ценные физико-химические и механические свойства.

К жаропрочным сплавам относятся *никонель* (73% Ni, 15% Cr, 7% Fe, 2,4% Ti, остальное Al, Nb, Mn и Si), *нилоник* (59% Ni, 20% Cr, 16% Co, 2,3% Ti, 1,4% Al, остальное Fe, Mn, Si). Жаропрочностью, жаростойкостью и высоким электросопротивлением обладают хромоникелевые сплавы — *нихромы*; некоторые из них (например, состава 80% Ni и 20% Cr) устойчивы к газовой коррозии до 1000–1100°C. Нихромы широко применяются в качестве материала нагревательных элементов в электротехнике. Высокой химической устойчивостью обладают *монельметалл* (твёрдый раствор Ni с 30% Cu), применяемый в химическом аппаратостроении и в домашнем обиходе. Широкое распространение имеют магнитные сплавы никеля с алюминием типа *ални* (22–24% Ni, 11–14% Al, остальное Fe) и др.

Из железо-никелевых сталей отметим *нержавеющую сталь* (18% Cr и 8% Ni), магнитный сплав *инвар* (36% Ni, 0,5% Mn и 0,5% C), практически не

расширяющийся при нагревании; *платинит* (0,15% С и 46% Ni), имеющий коэффициент термического расширения, как у стекла, и применяемый как заменитель платины для пайки со стеклом, и пр.

Соединения Ni (0), Pd (0), Pt (0). Как и у других *d*-элементов, нулевая (а также отрицательная) степень окисления у никеля и его аналогов проявляется в соединениях с лигандами σ -донорного и π -акцепторного типа: CO, PF₃, CN⁻. При этом при электронной конфигурации центрального атома d^0 строение комплексов с лигандами сильного поля чаще всего отвечает структуре тетраэдра (рис. 242). В рамках теории валентных связей это соответствует sp^3 -гибридизации валентных орбиталей центрального атома:

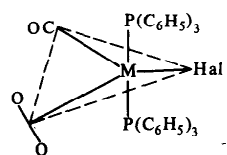


Никель в нулевой степени окисления образует *тетракарбонил никеля* Ni(CO)₄. В обычных условиях — это бесцветная жидкость (т. пл. -19,3°C, т. кип. 43°C). Его получают действием CO на порошок никеля при 60–80°C. При 180°C карбонил никеля разлагается, что используется для получения чистого никеля и его покрытий на металлах. Ni(CO)₄ применяется также в органическом синтезе в качестве катализатора. Легкость образования Ni(CO)₄ используется для разделения никеля и кобальта, так как для получения карбонила кобальта требуются более высокие температура и давление. Поскольку к тому же летучесть Co₂(CO)₈ меньше, чем Ni(CO)₄, разгонкой их смесей удается достичь высокой степени разделения Ni и Co.

Для Ni (0) и Pd (0) получены комплексные цианиды K₄[Ni(CN)₄] и K₄[Pd(CN)₄] — соответственно медно-красное и желтоватое твердые вещества. Получаются они восстановлением K₂[Э(CN)₄] в жидком аммиаке калием. Эти соединения — сильные восстановители; например, вытесняют водород из воды:

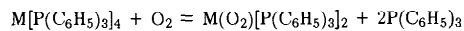


Для элементов VIII группы (при электронной конфигурации d^8-d^0) известны комплексы, в которых роль лигандов играет молекула O₂, например M(O₂) [P(C₆H₅)₃]₂ (M = Ni, Pd, Pt) и M(O₂) Hal(CO)[P(C₆H₅)₃]₂ (M = Ir, Rh; Hal = Cl, Br, I):

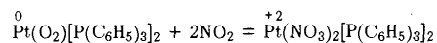


Молекула O₂ — лиганд π -типа (подобно CN⁻, CO, N₂, NO). Его присоединение к комплексообразователю реализуется за счет донорно-акцепторного и дативного взаимодействия M—O₂ с участием σ -, π - и π^* -орбиталей молекулы O₂.

Такие соединения по аналогии с нитрогенильными и карбонильными соединениями можно назвать *оксигенильными*. Оксигенильные соединения — хорошие передатчики кислорода и катализаторы; за счет активации O₂ являются хорошими окислителями уже при обычных условиях. Так, M[P(C₆H₅)₃]₄ поглощает кислород:



а образовавшийся M(O₂)[P(C₆H₅)₃]₂ является окислителем, например:



при гидролизе дает пероксид водорода.

Изучение образования и свойств оксигенильных, нитрогенильных и им подобных соединений имеет важное значение для развития теории катализа. Катализитические функции комплексных соединений можно объяснить следующим образом. Сначала за счет внедрения во внутреннюю сферу комплекса соответствующего лиганда L (часто с изменением координационного числа комплексообразователя) образуется промежуточное соединение. В нем под влиянием взаимодействия M—L электронные уровни системы смещаются и разрываются. Так, в случае оксигенильных комплексов происходит увеличение межъядерного расстояния O—O до 1,13–0,147 нм против 0,121 нм в свободной молекуле O₂. В таком состоянии внедренная молекула легче вступает в следующую стадию реакции.

Активация молекулярного кислорода за счет комплексообразования имеет

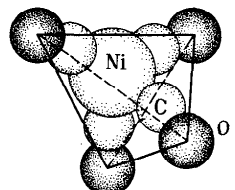


Рис. 242. Строение молекулы тетракарбонила никеля Ni(CO)₄

Ni(CO)₄, разгонкой их смесей удается достичь высокой степени разделения Ni и Co.

Для Ni (0) и Pd (0) получены комплексные цианиды K₄[Ni(CN)₄] и K₄[Pd(CN)₄] — соответственно медно-красное и желтоватое твердые вещества. Получаются они восстановлением K₂[Э(CN)₄] в жидком аммиаке калием. Эти соединения — сильные восстановители; например, вытесняют водород из воды:

большое биохимическое значение. Классическим примером является присоединение кислорода к гемоглобину.

Соединения Ni (II), Pd (II), Pt (II). Несмотря на одинаковую электронную конфигурацию ионов Ni^{2+} , Pd^{2+} и Pt^{2+} — d^8 , большинство комплексов Ni имеет октаэдрическое строение, в то время как для Pd (II) и Pt (II) типичны плоскоквадратные комплексы. Октаэдрические комплексы Ni (II) парамагнитны, а плоскоквадратные комплексы Pd (II) и Pt (II) диамагнитны. Подобное различие связано с существенным различием в величинах параметра расщепления Δ . В Pd^{2+} и Pt^{2+} как d -элементам 5-го и 6-го периодов величина параметра расщепления Δ значительно больше, чем у элемента 4-го периода Ni^{2+} .

При большом значении Δ в октаэдрическом комплексе два электрона оказываются на сильно разрыхляющих молекулярных σ_d^* -орбиталях. Поэтому энергетически выгодней становится потеря этих электронов и переход $\text{Pd} (\text{II})$ и $\text{Pt} (\text{II})$ в степень окисления +4 либо перерождение октаэдрического комплекса в плоскоквадратный. Распределение электронов по молекулярным орбитам, возникающим при расщеплении d -орбиталей Pd и Pt, в октаэдрическом и плоскоквадратном комплексах показано на рис. 243. Как видно из рисунка, распределение восьми электронов на орбиталах плоскоквадратного комплекса оказывается энергетически выгоднее, чем на молекулярных орбиталах октаэдрического комплекса. Сосредоточение восьми электронов на четырех молекулярных орбиталах определяет диамагнетизм комплексов плоскоквадратного строения.

Соединения Ni (II), Pd (II) и Pt (II) интенсивно окрашены. У никеля (II) плоскоквадратное строение имеет диамагнитный ион $[\text{Ni}(\text{CN})_4]^{2-}$, что также

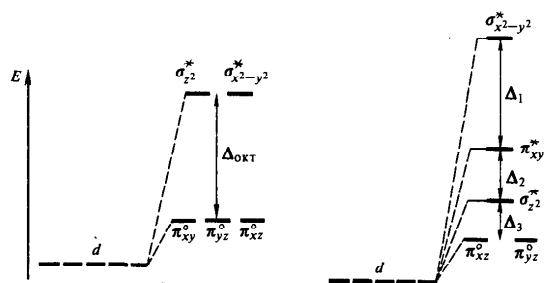


Рис. 243. Энергетический порядок некоторых орбиталей октаэдрического (a) и плоскоквадратного (б) комплексов

объясняется высоким значением Δ , создаваемым на этот раз лигандом сильно-положительным ионом CN^- .

Тетраэдрические комплексы Ni (II) редки: к ним относятся, например, $[\text{NiCl}_4]^{2-}$, $[\text{NiBr}_4]^{2-}$. В соединениях Ni (II) чаще всего проявляет координационное число 6. Так, NiO имеет структуру типа NaCl ; NiF_2 — типа рутила; NiCl_2 , NiBr_2 , NiI_2 , $\text{Ni}(\text{OH})_2$ — слоистую структуру типа, изображенного на рис. 236, б, и т.д. Таким образом, по строению однотипных соединений Ni (II) подобен большинству остальных 3d-элементов в степени окисления +2.

Структурной единицей соединений Pd (II) и Pt (II) является квадрат. Так, в кристаллах PdO и PtO (рис. 244) атомы Pd и Pt окружены четырьмя атомами кислорода по вершинам четырехугольника. Эти квадраты соединены сторонами в цепи, которые перекрециваются под углом 90° . Аналогично построены PdS и PtS .

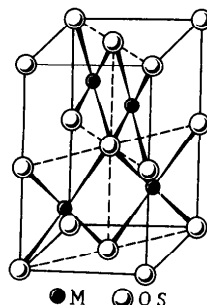


Рис. 244. Структура PdO , PtO и PdS

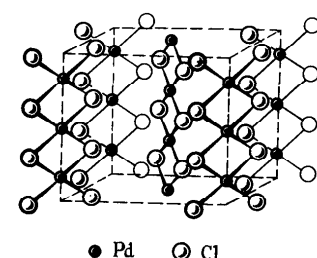
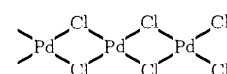


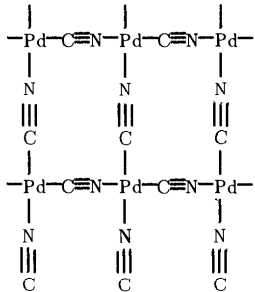
Рис. 245. Структура PdCl_2

Кристаллы PdCl_2 (рис. 245) имеют цепное строение с квадратной структурной единицей:



Дихлорид платины имеет совершенно другое строение. Красно-черные кристаллы PtCl_2 состоят из октаэдрических кластерных группировок $\text{Pt}_6\text{Cl}_{12}$ (см. рис. 233).

Дицианиды $\text{Pd}(\text{CN})_2$ и $\text{Ni}(\text{CN})_2$ — полимеры сетчатого строения с квадратной структурной единицей:



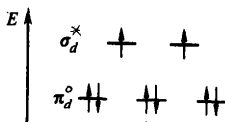
Оксид и гидроксид никеля (II) зеленого цвета. Получают NiO термическим разложением гидроксида, карбоната или нитрата Ni (II). Гидроксид $\text{Ni}(\text{OH})_2$ образуется при действии щелочей на растворы соединений Ni (II) в виде объемистого зеленого геля, который при стоянии постепенно кристаллизуется. NiO и $\text{Ni}(\text{OH})_2$ в воде не растворяются, но взаимодействуют с кислотами.

Оксиды и гидроксиды Pd (II) и Pt (II) черного цвета, в воде не растворяются; PtO устойчив также по отношению к кислотам.

Сульфиды Ni(II) и его аналогов ЭS черного цвета; образуются осаждением сероводородом из растворов соединений Э (II). Свежеполученный NiS растворяется в кислотах. PdS и PtS в кислотах не растворяются. В противоположность Pd (II), и в особенности Pt (II), для Ni (II) характерны соли оксокислот.

Из катионных комплексов никеля (II) устойчивы октаэдрические гексаквако- и гексаамминокомплексы, имеющие следующую электронную конфигурацию:

$$\sigma^{12}\pi_d^6\sigma^{*2}$$

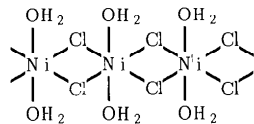


Аквакомплекс $[\text{Ni}(\text{OH}_2)_6]^{2+}$ имеет ярко-зеленую окраску ($\Delta = 101$ кДж/моль). Образуется при растворении в воде солей Ni (II) или же при растворении в кислотах Ni, NiO и $\text{Ni}(\text{OH})_2$. Такая же окраска (различных оттенков) характерна для шестиводных кристаллогидратов

$\text{Ni}(\text{NO}_3)_2 \cdot 6\text{H}_2\text{O}$, $\text{NiSO}_4 \cdot 6\text{H}_2\text{O}$, $\text{Ni}(\text{ClO}_4)_2 \cdot 6\text{H}_2\text{O}$, $\text{NiSnCl}_6 \cdot 6\text{H}_2\text{O}$, а также $\text{NiSO}_4 \cdot 7\text{H}_2\text{O}$, $\text{K}_2\text{Ni}(\text{SO}_4)_2 \cdot 6\text{H}_2\text{O}$ и др.

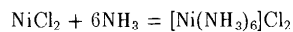
Как показывают структурные исследования, в ряде гексагидратов $\text{NiX}_2 \cdot 6\text{H}_2\text{O}$ все молекулы воды входят во внутреннюю сферу аквакомплекса $[\text{Ni}(\text{OH}_2)_6]\text{X}_2$, где $\text{X} = \text{ClO}_3^-$, BrO_3^- , NO_3^- , ClO_4^- или $2\text{X} = \text{SO}_4^{2-}$, SO_3^{2-} , SiF_6^{2-} и др. В другом типе гексагидратов $\text{NiX}_2 \cdot 6\text{H}_2\text{O}$ октаэдрическая координация атома Ni (II) создается за счет двух атомов X (Cl, Br) и четырех молекул воды $[\text{Ni}(\text{OH}_2)_4\text{X}_2] \cdot 2\text{H}_2\text{O}$. Оставшиеся две молекулы H_2O связывают между собой молекулы $[\text{Ni}(\text{OH}_2)_4\text{X}_2]$. Аналогично построен $\text{CoCl}_2 \cdot 6\text{H}_2\text{O}$.

Кристаллы $\text{NiCl}_2 \cdot 2\text{H}_2\text{O}$ имеют цепную структуру:



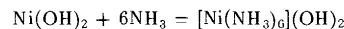
Безводные соли Ni (II), например NiF_2 , NiCl_2 , NiSO_4 , $\text{Ni}(\text{NO}_3)_2$, $\text{Ni}(\text{CN})_2$ и др., обычно желтого цвета (разных оттенков), NiI_2 черного цвета.

В отличие от ярко-зеленого $[\text{Ni}(\text{OH}_2)_6]^{2+}$ амминокомплекс $[\text{Ni}(\text{NH}_3)_6]^{2+}$ имеет интенсивно синюю окраску. Аммиакаты образуются довольно легко ($\beta_n = 1 \cdot 10^6$). Например, при взаимодействии твердого NiCl_2 с аммиаком



Кроме $[\text{Ni}(\text{OH}_2)_6]^{2+}$ и $[\text{Ni}(\text{NH}_3)_6]^{2+}$ возможны смешанные акваамминокомплексы $[\text{Ni}(\text{OH}_2)_{6-n}]^{2+}$ ($n = 1 - 6$). Замена лигандов H_2O на лиганды NH_3 приводит к изменению окраски комплексов от ярко-зеленого до синего цвета. Это объясняется увеличением параметра расщепления Δ (изменением энергии $d - d$ -переходов), что приводит к сдвигу полос поглощения в сторону меньших длин волн (рис. 246). Еще больший сдвиг полос поглощения наблюдается в случае этилендиаминовых комплексов $[\text{Ni}(\text{en})_3]^{2+}$, окраска которых интенсивно-синяя.

За счет образования аммиакатов $\text{Ni}(\text{OH})_2$ легко растворяется в присутствии аммиака и солей аммония:



На образование устойчивых аммиакатов основаны гидрометаллургические методы извлечения никеля и руд.

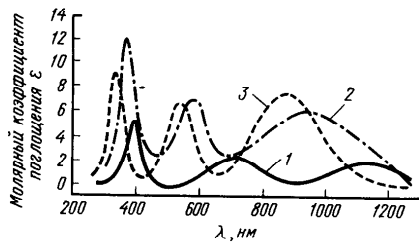
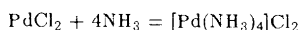


Рис. 246. Электронные спектры поглощения ионов $[\text{Ni}(\text{OH}_2)_6]^{2+}$ (1), $[\text{Ni}(\text{NH}_3)_6]^{2+}$ (2) и $[\text{Ni}(\text{en})_3]^{2+}$ (3)

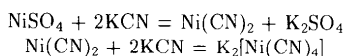
Для палладия (II) известен тетраква-ион $[\text{Pd}(\text{OH}_2)_4]^{2+}$ и несколько кристаллогидратов красновато-бурого цвета: $\text{Pd}(\text{ClO}_4)_2 \cdot 4\text{H}_2\text{O}$, $\text{PdCl}_2 \cdot 2\text{H}_2\text{O}$, $\text{Pd}(\text{NO}_3)_2 \cdot 4\text{H}_2\text{O}$, $\text{PdSO}_4 \cdot 4\text{H}_2\text{O}$. Для платины (II) аквакомплексы и соли оксокислот неустойчивы.

Из катионных комплексов Pd (II) и Pt (II) очень устойчивы и легко образуются амминокомплексы $[\text{Э}(\text{NH}_3)_4]^{2+}$:



Известно также большое число производных катионных комплексов Ni (II), Pd (II) и Pt (II) с органическими лигандами.

Из аглонитовых комплексов Ni (II) наиболее устойчив желтый $[\text{Ni}(\text{CN})_4]^{2-}$ ($\beta_4 = 1 \cdot 10^{31}$). Его производные образуются при действии на соединения Ni (II) основных цианидов. Вначале получается нерастворимый в воде $\text{Ni}(\text{CN})_2$, который затем растворяется в избытке основного цианида:



Еще более устойчивы тетрацианидопалладат (II) $[\text{Pd}(\text{CN})_4]^{2-}$ и тетрацианидоплатинат (II) $[\text{Pt}(\text{CN})_4]^{2-}$ -ионы (для последнего $\beta_4 = 1 \cdot 10^{41}$). Известен также $\text{H}_2[\text{Pt}(\text{CN})_4] \cdot 3\text{H}_2\text{O}$; в водных растворах — это двухосновная сильная кислота (называемая *платиносинеродистой*).

Довольно легко образуются также никелаты (II) типа $\text{M}_4^{+1}[\text{NiHal}_6]$, $\text{M}_4^{+1}[\text{Ni}(\text{NCS})_6]$ и др. В водных растворах эти соединения распадаются.

В отличие от никелатов (II) палладаты (II) и платинаты (II) многообразнее и устойчивее. Например, комплексные галогениды Pd (II) и Pt (II) характеризуются следующими константами устойчивости:

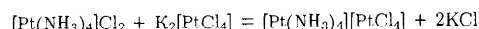
670

Ион	$[\text{PdCl}_4]^{2-}$	$[\text{PdBr}_4]^{2-}$	$[\text{PdI}_4]^{2-}$	$[\text{PtCl}_4]^{2-}$	$[\text{PtBr}_4]^{2-}$	$[\text{PtI}_4]^{2-}$
$\lg \beta$	15,5	13,1	~25	16,0	20,5	~30

Увеличение устойчивости комплексных ионов в ряду производных $\text{Cl}^- - \text{Br}^- - \text{I}^-$ можно объяснить увеличением роли π -дативного взаимодействия $\text{Э} \rightarrow \text{Hal}$ по мере увеличения размеров свободных d -орбиталей ионов Hal^+ . Увеличением π -дативного взаимодействия $\text{Э} \rightarrow \text{X}$ (по мере увеличения подвижности d -электронных пар центрального атома) можно также объяснить увеличение устойчивости галогенидных и цианидных комплексов при переходе от Pd (II) к Pt (II).

Соли $\text{M}_2^{+1}[\text{ЭCl}_4]$ (красного цвета) образуются при взаимодействии соединений Pd (II) и Pt (II) в соляной кислоте с соответствующими солями щелочных металлов. Наиболее важны растворимые в воде $\text{K}_2[\text{PtCl}_4]$ и $\text{Na}_2[\text{PtCl}_4]$ (рис. 247), являющиеся исходными веществами для синтеза различных соединений платины. При синтезе соединений палладия обычно исходят из $\text{PdCl}_2 \cdot 2\text{H}_2\text{O}$.

Известны также соединения, в которых Pd (II) и Pt (II) входят одновременно в состав и катиона, и аниона, например $[\text{Pt}(\text{NH}_3)_4][\text{PtCl}_4]$. Это соединение (зеленого цвета) осаждается при смешении растворов $[\text{Pt}(\text{NH}_3)_4]\text{Cl}_2$ и $\text{K}_2[\text{PtCl}_4]$:



Получен красный $[\text{Pd}(\text{NH}_3)_4][\text{PdCl}_4]$.

Наряду с катионными и анионными комплексами весьма разнообразны нейтральные комплексы Pd (II) и Pt (II) типа $[\text{Э}(\text{NH}_3)_4\text{X}_2]$ (где $\text{X} = \text{Cl}^-, \text{Br}^-, \text{NO}_3^-$). Для соединений этого типа характерна геометрическая (*цис-транс*) изомерия. Например, составу $[\text{Pt}(\text{NH}_3)_2\text{Cl}_2]$ отвечают два соединения, которые отличаются свойствами, в частности окраской: *цис*-изомер — оранжево-желтый, *транс*-изомер — светло-желтый.

В отличие от *транс*-изомера *цис*-изомер обладает ярко выраженной противораковой физиологической активностью. Существенно различны и способы получения этих изомеров. *Цис*-изомер образуется при

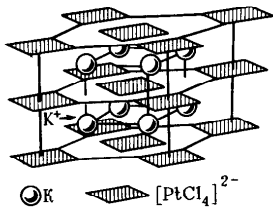
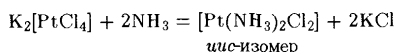
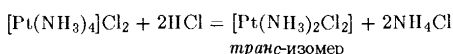


Рис. 247. Структура $\text{K}_2[\text{PtCl}_4]$

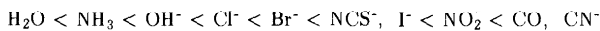
замещении двух хлорид-ионов молекулами аммиака в тетрахлороплатинат (II)-комплексе:



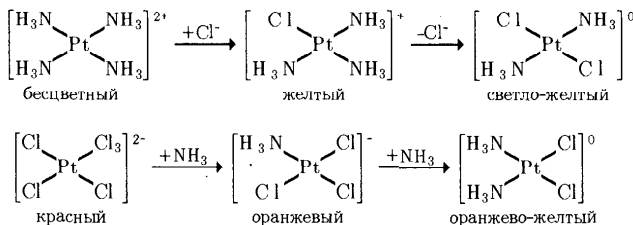
Транс-изомер получается при замещении двух молекул аммиака на хлорид-ионы в комплексе тетрааммин-платина (II):



Для понимания направления течения реакций замещения лигандов в комплексах важное значение имеет *принцип транс-влияния*, установленный И.И. Черняевым (1926). Согласно этому принципу некоторые лиганды облегчают замещение лигандов, находящихся с ними в *транс*-положении. Экспериментально установлено, что для соединений Pt (II) *транс*-влияние лигандов увеличивается в ряду



Различным *транс*-влиянием NH_3 и Cl^- можно объяснить приведенные выше реакции получения *цикло*- и *транс*-изомеров $[\text{Pt}(\text{NH}_3)_2\text{Cl}_2]$:



Поскольку *транс*-влияние Cl^- выражено сильнее, чем NH_3 , на второй стадии этих реакций замещается лиганд, находящийся в *транс*-положении к Cl^- . Таким образом, исходя из иона $[\text{Pt}(\text{NH}_3)_4]^{2+}$, можно получить только *транс*-изомер, а из иона $[\text{PtCl}_4]^{2-}$ — только *цикло*-изомер. Принцип *транс*-влияния сыграл выдающуюся роль в развитии синтеза комплексных соединений.

Соединения Ni (IV), Pd (IV), Pt (IV). Степень окисления +4 характерна для платины. Производные Pd (IV) малочисленны, являются окислителями. Еще менее устойчивы и очень редки соединения

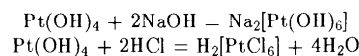
Ni (IV). Для Pt (IV) известны коричневые (разных оттенков) оксид PtO_2 , гидроксид $\text{Pt}(\text{OH})_4$ (правильнее $\text{PtO}_2 \cdot n\text{H}_2\text{O}$), галогениды PtHal_4 , сульфид PtS_2 и многочисленные производные его катионных, нейтральных и анионных комплексов.

Координационное число Pd (IV) и Pt (IV) равно шести, что отвечает октаэдрической конфигурации комплексов. Последние диамагнитны, имеют следующую электронную конфигурацию:

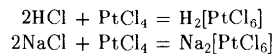


Бинарные соединения Pt (IV) получают прямым взаимодействием простых веществ при нагревании или путем разложения соответствующих комплексных соединений.

У бинарных соединений Pt (IV) кислотные свойства преобладают над основными. При растворении гидроксида платины (IV) $\text{PtO}_2 \cdot n\text{H}_2\text{O}$ в кислотах и щелочах образуются комплексы анионного типа, например:



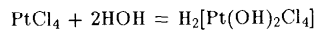
Для тетрагалогенидов PtHal_4 очень характерно взаимодействие с галогеноводородными кислотами и основными галогенидами с образованием комплексов типа $[\text{PtHal}_6]^{2-}$ ($\text{Hal} = \text{Cl}, \text{Br}, \text{I}$):



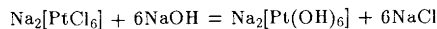
Ионы $[\text{PtHal}_6]^{2-}$ (за исключением $[\text{PtF}_6]^{2-}$) очень устойчивы. Так, при действии AgNO_3 на растворы гексахлороплатинатов (IV) образуется светло-бурый осадок $\text{Ag}_2[\text{PtCl}_6]$, а не AgCl . В противоположность $\text{Na}_2[\text{PtCl}_6]$ гексахлороплатинаты (IV) $\text{K}^+, \text{Pb}^{2+}, \text{Cs}^+$ и NH_4^+ плохо растворяются в воде и выделяются в виде желтых осадков, что используется для открытия указанных ионов в аналитической практике. Гексахлороплатиновая кислота $\text{H}_2[\text{PtCl}_6] \cdot 6\text{H}_2\text{O}$ — расплывающиеся на воздухе красно-коричневые кристаллы, легко растворимые в воде, спирте, эфире. Получают ее выпариванием растворов продуктов взаимодействия PtCl_4 с соляной кислотой или растворения платины в царской водке.

Помимо $[\text{PtX}_6]^{2-}$ ($X = \text{Cl}^-, \text{Br}^-, \text{I}^-, \text{CN}^-, \text{NCS}^-, \text{OH}^-$) известны многочисленные анионные комплексы с разнородными лигандами, например, ряда: $\overset{+1}{\text{M}_2}[\text{Pt}(\text{OH})_6]$, $\overset{+1}{\text{M}_2}[\text{Pt}(\text{OH})_5\text{Cl}]$, $\overset{+1}{\text{M}_2}[\text{Pt}(\text{OH})_4\text{Cl}_2]$, $\overset{+1}{\text{M}_2}[\text{Pt}(\text{OH})_3\text{Cl}_3]$, $\overset{+1}{\text{M}_2}[\text{Pt}(\text{OH})_2\text{Cl}_4]$, $\overset{+1}{\text{M}_2}[\text{Pt}(\text{OH})\text{Cl}_5]$, $\overset{+1}{\text{M}_2}[\text{PtCl}_6]$. Некоторые

из платинат (IV)-комплексов этого ряда могут быть получены при гидролизе PtCl_4 :



или действием щелочей на хлороплатинаты (IV):



О разнообразии комплексов Pt (IV) можно судить также по следующему ряду производных: $[\text{Pt}(\text{NH}_3)_6\text{Cl}_4]$, $[\text{Pt}(\text{NH}_3)_5\text{Cl}]\text{Cl}_3$, $[\text{Pt}(\text{NH}_3)_4\text{Cl}_2]\text{Cl}_2$, $[\text{Pt}(\text{NH}_3)_3\text{Cl}_3]\text{Cl}$, $[\text{Pt}(\text{NH}_3)_2\text{Cl}_4]$, $\text{K}[\text{Pt}(\text{NH}_3)\text{Cl}_5]$, $\text{K}_2[\text{PtCl}_6]$.

Характер координации хлорид-иона в этих соединениях можно легко установить химическим путем. Так, при взаимодействии растворов $[\text{Pt}(\text{NH}_3)_6\text{Cl}_4]$ и AgNO_3 осаждается 4 моль AgCl в расчете на 1 моль Pt. Из растворов $[\text{Pt}(\text{NH}_3)_5\text{Cl}]\text{Cl}_3$ и $[\text{Pt}(\text{NH}_3)_4\text{Cl}_2]\text{Cl}_2$ выделяются соответственно 3 и 2 моль AgCl , а из раствора $[\text{Pt}(\text{NH}_3)_2\text{Cl}_4]$ хлорид серебра осаждается только в результате долгого стояния раствора при нагревании. В соответствии с характером ионизации меняется и электрическая проводимость растворов. Понятно, что при одинаковой молярной концентрации максимальной электрической проводимостью обладает раствор $[\text{Pt}(\text{NH}_3)_6\text{Cl}_4]$, минимальной — раствор $[\text{Pt}(\text{NH}_3)_2\text{Cl}_4]$ (рис. 248).

Для соединений состава $[\text{Pt}(\text{NH}_3)_4\text{Cl}_2]\text{Cl}_2$ и $[\text{Pt}(\text{NH}_3)_2\text{Cl}_4]$ характерна геометрическая изомерия: *цикло*- $[\text{Pt}(\text{NH}_3)_2\text{Cl}_4]$ имеет оранжевую, а *транс*- $[\text{Pt}(\text{NH}_3)_2\text{Cl}_4]$ — желтую окраску. Расположение *транс*-комплексов $[\text{Pt}(\text{NH}_3)_2\text{Cl}_4]$ в кристалле показано на рис. 249.

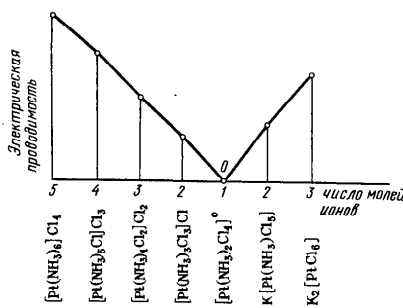


Рис. 248. Молярная электрическая проводимость соединений Pt (IV) в зависимости от их состава

674

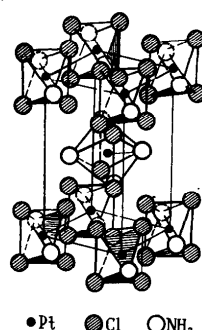
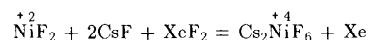


Рис. 249. Строение кристалла $[\text{Pt}(\text{NH}_3)_2\text{Cl}_4]$

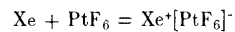
Соединения никеля (IV) можно получить при окислении фторида никеля (II) фторидом ксенона (II) в присутствии основного фторида, например:



Соединения Ni (IV) — сильные окислители.

Соединения Pd (VI) и Pt (VI). Платина, подобно ряду других 5d-элементов, образует гексафторид PtF_6 . Это летучее кристаллическое вещество (т. пл. 61°C, т. кип. 69°C) темно-красного цвета, получают его сжиганием платины во фторе.

Устойчивость гексафторидов уменьшается в ряду $\text{WF}_6 > \text{ReF}_6 > \text{OsF}_6 > \text{IrF}_6 > \text{PtF}_6$. Особо неустойчивый PtF_6 относится к числу наиболее сильных окислителей (сродство к электрону 7 эВ), является фторирующим агентом. Так, он легко фторирует BrF_3 до BrF_5 , бурно реагирует с металлическим ураном, образуя UF_6 , разлагает воду с выделением кислорода, реагирует со стеклом. Гексафторид платины окисляет также молекулярный кислород до $\text{O}_2^+[\text{PtF}_6]$. Так как первый ионизационный потенциал молекулярного кислорода $\text{O}_2 \rightarrow \text{O}_2^+$ равен 12,08, т. е. почти как у ксенона (12,13 В), было высказано предположение о возможности образования соединения $\text{Xe}^+[\text{PtF}_6]$:



Вскоре это соединение было получено. $\text{Xe}[\text{PtF}_6]$ — кристаллическое вещество оранжевого цвета, устойчиво при 20°C, в вакууме возгоняется без разложения. Синтез $\text{Xe}[\text{PtF}_6]$ явился началом широких исследований, приведших к получению соединений благородных газов.

Получен также гексафторид палладия PdF_6 — твердое темно-красное вещество; легко разлагается.

§ 7. ПОЛУЧЕНИЕ ПЛАТИНОВЫХ МЕТАЛЛОВ

Основную массу получаемых платиновых металлов извлекают из анодного шлама, образующегося при электролитическом рафинировании никеля и меди. Отделение платиновых металлов друг от друга (*аффинаж*) производят сложной химической переработкой, которая слагается из следующих основных операций.

1. На анодный шлам (после обогащения) действуют царской водкой при нагревании. Pt, Pd, Rh, Ir и Ru переходят в раствор в виде $\text{H}_2[\text{PtCl}_6]$, $\text{H}_2[\text{PdCl}_4]$, $\text{H}_2[\text{RhCl}_6]$, $\text{H}_2[\text{IrCl}_6]$ и $\text{H}_2[\text{RuCl}_6]$, а Os остается в шламе.

2. Из раствора действием NH_4Cl сначала осаждают $(\text{NH}_4)_2[\text{PtCl}_6]$, а

675

затем $(\text{NH}_4)_2[\text{IrCl}_6]$ и $(\text{NH}_4)_2[\text{RuCl}_6]$. После ряда операций действием NH_3 осаждают $[\text{Pd}(\text{NH}_3)_2\text{Cl}_2]$ и $[\text{Rh}(\text{NH}_3)_3\text{Cl}_3]$.

3. Не растворившийся в царской водке осадок сплавляют с BaO_2 . Образующийся при этом OsO_4 отгоняют. Аналогичным образом поступают для отделения рутения от ирида.

4. При прокаливании полученных соединений в восстановительной атмосфере (часто в присутствии водорода) выделяют свободные металлы.

Платиновые металлы высокой степени чистоты получают многократным повторением операций перевода их в раствор, осаждения и разложения соответствующих соединений.

Для получения чистых платиновых металлов используется способ разделения их с помощью ионообменных смол.

ГЛАВА 9. *d*-ЭЛЕМЕНТЫ И ГРУППЫ ПЕРИОДИЧЕСКОЙ СИСТЕМЫ Д.И. МЕНДЕЛЕЕВА

Медь Cu, серебро Ag и золото Au каждый в своем периоде являются предпоследними *d*-элементами. Таким образом, в атомах элементов подгруппы меди в $(n - 1)$ *d*-состоянии должны находиться по девять электронов. Однако вследствие устойчивости d^{10} -конфигурации энергетически оказывается более выгодным переход одного из $n\pi$ -электронов в $(n - 1)$ *d*-состояние. Поэтому Cu, Ag и Au в *s*-состоянии внешнего слоя имеют по одному, а в предпоследнем слое по 18 ($s^2p^6d^{10}$) электронов. Некоторые данные об элементах подгруппы меди приведены ниже:

	^{29}Cu	^{47}Ag	^{79}Au
Атомная масса	63,62	107,87	196,97
Валентные электроны	$3d^{10}4s^1$	$4d^05s^1$	$5d^06s^1$
Металлический радиус атома, нм	0,128	0,144	0,144
Условный радиус иона Э^+ , нм	0,098	0,113	0,137
Энергия ионизации, эВ			
$\text{Э}^0 \rightarrow \text{Э}^+$	7,73	7,58	9,23
$\text{Э}^+ \rightarrow \text{Э}^{2+}$	20,29	21,49	20,5
$\text{Э}^{2+} \rightarrow \text{Э}^{3+}$	36,8	34,8	43,5
Сродство к электрону, эВ	1,8	1,3	2,8
Содержание в земной коре, % (мол. доли)	$3,6 \cdot 10^{-3}$	$1,6 \cdot 10^{-4}$	$5 \cdot 10^{-8}$
Природные изотопы	^{63}Cu (69,1%)	^{107}Ag (51,35%)	^{197}Au (100%)
	^{65}Cu (30,9%)	^{109}Ag (48,65%)	

У элементов подгруппы меди первая энергия ионизации существенно выше, чем у *s*-элементов I группы. Это объясняется проникновением внешнего $n\pi$ -электрона под экран ($n - 1$) d^{10} -электронов. Уменьшение первой энергии ионизации при переходе от Cu к Au обусловлено большим значением главного квантового числа n . Дальнейшее же увеличение энергии ионизации у Au обусловлено проникновением $b\pi$ -электрона не только под экран $5d^{10}$ -электронов, но и под экран $4f^4$ -электронов. Что касается второй энергии ионизации [удаление электрона из $(n - 1)d^{10}$ -подслоя], то у всех трех элементов она близка и по значению заметно меньше, чем у щелочных металлов.

В соответствии со сказанным элементы подгруппы меди проявляют не только степень окисления +1, но и +2 и +3. Для меди наиболее характерна степень окисления +2, для золота +3, а для серебра +1. Особая устойчивость степени окисления +1 у серебра объясняется прочностью конфигурации $4d^{10}$. Эта конфигурация образуется уже у палладия, предшествующего серебру в периодической системе.

Интересно отметить, что сродство к электрону у Cu, Ag и Au значительно больше не только сродства к электрону *s*-элементов I группы, но у Au даже кислорода и серы. Этот факт обязан эффекту проникновения *s*-электронов внешнего уровня к ядру.

Все это обуславливает большую склонность меди и ее аналогов к образованию ковалентной связи, чем у щелочных металлов.

Таблица 47. Степени окисления и пространственная конфигурация структурных единиц соединений элементов подгруппы меди

Степень окисления	Координатное число	Пространственная конфигурация	Примеры соединения
+1	2	Линейная	Cu_2O , Ag_2O , AgCN , AgNCS , AuI , $[\text{Ag}(\text{NH}_3)_2]^+$, $[\text{Ag}(\text{CN})_2]^-$
	3	Треугольная	$\text{K}[\text{Cu}(\text{CN})_2]$
	4	Тетраэдрическая	CuHal , $[\text{Cu}(\text{CN})_4]^{3-}$, $[\text{Ag}(\text{NCS})_4]^{3-}$
	6	Октаэдрическая	AgHal
	4	Квадратная	CuO , CuCl_2
	6	Октаэдрическая	$\text{CuCl}_2 \cdot 2\text{H}_2\text{O}$, $\text{K}[\text{CuF}_3]$
+3	4	Квадратная	KCuO_2 , AuHal_3 , $[\text{AuHal}_4]^-$

Особенность электронной структуры атомов элементов подгруппы меди обуславливает относительно большую устойчивость двухатомных молекул Cu_2 , Ag_2 , Au_2 (энергия диссоциации соответственно 174, 167 и 210 кДж/моль) по сравнению с молекулами K_2 , Rb_2 и Cs_2 (энергия диссоциации порядка 40 кДж/моль). Прочность молекул Cu_2 , Ag_2 и Au_2 обусловливается дополнительным π -связыванием за счет свободных $p\pi$ -орбиталей и $(n-1)d$ -электронных пар.

Элементы подгруппы меди могут образовывать как катионные, так и анионные комплексы. Понятно, что по мере повышения степени окисления тенденция к образованию анионных комплексов возрастает. Степени окисления элементов подгруппы меди и отвечающие им координационные числа и пространственные конфигурации комплексов приведены в табл. 47.

Все растворимые соединения меди, серебра и золота ядовиты.

§ 1. ПОДГРУППА МЕДИ

Из природных соединений меди наибольшее значение имеют минералы: медный колчедан (*галькопирит*) CuFeS_2 , медный блеск Cu_2S , а также *куприт* Cu_2O , *малахит* $\text{CuCO}_3 \cdot \text{Cu}(\text{OH})_2$ и др. Серебро входит в состав сульфидных минералов других металлов (Pd, Zn, Cd и др.). Для Cu, Ag и Au довольно обычны также арсенидные, стибидные и сульфидарсенидные минералы. Медь, серебро и особенно золото встречаются в природе в самородном состоянии.

Простые вещества. Медь, серебро и золото представляют собой металлы (соответственно красного, белого и желтого цветов) с гранецентрированной кубической решеткой (см. табл. 28). Поскольку у меди и ее аналогов в образовании связи принимают участие как $p\pi$, так и $(n-1)d$ -электроны, теплоты возгонки и температуры плавления у них значительно выше, чем у щелочных металлов. Медь, серебро и золото характеризуются исключительной (особенно, золото) пластичностью; они превосходят остальные металлы также по теплопроводности и электрической проводимости. Некоторые константы рассматриваемых металлов приведены ниже:

	Cu	Ag	Au
Пл., г/см ³	8,94	10,5	19,3
Твердость (алмаз 10)	3,0	2,7	2,5
S° , Дж/(К·моль)	33,1	42,5	47,4
Электрическая проводимость (Hg = 1)	57	59	40
Теплопроводность (H ₂ O 1)	46	49	35

Т. пл., °С	1084,5	961,2	1064,4
Т. кип., °С	2540	2170	2880
$\Delta H_{\text{возр}, 298}^\circ$, кДж/моль	339,6	283,6	366,6
φ_{298}° , В			
$\mathcal{E}^+ + 1e^- = \mathcal{E}$	+0,520	+0,799	+1,692
$\mathcal{E}^{2+} + 2e^- = \mathcal{E}$	+0,34	-	-
$\mathcal{E}^{3+} + 3e^- = \mathcal{E}$	-	-	+1,498

Химическая активность меди и ее аналогов невелика и убывает с возрастанием порядкового номера элемента. Об этом, в частности, свидетельствуют значения энергии Гиббса образования их бинарных соединений. Металлы легче всего реагируют с галогенами (Cu при обычной температуре, Ag и Au при нагревании).

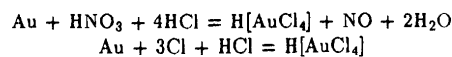
Соединение	CuCl(к)	AgCl(к)	AuCl(к)	CuCl ₂ (к)	AuCl ₃ (к)
$\Delta G_{f, 298}^\circ$, кДж/моль	-120	-110	-18	-171	-64

С кислородом непосредственно взаимодействует только медь. При температуре красного каления образуется Cu_2O , а при более высокой температуре — Cu_2O , с серой непосредственно взаимодействуют Cu и Ag.

Соединение	Cu ₂ O(к)	Ag ₂ O(к)	CuO(к)	Au ₂ O ₃ (к)	Cu ₂ O(к)	Ag ₂ S(к)
$\Delta G_{f, 298}^\circ$, кДж/моль	-151	-11,1	-129	+79	-86	-41

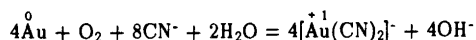
Вследствие окисления медь на воздухе покрывается плотной зелено-серой пленкой основного карбоната. При наличии в воздухе водородорода серебро покрывается черным налетом Ag_2S . С водородом медь и ее аналоги не реагируют.

Об уменьшении химической активности в ряду Cu—Ag—Au свидетельствуют также значения стандартных электродных потенциалов. Поскольку Cu, Ag и Au расположены в электрохимическом ряду напряжений после водорода, кислоты могут окислять их лишь за счет аниона: Cu и Ag растворяются в HNO_3 и концентрированной H_2SO_4 , Au — в горячей концентрированной H_2SeO_4 . Лучшим растворителем для золота являются насыщенный хлором раствор HCl и царская водка. Как в том, так и в другом случае взаимодействие происходит за счет окисления Au атомным хлором и образования анионного комплекса:

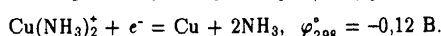
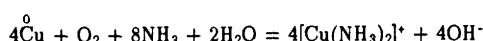


В отсутствие окислителей Cu, Ag и Au устойчивы по отношению к щелочам.

Медь и ее аналоги растворяются в растворах основных цианидов в присутствии кислорода, например:

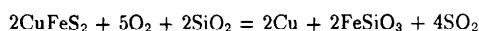


Медь, кроме того, в присутствии кислорода растворяется в водных растворах аммиака:



Друг с другом и со многими другими металлами Cu, Ag и Au образуют сплавы. Из сплавов меди наибольшее значение имеют бронзы (90% Cu, 10% Sn), толпак (90% Cu, 10% Zn), мельхиор (68% Cu, 30% Ni, 1% Mn, 1% Fe), нейзильбер (65% Cu, 20% Zn, 15% Ni), латунь (60% Cu, 40% Zn), а также монетные сплавы.

Для получения меди применяют пиро- и гидрометаллургические процессы. Пирометаллургический процесс извлечения меди из сернистых руд типа CuFeS₂ можно выразить суммарным уравнением:

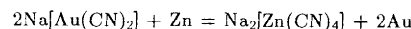


Для отделения меди от пустой породы медную руду обжигают на воздухе. При этом сульфиды железа переходят в FeO и выделяется SO₂. Затем к образовавшемуся огарку добавляют кремнезем и кокс; шихту направляют на плавку. При плавлении шихты образуются две жидкие фазы. Верхний слой — сплав оксидов и силикатов (шлак), в который переходит часть железа (в виде FeSiO₃) и компонентов пустой породы. Нижний — сплав сульфидов (штейн), в котором концентрируется медь (в основном в виде Cu₂S·FeS) и сопутствующий ей ценные элементы (Au, Ag, Se, Te, Ni и др.). Далее жидкий штейн подвергает окислительному обжигу, пропуская через него сжатый воздух. При этом происходит дальнейшее выгорание серы, переход железа в шлак и выделение металлической меди.

Образующийся при пирометаллургической переработке руды SO₂ идет на производство серной кислоты, а шлак используется для производства шлакобетона, каменного литья, шлаковатки и пр. Получаемая медь обычно содержит 95–98% Cu. Для получения меди высокой степени чистоты проводится электролитическое рафинирование электролизом раствора CuSO₄ с медным анодом. При этом сопутствующие меди благородные металлы, селен, теллур и другие ценные примеси концентрируются в анодном шламе, откуда их извлекают специальной переработкой.

Гидрометаллургические методы получения меди основаны на селективном растворении медных минералов обычно в разбавленных растворах H₂SO₄ или аммиака. Из полученных растворов медь вытесняют железом либо выделяют электролизом.

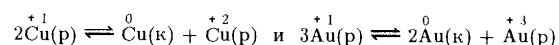
Для отделения самородного золота от пустой породы применяют промывку водой, растворение Au в жидкой ртути с последующей разгонкой амальгамы. Лучшим методом отделения золота от пустой породы является цианидный метод. Этот метод основан на растворении Au в растворе NaCN за счет окисления кислородом воздуха и перехода в анионный комплекс Na[Au(CN)₂] с последующим вытеснением из цианоаураната (I) цинком:



§ 2. СОЕДИНЕНИЯ ЭЛЕМЕНТОВ ПОДГРУППЫ МЕДИ

Соединения Cu (I), Ag (I), Au (I). Меди и ее аналогам в степени окисления +1 отвечает электронная конфигурация σ^0 .

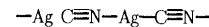
Как уже указывалось, степень окисления +1 наиболее характерна для серебра. У меди и в особенности у золота эта степень окисления проявляется реже. В водных растворах она в основном стабилизируется в присутствии лигандов π -акцепторного типа. Так, в растворах равновесия



смещаются в сторону образования производных Э (I) в присутствии, например, ионов CN⁻ и I⁻.

Для меди (I) и ее аналогов наиболее характерны координационные числа 2 и 4, а для Ag (I) — также 6.

В кристаллах Cu₂O и Ag₂O имеет место линейно-тетраэдрическая координация атомов (рис. 250), в CuHal координационное число меди равно 4 (см. рис. 198, a), а в AgHal координационное число серебра равно 6 (структурный тип NaCl). Кристаллы AgCN, AgNCS, AgN₃ образованы цепочками типа



Бинарные соединения Cu (I), Ag (I) и Au (I) — твердые кристаллические соли.

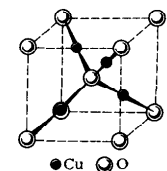
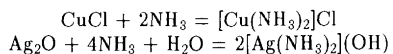


Рис. 250. Структура Cu₂O (куприт)

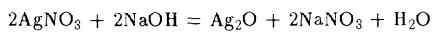
подобные вещества, в большинстве нерастворимые в воде. Производные Ag (I) образуются при непосредственном взаимодействии простых веществ, а Cu (I) и Au (I) — при восстановлении соответствующих соединений Cu (II) и Au (III). Из солей кислородсодержащих кислот относительно более устойчивы производные серебра (растворимые в воде AgNO_3 , AgClO_4 , AgClO_3 , плохо растворимые Ag_2SO_4 , Ag_2CO_3 и др.).

Для Э (I) аквакомплексы малостойки и кристаллогидраты не характерны, но для Cu (I) и Ag (I) устойчивы амминокомплексы типа $[\text{Э}(\text{NH}_3)_2]^+$. Поэтому большинство соединений Cu (I) и Ag (I) довольно легко растворяется в присутствии аммиака, например:

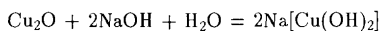


Гидроксиды типа $[\text{Э}(\text{NH}_3)_2](\text{OH})$ значительно устойчивее, чем ЭОН, и по силе приближаются к щелочам. Это объясняется уменьшением поляризующего действия катиона Э⁺ на ионы OH⁻ за счет экранирования молекулами аммиака.

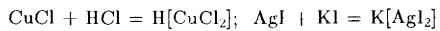
Гидроксиды ЭОН — основания (для AgOH $K_o = 5,0 \cdot 10^{-3}$); они неустойчивы. При попытке их получения по обменным реакциям выделяются оксиды Cu_2O (красный), Ag_2O (темно-коричневый), например:



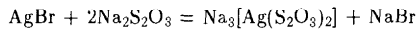
Кислотная природа бинарных соединений Э (I) проявляется при взаимодействии с соответствующими основными соединениями. При этом образуются различного рода купраты (I), аргентаты (I) и аулаты (I). Так, Э₂O несколько растворимы в концентрированных растворах щелочей:



Нерастворимые в воде и кислотах галогениды ЭHal довольно значительно растворяются в растворах галогеноводородных кислот или основных галогенидов:



Аналогично ведут себя нерастворимые в воде цианиды ЭCN, сульфиры Э₂S и пр. Из подобных реакций большое значение имеет реакция растворения галогенидов серебра в растворах тиосульфата натрия:



Эта реакция имеет место при закреплении фотоматериалов гипосульфитом.

Из комплексов Э (I) наиболее устойчивы цианидные производные:

	$[\text{Cu}(\text{CN})_2]^-$	$[\text{Ag}(\text{CN})_2]^-$	$[\text{Au}(\text{CN})_2]^-$
β_n	$1 \cdot 10^{24}$	$7 \cdot 10^{19}$	$2 \cdot 10^{38}$

Усилием π-дативного взаимодействия объясняют повышение устойчивости галогенокомплексов в ряду

	$[\text{CuCl}_2]^-$	$[\text{CuBr}_2]^-$	$[\text{CuI}_2]^-$
β_n	$2 \cdot 10^5$	$8 \cdot 10^6$	$7 \cdot 10^8$

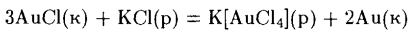
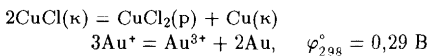
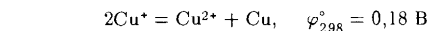
и уменьшение растворимости галогенидов в ряду ЭF—ЭCl—ЭBr—ЭI:

	AgCl	AgBr	AgI
ПР	$1,8 \cdot 10^{-10}$	$5,8 \cdot 10^{-13}$	$8,3 \cdot 10^{-17}$

Большинство соединений Cu (I) и Au (I) легко окисляется (даже молекулярным кислородом воздуха), переходя в устойчивые производные Cu (II) и Au (III), например

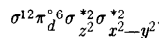


Для соединений Cu (I) и Au (I) характерно диспропорционирование:



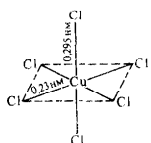
Большинство соединений Э (I) при небольшом нагревании и при действии света легко распадается. Поэтому их обычно хранят в банках из темного стекла. Светочувствительность галогенидов серебра используется для приготовления светочувствительных эмульсий. Важное значение имеет AgNO_3 , из которого получают все остальные производные серебра. Оксид меди (I) применяют для окрашивания стекла, эмалей, а также в полупроводниковой технике.

Соединения Cu (II). Степень окисления +2 характерна только для меди. Максимальное координационное число Cu (II) равно 6, что соответствует октаэдрическим комплексам (структурным единицам) следующей электронной конфигурации:



Поскольку на $\sigma_{x^2-y^2}^{*}$ -орбитали (в отличие от $\sigma_{z^2}^{*}$) имеется только один электрон, связь Cu — лиганд за счет $\sigma_{x^2-y^2}^{*}$ -электронов прочнее, чем

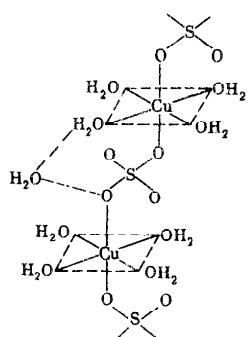
за счет σ_2 -электронов. Иными словами, четыре лиганда в плоскости xy связаны с атомом Cu прочнее, чем два лиганда, расположенные по оси z . Поэтому расстояние между атомами Cu и лигандами в плоскости xy короче, чем между атомами Cu и лигандами, расположенными по оси z , например в кристалле CuCl_2 :



Иногда это различие столь велико, что комплексы Cu (II) можно рассматривать как квадратные. Таким образом, чаще всего встречаются соединения, в которых координационное число равно четырем (квадрат) и шести (искаженный октаэдр).

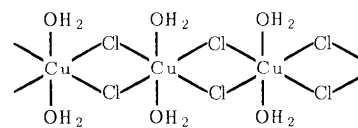
Для меди (II) характерны как катионные, так и анионные комплексы. Так, при растворении солей Cu (II) в воде или при взаимодействии CuO (черного цвета) и $\text{Cu}(\text{OH})_2$ (голубого цвета) с кианитами образуются голубые аквакомплексы $[\text{Cu}(\text{OH}_2)_6]^{2+}$. Такую же окраску имеет большинство кристаллогидратов, например $\text{Cu}(\text{NO}_3)_2 \cdot 6\text{H}_2\text{O}$.

В медном купоросе $\text{CuSO}_4 \cdot 5\text{H}_2\text{O}$ вокруг Cu (II) координированы четыре молекулы воды в плоскости и две SO_4^{2-} -группы по оси. Пятая молекула H_2O играет роль мостика, объединяющего водородными связями молекулы H_2O в плоскости и SO_4^{2-} -группу:



Часть молекул воды играет роль мостика и в других кристаллогидратах с нечетным числом молекул воды ($\text{NiSO}_4 \cdot 7\text{H}_2\text{O}$, $\text{FeSO}_4 \cdot 7\text{H}_2\text{O}$).

Встречаются также кристаллогидраты Cu (II), имеющие зеленую и темно-коричневую окраску. В этом случае кроме молекул воды роль лигандов играют соответствующие анионы. Так, в зеленом $\text{CuCl}_2 \cdot 2\text{H}_2\text{O}$ атомы Cu окружены двумя молекулами воды и четырьмя атомами хлора:

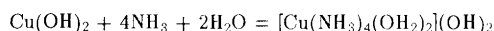


При прибавлении воды $\text{CuCl}_2 \cdot 2\text{H}_2\text{O}$ меняет окраску до голубой, т. е. при этом происходит образование аквакомплекса $[\text{Cu}(\text{OH}_2)_6]^{2+}$.

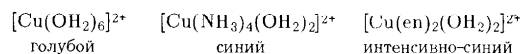
Гидролиз солей Cu (II) часто сопровождается образованием малорастворимых в воде гидроксоединений состава $\text{Cu}(\text{NO}_3)_2 \cdot 3\text{Cu}(\text{OH})_2$, $\text{CuSO}_4 \cdot 2\text{Cu}(\text{OH})_2$, $\text{CuCl}_2 \cdot 3\text{Cu}(\text{OH})_2$. Большинство из этих соединений встречается в виде минералов.

Из других катионных комплексов меди (II) очень характерны комплексы с азотсодержащими лигандами, например $[\text{Cu}(\text{NH}_3)_4(\text{OH}_2)_2]^{2+}$ и хелатный этилендиаминовый* $[\text{Cu}(\text{en})_2(\text{OH})_2]^{2+}$. Их константы устойчивости соответственно равны $1 \cdot 10^{12}$ и $1 \cdot 10^{20}$.

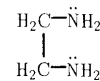
Амминокомплексы образуются при действии аммиака на растворы солей меди (II). Образование аммиакатов, в частности, объясняется растворение $\text{Cu}(\text{OH})_2$ в водных растворах аммиака:



Замена в аквакомплексе $[\text{Cu}(\text{OH}_2)_6]^{2+}$ молекул воды на азотсодержащие лиганды приводит к появлению более интенсивной синей окраски:



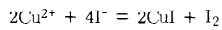
* Этилендиамин еп:



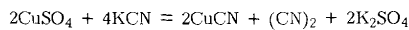
Это изменение цвета обязано усилению поля лигандов в ряду $\text{OH}_2\text{-NH}_3^+$ -еп, вызывающему смещение полосы поглощения из далекой красной в среднюю область спектра.

Максимум поглощения иона $[\text{Cu}(\text{OH}_2)_6]^{2+}$ наблюдается при ~ 800 нм, а у $[\text{Cu}(\text{NH}_3)_4(\text{OH}_2)_2]^{2+}$ — при ~ 600 нм. С другой стороны, CuSO_4 бесцветен, так как поле иона SO_4^{2-} настолько слабое, что d -переход отвечает поглощению в инфракрасной области.

Соединения Cu (II) в общем устойчивее, чем однотипные производные Cu (I). Так, $\text{Cu}(\text{OH})_2$ распадается на CuO и H_2O лишь при нагревании. Разложение CuF_2 и CuCl_2 на CuHal и Hal_2 начинается соответственно при 950 и 500°C . Однако CuI_2 ($\Delta G_{f,298}^\circ = -8,2$ кДж/моль) разлагается уже при обычных температурах, переходя в CuI ($\Delta G_{f,298}^\circ = -71$ кДж/моль). Поэтому при попытке получения CuI_2 по обменной реакции протекает окислительно-восстановительная реакция



Аналогичным образом неустойчивы $\text{Cu}(\text{CN})_2$ и $\text{Cu}(\text{SCN})_2$:



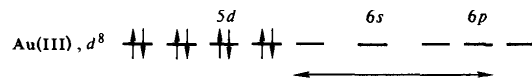
Для меди (II) характерны также анионные комплексы — купраты (II). Так, $\text{Cu}(\text{OH})_2$ при нагревании в концентрированных растворах щелочей частично растворяется, образуя синие гидроксокупраты (II) типа $\overset{+1}{M}_2[\text{Cu}(\text{OH})_4]$. Некоторые из них выделены в свободном состоянии. В водных растворах гидроксокупраты (II) легко разлагаются, что свидетельствует о слабости кислотных свойств $\text{Cu}(\text{OH})_2$.

В избытке основных галогенидов CuHal_2 образуют галогенокупраты (II) типа $\overset{+1}{M}[\text{CuHal}_3]$ и $\overset{+1}{M}_2[\text{CuHal}_4]$. В отличие от $\text{Cu}(\text{CN})_2$ вполне устойчивы и хорошо растворимы в воде цианокупраты (II) типа $\overset{+1}{M}_2[\text{Cu}(\text{CN})_4]$. Анионные комплексы Cu (II) известны также с карбонат-, сульфат- и другими анионами. Так, выделен темно-синий карбонатокупрат (II) калия $\text{K}_2[\text{Cu}(\text{CO}_3)_2]$. Из растворов сульфатов щелочных металлов CuSO_4 кристаллизуется в виде $\overset{+1}{M}_2\text{Cu}(\text{SO}_4)_2 \cdot 6\text{H}_2\text{O}$.

Из производных серебра (II) более или менее устойчивы AgF_2 и некоторые комплексные соединения с органическими лигандами. Соединения золота (II) неустойчивы.

Из соединений меди (II) технически наиболее важен кристаллогидрат $\text{CuSO}_4 \cdot 5\text{H}_2\text{O}$ (медный купорос). Он применяется для получения минеральных красок, для борьбы с вредителями и болезнями растений в сельском хозяйстве, служит исходным продуктом для получения меди и ее соединений и т. д.

Соединения Cu (III), Ag (III), Au (III). Степень окисления +3 наиболее характерна для золота. Диамагнетизм соединений золота (III) согласуется с участием в образовании связей $5d^6 6p^2$ -орбиталей иона Au^{3+} (d^6):

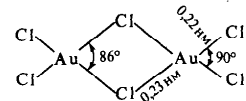


Это отвечает квадратной конфигурации комплексов и структурных единиц соединений золота (III).

Из бинарных соединений Au (III) известны:

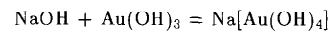
Соединение	$\text{Au}_2\text{O}_3(\text{k})$	$\text{AuF}_3(\text{k})$	$\text{AuCl}_3(\text{k})$	$\text{AuBr}_3(\text{k})$	$\text{Au}(\text{OH})_3(\text{k})$
Цвет	черно-бу- рый	оранже- вый	красный	темно-бу- рый	красно-ко- ричневый
$\Delta G_{f,298}^\circ, \text{ кДж/моль}$	+79	-297	-54	-25	-350

В воде растворимы лишь AuCl_3 и AuBr_3 , состоящие из димерных плоских молекул:

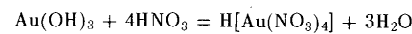


Основным исходным продуктом для получения других соединений золота является AuCl_3 , который получают взаимодействием порошка Au с избытком Cl_2 при 200°C .

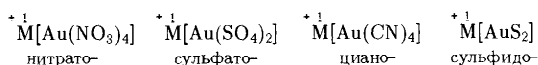
Галогениды, оксид и гидроксид Au (III) — амфотерные соединения с преобладанием кислотных признаков. Так, $\text{Au}(\text{OH})_3$ легко растворяется в щелочах, образуя гидроксоаураты (III):



Даже растворение в кислотах $\text{Au}(\text{OH})_3$ происходит за счет образования анионных комплексов:

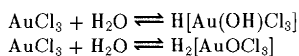


Нитрато- и цианоураты (III) водорода выделены в свободном состоянии. В присутствии солей щелочных металлов образуются аураты (III), например:



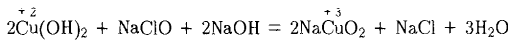
Кислотный характер галогенидов Au (III) проявляется в их исключительной склонности давать галогеноаураты (III) $\overset{+1}{M}[AuHal_4]$ (константа устойчивости иона $[AuCl_4]^-$ равна $2 \cdot 10^{21}$). Большинство галогеноауратов (III) хорошо растворимо в воде и органических растворителях.

Особая склонность Au (III) к образованию анионных комплексов проявляется и при гидролизе его тригалогенидов:



Образующаяся при этом кислота $H_2[AuOCl_3]$ с ионами Ag^+ дает трудно растворимую соль $Ag_2[AuOCl_3]$, а не $AgCl$, что указывает на большую устойчивость иона $[AuOCl_3]^{2-}$.

Для Cu (II) и Ag (II) известны фторопроизводные: синий $K_3[CuF_6]$ и желтый $K[AgF_4]$. При окислении $Cu(OH)_2$ в щелочной среде получаются гидроксо- и оксокупраты (III) типа $KCuO_2$ и $K[Cu(OH)_4]$:



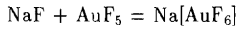
Степень окисления +3 у меди и серебра стабилизируется в комплексах с иодат (VII) и теллурат (VI) лигандами, например, $K_7[Cu(I_6)_2] \cdot 7H_2O$, $Na_9[Cu(TeO_6)_2]$ (коричневого цвета) и $KH_7[Ag(I_6)_2] \cdot 10H_2O$, $Na_6H_3[Ag(TeO_6)_2] \cdot 20H_2O$ (желтого цвета).

Соединения Cu (III) и Ag (III) — сильные окислители.

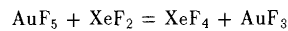
Соединения золота (V), (VII). Взаимодействие золота и фторида криптона (II) получен пентафторид золота AuF_5 — кристаллическое вещество красно-коричневого цвета ($\Delta H_{f,298}^\circ = 420$ кДж/моль):



Пентафторид AuF_5 проявляет кислотные свойства, с основными фторидами образует фтороаураты (V), например:



Соединения Au (V) — очень сильные окислители. Так, AuF_5 окисляет даже XeF_2 :



Известны также соединения типа $XeF^+AuF_6^-$, $XeF_5^+AuF_6^-$, $BrF^+AuF_6^-$, $O_2^+AuF_6^-$.

Пентафторид золота AuF_5 , по-видимому, имеет линейную структуру за счет объединения октаэдрических структурных единиц через атом фтора (см. строение SbF_5): $-AuF_4-F-AuF_4-F-$.

Известен фторид AuF_7 . Он крайне неустойчив.

ГЛАВА 10. d-ЭЛЕМЕНТЫ II ГРУППЫ ПЕРИОДИЧЕСКОЙ СИСТЕМЫ Д.И. МЕНДЕЛЕЕВА

Цинк Zn, кадмий Cd и ртуть Hg — полные электронные аналоги; каждый в своем периоде является последним элементом d-семейства. Следовательно, у них завершена d^{10} -электронная конфигурация. В этом отношении цинк и его аналоги отличаются от остальных d-элементов и, наоборот, проявляют сходство с p-элементами больших периодов. Приведем некоторые сведения об элементах подгруппы цинка:

	$^{30}_{\Lambda}Zn$	$^{48}_{\Lambda}Cd$	$^{80}_{\Lambda}Hg$
Атомная масса	65,37	112,40	200,59
Валентные электроны	$3d^{10}4s^2$	$4d^{10}5s^2$	$5d^{10}6s^2$
Металлический радиус атома, нм	0,139	0,156	0,160
Условный радиус иона Z^{2+} , нм	0,083	0,099	0,112
Энергия ионизации, эВ			
$Z^0 \rightarrow Z^+$	9,39	8,99	10,44
$Z^+ \rightarrow Z^{2+}$	17,96	16,90	18,8
$Z^{2+} \rightarrow Z^{3+}$	39,7	37,5	32,4
Содержание в земной коре, % (мол. доли)	$1,5 \cdot 10^{-3}$	$7,6 \cdot 10^{-6}$	$7 \cdot 10^{-7}$

У элементов подгруппы цинка две первые энергии ионизации выше, чем у d-элементов соответствующих периодов. Это объясняется проникновением внешних ns^2 -электронов под экран ($n - 1$) d-электронов. Уменьшение энергии ионизации при переходе от Zn к Cd обусловлено большим значением главного квантового числа n , дальнейшее же увеличение энергии ионизации у Hg обусловлено проникновением $6s^2$ -электронов не только под экран $5d^{10}$ -электронов, но и под экран $4f^{14}$ -электронов. Значения третьих энергий ионизации довольно высокие, что свидетельствует об устойчивости электронной конфигурации

$(n - 1)d^0$. В соответствии с этим для элементов подгруппы цинка характерна степень окисления +2. Вместе с тем $(n - 1)d^0$ -электроны цинка и его аналогов, как и у других d -элементов, способны к участию в донорно-акцепторном взаимодействии. При этом в ряду Zn^{2+} — Cd^{2+} — Hg^{2+} по мере увеличения размеров $(n - 1)d$ -орбиталей электронно-донарная способность ионов возрастает. Ионы Э^{2+} (d^0) проявляют ярко выраженную тенденцию к образованию комплексных соединений.

Высокая устойчивость $6s^2$ -электронной пары ртути накладывает отпечаток на все ее свойства и обуславливает ее существенное отличие от цинка и кадмия. В частности, в противоположность соединениям Zn и Cd большинство соединений Hg мало устойчивы. Далее, в отличие от цинка и кадмия для ртути характерны производные радикала Hg_2^{2+} . В радикале Hg_2^{2+} атомы связаны между собой ковалентной связью $-\text{Hg}-\text{Hg}-$.

В производных Hg_2^{2+} степень окисления Hg принимают равной +1.

§ 1. ПОДГРУППА ЦИНКА

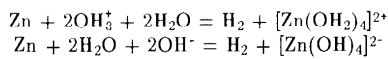
В земной коре цинк находится в виде смеси шести, кадмий — восьми и ртуть — семи стабильных изотопов. Искусственно получены также многочисленные радиоактивные изотопы.

Важнейшие минералы Zn , Cd , Hg : ZnS — *цинковая обманка*, HgS — *киноварь*, $ZnCO_3$ — *слитсонит*, CdS — *трипокит*. Цинк и его аналоги входят в состав полиметаллических руд. Самородная ртуть встречается в природе.

Простые вещества. В виде простых веществ цинк, кадмий и ртуть — серебристо-белые металлы (см. табл. 28). Но во влажном воздухе они постепенно покрываются пленками оксидов и теряют блеск. Все три металла (особенно ртуть) достаточно легкоплавки. Некоторые их константы приведены ниже:

	Zn	Cd	Hg
Пл., $\text{г}/\text{см}^3$	7,1	8,7	13,55
Т. пл., $^{\circ}\text{C}$	419,5	321	-38,9
Т. кип., $^{\circ}\text{C}$	906	767	357
Электрическая проводимость ($Hg = 1$)	16	13	1
$\Delta H_{\text{возд}, 298}^{\circ}$, $\text{кДж}/\text{моль}$	140	112	61
φ_{298}° $\text{Э}^{2+} + 2e^- = \text{Э}, \text{ В}$	-0,76	-0,40	0,85
S_{298}° , $\text{Дж}/(\text{К} \cdot \text{моль})$	41,6	51,8	75,9

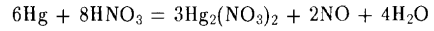
По химической активности цинк и его аналоги уступают щелочно-земельным металлам. При этом в противоположность подгруппе кальция в подгруппе цинка с ростом атомной массы химическая активность металлов (как и в других подгруппах d -элементов, кроме подгруппы скандия) понижается. Об этом, в частности, свидетельствуют ΔG_f° дихлоридов и характер изменения их значений в зависимости от порядкового номера элементов (рис. 251). Об этом же свидетельствуют значения электродных потенциалов металлов: цинк и кадмий в электрохимическом ряду напряжений расположены до водорода, ртуть — после. Цинк — химически активный металл, легко растворяется в кислотах и при нагревании в щелочах:



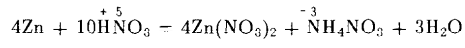
Кадмий в щелочах практически не растворяется, а в кислотах — менее энергично, чем цинк; ртуть же растворяется только в кислотах, являющихся достаточно сильными окислителями за счет своих анионов. При этом могут получиться производные как Hg (II), так и Hg (I). Например, при действии на Hg концентрированной азотной кислоты получается $Hg(\text{NO}_3)_2$:



При действии на избыток Hg разбавленной HNO_3 получается $Hg_2(\text{NO}_3)_2$:



Цинк и кадмий по отношению к HNO_3 и концентрированной H_2SO_4 ведут себя значительно активнее. Цинк, например, очень разбавленную HNO_3 восстанавливает до иона аммония:



При нагревании цинк и его аналоги весьма энергично взаимодействуют с активными неметаллами. Интересно, что ртуть взаимодействует с серой и иодом даже в обычных условиях.

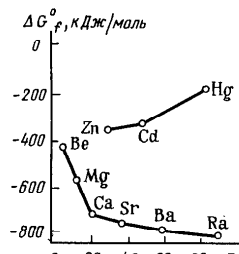
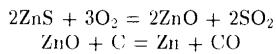


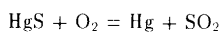
Рис. 251. Зависимость ΔG_f° дихлоридов от атомного номера элементов II группы

Цинк, кадмий и ртуть легко образуют сплавы как друг с другом, так и с другими металлами. Сплавы ртути с другими металлами — амальгами — обычно жидким или тестообразны. Их можно получить растирианием или даже простым перемешиванием металла со ртутью. Так, при растириании натрия со ртутью происходит экзотермический процесс образования амальгамы, в которой обнаружено не менее семи интерметаллических соединений. Амальгама кадмия представляет собой металлический раствор. На растворимости в ртути золота основан один из методов выделения его из руды.

В противоположность щелочно-земельным металлам цинк и кадмий в свободном состоянии можно получить химическим восстановлением или электролизом растворов их соединений. Пирометаллургическое получение Zn и Cd из их сернистых руд проводится в две стадии. Сначала руды подвергаются окислительному обжигу, затем полученные оксиды восстанавливают углем:



Вследствие малой устойчивости HgO ($\Delta G_{f,298}^{\circ} = -59 \text{ кДж/моль}$) получение Hg из HgS сводится к одной реакции:



В гидрометаллургическом методе получения цинка обожженные руды выщелачивают разбавленной серной кислотой, полученный раствор ZnSO₄ подвергают электролизу. Кадмий из сульфатных растворов обычно вытесняют металлическим цинком.

Большая часть добываемого цинка используется для оцинкования железа (предохранения от ржавления), а также для получения различных сплавов. Из последних наиболее известны латунь (60% Cu, 40% Zn), толпак (90% Cu, 10% Zn), пейзильбер (65% Cu, 20% Zn, 15% Ni). Из кадмия изготавливают регулирующие стержни атомных реакторов. Его применяют для получения легкоплавких сплавов, гальванических покрытий, электродов щелочных аккумуляторов, механически прочных медно-кадмийевых сплавов для электропроводов и т. д. Ртуть широко используется как катод при электрохимическом получении гидроксида натрия и хлора, как катализатор в органическом синтезе (например, в производстве уксусной кислоты), для изготовления выпрямителей, ламп дневного света, ртутных манометров.

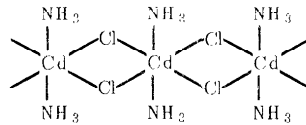
§ 2. СОЕДИНЕНИЯ ЭЛЕМЕНТОВ ПОДГРУППЫ ЦИНКА

Соединения Zn (II), Cd (II), Hg (II). Для цинка (II) наиболее характерно координационное число 4, а для кадмия (II) 6. Для ртути (II) примерно одинаково характерны координационные числа 2, 4, 6 (табл. 48).

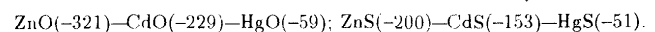
Таблица 48. Структурные единицы соединений элементов подгруппы цинка

Координационное число	Структурная единица	Примеры соединений
4	Тетраэдр	K ₂ [Zn(OH) ₄], [Zn(OH ₂) ₄]SO ₄ , [Zn(NH ₃) ₄]Cl ₂ , [Zn(NH ₃) ₂ Cl ₂], ZnO, ZnS, CdS, HgS, ZnCl ₂
6	Октаэдр	[Cd(NH ₃) ₆](NO ₃) ₂ , CdO, [Cd(NH ₃) ₂ Cl ₂], CdBr ₂ , CdCl ₂
2	Линейная	HgNH ₂ Cl, HgO, Hg(CN) ₂

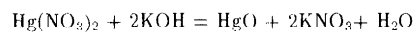
Координационное число 4 у Zn (II) проявляется, например, в кристаллах ZnO, ZnS, CdS, ZnSe, ZnTe, HgS, имеющих структуру типа ZnS (см. рис. 198). Координационное число 6 проявляется в кристаллах CdO (структурный тип NaCl). Кристаллы CdBr₂, CdI₂, Cd(OH)₂, Cd(OH)Cl, Zn(OH)Cl имеют слоистую структуру (см. рис. 236). Из октаэдрических структурных единиц построено и соединение CdCl₂·2NH₃:



В отличие от элементов подгруппы кальция в подгруппе цинка с увеличением атомного номера элемента устойчивость однотипных бинарных соединений уменьшается. Об этом, например, можно судить по характеру изменения значений ΔG_f° (кДж/моль):



Особо заметно устойчивость соединений падает при переходе от Cd к Hg. Например, Zn(OH)₂ и Cd(OH)₂ устойчивы, а гидроксид Hg (II) неизвестен, так как уже при получении разлагается на Hg и воду:

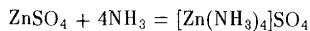


Для Hg (II) неизвестен и карбонат. Температуры распада ZnO и CdO соответственно 1950 и 1813°C, а HgO разлагается на простые вещества при 400 °C; малоустойчивы также Hg₃N₂ и HgC₂, распадающиеся со взрывом.

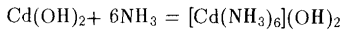
Из окрашенных соединений необходимо отметить коричневый CdO, красный HgI₂, желтый CdS; HgS может существовать в виде двух модификаций — черной и красной. Получаемый при обменных реакциях HgS черного цвета при возгонке превращается в красную модификацию. Красную окраску имеет и киноварь. В зависимости от дисперсности HgO может быть красного либо желтого цвета.

Из соединений цинка и его аналогов в воде растворяются галогениды (кроме ZnF₂, HgBr₂, HgI₂), сульфаты, нитраты и некоторые другие. Многие из них растворяются также в органических растворителях.

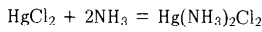
При растворении соединений Э (II) в воде, а также при взаимодействии ЭО или Э(OH)₂ с кислотами образуются устойчивые аквакомплексы типа [Э(OH)₄]²⁺ и [Э(OH)₆]²⁺. Поэтому для Zn (II), Cd (II) и Hg (II) характерны кристаллогидраты, например Zn(NO₃)₂·6H₂O, ZnSO₄·7H₂O, Zn(BrO₃)₂·6H₂O, Cd(NO₃)₂·4H₂O, Hg(NO₃)₂·2H₂O, Hg(ClO₄)₂·6H₂O. Из других катионных комплексов наиболее устойчивы амминокомpleксы типа [Э(NH₃)₄]²⁺ и [Э(NH₃)₆]²⁺, легко образующиеся действием аммиака на растворы солей:



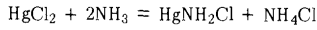
Образованием аммиакатов объясняется легкая растворимость Э(OH)₂ в присутствии аммиака:



Аммиакаты ртути (II), например [Hg(NH₃)₄](NO₃)₂, образуются только при большом избытке NH₃ и в присутствии солей аммония. Взаимодействие HgCl₂ с NH₃ в концентрированном растворе NH₄Cl приводит к выпадению осадка [Hg(NH₃)₂Cl₂]:



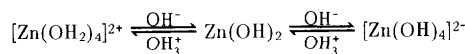
В разбавленных же растворах образуется нерастворимое в воде амидное производное HgNH₂Cl:



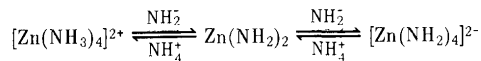
Цинк и его аналоги образуют различного рода цинккаты, кадматы и гидрагитраты. Так, Zn(OH)₂ легко растворяется в щелочах за счет образования растворимых гидроксоциникатов:



Амфотерный характер Zn(OH)₂ и его поведение в кислых и щелочных растворах можно отразить следующей схемой:



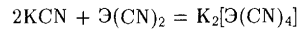
Аналогичным образом ведет себя в жидким аммиаке амид (дигидронитрид) цинка Zn(NH₂)₂. Подобно тому как Zn(OH)₂ не растворяется в воде, Zn(NH₂)₂ не растворяется в жидким аммиаке, но легко растворяется в присутствии аммонооксидов и аммооснований:



При избытке ионов NH₄⁺ образуются аммиакаты, при избытке ионов NH₂⁻ — дигидронитридоциникаты (амидоциникаты).

Гидроксид кадмия кислотные свойства проявляет в меньшей степени, чем Zn(OH)₂. Однако при длительном кипячении взвеси Cd(OH)₂ в концентрированных щелочах образуются гидроксоциклаты, например K₄[Cd(OH)₆], Ba₂[Cd(OH)₆]. В отсутствие избытка щелочи они легко разрушаются водой. Более или менее устойчивые гидроксогидраты не выделены.

Наиболее прочны комплексы с π-акцепторными лигандами CN⁻ типа [Э(CN)₄]²⁻, которые легко образуются при действии на растворы солей Э (II) основного цианида. Образующиеся вначале осадки Э(CN)₂ в избытке основного цианида растворяются:



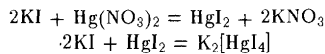
Вследствие усиления способности к π-дативному взаимодействию в ряду Zn²⁺—Cd²⁺—Hg²⁺ устойчивость комплексов с лигандами, способными быть акцепторами электронных пар, увеличивается, например:

	[ZnCl ₄] ²⁻	[CdCl ₄] ²⁻	[HgCl ₄] ²⁻
lg β _n	-1,52	1,7	15,2
	[ZnI ₄] ²⁻	[CdI ₄] ²⁻	[HgI ₄] ²⁻
lg β _n	-0,5	5,4	29,8

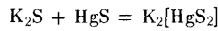
По этой же причине устойчивость галогенидокомплексов ртути (II) в ряду F⁻—Cl⁻—Br⁻—I⁻ возрастает, например:

	[HgCl ₄] ²⁻	[HgBr ₄] ²⁻	[HgI ₄] ²⁻
lg β	15,2	21,0	29,8

Таким образом, если комплексные галогениды Zn (II) по устойчивости относятся к двойным солям, то комплексы Hg (II) очень устойчивы и легко образуются в растворах. Так, нерастворимый в воде HgI_2 легко растворяется при избытке основного иодида:

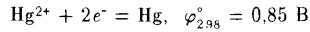
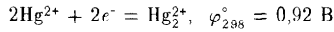


Таким же образом можно объяснить способность HgS растворяться в растворах основных сульфидов:

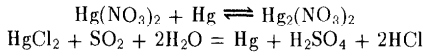


Известны многочисленные производные анионных комплексов типа $M_2^{+1}[\mathcal{E}(SCN)_4]$, $M_2^{+1}[\mathcal{E}(SO_3)_2]$, $M_2^{+1}[\mathcal{E}(NO_3)_4]$, по устойчивости относящиеся к двойным солям, а также их кристаллогидраты, например $M_2^{+1}[\mathcal{E}(SO_4)_2] \cdot 6H_2O$.

Производные ртути (II) проявляют окислительные свойства:



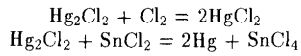
например:



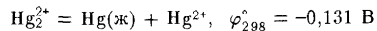
Соединения Hg (I). Для ртути (I) известны черный оксид Hg_2O , галогениды Hg_2Hal_2 , некоторые соли.

Большинство производных ртути (I) бесцветны и трудно растворимы в воде. Хорошо растворяется $Hg_2(NO_3)_2 \cdot 2H_2O$, являющийся основным исходным веществом для получения других производных Hg (I). Рентгеноструктурное исследование показывает наличие в кристалле $Hg_2(NO_3)_2 \cdot 2H_2O$ иона $[H_2O-Hg-Hg-OH_2]^{2+}$.

Соединения Hg_2^{2+} в зависимости от условий проявляют восстановительные и окислительные свойства. Например:



Соединения Hg_2^{2+} весьма склонны к диспропорционированию с выделением свободной ртути и образованием соответствующих соединений ртути (II):



В некоторых случаях распад протекает столь быстро, что производные Hg_2^{2+} получить не удается. Например, по обменным реакциям Hg_2S и $Hg_2(CN)_2$ не образуются, так как сразу же распадаются на свободную ртуть, нерастворимый HgS и малодиссоциирующий $Hg(CN)_2$. Более устойчивы Hg_2Cl_2 и Hg_2SO_4 , которые, однако, также распадаются при небольшом нагревании и интенсивном освещении.

Производные ртути (в том числе простое вещество) чрезвычайно ядовиты.

Применение соединений цинка и его аналогов весьма разнообразно. Так, их сульфиды используются в производстве минеральных красок, $HgCl_2$ (сулема), Hg_2Cl_2 (каломель) и другие препараты ртути, а также цинка — в медицине. Особым образом приготовленный кристаллический ZnS обладает способностью после предварительного освещения светиться в темноте. На этом основано его применение при работе с радиоактивными препаратами и в рентгенотехнике. Сульфид кадмия CdS применяется в качестве фотосопротивления, т. е. вещества, электросопротивление которого зависит от интенсивности падающего на него света. Концентрированный раствор $ZnCl_2$, растворяющий клетчатку, используется в производстве пергамента.

Раздел IV

ХИМИЯ *f*-ЭЛЕМЕНТОВ

ГЛАВА 1. *f*-ЭЛЕМЕНТЫ 6-ГО ПЕРИОДА ПЕРИОДИЧЕСКОЙ СИСТЕМЫ Д.И. МЕНДЕЛЕЕВА

f-Элементы (как и *d*-элементы) относятся к переходным элементам. Они расположены в 6-м (*4f*-элементы) и 7-м (*5f*-элементы) периодах периодической системы. *4f*-Элементы объединяют в семейство лантаноидов, а *5f*-элементы — семейство актиноидов. *f*-Элементы обычно помещают в III группу — в подгруппу скандия.

§ 1. СЕМЕЙСТВО ЛАНТАНОИДОВ

К лантаноидам относятся: церий Ce, празеодим Pr, неодим Nd, прометий Pm, самарий Sm, европий Eu, гадолиний Cd, тербий Tb, диспрозий Dy, голмий Ho, эрбий Er, тулий Tm, иттербий Yb и лютеций Lu.

Электронная конфигурация атомов лантаноидов может быть выражена общей формулой $4f^{1-4}5s^25p^65d^0-16s^2$ (табл. 49). У них достраивается третий снаружи слой (*4f*-подслой) при одинаковом числе электронов наружного ($6s^2$) и у большинства лантаноидов преднаружного ($5s^25p^6$) слоя. Согласно химическим и спектроскопическим данным при большой энергетической близости *4f*- и *5d*-состояний для лантаноидов *4f*-состояние оказывается все же энергетически более выгодным. Поэтому в их атомах (кроме Gd) *5d*-электрон переходит в *4f*-состояние.

По характеру заполнения *4f*-орбиталей элементы семейства лантаноидов разделяются на подсемейства. Первые семь элементов (Ce—Gd), у которых в соответствии с правилом Хунда *4f*-орбитали заполняются по одному электрону, объединяются в подсемейство церия; семь остальных элементов (Tb—Lu), у которых происходит заполнение *4f*-орбиталей по второму электрону, объединяются в подсемейство тербия:

							La $4f^05d^1$
Подсемейство церия	Ce $4f^0$	Pr $4f^1$	Nd $4f^1$	Pm $4f^1$	Sm $4f^1$	Eu $4f^1$	Gd $4f^15d^1$
Подсемейство тербия	Tb $4f^{+2}$	Dy $4f^{+3}$	Ho $4f^{+4}$	Er $4f^{+5}$	Tm $4f^{+6}$	Yb $4f^{+7}$	Lu $4f^{+4}5d^1$

Электрон сверх устойчивой конфигурации f^7 и f^{14} у Gd и Lu, как и у лантана, находится в *5d*-состоянии.

Таблица 49. Электронные конфигурации, атомные и ионные радиусы, энергия и ионизация атомов бария, лантана, лантаноидов и гафния

Атомный номер	Элемент	Символ	Электронные конфигурации	Радиус атома, нм	Радиус иона, Э^{3+} , нм (к.ч. 6)	Энергия ионизации $\text{Э}^0 \rightarrow \text{Э}^+$, эВ
56	Барий	Ba	$6s^2$	0,221	—	5,21
57	Лантан	La	$5d^1\ 6s^2$	0,187	0,117	5,58
58	Церий	Ce	$4f^0\ 5d^1\ 6s^2$	0,183	0,115	5,5
59	Празеодим	Pr	$4f^1\ 6s^2$	0,182	0,113	5,42
60	Неодим	Nd	$4f^1\ 6s^2$	0,182	0,111	5,49
61	Прометий	Pm	$4f^1\ 6s^2$	0,180	0,111	5,55
62	Самарий	Sm	$4f^0\ 6s^2$	0,181	0,110	5,63
63	Европий	Eu	$4f^1\ 6s^2$	0,202	0,109	5,66
64	Гадолиний	Gd	$4f^7\ 6s^2$	0,179	0,115	6,16
65	Тербий	Tb	$4f^0\ 6s^2$	0,177	0,106	5,85
66	Диспрозий	Dy	$4f^0\ 6s^2$	0,177	0,105	5,93
67	Гольмий	Ho	$4f^1\ 6s^2$	0,176	0,104	6,02
68	Эрбий	Er	$4f^2\ 6s^2$	0,175	0,103	6,10
69	Тулий	Tm	$4f^3\ 6s^2$	0,174	0,102	6,18
70	Иттербий	Yb	$4f^4\ 6s^2$	0,193	0,101	6,25
71	Лютений	Lu	$4f^4\ 5d^1\ 6s^2$	0,174	0,100	5,43
72	Гафний	Hf	$5d^2\ 6s^2$	0,159	—	7,5

При незначительном возбуждении один из $4f$ -электронов (реже два) переходит в $5d$ -состояние. Остальные же $4f$ -электроны, экранированные от внешнего воздействия $5s^25p^6$ -электронами, на химические свойства большинства лантаноидов существенного влияния не оказывают. Таким образом, свойства лантаноидов в основном определяют $5d^16s^2$ -электроны. Поэтому лантаноиды проявляют большое сходство с d -элементами III группы — скандием и его аналогами. Наибольшее сходство с лантаноидами проявляют иттрий и лантан, атомные и ионные радиусы которых близки к таковым у элементов семейства.

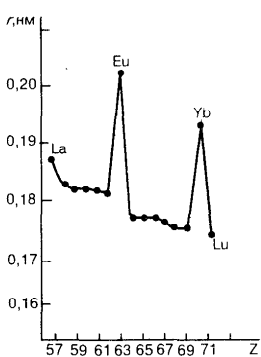
Поскольку отличие в структуре атомов элементов семейства проявляются лишь в третьем снаружи слое, мало влияющем на химические свойства элементов, лантаноиды очень сходны друг с другом. Благодаря особой близости свойств часто лантаноиды совместно с лантаном, иттрием, а также скандием объединяют в одно семейство — семейство редкоземельных элементов РЗЭ*.

При исключительной близости свойств лантаноидов, однако, все же отличаются; при этом некоторые их свойства в ряду Ce—Lu изменяются монотонно, другие — периодически (рис. 252). Монотонное изменение свойств объясняется лантаноидным сжатием — постепенным уменьшением в ряду Ce—Lu атомных и ионных радиусов.

Периодический характер заполнения $4f$ -орбиталей сначала по одному, а затем по два электрона предопределяет внутреннюю периодичность в изменениях свойств лантаноидов и их соединений.

Поскольку у лантаноидов валентными в основном являются $5d^16s^2$ -электроны, их устойчивая степень окисления равна +3. Однако элементы, примыкающие к лантану ($4f^0$), гадолинию ($4f^7$) и лютецию ($4f^{14}$), имеют переменные степени окисления. Так, для церия ($4f^{13}$) наряду со степенью окисления +3 характерна степень окисления +4. Это связано с переходом

* Редкоземельные элементы в свою очередь подразделяются на *церевые* (La, Ce, Pr, Nd, Pm, Sm, Eu) и *иттриевые* (Gd, Tb, Dy, Ho, Er, Tm, Yb, Lu, Y) элементы.



двух $4f$ -электронов в $5d$ -состояние. По той же причине степень окисления +4 может проявлять и празеодим ($4f^6s^2$) (хотя она и значительно менее характерна, чем для Ce). Европий, имеющий семь $4f$ -электронов ($4f^7$), напротив, проявляет степень окисления +2.

Аналогичное соотношение имеет место и для элементов подсемейства тербия. (Правда, оно выражено менее отчетливо). Тербий ($4f^6s^2$) и диспрозий ($4f^6s^2$) проявляют степень окисления +4, а иттербий ($4f^46s^2$) и тулий ($4f^36s^2$) — +2. Периодический характер изменения типичных степеней окисления виден из следующего сопоставления:

	La	Gd
	+3	
Ce	Pr	Nd
+3, +4	+3, +4 (+5?)	+3
Tb	Dy	Pm
+3, +4		+3, +2
		Sm
		+3, +2
		Eu
		+3, +2
		Gd
		+3

Различия в свойствах элементов семейства, связанные с лантаноидным сжатием и характером заполнения $4f$ -орбиталей, конечно, невелики. Однако на общем фоне поразительно большого сходства эти различия имеют важное значение, в частности, для отделения лантаноидов друг от друга.

По содержанию в земной коре лантаноиды не уступают таким элементам, как иод, сурьма, медь (см. табл. 26). Но они очень рассеяны в природе. Известно, например, более 200 минералов, содержащих лантаноиды. Лантаноиды с четными порядковыми номерами более распространены, чем с нечетными (см. рис. 1).

Элементы этого семейства встречаются в природе всегда вместе друг с другом, а также с лантаном и иттрием. Наиболее важными минералами для извлечения РЗЭ являются *моноцит ЭРО₄*, *бастнезит ЭFCO₃*, *лопарит* (Na, Ca, Э)₂(Ti, Nb, Ta)₂O₆ и др.

Прометий — радиоактивный элемент, в земной коре практически не встречается. Он был обнаружен в 1947 г. в продуктах деления ядер урана в атомных реакторах; его получают искусственным путем.

Простые вещества. В виде простых веществ лантаноиды (см. табл. 28) — тугоплавкие серебристо-белые металлы (Pr и Nd слегка желтоватого цвета). Некоторые константы их (и для сравнения лантана) приведены ниже:

	La	Ce	Pr	Nd	Pm	Sm	Eu	Gd
Пл., г/см ³	6,16	6,77	6,77	6,91	7,26	7,54	5,24	7,89
Т. пл., °C	920	804	932	1016	1170	1072	825	1312
Т. кип., °C	3447	3450	3512	3027	3000	1788	1559	3280

	Tb	Dy	Ho	Er	Tm	Yb	Lu
Пл., г/см ³	8,27	8,56	8,8	9,07	9,32	7,02	9,85
T. пл., °С	1357	1409	1470	1520	1545	824	1660
T. кип., °С	3227	2587	2707	2880	1947	1211	3410

Как видно из приведенных данных, от Ce к Lu в изменении плотности, температуры плавления и кипения проявляется внутренняя периодичность. Минимальные значения этих констант приходятся на Eu и Yb. Об этом же свидетельствует рис. 253, где показана зависимость энталпии атомизации (возгонки) лантаноидов от порядкового номера элемента. Низкие значения энталпии атомизации европия и иттербия, по-видимому, объясняются тем, что вследствие устойчивости несвязывающей конфигурации $4f^7$ и $4f^1$ в образовании связей у этих элементов принимают участие лишь два 6s-электрона.

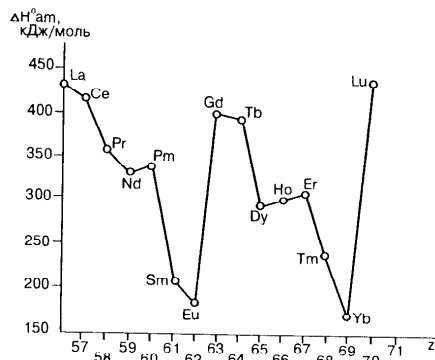


Рис. 253. Зависимость энталпии атомизации лантаноидов от их атомного номера

Лантаноиды ковки, обладают относительно невысокой твердостью, но электрической проводимости сходны с ртутью.

По химической активности лантаноиды, как и La, уступают лишь щелочным и щелочно-земельным металлам. Компактные металлы, правда, довольно устойчивы к сухому воздуху. Во влажном же воздухе они быстро тускнеют. При нагревании (до 200–400 °С) лантаноиды воспламеняются на воздухе и горят с образованием смеси оксидов и нитридов. Церий в порошкообразном состоянии даже пирофорен, т. е. самовоспламеняется на воздухе при обычных условиях. Пирофорность церия и ряда других лантаноидов используется для получения пирофорных сплавов — "кремней" зажигалок, трассирующих пуль и др.

Лантаноиды взаимодействуют с галогенами, а при нагревании — с азотом, серой, углеродом, кремнием, фосфором, водородом. С большинством металлов они дают сплавы. При этом часто образуются интерметаллические соединения.

Об активности лантаноидов свидетельствуют также значения их электродных потенциалов:

	Ce	Pr	Nd	Pm	Sm	Eu	Gd
$\varphi_{298}^\circ, \text{В}$	-2,48	-2,46	-2,43	-2,42	-2,41	-2,40	-2,40
	Tb	Dy	Ho	Er	Tm	Yb	Lu
$\varphi_{298}^\circ, \text{В}$	-2,39	-2,35	-2,32	-2,30	-2,38	-2,27	-2,25

Располагаясь в электрохимическом ряду напряжений далеко впереди водорода, лантаноиды окисляются водой, особенно горячей, при этом выделяя водород. Тем более активно они взаимодействуют с кислотами. В HF и H_3PO_4 лантаноиды устойчивы, так как покрываются защитными пленками нерастворимых солей. В щелочах не растворяются.

Вследствие большой близости свойств лантаноидов разделение их — одна из最难нейших задач химической технологии. Разделяют РЗЭ с помощью ионообменных смол и экстракцией соединений органическими растворителями.

Лантаноиды получают кальцийтермическим восстановлением их хлоридов и фторидов.

Редкоземельные металлы находят широкое применение. В металлургии они применяются как легирующие добавки для улучшения механических свойств сплавов. Лантаноиды и их соединения используют в качестве катализаторов в органических и неорганических синтезах, а также в качестве материалов в радио- и электротехнике, в атомной энергетике.

§ 2. СОЕДИНЕНИЯ ЛАНТАНОИДОВ

Соединения Э (III). Для лантаноидов в степени окисления +3 известны многочисленные бинарные соединения (\mathcal{E}_2O_3 , $\mathcal{E}Hal_3$, \mathcal{E}_2S_3 , $\mathcal{E}N$, $\mathcal{E}H_3$) и разнообразные соли. Энталпии и энергии Гиббса образования однотипных соединений лантаноидов близки; например, ΔG_f° их кристаллических трихлоридов имеют следующие значения (кДж/моль):

$CeCl_3$	$PrCl_3$	$NdCl_3$	$PmCl_3$	$SmCl_3$	$EuCl_3$	$GdCl_3$	$TbCl_3$
-983	-1020	-963	-882	-863	-803	-928	-803

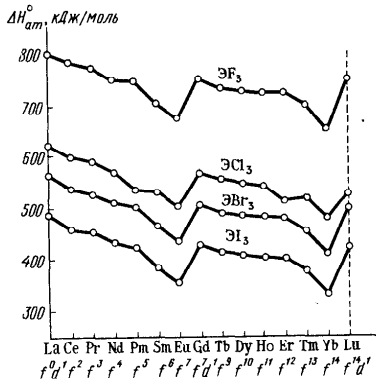


Рис. 254. Зависимость энталпии атомизации тригалогенидов лантаноидов от атомного номера лантаноидов

снижение энталпии атомизации. Особенно это сказывается в случае наиболее стабильных конфигураций f^7 и f^4 .

В отличие от d -элементов координационные числа f -элементов могут превышать 9 и достигать 10–14, что объясняют участием в образовании связей f -орбиталей. Некоторые примеры полиэдров, отвечающих структуре комплексов (структурных единиц) лантаноидов (III), приведены на рис. 255. Высокие координационные числа более характерны для атомов f -элементов начала семейства. Для завершающих семейства элементов наиболее типична октаэдрическая структура комплексов.

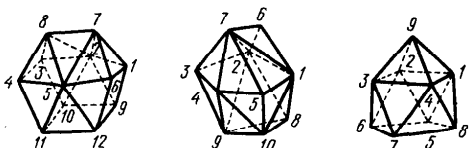


Рис. 255. Некоторые типы полиэдров, отвечающих характерным координационным числам лантаноидов (III)

На рис. 254 показана зависимость энталпии атомизации тригалогенидов лантаноидов от их атомного номера. Низкие значения энталпии атомизации тригалогенидов европия ($4f^76s^2$) и иттербия ($4f^146s^2$) указывают на увеличение стабильности электронной конфигурации $4f^4$ (полное заполнение $4f$ -уровня) и $4f^7$ (наибольшее число непарных $4f$ -электронов). Это находит квантово-механическое объяснение. Достаточно высокую энергию связей обеспечивают $6s$ - и $5d$ -электроны. Привлечение же для образования связей глубже расположенных $4f$ -электронов вызывает снижение энталпии атомизации. Особенно это сказывается в случае наиболее стабильных конфигураций f^7 и f^4 .

Окраска ионов Э^{3+} закономерно изменяется в соответствии с большей или меньшей стабилизацией $4f$ -состояния. Так, ионы с электронной конфигурацией $4f^0$, $4f^7$ и $4f^4$, а также $4f^1$ и $4f^3$ бесцветны, остальные имеют более или менее интенсивную окраску:

La^{3+}	$(4f^0)$	бесцветный	Lu^{3+}	$(4f^4)$
Ce^{3+}	$(4f^1)$	»	Yb^{3+}	$(4f^3)$
Pr^{3+}	$(4f^2)$	зеленый	Tm^{3+}	$(4f^2)$
Nd^{3+}	$(4f^3)$	красноватый	Er^{3+}	$(4f^1)$
Pm^{3+}	$(4f^4)$	розовый, желтый	Ho^{3+}	$(4f^0)$
Sm^{3+}	$(4f^5)$	желтый	Dy^{3+}	$(4f^0)$
Eu^{3+}	$(4f^6)$	бледно-розовый	Tb^{3+}	$(4f^0)$
Gd^{3+}	$(4f^7)$	бесцветный	Cf^{3+}	$(4f^0)$

Оксиды лантаноидов $\text{Э}_2\text{O}_3$ характеризуются высокими энталпиями и энергиями Гиббса образования ($\Delta G_{f,298}^{\circ} \approx -1600$ кДж/моль) и тугоплавкостью (т. пл. порядка 2000°C). Оксиды — основные соединения. В воде они практически не растворяются, но взаимодействуют с ней, образуя гидроксиды и выделяя теплоту. Оксиды $\text{Э}_2\text{O}_3$ хорошо растворяются в HCl и HNO_3 , но, будучи прокалены, как и Al_2O_3 , теряют химическую активность.

С растворами щелочей оксиды лантаноидов (III) не взаимодействуют. Но для лантаноидов (III) получены кристаллические соединения состава $\text{Li}_2\text{O}_2\text{Э}_2\text{O}_3$, $\text{Na}_2\text{O}_2\text{Э}_2\text{O}_3$, что свидетельствует об амфотерности $\text{Э}_2\text{O}_3$.

Гидроксиды лантаноидов Э(OH)_3 получают по обменным реакциям. Соответственно уменьшению радиусов в ряду Ce (III)– Lu (III) несколько ослабляется основный характер гидроксидов и усиливаются признаки амфотерности. В этом же ряду падает их термическая устойчивость и растворимость уменьшается. Так, произведение растворимости $\text{La}(\text{OH})_3$ равно $1,0 \cdot 10^{-19}$ и далее уменьшается, достигая у $\text{Lu}(\text{OH})_3$ $2,5 \cdot 10^{-24}$.

Из солей лантаноидов (III) в воде растворимы хлориды ЭCl_3 , нитраты $\text{Э(NO}_3)_3$, сульфаты $\text{Э}_2(\text{SO}_4)_3$, мало растворимы фториды ЭF_3 , карбонаты $\text{Э}_2(\text{CO}_3)_3$, фосфаты ЭPO_4 .

Кристаллогидраты лантаноидов (III) имеют переменное число молекул воды, например $\text{Э}(\text{NO}_3)_3 \cdot 6\text{H}_2\text{O}$, $\text{ЭBr}_3 \cdot 6\text{H}_2\text{O}$, $\text{Э}_2(\text{SO}_4)_3 \cdot 8\text{H}_2\text{O}$, $\text{Nd}(\text{BrO}_3)_3 \cdot 9\text{H}_2\text{O}$. Окраска аквакомплекса закисит от электронной конфигурации иона Э^{3+} .

Для лантаноидов (III) довольно типичны двойные соли, например $3\text{Mg}(\text{NO}_3)_2 \cdot 2\text{Э}(\text{NO}_3)_3 \cdot 24\text{H}_2\text{O}$, $\text{M}_2\text{Э}(\text{NO}_3)_5 \cdot 4\text{H}_2\text{O}$, $3\text{Na}_2\text{SO}_4 \cdot \text{Э}_2(\text{SO}_4)_3 \cdot 12\text{H}_2\text{O}$. Ион $[\text{Ce}(\text{NO}_3)_6]^{3-}$ — имеет форму двенадцативершинника (по атомам O), ион

$[\text{Ce}(\text{NO}_3)_5]^{2-}$ — форму десятивершинника, а ион $[\text{Nd}(\text{OH}_2)_9]^{3+}$ — девятивершинника. Весьма разнообразны комплексы лантаноидов с лигандами хелатного типа.

Для лантаноидов (III) известны различные комплексы с органическими лигандами, которые играют большую роль при разделении РЗЭ.

Гидриды лантаноидов образуются при взаимодействии простых веществ, которое протекает при нагревании ($300\text{--}400^\circ\text{C}$) достаточно активно. Все лантаноиды образуют гидриды состава EH_2 , а также, за исключением европия и иттербия, соединения, приближающиеся к составу EH_3 . Особенности поведения Eu и Yb , по-видимому, связаны с устойчивостью $4f^7$ - и $4f^4$ -конфигураций.

Гидриды EH_2 построены по типу флюорита (см. рис. 69, Б) и имеют солеобразный характер. Они в большей мере напоминают ионные гидриды щелочно-земельных металлов, а с гидридами d -элементов имеют мало общего. Водородные соединения лантаноидов — химически весьма активные вещества, очень энергично взаимодействуют с водой, кислородом, галогенами и другими окислителями. Особо реакционноспособны соединения типа EH_3 .

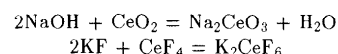
Благодаря высокой температуре плавления оксиды, сульфиды, нитриды и карбиды лантаноидов используются для изготовления огнеупорной керамики. Разнообразно применение соединений лантаноидов в производстве специальных стекол.

Соединения Э (IV). Степень окисления +4 характерна для церия, но может проявляться и у других лантаноидов. У церия (IV) выделены оксид CeO_2 (светло-желтый), фторид CeF_4 (белый), гидроксид $\text{CeO}\cdot n\text{H}_2\text{O}$ (желтый), немногочисленные соли — $\text{Ce}(\text{ClO}_4)_4$, $\text{Ce}(\text{SO}_4)_2$. Диоксид CeO_2 образуется при непосредственном взаимодействии простых веществ или при термическом разложении некоторых солей церия (III). Он тугоплавок (т. пл. 2500°C). Прокаленный CeO_2 химически довольно инертен, не взаимодействует с кислотами и щелочами.

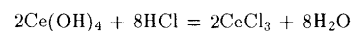
Гидроксид $\text{Ce}(\text{OH})_4$ получается по обменной реакции в водном растворе в виде студенистого осадка переменного состава $\text{CeO}_2\cdot n\text{H}_2\text{O}$. В отличие от $\text{Ce}(\text{OH})_3$ он проявляет амфотерные признаки.

При растворении $\text{CeO}_2\cdot n\text{H}_2\text{O}$ в кислотах образуются растворы оранжевого цвета, обусловливаемого окраской аквакомплексов $[\text{Ce}(\text{OH}_2)_n]^{4+}$. За немногим исключением соли церия (IV) неустойчивы в воде сильно гидролизуются. Более устойчивы двойные соли церия (IV). Так, из азотокислого раствора кристаллизуется соль $(\text{NH}_4)_2[\text{Ce}(\text{NO}_3)_6]\cdot 2\text{H}_2\text{O}$ (оранжево-красного цвета). Ион $[\text{Ce}(\text{NO}_3)_6]^{2-}$ имеет форму икосаэдра (Ce^{4+} окружен 12 атомами O), т. е. NO_3^- ион выступает в качестве дидентантного лиганда.

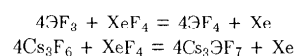
При сплавлении $\text{CeO}_2\cdot n\text{H}_2\text{O}$ со щелочью, а CeF_4 с KF образуются соответственно оксо- и фтороцераты (IV):



В кислых растворах соединения церия (IV) выступают как довольно сильные окислители ($\varphi_{\text{Ce}^{4+}/\text{Ce}^{3+}}^\circ = 1,61$ В), например, окисляют концентрированную соляную кислоту:



Соединения других лантаноидов (IV) малостойки, являются сильными окислителями. Они образуются при действии на соединения Э (III) фторидами благородных газов:



Соединения Э (II). Степень окисления +2 наиболее отчетливо проявляется у европия ($\varphi_{\text{Eu}^{3+}/\text{Eu}^{2+}}^\circ = -0,33$ В). Производные Eu (II), Sm (II), Yb (II) напоминают соединения элементов подгруппы кальция. Оксиды ЭО и гидроксиды $\text{E}(\text{OH})_2$ — основные соединения. Сульфаты ESO_4 , как и BaSO_4 , в воде нерастворимы.

Европий часто встречается в составе минералов элементов подгруппы кальция. Минералы же, содержащие РЗЭ в состоянии окисления +3, европием обычно бедны. Этот факт также свидетельствует о достаточной устойчивости у европия степени окисления +2.

Производные других лантаноидов (II) являются сильными восстановителями ($\varphi_{\text{M}^{3+}/\text{M}^{2+}}^\circ$ составляет $-2,9\text{--}-1,15$ В).

ГЛАВА 2. ЭЛЕМЕНТЫ 7-ГО ПЕРИОДА ПЕРИОДИЧЕСКОЙ СИСТЕМЫ Д.И. МЕНДЕЛЕЕВА

Гипотеза о существовании семейства актиноидов была высказана Г. Сиборгом в 1940-х годах.

В семейство актиноидов входят торий Th, протактиний Ra, уран U, нептуний Np, плутоний Pu, америций Am, кюрий Cm, берклий Bk, калифорний Cf, эйнштейний Es, фермий Fm, менделевий Md, нобелий

По и лоуренсий Lr. В табл. 50 приведены основные характеристики атомов и ионов актиноидов и для сравнения даны сведения о радиоактивности и курчатовии.

Таблица 50. Электронные конфигурации, атомные и ионные радиусы, энергии ионизации атомов радия, актиния, актиноидов и курчатовия

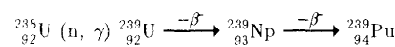
Атомный номер	Элемент	Символ	Электронная конфигурация	Радиус атома, нм	Радиус иона, Э^{3+} , нм	Энергия ионизации $\text{Э} \rightarrow \text{Э}^+$, эВ
88	Радий	Ra	$7s^2$	0,235	—	5,28
89	Актиний	Ac	$6d^1 7s^2$	0,188	0,107	5,1
90	Торий	Th	$6d^2 7s^2$	0,180	0,105	6,1
91	Протактиний	Pa	$5f^2 6d^1 7s^2$	0,163	0,103	5,9
92	Уран	U	$5f^2 6d^2 7s^2$	0,156	0,100	6,2
93	Нептуний	Np	$5f^3 6d^2 7s^2$	0,156	0,099	6,2
94	Плутоний	Pu	$5f^6 7s^2$	0,160	0,097	6,06
95	Америций	Am	$5f^7 7s^2$	0,174	0,096	5,99
96	Кюрий	Cm	$5f^7 6d^1 7s^2$	0,175	0,095	6,09
97	Берклий	Bk	$5f^8 6d^1 7s^2$	—	0,093	6,30
98	Калифорний	Cf	$5f^{10} 7s^2$	0,169	0,096	6,4
99	Эйнштейний	Es	$5f^{11} 7s^2$	—	0,095	6,5
100	Фермий	Fm	$5f^{12} 7s^2$	—	0,094	6,6
101	Менделевий	Md	$5f^{13} 7s^2$	—	0,093	6,7
102	Нобелий	No	$5f^{14} 7s^2$	—	0,093	6,8
103	Лоуренсий	Lr	$5f^{14} 6d^1 7s^2$	—	0,092	
104	Резерфордий	Rf	$6d^2 7s^2$	—	—	

Уран U, торий Th и протактиний Ra содержатся в земной коре. Остальные актиноиды в природе не встречаются (за исключением ничтожных количеств нептуния и плутония). Они были получены в 1940—1961 гг. искусственным путем с помощью ядерных реакций.

Для синтеза трансурановых элементов используются реакции:

которых участвуют нейтроны, дейтроны, α -частицы с энергией порядка 30—40 МэВ и многозарядные ионы (${}^{10}\text{B}^{3+}$, ${}^{12}\text{C}^{4+}$, ${}^{14}\text{N}^{5+}$, ${}^{16}\text{O}^{6+}$, ${}^{22}\text{Ne}^{10+}$) с энергией до 130 МэВ.

При длительном облучении в ядерном реакторе урана-238 ($Z = 92$) потоком нейтронов можно получить изотопы всех трансурановых элементов, вплоть до фермия Fm ($Z = 100$). В начале образуется изотоп урана-239, который за счет β -распада превращается в изотоп нептуния-239 ($Z = 93$). Последний таким же образом переходит в изотоп плутония-239 ($Z = 94$):



Изотопы ${}^{232}\text{Th}$, ${}^{238}\text{U}$ и ${}^{235}\text{U}$ являются родоначальниками природных радиоактивных рядов элементов, получивших название соответственно *ряда тория*, *ряда урана* и *ряда актиния*. α - и β -Превращения в этих рядах заканчиваются образованием трех устойчивых изотопов свинца: ${}^{208}\text{Pb}$, ${}^{207}\text{Pb}$ и ${}^{206}\text{Pb}$ (с магическим числом протонов 82). Поскольку в этих рядах происходит только α - и β -превращение, то массовые числа каждого ряда или меняются сразу на 4 единицы, или вообще не меняются. Поэтому в ряду тория встречаются ядра с массовыми числами $A = 4n$, в ряду урана — с $A = 4n + 2$, в ряду актиния — с $A = 4n + 3$ (где n — целые числа от 51 до 59). Ряд распада с массовыми числами ядер $A = 4n + 1$ на Земле не обнаружен, все его члены распались.

Родоначальник радиоактивного ряда $A = 4n + 1$ — изотоп нептуния-237.

Для актиноидов характерен распад ядер за счет спонтанного деления. При этом чем тяжелее ядро, тем более выражено спонтанное деление ядер. Если период полураспада при спонтанном делении урана составляет примерно 10^{16} лет, то для плутония он равен 10^{10} годам, для кюрия — 10^6 годам, для калифорния — порядка 1 года, для фермия — нескольким часам. Для наиболее устойчивого изотопа нобелия ${}^{256}\text{No}$ — 1500 с.

В соответствии с этим из актиноидов лучше других изучены первые семь элементов семейства. Сведения об остальных элементах получены в основном при изучении поведения их ионов в растворах и по некоторым косвенным данным. Химическое изучение актиноидов существенно затрудняется радиоактивным распадом и радиоактивными излучениями, вызывающими химические изменения в изучаемых системах.

По мере увеличения атомного номера элемента энергия связи $5f$ -электронов с ядром атома увеличивается и становится выгодным переход $6d$ -электронов в $5f$ -состояние.

По мере заполнения $5f$ -орбиталей электронные конфигурации атома

стабилизируются и переход $6d$ -электронов в $5f$ -состояние становится все более затрудненным.

В ряду актиноидов наблюдается сначала повышение, а затем понижение высшей степени окисления:

Th	Pa	U	Np	Pu	Am	Cm
+4	+5	+6	+7	+7	+7	+6
Bk	Cf	Es	Fm	Md	No	Lr
+4	+4	+3	+3	+3	+3	+3

Устойчивость степени окисления +2 возрастает в ряду Cf—No.

Координационные числа актиноидов весьма разнообразны — от 4 до 12.

По аналогии с лантаноидами первые семь элементов семейства актиноидов можно объединить в подсемейство тория (Th—Cm), а остальные семь элементов — в подсемейство берклия (Bk—Lr).

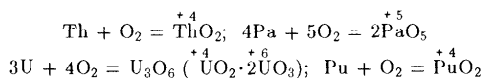
§ 1. СЕМЕЙСТВО АКТИНОИДОВ

Торий и уран относятся к рассеянным элементам, а протактиний к редким (см. табл. 26). Богатые торием или ураном минералы встречаются редко. К ним относятся *торит* ThSiO_4 и *уранинит* UO_{2-3} . Протактиний сопутствует урану.

Простые вещества. В виде простых веществ торий, протактиний, уран, нептуний, плутоний, америций, кюрий — серебристо-белые металлы с высокой плотностью и относительно высокими температурами плавления и кипения:

Th	Pa	U	Np	Pu	Am	Cm
Пл., г/см ³	11,7	15,4	19,0	20,4	19,9	13,7
Т. пл., °С	1750	1572	1134	639	640	1173
Т. кип., °С	4200	4487	4200	4082	3352	2607

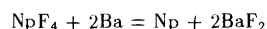
Актиноиды химически активны. На воздухе большинство из них постепенно окисляется кислородом и азотом. При горении металлов в кислороде образуются соединения, соответствующие наиболее устойчивым степеням окисления актиноидов. Например:



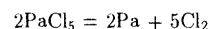
При нагревании актиноиды взаимодействуют и с большинством других неметаллов. Получающиеся соединения характеризуются высо-

кими теплотами образования. Торий, уран и другие актиноиды способны поглощать большие количества водорода, образуя гидриды переменного состава — между EH_2 и EH_4 . С металлами актиноиды образуют сплавы, в составе которых обнаруживаются интерметаллиды. В электрохимическом ряду напряжений актиноиды находятся далеко впереди водорода, поэтому окисляются водой и тем более кислотами.

Поскольку актиноиды химически высоко активны, их получают электролизом расплавленных соединений, металлотермически, а также термическим разложением соединений при высоком вакууме и высокой температуре. Так, U и Th выделяют электролизом их расплавленных комплексных фторидов; Th, Np, Pu, Am, Cm — восстановлением фторидов парами бария, кальция, натрия:



а Pa — термическим разложением соединений:



Берклий Bk, калифорний Cf, эйнштейний Es, фермий Fm, менделеевий Md, нобелий No и лоуренций Lr синтезированы пока в столь малых дозах, что в металлическом состоянии в достаточных количествах не выделены. Свойства этих металлов мало изучены; по-видимому, по физическим и химическим свойствам они должны быть сходны с лантаноидами.

Использование актиноидов и их соединений связано в основном с проблемой использования внутриатомной энергии. Торий используют как легирующую добавку сплавов.

§ 2. СОЕДИНЕНИЯ АКТИНОИДОВ

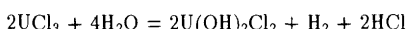
Соединения Э (III). Степень окисления +3 проявляют все актиноиды. Однако для первых элементов семейства (Th—Pu) степень окисления +3 не характерна (особенно для Th и Pa); их немногочисленные соединения устойчивы лишь в твердом состоянии.

Свойства соединений актиноидов (III) (если не учитывать различий в окислительно-восстановительной активности) сходы и с соответствующими соединениями лантаноидов (III).

Гидроксиды актиноидов E(OH)_3 , подобно гидроксидам лантаноидов (III), мало растворимы в воде и проявляют отчетливо выраженные основные свойства. В частности, они легко взаимодействуют с кислотами.

Из соединений в воде растворимы Э(НО₃)₃, ЭCl₃, ЭBr₃, ЭI₃, Э₂(SO₄)₃, трудно растворимы ЭF₃, ЭРО₄ и др.

Соединения Th (III), Ra (III), U (III) и Np (III) — сильные восстановители. Например, они разлагают воду:



Восстановительная активность производных Ru (III) проявляется менее энергично. Однако в растворах они довольно легко окисляются кислородом воздуха.

Соединения Э (IV). Степень окисления +4 наиболее типична для тория и плутония, а также проявляется у протактиния, урана, нептуния, америция и кюрия.

В химическом отношении актиноиды (IV) сходны друг с другом и с церием (IV), а также с d-элементами IV группы (подгруппа титана).

Для актиноидов (IV) известны изоморфные кристаллические оксиды ThO₂ — белого, PaO₂ — коричнево-черного, UO₂ — коричневого, NpO₂ — желтого, AmO₂ — черного цветов. Некоторые из них тугоплавки (температура плавления ThO₂, например, 3050 °C, UO₂ 2176 °C). ЭО₂ в воде практически не растворяются и с ней химически не взаимодействуют; практически не растворяются и в разбавленных кислотах. Сощелочами не взаимодействуют даже при сплавлении.

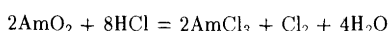
Гидроксиды Э(OH)₄ проявляют довольно слабо выраженные основные свойства. Получают Э(OH)₄ по обменным реакциям.

У актиноидов (IV) хорошо растворимы в воде нитраты, умеренно — сульфаты, плохо — фосфаты, карбонаты, иодаты и др. Растворимые соединения сильно гидролизуются.

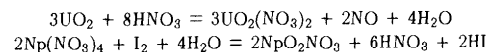
Из тетрагалогенидов ЭHal₄⁻ тетрафториды известны для всех актиноидов подсемейства тория. Они довольно тугоплавки, труднорастворимы в воде. Тетрахлориды получены для Th, Pa, U, Np; тетрабромиды и тетраиодиды известны для Th, U и Np.

Соединения актиноидов (IV) имеют сложную структуру. Их координационные числа большие (6–12).

Производные Am (IV) и Cm (IV) — окислители. Они, например, окисляют концентрированную соляную кислоту:

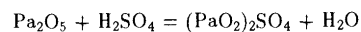


Для восстановления же соединений U (IV) и Np (IV) требуются сильные восстановители, например водород в момент выделения. Наоборот, перевести U (IV) и Np (IV) в более высокую степень окисления легко даже такими окислителями, как I₂, Fe³⁺, HNO₃:

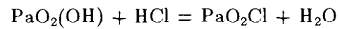


Соединения Э (V). Состояние окисления +5 наиболее устойчиво для протактиния и нептуния, реже проявляется у плутония. Актиноиды (V) ведут себя, как d-элементы, и обнаруживают сходство с элементами подгруппы ванадия. В отличие от последних однотипные соединения актиноидов (V) в большей степени проявляют основные свойства.

Так, Pa₂O₅ кислотных признаков практически не проявляет даже при сплавлении с содой. Напротив, Pa₂O₅ заметно растворяется в горячей серной кислоте:



То же самое можно сказать и о гидроксидах протактиния (V) среднего состава HPaO₃. Этот гидроксид в воде не растворяется, по химической природе является слабым основанием типа PaO₂(OH) с некоторыми кислотными признаками. Так, он относительно легко взаимодействует с кислотами, образуя производные радикала PaO₂⁺, называемого *протактинилом*:



Кислотные же признаки HPaO₃ выражены в столь малой степени, что даже при сплавлении со щелочами устойчивых протактинатов (V) получить не удается.

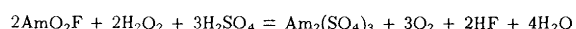
Аналогично ведут себя оксиды и гидроксиды урана (V), нептуния (V) и плутония (V). Для указанных элементов наиболее устойчивы в водных растворах производные сложных катионов типа ЭO₂⁺, например UO₂Cl, NpO₂F, PuO₂Cl.

Из других производных актиноидов (V) выделены в свободном состоянии фториды PaF₅, UF₅, NpF₅; хлориды PaCl₅, UCl₅; бромид PaBr₅, и некоторые другие. Все эти соединения летучи, в водных растворах гидролизуются почти нацело:



Из производных актиноидов (V) можно назвать комплексные фториды типа M⁺¹[ЭF₆], по устойчивости напоминающие двойные соли.

Соединения Am (V) и Pu (V) малочисленны и проявляют окислительные свойства:

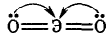


Соединения Э (VI). Степень окисления +6 наиболее характерна для урана и может проявляться у нептуния, плутония и реже у америция и кюрия. В этой степени окисления актиноиды напоминают *d*-элементы VI группы (подгруппы хрома).

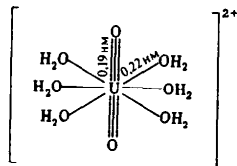
Во многих соединениях урана и других актиноидов, находящихся в высокой степени окисления Э (V) и Э (VI), имеются атомные группировки EO_2^+ и EO_2^{2+} , сохраняющиеся без изменения при разнообразных химических реакциях. Эти группировки называют *актинильными*:

UO_2^{2+} — *уранил*, NpO_2^{2+} — *нептунил*, PaO_2^{2+} — *протактинил* и др.

Особая устойчивость таких группировок объясняется тем, что между атомами актиноида и кислорода осуществляется тройная связь. Две из связей образуются за счет двух непарных электронов атома актиноида и двух непарных электронов атома кислорода, третья связь образуется за счет неподеленной электронной пары атома кислорода и свободной орбитали атома актиноида:

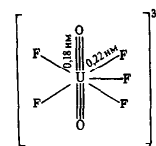


Актинильная группировка атомов входит в состав как катионных, так и анионных комплексов, имеющих форму бипирамиды (гекса-, пента- и тетрагональной). На вертикальной оси бипирамиды расположена группировка EO_2 с короткими расстояниями d_{EO} , а расстояние между атомами актиноида и другими атомами в экваториальной плоскости более длинные. Поэтому такие комплексы можно считать содержащими группировку EO_2 с прочными связями EO , к которой присоединены за счет более слабого взаимодействия другие атомы или их группировки. Так, например, $\text{UO}_2(\text{NO}_3)_2 \cdot 6\text{H}_2\text{O}$ (желтые кристаллы) имеет островную структуру, состоит из ионов $\text{UO}_2(\text{OH}_2)_6^{2+}$ и NO_3^- . Комплекс $[\text{UO}_2(\text{OH}_2)_6]^{2+}$ имеет структуру гексагональной бипирамиды с атомами урана в центре:

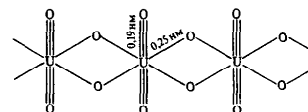


Структура $\text{K}_3[\text{UO}_2\text{F}_9]$ — островного типа, состоит из ионов K^+ и $\text{UO}_2\text{F}_9^{3-}$. Последний представляет собой пентагональную бипирамиду с атомом урана в

центре. Атомы кислорода расположены на вертикальной (пятерной) оси бипирамиды:

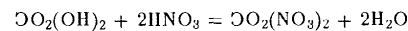


Кристаллы MgUO_4 состоят из сплюснутых октаэдров UO_6 , объединенных за счет общих ребер в цепи состава $[(\text{UO}_2\text{O})_2]^{2-}$:

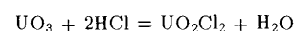


между которыми находятся ионы Mg^{2+} .

У гидроксидов состава H_2EO_4 основные свойства преобладают над кислотными, и по химическому поведению их можно рассматривать как основания типа $\text{EO}_2(\text{OH})_2$. Эти гидроксиды довольно легко взаимодействуют с кислотами, образуя производные актинильных катионов EO_2^{2+} , например:



Такого же типа производные образуются при взаимодействии UO_3 с кислотами:

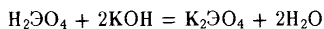


Большинство производных EO_2^{2+} хорошо кристаллизуются и легко растворяются в воде, являются солями и солеподобными соединениями. Гидролиз производных EO_2^{2+} обратим:



Нитрат уранила $\text{UO}_2(\text{NO}_3)_2$ — наиболее распространенный в химической практике препарат урана.

Кислотные признаки $H_2\text{ЭO}_4$ проявляют лишь при сплавлении со щелочами:

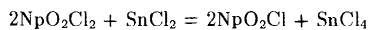


Получаемые при этом уранаты (VI), нептунаты (VI), плутонаты (VI) малостойки и водой разрушаются.

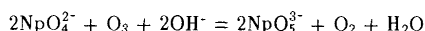
В ряду U—Np—Pu—Am устойчивость производных Э (VI) понижается.

Так, для урана получен устойчивый оксид UO_3 (оранжевого цвета), для нептуния — лишь смешанный оксид Np_3O_8 — нептунат (VI) нептуния (IV) $\text{Np}(\text{NpO}_4)_2$, а оксид плутония (VI) не получен вообще. Таким же образом падает устойчивость и фторидов. UF_6 и NpF_6 — более или менее устойчивые летучие вещества, а PuF_6 неустойчив. Из других галогенидов относительно стоеек лишь UCl_6 , а хлориды Np (VI) и Pu (VI) не получены. Бромиды и иодиды не получены даже для U (VI).

Производные Np (VI), особенно Pu (VI) и Am (VI), — окислители:



Соединения Э (VII). При действии активных окислителей (O_3 , ClO^- , BrO^-) на сильнощелочные растворы оксонептунатов (VI) и оксо-плутонатов (VI) образуются соединения нептуния (VII) и плутония (VII), например:



Из этих растворов можно выделить оксонептунаты (VII) и оксолуптонаты (VII) типа $\text{Ba}_3(\text{NpO}_5)_2 \cdot n\text{H}_2O$ и $\text{Ba}_3(\text{PuO}_5)_2 \cdot n\text{H}_2O$, $[\text{Co}(\text{NH}_3)_6]\text{NpO}_5 \cdot 3\text{H}_2O$ и др.

Производные NpO_5^{3-} имеют темно-зеленую, а PuO_5^{3-} — коричнево-черную окраску. Получен также гидроксид состава $\text{NpO}_2(\text{OH})_3$ — буровато-черный осадок. Обладает амфотерными свойствами. Легко растворяется в щелочах, давая зеленые растворы (анион NpO_5^{3-}), и в кислотах, образуя желто-коричневые растворы, в которых обнаруживаются ионы NpO_2^{3+} . Однако в кислых растворах соединения Np (VII) быстро переходят в соединения Np (VI). Получены соединения Am (VII). Степень окисления +7 у актиноидов впервые обнаружили Н.Н. Крот, А.Д. Гельман и др.

Производные нептуния (VII) и в особенности плутония (VII) и америция (VII) проявляют сильные окислительные свойства.

Раздел V

Неорганическая химия и экология

Вся жизнь Земли, подобно жизни организмов есть ... длинная цепь превращения, смена ... систем равновесия ... новыми.

A.E. Ферслан

Лик планеты — биосфера — химически резко меняется человеком, сознательно, и, главным образом, бессознательно. Меняется человеком физически и химически воздушная оболочка суши, все ее природные воды.

В результате роста человеческой культуры в XX в. все более резко стали меняться (химически и биологически) прибрежные моря и части океана.

Человек должен теперь принимать все большие и большие меры, чтобы сохранить для будущих поколений никому не принадлежащие морские богатства.

V.I. Вернадский

В связи с техническим прогрессом масштабы возможного воздействия человека на природу стали соизмеримыми с масштабами глобальных природных процессов. Деятельность человека начала оказывать отрицательное воздействие на ход природных процессов. Неконтролируемая деятельность человека приводит к негативным изменениям в окружающей среде: земной атмосфере, гидросфере, недрах и плодородном слое Земли, к гибели животных и растений. Возникла необходимость защиты человеком самого себя и среди своего обитания от собственного воздействия на нее. В охране окружающей среды особенно велика роль химии и химической технологии.

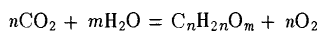
ГЛАВА 1. ПРОБЛЕМЫ ЗАЩИТЫ ОКРУЖАЮЩЕЙ СРЕДЫ

§ 1. ОХРАНА АТМОСФЕРЫ

Источником загрязнения атмосферы прежде всего являются предприятия черной и цветной металлургии, тепловые электростанции, автомобильный транспорт. Выбросы в атмосферу содержат оксиды

углерода, азота и серы, углеводороды, соединения металлов, а также пыль.

Круговорот углерода в природе включает постоянный переход его органических соединений в неорганические и наоборот. Образование органических веществ из оксида углерода (IV) и воды — фотосинтез — осуществляется в зеленых растениях под воздействием солнечного света. В результате фотосинтеза в атмосферу выделяется кислород:



Ежегодно за счет фотосинтеза образуется около 80 млрд. т органических веществ, выделяется $1 \cdot 10^{11}$ т кислорода и аккумулируется $1,7 \cdot 10^{21}$ кДж солнечной энергии. Это в 10 с лишним раз превосходит годовое потребление энергии во всем мире.

С другой стороны, процессы дыхания животных и растений, а также разложение их останков происходит с участием кислорода. Образующийся при этом оксид углерода (IV) (углекислый газ) вновь возвращается в атмосферу. Так происходит непрерывный круговорот углерода за счет жизнедеятельности растений и животных.

На круговорот углерода в природе существенное влияние оказывает постоянный рост использования топлива. При его сжигании в атмосферу выбрасывается огромное количество углекислого газа и пыли.

Ученые считают, что все возрастающее выделение CO_2 в атмосферу может привести к изменению климата на Земле. Углекислый газ атмосферы свободно пропускает на Землю излучение Солнца, но сильно задерживает излучение Земли. Это создает так называемый парниковый эффект — слой углекислого газа играет такую же роль, как стекло в теплице. Поэтому увеличение содержания CO_2 в атмосфере может стать причиной потепления на Земле, привести к таянию полярных льдов и вызвать катастрофическое повышение уровня Мирового океана на 4–8 м.

Противоположный эффект вызывает накопление в атмосфере пыли. Запыленность атмосферы задерживает излучение Солнца и тем самым может привести к понижению температуры на Земли. Как полагают, активная деятельность вулканов и связанная с ней запыленность атмосферы Земли в свое время послужили причиной существования ледникового периода на Земле.

Ежегодно в атмосферу выделяется около 150 млн. т оксида серы (IV). Наибольшее количество этого газа выбрасывают тепловые элект-

ростанции и предприятия цветной металлургии за счет окислительно-го обжига сульфидных руд.

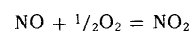
Увеличение содержания в атмосфере оксидов неметаллов (в основном SO_2) вызывает образование "кислых дождей". Это приводит к понижению рН осадков, вызывает рост кислотности водоемов, гибель их обитателей. Из-за переноса воздушных масс на большие расстояния (трансграничные переносы) опасное повышение кислотности водоемов охватывает большие площади.

Под губительным действием оксидов серы и азота разрушаются строительные материалы, памятники архитектуры.

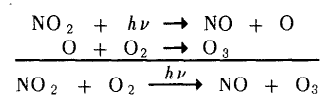
Очень остро стоит перед человечеством проблема выхлопных газов автотранспорта, наносящих огромный урон жизнедеятельности животных и растений. Составные части выхлопных газов — это оксид углерода (II), оксиды азота, оксид серы (IV), углеводороды, соединения свинца.

Оксид углерода (II) взаимодействует с гемоглобином крови в 200 раз активнее кислорода и снижает способность крови быть его переносчиком. Поэтому даже при незначительных концентрациях CO в воздухе, он оказывает вредное воздействие на здоровье (вызывает головную боль, снижает умственную деятельность). Оксид серы (IV) вызывает спазмы дыхательных путей, а оксиды азота — общую слабость, головокружение, тошноту.

Выхлопные газы могут быть причиной образования фотохимического смога, что можно представить такой схемой: выделяющийся с выхлопными газами оксид азота (II) окисляется кислородом:



Под действием ультрафиолетового излучения Солнца молекулы NO_2 распадаются. Образовавшийся атомный кислород при взаимодействии с молекулярным кислородом образует озон:



Озон и атомный кислород вступают в реакции с углеводородами, что приводит к образованию токсичных продуктов — смога — ядовитого загрязнения атмосферы городских районов с интенсивным автомобильным движением.

В выхлопных газах содержатся соединения свинца. Свинец — токсичный элемент, обладает кумулятивными свойствами, действует на

ферментные системы и обмен веществ, накапливается в морских отложениях и в пресной воде. В продуктах сгорания топлива содержится также ртуть — один из опасных загрязнителей пищевых продуктов, особенно морского происхождения; она накапливается в организме и вредно действует на нервную систему.

Токсичные соединения металлов поступают в атмосферу в выбросах предприятий цветной и черной металлургии, а также в результате сжигания мусора и отходов. Эти источники загрязнения атмосферы соединениями токсичных металлов значительно превосходят по вредности природные источники загрязнений — вулканы.

Очистка газовых выбросов химических предприятий от оксидов азота основывается на катализитическом разложении, восстановлении природным газом или аммиаком. Очистка от SO_2 основана на окислении S (IV) в S (VI) и использовании кислотных свойств оксидов серы. При этом достигается очень высокая степень очистки.

Незначительное содержание оксида серы (IV) в отходящих газах тепловых электростанций делает его утилизацию химическими методами экономически нецелесообразной. Наиболее приемлемый вариант решения этой проблемы — очистка топлива от соединений серы до сжигания. Вот пример такого решения. Природный газ, который добывают вблизи Астрахани, содержит большое количество сероводорода. Его удаляют из газа растворением в органических растворителях. Затем H_2S выделяют из раствора и за счет неполного окисления переводят в ценный продукт — серу.

Ведутся исследования по применению микробиологических методов для очистки жидкого и твердого топлива от соединений серы. Одним из кардинальных решений проблемы защиты окружающей среды является использование водорода в качестве топлива, а также применение электрохимических топливных элементов. Быстрыми темпами развивается атомная энергетика.

§ 2. ОХРАНА ГИДРОСФЕРЫ

Вода стоит особняком в истории нашей планеты. Нет природного тела, которое могло сравниться с ней по влиянию на ход основных, самых грандиозных, геохимических процессов.

В.И. Вернадский

Вода распространена на нашей планете повсеместно (общий запас воды около $1,4 \cdot 10^{18}$ т). Основная масса воды сосредоточена в морях и океанах. На долю пресной воды приходится только 2%, причем боль-

шая часть ее находится в основном в ледяных массах на Северном и Южном полюсах. Большое количество ее содержится в атмосфере. В природных условиях осуществляется постоянный круговорот воды, сопровождающийся процессами ее очистки. За счет солнечной энергии вода испаряется с поверхности водоемов, переходя в атмосферу, а при конденсации выпадает в виде дождя и снега. Вода вносит огромные массы растворенных веществ в моря и океаны, где происходят сложные химические и биохимические процессы, способствующие самоочищению водоемов.

Вода применяется во всех областях народного хозяйства и в быту. В связи с развитием промышленности, ростом городов расход воды все увеличивается. Одновременно усиливается загрязнение воды промышленными и бытовыми отходами. Это приводит к нарушению естественных процессов самоочищения водоемов, наносит ущерб их обитателям. Поэтому сегодня первостепенное значение приобретают вопросы охраны водных источников от истощения, а также от загрязнений сточными водами.

Важным показателем качества воды является количество растворенного в ней кислорода. Кислород необходим для жизни обитателей водоемов. За счет деятельности аэробных бактерий кислород используется для окисления органических веществ останков животных и растительных организмов с образованием CO_2 , H_2O , NO_3^- , SO_4^{2-} , PO_4^{3-} . Тем самым осуществляется самоочищение воды. При избытке органических веществ растворенного кислорода оказывается уже недостаточно для существования аэробных бактерий. В этих условиях процесс разложения органических веществ выполняют анаэробные бактерии с образованием CH_4 , NH_3 , H_2S , RH_3 . Вода приобретает гнилостный запах, гибнет рыба и другие обитатели водоемов.

Большой вред природным водам наносят растворенные в сточных водах минеральные удобрения, смываемые с поверхности почвы. Удобрения (в особенности нитраты, фосфаты) вызывают бурное разрастание сорной травы и водорослей. Это приводит к засорению водоемов и их гибели.

Огромный урон живым организмам в водоемах наносят промышленные сточные воды, содержащие ядовитые вещества, в частности соединения токсичных металлов.

Способы очистки сточных вод зависят от характера содержащихся в них загрязнений. Бытовые сточные воды в основном содержат органические вещества. Поэтому они после обеззараживания хлором или озоном подвергаются биологической очистке. При биохимическом окислении органических веществ образуется биомасса, которую ис-

пользуют для получения белково-витаминного концентрата для подкормки животных. Биологически очищенную воду можно сбрасывать в естественные водоемы, где осуществляется дальнейшая естественно-биологическая очистка.

Для очистки сточных вод от органических веществ применяются радиационные методы (например, γ -излучение). Радиационное излучение аналогично действию сильных окислителей, так как продукты радиолиза воды H_2O_2 , H_2O_3 и др. по окислительным свойствам близки к хлору и озону. Применение γ -радиации позволяет не только уничтожить вредные микроорганизмы, но и ядовитые вещества (красители, пестициды, поверхностно-активные вещества, фенолы).

Очистка промышленных сточных вод весьма сложна. Они содержат вещества, которые являются ядами для микроорганизмов и не могут быть очищены биологическими методами. Удаление металлов может быть осуществлено осаждением их в виде нерастворимых веществ — HgS , Hg_2Cl_2 , PbS , а также путем ионного обмена — удаление Pb^{2+} , Cu^{2+} , Zn^{2+} , Hg^{2+} и др. и экстракции органическими растворителями.

Для очистки воды от неорганических солей применяются дистillationь, вымораживание и другие методы (электродиализ, обратный осмос).

Наиболее надежный способ защиты водоемов основан на создании экономически рациональных замкнутых систем, обеспечивающих многократное использование воды в производстве.

ГЛАВА 2. БЕЗОТХОДНАЯ ТЕХНОЛОГИЯ

Главная цель передовой технологии — отыскание способов производства полезного из бросового, бесполезного.

Д.И. Менделеев

§ 1. КОМПЛЕКСНОЕ ИСПОЛЬЗОВАНИЕ СЫРЬЯ

Химическая промышленность нашей страны выпускает 70 тыс. химических веществ, и их число продолжает расти по мере возрастаания потребностей народного хозяйства. Большие задачи стоят перед химиками и технологами по созданию новых технологий и производству новых химических материалов.

Велика роль химической технологии в решении проблемы использования отходов не только химических предприятий, но и в особен-

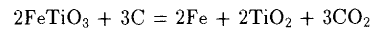
ности тепловых электростанций, горнодобывающей промышленности, металлургии и т. д. Д.И. Менделеев считал, что в химии нет отходов. Действительно, любые отходы могут быть использованы как сырье для получения других химических продуктов. Но пока отходы имеются почти в любом производстве. К тому же выбрасываются не только соединения ядовитые, загрязняющие атмосферу, воду и почву, но и содержащие ценные вещества.

Таким образом, важнейшей задачей химической технологии является комплексное использование сырья, создание производств без отходов. Сущность безотходной технологии передает следующая схема:

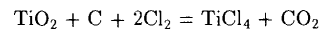


Примером комплексного использования сырья может служить переработка апатито-нефелиновой руды. Эту руду флотацией разделяют на апатит и нефелин. Из апатита $Ca_5(PO_4)_3F$ разложением серной кислотой получают фосфорную кислоту, фосфорные удобрения, производные фтора, гипс. При переработке нефелина $Na_3K[Al_2Si_2O_8]_2$ получают глинозем, поташ, кальцинированную соду, портландцемент, а также галлий.

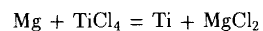
По безотходной технологии перерабатывают ильменит $FeTiO_3$. Для этого его спекают с коксом:



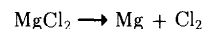
Из оксида титана (IV) получают хлорид титана (IV):



а из последнего магнийтермическим методом — металлический титан:

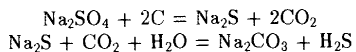


Образующийся при этом хлорид магния подвергают электролизу:



Магний и хлор возвращают в производство.

Разработаны комплексные методы переработки мирабилита $Na_2SO_4 \cdot 10H_2O$. При обменном разложении Na_2SO_4 и $(NH_4)_2CO_3$ образуются сода и сульфат аммония (минеральное удобрение). По другому способу при восстановлении Na_2SO_4 углем и последующей карбонизации раствора (действием CO_2) образуются Na_2CO_3 и H_2S :

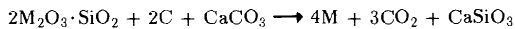


Сероводород переводят в серу.

Взаимодействием сильвинаита $\text{KCl}\cdot\text{NaCl}$ с оксидом углерода (IV) и аммиаком можно получить соду и азотно-калиевое удобрение ($\text{KCl} + \text{NH}_4\text{Cl}$). Комплексное использование карналита $\text{KCl}\cdot\text{MgCl}_2\cdot 6\text{H}_2\text{O}$ позволяет получить KCl , MgCl_2 , MgO , Cl_2 , KClO_3 , а также магнезиальный цемент для изготовления оgneупорных изделий и строительных материалов (кислолит и пр.).

Важнейшей народнохозяйственной проблемой является переработка шлаков пирометаллургических производств. Шлаки содержат оксиды кремния, алюминия, кальция, магния, железа, марганца, меди, никеля, кобальта, свинца, кадмия, редких металлов и других элементов. Состав шлаков зависит от вида сырья металлургического процесса.

Для выделения металлов (M) из шлаков предложен метод восстановления расплавленного шлака в электропечах коксом в присутствии извести:



Образующийся силикат кальция — исходное вещество для производства строительных материалов.

Ставится задача создания территориально-промышленных комплексов с предприятиями, взаимосвязанными принципами безотходной технологии в масштабах всего экономического района.

Для кардинального решения проблем охраны окружающей среды необходимо международное сотрудничество.

§ 2. НООСФЕРА — СФЕРА РАЗУМА

Ноосфера — состояние биосферы, при котором разумная деятельность человека становится решающим фактором ее развития.

С развитием науки и техники создаются новые возможности охраны окружающей среды. Академик В.И. Вернадский еще в начале века отмечал, что наступит время, когда человек сделается основным фактором эволюции биосфера.

Биосфера сформировалась и функционирует за счет деятельности растений, животных, микроорганизмов. Сегодня в биосфере доминирующую роль играет человек. Его трудом выведены новые сорта расте-

ний и породы животных, появилась бескрайние поля культурных растений, создаются каналы и новые моря, исчезают болота и пустыни, перемещаются огромные массы ископаемых пород, синтезируются новые материалы и химические элементы. Преобразующая деятельность человека сегодня распространяется на дно океана и космическое пространство. Все возрастающее влияние человека на окружающую среду порождает сложные проблемы во взаимоотношениях человека с природой.

Человек — часть природы, поэтому и производительную деятельность человека надо рассматривать в рамках природы и ее возможностей. В.И. Вернадский полагал, что человечеству предстоит научиться планомерно развивать биосферу, научиться такому образу поведения, который стимулировал бы дальнейший прогресс. В будущем средой обитания человечества станет так называемая ноосфера (ноо — по-гречески разум), где разумно иrationально организованные производство и потребление станут основой полной гармонии между человеческим обществом и природой.

В.И. Вернадский писал, что в геологической истории биосферы перед человеком открывается огромное будущее, если он поймет это и не будет употреблять свой разум и свой труд на самоистребление.

ЗАКЛЮЧЕНИЕ

В системе подготовки инженеров химико-технологов, кроме курса общей и неорганической химии, предусмотрено изучение курсов аналитической, органической, физической, коллоидной химии, а также ряда дисциплин по профилю будущей специальности (биохимия, электрохимия, плазмохимия, ядерная химия и др.).

В курсе общей и неорганической химии осуществляется первоначальное знакомство с основными теоретическими положениями химической науки. В других дисциплинах продолжается изучение строения вещества, химической термодинамики, химической кинетики, методов исследования и химического анализа, реакционной способности веществ и др. Все это необходимо знать, чтобы целенаправленно управлять химическим процессом для получения веществ с заранее заданными свойствами.

Сведения о свойствах веществ и закономерностях химических реакций составляют научную основу химического производства, фундамент химической технологии. Химическая технология — это наука, разрабатывающая промышленные методы превращения исходных веществ (сырье) в новые вещества (продукты). Основная задача химической технологии — создание таких производств, которые позволяли бы получать высококачественную продукцию с наименьшими затратами труда, сырья, энергии и времени. Эти проблемы рассматриваются такими химико-технологическими дисциплинами, как технология неорганических веществ, технология электрохимических производств, технология синтетического каучука и резины, пластических масс, биохимических производств и т. д.

СПИСОК ЛИТЕРАТУРЫ

- Ахметов Н.С., Азизов М.К., Бадыгина Л.И. Лабораторные и семинарские занятия по общей и неорганической химии. — М.: Высшая школа, 1998.
- Браун Т., Лемей Г.Ю. Химия в центре наук. — М.: Мир, 1983. Ч. 1, 2.
- Дикерсон Р., Грэй Г., Хейт Дж. Основные законы химии. — М.: Мир, 1982. Т. 1, 2.
- Кемпбелл Дж. Современная общая химия. — М.: Мир, 1975. Т. 1, 2, 3.
- Коттон Ф., Уилкинсон Дж. Основы неорганической химии. — М.: Мир, 1979.
- Кукушкин Ю.Н. Химия координационных соединений. — М.: Высшая школа, 1985.
- Лидин Р.А., Аликберов Л.Ю., Логинова Г.П. Неорганическая химия в вопросах. — М.: Химия, 1991.
- Некрасов Б.В. Основы общей химии. — М.: Химия, 1973. Т. I, II.
- Пиментал Г., Спратли Р. Как квантовая механика объясняет химическую связь. — М.: Мир, 1973.
- Полторак О.М., Коуба Л.М. Физико-химические основы неорганической химии. — М.: изд-во МГУ, 1984.
- Степин Б.Д. Применение международной системы единиц физических величин в химии. — М.: Высшая школа, 1990.
- Угай Я.А. Общая химия. — М.: Высшая школа, 1984.
- Угай Я.А. Неорганическая химия. — М.: Высшая школа, 1989.
- Угай Я.А. Общая и неорганическая химия. — М.: Высшая школа, 1997.
- Фриментал М. Химия в действии. — М.: Мир, 1991. Ч. 1, 2.
- Хьюи Дж. Неорганическая химия. — М.: Химия, 1987.

ПРЕДМЕТНЫЙ УКАЗАТЕЛЬ

Агат 449
 Азиды 388
 - простое вещество 59, 374
 Азотистая кислота 390
 Азотистоводородная кислота 388
 Азотная кислота 388
 Азофоска 407
 Аквамарин 512
 Активированный комплекс 215
 Актиний 571
 Актиноиды 710
 Акцептор 79
 Алазан 501
 Алазен 501
 Алазин 501
 Аллан 499
 Алебастр 525
 Аллотропия 253
 Алмаз 117, 423
 Ални 663
 Алники 650
 Алунд 492
 Альбит 495
 Алфа-распад 10
 Алюминий 488
 Алюмогель 494
 Алюмосиликаты 451
 Алюмотермия 489
 Амальгама 692
 Амбигонит 528
 Америций 707
 Амиды 378
 Аммиак 377
 - растворитель 378

728

- строение молекулы 76, 377
 Аммиакаты 109
 Аммония соединения 378
 Аммонокислоты 378
 Аммооснования 378
 Аммофос 407
 Аморфное состояние 141
 Амфиболы 450
 Амфотерность 141
 Анализ рентгеноструктурный 169
 - физико-химический 152
 Ангидрит 521
 Ангидрон 520
 Анорит 495
 Антимонаты см. стибаты
 Антимонит 409
 Алатит 521
 Аргон 540
 Арсенаты 419
 Арсениты 414
 Арсеноцирцит 409
 Арсин 413
 Асбест 451
 Астат 328
 Атомная единица массы 7
 Аурипигмент 409
 Аффинаж 675
 Ацетилен 430
 Ацетилиды 431
 Баддалеит 576
 Барен 482
 Барий 521
 Барит 521

Бастнезит 701
 Безотходная технология 722
 Белильная известь 321
 Бемит 493
 Бензол 92, 568
 - неорганический 486
 Бениотит 450
 Берила 511
 Берилиди 512
 Берилий 511
 Берклий 707
 Берлинская лазурь 641
 Бертолетова соль 323
 Бертолиды 284
 Бета-распад 9
 Биурет 437
 Бишофит 519
 Боксит 488
 Бор 470
 Боразан 487
 Боразен 487
 Боразин 487
 Боразол 486
 Боразон 486
 Бораны 477
 Бориды 472
 Бороводороды см. бораны
 Бром 328
 Бромиды 329
 Бромная кислота 337
 Бромноватая кислота 336
 Бромноватистая кислота 335
 Бромоводородная кислота 333
 Бронза 680
 - бериллиевая 512
 Бура 471, 531
 Вадеит 450
 Валентность 78
 Ванадий 588
 Ванадинит 588
 Висмут 409

Висмутаты 369
 Висмутиды 412
 Висмутин 409
 Виталиум 650
 Витерит 521
 Вода
 - давление пара 147
 - жесткость 526
 - ионизация 140
 - ионное произведение 209
 - константа ионизации 201
 - круговорот в природе 720
 - сточная 722
 - строение кристалла 120
 - строение молекулы 98, 340
 Водород 299
 - изотопы 300
 - комплексы 304
 - пероксид 345
 - спектр 22
 Водородный показатель 209
 Воздух 150
 Волновая функция 18
 Вольфрам 597
 Вольфрамит 598
 Вюрцит 507
 Вязущие материалы 525
 Гадолиний 698
 Галенит 455
 Галлит 531
 Галлий 502
 Гальванический элемент 245
 Гафний 575
 Гелий 538
 Гематит 642
 Гемоглобин 639
 Геохимия 248
 Германий 455
 Гесса закон 179
 Гетерогенные системы 213
 Гиббса энергия 192

- образования 195
- Гибридизация теория 195
- Гидразин 382
- Гидрорглипт 493
- Гидратация 142, 557
- Гидриды 302
- Гидрогенаты 304
- Гидрооксиламин 383
- Гидролиз 227
- Гидрометаллургия 681
- Гипобромиты 334
- Гипоидиты 334
- Гипосульфит 364
- Гипохлориды 320
- Гипс 525
- Глауберова соль 531
- Глиноzem 492
- Гольмий 698
- Гомогенные системы 213
- Границная поверхность 19
- Графит 424
 - белый 476
 - Графитиды 427
 - Гринокит 690
 - Гуанидин 437
- Давление пара 146
 - парциальное 150
- Дальтониды 284
- Дебай, единица 97
- Дейтерий 301
- Дефект массы 7
- Джезказганит 619
- Диаграмма состав-свойство 152
 - энергетическая орбиталей 53
 - энталпийная 180
- Диамагнитные вещества 174
- Дибензолхром 568
- Диопсид 450
- Диполь 96
 - длина 97
 - индуцированный 100
- 730
- мгновенный 100
- электрический момент 97
- Дисперсионное взаимодействие 104
- Диспрозий 698
- Диспропорционирование 240
- Диэлектрик 134
- Доломит 517
- Донор 79
- Дуралюмин 491
- Европий 698
- Железо 631
- Желтая кровяная соль 641
- Закон действующих масс 198
- Золото 676
- Зонная теория кристаллов 133
- Известняк 521
- Известь 525
- Изотопы 6
- Изумруд 512
- Ильменит 127
- Имиды 378
- Инвар 663
- Индий 502
- Иникель 663
- Интерметаллические соединения 277
- Иод 328
- Иодиды 390
- Иодная кислота 337
- Иодноватая кислота 336
- Иодноватистая кислота 335
- Иодводородная кислота 333
- Иониты 526
- Иridий 648
- Иттербий 571
- Кадмий 689
- Канинит 534
- Калий 534
- Калийные удобрения 537
- Калифорний 707
- Каломель 697
- Кальций 521
- Кальцит 521
- Каолин 489
- Каолинит 489
- Карбамид 437
- Карбиды 428
- Карбин 424
- Карбонилы 600, 622
- Карбораны 482
- Карборунд 453
- Карналлит 534
- Касситерит 455
- Катализ 223
- Квантовые числа 21
- Квасцы 609
- Кварц 449
- Кернит 471
- Кинетика химическая 212
- Киноварь 690
- Кислород 338
 - простые вещества 61, 339, 349
- Кислоты 148
- Кларк 248
- Кластеры 604
- Клатраты 287
- Кобальт 648
- Кобальтин 648
- Колебания
 - валентные 164
 - деформационные 164
- Колумбит 588
- Комплексное использование сырья 722
- Комплексные соединения 108, 551
 - изомерия 569, 610
- Комплексы
 - анионные 109
 - высокоспиновые 555
 - катионные 109
 - низкоспиновые 555
- Лантан 571
- Лантаноидное скатие 700
- Лантаноиды 698
- Латунь 680
- Лед 119
- Лепидолит 528
- Лиганды 108
- Лимонит 631
- Литий 528

Лопарит 701	Нейтронография 172	Пермутиты 526	Протий 301
Лоуренсит 707	Неметаллы 253	Пернитриды 382	Протон 6
Лютесций 698	Неодим 698	Перовскит 576	
Магнезит 517	Неон 539	Пероксиды 345	Равновесие химическое 197
Магнетит 631	Нептуний 707	Пероксобораты 486	- смещение 200
Магний 517	Нефелин 495	Перренаты 629	Радиационная химия 222
Малахит 678	Никель 660	Персульфаты 366	Радий 521
Марганец 618	Нильсборий 588	Персульфиды 356	Радикальные свободные 218
Медь 676	Нимоник 663	Пертехнаты 629	Радиоактивность 9
Мельхиор 680	Ниобий 588	Перхлораты 324	- период полураспада 10
Менделевий 707	Нитриды 375	Пирит 357	Радиолис 222
Металлотермия 265	Никром 663	Пироксен 450	Радиусы
Металлохимия 276	Ноосфера 724	Пиролюзит 619	- атомные 43, 171
Металлы 253	Озон 349	Пирометаллургия 680	- ионные 43, 171
Меган 72, 429	Озониды 351, 537	Пирофторность 702	- орбитальные 43
Метаниды 430	Окислительно-восстановительные	Плавиковая кислота 27	Радон 541
Механохимия 222	реакции 234	Плазма 150	Расплавы солей 531
Мирабилит 531	Оксиды 665	Планка постоянная 17	Распространенность элементов 8, 248
Мозли закон 159	Оксиды 340	Платина 660	Растворимость 143
Молекулы	Олеум 365	Платинит 664	Растворы 114
- активные 215	Оливин 450	Платиновые металлы 631, 676	- газовые 150
- неполярные 96	Олово 455	Плутоний 707	- жидкие 142
- полярные 96	Опал 449	Позитронный распад 10	- ионизация веществ
- пространственная конфигурация 84	Орбиталь 19, 20	Полевые шпаты 495	- твердые 137
Молибден 597	- атомная 21	Полиморфизм 128	- температура замерзания 147
Молибденит 598	- молекулярная 51	Политионовые кислоты 365	- температура кипения 147
Момент диполя электрический 96	- - несвязывающая 69	Полоний 366	- химическая теория 142
Монельметалл 663	- - разрыхляющая 51	Полупроводники 136, 509	Реакции
Моноцит 701	- - связывающая 50	Потенциал	-нейтрализации 226
Мора соль 637	Ортоклаз 495	- ионизации 38	- окислительно-восстановительные 234
Мочевина 437	Оsmий 631	- окислительный 241	- радикальные 218
Мрамор 521	Основания 148, 206	- электродный 241	- цепные 219
Мусковит 495	Палладий 660	Празеодим 698	- ядерные 11, 15
Мышьяк 409	Парамагнитные вещества 174	Преципитат 407	Реальгар 409
Мышьяковая кислота 419	Пассивирование 261	Принцип Ле Шателье 200	Редкоземельные металлы 698
Мышьяковистая кислота 425	Патронит 588	- неопределенности 18	Рений 618
	Пергидроль 346	Произведение растворимости 210	Родий 648
Надпероксины 345	Периодаты 337	Прометий 698	Ртуть 689
Натрий 531	Периодичность вторичная 45, 273, 289	Простые вещества 253	Рубидий 534
Нейзильбер 680	- внутренняя 289, 700	- получение 264	Рубин 492
Нейtron 6	Перманганаты 629	- структура 253	Рутений 631
732		Протактиний 707	Рутил 124, 576

Ряд спектрохимический	553		
Самарий	698	Сильвин	534
Сапфир	492	Сильвинит	534
Сассолин	471	Синильная кислота	441
Свинец	455	Ситалы	452
Связь		Стандий	571
- водородная	106, 306	Смолы	реакции
- гипервалентная	297	ионообменные	526
- дативная	562	Сода	533
- делокализованная	77, 92	- каустическая	533
- дельта	82	Соединения	
- длина	47	- включения	287
- донарно-акцепторная	79, 112	- переменного	состава
- иональная	100	- смешанные	281
- ковалентная	47	Сольваты	142
- кратность	90	Сольволиз	227
- межмолекулярная	104	Соляная кислота	318
- металлическая	102	Соотношение	де Бройля
- направленность	81	Спектроскопия	157
- насыщаемость	77	- гамма	166
- пи	82, 299	- инфракрасная	163
- полярная	94	- оптическая	161
- порядок	55	- радио	164
- сигма	82	- рентгеновская	159
- энергия	48, 183	- ультрафиолетовая	163
Селен	366	Спектры	
Селенаты	372	- атомные	22
Селениды	369	- классификация	158
Селенины	371	- молекулярные	161
Селитры	389	Спин	электрона
Семейства элементов	36	Сплавы	
Сера	351	- Вуда	411
Серебро	676	- подшипниковые	457
Серная кислота	362	- припои	457
Сернистая кислота	358	- сверхлегкие	518
Сероводород	355	- сверхтвердые	432, 650
Сидерит	631	- тигографские	457
Силаны	448	- тугоплавкие	432
Силикагель	453	- электрон	518
Силициды	444	- сподумен	450
Силумин	491	Сродство	к электрону
	734	Сталь	634
		- нержавеющая	663
		Станиоль	458
		Стекло	
		- кварцевое	449
		- иенское	485
		- пирекс	485
		- растворимое	451
		- хрустальное	452
		Стеклоуглерод	428
		Степень окисления	95
		Стибаты	419
		Стибиды	412
		Стибин	413
		Стишовит	449
		Стронций	521
		Стронцианит	521
		Сулема	697
		Сульфаты	362
		Сульфиды	419
		Сульфиты	358
		Сульфурил	361
		Суперфосфат	407
		Сурник	460
		Сурьма	409
		Сурьмяные кислоты	419
		Сфалерит	126, 507
		Таллий	502
		Тантал	588
		Танталат	588
		Таутомерия	359
		Теллур	366
		Теллуриды	369
		Теллуриты	371
		Теллуровая кислота	372
		Теллурогидрид	370
		Теория	
		- валентных связей	77
		- гибридизация	орбиталей
		- зонная	кристаллов
		- кристаллического	поля
		- локализованных	электронных пар
		- молекулярных	орбиталей
			51, 551
		Фенакит	511
		Фермий	707
		Феросплавы	579, 589, 600, 621
		Ферроцен	567
		Фианиты	581
		Флюорит	124
		Фосген	435
		Фосфаты	406
		Фосфиды	398
		Фосфин	398
		Фосфинаты	399
		Фосфонаты	401
		Фосфоний	399
		Фосфоновая	кислота
			401
		Фосфонитрилгалогениды	408

Фосфиновая кислота 399
 Фосфор 396
 - простые вещества 396
 Фосфорные кислоты 401
 Фотохимия 220
 Франций 534
 Фтор 310
 Фториды 311
 Фтористый водород 313

 Халцедон 449
 Халькопирит 282
 Химические источники тока 245
 Химический элемент 6
 - космическая распространенность 8
 - радиоактивное превращение 9
 - синтез 14
 Хлор 316
 Хлориды 316
 Хлористая кислота 322
 Хлорная кислота 325
 Хлорноватая кислота 323
 Хлорноватистая кислота 320
 Хром 597
 Хромистый железняк 598
 Хунда правило 29

 Царская водка 389
 Цветность соединений 65, 564
 Цезий 534
 Целестин 521
 Цемент 525
 Цементит 634
 Цеолит 496
 Церий 698
 Цианамид 436
 Цианаты 438
 Цианиды 441
 Цианистый водород 441
 Циануровая кислота 437
 Цинк 689
 736

Циркон 576
 Цирконий 575
 Числа магические 7
 Чугун 634

 Шеелит 598
 Шеенит 520
 Шиннели 282
 Шредингера уравнение 20

 Эвтектика 281
 Эйнштейний 707
 Экология 717
 Электрод водородный 243
 Электролиз 268
 Олектронное облако 19
 Электрон 6
 - волновая природа 17
 Электронный захват 10
 Электронный парамагнитный резонанс 164
 Электронография 172
 Электроотрицательность 42
 Элементоорганические соединения 454
 Эльбор 476
 Энергия
 - Гиббса активации 214
 - излучения 16
 - ионизации 38, 63
 - кристаллической решетки 185
 Энстатит 450
 Энтальпия 177
 Энтропия 189
 - активации 215
 Эрбий 698
 Этап 429
 Этилен 429
 Эффективный заряд

 Ядерные реакции 11, 15
 Ядерный магнитный резонанс 164
 Ядро атомное 6

Оглавление

Предисловие	3
Введение	4
ЧАСТЬ ПЕРВАЯ. ОБЩАЯ ХИМИЯ	
РАЗДЕЛ I. ПЕРИОДИЧЕСКАЯ СИСТЕМА ХИМИЧЕСКИХ ЭЛЕМЕНТОВ Д.И.МЕНДЕЛЕЕВА	5
<i>Глава 1. Химические элементы. Периодический закон</i>	6
§ 1. Понятие химического элемента	6
§ 2. Космическая распространенность химических элементов	8
§ 3. Радиоактивное превращение химических элементов	9
§ 4. Ядерные реакции	11
§ 5. Синтез элементов	14
§ 6. Ядерные реакции в природе	15
<i>Глава 2. Электронная оболочка атома химического элемента</i>	16
§ 1. Исходные представления квантовой механики	16
§ 2. Электронное облако	18
§ 3. Атомные орбитали	21
<i>Глава 3. Периодическая система Д.И.Менделеева как естественная классификация элементов по электронным структурам атомов</i>	27
§ 1. Электронная структура атомов	27
§ 2. Структура периодической таблицы химических элементов	35
<i>Глава 4. Периодичность свойств химических элементов</i>	38
§ 1. Энергия ионизации атомов	38
§ 2. Сродство атома к электрону. Электроотрицательность	40
§ 3. Атомные и ионные радиусы	43
§ 4. Вторичная периодичность	45
РАЗДЕЛ II. ХИМИЧЕСКАЯ СВЯЗЬ	46
<i>Глава 1. Основополагающие представления о химической связи</i>	47
§ 1. Некоторые параметры молекулы	47
§ 2. Природа химической связи	48
§ 3. Кривая полной энергии для молекулы	50
<i>Глава 2. Теория молекуллярных орбиталей</i>	51
§ 1. Молекуллярные орбитали	51
§ 2. Двухатомные гомоядерные молекулы	54

§ 3. Двухатомные гетероядерные молекулы	65	<i>Глава 4. Физико-химический анализ</i>	152
§ 4. Трехатомные линейные молекулы	67	§ 1. Термический анализ	152
§ 5. Пятиатомные тетраэдрические молекулы	72	§ 2. Типы диаграмм плавкости	153
§ 6. Сопоставление энергетических диаграмм орбиталей молекул различного строения	75	Р А З Д Е Л IV. МЕТОДЫ ИССЛЕДОВАНИЯ СТРОЕНИЯ ВЕЩЕСТВ	157
Глава 3. Теория валентных связей	77	<i>Глава 1. Спектроскопические методы исследования</i>	157
§ 1. Насыщенность ковалентной связи	77	§ 1. Электромагнитный спектр и атомные или молекулярные процессы	157
§ 2. Направленность ковалентной связи	81	§ 2. Рентгеновская спектроскопия	159
§ 3. Кратность (порядок) связи	90	§ 3. Оптическая спектроскопия	161
§ 4. Полярность и поляризуемость связи	94	§ 4. Радиоспектроскопия	164
§ 5. Типы ковалентных молекул	96	§ 5. Гамма-спектроскопия	166
Глава 4. Ионная связь. Невалентные типы связи	100	<i>Глава 2. Дифракционные методы исследования. Магнитные измерения</i>	169
§ 1. Ионная связь	101	§ 1. Рентгеноструктурный анализ	169
§ 2. Металлическая связь	102	§ 2. Электронографический и нейтронографический методы	172
§ 3. Межмолекулярное взаимодействие	104	§ 3. Исследование веществ в магнитном поле	174
§ 4. Водородная связь	106	Р А З Д Е Л V. ВВЕДЕНИЕ В ТЕОРИЮ ХИМИЧЕСКИХ ПРОЦЕССОВ	175
Глава 5. Комплексообразование. Комплексные соединения	107	<i>Глава 1. Энергетика химических превращений</i>	176
§ 1. Комплексообразование	107	§ 1. Тепловой эффект реакции	176
§ 2. Координационные (комплексные) соединения	108	§ 2. Термохимические расчеты	178
§ 3. Описание комплексных соединений с позиций теории валентных связей	111	<i>Глава 2. Направленность химической реакции</i>	189
Р А З Д Е Л III. АГРЕГАТНОЕ СОСТОЯНИЕ. РАСТВОРЫ	114	§ 1. Энтропия	189
Глава 1. Твердое состояние. Твердые растворы	115	§ 2. Энергия Гиббса	192
§ 1. Кристаллы	115	<i>Глава 3. Химическое равновесие</i>	197
§ 2. Типы химической связи в кристаллах	117	§ 1. Константа химического равновесия	197
§ 3. Основные структурные типы неорганических веществ	120	§ 2. Принцип Ле Шателье	200
§ 4. Характерное координационное число элемента и структура его соединений	129	§ 3. Константа ионизации	201
§ 5. Зонная теория кристаллов	133	§ 4. Константа образования комплекса	206
§ 6. Полупроводники	136	§ 5. Константа автопротолиза воды	208
§ 7. Твердые растворы	137	§ 6. Равновесие в гетерогенных системах	210
Глава 2. Жидкое состояние. Жидкие растворы	139	<i>Глава 4. Химическая кинетика</i>	212
§ 1. Жидкое состояние	139	§ 1. Скорость химической реакции	212
§ 2. Ионизация молекул жидкости	140	§ 2. Энергия Гиббса активации	214
§ 3. Аморфное состояние	141	§ 3. Механизм химических реакций	218
§ 4. Жидкие растворы	142	§ 4. Физические методы стимулирования химических превращений	220
Глава 3. Газовое и другие состояния. Газовые растворы	149	§ 5. Катализ	223
§ 1. Газовое состояние	149	<i>Глава 5. Реакции без изменения степеней окисления элементов</i>	225
§ 2. Газовые растворы	150	§ 1. Условия одностороннего протекания реакций	225
§ 3. Плазма	150	§ 2. Гидролиз	227
§ 4. Другие состояния вещества	151		

<i>Глава 6. Реакции с изменением степени окисления элементов</i>	234
§ 1. Окислительно-восстановительные реакции	234
§ 2. Составление уравнений окислительно-восстановительных реакций	236
§ 3. Направление окислительно-восстановительных реакций	240
§ 4. Химические источники тока	245
ЧАСТЬ ВТОРАЯ. НЕОГРАНИЧЕСКАЯ ХИМИЯ	
РАЗДЕЛ I. ВВЕДЕНИЕ В ХИМИЮ ЭЛЕМЕНТОВ	248
<i>Глава 1. Распространенность химических элементов</i>	248
§ 1. Геохимия и космохимия	248
§ 2. Химические элементы в земной коре	249
<i>Глава 2. Простые вещества</i>	253
§ 1. Структура простых веществ	253
§ 2. Свойства простых веществ	257
§ 3. Получение простых веществ	264
<i>Глава 3. Двухэлементные (бинарные) соединения</i>	269
§ 1. Характеристика бинарных соединений по типу химической связи	269
§ 2. Сравнение устойчивости бинарных соединений	273
§ 3. Основно-кислотные свойства бинарных соединений	273
§ 4. Металлические соединения	276
<i>Глава 4. Трехэлементные соединения</i>	279
§ 1. Производные анионных комплексов	279
§ 2. Смешанные соединения, твердые растворы, эвтектика	281
<i>Глава 5. Нестехиометрические соединения</i>	284
§ 1. Соединения переменного состава	284
§ 2. Соединения включения	287
РАЗДЕЛ II. ХИМИЯ σ-И p-ЭЛЕМЕНТОВ	289
<i>Глава 1. Общие закономерности</i>	289
§ 1. Внутренняя и вторичная периодичность	289
§ 2. Степени окисления σ -и p -элементов	292
§ 3. Координационные числа σ -и p -элементов	295
<i>Глава 2. Водород</i>	299
<i>Глава 3. p-Элементы VII группы периодической системы Д.И.Менделеева</i>	309
§ 1. Фтор	310
§ 2. Хлор	316
§ 3. Подгруппа брома	328

<i>Глава 4. p-Элементы VI группы периодической системы Д.И.Менделеева</i>	338
§ 1. Кислород	338
§ 2. Сера	351
§ 3. Подгруппа селена	366
<i>Глава 5. p-Элементы V группы периодической системы Д.И.Менделеева</i>	373
§ 1. Азот	374
§ 2. Фосфор	396
§ 3. Подгруппа мышьяка	409
<i>Глава 6. p-Элементы IV группы периодической системы Д.И.Менделеева</i>	421
§ 1. Углерод	422
§ 2. Кремний	442
§ 3. Подгруппа герmania	455
§ 4. Обзор оксосоединения p -элементов IV, V, VI и VII групп	466
<i>Глава 7. p-Элементы III группы периодической системы Д.И.Менделеева</i>	470
§ 1. Бор	470
§ 2. Алюминий	488
§ 3. Подгруппа галлия	502
<i>Глава 8. d-Элементы II группы периодической системы Д.И.Менделеева</i>	510
§ 1. Бериллий	511
§ 2. Магний	517
§ 3. Подгруппа кальция	521
<i>Глава 9. s-Элементы I группы периодической системы Д.И.Менделеева</i>	527
§ 1. Литий	528
§ 2. Натрий	531
§ 3. Подгруппа калия	534
<i>Глава 10. s-и p-Элементы VIII группы периодической системы Д.И.Менделеева</i>	538
§ 1. Гелий	538
§ 2. Неон	539
§ 3. Аргон	540
§ 4. Подгруппа криптона	541
РАЗДЕЛ III. ХИМИЯ d-ЭЛЕМЕНТОВ	546
<i>Глава 1. Общие закономерности</i>	546
§ 1. Энергия ионизации и радиусы атомов d -элементов	546
§ 2. Степени окисления d -элементов	548

§ 3. Простые вещества <i>d</i> -элементов	549	
Глава 2. Координационное соединение <i>d</i>-элементов	550	
§ 1. Описание комплексных соединений с позиций теории кристаллического поля	551	
§ 2. Описание комплексных соединений с позиций теории молекулярных соединений	557	
§ 3. Электронная конфигурация комплексообразователя и строение комплексов	566	
§ 4. Комплексы с органическими лигандами	567	
§ 5. Изомерия комплексных соединений	569	
Глава 3. <i>d</i>-Элементы III группы периодической системы Д.И.Менделеева	571	
§ 1. Подгруппа скандия	572	
§ 2. Соединения элементов подгруппы скандия	573	
Глава 4. <i>d</i>-Элементы IV группы периодической системы Д.И.Менделеева	575	
§ 1. Подгруппа титана	576	
§ 2. Соединения элементов подгруппы титана	579	
Глава 5. <i>d</i>-Элементы V группы периодической системы Д.И.Менделеева	586	
§ 1. Подгруппа ванадия	588	
§ 2. Соединения элементов подгруппы ванадия	589	
Глава 6. <i>d</i>-Элементы VI группы периодической системы Д.И.Менделеева	597	
§ 1. Подгруппа хрома	598	
§ 2. Соединения элементов подгруппы хрома	600	
Глава 7. <i>d</i>-Элементы VII группы периодической системы Д.И.Менделеева	618	
§ 1. Подгруппа марганца	619	
§ 2. Соединения элементов подгруппы марганца	621	
Глава 8. <i>d</i>-Элементы VIII группы периодической системы Д.И.Менделеева	630	
§ 1. Подгруппа железа	631	
§ 2. Соединения элементов подгруппы железа	634	
§ 3. Подгруппа кобальта	648	
§ 4. Соединения элементов подгруппы кобальта	651	
§ 5. Подгруппа никеля	660	
§ 6. Соединения элементов подгруппы никеля	663	
§ 7. Получение платиновых металлов	675	
Глава 9. <i>d</i>-Элементы I группы периодической системы Д.И.Менделеева	676	
§ 1. Подгруппа меди	678	
		681
Глава 10. <i>d</i>-Элементы II группы периодической системы Д.И.Менделеева	689	
§ 1. Подгруппа цинка	690	
§ 2. Соединения элементов подгруппы цинка	693	
РАЗДЕЛ IV. ХИМИЯ FЭЛЕМЕНТОВ	698	
Глава 1. f-Элементы 6-го периода периодической системы Д.И.Менделеева	698	
§ 1. Семейство лантаноидов	698	
§ 2. Соединения лантаноидов	703	
Глава 2. f-Элементы 7-го периода периодической системы Д.И.Менделеева	707	
§ 1. Семейство актиноидов	710	
§ 2. Соединения актиноидов	711	
РАЗДЕЛ V. НЕОРГАНИЧЕСКАЯ ХИМИЯ И ЭКОЛОГИЯ	717	
Глава 1. Проблемы защиты окружающей среды	717	
§ 1. Охрана атмосферы	717	
§ 2. Охрана гидросферы	720	
Глава 2. Безотходная технология	722	
§ 1. Комплексное использование сырья	722	
§ 2. Ноосфера—сфера разума	724	
Заключение	726	
Список литературы	727	
Предметный указатель	728	

Учебное издание

Ахметов Наиль Сибгатович

ОБЩАЯ И НЕОРГАНИЧЕСКАЯ ХИМИЯ

Редактор *В.Н. Бораненкова*
Мл. редактор *Г.Г. Бучина*
Художник *В.Ю. Соколова*
Художественный редактор *Ю.Э.Иванова*
Технический редактор *Л.А.Овчинникова*
Корректор *В.Н. Жилкина*
Набор и верстка *В.Н. Думбар*

ЛР № 010146 от 25.12.96. Изд. № Х/Е-165. Подп. в печать 30.10.2000
Формат 60x88 $\frac{1}{4}$. Бум. газетная. Гарнитура «Таймс». Печать офсетная
Объем: 46,5 усл. печ. л. + 0,25 усл. печ. л. форз., 47,0 усл. кр.-отт.,
47,28 уч.-изд. л. + 0,32 уч. изд. л. форз. Тираж 15000 экз. Заказ № 2587

ГУП «Издательство «Высшая школа», 101430, Москва, ГСП-4, Неглинная ул., д. 29/14

Факс: 200-03-01, 200-06-87 E-mail: V-Shkola@g23.relcom.ru
<http://www.v-shkola.ru>

ЛР № 071190 от 11.07.95. Издательский центр «Академия»
105043, г. Москва, ул. 8-я Парковая, 25

Набрано на персональном компьютере издательства

Отпечатано с готовых диапозитивов в ГУП ИПК «Ульяновский Дом печати»
432601, г. Ульяновск, ул. Гончарова, 14

